



PONTIFICIA  
**UNIVERSIDAD**  
**CATÓLICA**  
DEL PERÚ

FACULTAD DE LETRAS Y CIENCIAS HUMANAS

REVISIÓN DE LA DEFINICIÓN DEL ESTILO NIEVERÍA:  
UN ESTUDIO DE LOS MATERIALES RECUPERADOS POR MAX UHLE,  
LOUIS M. STUMER Y LA MISIÓN ARQUEOLÓGICA ITALIANA

Tesis para optar el título de licenciado en arqueología presentada por

RAFAEL EDUARDO VALDEZ VELÁSQUEZ-LÓPEZ

ASESOR: DOCTOR PETER KAULICKE

LIMA, 2015



A mis padres

## Agradecimientos

La numerosa cantidad del material estudiado en el trabajo obligó que, para concretar los objetivos trazados, hubo necesidad del apoyo de numerosas personas así como de un proceso por etapas para su preparación y desarrollo, pese a lo cual ese apoyo nunca faltó. En ese sentido, en primer lugar, debo agradecer sobremanera al doctor Peter Kaulicke, docente principal y fundador de la Especialidad de Arqueología PUCP, primer director del *Boletín de Arqueología PUCP* y a quien debo, como asesor, no solo las enseñanzas y orientaciones respecto de esta tesis, sino el privilegio de haber trabajado en conjunto y bajo su dirección en numerosas publicaciones —incluyendo las ediciones 1 a 15 del *Boletín*— proyectos y simposios internacionales, desde 1997 a 2013.

El interés por la cerámica de estilo Nievería surgió a partir de las publicaciones realizadas bajo la dirección del doctor Kaulicke, como *Contextos funerarios de Ancón* (1997) y *Max Uhle y el Perú antiguo* (1998), así como de mi participación en el Proyecto Arqueológico Cajamarquilla dirigido por Rafael Segura entre 2000 y 2001 y en el que participaron mis colegas y amigos Elizabeth Enriquez, Patricia Landa, María del Carmen Vega y Cecilia Camargo, a quienes agradezco mucho su apoyo y los conocimientos compartidos.

Para los fines de la documentación de material objetivo debo que mencionar a las instituciones que albergan las colecciones cerámicas estudiadas en las personas de sus anteriores funcionarios y jefes de áreas y curadurías. Dichos trabajos se dieron entre 2002 y 2006. En el Museo de Arqueología, Antropología e Historia del Perú conté con la autorización para llevar a cabo mis investigaciones de parte de sus directores, los doctores Luis Lumbreras, Enrique González Carré, Carmen Arellano y Carmen Carrasco Cavero; el licenciado Carlos del Águila (Dirección de Investigaciones); las licenciadas Elia Centurión, Norma Cárdenas, Fanny Montesinos, Elba Manrique y el señor Juan Peralta (Departamento de Registro); las señoras Merli Costa, María Eugenia Huallanca, Rocío López de Castilla (Fondo Bibliográfico de Estudios Arqueológicos e Históricos); los licenciados Francisco Merino, Maritza Pérez y Dante Casareto, así como de José Roel y César Córdova (Curaduría de Cerámica); la licenciada Rosa Martínez, Alejandro Soto y Segundo Ruiz Visalot (Laboratorio de Cerámica). En el Museo Arturo Jiménez Borja-Puruchuco debo mucho la gran colaboración de sus anteriores directores, los licenciados Luis Felipe Villacorta, Rafael Segura, el doctor Elmo León y la licenciada Teresa Verástegui, y de su personal, Rossana Mendoza, Jenny Alcántara y Karím Uceda. Asimismo, en el Museo de la Nación, conté con la autorización de su director, el señor Álvaro Roca Rey, y la ayuda de la licenciada Sonia Quiróz (Departamento de Manejo de Colecciones).

Para los fines de alcanzar, en lo posible, la documentación existente acerca de los trabajos de Max Uhle en Cajamarquilla y el Cementerio de Nievería, debo nombrar especialmente el constante apoyo

del doctor Jean-Pierre Protzen, de la University of Berkeley, y la doctora Joan Knudsen, del Phoebe A. Hearst Museum of Anthropology, así como de los doctores Gregor Wolff y Norbert Knosalla, del Iberoamerikanisches Institut-Preußisches Kulturbesitz de Berlín. Para fines de consultar los datos documentados por Cirilo Huapaya en el conjunto Julio C. Tello, Cajamarquilla, tuve acceso al Archivo del Museo de Arqueología y Antropología de la Universidad Nacional Mayor de San Marcos, con el permiso de su director, el licenciado Javier Alcalde, y del doctor Rafael Vega-Centeno, miembro del Comité Directivo de dicha institución (2006). Asimismo, debo mencionar a la doctora Patricia Knobloch, quien de manera desinteresada también respondió a mis consultas respecto de la contextualización del material hallado por Louis Stumer en Catalina Huanca.

Debido a la gran cantidad de material que se pretendía estudiar, era necesario contar con varias personas. Para el registro, análisis y documentación de las piezas, conté con la ayuda de los, en ese entonces estudiantes, Jorge Aching, Flor de María Bobadín, Gladis Collatupa, Berta Flores, José Luis Fuentes, Diana León, Ana Murga, Ronald San Miguel, Katuska Rodríguez, Marlene Torrez, Lizbeth Tepo y Luz Vergara (Universidad Nacional Mayor de San Marcos), así como de Claudia Villarobles (Universidad Nacional Federico Villarreal). Los dibujos en Corel Draw de las vasijas, diseños, gráficos y mapas fueron elaborados muy profesionalmente por Gabriela Cervantes, Elizabeth Mestanza, Martha Palma, Marina Ramírez y Cora Rivas. Por el soporte informático debo un agradecimiento especial al señor Rubén Poma, docente de la Especialidad de Física de la PUCP y a mi hermano, Oscar Valdez.

Un constante aprendizaje surgió de las consultas, conversaciones y consejos recibidos de colegas y amigos. En primer lugar agradezco a Rafael Segura y Hugo Ikehara, cuyas orientaciones fueron de gran valor para la realización de este trabajo; asimismo, debo mencionar a Gonzalo Rodríguez, Johny Isla, Manuel Lizárraga, Jonathan Palacios, Joaquín Narváez, Alejandro Soto, Sandra Téllez, Luis Cáceres, Carlos Olivera, Gabriel Prieto, Martha Palma, José Ochatoma (Director de la Escuela de Posgrado de la UNSCH), así como de su hijo, José Ochatoma Cabrera, Roxana Lazo, Patricia Landa, Aurora García, Miguel Cornejo, Marco Goldhausen y Humberto Córdova. De igual modo agradezco la ayuda del ingeniero geólogo Javier Jacay (UNMSM). Para facilitarme acceso a bibliografía agradezco la desprendida ayuda de la doctora Gilda Cogorno, Directora de la Biblioteca del Instituto Riva-Agüero, así como de Sean Scarr (Pennsylvania State University) y Brittney Thatchell (University of New York at Binghamton).

## Índice

<b>Introducción</b>	1
<b>Capítulo 1. Antecedentes y problemática del material de estudio</b>	3
1.1. Preámbulo: el estilo Nievería de la costa central del Perú	3
1.2. Alcance de la cerámica del estilo Nievería según la literatura y las investigaciones recientes	3
1.3. Problemática del material de estudio	4
1.3.1. La determinación de contextos y las inferencias corológicas, sociales y políticas	5
1.3.2. Los estilos involucrados y el tratamiento de la tecnología, la morfología y la terminología	12
1.3.3. Inferencias cronológicas: los períodos determinados	17
1.4. Marco cronológico relativo y absoluto actual	20
1.5. Planteamientos de hipótesis y objetivos	26
1.6. Metodología de trabajo	27
<b>Capítulo 2. Materiales cerámicos del Complejo de Cajamarquilla y el Cementerio de Nievería</b>	28
2.1. El complejo de Cajamarquilla	28
2.2. Descripción del Conjunto Julio C. Tello, Cajamarquilla	29
2.2.1. La arquitectura y estratigrafía de la estructura principal del Conjunto Tello	30
2.2.2. Los contextos funerarios de la estructura principal	33
2.2.2.1. Los contextos funerarios hallados por Cirilo Huapaya	33
2.2.2.2. Los contextos funerarios hallados por la MAI	33
2.2.2.3. Los contextos funerarios hallados por el PAC	35
2.2.3. El corpus cerámico del Conjunto Julio C. Tello	37
2.2.4. Resumen y discusión	38
2.3. Descripción del Cementerio de Nievería	39
2.3.1. Los trabajos de Max Uhle en el Cementerio de Nievería	41
2.3.2. El aporte de Jorge C. Muelle	44
2.3.3. El corpus cerámico del Cementerio de Nievería	45
2.3.4. Resumen y discusión	45
Notas	46
<b>Capítulo 3. Materiales cerámicos del Complejo de Catalina Huanca</b>	49
3.1. Descripción del Complejo de Catalina Huanca	49
3.2. Aproximación a los contextos arqueológicos a partir de las publicaciones: los trabajos de Louis M. Stumer en 1954 y 1955	52
3.3. El corpus cerámico del Complejo de Catalina Huanca	55

3.4. Resumen y discusión	57
Notas	58
<b>Capítulo 4. Análisis de la cerámica</b>	<b>59</b>
4.1. Desarrollo del análisis	59
4.1.1. Morfología y tecnología	59
4.1.1.1. Definición de categorías, subcategorías, variantes y subvariantes formales	59
4.1.1.2. Rasgos morfológicos por estilo: vasijas de cocción oxidada	63
A. Estilo Lima	63
B. Estilo Chakipampa	65
C. Estilo Nazca	66
D. Estilo Mochica	66
E. Estilo Pachacamac	66
F. Estilo Viñaque	67
G. Grupo No Determinado	67
4.1.1.3. Rasgos morfológicos por estilo: vasijas de cocción reductora	72
A. Estilo Lima (cocción reductora)	73
B. Estilo Chakipampa (cocción reductora)	73
C. Estilo Viñaque (cocción reductora)	73
D. Grupo No Determinado (cocción reductora)	73
4.1.1.4. Comparación de dimensiones y características de elementos formales	75
4.1.1.5. Los cuerpos de las vasijas: el componente escultórico y las atribuciones a estilos	80
4.1.1.6. Definición de los rasgos tecnológicos	85
4.1.1.7. Rasgos tecnológicos por estilo: vasijas de cocción oxidada	86
A. Estilo Lima	86
B. Estilo Chakipampa	88
C. Estilo Nazca	89
D. Estilo Mochica	89
E. Estilo Pachacamac	89
F. Estilo Viñaque	90
G. Grupo No Determinado	91
4.1.1.8. Rasgos tecnológicos por estilo: vasijas de cocción reductora	95
A. Estilo Lima (cocción reductora)	95
B. Estilo Chakipampa (cocción reductora)	95
C. Estilo Viñaque (cocción reductora)	96
D. Grupo No Determinado (cocción reductora)	96

4.1.2. Decoración	97
4.1.2.1. Relación de diseños por estilo	97
4.2. Revisión de las formas cerámicas de la tradición Lima	97
4.2.1. Un examen retrospectivo de las categorías, subcategorías y elementos formales de la tradición cerámica de la costa central	98
4.2.2. Inferencias preliminares: nuevas consideraciones acerca del estilo Lima	104
4.3. Descripción de las piezas correspondientes a estilos definidos y los resultados del grupo No Determinado	107
4.3.1. Cocción oxidada: estilos definidos. Fines del Período Intermedio Temprano e inicios del Horizonte Medio (FPIT-IHM)	108
a. Piezas del estilo Lima	108
b. Piezas del estilo Chakipampa	109
c. Pieza del estilo Mochica	110
4.3.2. Cocción oxidada: estilos definidos. Etapa relacionada con el Período de Incurción Wari (E-PIW)	110
a. Piezas del estilo Pachacamac	110
b. Pieza del estilo Viñaque	111
4.3.3. Cocción oxidada: grupo No Determinado. Fines del Período Intermedio Temprano e inicios del Horizonte Medio (FPIT-IHM)	112
a. Formas nuevas del estilo Lima	112
b. Piezas del estilo Nievería	115
c. Piezas posiblemente del estilo Lima	118
d. Piezas posiblemente del estilo Nievería	119
e. Piezas posiblemente del estilo Lima o Nievería	119
f. Pieza de estilo no identificado	120
4.3.4. Cocción oxidada: Grupo No Determinado. Etapa relacionada con el Período de Incurción Wari (E-PIW)	120
a. Piezas del estilo Nievería E-PIW	120
b. Pieza posiblemente del estilo Nievería E-PIW	121
c. Piezas de estilo no identificado	121
4.3.5. Cocción oxidada: Grupo No Determinado. Etapa relacionada con el Período Posincursión Wari (E-PPIW)	121
a. Piezas del estilo Nievería E-PPIW	121
4.3.6. Cocción reductora: estilos definidos. Fines del Período Intermedio Temprano e inicios del Horizonte Medio (FPIT-IHM)	122
a. Piezas del estilo Lima	122
b. Piezas del estilo Chakipampa	122

4.3.7. Cocción reductora: estilos definidos. Etapa relacionada con el Período de Incursión Wari (E-PIW)	122
a. Pieza del estilo Viñaque	122
4.3.8. Cocción reductora: Grupo No Determinado. Fines del Período Intermedio Temprano e inicios del Horizonte Medio (FPIT-IHM)	122
a. Formas nuevas del estilo Lima	122
b. Pieza del estilo Nievería	123
c. Pieza posiblemente del estilo Lima o Nievería	123
d. Pieza posiblemente importada del estilo Mochica Polícromo	123
4.3.9. Cocción reductora: Grupo No Determinado. Etapa relacionada con el Período de Incursión Wari (E-PIW)	123
a. Pieza del estilo Nievería E-PIW	123
b. Piezas de estilo no identificado	123
4.3.10. Cocción reductora: Grupo No Determinado. Etapa relacionada con el Período Posincursión Wari (E-PPIW)	124
a. Pieza de estilo Nievería E-PPIW	124
4.3.11. Cocción reductora: Grupo No Determinado. Piezas sin atribución estilística	124
4.4. Resumen y discusión de los resultados obtenidos	124
<b>Capítulo 5. Aplicación de los resultados del análisis</b>	130
5.1. La asociación de vasijas en los lotes de contextos funerarios de Catalina Huanca y el Conjunto Tello	130
5.2. La cerámica analizada y las fases del estilo Lima de Thomas C. Patterson	131
5.3. Los estilos Lima y Nievería: nuevos planteamientos	133
<b>Conclusiones</b>	138
<b>Referencias</b>	140
<b>Apéndices</b>	
Apéndice 1. Relación de vasijas del universo correspondientes a estilos definidos y no definidos	
Apéndice 2. Dimensiones de las piezas del universo	
<b>Figuras</b>	



## Introducción

Dentro de la problemática que constituye la comprensión del Horizonte Medio en la costa central del Perú tiene un papel de importancia la definición de la cerámica de estilo Nievería, hecha por parte de Dorothy Menzel (1964), quien describió, de manera general, sus rasgos morfológicos, tecnológicos y decorativos y que explicó en forma de innovaciones de inspiración local y foránea, así como producto de influencias no locales. En lo que respecta a cada uno de esos ámbitos, no hubo parámetros precisos para atribuir determinadas vasijas a este singular estilo con seguridad, lo que se advierte en la literatura en forma de interpretaciones muy dispares, de parte de investigadores posteriores hasta la actualidad, en las que uno (o más) de esos rasgos primaba sobre el resto. Su relación posterior con respecto de la secuencia cronológica lima también pasó por un cambio en el transcurso de dichos estudios, pero la ambigüedad en la interpretación de sus características subsistió. Además de ello, sus observaciones comprendieron no solo a las piezas del estilo Nievería sino a las vasijas asociadas a estas.

Con el fin de revisar los rasgos previstos por Menzel se tomó como corpus de estudio una muestra de más de 300 vasijas enteras procedentes de tres sitios del valle medio del Rímac: piezas de la Colección Uhle del Cementerio de Nievería, las recuperadas por la Misión Arqueológica Italiana en el Conjunto Julio C. Tello de Cajamarquilla, ubicados en el margen derecho del valle, así como la Colección Stumer de Catalina Huanca, complejo monumental situado en la margen izquierda. Parte de estas piezas fueron observadas por Menzel para su análisis. Como hipótesis se plantea aquí que este estilo, debido a los componentes foráneos y locales reconocidos por esta investigadora, así como a otras características presentes en las piezas asociadas, tuvo que tener fórmulas de composición formales y decorativas definidas, y predeterminadas por medio de una convención —o serie de estas—, y se trazó como objetivo alcanzar las precisiones necesarias a la luz del estado actual de conocimientos.

La presente tesis se conforma de cinco capítulos. El capítulo 1 introduce al lector en los antecedentes, el alcance espacial de la cerámica reconocida como del estilo Nievería y presenta los diversos aspectos en que consiste su problemática sobre la base de los trabajos de siete investigadores (o conjunto de investigadores): los contextos en los que se le ha encontrado, la falta de consenso respecto de la nomenclatura de las categorías formales, los estilos involucrados, la tecnología, la morfología de las piezas atribuidas a este estilo, los períodos determinados, entre otros. Asimismo, se expone el marco relativo y absoluto actual; dentro de este se considera la revisión de la secuencia del Horizonte Medio planteada por Menzel elaborada por Joerg Haeblerli. Esta secuencia —que se apoya en fechados radiocarbónicos calibrados— contiene tres períodos provisionales que sirvieron de referencia cronológica. Por último, se exponen los objetivos de la investigación.

La carencia de información contextual más precisa de los materiales que sirvieron para definir el estilo Nievería fue uno de los aspectos que se trató de absolver en la mayor medida posible. Casi todo el material de estudio procede de contextos funerarios, por lo que los capítulos 2 y 3 tratan de los detalles contextuales que se pudo obtener por medio de diversas fuentes en relación con los tres sitios mencionados. El capítulo 2 abarca los trabajos realizados en el Conjunto Julio C. Tello de Cajamarquilla y en el del Cementerio de Nievería debido a su proximidad geográfica. También sirven, como fuente complementaria, los trabajos de otros autores para conseguir el objetivo de ubicar espacialmente los contextos, obtener más datos estratigráficos y, en el caso del Cementerio de Nievería, el del sitio en sí. El capítulo 3 trata del sitio de Catalina Huanca y los entierros hallados por Louis Stumer. Al final de estos dos capítulos se enumeran los conjuntos de piezas correspondientes recuperados y se describe su relevancia en cuanto a si comprenden lotes completos o incompletos respecto de contextos funerarios, o si carecen de información contextual. Asimismo, se ordenó la información de estos contextos con relación a las estructuras funerarias, el tratamiento del individuo y los objetos asociados.

El capítulo 4 es el más extenso pues trata del análisis del corpus reunido de las tres colecciones en tres aspectos tratados de manera exhaustiva: la morfología, la tecnología y la decoración. En primer lugar, recurriendo a las fuentes posibles, se pudo atribuir una cantidad de vasijas a varios estilos tanto de la época 1 del Horizonte Medio (contemporánea con el fin del Período Intermedio Temprano) como de la 2, en tanto también se pudo segregar un amplio grupo en las que su forma y decoración no podían conciliarse para poder atribuirlos a un estilo en particular. Esto tuvo como finalidad no asignar a priori como del estilo Nievería a las vasijas de este conjunto. También se expone aquí una consideración acerca de las formas de la tradición cerámica de la costa central sobre la base de estudios recientes y el estado actual de conocimientos, lo que sirve como punto de apoyo para deslindar y segregar estilos en donde no fue posible hacerlo en primera instancia.

Antes de exponer las conclusiones, en el capítulo 5 se aplican, en primer lugar, dichos resultados a los contextos funerarios cuyos lotes fue posible reunir tanto de manera completa como incompleta con el fin de observar la información brindada por las asociaciones. Este es el caso de un número de contextos de Catalina Huanca y un grupo menor de ellos recuperados por la Misión Arqueológica Italiana. Del mismo modo, se exponen las relaciones del material analizado con las fases tardías de la secuencia del estilo Lima, definida por Thomas Patterson; por último se hace una discusión sobre los alcances del presente trabajo respecto de los estilos Lima y Nievería.

## CAPÍTULO 1

### ANTECEDENTES Y PROBLEMÁTICA DEL MATERIAL DE ESTUDIO

#### 1.1. Preámbulo: el estilo Nievería de la costa central del Perú

Hasta la década de los ochenta del siglo XX pocos fueron los trabajos arqueológicos que contenían definiciones precisas del reconocimiento de una cerámica «especial» en el registro arqueológico de la costa central en el Período Intermedio Temprano. Si se revisa la literatura pertinente desde tiempos de Max Uhle, se podrá advertir que estas determinaciones fueron hechas en tanto se encontraron tiestos o vasijas de los estilos Lima, Nievería y otros del Horizonte Medio asociados, juntos o, por lo menos, en las mismas áreas, locaciones o sitios que han merecido la atención de los investigadores, de manera que sus análisis abarcaron estos materiales en su conjunto y su singularidad ha tenido que inferirse, casi únicamente, del contraste de sus características en el corpus manejado por cada investigador. Este panorama comenzó a cambiar conforme se dio una mayor cantidad de estudios a partir de la década de los noventa del mismo siglo.

Los primeros ejemplares de dicha cerámica especial fueron hallados por el propio Uhle como parte de sus intervenciones en el Cementerio de Nievería, ubicado muy cerca del sitio de Cajamarquilla (*cf.* cap. 2; Valdez 2010) y empleados, en parte, por Dorothy Menzel (1964), como parte de su definición. Si bien se sabe, y se reclama, que varias de las definiciones de los estilos cerámicos Lima y Nievería carecen de contextos y datos estratigráficos seguros y concluyentes, las revisiones acerca del tema y comparaciones con los materiales publicados no han tenido un carácter exhaustivo, incluso si se tiene en cuenta que el enfoque de los trabajos de la Escuela de Berkeley tuvo como base las asociaciones en los lotes de tumbas (Kaulicke 2001: 343, 347; Segura 2004: 100; Shady 1982: 19; Guerrero y Palacios 1994: 275; Lumbreras 2005: 298). El número de vasijas enteras empleadas fue relativamente pequeño, en su mayoría procedentes de una especie de «núcleo» —el valle medio del Rímac—, razón por la cual varios investigadores sostienen que el origen del estilo Nievería se ubica en esta zona (Shady 1982: 18; Guerrero y Palacios 1994: 276; *cf.* Kaulicke 2001: 326).

#### 1.2. Alcance de la cerámica del estilo Nievería según la literatura e investigaciones recientes

Del trabajo de Shady (1982: 21), entre otros autores, es de destacar la información acerca del alcance de la cerámica de estilo Nievería o de la «vinculada» a él. Hoy en día es claro que se pueden encontrar en los complejos monumentales y residenciales lima dispersos en la costa central, pero el aporte de

Shady recogió los datos acerca de su distribución. De su trabajo se pueden mencionar, desde la parte baja del Rímac, los sitios de Maranga, Huaca Puellana, Limatambo (según Villar Córdoba, citado en Kaulicke 2001: 326), Makat-Tampu y Potrero Tenorio (este último ya desaparecido; Julio Abanto, comunicación personal 2011); en el valle medio están Mangamarca, Cajamarquilla, el Cementerio de Nievería —y en la misma área Huaca Trujillo y Pirámide Nievería (Silva 1992)—, además de Catalina Huanca (Vista Alegre), en la otra margen del río. En el valle alto se hallaron evidencias de «cerámica Nievería y fases tempranas de Huari» en Calancancha, cerca de Huanza (Kaulicke, citado en Shady 1982: 17), así como en las comunidades de Chaclla, Collata (Cárdenas, citada en Shady 1982: 17) y en el poblado de San Pedro de Casta, todos en la provincia de Huarochirí. Kaulicke (2001: 326), citando a Villar Córdoba (1935: 309-310) y Farfán (1995: 57-59, fig. 21A), menciona la existencia de «cerámica muy fina» en la sierra de la provincia de Canta. Hacia el norte se han registrado fragmentos nievería en los alrededores de entierros saqueados en el sitio de Copacabana, de la misma manera que se encontró material de este tipo, aunque por medio de excavaciones controladas, en contextos funerarios de Ancón (Ravines 1979), así como fragmentería recuperada por Ravines en el área de Miramar (Patterson, citado por Shady 1982: 18) y Chuquitanta, Márquez, Pro, Collique, Chocas y Macas (Villar Córdoba 1935: 388). Por otra parte, dicha autora menciona el hallazgo de piezas de este estilo rescatadas de huaqueros en los valles de Chancay, Huaura y Supe-Pativilca, así como un fragmento del sitio de Huaricoto, en el Callejón de Huaylas, Áncash. Hacia el sur están los hallazgos de Pachacamac, en el valle de Lurín (Gayton 1927: *plate* 97). Hay una referencia a una botella de este estilo procedente del valle de Ica, en la costa sur (Menzel 1964: *plate* VI, fig. 17). Según las investigaciones recientes, se sabe del hallazgo de piezas enteras del estilo Nievería en contextos funerarios mochica en el sitio de San José de Moro (Castillo 2001: fig. 17, *inter alia*), de fragmentos registrados en el sitio del Castillo de Huarmey (Walter Tosso, comunicación personal 2011), de parte de una botella de doble pico escultórica, con la forma de una serpiente felinizada en el sitio de Chinchawas (ambos en el departamento de Áncash; Lau 2010: 261), así como escasos tiestos en Huari, en la sierra central (Knobloch 1991b).

### **1.3. Problemática del material de estudio**

Con el objeto de obtener un panorama actual del estado de los conocimientos considero como punto de partida la revisión de los estudios estilísticos y planteamientos de Anna Gayton (1927), José Fernández Sotomayor (1960), Dorothy Menzel (1964), Ruth Shady (1982), así como las investigaciones de Daniel Guerrero y Jonathan Palacios (1994), Rafael Segura (1999, 2001, 2004) y José Ccencho (2001, 2006; Ríos y Ccencho 2009; Barreto *et al.* 2010) en relación con los aspectos enumerados a continuación y se seguirá un orden cronológico: a) la determinación de contextos y las inferencias corológicas, sociales y políticas; b) los estilos involucrados y el tratamiento de la morfología, la terminología y la tecnología, y c) las propuestas cronológicas.

### 1.3.1. La determinación de contextos y las inferencias corológicas, sociales y políticas

Hasta la fecha, la procedencia, contextos o áreas de actividad específicas de los conjuntos cerámicos relacionados con el estilo Nievería son, por un lado, en su mayoría inexistentes o muy poco precisados, mientras que los mejor documentados contextualmente y/o publicados constituyen excepciones. La gran parte procede del valle medio (Uhle 1910; Gayton 1927; Menzel 1964; Shady 1982; Guerrero y Palacios 1994) y bajo del Rímac (Jijón y Caamaño 1949; Fernández Sotomayor 1960; Palacios y Guerrero 1992, 1994; Ccencho 2001, 2006; Flores 2005; Ríos y Ccencho 2009; Barreto *et al.* 2010), aunque también se han documentado materiales procedentes de Ancón (Ravines 1977; Menzel 1964: 32).

En su momento, Gayton (1927: 306) señaló que parte del total de las piezas cerámicas enteras que analizó en su trabajo (148) correspondían a 34 contextos funerarios del Cementerio de Nievería que fueron excavados por Uhle, pero no presentó detalles de los tipos de estructuras, el tratamiento de los individuos o la estratigrafía. Sin embargo, de sus conclusiones se puede rescatar que, gracias a la información de los pocos lotes de objetos asociados, había una «extraña presencia de los rasgos A y D en la misma tumba [lo que] no indica una diferencia temporal entre modas [*modes*]. El hecho de que haya tumbas en un sitio con objetos del mismo tipo género [*genre*] pero diferente calidad sugiere que dichas tumbas *representan ofrendas funerarias de dos estratos sociales económicamente diferentes más que dos períodos estilísticos distintos*» (Gayton 1927: 326; traducción del autor).

El trabajo de Fernández Sotomayor (1960) no especificó la procedencia precisa de los materiales cerámicos del Conjunto Maranga («Aramburú-Maranga», según dicho autor), pero, por tratarse de fragmentos, pudieron ser de rellenos arquitectónicos. Por su parte, Menzel (1964: 32) se limitó a lo expuesto en las publicaciones y a observaciones propias de los trabajos en Catalina Huanca, por lo que los materiales examinados por ella corresponden a un segmento muy reducido de los objetos recuperados por Uhle, Stumer (unos 50 contextos funerarios ubicados en un «área adyacente al montículo principal», sin mayor precisión espacial, *cf.* Stumer 1957: 274) y González e Iriarte en Ancón (al menos 10 contextos funerarios con individuos también en posición extendida [1964: 32]). Su propuesta estaba en el marco del planteamiento de seriación estilística para el Horizonte Medio (ver más adelante).

Menzel (citando a Uhle, 1964: 31) y Patterson (1966: 113, 117) avanzaron un poco más en el sentido de que mencionaron que los individuos estaban en posición extendida y colocados en camillas, pero este último investigador postuló que durante el Período Intermedio Temprano 8 (ver cap. 2, acápite 2.3.1), había dos tipos de entierro, cada uno con uno o dos individuos como máximo: a) un grupo mayoritario en el que se enterraba al individuo con pocas o ninguna vasija y b) un grupo en el que, si

había vasijas, asociadas, eran una o dos utilitarias. Según Patterson, de este segundo tipo había una gran cantidad en Nievería y con un número grande de objetos asociados y vasijas, no todas utilitarias, de lo que dedujo que existió un «reducido» *grupo de elite* en la costa central del Perú a fines del Período Intermedio Temprano, algo que se podía extender a los entierros que descubrió Stumer en Catalina Huanca, donde el número de vasijas por lote era mucho mayor en varios casos (Patterson 1966: 117; traducción y énfasis del autor).

Del trabajo de Shady (1982) tampoco se pueden obtener referencias contextuales más específicas, ya que se limitó a la información de la literatura anterior a su propia publicación, además de presentar una tipología de las piezas de este estilo y de las relacionadas. La numerosa cantidad de vasijas analizadas —N=387, según lo señalado por la autora (1982: 21), de las que se ilustraron 82 como especímenes de ejemplo— constituye un aporte importante debido a que el corpus abarcado —que incluía colecciones que eran resultado de proyectos arqueológicos— deja apreciar más características morfológicas y decorativas en comparación con las muestras reducidas utilizadas por otros estudiosos. No obstante su tipología carece de sistematización, planteó (1982: 19) que hubo una interacción entre sociedades diversas, causada por una fuerte actividad económica desde la época 7 del Período Intermedio Temprano y la época 1B del Horizonte Medio, y que ese fue el marco para que surgiera el estilo Nievería sobre la base de la tradición Lima con la incorporación de los estilos de las «naciones» que interactuaron.

Por su parte, Guerrero y Palacios (1994) hallaron materiales respectivos en sitios del valle medio del Rímac (El Vallecito, Huachipa y Huampaní, *cf.* Guerrero y Palacios 1994: figs. 1, 2, 69a, 69b). En este trabajo se obtuvo un acercamiento mayor a los aspectos contextuales. El primero, El Vallecito, se compone de una aldea, sectorizada para los fines de la investigación. En su plano —hecho a base de una fotografía aérea, como en el caso de los otros sitios— se percibe cierta regularidad en su trazo reticulado pero no una diferenciación social. Los materiales, que consisten de tiestos, provienen en su mayoría de basurales (sectores B y C, viviendas), relleno en plataformas (sector A) y un área de pequeñas dimensiones no definida por estar muy disturbada (sector F), si bien, además, hay un sector (D) que sugiere una plaza.

En el segundo caso, Huachipa, el material procedía de conjuntos de contextos funerarios asociados a pequeños asentamientos dispersos en la llanura —es decir de la antigua área agrícola de las haciendas Huachipa y Nievería, y actual zona de extracción de adobes—, cada uno con un promedio de 20 a 30 individuos enterrados en cuclillas (flexionados sentados), ubicados en fosos simples excavados en el terreno y asociados a dos o tres vasijas. En total había más de 150 vasijas enteras (Guerrero y Palacios 1994: 294). Dichos núcleos habitacionales estaban regularmente espaciados.

Del conjunto Huampaní, una aldea similar a El Vallecito, ubicada a 10 kilómetros de este, pero de organización más compleja (Guerrero y Palacios 1994: 294), los materiales consisten de piezas colocadas en los contextos funerarios del cementerio asociado. Las estructuras funerarias se conforman de cistas de piedra, con algunos individuos dispuestos en forma flexionada (sentada, según Jonathan Palacios, comunicación personal 2012) y objetos asociados alrededor del cuerpo. El total de las vasijas obtenidas de este lugar fue de 35 especímenes. De este yacimiento sí se mencionan algunos contextos funerarios en sus asociaciones respectivas (entierros 1 a 3). Entre otras inferencias, al comparar con el trabajo de Patterson (1966) en lo referente a los distintos *wares* identificados para la secuencia del estilo Lima, los autores dedujeron que cada valle tenía talleres de producción diferentes y diversas fuentes de abastecimiento de materia prima (Guerrero y Palacios 1994: 306). A partir de los hallazgos mencionados y comparaciones con materiales finos del sitio de Macas, valle del Chillón, y otros en el sitio de Maranga por parte de Pinilla (1983) —en un conjunto en el que no había decoración foránea—, estos autores propusieron que el estilo Nievería se originó «local y progresivamente *a partir de las interrelaciones de la costa central con otras áreas culturales y no necesariamente como consecuencia de la abrupta llegada de influencias externas que impusieron sus patrones culturales*» (Guerrero y Palacios 1994: 308; el resaltado es del autor). Para comprobar esto, los autores (1994: 276) señalaron que tomaban en cuenta el «hecho reconocido que el centro de origen y desarrollo de dicho estilo se encuentra en el valle del Rímac, así como del supuesto que uno de los centros o focos en el mismo valle debió ser Cajamarquilla y área circundante, dada la gran concentración y variedad de cerámica Nievería ahí recuperada».

El equipo del Proyecto Arqueológico Cajamarquilla (PAC) excavó en el Conjunto Julio C. Tello (temporadas 1996 a 1999), en el que trabajó la Misión Arqueológica Italiana (MAI) previamente, y se determinó la secuencia constructiva además de realizarse diversos hallazgos (Mogrovejo y Segura 2001: 567-568). Como parte de esa secuencia, la fase C1 comprendió la construcción de una primera pirámide —a la que antecedieron varios pisos y recintos en diversas partes del complejo— y a su clausura y preparación de una nueva estructura principal, junto con otros recintos y depósitos (fase CII), se asoció un patio de forma trapezoidal con un camino epimural dispuesto de manera perpendicular al frontis principal suroeste. En esta área había una serie de pozos poco profundos «que contenían restos orgánicos y numerosos fragmentos de cerámica de estilo Lima Tardío o Maranga, mezclados con tiestos menos numerosos de estilo Nievería» (Mogrovejo y Segura 2001 [2000]: 572), algo que se asemejaba a los contextos de cerámica quebrada en el sitio de Pacheco (*cf.* Yacovleff, citado por Menzel 1964: nota 111). Segura utilizó estos materiales para su tesis de licenciatura, con lo que definió una serie de procesos locales de producción de chicha, así como diversos grupos en forma de «una unidad relativamente homogénea de producción y de varias unidades de consumo» (Segura 1999: 128).

Por su parte, la documentación del Proyecto Huaca Pucllana —complejo monumental del valle bajo— es minuciosa gracias a una serie aproximadamente continuada de trabajos desde 1967 (Flores 2005: 17). Hasta el momento se han definido tres fases constructivas (I, II y III) del edificio principal, de donde se han hecho las interpretaciones respecto a una secuencia. Sin embargo, como señala Flores (2005: 56), «[e]xisten problemas respecto a las fases I y II en las cuales se tiene dificultades en la interpretación por encontrar poco material cultural, ya que una de las características resaltantes en ellas es la limpieza de los rellenos, así como la escasa o nula evidencia sobre los pisos». En la parte sur se ubicó «una pequeña plataforma funeraria y depositario de ofrendas [...] las excavaciones han permitido definir que esta parte de la pirámide funcionó como un cementerio de *personajes de elite*» (Flores 2005: 39; el resaltado es del autor).

Ccencho (2006: 19) indica que el material cerámico (Flores 2005: 57; *cf.* más adelante) aparece en forma de dos ofrendas de cerámica en los rellenos de la fase constructiva I —que utiliza la tapia como elemento constructivo y relleno de bloques de barro y cantos rodados (Flores 2005: 57; Flores *et al.* 2012: 15). Consistía de un cántaro mamiforme de la fase Lima Medio y otro en alfar Pucllana Gris, probablemente también de esa fase. Estos contextos estaban sellados por construcciones de la fase I (Lima Medio), las que, a su vez, lo estaban por construcciones de la fase III (Lima Tardío) (José Ccencho, comunicación personal 2012).

En la fase II se emplearon adobes cúbicos (Flores 2005: 54) y paralelepípedos cuadrangulares (Ccencho 2006: 19) y rectangulares (Flores 2005: 54; Flores *et al.* 2012: 15). Conviene citar aquí los postulados de Joaquín Narváez (2006), quien planteó, sobre la base de las observaciones de Jijón y Caamaño en la Huaca Middendorf del Complejo Maranga —publicadas en 1949—, que las fases constructivas se dejan caracterizar por el tipo de adobes que las conforman y sirven como elementos de diferenciación arqueológica. Así, la arquitectura temprana consiste de adobitos «odontiformes» y de muros de tapia; en la segunda fase los adobitos son cúbicos y se disponen en hileras sucesivas, y su cerámica asociada es de las fases Lima 4-5 (lo que corresponde a «la parte final del Período Intermedio Temprano»; Narváez 2006: 127). La fase posterior a esta se compone de adobitos paralelepípedos cuadrangulares, dispuestos en la técnica del librero, y corresponderían a Lima 9 y Nievería de la época 1A del Horizonte Medio. Según Narváez (2006: 127), es la etapa de mayor complejidad en las pirámides lima tanto en Maranga como en Pucllana (*cf.* perfil de las fases constructivas de Pucllana en Flores 2005: 55, figura sin número, donde se aprecia el gran volumen de la fase III).

En la fase II de Pucllana resalta el hallazgo de los contextos funerarios de un adulto de sexo masculino, dos de sexo femenino y cuatro niños en la parte sur del edificio principal, enterrados hacia el final de la fase, antes de rellenar la arquitectura (Flores 2005: 74-75). Los adultos estaban dispuestos



en posición decúbito dorsal en camillas de cañas en las que el cuerpo del individuo está sujeto por soguillas, mientras que los infantes también estaban extendidos y envueltos en vegetales a modo de un paquete alargado (José Ccencho, comunicación personal 2012). Es interesante, por un lado, la anotación de la autora con respecto a que esta parte sirvió como cementerio «probablemente al final de la fase Lima Medio (antes del 500 d.C.). Es probable que los miembros de la elite sacerdotal tuvieran el privilegio de enterrarse en la pirámide y a la vez sirvieran como una ofrenda al sitio» (Flores 2005: 39). En esta fase no hay evidencias del alfar Pucllana Nievería; el material asociado corresponde a fragmentos y solo había una vasija fragmentada en alfar Pucllana Marrón en uno de los entierros (José Ccencho, comunicación personal 2012).

Por otro lado, más contextos funerarios fueron hallados en esta área. Se trataba de tres entierros dobles (José Ccencho, comunicación personal 2012), en los que, «además del individuo principal enterrado en la camilla se halla otro sentado al costado o sobre aquél, cumpliendo una función de acompañante» (Flores 2005: 78). Corresponden a la fase IIIb, y dos de sus vasijas asociadas son del estilo Nievería y otras son típicas del estilo Lima Tardío (Ccencho 2006: figs. 4, 5; José Ccencho, comunicación personal 2012). Como se refirió antes, según Isabel Flores, estos contextos funerarios, además de otros ubicados en la parte sur, enterrados en un patrón muy similar pero asociados con vasijas en miniatura y fragmentos de dumorterita, en su conjunto ubicados en el edificio monumental, son interpretados como *parte de una elite*, si bien es cierto que para ello no hay mayor evidencia así como tampoco es posible atribuirles alguna función en las actividades del centro ceremonial (Flores 2005: 75). Su asociación a diversos objetos habría definido las jerarquías al interior de esta, que podrían definirse por la «*posesión de determinados productos considerados valiosos*» (Flores 2005: 75; el resaltado es del autor). En la fase III, que tiene una subdivisión (IIIa, IIIb, esta última más tardía), el asentamiento aumentó en sus dimensiones, con una mayor expansión al noroeste, y está asociado a cerámica de las fases 7, 8 y 9 del estilo Lima y de Nievería. En esta fase se utilizaron adobes paralelepípedos rectangulares, cantos rodados y arena en los rellenos (Flores 2005: 35-36, 54). Se concentró en la zona de la Plataforma I, ubicada en la sección norte del montículo principal. Ccencho (2006) profundizó en el estudio del denominado alfar Pucllana Nievería; los materiales analizados (2250 fragmentos y dos vasijas completas) proceden de las temporadas 1982 a 2000, y corresponden a rellenos constructivos, basura sobre piso de la fase III y las vasijas asociadas a los entierros dobles mencionados. Por otro lado, hay más contextos funerarios que corresponden a individuos de sexo femenino sacrificados, por lo general mutilados, algunos de ellos en posición decúbito ventral. Para Ccencho (2006: 33), «el análisis del Alfar Pucllana Nievería nos señala la existencia de alfareros especializados que fueron encargados de producir vasijas para las ceremonias usadas por la elite de la sociedad. Los gobernantes, que debieron ser sacerdotes, están incorporando nuevas tecnologías para que dichos artesanos elaboren vasijas que causen prestigio». De manera hipotética, planteó que:

«Antes de la presencia del estilo Nievería, la sociedad empieza unos cambios acelerados que se manifestarían en la reorganización de la producción de la vajilla de elite y en el aumento del trabajo corporativo. ¿Será esta una respuesta a un movimiento político-religioso que estaba surgiendo en el sur del Perú? Aparentemente, este movimiento originó una crisis en el aparato gubernamental resuelta por una fuerza que tomó el poder, el cual es más flexible a dicho movimiento político-religioso sureño, y probablemente estaba de acuerdo con la necesidad de hacer cambios drásticos en la sociedad» (2006: 33).

Por último, de manera reciente (Ríos y Ccencho 2009; Barreto *et al.* 2010), se ampliaron los conocimientos respecto a los contextos arqueológicos en las plataformas IV y V (de la misma fase III) de Pucllana. El primer trabajo señaló una ocupación continua en la plataforma IV durante las épocas 1A y 1B del Horizonte Medio «sin ningún tipo de interrupción» (Ríos y Ccencho 2009: 95) por medio de la arquitectura y evidencias asociadas. Se identificaron tres etapas constructivas, las que, a su vez, se componen de momentos constructivos; su diferencia mayor está en la conformación de los espacios: a) la primera consiste de recintos de accesos restringidos, muros con evidencias de remodelaciones; por sus características parece ser una construcción de carácter ceremonial; b) la segunda etapa consiste de una gran plaza sin banquetas y con enlucidos pintados; al parecer, sus actividades no cambiaron respecto de la etapa anterior; c) la tercera etapa tuvo espacios diferenciados en los que habrían estado dos grupos, uno de mayor jerarquía (una elite) y que se habría emplazado en una plataforma, mientras el otro lo hacía en una plaza. En estas etapas se encontraron tiestos de cerámica de los estilos Nievería (Temprano) y Lima. El aspecto más importante es que las actividades ya no tienen tanto carácter «sacro» como en las anteriores etapas. Por otro lado, existe también una cuarta etapa constructiva, de la que solo queda un fragmento de piso, previo a un relleno de cantos rodados y arena gris, y en el que había tiestos con «clásicas decoraciones Nievería» por lo que se fecha a esta etapa en la época 1B del Horizonte Medio (Ríos y Ccencho 2009: 105). Según los autores, este constituye un marcador donde puede registrarse el momento en que ocurren, por primera vez, los contactos con grupos humanos ayacuchanos y que «las innovaciones manifestadas en la arquitectura como el cambio de la orientación de los recintos de gran importancia y la pérdida de las connotaciones sagradas se encuentran relacionados a momentos de transformaciones en el orden ideológico-político que se estaban desarrollando durante esta época» (Ríos y Ccencho 2009: 109).

Los autores citan a Shimada *et al.* (1991) en el contexto de alteraciones climáticas (sequía y períodos húmedos), pero que, sin embargo, no alteran la ocupación de Pucllana y solo se reducen a «simples condicionantes» en el proceso de transformaciones sociales (Ríos y Ccencho 2009: 115); por el contrario, se construyeron grandes montículos y se dieron innovaciones que habrían sido el resultado de la interacción a escala regional. En ese sentido, los montículos lima semejan la monumentalidad de sus pares de la costa norte y la cerámica fue colorida tal como en el sur, entre otras. Este proceso se habría iniciado a inicios de la época 7 del Período Intermedio Temprano, por lo que «la fuerte interacción producida en estos momentos habrían favorecido notablemente a la recepción y transmisión de nuevas tecnologías e ideologías» (Ríos y Ccencho 2009: 110).

En resumen, hay una pérdida del aspecto ceremonial de los centros urbanos lima y, como consecuencia, respecto a la cerámica, se advierte un énfasis en la producción de cántaros y ollas en las fases tardías a diferencia de los platos y vasos típicos de las fases tempranas. Ríos y Ccencho postulan que hubo un descontento contra la clase dirigente (sacerdotal) y que hay una mayor presencia de *nuevos grupos de artesanos* que se adhirieron al sistema productivo de la cerámica Nievería no solo en Pucllana sino en el valle medio del Rímac, lo que se debe entender como una respuesta a la demanda en el *incremento de las actividades rituales* además de una mayor producción de los otros alfares de tradición Lima (Ríos y Ccencho 2009: 110; el resaltado es del autor). Asimismo, sostienen que hubo una singularidad por presentar estas innovaciones en ciertos alfares, lo que explicaría que las vasijas rotas nievería son las que se encuentran usualmente en contextos de ofrendas en Pucllana, y que «el conocimiento de la tecnología de producción alfarera parece estar siendo manipulada por la clase sacerdotal, es posible que solamente los grupos de élite fueran los principales consumidores de la fina cerámica Nievería». Su prestigio explicaría su amplia distribución en diversas partes de los Andes en el Horizonte Medio 1A, una época en la que ya no hay una hegemonía de los sacerdotes, como sí la hubo antes en Lima Temprano y Medio. Mas adelante, sostienen que los «nuevos actores en la dinámica social de los centros urbanos tienen características más seculares y que éstas élites debieron estar relacionadas al usufructo de la producción del alfar Nievería» (Ríos y Ccencho 2009: 113), a lo que se añade,

«[L]os nuevos actores sociales al parecer son grupos de élites con características seculares o civiles, hipotéticamente pensamos debieron corresponder a grupos dedicados a las transacciones a largas distancias, pues estos constantemente debieron estar relacionados a las innovaciones tecnológicas e ideológicas que se estaban desarrollando en otras sociedades contemporáneas (Moche, Nasca, Recuay, etc.), además de otras organizaciones sociales ubicadas en las estribaciones andinas cercanas a la costa. En tal sentido, las nuevas influencias sureñas que se manifiestan en el Alfar Nievería Temprano posiblemente correspondan a resultados de alianzas emergentes, las nuevas normas establecidas por estos, debieron trascender los niveles estructurales [...]» (Ríos y Ccencho 2009: 115-116).

Ese prestigio se habría originado en la época 1A y habría permanecido hasta la época 2A del Horizonte Medio. Asimismo, por su asociación a esas vasijas, habría claras diferencias sociales en el tratamiento de los contextos funerarios que también habrían pervivido hasta la época 2A, según citan de otros autores, y, debido a ello, subrayan que muchas de esas otras inferencias se han hecho sobre la base de vasijas procedentes de contextos funerarios no intactos.

Por su parte, en el artículo de Barreto *et al.* (2010) se enfatiza el hallazgo de contextos funerarios dispuestos en el relleno de la última construcción efectuada en la plataforma V, fechada en el Horizonte Medio 1B. Los entierros eran parte del relleno de la última etapa constructiva y se les interpretó como sacrificios humanos. De hecho, muchos entierros en Pucllana forman parte de rellenos en este complejo y la mayoría de individuos estaban en posición decúbito ventral. Su número puede ser entre uno a seis por contexto. La arquitectura de esta plataforma pasó por varias remodelaciones,

de las cuales las dos últimas se relacionan con cambios en la cerámica asociada. Solo se halló cerámica del alfar Pucllana Nievería Tardío en la última etapa constructiva, no así en la anterior inmediata. Los autores señalan que las modificaciones arquitectónicas corresponden a «cambios drásticos que al parecer se estaban presentando entre los Lima y que al poco tiempo conllevaron al abandono del sitio» (Barreto *et al.* 2010: 60). Sin embargo, el aspecto religioso parece estar presente aún, lo que se comprueba por el sacrificio de dos individuos, uno de sexo femenino y el segundo de sexo masculino. El individuo masculino se encontraba sobre una camilla en posición decúbito dorsal y a 30 centímetros sobre él estaba la mujer, en posición decúbito ventral, extendido, con las manos cubriendo el rostro y el mentón. No tenía indicios de vestimenta. Al primer individuo se asociaban una olla con cuello sin decoración, que tenía un mate adentro y una cesta de junco, además de un mate con cañas en su interior. Sus textiles asociados también eran de una mejor elaboración que los asociados al individuo femenino. El varón presentaba lesiones como resultado de confrontaciones, mientras que la mujer tenía huellas de parto y signos de estrés ocupacional en las falanges, como resultado de actividad manual, probablemente textil. Según los autores, ambos fueron sacrificados ya que presentan lesiones como parte de una intencionalidad y no un accidente. Este evento fue parte del proceso de clausura de la plaza de la penúltima fase arquitectónica de esta plataforma.

### **1.3.2. Los estilos involucrados y el tratamiento de la tecnología, la morfología y la terminología**

Para los fines de los siguientes dos acápites se definieron dos etapas en la historia de los estudios que incluyeron aportes acerca de la «cerámica especial» de nombre Nievería, diferenciadas por el énfasis en su enfoque. En la primera (fase 1 [publicaciones desde 1927 a 1982]), en la que el estilo y la decoración son prevalecientes, están los trabajos de Gayton, Fernández Sotomayor, Menzel y Shady, mientras que en la segunda (fase 2 [de 1994 a 2006]), donde se trató con mayor rigor la tecnología — además de que se lograron mayores alcances en relación a los contextos arqueológicos— la conforman las investigaciones de Guerrero y Palacios, Segura y Ccencho.

El aspecto más útil del enfoque de los estudios de la fase 1 consiste en el reconocimiento progresivo de los diversos estilos que estaban involucrados y asociados en los contextos. El trabajo de Gayton fue determinante en términos de la segregación de los estilos —local y foráneos—, que componían los materiales recuperados por Uhle en el Cementerio de Nievería y que estaban guardados en el entonces Robert H. Lowie Museum of Anthropology de la University of California, hoy Phoebe Hearst Museum of Anthropology. Asimismo, distinguió, por primera vez, rasgos (*strains*) intraestilísticos al interior del estilo Proto-Lima (denominación por primera vez por parte de Uhle en su artículo acerca de la cronología de las culturas de Ica; *cf.* Uhle 1998 [1910]: 276); estos fueron separados de los materiales de los estilos Nazca Y (Gayton y Kroeber 1927: 26; un «equivalente» al estilo Chakipampa, determinado luego por Menzel [1964], si bien no de manera exacta pues, según se observa en las

ilustraciones [Gayton y Kroeber 1927: *plates* 12-17], este incluía rasgos formales y decorativos del estilo Nazca), y del Proto-Chimú (Mochica en la actualidad), además del Tiahuanacoide y Epigonal, reconocidos en Pachacamac por el mismo Uhle; el último se define como todo aquel estilo menos «elaborado» que sus antecesores (Shimada 1991 [ed.]: xxviii). Gayton se diferencia del resto de autores en esta fase porque incluye dentro de su estudio a las vasijas «monocromas» o sin decoración, mientras los otros investigadores llegan a sus conclusiones sobre la base de los diseños y decoración.

Mucho antes de la segunda fase, dos de los *strains* de Gayton, A y B, tenían una clara correspondencia con el concepto de alfar que actualmente se maneja en los análisis ceramológicos (Segura 1999: 93). El *Strain A* de Gayton («*one of red ware*», 1927: 307) corresponde, en parte, por su decoración al Maranga A de Fernández-Sotomayor, al concepto de Lima Tradition manejado por Dorothy Menzel en su conocido trabajo de 1964, y al estilo Lima, determinado luego por Thomas Patterson en 1966 y que adoptaron posteriores investigadores. Se destaca en Gayton la incidencia en el reconocimiento de los colores de las pastas y características formales y decorativas de la tradición local, Proto-Lima. Del mismo modo, y aunque consideró sus «períodos» de forma diacrónica (Maranga A, B y C), Fernández-Sotomayor logró reconocer rasgos estilísticos diferenciados, varios de ellos con mayor énfasis en las pastas utilizadas, lo que probablemente se debe a que contó, en gran parte, con fragmentos, como se advierte en sus ilustraciones.

Segura (1999: 95-96) correlacionó los períodos planteados por Fernández-Sotomayor con los estilos Lima y Nievería. Maranga A (asociada a adobes aproximadamente cúbicos) se relaciona con las fases 6 a 9 de Patterson (por el predominio de determinadas versiones del diseño Interlocking). Destaca cerámica monocroma de diversos colores (negro, rojo, amarillo, siena y anaranjado brillante). Maranga B se asocia a adobes paralelepípedos y a las fases 8-9 de Lima y Nievería —debido a la decoración moche, huaylas [recuay] y nazca según la propuesta posterior de Menzel— con rasgos más fuertemente lima. En el grupo B-1 las formas incluyen jarras con gollete, base plana y asa cintada, cancheros de borde redondeado, cuerpos en forma de cucurbitácea, «fuentes» y cántaros escultóricos. Aquí incluye «con reservas» a la cerámica ordinaria (Fernández-Sotomayor 1960: 245), la que tiene diseños del período anterior. En el grupo B-2 hay más vasijas escultóricas. Su pasta es más clara y brillante que en la etapa previa, «de plásticos más puros y [...] mejor textura» (Fernández-Sotomayor 1960: 244). Entre las formas mochica están el asa-estribo, asas tubulares (los que pueden ser fragmentos) y algunas formas escultóricas, mientras que en las formas nazca están las teteras y «formas lenticulares biconexas» (Fernández-Sotomayor 1960: 245). Con respecto a Maranga C, lo relaciona con Nievería con rasgos Lima y rasgos de estilos de la costa y sierra sur, si bien se hacen «más patentes las relaciones con Mochica-Chimú y Huaylas» (Fernández-Sotomayor 1960: 246). Destaca la mención del «hallazgo de cerámica genuina de Ayacucho [...] [que] hace pensar en un estrecho intercambio con la Sierra Central» (Fernández-Sotomayor 1960: 246). El grupo C-1 se

caracteriza por su decoración vermiforme y plectógena, pasta clara, rosada y cremosa, finamente pulida. También hay diseños Interlocking y de felinos, arácnidos, entre otros. Asimismo, sobresalen influencias «chimú» como los huaco-retrato, cántaros antropomorfos con asa tubular y pico. También hay vasijas de cocción reductora, con decoración en relieve, así como vasijas «de hemisferios bi-conexos» con doble gollete cónico unidos por un asa puente plana. El grupo C-2 contiene motivos del estilo «Ayacucho» (nombre tomado probablemente del artículo de Bennett [1953: 75]) como el *Rose Bud* (y su forma simplificada), la Flor de Lys, los chevrones, entre otros. Entre sus formas están el vaso en forma de lira, aunque en muy poca cantidad. En el grupo C-3 aparecen los motivos huari-tiahuanacoides de tipo polícromo. Entre sus formas están botellas de gollete cónico y también de «cabeza gollete» (con decoración Maranga [Fernández-Sotomayor 1960: 246]), así como keros. Por último, señala en este grupo la presencia de vasijas de mayor tamaño (tinajas, ollas, urnas) y que «con este último período desaparece la cerámica Maranga, no se observa un desarrollo posterior, este hecho coincide con el abandono que se hace de las edificaciones de Aramburu-Maranga» (Fernández-Sotomayor 1960: 248).

Una lectura más cuidadosa del breve texto de Menzel (1964: 32-33), de solo dos páginas, proporciona no solo nociones más claras de los componentes de la cerámica nievería, sino también de otras piezas asociadas en contextos funerarios a las de este estilo y las imitaciones de vasijas de otras tradiciones (si bien no se entiende que estas sean parte del estilo en cuestión). La Fig. 1.2 muestra un ordenamiento de esta información. Aunque las notas de pie de página proporcionan la fuente citada, muy pocas de sus observaciones están ilustradas en el mismo volumen (por ejemplo, véase Menzel 1964: fig. 17). Según Segura (1999: 93), en su artículo define la pasta representativa de este estilo como un alfar, al igual que Gayton: «*Much of the Nievería pottery is distinguished by its fine grained paste with little temper, its thinness (much of it only 2 millimeters in wall thickness, according to Stumer), its little orange colored paste and surface, its fine surface finish and its variety of modeled and fancy bottle shapes*» (Menzel 1964: 32).

En los estudios de la fase 1, con excepción de Menzel, que solo menciona un reducido número de vasijas, se advierte una falta de sistematización de la relación entre las categorías formales y los estilos reconocidos en los conjuntos estudiados. Del mismo modo, tampoco hay una adecuada caracterización de las dimensiones, con excepción de lo que se puede inferir acerca del tamaño de los objetos cerámicos que pueden caber en un contexto funerario (de pequeño a relativamente pequeño) y la mención (única, ya que se excluye aquí la publicación de Uhle de 1910) acerca de las vasijas más grandes de Fernández Sotomayor («urnas de gran tamaño» de Maranga C-3; cf. 1960: 248). En relación con el tipo de vasijas, la gran mayoría son cerradas y las pocas abiertas son mencionadas solo por Fernández Sotomayor y Menzel. Por su parte, el aporte de Shady destaca por el gran número de piezas que analiza y la documentación gráfica de sus formas y decoración; sin embargo, su

ordenamiento tipológico no es claro, lo que se advierte, por ejemplo, en la subclasificación de las variantes, donde no siempre se toman rasgos morfológicos uniformes para ordenar el material. Asimismo, no todas las categorías formales presentadas están atribuidas a un estilo y casi no están representadas las vasijas de cocción reductora. De igual modo, la decoración prima en la atribución cronológica, siguiendo el planteamiento de Menzel.

El escenario es progresivamente diferente en los trabajos de la fase 2. El concepto de Menzel tuvo un carácter directriz en los estudios citados de esta fase, los que trataron, básicamente, de los estilos, ya conceptualmente separados, Lima y Nievería. A partir del trabajo de Guerrero y Palacios se aborda con mayor énfasis la tecnología, se incluyen los alfares, el repertorio de formas cerámicas se incrementó —si bien no siempre respecto de los contextos— y comprende, inclusive, miniaturas de barro cocido e instrumentos musicales. Del trabajo de Segura, además, se destaca la conveniencia de considerar los diversos tamaños que puede comprender la producción cerámica. El conocimiento de la diversidad de pastas utilizadas no solo amplió el conocimiento tecnológico cerámico de una sociedad andina antigua, sino que ayudó a reconocer a la cerámica nievería como parte integral de esa producción. Segura lo define como parte de un segmento social lima (2001: 162).

En la Fig. 1.3 se muestran los alfares reconocidos por Guerrero y Palacios, Segura y Ccencho. Guerrero y Palacios reconocieron seis alfares (A, B, C, D, E y F), lo mismo que Segura (A, B, C, D, E e Indeterminado) y cinco por parte de Ccencho (Pucllana Naranja, Pucllana Gris, Pucllana Marrón, Pucllana Nievería y Pucllana Fino). Segura logró correlacionar sus alfares, correspondientes a cerámica quebrada y dispuesta en hoyos en un área cercana al frontis del Conjunto Tello de Cajamarquilla, con varios *wares* definidos por Patterson (Segura 1999: cuadro 26, pero *cf.* Ccencho 1999: 149). El alfar A de Segura corresponde al Scraped Terracota Ware B (grupos 1, 2 y 3) y al Terracota Ware D (grupo 4), el B se relaciona con el Reduced Ware B y Reduced Ware C (con este de manera más coherente), el C con el Scraped Umber Ware D y el E, de manera probable, con el Terracota Ware B.

De acuerdo con ello, cuatro alfares de los estudiados por Guerrero y Palacios, Ccencho y Segura tienen correspondencia entre sí salvo algunas características. En cuanto a la pasta A (Guerrero y Palacios), el alfar C (Segura) y el Pucllana Marrón (Ccencho) difieren en la textura (heterogénea la pasta A y homogénea el alfar C), un poco más en las inclusiones (granos blancos opacos, cuarzo transparente y mineral grueso y anguloso en la pasta A, cuarzo, cuarzo opaco negro en el alfar C y cuarzo y piedras blancas en el Pucllana Marrón). Hay una coincidencia en la mica en las pastas A y Pucllana Marrón, y, por otro lado, pirita en el alfar C. Respecto al color, es marrón rojizo en la pasta A, marrón rojizo oscuro en Pucllana Marrón y marrón oscuro en el alfar C. El acabado es muy coherente en los tres casos (con autoengobe, alisado y bruñido en la pasta B, alisado o bruñido en el

alfar C y alisado en Pucllana Marrón). Segura añade que el alfar C es semiporoso. En cuanto a la pasta B (Guerrero y Palacios), el alfar A (Segura) y el Pucllana Naranja (Ccencho), el primero difiere del segundo en que es de fractura irregular, pero ambos son de textura homogénea. El color es de ante a naranja oscuro o rojo ladrillo (pasta B), naranja y rojo claro (alfar A) y naranja y amarillo (Pucllana Naranja). Solo del alfar A se definió que es semiporoso a semicompacto. Las inclusiones consisten en mica dorada, cuarzo blanco y granos blancos (pasta B), cuarzo opaco negro, cuarzo, caolín y quizá pirita (alfar A) y cuarzo, mica, feldespatos y gránulos cremas (Pucllana Naranja). Otras arcillas del Pucllana Naranja tienen, cada una, granos rojos y piedras brillosas de color negro. Su acabado es, en ollas, alisado externo e interno en el cuello, bruñido o pulido en el cuerpo, uso de engobe naranja claro a rojo oscuro (pasta B); alisado exterior y autoengobe rojo naranja, exterior bruñido o alisado en el cuello y bruñido en el cuerpo, con engobe rojo-naranja, bruñido exterior con engobe naranja (alfar A), pulido en el cuerpo e interior de cuellos en vasijas cerradas, pero en el caso de platos (vasijas abiertas) es pulido en ambas superficies (Pucllana Naranja). El color de la pasta D (Guerrero y Palacios) es gris (como en los demás casos); es la versión reducida de la pasta A y su acabado es pulido (en este caso asociado a vasijas finas, escultóricas); en el alfar B (Segura) la parte externa del cuello es bruñida y el cuerpo pulido, mientras que es más pulido en el Pucllana Gris que en el Pucllana Naranja.

La pasta C de Guerrero y Palacios corresponde a la definición de Menzel. Es de textura homogénea y fina como en el caso del alfar D (Segura), la cual es compacta y de fractura regular. Su color es naranja o gris-naranja (alfar D) y rojizo amarillento o rojo claro (Pucllana Nievería). En la pasta C no hay inclusiones, mientras que en el alfar D hay cuerpos opacos negros y cuarzo. Su exterior tiene engobe naranja o naranja oscuro, es pulido y se asocia a vasijas finas, algunas escultóricas (pasta C), en vasijas abiertas su exterior e interior es bruñido y tiene engobe naranja (alfar D), mientras que también hay engobe amarillento y pulido fino (Pucllana Nievería). Por último, Ccencho (2006) presentó un breve catálogo de formas del alfar que corresponde al Pucllana Nievería a partir de una muestra bastante grande de fragmentos y pocas vasijas completas del sitio de Pucllana. Este alfar tiene una subdivisión sobre la base de la ausencia de inclusiones y de color amarillento a rosado (tipo 1a) y uno de color amarillento y rosado con pequeños temperantes de color negro y blanco (tipo 1b): «[I]a superficie fue pulida y presenta un brillo y tonalidad que la hace diferente al color de la pasta, sin necesidad de emplear engobe. Sin embargo, en algunas se emplea el engobe rojo, especialmente en las épocas tardías. En otras vasijas se observa un pulido por zonas, contrastando con brillo y mate» (Ccencho 2006: 20).

Cuatro de estos alfares tienen carácter único; estos son, en el caso de Guerrero y Palacios, la pasta F, parecida a la C, pero con inclusiones; asimismo, el alfar E y un conjunto denominado Indeterminado de Segura; el primero tiene pasta de color naranja y marrón, semicompacto, textura homogénea y fractura regular, con inclusiones de cuarzo y cuarzo opaco negro. Se asocia a platos, con alisado en el



exterior y bruñido en el interior. El segundo es de color naranja, heterogéneo, poroso, grano fino y fractura irregular. Sus inclusiones son iguales al anterior pero además contiene una roca gris. Sus vasijas tienen el cuerpo bruñido y el exterior alisado. En el caso de Ccencho, el alfar Pucllana Fino es muy compacto, de color rojizo amarillento y de inclusiones imperceptibles.

En cuanto a la nomenclatura de las categorías formales identificadas, se seleccionaron varias de ellas y algunas de sus variantes. Según la Fig. 1.4, elaborada sobre la base de los datos de la literatura mencionada y sus ilustraciones —cuando estas fueron publicadas— destaca la falta de uniformidad. Esta se da, especialmente, en el caso de las botellas y las teteras, mientras que otras pueden prestarse a confusiones, lo que podría deberse a las designaciones originales en inglés, como en el caso de los *bowls*, aplicado tanto para las ollas (Gayton, Shady [boles]) como a los cuencos e, incluso, botellas (Menzel, Guerrero y Palacios [boles]), o en la aplicación del término *jar*, también ambiguo en la literatura estadounidense.

### 1.3.3. Inferencias cronológicas: los períodos determinados

Como parte de su primer esquema cronológico de las culturas andinas, Uhle (Shimada 1991 [1903]; Rowe 1998: 17) ya había advertido una superposición en los contextos funerarios hallados en el Cementerio de Nievería, mientras que Rowe postuló su cronología sobre la base de estos primeros alcances. Al menos sobre una sección del área de los entierros de individuos extendidos —al que llamó Primer Período del valle de Lima o «civilización de los entierros extendidos» (MNAHP 1963: tomo II, *passim*)— se instalaron estructuras «más recientes» que alteraron los anteriores y el tipo de objetos asociados cambiaba (*cf.* Uhle 1998 (1910): 251; Valdez 2010: 319-320; ver cap. 2). Más adelante, Gayton planteó, tentativamente, sobre la base de su propia lógica estilística y los *wares* identificados en dichos materiales, que los desarrollos Proto-Chimú y Nazca Y eran precedentes y llegaron a su apogeo antes de alcanzar el valle de Lima y a su estilo local (Proto-Lima) —además de que sus rasgos se volvieron partes integrales de él— y que todo este proceso ocurrió con anterioridad a la «invasión de la costa por parte de la cultura Tiahuanaco» (Gayton 1927: 327; traducción del autor).

Por su parte, Fernández Sotomayor (1960, *cf.* antes), definió períodos consecutivos (Maranga A a C, con subdivisiones internas) sobre la base de los caracteres estilísticos. De acuerdo con las conclusiones de la Mesa Redonda de Lima de 1953, su cuadro cronológico (1960: 249) ubica temporalmente a Maranga A dentro del rango del Formativo (400-650 d.C.); Maranga B coincide casi exactamente con la época del Florecimiento Regional (650-900 d.C.), mientras que Maranga C hace lo propio con la época de la Gran Fusión (Tiahuanacoide I, entre 900 y 1200 d.C.).

Con el aporte de Menzel (1964) se consigue un ordenamiento en el tiempo, cada vez más preciso,

sobre la base de la cronología propuesta por John Rowe. Como se sabe, el Horizonte Medio,

«es un período de tiempo arbitrariamente definido con referencia a una secuencia "estándar" de estilos de cerámica del valle de Ica, en la costa sur del Perú, con la intención de incluir el tiempo en que el arte de la costa sur estuviera bajo la influencia del estilo de la sierra relacionado con Tiahuanaco. El Horizonte Medio empieza con el inicio de la fase 9 del estilo Nasca en Ica y termina con el comienzo de la fase Chulpaca A del estilo Ica. Lo precede el Período Intermedio Temprano, en el que hay ocho épocas y le sigue el Período Intermedio Tardío. En un cálculo conservador, sujeto a correcciones cuando haya más cantidad de determinaciones radiocarbónicas, el Horizonte Medio fecha entre 800 a 1100 d.C.» (Menzel 1964: 3, traducción del autor).

Menzel realizó subdivisiones internas en su planteamiento de cronología relativa respecto de la Secuencia Maestra del valle de Ica de Rowe. En su estudio de 1958 (p. 28) planteó cuatro épocas para el Horizonte Medio, de manera que se consolidó un orden diacrónico interno. Así, se hizo posible dividir las épocas 1 y 2, y se pudieron distinguir, luego, las épocas 1A, 1B, 2A y 2B (Menzel 1964: 3), donde «[c]on la excepción de Ayacucho, [la primera] se caracteriza por la presencia de estilos regionales y a partir de 1B se siente el impacto por la intrusión de cerámica serrana en la costa» (Kaulicke 2001: 325). Los estilos reconocidos de las dos primeras épocas se ordenaron en el tiempo del siguiente modo (datos tomados de Isbell 2002: fig. 1): a) época 1A (estilos Conchopata, Chakipampa A, Ocros A, Nazca 8/9); b) época 1B (estilos Chakipampa B, Ocros B, Nievería, Robles Moqo); c) época 2A (estilos Viñaque A, Atarco A, Pachacamac A) y d) época 2B (estilos Viñaque B, Atarco B, Pachacamac B). De igual manera, Patterson (1966: 102-103) definió nueve fases para el estilo Lima, y la última fue incluida en la época 1A del Horizonte Medio (*cf.* Menzel 1977: *Chronological table*). En adelante, los investigadores que trabajaron en la costa central —o en los Andes peruanos en general— salvo algunas excepciones en años más recientes, siguieron estas propuestas a modo de pautas inalterables (ver Fig. 1.5).

Como se mencionó anteriormente, diversos autores coinciden en una coexistencia de los estilos Lima y Nievería. Como resultado de sus trabajos en Pucllana, Ccencho (2006) y Ríos y Ccencho (2009) avanzaron un poco más en la cuestión cronológica del estilo Nievería y plantearon, sobre la base de la estratigrafía, la arquitectura y estudios ceramológicos, dos épocas: una correspondiente al alfar Pucllana Nievería Temprano, el cual presenta pasta de textura fina, un repertorio de formas de platos-cuchara, platos, ollas, cántaros y botellas, mientras que su decoración emplea los colores rojo, negro y blanco, con diseños de puntos, rombos y seres entrelazados de cabezas rectangulares y triangulares, además de bandas rojas delimitadas con líneas negras. Este alfar se relaciona con la fase IIIb y con la iconografía de la costa sur. Por su parte, el alfar Pucllana Nievería Tardío incorpora al color gris, bandas negras en los picos o que delimitan paneles, mientras que sus diseños se componen de «pulpos», «seres serpenteados», argollas delineadas en negro alrededor de estos y la Flor de Lys, es decir de procedencia ayacuchana. Este alfar se relaciona con las últimas ocupaciones del asentamiento, con el «momento destructivo», así como a algunos contextos funerarios hallados en la Plataforma Sur

de la pirámide. Asimismo, señalaron que la definición planteada por Menzel se refiere a un estilo Nievería de carácter posterior, y que existe un Nievería original «cuya ubicación temporal inicial es imprecisa, pero está ligada al funcionamiento de los centros religiosos de la Cultura Lima» (Ccencho 2006: 32).

Una primera carencia de la primera fase es que no se dio mayor cobertura al registro y documentación de los contextos arqueológicos correspondientes, a lo que siguió una publicación e ilustración parcial de los materiales hallados. El énfasis estuvo enfocado en los materiales recuperados, sobre todo en su decoración y forma con el fin de determinar estilos, y no consideró exhaustivamente a la tecnología, además de que no se elaboraron tipologías más completas y sistematizadas. Esto, sin embargo, sirvió para identificar procedencias de rasgos y asociación a sociedades determinadas, si bien esto fue de acuerdo con el estado de conocimientos de cada época. Por otro lado, el reconocimiento de estilos sirvió para plantear secuencias generales, lo que también era necesario para fijar los materiales en el tiempo. En dichas secuencias también se dieron cambios conforme las investigaciones fueron más numerosas.

Destacan en la fase 2 los planteamientos acerca del origen del estilo Nievería, interpretado como una imposición de influencias externas debido a una expansión imperial (según Menzel) (*cf.* Guerrero y Palacios 1994: 308) y, por otro lado, como un producto local. En ese sentido, es importante tener en cuenta el cuestionamiento que hace Shady (1982: 20) al citar a Patterson, al advertir que en el Cementerio de Nievería había entierros del Horizonte Medio 1B con vasijas Lima y otros con estas vasijas asociadas a otras con «rasgos de Nasca 9 y Chakipampa». También es necesario subrayar su cita respecto a lo señalado por Menzel y Patterson: «Estos mismos autores reconocen que no hay modo de distinguir qué parte de Lima 9 pertenece al Intermedio Temprano y cual otra al Horizonte Medio» (*cf.* Patterson 1966: 102-103). Su acotación no solo refleja la problemática que origina este cuestionamiento cuando se revisan las asociaciones en un lote funerario, sino que adelanta las revisiones necesarias que se deben hacer a los postulados de Menzel (ver más adelante). Los aportes de la fase 2 tuvieron un énfasis la tecnología y los contextos arqueológicos, además de las formas asociadas y la decoración de los materiales, así como la determinación cronológica todavía en relación con los estilos definidos y las secuencias postuladas en la fase 1. De hecho, la cronología lima fue definida de acuerdo con esas propuestas. Las investigaciones de la fase 2 ampliaron los aportes de Patterson (1966) en el sentido de ahondar en la tecnología de la producción cerámica, lo que plasmó de manera realista sus diferencias internas, y en la relación de estos estilos con las implicancias socioculturales para las sociedades involucradas.

Teniendo en cuenta lo anterior, las implicancias para la definición del estilo Nievería son diversas:

- Son muy pocos los contextos arqueológicos en relación con este estilo y el Lima que están bien

documentados y cuya publicación de los materiales asociados sea completa. Lo mismo se puede aplicar a la ubicación espacial de los materiales en los sitios estudiados debido a que no se han hecho estudios exhaustivos.

- La mayor parte de hallazgos de este material tiene que ver con contextos funerarios, cuyo número encontrado es grande, pero de cuyos detalles se sabe proporcionalmente poco y la documentación es escasa. Sin embargo, desde muy temprano se han hecho postulados acerca de las implicancias de la presencia de las vasijas asociadas, fueran «utilitarias» o «finas» en el sentido de señalar diferencias sociales y jerarquías (por ejemplo, en forma de elites).

- El material cerámico muy elaborado («Nievería») fue definido como un producto del marco de interacción del Horizonte Medio. Esto lleva a inferir, por un lado, a que la producción cerámica local de piezas de pequeñas dimensiones correspondiente a parte tardía del Período Intermedio Temprano era muy escasa o, simplemente, no se le había encontrado aún.

- Tal como lo reconocieron diversos investigadores antes y después de Menzel, rasgos de diferentes estilos estaban presentes en la manufactura del material nievería, así como también había asociadas piezas de otros estilos. Su crucial trabajo ordenó mucha información estilística de diversas áreas en comparación con las etapas anteriores y fue un aporte de gran valor según los conocimientos de la época. Sin embargo, tecnológicamente, el alfar referido por ella fue enfatizado por los estudiosos posteriores, quienes le dieron un carácter directriz en sus trabajos.

- Como consecuencia, las pocas formas atribuidas a este estilo y la aún escasa referencia a la manera en que se presentaba la decoración de la «tradición local» o foránea dieron lugar, hasta la actualidad, a diversas y ambiguas interpretaciones acerca de las características de las vasijas correspondientes. De igual modo, esto afecta las inferencias acerca de las sociedades implicadas e, incluso, la lectura de la estratigrafía, la cronología, entre otros.

Según lo expuesto, considero que, al margen de las inferencias de diverso tipo que se pueden plantear acerca del estilo Nievería el aspecto clave que se tiene que resolver en primer lugar es contar con los parámetros precisos que lo definen en tres aspectos: la morfología, la tecnología y la decoración.

#### **1.4. Marco cronológico relativo y absoluto actual**

Con el fin de obtener un mejor entendimiento de las características del proceso en el que se dieron los estilos que se analizan en este trabajo se presenta un marco cronológico relativo y absoluto basado en investigaciones recientes. Las secuencias planteadas por Menzel (1964), Patterson (1966) y otras postuladas para otras áreas de los Andes sufrieron cambios conforme avanzaron los estudios tanto para la etapa que se aborda en este trabajo (fines del Período Intermedio Temprano e inicios del Horizonte Medio) como para tiempos anteriores y posteriores, con lo que se obtiene, en la actualidad, un panorama muy diferente:

a) La relación de los estilos Lima y Nievería. Según el planteamiento de Menzel, ambos estilos estaban ubicados en un orden diacrónico. Esta percepción cambió de manera muy paulatina, incluso desde que Lavallée (1965-1996) —casi de manera simultánea respecto de las publicaciones más importantes sobre este tema— advirtió que la seriación estilística planteada por Patterson (1966) «debería ser controlada por evidencias estratigráficas más completas y por el estudio de colecciones numéricamente más importantes [...]» (Lavallée 1965-1966: 236). De modo mucho más reciente, Huayta Montoya (1994: 222) señaló que las tres últimas fases determinadas por Patterson deberían ser consideradas como un solo conjunto en sus investigaciones del material de un relleno arquitectónico de arquitectura ritual en la Huaca Pucllana. En ese sentido, es probable que se trate de un problema de mala interpretación de las asociaciones y los hallazgos, además de una adhesión no crítica respecto de dichos postulados cronológicos.

Se puede citar una serie de investigaciones recientes en las que se han encontrado contextos sellados y en los que se ha registrado material de ambos estilos, entre ellas las de Rafael Segura (1999, 2001, 2004) en el Conjunto Tello de Cajamarquilla, con el hallazgo de varios pozos con fragmentería, y las de Aurelio Rodríguez en la Huaca Túpac Amaru, distrito de San Borja, valle bajo del Rímac (1999), con un contexto en forma de «un relleno de clausura ritual del edificio, ya que sellaba un recinto de características especiales que el autor llama Recinto de los Pozos. Sólo en este relleno, y no en otros, se registró la presencia de fragmentos nievería mezclados con fragmentos lima de las tres últimas fases» (Segura 2004: 101). En la misma línea están los hallazgos del Proyecto Huaca 20 (Complejo Maranga), asesorado por Mercedes Cárdenas y llevado a cabo por Martín Mac Kay y Raphael Santa Cruz. Como refiere Segura (2004: 102; *cf.* Mac Kay 2007), «se han hallado asociaciones concretas de contemporaneidad de las tres últimas fases lima y nievería en contextos que van desde rellenos constructivos hasta contextos funerarios». Más concluyentes fueron los resultados de los trabajos dirigidos por Ruth Shady en la Huaca San Marcos o Aramburú, situado en el mismo complejo, durante la segunda parte de la década de los noventa. Como refiere, nuevamente, Segura (2004: 102), «[a]llí en un espacio que contenía grandes vasijas similares a las registradas en el Conjunto Tello de Cajamarquilla, se recuperó material nievería debajo de pisos con cerámica de las últimas fases lima (comunicación personal de Joaquín Narváez)». De carácter aún más interesante son los hallazgos de las excavaciones de rescate en el sitio de Catalina Huanca a cargo de Miguel Cornejo entre 2006 y 2007 en dos de los montículos menores, ubicados al oeste, que circundan el edificio principal. En uno de ellos hubo capas con cerámica del estilo Nievería con decoración foránea (Chakipampa) debajo de capas con cerámica asociada del estilo Lima (Miguel Cornejo, comunicación personal 2012).

De acuerdo con Guerrero y Palacios (1994), Segura (1999, 2001) y Ccencho (2001, 2006), se tienen un conjunto de alfares comunes a los sitios lima mencionados (*cf.* Fig. 1.2) incluso —como se vio antes— tratados por Patterson en su trabajo y que corresponden a la etapa denominada como Lima

Tardío; entre ellos está el equivalente al alfar especial identificado por Menzel. Dadas sus conclusiones, el alfar Nievería era sincrónico respecto del estilo característico de la cultura Lima y parte de la producción cerámica de la misma, lo que es expresado de manera más o menos directa por parte de Guerrero y Palacios, Segura y Ccencho (2006: 28). Por consiguiente, la época 1B del Horizonte Medio —donde «aparecen» las vasijas nievería— concuerda, al menos en parte, con Lima Tardío, lo que implica, a su vez, una contemporaneidad con la época 1A. En ese sentido, estilos (o fases) considerados, anteriormente, como parte de una secuencia, resultan coexistentes.

Por otro lado, de manera aproximadamente concordante, los investigadores que han trabajado de manera reciente sobre la cultura Lima consideran, por lo general, su periodización en tres etapas, con lo que modifican la propuesta de Patterson. Por ejemplo, Segura (2004: 100) planteó que las fases 3, 4, 5 y 6 corresponden al estilo Playa Grande y «que las fases 7, 8 y 9 conforman lo que habitualmente se denomina Maranga». Según Flores (2005: 57), Lima Temprano corresponde a Blanco sobre Rojo, Lima Medio a las fases 4, 5 y 6 de Patterson y Lima Tardío a las fases 7, 8 y 9. Joaquín Narváz (2006: 127) planteó que existe una etapa temprana (Lima 1-3), una media (Lima 4-6) —cuyo término corresponde, para el autor, al fin del Periodo Intermedio Temprano— y una tardía (Lima 7-9). Por su parte, Goldhausen (2005a: 35, *Abb. 3*; 2005b: *Abb. 1*) consideró una división —ya acompañada de fechas aproximadas— sobre la base de Lima Temprano, que abarca el estilo Tricolor y las fases Lima 1 a 3 (150-350 n.E.), Lima Medio, que comprende las fases 4 a 6 (350-550 n.E.), y Lima Tardío (550-750 n.E.), que corresponde a las fases 7, 8 y 9 así como al estilo Nievería (550-750 n.E.).

b) La costa y sierra sur: Chakipampa y Nazca 9. Ya en 1959, Lumbreras había reconocido al estilo Ayacucho —un equivalente del estilo Chakipampa— si bien sobre la base de pocos materiales, y logró determinar influencias nazcoides, tal como ocurrió con el estilo Huarpa. Menzel definió el estilo Chakipampa como derivado del estilo Huarpa y comparó sus características con las de la cerámica de la fase 9 de Dawson, parte de un planteamiento no muy desarrollado pero que fue publicado en forma preliminar por Rowe (1960; *cf.* Silverman 1993: figs. 32-3.8). Si se revisa la publicación de Menzel (1964: 10, 11, *passim*), la alusión a la gran cantidad y semejanzas entre ambos —y en mucho menor grado diferencias— es concluyente. Más tarde, Knobloch y Silverman consideraron a Nasca 9 como Chakipampa (Silverman 1993: 36), y los investigadores actuales de la costa sur, como Johny Isla, confirman este postulado en términos de formas, tecnología y decoración (comunicación personal 2012). De hecho, este último se apoya en los resultados del Proyecto Arqueológico Nasca-Palpa, el que también logró que la cronología nasca fuera revisada y refinada de acuerdo con resultados de trabajos de campo, análisis y fechados radiocarbónicos (*cf.* Reindel y Wagner 2009: fig. 1.2; Hecht 2009), con lo que se consolidó una secuencia más firme debido a que había pasado por una serie de replantamientos.

Si se revisa el texto de Menzel, las características de las piezas del estilo Chakipampa (A y B) se advierten algunas características particularmente llamativas y probablemente no percibidas con claridad antes: botellas escultóricas y otras de cuello largo, botellas cantimplora con uno de sus lados plano, vasos en forma de lira, vasijas pintadas en su superficie externa con un engobe de color rojo propio del estilo Nasca 9 como del Chakipampa (1964: 11), rasgos de las pastas (el *fancy Chakipampa* tiene paredes muy delgadas y finas, y algunas de sus formas fueron denominadas Rudaqasa por Lumbreras [1964: 10]) y diseños característicos. Se trata de materiales no reportados por investigaciones recientes en el área de Ayacucho, como la dirigida por William Isbell en Conchopata (Gonzalo Rodríguez, comunicación personal 2012), si bien este proyecto encontró materiales chakipampa en gran cantidad y en coexistencia con otros estilos que antes se consideraban posteriores (cf. Ochatoma y Cabrera 2001) (ver cap. 5).

c) El Horizonte Medio de la sierra sur. Las numerosas investigaciones en sitios del área de Ayacucho han cambiado la percepción acerca de la diacronía de los estilos reconocidos. De manera reciente, Isbell (2011: 207) presentó un planteamiento:

«Por décadas, los arqueólogos han seguido la detallada seriación cronológica de Dorothy Menzel (1964, 1968, 1977) para el Horizonte Medio. Sin embargo, es claro que ha llegado el momento de hacer revisiones y, quizás, plantear una nueva cronología. Dos de los más serios errores en su planteamiento son, en primer lugar, la ubicación de las SAIS, antes identificadas con la influencia tiwanaku, a comienzos del Horizonte Medio, con lo que se definía la Época 1A y, en segundo lugar, el supuesto de las simplificaciones «epigonales» de cerámica elaborada en las épocas III y IV tanto en la costa como en la sierra. Debido a la ausencia de cerámica de tipo epigonal en Huari u otros sitios del Horizonte Medio en Ayacucho, Menzel concluyó que Wari había colapsado antes de la Época III. Sin embargo, los fechados radiocarbónicos de Conchopata muestran que este importante centro wari estuvo ocupado hasta, aproximadamente, 1000 d.C. (calib.), una etapa muy tardía para el fin de la Época II y en la que la cerámica epigonal nunca fue producida.

Junto con Joerg Haeberli (2002, e.p.) y Patricia Knobloch (2000, 2001, 2002a, 2005; Isbell y Knobloch 2006, 2009) estamos reuniendo información y trabajando juntos para desarrollar una nueva cronología, sustentada por fechados absolutos calibrados. Hasta que logremos el consenso deseado, trataré el Horizonte Medio en términos de los cuatro períodos provisionales planteados en la propuesta, más reciente, de Haeberli».

El giro que contiene este nuevo postulado reordena las fases planteadas por Menzel en cuatro períodos:

- Fase terminal del Período Intermedio Temprano (sin denominación en el texto citado) (575-650 d.C. [calib.]): etapa en la que se dan influencias nasca en los estilos Huarpa y Cruz Pata.
- Período Chakipampa (650-725 d.C.): se combinan los estilos Huarpa (cf. arriba, nomenclatura de Lumbreras) y Nasca, y surge el estilo Ayacucho. Es la etapa temprana del Horizonte Medio y precedió a la iconografía de las SAIS (South Andean Iconographic Series) en Ayacucho y «posiblemente

también en Tiwanaku» (Isbell 2011: 207).

- Período de Incursión Wari (725-775 d.C.): es la etapa de la aparición de las SAIS en Ayacucho. Se hace evidente el contacto con Tiwanaku y otras sociedades y estilos sureños, pero ello no implicó la desaparición del estilo Chakipampa.

- Período de Posincursión Wari (775-1000 d.C.): desarrollo local de la iconografía de las SAIS, es decir, los estilos Conchopata y Robles Moqo. Es en esta etapa donde se señala un cambio radical en la propuesta de Menzel, al ubicar estos estilos en la parte final del Horizonte Medio. Según Isbell, probablemente aquí se tendría que hacer una subdivisión al interior (2010: 208).

Isbell (2010: 209) explicó que esta cronología «muestra que se produjo una etapa inicial de fusión entre Wari y Nasca, seguida por un período de expansionismo wari que precedió a los contactos con la esfera sureña de las SAIS, cuando la religión y la identidad religiosa se volvieron una parte significativa de la práctica imperial wari»; sin embargo, este autor también señala que no se ha podido determinar qué tipo de procesos políticos o sociales fueron responsables de esa fusión en la fase Nasca 8, aunque presupone un cambio definitivo para ambos. Para Isbell (2010: 209), en dicha etapa «existió algún tipo de federación de, quizás, numerosas entidades políticas de ambas culturas en las que la alianza multiétnica era expresada mediante el bilingüismo protoaimara y protoquechua». SAIS corresponde a un acrónimo neutral acuñado por Isbell con el fin de evitar implicancias con el arte del Horizonte Medio que se reconoció primero en Tiahuanaco y que causaba la percepción de que su origen estaba en el sitio epónimo. Las SAIS comprenden a las denominaciones Tiahuanaco, Coast Tiahuanaco y Epigonal (Isbell 2008: 732).

d) El estilo Mochica. La cronología de cinco fases propuesta por Rafael Larco se ha modificado en su aplicación por regiones debido, en gran parte, al mayor número de investigaciones realizadas en las últimas dos décadas, pero sin alterarse mucho sus fundamentos, por lo que para la mayoría de investigadores de esta cultura tiene un carácter prácticamente inamovible (Kaulicke 1998: 108). Para los fines de este trabajo nos concentraremos en las últimas fases de la secuencia, estilísticamente definida, citando, por un lado, trabajos que han presentado fechas establecidas de manera referencial y no apoyadas por una adecuada cantidad de fechados radiocarbónicos en su mayor parte, otros que tienen fechados calibrados, así como uno basado en comparación con material contextualizado. Como se verá más adelante, la cerámica del corpus elegido para el presente trabajo tiene relaciones con la procedente de cuatro complejos arqueológicos en dos valles de la costa norte: de norte a sur, Jequetepeque (Pampa Grande, Pacatnamú y San José de Moro) y Moche (Huacas del Sol y de la Luna), los que hasta el momento se consideran de las regiones Mochica Norte (los tres primeros) y Mochica Sur (el último) (Castillo 2008: fig. 1).



Los fechados de la fase Moche V de Pampa Grande están en el intervalo 550-700 d.C. (Shimada 1994: *table 1*; calibrado no definido). De este sitio proceden vasijas cerámicas de estilo de Línea Fina y de Moche Polícromo (*Wari-Mochica hybrid style*, en términos de Shimada 1994: fig. 9.1). Por su parte, Pacatnamú fue investigado por primera vez por Ubbelohde-Doering (1983). Kaulicke realizó una comparación morfológico-estilística de los objetos cerámicos asociados a contextos funerarios sobre la base de que dicha asociación refleja una intencionalidad (1998: 108). Así, por medio de la comparación entre los conjuntos funerarios H45 CM1 y tres tumbas de cámara halladas por Ubbelohde-Doering —y la respectiva extrapolación a otros sitios luego— definió una relación de contemporaneidad por semejanza de los rasgos con piezas de contextos funerarios de la fase Moche IV de Huaca de la Luna. Según dicho autor «[e]stos paralelos indican que el fin de la secuencia de la Huaca de la Luna parece coincidir con el fin de la secuencia de [la cámara] EI» (1998: 121), lo que lleva a sugerir una inclusión de estos últimos materiales comparados del cementerio de Ubbelohde-Doering como relacionados con la fase IV de Moche. El rango temporal de Moche IV se expone más adelante.

Según Castillo (2001: 2008), la fase Mochica Tardía en San José de Moro data de *c.* 600-850 d.C., y abarcaría los estilos IV y V de la región Mochica Sur. Sus contextos son diversos pero sobresalen las tumbas de cámara. Aquí destaca la cerámica de línea fina, y es principalmente en el contexto funerario de la Sacerdotisa donde se le ha encontrado asociada a cerámica de los estilos Nievería y Cajamarca (Castillo 2001: 152). En toda la fase Mochica Tardía también destaca la cerámica Mochica Polícromo como producto del contacto con la tradición Wari (Castillo 2001: 150; figs. 26, 27). Por su parte, el período denominado Transicional abarca desde 850-1000 d.C., corresponde al Horizonte Medio 2 y se caracteriza por presentar cerámica con influencias de los estilos de esta época y con más variedad que en la etapa anterior (Castillo 2000: 161; Carpio 2008: 82; Donnan y Castillo 1994).

En lo que respecta a la región Mochica Sur (Castillo 2008: 161), en el sitio de Huaca del Sol y de la Luna se ha definido estilísticamente (y en gran parte) una ocupación de las fases Moche III y IV en términos de Larco. Según Chapdelaine (citado por Lockard 2008: 278), la fase Moche III data entre 250 a 400 d.C., mientras que la IV tiene un intervalo entre 400 a 700 d.C. (conjunto de fechados calibrados a 2 sigmas; Chapdelaine 2001: 73; 2003: cuadro 22.2). Sin embargo, para el complejo en referencia, específicamente para la Huaca de la Luna, Uceda (2010: 184), señala que «[l]a comparación de la secuencia arquitectónica con la asociación de las tumbas y sus estilos cerámicos es uno de los mayores desafíos que aún tenemos». De todos modos, al comparar los planteamientos expuestos, hay una relación de contemporaneidad entre Moche V de Pampa Grande, Moche IV de Pacatnamú, el Mochica Tardío de San José de Moro y el Moche IV de Huacas del Sol y de la Luna, las que, a su vez, tienen relación temporal con el fechado de Lima Tardío y la secuencia del Proyecto Palpa, que incluye a Chakipampa, según la Fig. 1.6.

Para los fines del trabajo presente se emplea, en parte, la revisión y nomenclatura elaborada por Haerberli (Isbell 2011: 208-210) de la secuencia de Menzel, pero solo con referencia al tiempo relativo de su vigencia ya que se trata de un planteamiento para la zona de la sierra sur y que aún no se han determinado las relaciones con las secuencias de la costa. Al compararla con la propuesta de Menzel (Fig. 1.7) se advierte que el desarrollo del estilo Chakipampa, por ende del resto del Horizonte Medio «se desplazan» más tardíamente de lo antes postulado. Si se considera su concepción, la relación con las SAIS, se puede señalar que los estilos Viñaque (sierra sur), Atarco (costa sur) y Pachacamac (costa central) corresponden al Período de Incursión Wari sobre la base de lo explicado por Menzel en relación a los estilos del Horizonte Medio 2 (1964, *passim*; cf. Kaulicke 2001), mientras que Conchopata y Robles Moqo (por ende Pacheco), son posteriores. De todos modos, se tomarán en cuenta las relaciones con la secuencia de Menzel; por ello, los períodos considerados aquí constituyen una referencia a ambos planteamientos y tienen un carácter preliminar dado que sus límites cronológicos aún están pendientes de definirse (o de que se arribe a consensos):

a) Fines del Período Intermedio Temprano e inicios del Horizonte Medio (FPIT-IHM): sobre la base de lo expuesto antes, estas etapas comprenden un solo lapso. Abarca a la fase Lima Tardío y al Período Chakipampa de Haerberli. Los estilos involucrados son Lima, Mochica, Nazca y Chakipampa.

b) Etapa relacionada con el Período de Incursión Wari (E-PIW): lapso que se refiere al tiempo relacionado con este período planteado por Haerberli; se incluyen aquí a los estilos Pachacamac, Viñaque y Atarco, del Horizonte Medio 2, tal como fueron definidos por parte de Menzel (1964).

c) Etapa relacionada con el Período Posincursión Wari (E-PPIW): lapso que se refiere al tiempo relacionado con este período, el que comprende al estilo Pacheco.

### **1.5. Planteamientos de hipótesis y objetivos**

De acuerdo con lo expuesto, se presentan a continuación las siguientes hipótesis:

1. En el estilo Nievería se concentra una compleja elaboración para su manufactura en la que hubo una intencionalidad y fórmulas de composición morfológicas y decorativas predeterminadas.
2. La cerámica Nievería surge en el marco de un amplio contacto interregional. Por ello, sus manifestaciones o matices morfodecorativos fueron diversos.

Asimismo, el presente trabajo apunta a abordar tres conjuntos de preguntas como objetivos de investigación:

- 1) ¿Nievería es un estilo, un alfar o un «proceso social» (según Shady 1982)?; ¿qué tipo de vasijas pertenecen al estilo y qué características tienen? ¿Cuáles son los estilos implicados en la cerámica nievería?
- 2) ¿cuáles son los elementos formales, tecnológicos y decorativos que conforman sus vasijas?, ¿corresponde a un solo tipo de pasta o a varios?
- 3) ¿Tiene antecedentes endógenos o exógenos, así como cambios en el transcurso del tiempo?

## 1.6. Metodología de trabajo

Para los fines de esta revisión se tomó como objeto de estudio un conjunto de piezas enteras de tres colecciones; parte de dos de ellas fueron incluidas en el estudio de Menzel (1964). Estas son la Colección Uhle del Cementerio de Nievería, la colección de piezas que la Misión Arqueológica Italiana recuperó de Huaca Tello, Cajamarquilla, y las de la Colección Stumer, recuperada por dicho autor en el sitio de Catalina Huanca; todos ellos están ubicados en el valle medio del Rímac. El número de vasijas es mucho mayor al del que se ha publicado de ellas con anterioridad, por lo que la muestra general dejará advertir otras características no observadas antes. El procedimiento a seguir se compone de dos líneas de aproximación. La primera comprende un reconocimiento de los estilos de las vasijas de acuerdo con sus componentes morfológicos y decorativos. Con ello se busca determinar si son atribuibles a un único estilo, si incluyen rasgos de otros o no se les ha atribuido propia o previamente a un estilo. Asimismo se recuperó, en lo posible, información de los contextos con el fin de completar diversos vacíos acerca de las procedencias respectivas de las piezas. La segunda línea corresponde a un proceso sucesivo de segregación y reordenamiento de los especímenes conforme a los siguientes aspectos:

1. Rasgos morfológicos de las vasijas (tipología de los elementos formales componentes).
2. Rasgos tecnológicos de las vasijas (color de superficie, acabado, observación macroscópica de las pastas, en caso sean visibles).
3. Rasgos decorativos de las vasijas (reconocimiento de diseños y patrones asociativos).
4. Revisión de las formas de la tradición cerámica de la costa central según el estado actual de conocimientos.

## CAPÍTULO 2

### MATERIALES CERÁMICOS DEL COMPLEJO DE CAJAMARQUILLA Y EL CEMENTERIO DE NIEVERÍA

#### 2.1. El complejo de Cajamarquilla

El área de Huachipa, al este de la capital, alberga numerosos sitios arqueológicos. El más grande de ellos es Cajamarquilla y en este capítulo se trata acerca de los materiales con procedencia de este complejo, así como del Cementerio de Nievería. El primero, uno de los más extensos de la costa central, comprende unas 167 hectáreas (Mogrovejo y Segura 2001 [2000]: 565; Segura 2001b: 27) y se compone de varios montículos y conjuntos de diversas dimensiones —como los denominados Pedro Villar Córdova y Jorge C. Muelle—, y un gran sector aglomerado de construcciones de planta ortogonal hechas de tapia dispuestas en la parte plana (Bueno 1975) que rodean las elevaciones artificiales y las cubren también, con lo que se dan superposiciones (Mogrovejo 1996a, 1996b, 1997; Segura 2001a, 2002; Narváez 2005, entre otros). Del segundo casi no se conocían detalles, entre ellos su ubicación.

Se han definido las primeras referencias acerca de su existencia (Bueno 1975)<sup>1</sup> y también existen diversos estudios respecto de las numerosas ocupaciones del área de Cajamarquilla y, de Huachipa en general, que comprenden desde el Horizonte Temprano (Silva *et al.* 1982; Silva 1992; Silva y García 1997; Segura 2001a), Período Intermedio Temprano (Uhle 1910; Gayton 1927; Sestieri 1963, 1971; Cerulli 1967, 1969; Silva 1992; Guerrero y Palacios 1994; Mogrovejo 1996b; Kaulicke [ed.] 1998; Mogrovejo y Segura 2001 [2000], entre otros), Horizonte Medio (Muelle 1935; Sestieri 1963, 1971; Cerulli 1967, 1969; Cavatrunci 1991; Silva 1992; Mogrovejo 1996b; Kaulicke [ed.] 1998; Mogrovejo y Segura 2001 [2000], entre otros) —si bien esta etapa se convirtió en materia de debates posteriores—, Período Intermedio Tardío (Sestieri 1963, 1964b; Silva 1992; Segura 2001a, 2002; Narváez 2005) y, muy posiblemente, del Horizonte Tardío (Stumer 1957c: 226, 227; Silva 1992).<sup>2</sup> Como se infiere, este hecho refleja la secuencia completa de las ocupaciones prehispánicas, un fenómeno común a diversos sitios de la costa central (Kaulicke 2002: 493; Cock 2004).

Tanto Cajamarquilla como el Cementerio de Nievería (*cf.* Valdez 2010)— se encuentran en un cono de deyección en la margen derecha del Rímac (Cavatrunci 1991: 356), en el límite entre el valle medio y el bajo, rodeados por el gran macizo del cerro Camote al norte (el de mayor altura), la quebrada de Jicamarca al noreste, el cerro Matabuey al sur (*cf.* Silva 1992: fig. 1; Silva y García 1997) y las

extensas áreas cultivables de la llanura de Huachipa al oeste. Con lluvias muy eventuales se activan flujos de barro que discurren por el cono y siguen, además, el cauce del Huaycoloro.<sup>3</sup> Apenas hay vegetación, ya que la zona es muy árida, aunque dada su altura respecto del nivel del mar —ubicada en el límite superior de la costa o *chala*, según Pulgar Vidal— se puede encontrar la achupalla (*Tillandsia paleacea*; cf. fotos aéreas del Servicio Aerofotográfico Nacional [SAN] de 1944), la que, por tratarse de un fenómeno natural, puede tener larga data. Grandes cantidades de estas plantas conformaban un «tilansial» que se alimentaba con la neblina, cubría las ruinas y hoy ya no existe (Ferreya 1986: 67). Según Rostworowski, esta área se ubica en la zona de la *Chaupi Yunga*, una «franja ecológica longitudinal a la costa que se encuentra entre los 200 a 1200 metros sobre el nivel del mar» (Rostworowski 1989: 246), mientras que Antonio Brack (1986: vol. II), la clasifica dentro de la ecorregión del Desierto del Pacífico.

Desde la época prehispánica constituye un espacio intensivamente cultivado a juzgar por la presencia de grandes canales al pie de los cerros circundantes y en la llanura. Uno de ellos, el canal de Nievería, se encuentra al borde del complejo y, aunque modificado con el tiempo, aún lleva agua a las zonas en las que se realizan actividades agrícolas. En la etapa republicana conformaba el área donde se asentaron las extensas haciendas Nievería y Huachipa. Hoy en día, en cambio, se está poblando de asentamientos humanos y se explota la arcilla de las extensas capas de sedimentos del cono de deyección de la quebrada para hacer ladrillos en terrenos convertidos en adoberas (Fig. 2.1). En cuanto al nombre de la zona, Villar Córdoba señaló que, hacia la parte noreste, estaba el antiguo camino de Nievería que, en tiempos coloniales, comunicaba Lima, Canta y Cerro de Pasco, «por donde bajaba en verano el arrieraje que conducía los trozos de hielo extraídos de los nevados de “Tambillo” que se hallan en las alturas de Carampoma para la preparación de refrezcos, etc. en la capital de la República. [...] El sitio que actualmente se llama “Corral de nieve” dio origen al nombre del fundo “Nievería”, lugar donde descansaban los heladeros en la época colonial» (1938: 52). Según Villar Córdoba, el camino fue estratégico en la época prehispánica, la Colonia y los primeros tiempos de la República.

## **2.2. Descripción del Conjunto Julio C. Tello, Cajamarquilla**

El Conjunto Julio C. Tello se ubica en el extremo noreste del complejo de Cajamarquilla, muy cerca del cauce seco del Huaycoloro (Figs. 2.2, 2.3). Aunque también sufrió los efectos del saqueo, como el resto del complejo y el Cementerio de Nievería, se ha llegado a investigar en gran parte, sobre todo el montículo principal. Desde la década de los cuarenta las fotos aéreas revelaban que la cima de este presentaba numerosos hoyos de huaqueo, algunos practicados en la Colonia (Mogrovejo y Segura 2001 [2000]: 568), pero, pese a ello, se logró recuperar gran cantidad de evidencias arqueológicas. Las intervenciones científicas que se conocen son la dirigida por Cirilo Huapaya, entre 1944 y 1945, la de la Misión Arqueológica Italiana (MAI), entre 1962 y 1972, y la del Proyecto Arqueológico

Cajamarquilla (PAC), entre 1996 y 1997, el que levantó un plano detallado del mismo (Fig. 2.4). De esta manera, es el conjunto más conocido y con más trabajos de investigación de todo el complejo.

La configuración arquitectónica general del Conjunto Tello concuerda con el de la cultura Lima. Los muros, gruesos y macizos, dejan reconocer el diseño a pesar del paso del tiempo y las destrucciones naturales o generadas por el hombre. Asimismo, se aprecia una serie de remodelaciones con tapias atribuidos al Período Intermedio Tardío, que se diferencian de la arquitectura temprana por su técnica y por que presentan acanaladuras o «estrías» horizontales, las que corresponden a capas de barro superpuestas (reconocimiento realizado por Juan Mogrovejo, citado en Narváez 2005: 13). Tiene una planta trapezoidal, que abarca, aproximadamente, 8 hectáreas de recintos de forma ortogonal (450 por 400 metros; Segura 2001: 32) y una plaza principal hacia su lado suroeste, los que rodean a un montículo o pirámide trunca escalonada de casi 7 metros de altura, construida por la adición de plataformas sucesivas de diferente volumen (Mogrovejo y Segura 2001 [2000]: 566). Esta estructura se compone de tres juegos de plataformas cuadrangulares, una central, la más alta, y dos laterales, más bajas (Huapaya definió una tercera posterior [1944: 3]; cf. Fig. 2.5). El lado norte de la plataforma principal mide casi 35 metros de largo (Sestieri 1971: 101). En los recintos situados detrás de la fachada posterior del montículo existen numerosos silos subterráneos en forma de botella cavados en las capas naturales de *yapana*, la que sirvió de materia prima para las construcciones de todo el complejo (Mogrovejo y Segura 2001 [2000]: 567). Delante de su frontis principal, al suroeste, se extiende la amplia plaza mencionada, con un acceso en forma de greca en la misma dirección. Esta plaza cubría ambientes correspondientes a actividades previas a la construcción de la estructura principal. En ella también se halló un conjunto de ofrendas de cerámica de estilo Lima rota *ex profeso* (Segura 1999, 2001b). Debido a que los restos óseos dispersos acusaban la presencia de contextos funerarios en la superficie de la plataforma más alta, los tres proyectos mencionados trabajaron con más énfasis en esa sección del monumento. De esta proceden los especímenes que son de interés para el presente trabajo. Las pocas publicaciones existentes aún respecto de la arquitectura y los contextos hallados pueden complementarse con fuentes como los diarios de campo de Cirilo Huapaya, quien trabajó, en 1944, en el conjunto que luego se denominó Julio C. Tello. Este trabajo inédito ofrece croquis, detalles, dibujos y perfiles de sus intervenciones, sobre todo en la estructura principal (Huapaya 1944, 1944-1945).

### **2.2.1. La arquitectura y estratigrafía de la estructura principal del Conjunto Tello**

La arquitectura del montículo principal de la Huaca A, denominado así por Mejía Xesspe, se definió, en primer lugar, por el grupo dirigido por Huapaya, bajo supervisión de Julio C. Tello. Su estratigrafía se conoce mejor debido a que el mayor volumen excavado se dio en su cima, mientras que en las secciones bajas solo se hicieron cateos (Fig. 2.6).<sup>4</sup> En su cuadrante sur se practicaron, en primer lugar,

dos cateos pequeños (3 y 4) y, finalmente, uno que abarcó ambos (Cateo 5), de 12 por 12 metros (Figs. 2.7, 2.8, 2.10). Se excavó por franjas orientadas de noroeste a sureste y capas arbitrarias de 1 metro de altura (Fig. 2.9) y se calculó que el montículo tendría unos 7 metros de altura en total. Se definieron dos superficies superiores a poca profundidad. El primero era un piso, de 2 centímetros de espesor, que estaba asociado a restos de un tronco (poste) cerca de la superficie alterada, pues se encontraba en el rango del primer metro cúbico. Se registró mayormente hacia el lado del muro suroeste y debajo había un relleno de terrones. El segundo, cuya profundidad no fue bien definida, no estaba lejos del primero, estaba pegado a la cara interna suroeste y correspondía a un apisonado («entortado» según Huapaya 1994: 12) muy irregular y que tenía, aproximadamente, 10 centímetros de espesor. Debajo de este apisonado se ubicaba una capa delgada de hojas de maíz, a la que seguía otra de adobitos y barro. Todo este conjunto yacía sobre una masa de entortado y carrizo con muchos fragmentos de cerámica. También había masas de barro con improntas de caña y le seguían bloques de *yapana* que conformaban el grueso del relleno. Otro piso fue encontrado a 4,25 metros de profundidad, enlucido y de buen acabado, aunque en algunas partes parecía dañado por que, se sospechaba, se habían colocado terrones de relleno cuando el piso todavía estaba fresco (Huapaya 1944-1945). Debajo había un relleno de tierra, basura («paja de maíz», corontas, pepas de lúcumo, tiestos), a lo que seguían grandes bloques cortados de *yapana*. Se encontró mayormente hacia el lado suroeste pero era muy amplio, según las notas de Huapaya, quien advertía que el patrón constructivo se repetía como en el primer nivel de relleno.

De estas observaciones, Tello, quien continuamente supervisaba los trabajos, infirió que el montículo tenía dos niveles (cf. gráfico en Huapaya 1944-1945: tomo II, 38). Cada uno de ellos se componía de muros cuyo espacio intermedio se rellenaba con grandes bloques de *yapana*, con lo que se conformaba una plataforma en la que se colocaban entierros cerca de la superficie artificial.<sup>5</sup> En este cateo no se encontraron muros divisorios, lo que hacía pensar en un gran recinto cuadrangular, a excepción de muros conformados por bloques de *yapana*, que Huapaya interpretó como muros de contención que apoyaban, al parecer, al muro sureste. Él pensaba, asimismo, que este montículo se habría rematado con «algún adoratorio o quizá viviendas de caña», mientras que Tello concluyó que no era solo un «cementerio» y que «estas huacas se formaron periódicamente tapando templos importantes» (Huapaya 1944-1945: 38).

Las intervenciones más intensivas en este conjunto fueron las de la MAI entre 1968 y 1971, 24 años más tarde. En su momento, los investigadores italianos lo llamaron Julio C. Tello (Sestieri 1972: 326). La cima estaba cubierta, con excepción de una sección en el lado este, en la que se vislumbraban muros superficiales (Sestieri 1971: 101). Se comprobó que la elevación principal consistía de un gran patio cuadrangular abierto delimitado por grandes muros de tapia —cuyos lados este y norte tenían una altura de casi 5 metros—, que fue usado como «cementerio» después de que perdió su función

como complejo sagrado o civil (*ibid.: loc. cit.*). Según Sestieri (1971: 101), se excavó una gran trinchera en el lado norte, de 4 metros de ancho, con lo que este lado se expuso casi completamente. Allí había una puerta a 10 metros de la esquina noroeste y en el muro este —aunque no precisa si se hizo una trinchera en esa parte— se encontró otra a 3 metros de la esquina noreste (*ibid.*). Desafortunadamente, los miembros de esta misión no dejaron mayor documentación, cortes o planos pertinentes a sus trabajos, y sus descripciones respecto de la arquitectura son escuetas.<sup>6</sup>

Bajo la dirección de Juan Mogrovejo, el PAC intervino en 1996 y 1997 con el fin de definir las áreas de trabajo de la MAI y obtener datos estratigráficos. Según sus cálculos, de la plataforma principal, denominada Sector II por este proyecto, ya se había afectado el 95% y solo quedaban dos testigos de 2 metros de ancho a lo largo del muro perimétrico sur y la mitad del muro este. Además, en los muros norte y oeste todavía estaba intacto un relleno de 2 metros de ancho paralelo a la cara exterior de ambos lados. Debido a que no se dispone de perfiles o plantas de las áreas intervenidas, las inferencias acerca del aspecto espacial se limitan a las descripciones consignadas en la literatura (Mogrovejo 1996b; Mogrovejo y Segura 2001 [2000]).

La importancia de los trabajos del PAC radica en su planteamiento de una secuencia constructiva (Mogrovejo y Segura 2001 [2000]: 567, *cf.* tabla 1), lo que consolida la asociación de los contextos funerarios. De esta manera, la principal elevación de Huaca Tello comprende las tres fases siguientes, precedidas por varios pisos y recintos en el Sector I (la plaza principal al oeste): a) C-I, en la que se construyó una primera estructura principal y pequeños recintos aledaños. Al finalizar esta fase se realizaron eventos de clausura y elaboración de chicha de maíz; b) C-II, se construyó un enorme patio cercado por muros de tapial pintados de amarillo de 5 metros de alto y con sus respectivos accesos; c) C-III, se rellenó el gran recinto y se levantó un cerco con muros hechos de *yapana* y enlucido blanco. El patio resultante pudo haber estado techado dada la presencia de postes en la cima (*cf.* antes, trabajos de Huapaya). Es una fase en la que solo el montículo principal pudo estar en actividad mientras que el resto del conjunto fue abandonado, y d) C-IV, que se define por una ocupación temporal de pastores —cuyas viviendas de planta circular ocupan la plaza— y que terminó con un fuerte movimiento sísmico. Según Mogrovejo (Mogrovejo y Segura 2001 [2000]: 568), luego se dio un «uso funerario de la pirámide, que termina hacia fines del Horizonte Medio 2».

Se limpió casi la totalidad de los perfiles, pero se empezó con los testigos este, sur y norte del recinto principal. Sobresalieron los hallazgos de superficies en los lados este y sur, cerca o asociados a los respectivos muros. En el caso del muro este se trataba de un apisonado, bajo el cual se encontró una estructura circular (G, *cf.* abajo) que se construyó después del abandono del montículo. En el caso del muro sur, un piso se asociaba al muro perimetral, el que, a su vez, estaba asociado a un muro de *yapana* que circundaba todo el perímetro superior y sobre el que se colocó un muro de quincha, así



como postes asociados a los muros perimetrales oeste (Mogrovejo 1996b: 24) y este, «lo que podría indicar una cierta semejanza de las partes opuestas de la plataforma».

## 2.2.2. Los contextos funerarios de la estructura principal

**2.2.2.1. Los contextos funerarios hallados por Cirilo Huapaya.** Los entierros encontrados por Huapaya —denominados cadáveres I a VIII—, se ubican por debajo de las dos primeras superficies del Cateo 5 y sus ampliaciones. No se encontraron entierros debajo del piso más profundo encontrado, a pesar del planteamiento de Tello (algo que confirmó J. Mogrovejo, comunicación personal 2006). De dichos contextos funerarios se puede resumir lo siguiente:

a) Estructura funeraria: se sabe que las matrices de los contextos se ubicaron en el relleno de bloques de *yapana*, por medio de la nivelación de los terrones. Se encuentran, aproximadamente, a 1,60 metros de la superficie huaqueada (en la parte superior del segundo metro cúbico excavado; Figs. 2.8, 2.9). Huapaya concluyó que se trataba de «una capa de cadáveres que se encuentran en toda esta plataforma». El lecho (fondo de la matriz) de uno, el Cadáver IV, no estaba nivelado, sino ligeramente inclinado.

b) Tratamiento del individuo: se trataba de siete individuos adultos y un infante dispuestos en posición extendida y decúbito dorsal (Huapaya 1944: 84), si bien varios no tenían la mitad superior del cuerpo intacta. Su orientación era suroeste-noreste —paralelos a los muros— con la cabeza al suroeste y ligeramente levantada, con excepción del Cadáver V, que estaba opuesto a los demás (Fig. 2.10). Por los detalles descritos por Huapaya —como huesos fuera de lugar, faltantes o ajenos al individuo enterrado— se trataba de entierros secundarios, colocados, en su mayoría, sobre camillas de madera (o «chacana» según los apuntes de Huapaya) y uno envuelto en esteras de totora. En un caso, el Cadáver IV, parecía haber estado expuesto al Sol debido a que sus huesos estaban blancos y que se hubiera «desalojado» un entierro anterior.

c) Objetos asociados: los individuos tenían muy pocas vasijas asociadas, algunas cuentas y piedras, conchas e, incluso, mates pirograbados. Es interesante el hecho de que algunas piezas cerámicas fragmentadas fueran depositadas en las estructuras. Otras tenían restos orgánicos al interior<sup>7</sup> o estaban quemadas (sobre todo ollas), pero había piezas decoradas también. Las escasas referencias a atribuciones estilísticas de la cerámica se refieren a fragmentos «Muchik», «con decoración complicadísima» (Huapaya 1944: 25) y objetos como una «taza "chanka" y algunas de tipo "Nievería"». Llama la atención un fragmento de asa que denomina «Chavín», recuperado en el Cateo 16 (Huapaya 1944-1945: 37).<sup>8</sup>

**2.2.2.2. Los contextos funerarios hallados por la MAI.** Según Sestieri, en la cima hubo, por lo menos, dos niveles de contextos funerarios «[...] containing Nieveria pottery with very strong Huari

*influence*», de los cuales el primero estaba completamente destruido (1971: 106). Según Cavatrunci (1991: 358), se encontraron 22 contextos funerarios que fueron excavados entre febrero y abril de 1969 (Sestieri 1971). Solo se dispone de información de ocho de ellos, mientras que la del resto se mantiene inédita. Respecto de los contextos mencionados, Sestieri (1972: 326), basado en la asociación de cerámica, planteó que los más tempranos se ubicaban hacia el oeste y los más recientes al este (en una secuencia estilística Maranga, Nievería, Huari y Maranga Negro). Los datos proporcionados por las publicaciones son los siguientes:

a) Estructura funeraria: cinco de los contextos estaban intactos y los otros tres parcialmente destruidos. Se les identifica con la inicial *T*, del término italiano «tomba»: T-I, T-II, T-III, T-IV, T-V, T-VI, T-VII y T-VIII (este último parcialmente disturbado). Su ubicación es aleatoria (Cavatrunci 1991: 360) en el relleno de bloques de *yapana* del gran patio rectangular (Sestieri 1971: 101) y no se precisa hacia qué lado o a qué altura fueron encontrados. Solo se llegó a describir que la T-VIII fue hallada hacia el muro sur del «patio».

b) Tratamiento del individuo: los individuos estaban extendidos con orientación al noroeste (Sestieri 1972: 326) —es decir la orientación de la elevación principal—, dispuestos en filas paralelas y en posición perpendicular a los hallados por Huapaya. Según Sestieri (1971: 102; cf. Cavatrunci 1991: 348), todos estaban en camillas de manera comparable a los entierros encontrados por Kroeber en Maranga (1954: 32). Las camillas consistían en dos maderos largos de madera balsa no paralelos, sino que convergían hacia las extremidades y se unían mediante maderas transversales.<sup>9</sup> Sin embargo, su disposición, ventral o dorsal —ya que de ambos casos tipos hubo en este último complejo mencionado, además de otras posiciones sobre el costado—, no se puede determinar a partir de la literatura ni de la comparación, por lo que este aspecto permanece sin esclarecer, con la excepción de lo que se observa en la segunda foto del artículo aparecida en el artículo de Sestieri de 1971 (p. 102). Según Martha Palma (comunicación personal 2013), se trata de un subadulto en posición decúbito dorsal. Entre los objetos asociados hay una botella de asa lateral tubular, pico de lados divergentes y cuerpo en forma de cucurbitácea, además de lo que parecen ser dos mates.

De hecho, los huaqueros dejaron en algunos casos la camilla y esparcían, por lo general, los huesos (Sestieri 1971: 106). En uno de los contextos, bien conservado, una banda de tela simple envolvía los pies (Sestieri 1972: 326). Un contexto inusual lo constituye la T-VIII, el que tiene dos entierros, uno anterior, extendido, desarticulado y «arrimado» por un fardo introducido después y colocado a sus pies, cuyo individuo estaba en posición flexionada con la cabeza orientada hacia el Norte (Sestieri 1971: 103). Los tejidos del envoltorio estaban parcialmente conservados (Sestieri 1972: 327).

c) Objetos asociados: por lo general se trata de contextos con pocos objetos, los que se ubicaban a los costados de la cabeza (por ejemplo, al lado izquierdo de la cabeza del individuo de la T-V [cf. Sestieri 1971: 103]), a los pies (Sestieri 1972: 326; aunque no se especificó en qué casos, si se puede

determinar en el del fardo de T-VIII, así como en el lado izquierdo del individuo extendido del mismo contexto), y en otro caso sobre el vientre, si bien tampoco se definió de cuál contexto se trataba (Sestieri 1972: 326). Sestieri (1971: 102) señaló que las siete tumbas mencionadas tenían, en su mayor parte, vasijas sin decoración, pero una poca inusual cantidad de especímenes con decoración pictórica.

Según Sestieri (1971: 102), la Tumba I (T-I) tenía una pieza globular pequeña, con cuerpo en forma de calabaza (no ilustrada), la T-II contenía una tetera (Sestieri 1971: 102), una botella cantimplora, una botella de estilo Maranga Negro, algunas cuentas de collar y dos tupus; la T-III tenía una botella lenticular, dos husos con piruros y cinco miniaturas (también ilustradas en Sestieri 1971: 102, 103); a la T-IV se le asociaba una botella decorada y un pequeño cántaro utilitario; la T-V solo presentó una botella decorada nievería. En la T-VIII, el fardo intrusivo, al parecer, se rodeaba de algunas vasijas simples y decoradas, pero no se especificó el número (*cf.* Sestieri 1971: 103). Mas adelante, Sestieri (1972: 327) parece ser más preciso en los objetos asociados a cada individuo, por lo que definió que al fardo intrusivo se asociaban una vasija utilitaria sin decorar, una espátula tallada en la tibia de una llama y un mate fragmentado con el diseño inciso de un Ángel Atarco B, del Horizonte Medio 2 según la clasificación de Menzel. Los otros objetos, correspondientes al individuo extendido, consistían en un cántaro, un plato sin decoración, un cuenco de color negro y una botella con la representación de un felino, además de un esqueleto de mono ubicado en su lado izquierdo, con el cráneo horadado (Sestieri 1971: fig. en p. 104; Mogrovejo y Segura 2001 [2000]: 569). Este contexto era importante por que demostraba una superposición del material de la Época 2B del Horizonte Medio sobre el de la Época 1B. Por otro lado, en los desmontes provocados por los huaqueros se hallaron fragmentos de cerámica chakipampa, lo que, según el criterio de los investigadores italianos, indicaba una presencia huari posterior (Mogrovejo y Segura 2001 [2000]: 569). El contexto funerario mencionado arriba a partir de la figura en el artículo de Sestieri de 1971 (p. 102), tiene una vasija que podría ser la pieza CE-0152, cuyo rótulo (véase Fig. 2.12) incluye el año 1969, el cual se menciona en el artículo (Sestieri 1971: 101, campaña febrero-abril de 1969).

Según Sestieri, la «necrópolis» se podía fechar entre fines del Período Intermedio Temprano y comienzos del Horizonte Medio, algo que se corresponde con fechados —desafortunadamente de asociación dudosa— de entre 790 y 850 d.C., procedentes de una muestra obtenida en la campaña 1965 (Sestieri 1971: 106). Por último, basado en sus propias observaciones, Mogrovejo (1996b: 23) planteó que los entierros de la MAI podían ubicarse en otras áreas, además de la trinchera norte que excavaron los investigadores italianos.

**2.2.2.3. Los contextos funerarios hallados por el PAC.** Durante este proyecto se ubicaron varios contextos funerarios (CF 2, 3, 4, 5, 8, 9, 10, 11, 12 y 13), cuatro de ellos intactos (CF 8, CF 9, CF 10 y CF 11), y siete construcciones funerarias (A, B, C, D, E, F y G), de las que la A y la C fueron dejadas

por la MAI (Mogrovejo 1996b: 39). El CF 2 era un individuo subadulto en la Estructura C. Los CF 6 y 7 son tardíos, por lo que no se detallan aquí. A pesar de no contarse con datos específicos en cuanto a ubicación estratigráfica u espacial, o ilustraciones de los materiales asociados (con excepción de unos pocos; Segura 1999: fig. 160) a continuación se expone un resumen de estos hallazgos:

a) Estructura funeraria: los individuos de los CF yacían en fosas no muy profundas, de 1 a 1,5 metros hasta la base, excavadas en el relleno de bloques de *yapana* de la tercera fase constructiva (C-III). Los CF 9 y 10 sí conservaron los restos de sus estratos superiores y las bocas de sus matrices, y esta evidencia los sitúa de manera posterior al abandono del edificio y la reocupación de los pastores ocasionales de la fase C-IV (Mogrovejo y Segura 2001 [2000]: 571). En cuanto a su ubicación solo están indicadas las del CF 3 (en el perfil del testigo este), CF 8 (testigo sur), y CF 9 y 10 (lado exterior del muro norte).

Por su parte, las estructuras funerarias fueron construidas con bloques de *yapana* y argamasa de barro, y con enlucido en sus paredes y piso. La excepción es la estructura B, que tiene muros hechos con adobes grandes sin medidas uniformes y bloques rectangulares de *yapana*. Su planta es oval (A [2,4 por 1,80 metros], E [1,40 por 2 metros]), rectangular o casi rectangular (B [1,70 por 1,30 metros], C [1,80 por 1 metros], D [1 por 0,7 metros], F [1,2 por 1,06 metros] y circular (G). Las estructuras A, B, C y D tienen un pequeño muro divisorio. Las alturas de sus paredes, en tanto se han conservado, alcanzan entre 0,80 y 1,80 metros. Las estructuras E y la G tuvieron una laja o varias como recubrimiento. La Estructura E destaca por los seis nichos ubicados en sus paredes. Solo se especifica de manera general su ubicación en la plataforma (extremos sureste y noreste de la misma). La más importante (E) se ubica muy cerca de la esquina este (Mogrovejo 1996b: 45, Mogrovejo y Segura 2001 [2000]: figs. 3, 4), mientras que la D se ubica en el testigo sur. Solo de esta estructura y de la F se sabe que estaban a 0,35 y 0,80 metros de la superficie (Mogrovejo 1996b: 39-40). Por último, dos de las estructuras —no se señaló cuáles— intruyeron el relleno de la tercera fase (C-III), pero no se conservaron las bocas.

b) Tratamiento del individuo: 1) individuos en posición extendida decúbito dorsal (CF 9 y 10), con los cráneos hacia el Oeste y dispuestos sobre camillas (Mogrovejo y Segura 2001 [2000]: 570), 2) individuo en posición semiflexionada, sobre una camilla (CF 8); su posición original era sentada, pues tenía las últimas vértebras lumbares aún en posición vertical (*ibid.: loc. cit.*), y 3) individuos en posición flexionada sentada, la mayoría disturbados, orientados hacia el Oeste y Sur (CF 3, 4, 5, 11 y 12). El CF 3 contenía dos individuos. Dos parecen haber estado en posición flexionada (CF 2 y 13), el primero estaba envuelto en un fardo. Por último, los cuatro individuos hallados intactos correspondían a entierros de carácter secundario.

c) Objetos asociados: los individuos de los CF tenían, por lo general, pocos objetos asociados. Los colocados en camillas tenían cerámica del estilo Nievería asociada (*ibid.: loc. cit.*). Según Mogrovejo

1996b: 5), los cuatro contextos funerarios hallados intactos estaban asociados a «cerámica Nievería [...] dos tienen objetos de notable significado». El CF 8 tenía la mitad de un plato sin decorar, una olla con restos orgánicos en su interior, un cuenco pequeño, una botella decorada incompleta, una botella con asa lateral, una figurina de arcilla, una lámina pequeña de metal y chaquiras. El CF 9 tenía una botella doble pico y asa-puente con el protoma escultórico con la representación de un jaguar (Mogrovejo y Segura 1996: 570), una botella con asa lateral, ocho vasijas miniatura, un mate con un pulidor y pedazos pequeños de mineral. El CF 10 tenía un plato sin decorar, un objeto de cobre y cinco orejeras de madera (Mogrovejo 1996b: 43-44).

En el grupo de los individuos en posición flexionada, al CF 3 se asociaba un plato decorado, una olla pequeña, un cantarito decorado y mates pequeños. El CF 4 tenía un plato volteado con restos de comida, un collar de semillas, dos cestas, un cono de *tocra* y mates con productos vegetales. Al CF 5 se asociaban la mitad de un plato y mates con moluscos en el interior y huesos. Por su parte, el CF 11 contenía una botella de gollete recto decorada, una semejante pero con asa lateral decorada, una olla simple con restos orgánicos en su interior y una ofrenda especial con ovillos de hilo, copos de lana, dos orejeras y tres artefactos de madera. Además, presentaba una ofrenda compuesta por una piedra pómez, un cuchillo de cobre con un cordel y una pequeña bolsa con pedazos de mineral. El CF 12 solo presentaba dos ollas simples y un par de mates que contenían comida, mientras que el CF 13 tenía dos botellas decoradas (Mogrovejo 1996b: 42, 44).

Las estructuras funerarias, todas saqueadas, tenían solo restos de los objetos depositados. La Estructura C contenía fragmentos de varias vasijas, cuentas, husos y fragmentos de textiles. La D tenía pequeños huesos trabajados y restos de, por lo menos, tres peinetas. La E, por su parte, presentaba restos de animales, fragmentos de unas cinco vasijas, un artefacto de madera, una orejera, pequeños fragmentos de textiles y algunas cuentas. La F tenía restos de cuatro calabazas, fragmentos de 15 agujas de caña, cuentas, restos de dos ollas medianas domésticas y una cabeza escultórica. A algunos de estos objetos se les detalla en sus características, pero no se define su correspondencia específica: «Con los individuos flexionados y las ofrendas de las cámaras se observa un cambio de estilo en la alfarería asociada» (Mogrovejo y Segura 2001 [2000]: 570-571). Así, aparecen un cántaro-efigie que recuerda a personajes huari de turquesa, dos botellas trípode con patas bulbosas, una botella de doble cuerpo con decoración «norteña», un cuenco con patas pequeñas, una olla y dos botellas-retrato de doble pico y asa-puente.

### 2.2.3. El corpus cerámico del Conjunto Julio C. Tello

La Fig. 2.11 muestra la gran cantidad de contextos funerarios documentados por los tres proyectos mencionados (por ejemplo, solo en individuos en posición extendida de 12 contextos funerarios, es

decir afines a Lima, el NMV [número mínimo de vasijas] es 36), un aspecto importante para tomar en cuenta al momento de abordar el estudio de los edificios monumentales lima. No se han incluido en esta tabla los objetos en otro tipo de soporte. Para los objetivos de este trabajo se documentaron los materiales cerámicos, o partes de ellos, recuperados por la MAI depositados en el Museo de Sitio Arturo Jiménez Borja-Puruchuco (MSAJB-P).

Se realizó un cotejo de los rótulos originales de las piezas y los datos de las publicaciones. En la temporada 1969 se documentó un conjunto de contextos funerarios excavados (de hecho, el término italiano ‘tomba’ aún se puede observar en algunos rótulos originales); por otro lado, la mayoría de piezas tienen indicación de un año específico de la época en que se intervino la Huaca Tello, lo que alude a su año de descubrimiento, por lo que se les agrupó de acuerdo a esta característica. De esta manera, se pudieron ordenar los materiales como se observa en la Fig. 2.12. De este grupo hay cinco tumbas con 10 piezas en contexto, mientras que 37 no tienen una asociación contextual segura, y están consignadas en las Figs. 2.12b, 2.12c y 2.12d. En el caso de la Fig. 2.12c, la letra griega  $\alpha$  está citada en el texto de Alessio *et al.* (1967), y se refiere, textualmente, a una «zona», probablemente un área determinada de la cima del edificio o quizá, además, a un contexto funerario.

De los contextos de la temporada 1969, solo los contextos T-II y T-V cuentan con el material cerámico asociado completo. Al parecer, la T-II presenta una vasija más (CE-0151) de las mencionadas por Sestieri (si bien esta atribución aún no es segura), a la T-IV le falta una pieza y los objetos de la T-VIII parecen corresponder al individuo en posición extendida. Como parte del resto de piezas (sin especificación) están los que, como se sabe por las publicaciones de los miembros de la MAI, se restauraron a partir de fragmentos recogidos (Sestieri 1971: 105, 106). Es el caso de las piezas CE-0145 (pieza negra con la representación de dos langostas), CE-2786 (cuatro calabazas unidas, en una botella de doble pico y asa puente), ambas de cocción reductora, CE-0172 (cuenco de gran tamaño) y la CE-0174 (botella doble pico y asa puente con la decoración escultórica de un tiburón), entre otras (*cf.* cap. 4).

#### **2.2.4. Resumen y discusión**

Dos aspectos específicos se deben resaltar aquí y, para ello, los perfiles de Huapaya constituyen un referente gráfico. El primero tiene que ver con las fases constructivas de la arquitectura definidas por el PAC y el segundo con la asociación de los contextos funerarios a estas. En el primer caso, se debe tener en cuenta que ninguno de los tres proyectos menciona muros divisorios internos, por lo que es muy probable que el relleno del gran recinto de la segunda fase constructiva (C-II) represente un solo evento. En cuanto al segundo piso, más profundo, que encontró Huapaya corresponde a la primera pirámide construida de la fase C-I de Mogrovejo y no contiene entierros en ese nivel (J. Mogrovejo,

comunicación personal 2006). Por otro lado, las publicaciones de la MAI no mencionan un piso superior, como si lo hacen Huapaya y Mogrovejo, y solo insinúan los dos niveles de relleno. Es a este piso al que se asocian, según las alturas registradas por Huapaya y el PAC, diversos contextos funerarios de individuos en posición extendida y cámaras. El número de contextos con individuos en posición extendida es notable (*cf.* Fig. 2.11): ocho son producto del trabajo de Huapaya, 21 según Cavatrunci (1991: 358) y dos del PAC suman 31 contextos, sin contar los individuos en posición flexionada sentada, además de la destrucción mencionada de la primera capa de entierros y otros de la segunda capa, ya graficada en los apuntes de Huapaya. Este hecho sugiere que solo los individuos enterrados en el primer tipo de posición habrían sido, por lo menos, entre 50 a 60 si se acepta la posibilidad de que la primera capa tuvo una cantidad similar de contextos funerarios; tampoco se cuentan aquí las cámaras intrusivas. Esto explicaría el por qué Mejía Xesspe la quería denominar Gran Necrópolis de Cajamarquilla (Huapaya 1944: 34), tal como también lo refiere Sestieri (*necropoli*, 1972: 326).

En vista de los resultados de los trabajos de Huapaya y el PAC, se puede señalar que hay un aspecto significativo en común en relación con los individuos en posición extendida y decúbito dorsal (una cantidad no determinada de los de Huapaya, probablemente varios de la MAI y dos del PAC): su asociación a vasijas de estilo Nievería, si bien hay que considerar las asociaciones de los individuos en posición flexionada sentada, de los que no se conoce mucho hasta el momento (*cf.* Mogrovejo y Segura 2001 [2000]: fig. 5). Según los datos expuestos, los individuos encontrados a poca distancia de la superficie por Huapaya corresponden a la misma capa que los encontrados por el PAC (C-III), con la diferencia de la posición flexionada de algunos de estos últimos y que corresponderían al segundo nivel de entierros (inferior) que los investigadores italianos consideraban más intacto. Mogrovejo planteó que podían ser hasta tres (1996b: 24) y, de hecho, los huaqueros llegaron al nivel más profundo (*ibid.: loc. cit.*). Esto mismo puede afirmarse de, por lo menos, algunos hallazgos de la MAI, pues se dice que estaban a poca distancia de la superficie (Sestieri 1972: 326). Además, los individuos en esta posición, por lo general secundarios, tienen diferente orientación: los de Huapaya estaban con la cabeza hacia el suroeste, con una excepción al noreste, mientras que los de la MAI y los del PAC estaban orientados al Oeste, pero todos siempre paralelos con respecto a los muros perimétricos de la plataforma (*cf.* Fig. 2.10).

### **2.3. Descripción del Cementerio de Nievería**

El Cementerio de Nievería se ubica cerca de Cajamarquilla, en el área de Huachipa, en los terrenos de la antigua hacienda Nievería (Fig. 2.13; *cf.* Valdez 2010). A pesar de ser el lugar de procedencia de una las colecciones más famosas de la arqueología peruana, su ubicación y documentación apropiadas permanecieron esquivas por mucho tiempo, lo que motivó propuestas diversas. El mismo Uhle no dejó

indicios claros de dónde se hallaba este yacimiento. En su publicación acerca de sus investigaciones en Lima (Uhle 1910; Uhle 1998 [1910]: 246, 249), no presentó un mapa respectivo y solo indicó, de manera general, que se encontraba «en la parte alta de Lima, cerca de Nievería [...]», determinación y situación inciertas que continuaron posteriormente (*cf.* adelante).

Como se resume en la Fig. 2.14, diversas referencias en la literatura señalan que el Cementerio se encontraba cerca al complejo de Cajamarquilla (D'Harcourt 1922: 110).<sup>10</sup> Muelle, por su parte, es más específico y lo ubica en la llanura de Pumapampa (el área árida que se observa en la Fig. 2.13).<sup>11</sup> El «Río Seco» es el cauce del Huaycoloro, ancho y de paredes en talud, a través del cual se vierten las corrientes de las avenidas de lodo cuando se producen lluvias esporádicas. Asimismo, dejó una descripción de su aspecto: «Este cementerio [...] aunque ahora cae sobre campos eriazos, en un tiempo estuvo rodeado de sementeras: podemos ver las acequias que las irrigaban, bordeadas de secos carrizales, por lo que aún durante la Colonia debían servir, salvo que el *Phragmites communis* no haya sido introducido por los europeos. [...] [D]esde antes de los trabajos de Uhle se ha venido profanando el yacimiento y no hay una yarda cuadrada sin remover» (Muelle 1935: 137). Incluso, miembros de una comisión especial del Senado del Perú visitaron Cajamarquilla como parte de un proyecto planificado para su reconocimiento y protección (Senado de la República 1953) y también señalaron su emplazamiento.<sup>12</sup> Sestieri y otros miembros de la Misión Arqueológica Italiana (MAI) debieron haber conocido e, incluso, visitado el lugar,<sup>13</sup> lo que parece coincidir con lo mencionado por Kroeber (1954: 11). Muchas de estas nociones concuerdan con los datos obtenidos del inventario del Museo Nacional de Historia correspondiente a los años 1906 a 1911, consultado en el Archivo del MNAHP (MNAHP 1963). La importancia de este documento radica en que se trata de un catálogo de la época en que Uhle era encargado de la sección de Arqueología y Tribus Salvajes de dicho museo y que, como se desprende de su lectura, dictó según sus criterios cronológicos. Este documento ayuda, a falta de otros, respecto de algunas precisiones que se expondrán más adelante (*cf.* Shady 1982; Valdez 2010).

Su ubicación exacta se debe, más bien, a una fuente poco consultada: en 1974, Carlos Milla fue comisionado, junto con Mercedes Cárdenas, para realizar el Catastro del valle del Rímac y en dicho trabajo aparecía, con ese nombre, un extenso yacimiento. En esos registros (1974: ficha 188, p. 637), aparece con el código 24j-14D-3 y su material predominante eran los adobes y adobitos (*cf.* abajo), a 390 metros sobre el nivel del mar y su área era de 100 por 300 metros. El programa Google Earth lo sitúa en las coordenadas 11°59'34,49'' de latitud sur y 76°54'12,78'' de longitud oeste. Con el objeto de ilustrar estas descripciones, la foto aérea SAN 340-1631 (1944) muestra la zona árida en que se encuentra el Cementerio y a este como un área saqueada de planta aproximadamente circular cuyo centro presenta hoyos de gran diámetro (Fig. 2.15). Como se observa, está en la margen izquierda del Huaycoloro, separado por este del complejo de Cajamarquilla, y lo circunda, si bien no está al borde,



el canal de Nievería por el sur, oeste y norte. Había rasgos que en la actualidad han desaparecido, como una zanja de orientación noroeste-sureste que lo separa de una estructura de planta cuadrangular, sin otras construcciones visibles. Gracias a observaciones realizadas, se puede definir que este es un montículo del Período Intermedio Tardío dadas las características de sus muros de tapia (Mogrovejo, citado en Narváez 2005: 13). Este montículo ha sufrido daños mayores y se ha nivelado parte de su sección sureste (Fig. 2.16). El área está atravesada por varios pequeños ramales del canal que se reparten por estos terrenos y le dan una configuración trapezoidal. En varios otros lugares hay otras áreas saqueadas, pero más pequeñas tanto al noreste como junto a la estructura cuadrangular. Con anterioridad a 1944, como se desprende de la foto, los alrededores de la parte sureste fueron incorporados para el cultivo. La configuración actual es, lógicamente, muy distinta y el yacimiento arqueológico se encuentra bajo el asentamiento humano Praderas de Huachipa (Fig. 2.17).<sup>13</sup>

### 2.3.1. Los trabajos de Max Uhle en el Cementerio de Nievería

Cajamarquilla, como otros sitios arqueológicos, fue objeto de saqueo constante muy probablemente desde tiempos de la Colonia. Desde el siglo XIX, diversos viajeros y estudiosos extrajeron materiales del complejo o documentaron parte de él, como Squier (1974 [1877]), Gretzer (Raddatz y Krause 1985) y Berthon (Núñez 1989: 184), entre otros. Lo mismo ocurrió con el Cementerio de Nievería (Muelle 1935: 137). Es muy probable, además, que los materiales que actualmente poseen varios museos —en, al menos, dos continentes— sean el resultado de este tipo de actividades.<sup>14</sup> Los saqueos continuaban o habían dejado sus rastros en tiempos de Uhle.

Sobre la base de las agendas (*Notizbücher*) de Uhle guardadas en el Ibero-Amerikanisches Institut-Preußischer Kulturbesitz (IAI-PK), Liebscher (1999: 72) refirió una primera excursión del investigador alemán a la hacienda Nievería y las ruinas de Cajamarquilla el 23 de enero de 1896, es decir, poco después de su llegada al Perú. Tanto de las fuentes de Liebscher (1999: 85), como de los inventarios referidos del Museo Nacional (MNAHP: tomo I, 32, *passim*) se desprende que en diciembre de 1905 compró una serie de objetos de todo tipo de soporte (*cf.* adelante) a los huaqueros de la zona. Posteriormente, realizó dos temporadas de campo: la primera entre agosto y setiembre de 1906, bajo los auspicios de su mecenas Phoebe Hearst y la segunda entre abril, mayo y junio de 1908, cuando ya estaba en su cargo en el Museo Nacional, en Lima (*ibid.*: tomo I, 62 *passim*; tomo II, 324, *passim*; Hampe 1998: 138-139).<sup>15</sup> De estas dos temporadas obtuvo cuantioso material proveniente de contextos funerarios tanto del Período Intermedio Temprano como de las épocas 1B, 2A y 2B del Horizonte Medio, según la cronología de Menzel (1964: 54), si bien es muy posible que existieran contextos de otras épocas. Si se considera que su principal interés era determinar la cronología, sus hallazgos son importantes por la identificación de superposiciones y el reconocimiento de desarrollos culturales previos a la época inca en esta parte de la costa peruana. De las otras fuentes mencionadas y

su publicación de 1910 (Uhle 1910; Uhle 1998 [1910]), la única que resume sus investigaciones e interpretaciones acerca de los desarrollos culturales de la costa central, se puede señalar lo siguiente (Valdez 2010):

1) Estructuras funerarias: Uhle no describió las estructuras para los individuos en posición extendida (Uhle 1998 [1910]: 249). La breve mención de la geografía y la estratigrafía en el artículo de 1910 coincide con lo que se señala en el inventario del Museo Nacional (1963, tomo II, *passim*). Según este inventario, los objetos catalogados procedentes de este yacimiento tienen una correspondencia con un período —el «primer período del valle de Lima»—, ya que es, al parecer, la primera ocupación humana que Uhle reconoció en el valle del Rímac. Más adelante, ya en la temporada de 1908, hizo una precisión para esta etapa de la siguiente manera: la «civilización de los entierros tendidos», «Primero del valle de Lima, subdivisión a (entierros con muertos tendidos)» o «primero a del valle de Lima». También observó la presencia de individuos en posición flexionada sentada, pero incluyó datos acerca de sus estructuras funerarias. Asimismo, Uhle (1998 [1910]: 250-251) describió que había individuos enterrados de esta forma junto con otros «tratados de otra manera»: «El cementerio se extendía hacia tierra adentro con ellos, por lo que se deduce que esta era una continuación del cementerio más temprano», de lo que tampoco se cuenta con información de sus posibles matrices.

Por último, Uhle mencionó que había «entierros de bóveda» (MNAHP 1963: tomo II, 353, *passim*). Su carácter intrusivo se infiere que: «[e]n otros lugares era evidente que la instalación de estas estructuras más recientes alteraron los entierros más tempranos con individuos en posición extendida» (Uhle 1998 [1910]: 250-251). En el catálogo mencionado consignó lo siguiente en referencia de la temporada de 1908, en lo que parece confirmarse la superposición mencionada: «Primero del valle de Lima (entierro en forma de bóveda)», «Primero del valle de Lima, superficie B», «Primero del valle de Lima, subperíodo b», «Primero del valle de Lima, subdivisión b» y «Primero b del valle de Lima».

2) Tratamiento del individuo: de acuerdo a lo indicado, el cementerio contenía individuos dispuestos hasta en cuatro posiciones:<sup>16</sup>

a) Los «entierros con muertos tendidos» (MNAHP 1963: tomo II, 48, *passim*): contextos funerarios con individuos en posición extendida (Uhle 1998 [1910]: 249). Patterson (1966: 113) consignó más precisiones y acerca de este tipo de tratamiento: «*All the burials were extended and placed on cane or stick frames [...]*».

b) Individuos en posición flexionada sentada.

c) Un probable tercer tipo de tratamiento, los «entierros de las dos formas», citado en el inventario del Museo Nacional (MNAHP 1963: 379, *passim*), parece aludir a contextos funerarios que presentan tanto individuos extendidos como flexionados, por lo que se le expone aquí hipotéticamente.

d) De los individuos colocados en las bóvedas o cámaras no se tiene mayor detalle en cuanto a su tratamiento, pero es muy probable que se les asociaran fardos funerarios y falsas cabezas. En la relación del inventario del Museo Nacional figuran cuatro entradas que corresponden a falsas cabezas de madera.<sup>17</sup> Menzel (citada en Isla 2001: 578) también hizo mención de esta escueta referencia en relación con Cajamarquilla, el complejo vecino (*cf.* 1968: 131). En efecto, dicha autora se refiere a los fardos elaborados de la época 2 del Horizonte Medio procedentes de los valles de Ica, Palpa y Nasca: «Las tumbas [de esta época] contienen fardos funerarios con una cabeza alta muy elaborada, ataviada con ornamentos de oro, incluyendo lagrimones en la cara y penachos de plumas en la cabeza; [y que] según Tello *se parecen mucho a los fardos funerarios encontrados por Uhle en Pachacamac y Cajamarquilla*» [el resaltado es del autor].

3) Objetos asociados: fueron registrados numerosos objetos de las tres temporadas, entre cerámica y otros soportes, si bien no se especificaron los lotes correspondientes (MNAAHP 1963: *passim*). Estos no pudieron haber sido muchos por cada individuo (ver cap. 1), según indicó Patterson (1966: 113): «*only a few grave offerings —usually a pottery vessel or two, decorated sherds, gourds, and occasionally cloth-wrapped crosses or dolls— were placed with the dead*» (el resaltado es del autor). La sección de piezas que recuperó en 1906 fueron llevadas, en parte, a la University of California at Berkeley y, en la actualidad, pertenecen a la colección del Phoebe Hearst Museum of Anthropology. Entre ellos está el conjunto que describió Gayton (1927) para 34 contextos funerarios y las ilustradas en su publicación. Patterson (1966: 112) mencionó que 26 de estas tumbas tenían vasijas de las tres últimas fases del estilo Lima, mientras que el resto tenía asociadas vasijas de los estilos Nievería y Pachacamac. Para los fines de este trabajo se pudo reunir una parte de los objetos de cerámica recuperados entre 1905, 1906 y 1908 en el MNAAHP y en el Museo de la Nación (*cf.* adelante).<sup>18</sup>

De los contextos con individuos en posición extendida se puede inferir que los objetos cerámicos asociados corresponden, por lo menos, al estilo Lima, algo que se puede corroborar en las ilustraciones de Gayton (1927: *plates* 91c, e; 92f, 93a-k, entre otros) y los datos del inventario del Museo Nacional, mientras que de los entierros en posición flexionada no se especificaron detalles.

En cuanto a la tercera forma de enterramiento, «de las dos formas», sus objetos asociados fueron comprados a los huaqueros locales y sus datos son referidos por información indirecta y no por excavaciones. Esto cambia con los objetos hallados en las cámaras: «Aquí aparecían finalmente las vasijas pintadas del estilo de Tiahuanaco [...] Sólo en estos entierros encontré ofrendas más ricas, lo cual parcialmente puede deberse a que su espacio interior se había mantenido libre de tierra. Por ello ahí encontré las siete estólicas que actualmente posee el Museo de Lima» (Uhle 1998 [1910]: 251; ver fig. 19, vasijas en la parte superior).

### 2.3.2. El aporte de Jorge C. Muelle

A inicios de 1935, Jorge C. Muelle, junto con personal del Museo Nacional, llevó a cabo algunas visitas a las ruinas con el fin de preparar un recorrido para turistas. Realizó cateos en la parte central del Cementerio de Nievería, excavó un contexto funerario (1935: 135, 137) y obtuvo los siguientes resultados:

a) Estructura funeraria: una estructura de tipo cámara, con paredes de adobes hechos a mano que, por sus características, correspondían al Horizonte Medio (Fig. 2.18):

«tenía una planta cuadrada, 70 X 70cm., y una profundidad de 1.20 m. medida a partir del antiguo piso; encima de este hay un desmante arcilloso y el fondo de la tumba es una estratificación de gravilla. El desmante llenaba completamente el agujero, pero esto había sido impedido antes por un alargado bloque granítico, traído de las vecindades, que tapaba la boca; esparcidos sobre el cementerio vemos varios de estos pedrones descansando de idénticos servicios. Al examinar otras tumbas cercanas nos enteramos que acusan construcción parecida aunque unas veces la planta es ochavada y otras circular.

Los adobes, “en sogá”, tienen longitud (20-28 cm.) y espesor (8-12 cm.) tan desiguales que no se amarran ni han podido mantener horizontales los tendeles; con todo, ayudados por el mortero que es del mismo barro, ofrecen un paramento bastante plano en algunos lados».

b) Tratamiento del individuo: fuera de los restos óseos mencionados en el texto —diáfisis de los dos fémures y fragmentos de maxilar inferior y otros huesos de un infante—, no hay referencia a un individuo completo, de modo que no es concluyente que dichos restos pertenezcan al ocupante, pero Muelle llega a la conclusión de que estaba destinada a un solo individuo, si bien no se pudo determinar su posición (¿flexionada sentada?; cf. Muelle 1935: 146).

c) Objetos asociados: se recuperaron siete objetos, descritos e ilustrados (Fig. 2.19): a) un cavador de madera, el que comparó con otros objetos en ese tiempo también en el Museo Nacional, entre ellos algunos que Uhle excavó en el mismo Cementerio (1935: 139, cf. fig. 4, primera, penúltima y última piezas de la segunda fila); b) un fragmento de calabaza con incrustaciones; c) dos fragmentos de textiles —de los que por lo menos uno de ellos mostraba la técnica del *tie-dye* (*batik*, en el texto); d) dos piezas de cerámica (rótulos: 33-641 [botella], 33-642 [plato]), pero también había objetos cuyas asociaciones respecto de la estructura e individuo no eran seguras debido a la alteración provocada. Es el caso del «cavador» (*ibid.*: 146) y uno de los textiles (*ibid.*: 144). Las piezas de cerámica se hallaron en el fondo de la estructura.

A la relación de los diversos objetos obtenidos le sigue una explicación técnica y una comparación con piezas semejantes. En la sección acerca de la cerámica destaca la referencia al trabajo de Gayton para clasificar las piezas de cerámica recuperadas por Uhle que ya estaban en el Museo Nacional con el fin de realizar una comparación morfológica, de decoración y técnica. Esta aplicación recayó en parte del material de los tres años referidos de las intervenciones de Uhle (1935: 147, cuadro «Agrupación del

tipo B1 según la ornamentación. Objetos recogidos in situ por Uhle o comprados por él en el lugar de las excavaciones»).

### 2.3.3. El corpus cerámico del Cementerio de Nievería

De la Fig. 2.20 se infiere que, si bien el número de piezas en diferentes tipos de soporte constituye una gran cantidad de objetos asociados, las vasijas de cerámica son, también, bastante numerosas, aunque aquí no se ha discriminado entre los contextos y períodos a los que pertenecían. Las piezas documentadas para el presente trabajo comprenden: a) 30 compradas en 1905, b) 30 recuperadas en la temporada 1906, c) 62 de la temporada 1908 y d) una recuperada por Muelle en 1935 (Fig. 2.21), es decir, 123 (21% del total). Según el inventario, como en los hallazgos de Huaca Tello, un porcentaje de ellas estaban incompletas y es muy probable que así se colocaran en los contextos. La documentación de la información de la mayoría de estas piezas estuvo limitada por la presencia de una especie de «cera» que se empleó como una técnica rudimentaria de conservación pero que perjudicó de diversas maneras su aspecto original. De forma coincidente, las vasijas de las otras dos colecciones también tienen este recubrimiento (ver cap. 3).

La diferenciación y características advertidas por Uhle permiten relacionar, en algunos casos, a los objetos cerámicos con un tipo de contexto funerario en particular. Del conjunto total, 10 pertenecen a la «civilización de los entierros tendidos», ocho de ellos con la indicación de la subdivisión «a». De estas, dos solo corresponden a los «entierros tendidos». Diecinueve piezas del corpus corresponden a «entierros en forma de bóveda», a las que se agrega la pieza recuperada por Muelle en 1935 (en total 20 son atribuidas a este tipo de estructuras) (Fig. 2.22). Finalmente, como se mencionó arriba, se cuenta con tres ejemplares correspondientes a «entierros de las dos formas». También son de la temporada 1908 y se hallaron en la zona «al sur del Río Seco». El resto tiene la atribución cronológica general al «Primer periodo del valle».

### 2.3.4. Resumen y discusión

Pese a la falta de disponibilidad de más datos respecto de su investigador original, Patterson señaló que *todos* los entierros estaban en posición extendida y dispuestos en camillas, como en el caso de los excavados por Huapaya y otros mencionados. También es recurrente, en su caso, la descripción de que la mayor parte tenía pocas vasijas asociadas (Patterson 1966: 113), tal como en los contextos de la MAI y los individuos de los CF del PAC. Para la época 8 del Período Intermedio Temprano, Patterson (1966: 117) definió dos tipos de patrones de enterramiento: a) la mayor parte con relativamente pocos objetos (*grave offerings*) o ninguno, y b) si había objetos estos eran una o dos vasijas utilitarias. En el caso del Cementerio de Nievería determinó que había un número mayor de objetos asociados y no

todos eran vasijas «utilitarias», de lo que se deduce una referencia a vasijas más finamente elaboradas y para otros fines, lo que lo llevó a inferir la presencia de un «relativamente pequeño grupo de elite al final del Período Intermedio Temprano» (1966: 117; traducción del autor). De hecho, el trabajo de Gayton permitió que Patterson pudiera atribuir al estilo Nievería algunas piezas que formaban parte de los 34 contextos funerarios cuyos lotes eran factibles de reconstruirse. Asimismo, de lo expuesto sería posible confirmar la existencia de «entierros de las dos formas» en este yacimiento, lo que tendría paralelos en otros sitios como Ancón y Huaca Pucllana. Por último, la presencia de estructuras funerarias del Horizonte Medio 2 que afectan un área funeraria anterior se ha observado en otros complejos (cf. Kaulicke 2001: 322, 340, 345). Se han encontrado, inclusive con características semejantes, en la cima del montículo principal del Conjunto Tello (Sestieri 1971; Mogrovejo y Segura 2001 [2000]: 569) y Catalina Huanca (cf. cap. 3). Muelle las comparó con estructuras semejantes halladas por Uhle «en el estrato Tiahuanaco de Pachacamac» (1935: 137). Lo que no se especifica en estos trabajos es la posición (decúbito dorsal o ventral) de los individuos en posición extendida y la presencia de contextos con individuos en posición flexionada sentada.

## Notas

<sup>1</sup> Bueno (1975) señaló que las *Informaciones* de Toledo proporcionan referencias a Cajamarquilla en la sección correspondiente a las reducciones indígenas de la ciudad de Los Reyes. Estas reducciones se realizaron entre 1572 y 1580. Laporte (1799, citado en Bueno 1974-1975: 173), lo llama Caxamarca La Vieja y la ubica en el «valle que llaman Guachipa al nordeste de Lima». Entre 1892 y 1894, Adolph Bandelier exploró varios sitios del Perú, entre ellos este complejo, y lo mismo hicieron diversos viajeros y estudiosos, como Squier (1974 [1877]).

<sup>2</sup> Uhle (MNAHP 1963: 334, *passim*) encontró y adquirió por compra varios objetos de la época inca extraídos del mismo complejo de Cajamarquilla y, por lo menos, un fardo funerario, específicamente de los silos o pozos ubicados en varios sectores del complejo. Asimismo, mencionó que hay un «cementerio en la falda norte de los cerros del sur», el que muy posiblemente se trate del cerro Matabuey. Todo ello lo atribuyó al «último periodo del valle» (Horizonte Tardío).

<sup>3</sup> A propósito del nombre Huaycoloro, queda pendiente una investigación en torno a la toponimia del lugar. En ese sentido, Rostworowski llamó la atención acerca del significado del término «Huayco»: «Actualmente en Lima se utiliza erróneamente el término “huayco” para una avalancha de piedras, barro y agua, porque “huayco” significa la quebrada por donde discurre la avalancha» (Rostworowski 2005: nota 1).

<sup>4</sup> Estos trabajos también fueron mencionados por la comisión del Senado de la República que visitó el complejo (1953: 51): «Se observó el sector que exploró el Dr. Julio C. Tello. En la excavación de una huaca se ha encontrado *cadáveres en posición horizontal* y cerámica del tipo Ancón. Contiguo a este lugar hay un cuarto que en uno de sus ángulos tiene un altar en la forma de pequeñas plataformas superpuestas y muy cerca de él esqueletos de llamas y vicuñas. Posiblemente fue el sitio para sacrificios» (Senado de la República 1953: 51; el resaltado es del autor). Esta estructura todavía es visible en la parte posterior del montículo principal (Juan Mogrovejo, comunicación personal 2007).

<sup>5</sup> El planteamiento que, en su momento, previó Tello es una configuración hipotética que bien puede encontrarse en los demás montículos de Cajamarquilla (Rafael Segura, comunicación personal 2001). Huapaya registró el dibujo del planteamiento de Tello, así como sus ideas.

<sup>6</sup> Al parecer, la situación contraria —aunque en poca medida— se da en el conjunto denominado Sestieri, que en la publicación correspondiente (Sestieri 1963: fig. 9) queda sin identificar (Rafael Segura, comunicación personal 2005).

<sup>7</sup> Es importante señalar la descripción de los contextos funerarios hallados debido a que no se cuenta con detalles acerca de otros en el entorno de Huachipa, con excepción de los trabajos de Uhle (1998 [1910]) y Guerrero y Palacios (1994). Por ejemplo, al Cadáver II se asociaba un «cántaro gollete algo acampanulado [al que] le faltaba el asa antes de ser enterrado. En el fondo de la vasija la tierra es brunácea probablemente *el concho de la chicha*» (Huapaya 1944: 87). Este cántaro estaba roto en 46 fragmentos. Otra olla, con indicios de quema también, tenía «[...] *una sustancia calcárea o de sal*. En el interior tenía restos de maíz cocido pues quedan pequeñas partículas y como una harina» [el resaltado es del autor] (*ibid.*, *loc. cit.*).

<sup>8</sup> El inventario completo de los objetos recuperados, procedentes o no de contexto, están en una lista que forma parte del mismo archivo (Huapaya 1944, 1944-1945). Al menos parte de los materiales cerámicos recuperados en este proyecto están guardados en la Curaduría de Cerámica del MNAHP, indicados con la inicial X (de Xika-Marka), y contienen rótulos que concuerdan con los datos consignados en el inventario.

<sup>9</sup> La madera balsa se obtiene de un árbol cuyo nombre científico es *Ochroma lagopus*, un tipo especial que crece solamente en la selva subtropical del Ecuador, aunque también se encuentra en otros países sudamericanos. Definitivamente se trata de una materia prima no local. Este material, muy ligero, solo podría haber sido usado para sostener volúmenes de muy poco peso, lo que parece corresponder con los entierros secundarios lima que se observan tanto en el Conjunto Tello, según las observaciones de Huapaya, y en otros complejos lima. De los entierros en este sitio, Jijón consideraba que «[e]l difunto antes de ser enterrado permanecía largo tiempo expuesto —por lo que muchos cadáveres se encuentran sin ropa ni carnes— probablemente mientras se celebraban fiestas en su honor y cumplían el luto sus familiares» (*cf.* Jijón y Caamaño 1949: 504).

<sup>10</sup> «*Les fouilles ont principalement porté sur un vaste terrain situé à six ou sept cents mètres des ruines, cimetière probable de Cajamarquilla ou d'une agglomération qui lui serait antérieure. [...] Le D<sup>r</sup> Max Uhle est le seul qui ait exécuté des recherches méthodiques en ce lieu (1905)*».

<sup>11</sup> El hoy perdido nombre de la llanura desértica, Pumapampa, también aparece citado por Villar Córdoba (1938: 49) y Cavatrunci (1991: 354).

<sup>12</sup> «Frente al barranco por el lado Sur de las ruinas [de Cajamarquilla], hay un extenso lote de terreno con cultivo del Fundo “Nievería”. Este es otro caso de ruinas arqueológicas invadidas por cultivos agrícolas. Igual invasión hay al otro lado de este lugar, que es donde quedan los cementerios que estudió el profesor Uhle» (Senado de la República 1953: 51).

<sup>13</sup> En la temporada 2001 del Proyecto Arqueológico Cajamarquilla (PAC) testimonios orales de los obreros señalaron que, al hacerse los cimientos para viviendas, se hallaron fragmentos cerámicos similares a los recuperados en las excavaciones o de los estilos Lima y Nievería, con la presencia, aún, de individuos en posición extendida en la zona ocupada por el asentamiento Praderas de Huachipa. En ese sentido, es muy posible que en el Cementerio todavía se puedan encontrar contextos funerarios intactos. A principios de este siglo, en el área situada al oeste de la estructura cuadrangular tardía, se practicaron algunos silos sépticos por parte de pobladores del asentamiento actual. A casi 4 metros de profundidad Guillermo Cock observó un individuo en posición flexionada sentada (comunicación personal 2005).

<sup>14</sup> El oficial francés Paul Berthon también realizó excavaciones en Nievería entre 1907 y 1908 y en otros sitios en los que Uhle trabajó casi en los mismos años (Núñez 1989: 184). Sus objetos fueron a dar al Musée d'Ethnographie du Trocadero, París, y fueron ilustrados, en parte, en la conocida publicación de D'Harcourt (1922), en la que también aparecen piezas del estilo que denomina Cajamarquilla pertenecientes a varias colecciones particulares. En la actualidad están bajo el cuidado del mismo museo, hoy con el nombre de Musée du quai Branly (Lise Mész, comunicación personal 2004).

<sup>15</sup> Es muy probable que los detalles de estos trabajos en Nievería estén en los volúmenes de los *Notizbücher* custodiados en el Nachlass Uhles ('legado de Uhle') del IAI-PK de Berlín. Los números de los tomos pertinentes son 71, 72, 76, 77, 82, 83 y 84 y comprenden las fechas de interés.

<sup>16</sup> Un cálculo aproximado de la cantidad de contextos funerarios que contuvo originalmente el Cementerio de Nievería depende aún de la consulta directa de los diarios de campo. Sobre la base de un inventario referente a restos óseos humanos, titulado «Cráneos humanos procedentes del cementerio de Nievería, vol. XI: fols. 1-25» [1907-1098]) se puede llegar a un número mínimo de individuos de 218. No se puede determinar si los 34 contextos funerarios referidos por Gayton (1927) están incluidos. Sin contar con ellos, sin embargo, no sería aventurado plantear un mínimo de 200 a 250 individuos enterrados, si bien habría que deslindar entre los que

estaban en posición extendida y los que estaban depositados en cámaras. Estos cráneos fueron objeto de estudio en Ciencias Naturales por parte de Carlos Morales (1911) y el odontólogo Francisco Vázquez (1961) (citados por María del Carmen Vega 2008: 209).

<sup>17</sup> Se trata de las piezas 35-5077, 35-5311, 35-5619 y 35-5664, la última de las cuales se refiere solo a «los dos ojos de una cabeza postiza» (MNAAHP 1963: tomo II, 356). Una quinta entrada corresponde a un fardo («bala de momia cubierta con sogá tejida» [35-5428]).

<sup>18</sup> Pocas veces son ilustradas en publicaciones las piezas no cerámicas recuperadas por Uhle. Entre ellas están las que publicó acerca de las estólicas de Nievería (Uhle 1907: lám. IV); las diversas piezas que Gayton ilustró (1927: figs. 2-11), en tanto O'Neale y Kroeber analizaron, entre otros ejemplares, cinco piezas textiles de Nievería en su publicación (O'Neale y Kroeber 1930: *plates* 26, 27). Destaca un gorro de cuatro puntas (*ibid.*: *plate* 26, «Early» [Epigonal] Lima, Nievería), el mismo que aparece en Gayton (1927: fig. 8). Por último, están los palos «cavadores» que mostró Muelle (1935: figs. 2, 4). Muchas de las piezas que están en Lima deben estar aún en las diferentes curadurías del MNAAHP, distribuidas por el tipo de soporte.





## CAPÍTULO 3

### MATERIALES CERÁMICOS DEL COMPLEJO DE CATALINA HUANCA

#### 3.1. Descripción del Complejo de Catalina Huanca

El complejo arqueológico de Catalina Huanca se localiza en el distrito de Ate-Vitarte, provincia de Lima, departamento de Lima y al este de la ciudad capital (Figs. 2.1, 3.1). Las coordenadas indicadas por el programa Google Earth lo sitúan en 12°2'54,84'' de latitud sur y 76°54'49,53'' de longitud oeste. Lo separa de Cajamarquilla una distancia aproximada de 6,24 kilómetros en línea recta y es el sitio lima extenso más cercano. En cuanto a su nombre, Stumer se refirió a él, indistintamente, como «Vista Alegre» (1954: 216, 217; 1956: 79) o «Huaquerones» (1957; 1958: 13, 17; Menzel 1964: 32), mientras que Tabío (1965: 93) mencionó a «[l]a gran pirámide ceremonial, conocida por varios arqueólogos peruanos con el nombre de “Huaca de Catalina Wanka”». De la misma manera, según Jorge Zegarra, un dibujante que intervino en el sitio por encargo del Museo Nacional de Arqueología y Antropología (1957: 1),<sup>1</sup> se refiere a este conjunto como «Catalina Huanca». Para los objetivos de este trabajo se utilizará este último con el objeto de identificar los restos arqueológicos y diferenciarlos de la zona en que se encuentran (terrenos de la antigua hacienda Vista Alegre). Hasta hace poco era uno de los sitios lima con mayor documentación deficiente, pero los trabajos de Miguel Cornejo, quien realizó excavaciones de rescate entre 2006 y 2007 (Cornejo, comunicación personal 2012), lograron recuperar más datos y evidencias acerca de sus ocupaciones.

Catalina Huanca se ubica en la margen izquierda del valle del Rímac, en una angosta y árida quebrada a la altura del kilómetro 12 de la Carretera Central. Al igual que Cajamarquilla, se ubica en el límite entre el valle medio y bajo, y en el extremo superior de la costa o *chala* (Pulgar Vidal 1987). Aquí se inicia la gran llanura aluvial que llega hasta el océano Pacífico (Ferreyra 1986: vol. I). El complejo está bordeado por un macizo que hacia el oeste toma el nombre de Puruchuco —o también Mayorazgo, según Tabío (1955: 96, cf. IGN 1971, 24j, 15j)— a cuyo pie se encuentran el sitio epónimo y otros conjuntos arqueológicos. Otros nombres que toman las elevaciones están en relación al sitio; por ejemplo, al noroeste toma el nombre de San Juan (Zegarra 1957: 39) o Huaquerones (IGN *ibid.*). Pese a conformar, junto con otras alturas de la zona, los primeros contrafuertes de la cordillera de los Andes en esta parte de la costa, no se han realizado mayores estudios geográficos o geológicos (Javier Jacay, comunicación personal 2008). Entre los sitios arqueológicos cercanos están, desde el norte, La Longuera (25j-1C-2 en el catastro de Milla [1974]), Huaquerones (Huaquerones B en Milla 1974), Puruchuco y La Puruchuca, todos al pie o en las laderas del macizo. Como en la zona de

Huachipa, las evidencias procedentes de estos sitios corresponden a la secuencia completa desde el Horizonte Temprano (Cock 2004: 184-186) hasta el Tardío. Fuera de la del Período Intermedio Temprano, las del Período Intermedio Tardío y Horizonte Tardío son bastante densas (Zegarra 1957; Farfán 2000; Cock 2004; Villacorta 2005).

La primera referencia específica que se conoce corresponde a Louis M. Stumer, quien realizó los trabajos arqueológicos más extensivos (1954c, 1956, 1957, 1958). Como se mencionó antes, si bien no presentó un croquis o plano de las áreas intervenidas ni del conjunto en general, no fue el único que intervino en el lugar (Zegarra 1957). Ya que no se disponen de descripciones detalladas en la literatura, estas se toman de otras fuentes. En el catastro de Milla (1974), el complejo de Catalina Huanca tiene el rótulo 25j-2C-14. En su ficha de registro correspondiente (n.º 41), su longitud es de 2'91-900, su latitud es 86'67-7500 y su altitud es de 370 metros sobre el nivel del mar. Su área aproximada es de 400 por 150 metros. De las fotos aéreas más tempranas (1944; Fig. 3.1) se puede observar una estructura grande y principal, con orientación noroeste-sureste, al parecer formada por dos cuerpos —el del noroeste más grande que el del sureste— y que presenta una estrecha y alargada plataforma en su frontis noroeste o delantero (Fig. 3.2), así como una gran plataforma anexa de planta rectangular hacia el sur. Adyacentes a ambos lados se aprecian recintos de planta ortogonal, de mayor superficie en el lado noreste. Cercana a la esquina izquierda de su frontis noroeste destaca un área muy saqueada (*cf.* más adelante) de planta casi cuadrangular. Al parecer, cuatro montículos de menores dimensiones rodean al montículo principal, dos al noreste —además de una pequeña estructura circular (*cf.* adelante)—, y dos al suroeste, número que no coincide con lo descrito por Stumer, quien refirió seis «pirámides periféricas» (1954c: 217; 1957: 272; Menzel 1964: 32). Habrían existido indicios tenues de un quinto en las faldas del cerro San Juan, según Francisco Iriarte (Zegarra 1957: 4),<sup>2</sup> hacia el noroeste, casi colindando con las «inmensas plantaciones de algodón» (*ibid.*: 5), áreas hoy ocupadas por asentamientos humanos. Está en medio de una zona saqueada que semeja un cementerio (*cf.* más abajo). Fuera de los montículos, Stumer creyó reconocer áreas de «viviendas *no planeadas*» [el resaltado es del autor] (1957: 272).<sup>3</sup> A ello hay que añadir una lomada de orientación suroeste-noreste que está frente a la larga rampa del frontis noroeste, la que también se observa en las fotos aéreas (Zegarra 1957: 4-5; Fig. 3.1). Por otro lado, a Zegarra se le debe una sectorización preliminar de los montículos (1957: 5): el más grande fue denominado A, B el del extremo noreste y C el más cercano al montículo central. Los edificios se componen, mayormente, de tapias y, ocasionalmente, de pequeñas secciones construidas con adobitos (Zegarra 1957: 3, *passim*; Milla 1974: 343). Según las fotos aéreas, se puede apreciar que parte de la zona sin construcciones visibles al suroeste parece haber sido un campo de cultivo (áreas más oscuras al sur), y hay un canal, de fecho desconocido (Zegarra 1957: 4), que bordea las estructuras y se sitúa al pie de los cerros de la quebrada.

El complejo presenta daños considerables en su superficie provocados por el saqueo desde la época colonial hasta los de la explotación de arena en la actualidad. Milla (1974: 343) mencionó que: «[los] promontorios que están en la foto aérea ya no existe [sic]; la huaca grande ha sido cortada. Las grandes zanjas para extraer la arena impiden una visita completa al fondo de la quebrada». Además, en su descripción detalló que: «[el] corte con caterpillar de la rampa y la parte frontal de la pirámide dejan a la vista adobitos hechos a mano estilo maranga, como en la Huaca Aramburú. [...] Los montículos [sic] adyacentes también han sido cortados con caterpillars [sic] [...]». De hecho, la estructura más afectada de todas es la de mayor volumen, la que presenta un gran y profundo forado que deja a la vista detalles de la construcción, semejantes a estructuras o «cámaras» de tapia que debieron haber contenido relleno en su interior.

En cuanto a materiales arqueológicos, Zegarra realizó una serie de hallazgos asociados mayormente a evidencias lima. Su objetivo era despejar rellenos con el objeto de fin de encontrar contextos funerarios y definir el interior de las estructuras. Al limpiar, por medio de cateos, el montículo C registró «cerámica de color rojo ladrillo, otros negros desde su estructura y otros con decoración pictórica bicroma». Además, halló tiestos de color rojo ladrillo claro con decoración incisa geométrica. Destaca una mención a un estilo cerámico (*Interlocking*; Zegarra 1957: 15). Este relleno, como en otras áreas en las que intervino (*cf.* adelante), tenía diferentes espesores —algunos bastante grandes—, y consistía de tierra, arena, piedra menuda, fragmentos de cerámica utilitaria o decorada, pedazos de textiles y restos de alimentos —como maíz, pepas de lúcuma y paca—, un conjunto que interpretó como basura.

Zegarra limpió, además, la estructura circular de la zona del noreste. El muro que la delimitaba medía 14 metros de diámetro y estaba compuesto de piedras unidas con argamasa de barro.<sup>4</sup> En él halló, entre otras evidencias, la basura mencionada arriba, un cráneo humano (quizá una ofrenda, cateo 7 [1957: 32]), pequeñas estructuras de adobitos y algunos tiestos pictóricos. En un cateo, denominado 6, a 13 metros al oeste de la estructura circular, descubrió una especie de plataforma o altar de 3 metros de largo por 1,30 metros de ancho y 30 centímetros de alto, a cuyo alrededor estaban colocados los esqueletos de tres llamas y una vicuña sacrificadas. La plataforma era de «barro enlucida con su estructura lateral de adobitos» (Zegarra 1957: 27) y tenía una orientación Norte-Sur.

Asimismo, intervino en un área en la que apenas se perciben elevaciones en las fotos aéreas. Zegarra mencionó que ahí registró un montículo a 50 metros al este del denominado C (*cf.* Fig. 3.1), de baja altura y con el mismo tipo de relleno, fuera de fragmentos muy finos y decorados (*ibid.*: 37), que le llamaron particularmente la atención. También encontró un cementerio correspondiente al Período Intermedio Tardío en las laderas del cerro San Juan, en la parte noroeste (*ibid.*: 21, 37, *passim*; *cf.* Fig. 3.1).<sup>5</sup> Dadas sus descripciones, se parece, por su secuencia, al cercano sitio de Puruchuco-Huaquerones

(Cock 2004). Por último, en la zona sureste realizó un reconocimiento y más cateos —aunque no precisó exactamente dónde—, y halló varias cámaras hechas con adobitos.

Zegarra casi no se ocupó de la cronología de la arquitectura y los artefactos; su aporte se relaciona más con las ocupaciones en este complejo, las que se infieren mayormente como correspondientes a la cultura Lima y que Stumer no alcanzó a detallar. Como se advierte, aunque hoy desaparecida, sí existió una ocupación del Período Intermedio Tardío en el sitio, si bien, hasta donde se observa, no en forma de arquitectura sobre las estructuras tempranas. A esto habría que añadir lo que Stumer mencionó acerca de los entierros intrusivos «tiahuanacoides» en una pequeña «huaca subsidiaria» (1957: 276). Posteriormente, por problemas de un denuncia minero, se levantaron varios planos de delimitación. Uno de los primeros es el que realiza Vicente Segura Núñez (agosto de 1958), a los que siguen otros que redelimitaron la zona por los problemas surgidos debido a la explotación de arena del lugar. El estado actual del complejo muestra una gran área de la parte plana socavada, sobre todo al sur, como consecuencia de dicha actividad (Fig. 3.3). A continuación se hace una aproximación a los contextos funerarios hallados en el lugar.

### **3.2. Aproximación a los contextos arqueológicos a partir de las publicaciones: los trabajos de Louis M. Stumer en 1954 y 1955**

En pocos artículos, Stumer hizo referencia a sus trabajos en el sitio de Catalina Huanca (Stumer 1954c, 1957; cf. Menzel 1964: 31, 32). Su estudio *Cerámica negra del estilo Maranga* (1957) es el que más detalló sus planteamientos acerca de la cerámica del sitio, pero resulta muy superficial respecto de los contextos funerarios. Si se cruzan los datos consignados en la literatura con la de los rótulos aún existentes en las vasijas de su colección, depositada en el MSAJB-P, Stumer realizó excavaciones en unidades nombradas *Cut* ('corte' o 'trinchera'): *Cut* 1 (1957: 274, *passim*) o «cara sur» del montículo (véase más adelante; cf. Stumer 1957: 274), *Cut* 3 (*ibid.*: 276, 278, 281) y *Cut* 4 (1957: 274, *passim*). La ubicación, estratigrafía y características de dichas áreas no se definieron, sino que se priorizaron los hallazgos realizados en ellas. Es posible que haya realizado más trincheras, ya que faltaría describir un *Cut* 2 (y un *Test pit* 1, cf. más adelante), si bien es cierto que pudo haber hecho mucho más en el lapso de dos temporadas (1954 y 1955). A continuación se presentará el material y las asociaciones respectivas consignadas en las publicaciones:<sup>6</sup>

a) *Cut* 1: no se detalló la estratigrafía o características de la sección excavada, pero Menzel (1964: 32) ayudó a definir su ubicación. Se trataba de una unidad de limpieza «*through a refuse along the south face of the central mound*», o la «cara sur» a la que se refirió Stumer (1957: 274, *passim*).

Por lo general, Stumer solo halló fragmentería cuyas formas y acabados correspondían al estilo Maranga Negro, si bien aludió a tiestos con decoración incisa (de líneas algo superficiales y finas) y otros de pasta roja (probablemente la cerámica de estilo Lima; *cf.* Stumer 1957: 276). Así, los fragmentos de cerámica «asociados con la arquitectura» consistían en una cantidad de «cerámica negra utilitaria de buena calidad» (Stumer 1957: 274) y también de cerámica negra fina. Hay una referencia no muy clara respecto a un «típico *almacenaje de modelos* de ollas Maranga [...] encontrado en cantidad, sin diferencia de nivel o ubicación entre éstas y la normal cerámica roja» [el resaltado es del autor]. Tres de las ocho vasijas restaurables encontradas en este lugar eran de cerámica de cocción reductora (Stumer 1957: 274).

Stumer señaló que la «cerámica asociada con la huaca central es la misma que Willey describe [...] en Cerro Trinidad, pero las formas son diferentes y [...] no varían de las formas normales Maranga encontradas en la cerámica roja en el mismo corte» (Stumer 1957: 276). Las formas de cerámica negra halladas corresponden a cuencos («casi un plato», Stumer 1957: fig. 1) y ollas con cuello, «ambas formas típicas de la cultura Maranga». También se hallaron 30 fragmentos con decoración incisa — seis rojos y 24 negros— y una «taza poco profunda» (plato en Stumer 1957: fig. 2), todos con incisiones «no chavinoides». Los motivos de esta pieza son de tipo «Maranga influenciados por Playa Grande» (Stumer 1957: 276).

b) *Cut* 3: realizado en uno de los pequeños montículos (Stumer 1957: 276), y descrito como una «pequeña huaca subsidiaria con tumbas intrusivas [...]».

c) *Cut* 4: unidad adyacente a la pirámide central que comprendía un cementerio con alrededor de 50 contextos funerarios «[...] con tumbas Maranga clásico» (Stumer 1957: 274).

d) *Test pit* 2: se trata de un cateo. Aunque no se mencionó en las publicaciones, hay una pieza que tiene esta indicación en su rótulo (plato CE-0842, *cf.* más abajo).

En la actualidad, la identificación de estas unidades es difícil debido, por un lado, a la ausencia de una descripción exacta de estas en las publicaciones de Stumer y a que no se sabe del paradero de sus diarios de campo. Pese a ello, se intentó ubicarlas espacialmente por medio de la comparación de las fotografías aéreas SAN 340-1647, 340-1649, 340-1696 y 340-1698 (tomadas en 1944), las que abarcan el área del complejo y sus inmediatos alrededores, con la 1512-57-5-1574 (tomada en 1960 y a mayor altura), ya que se trata de registros gráficos hechos antes y después de las intervenciones de Stumer y Zegarra. Hay dos áreas que llaman la atención. La primera es, en efecto, la fachada sur de la pirámide (*Cut* 1). En la foto aérea de 1944 dicha área está completamente intacta (Fig. 3.4), atravesada solamente, como hasta hoy, por una especie de camino. En la foto aérea de 1960, tomada seis años después de los trabajos de Stumer, se observa un área cuadrangular al centro de la fachada y un pequeño desmonte a un lado (Fig. 3.5). Hoy en día el área mantiene este aspecto, pero también es

visible una pequeña sección del acabado de la fachada original (Rafael Segura, observación personal 2002, *cf.* Fig. 3.6). La segunda área es una pequeña sección de terreno con hoyos circulares hacia el flanco suroeste de la pirámide y cerca de la esquina noroeste. En este caso, tanto en la fotografía de 1944 como en la de 1960 el aspecto es idéntico, por lo que es difícil definirla como el *Cut* 4 de Stumer, aunque muy probablemente se trató de un cementerio (*cf.* Figs. 3.4, 3.5). A pesar de la carencia de precisiones en las publicaciones se tratará de ordenar la información correspondiente a los contextos funerarios encontrados. Los detalles pertinentes se refieren a los *Cut* 3 y *Cut* 4:

### 1) Estructura funeraria:

a) *Cut* 3: la descripción de las diversas estructuras funerarias del *Cut* 3 es poco precisa (Stumer 1957: 278). Se indica que son intrusivas y puede tratarse de cámaras por la designación «Tiahuanacoide I» (Stumer 1957: 279).

b) *Cut* 4: no se proporcionan referencias a las posibles estructuras para los individuos del *Cut* 4, fuera de su ubicación al pie del montículo principal.

### 2) Tratamiento del individuo:

a) *Cut* 3: Stumer señala que los individuos estaban envueltos en fardos (1957: 278).

b) *Cut* 4: no hay referencias a los individuos enterrados en este lugar. Según Menzel (1964: 32), las tumbas del *Cut* 4 halladas sumaban «unos 50». <sup>7</sup> De todos modos, la indicación «Maranga clásico» que hace Stumer (1957: 276) sugiere que fueron individuos que estuvieron en posición extendida, algo que, más tarde, confirmó Menzel. <sup>8</sup> Por medio de un cotejo de los rótulos en las piezas guardadas en el Departamento de Cerámica del MSAJB-P se pudo documentar información de los lotes de un total de 49 contextos funerarios.

### 3) Objetos asociados:

a) *Cut* 3: las estructuras de esta área habían sido saqueadas, pero Stumer halló restos de objetos en diversos tipos de soporte. Presupuso que se trataba de tumbas intrusivas tiahuanacoide I, que eran muy ricas y con una sorprendente «cantidad y calidad de las joyas de oro y plata y también [de] los tejidos. Se encontró igualmente madera tallada y taraceada, así como conchas finamente trabajadas» (1957: 278). Los primeros objetos, sostuvo, habrían estado en la parte superior de la estructura, por lo que fueron hurtados, mientras que la cerámica estaba en el fondo, hecho que permitió rescatar este material. Junto a ella había una «desusada cantidad de implementos de madera» (*ibid.*). La muestra de este corte procedió de una tumba y en total se trataba de nueve vasijas, de las que «dos eran de cerámica negra y ambas fueron encontradas en asociación con cerámica policroma Tiahuanacoide I y

Maranga decadente». No es claro a cuántos contextos correspondían las nueve piezas halladas, pero, según Menzel (1964: 54), cuatro de ellas procedían de un solo contexto y las atribuyó al estilo Pachacamac B. Según el inventario de las piezas en el Departamento de Cerámica del MSAJB-P y sus rótulos, las vasijas podrían proceder de, por lo menos, dos contextos funerarios (véase más adelante).

b) *Cut* 4: según refirió Stumer, la cantidad de cerámica era mucho mayor que en el *Cut* 1, lo que parece aludir a las piezas asociadas a los individuos enterrados. Solo Menzel detalló sus características, correspondientes al Horizonte Medio 1B.<sup>9</sup> Fuera de estas, solo había seis fragmentos incisos de «cerámica anaranjada Maranga» (*ibid.*: 276), de los cuales cinco estaban pintados en los colores negro y rojo oscuro del estilo Maranga. Sus formas no variaban respecto a las de la cerámica negra (1957: 276). Ocho de las piezas completas eran de color negro y su pasta difería de las del *Cut* 1, cuya pasta era «muy similar a aquella de Playa Grande y Cerro de la Trinidad» (Stumer 1957: 278; figs. 3-10). Se trataba de una cerámica más pulida, de mezcla fina y de espesor muy delgado. Además había miniaturas, las que, según Stumer, sumaban 346,<sup>10</sup> un tipo de objetos que concordaba con el patrón de enterramiento lima. Por otro lado, mencionó que había «184 piezas completas o restaurables de las trincheras N° 1 y N° 4» (Stumer 1957: 281), y comentó acerca de la calidad de las piezas completas rojas, las que «muestran a la vez el uso de la incisión, del modelado y de pintura». Patterson (1966: 110) obtuvo datos gracias a Dorothy Menzel, quien visitó el sitio poco tiempo después de que Stumer trabajara allí. Según esa información, «*Stumer mainly excavated burials, all of which were associated with Nievería pottery*» (1966: 112).

### 3.3. El corpus cerámico del Complejo de Catalina Huanca

Con el objetivo de obtener los datos de la asociación de vasijas cerámicas a contextos funerarios específicos, y definir estos últimos, se documentaron los rótulos originales de las piezas de cerámica en tanto estas eran visibles, así como los libros de inventario del Departamento de Cerámica del MSAJB-P. Asimismo, se corroboraron estos datos con las publicaciones respectivas (Stumer 1957, 1958). En primer lugar, se comprobó que las piezas, como en el caso de las del MNAAHP —salvo algunas pocas excepciones—, muestran un recubrimiento de una especie de «cera» que se utilizó como un medio de conservación, un proceso desafortunadamente irreversible que dificultó la lectura de diversos rótulos. Fue llevado a cabo, de manera probable, en los años sesenta (Rossana Mendoza, comunicación personal 2003), una época en la que no había métodos adecuados para conservación. Algunos rótulos fueron repasados por encargados posteriores del museo. Los rótulos con los que se cuenta en la actualidad fueron verificados y, si se encontró algún indicio de ambigüedad, queda indicado en el presente trabajo. De estas vasijas, 149 están en el MSAJB-P, dos en el MNAAHP y uno en el Museo de la Nación, lo que hace un total de 152 piezas.

Casi todas muestran en sus rótulos un carácter que semeja una especie de letra A invertida ( $\nabla$ ). Conforme se corroboró con el artículo de 1957, este indica la trinchera o unidad del que procede (*Cut*); así,  $\nabla$ -4 se refiere al *Cut* 4. De acuerdo con ello, se obtuvo un listado de las cantidades de piezas por contexto (*cf.* Figs. 3.7-3.9). En estos cuadros se ordenaron los materiales de la siguiente manera (la letra *T* corresponde al término inglés *tomb* [‘tumba’]):

a) De contextos funerarios (124 especímenes): del *Cut* 3 (dos contextos y cuatro vasijas) y del *Cut* 4 (36 contextos y 120 vasijas). Se desconoce el paradero de los materiales de los 13 contextos restantes hallados en el cementerio, según la literatura, por Stumer (Fig. 3.7).

b) Sin contexto específico (28 especímenes): tres piezas procedentes del *Cut* 1 (*South face*), una del *Cut* 3 (sin especificación), una del *Test pit* 2 y 18 del *Cut* 4, las que, en su mayoría, tienen la indicación de la abreviatura «misc.», del término inglés «miscellaneous», que significa ‘objetos diversos’ y, en este caso, sin procedencia específica. Dos, al parecer, corresponden a contextos funerarios, pero sus rótulos son ilegibles, por lo que no se les asignó a contexto alguno. Quedan sin atribución cinco vasijas (Fig. 3.8).

Hay otras piezas que no se pudieron ubicar y que fueron ilustradas por Stumer. Entre ellas están un plato (Stumer 1957: fig. 1), una botella negra formada por cuatro frutos unidos («lúcumas», 1957: 278, fig. 9) y una concha *Strombus* con diseños incisos recuay (1957: 281, fig. 14). De piezas como la CE-2738 (Stumer 1958: fig. 1), del grupo sin asociación segura a un contexto, no hay datos en las publicaciones.

En general, se pudo alcanzar un buen número de contextos funerarios reconstruidos. Por ejemplo, la T-1 del *Cut* 4 fue definida pues tiene una pieza ilustrada por Stumer (1958: fig. 5, p. 17). El rótulo de la pieza correspondiente solo indicaba el *Cut*, pero la publicación indica su pertenencia a la «tumba número uno». También se revelaron algunas discordancias que se deben indicar aquí (Fig. 3.9). En el caso de la T-16 —que tiene seis piezas asociadas—, no se ha determinado el número máximo de piezas, pero los rótulos revelan un número mayor al determinado por Stumer (cuatro piezas, *cf.* 1957: 287, figs. 10, 16-18). Se trata del mismo contexto en el que se encuentra la pieza del «arcaísmo». La vasija con rótulo  $\nabla$ 4/t29-2 obviamente contiene un error en su registro, ya que Stumer la asocia al contexto mencionado y no a la T-29 (*cf.* Fig. 3.9; 1957: fig. 17). Asimismo, la ilegibilidad del rótulo de la pieza CE-0021 se resuelve también con la publicación de 1957, ya que Stumer también la refirió como perteneciente a dicho contexto (1957: fig. 16). Debido a esta confrontación con la literatura, se sabe, por ejemplo, que se cuenta con siete de las ocho piezas del estilo Maranga Negro que mencionó del *Cut* 4 (1957: 278) y con cuatro de las nueve piezas que recuperó del *Cut* 3 (1957: 281).



Según los rótulos, así como los inventarios del MSAJB-P, los objetos asociados al *Cut* 1 y *Cut* 4 suman 140, una cifra alejada de las 184 piezas «completas o restaurables» mencionadas por el estudioso norteamericano (*cf.* antes), y que deja 44 piezas no habidas. Este recuento sirve para cotejar lo siguiente: se debe mencionar que los lotes asociados a algunos contextos parecen no estar completos, a juzgar por la cifra mayor hallada en el rótulo de cada pieza. Así, por ejemplo, la T-12 tiene las cinco vasijas de las cinco como número máximo que indica el rótulo correspondiente, pero la T-5 tiene ocho de 10 piezas indicadas, lo que podría sugerir que faltan dos o que Stumer numeró otros objetos. Estos no pueden ser las miniaturas de barro cocido —un tipo de piezas que son muy comunes de encontrar en entierros lima y de otros grupos— ya que no tienen un número que complemente el de las vasijas más grandes, hasta donde permite una observación cercana debido a que también tienen el recubrimiento de «cera».

De acuerdo con ello, sin contar los entierros intrusivos, 13 contextos funerarios del *Cut* 4 tienen sus materiales cerámicos completos (*cf.* Fig. 3.9, b), mientras que 23 no aparentan este carácter (Fig. 3.9, c). Según la suma realizada por número máximo de vasijas indicadas en los rótulos, la cantidad de piezas faltantes supera a la que refiere Stumer de la totalidad de ambas unidades (201 frente a 184). En todo caso, dichos cuadros indican cuáles son esos contextos. Para los fines de este trabajo se tratarán con mayor confiabilidad, obviamente, los que están completos, pero de igual manera, como referencia, al resto.

### 3.4. Resumen y discusión

De los cuadros referentes a los lotes de vasijas se infiere que los entierros de Catalina Huanca constituyen el conjunto de contextos funerarios lima con mayor cantidad de objetos de cerámica asociados por entierro conocido hasta hoy, salvo ciertas semejanzas con algunos contextos de la cima del Conjunto Tello (Cadáver II, de los trabajos de Cirilo Huapaya y el CF 8 del PAC; véase Fig. 2.11, a y c). Como se ha expuesto, los individuos en posición extendida y con objetos asociados de los estilos Lima y Nievería conforman una recurrencia en relación con los contextos funerarios del Conjunto Tello, el Cementerio de Nievería y el completo de Catalina Huanca. Estos constituyen áreas funerarias situadas en tres locaciones diferentes —la cima de un edificio monumental, una superficie extensa bordeada por un canal y un espacio al pie de un edificio monumental respectivamente—; además de ello, también hay contextos funerarios intrusivos, algo que se ha visto en el capítulo anterior, pero que, en este caso, no alteraron las tumbas previas. La suma total de las piezas del Cementerio de Nievería (123), el Conjunto Tello (37) y Catalina Huanca (152) resulta en 312 especímenes, el que conforma el universo que se analizará en el siguiente capítulo.

## Notas

<sup>1</sup> Se trata del diario de campo de una intervención en el sitio, pero que carece de sus ilustraciones originales. A juzgar por las leyendas correspondientes, se priorizaron los hallazgos realizados. Los croquis, planos o cortes pueden estar separados, pero en su mayoría se trataría de bosquejos de materiales y vistas panorámicas.

<sup>2</sup> «Es una planicie arenosa árida [...] Esta zona está circundada por una cadena de cerros dándole una forma de herradura, aproximadamente. [...] dentro de esta superficie se hallan ubicadas 5 huacas, perfectamente diferenciadas y una 6a. según F. Iriarte, pero que si así fuera se halla prácticamente arrasada apreciándose un ligero montículo muy achatado» (Zegarra 1957: 3).

<sup>3</sup> Algunas secciones del texto de Stumer de 1957 no son muy claras, por lo que se atribuye esto a errores o malas interpretaciones de la traducción al castellano.

<sup>4</sup> En algunas secciones del texto (1957), Zegarra confundió el área noreste y la denomina noroeste. La estructura circular está, evidentemente, en la sección noreste (cf. Fig. 3.1).

<sup>5</sup> Zegarra llamó a esta zona el Cementerio de Catalina Huanca.

<sup>6</sup> De presencia escasa en los escritos directamente relativos a las intervenciones en Vista Alegre, la metodología empleada por Stumer se puede comparar con otras publicaciones (cf. Stumer 1953; Barraza 2000: 28). Es muy posible que realizara cateos y trincheras por niveles arbitrarios, como en Playa Grande (Stumer 1953) y Cerro Culebras (Stumer 1954b), trabajos en los que también denominaba *cuts* a sus trincheras o unidades y *test pits* a sus cateos (cf. por ejemplo, cementerio El Palmo, valle del Chillón, cf. Stumer 1954a). Zegarra no refirió claramente la ubicación de las áreas en las que trabajó Stumer y solo parece presuponerlas, por lo que puede tratarse de especulaciones: «En una de las huacas más pequeñas del lado Suroeste de la huaca central y la más grande, presenta grandes perforaciones a manera de cateos y con signos visibles de haber extraído elementos arqueológicos (Stumer). Así mismo, sucede en las otras restantes pero de manera muy superficial» (1957: 3). Por otro lado, señaló que realizó «cateos en zona contigua al grupo de wacas saqueadas por Stumer» (1957: 47). Asimismo, «[d]espués de reconocer una gran parte del campo arqueológico determino continuar cateando en una sección cercana a la huaca grande y como a 200 metros de la huaquita consumida por Stumer» (1957: 50).

<sup>7</sup> La cita dice, de manera textual, lo siguiente: «*He excavated some fifty of these burials, as well as broken fragments from the backdirt of pothunters excavations and possibly some refuse from the cemetery area*» (Menzel 1964: 32; el resaltado es del autor). Por su parte, Stumer no mencionó, específicamente, la cantidad de entierros hallados en el *Cut 4*.

<sup>8</sup> «*All the burials in this cemetery contained bodies in extended position, and the pottery corresponds in style approximately to that found by Uhle in the extended burials at Nievería*» (Menzel 1964: 32).

<sup>9</sup> Menzel (1964: 32) refirió: «*Stumer excavated in a cemetery adjacent to the central mound which contained Middle Horizon 1B burials only, to the exclusion of other types*».

<sup>10</sup> La pieza CE-0134 es una olla miniatura hecha de barro cocido. Probablemente fue de color rojo rosáceo originalmente y está guardada en el Museo de Puruchuco. Es posible que, por su mayor tamaño respecto de otras miniaturas de barro cocido, figure junto a las otras vasijas en el anaquel 3 del Depósito de Cerámica. Stumer, al parecer, denominó ofrenda ('offering') a este tipo de piezas y el rótulo tiene una abreviatura de este término («ofr.»). El rótulo original de esta pieza es √-4/t3-ofr.

## CAPÍTULO 4

### ANÁLISIS DE LA CERÁMICA

#### 4.1. Desarrollo del análisis

##### 4.1.1. Morfología y tecnología

**4.1.1.1. Definición de categorías, subcategorías, variantes y subvariantes formales.** Dentro del universo de 312 piezas en total contabilizadas en los capítulos anteriores se cuenta con vasijas de cocción oxidada y reductora en su conjunto, tres instrumentos musicales y dos miniaturas en barro cocido (Fig. 4.170, g-k). Entre las primeras (N=310) hay siete categorías formales: botellas (B), ollas (O), cántaros (C) teteras (T), platos (P), vasos (V) y cuencos (Cu); las vasijas en barro cocido y los instrumentos no se emplean sino hasta el examen de los contextos funerarios reconstruidos (ver cap. 5). Todas están enteras y/o restauradas, y pocas carecen de algunas secciones (incluso algunas muestran desportilladuras), pero se pueden determinar sus categorías y subcategorías formales. Por ejemplo, de dos de los tres especímenes más incompletos —una base tetrápode (35-1403) y un cuerpo escultórico incompleto (CE-0313)— se puede inferir que fueron botellas originalmente. La Fig. 4.1 presenta la cantidad de piezas por categoría, la nomenclatura primaria adjudicada en este trabajo y su número de especímenes. Muestra la representatividad de las categorías formales en el universo, entre las que destacan las botellas de diverso tipo, con más del 60% del total. Sin contar las dos vasijas hechas en barro cocido mencionadas —pertenecientes a la Colección Stumer (piezas CE-0095 y CE-0134)—, 288 son de cocción oxidada y 22 de cocción reductora. Salvo los instrumentos musicales, el resto de especímenes conforman siete categorías y 25 subcategorías (botellas [14], ollas [7], cántaros [2], teteras [1], platos [1], vasos [2] y cuencos). Las piezas con secciones incompletas también tienen una nomenclatura que sirve para su identificación. Diversos elementos formales, como las asas (Fig. 4.2) se consideraron para definir estas categorías y subcategorías. Como se verá más adelante, se determinaron versiones miniatura de las vasijas de tamaño «normal», diferentes de las conocidas miniaturas de barro cocido de la cultura Lima (Fig. 4.3). Más adelante se explican los argumentos considerados para esta definición.

Para la atribución a un estilo cerámico se tomaron en cuenta las características formales de la vasija en general, por un lado, y solo las del cuerpo por el otro, lo que tuvo por objetivo distinguir probables diferencias estilísticas en la conformación de una pieza (ver Apéndice 1). Esto se corroboró sobre la base de fuentes bibliográficas, así como de comunicaciones personales. En el universo de piezas se

han reconocido vasijas con formas «puras» correspondientes a seis estilos, cuatro de los cuales corresponden al Período Intermedio Temprano y el Horizonte Medio 1 (Lima, Chakipampa, Mochica y Nazca —si bien estos dos últimos solo presentan un espécimen cada uno—), y dos al Horizonte Medio 2 (Pachacamac y Viñaque). Fuera de ellos existe un grupo de piezas que conforman el llamado aquí grupo *No Determinado*, debido a que, en su forma, difieren de los estilos mencionados o se involucran rasgos estilísticos de otros tanto de las etapas mencionadas como de otras. Con ello se busca no definir las a priori como pertenecientes al estilo Nievería y determinar si existen vasijas de otros estilos y/o que pertenezcan a otras épocas. En las vasijas de cocción reductora hay piezas de los estilos Lima, Chakipampa y Viñaque, mientras que el resto pertenece al grupo No Determinado (Fig. 4.4). La Fig. 4.5 muestra la cantidad de vasijas por categoría o subcategoría según el estilo.

Los tipos se definieron sobre la base de las ocho formas de cuerpo. Las cuatro primeras de ellas son variantes de la forma globular, mientras que las otras incluyen contornos de perfil compuesto, formas geométricas y escultóricas (C5-C8; Fig. 4.6). El tipo de cuerpo globular achatado (C1) se define cuando la altura es menor al diámetro de la vasija; el tipo globular alargado (C2) se determina cuando la altura total del cuerpo es mayor al diámetro del mismo pero su profundidad es igual al ancho; el tipo globular aplanado (C3) se refiere cuando en el cuerpo, por lo general de altura menor o igual a su diámetro, no son iguales la profundidad y el ancho; el tipo aplanado alargado (C4) señala al tipo de cuerpo donde la altura es mayor que el diámetro máximo pero, de sus dos diámetros, uno es más grande que el otro; el quinto tipo (C5), de perfil compuesto, consiste del contorno de un cuerpo con una inflexión fuerte, donde también es probable que esté formada por la unión de dos secciones independientes o dos vasijas iguales o semejantes; el tipo paralelepípedo (C6) toma su nombre de la forma geométrica pero sus aristas no son rectas, sino muy ligeramente curvadas; el tipo cilíndrico (C7) presenta las mismas características pues sus contornos laterales no son rectos sino ligeramente curvos; por último, el tipo escultórico (C8) representa la variedad figurativa. Debido a la variabilidad formal y en dimensiones de las piezas en estudio se emplearon operaciones estadísticas para definir formas del cuerpo (sobre todo en relación a las globulares) sobre la base del índice de la altura sobre el cuerpo (cuadros de dispersión), así como para diferenciar tamaños mediante el empleo de la raíz cuadrada de la altura por el diámetro del cuerpo (histogramas).

Las variantes se definieron por medio de la combinación de un determinado tipo de pico, gollete, cuello o vertedera —cuya tipología se explica a continuación— en asociación con la presencia o ausencia de asa. Los picos—muy estrechos por lo general— se definieron de acuerdo a su contorno y corresponden a las botellas. Pueden ser de dos tipos: largos o cortos. El pico largo (P) se define cuando la altura es mayor a su diámetro máximo; mayormente son largos y delgados. El pico corto (p) se determina cuando la altura es menor o igual a su diámetro máximo. Las variantes suman 42 (Figs. 4.7a, 4.7b y 4.7c). Se distinguen entre picos de contornos paralelos (p), divergentes (d) y convergentes

(c). Para su codificación e identificación, las letras entre paréntesis indican su particularidad, agregada después de la letra inicial *P* o *p*. Los números 1, 2 y 3 indican un trazo recto, convexo y cóncavo respectivamente. Así, por ejemplo, el código Pp1 indica un pico largo de lados paralelos y trazos rectos, mientras que el código Pc3b define un pico largo, de lados convergentes y con solo una sección de su trazo cóncava. El primer grupo de picos (Fig. 4.7a) se define por aquellos que no tienen formas compuestas. Destacan los picos Pc1a1, Pc1a2 y Pc2b, que son empleados en botellas de un solo pico como de doble pico, mientras que solo el Pc2a es usado en botellas de doble pico. Algunos solo se diferencian por su cada vez mayor ángulo de inclinación; este es el caso de los tipos Pd3a1, Pd3a2 y Pd3a3; Pc1a1, Pc1a2 y Pc1a3, y Pc3c1 y Pc3c2. Finalmente, en el subcuadro inferior de dicha figura destacan picos con representaciones de rostros antropomorfos. El segundo grupo consiste de picos de contornos compuestos (identificados por incluir la letra *x*) (Fig. 4.7b) y puede englobar, como subtipos, a las características anteriores. Destaca entre estos el Pxc3a, con un reborde de tipo recto inferido a partir de una fotografía en un artículo original de Uhle (1998 [1910]: fig. 18a, vasija en el centro, arriba). Es por ello que está indicado con líneas punteadas debido a que la restauración actual de dicha pieza no refleja su aspecto original (Fig. 4.7b; ver más adelante). El tercer grupo, de picos escultóricos, se encuadra en la Fig. 4.7c, y mayormente representan vasijas con cuello de diversa morfología; el primero de ellos (Pe1) es, muy claramente, un cántaro de cuerpo globular alargado, y se le emplea para botellas de doble pico y asa puente. Esta diversidad no sorprende debido al material documentado en la literatura y a que siempre fue un aspecto que llamó la atención de los investigadores.

Los golletes (*G*), que se definen por tener una abertura estrecha y una pared de menor altitud a su diámetro máximo, tienen ocho tipos que se inscriben dentro de los de contorno paralelo y divergente (Fig. 4.8), y un tipo especial, como en los picos, de carácter compuesto. Los tipos Gd3a1 y Gd3a2 se diferencian únicamente por su mayor grado de inclinación. Por su parte, los cuellos (*C*), asociados a las ollas y cántaros, y de los que hay 14 tipos, se inscriben, como en el caso de los golletes, dentro de los casos de contorno paralelo y divergente, y el tipo especial compuesto (Fig. 4.9). Asimismo, varios de los tipos se diferencian únicamente por el grado de inclinación (Cd1a1, Cd1a2 y Cd1a3). De las vertederas (*Ve*), asociadas a vasijas de servicio —como ollas con vertedera y teteras— hay cinco tipos, distribuidas como en los dos casos anteriores (Fig. 4.10). En el caso de presentarse un cuello y una vertedera, la variante se define por el primero de estos elementos formales.

Para la tipología de las vasijas abiertas (platos, vasos y cuencos) también se tomaron como referencia sus contornos y el mismo tipo de codificación empleado en los picos. En el caso de los platos, hay seis tipos, los que se inscriben entre los de trazo recto, convexo y compuesto (Fig. 4.11). Los contornos de los vasos son paralelos o divergentes (Fig. 4.12); por último, los cuencos tienen contornos paralelos, divergentes y convergentes (Fig. 4.13).

Para la codificación del tipo y la variante de una pieza se tomaron como base las categorías y subcategorías de la Fig. 4.3. Junto a la categoría formal se indica, entre paréntesis, el tipo de cuerpo (C1-C8), y se añade el tipo de pico, cuello, gollete o vertedera según los cuadros de las Figs. 4.7a a 4.10. Por ejemplo, en el caso de las vasijas cerradas, para la subcategoría B-APC-PPR (botella de asa puente cintada pico-protoma), un tipo y variante posible puede expresarse como B(C5)-APC-PPR(Pc1a1), que indica que se trata de una botella de cuerpo de perfil compuesto, con asa cintada pico-protoma de tipo Pc1a1, de contornos rectos y ligeramente convergentes. En el caso de las vasijas abiertas se define por el tipo de contorno expuesto en las Figs. 4.11 a 4.13, por lo que el código es mucho más reducido. Así, Vp2b1 indica un tipo de vaso de lados paralelos pero con secciones convexas.

Para obtener una descripción morfológica más precisa, a estos códigos se les añade, luego, la codificación de las características de las bases de los cuerpos, así como de los bordes y labios respectivos sean de los recipientes o de los picos, golletes, cuellos o vertederas, según el caso. Con estos rasgos se obtienen las subvariantes, los que se detallan en el siguiente acápite. Existen siete diferentes tipos (a-g; ver Fig. 4.14); el último de ellos, pedestal, tiene cuatro subtipos (g1-g4) y distinto número en caso sean más de un soporte (bípode, trípode y tetrápode). A pesar de que algunas vasijas carecen de alguno de estos rasgos formales, en diversos casos se ha podido determinar su correspondencia a una variante debido a la impronta del asa, la forma del recipiente, lo que sugieren las secciones incompletas o las fuentes bibliográficas; obviamente, no ocurre lo mismo con las medidas. Los tipos de borde pueden ser solo tres en el universo (simple [S], engrosado exterior [EE] y adelgazado interior [AI], mientras que los labios tienen ocho variantes (convexo [a], redondeado [b], plano [c], ojiva [d], media ojiva interior [e], media ojiva exterior [f], biselado exterior [g] y biselado interior [h]). En la Fig. 4.15 se aprecian las combinaciones de los códigos de las bases, así como de los tipos de borde y labio. Como resultado de las combinaciones pueden resultar cuatro posibilidades: 1) base + borde/labio de un pico, gollete o cuello (por ejemplo, botella, olla con cuello); 2) base + borde/labio del recipiente, donde se caracteriza solo a este elemento (por ejemplo, vasos, cuencos, ollas sin cuello); 3) base + borde/labio del recipiente + borde/labio de una vertedera (por ejemplo, una tetera), y 4) base + borde/labio de un cuello + borde/labio de una vertedera (por ejemplo, una olla con cuello y vertedera). El resultado de este tipo de clasificación puede dar lugar a mostrar especímenes únicos respecto del aspecto formal, lo que, por un lado, se debe a la cantidad de estilos involucrados, pero sobre todo a que se trata de colecciones de tres áreas funerarias distintas en una misma área geográfica y a tumbas en las que puede (o debe) existir una variedad muy grande en cuanto a rasgos formales de las vasijas; sin embargo, sí se encontraron conjuntos de piezas con rasgos formales compartidos, así como correlaciones, como se verá más adelante.

**4.1.1.2. Rasgos morfológicos por estilo: vasijas de cocción oxidada.** En primer lugar se describen los rasgos morfológicos por cada uno de los estilos definidos (Lima, Chakipampa, Nazca, Mochica, Pachacamac y Viñaque) y, a continuación, el grupo No Determinado.

**A. Estilo Lima.** El grupo de vasijas del estilo Lima (N=71) se compone de las categorías botella, olla, cántaro y plato (Fig. 4.16).

a) Botella: esta categoría (N=31) presenta las subcategorías B-ALCV y MB-ALCV; sus variantes se definen por los contornos de sus golletes (Figs. 4.8, 4.17). Es uno de los pocos conjuntos en que los especímenes (en varios casos) superan al número de subvariantes.

a.1) B-ALCV: según los tipos de gollete (Fig. 4.8) se definieron ocho variantes (Fig. 4.17). La forma del cuerpo se determinó por el índice de la altura del cuerpo sobre el diámetro del mismo (Fig. 4.18). La forma correspondiente es globular achatada. Pese a ser globulares, por lo general tienen el ecuador hacia la parte media del cuerpo o hacia la inferior, con pocos casos hacia la parte superior. Las bases pueden ser ligeramente cóncavas, planas o muy ligeramente convexas. La mayoría de labios de estas variantes son redondeados, pero también hay especímenes con labios de tipo media ojiva interior, media ojiva exterior, convexo y ojiva (ver más adelante). Las variantes Gd1 y Gd3a1 muestran prácticamente idénticos rasgos (por los tipos de bases y los labios), salvo dos casos en cada uno de ellos (un caso con labio en forma de media ojiva exterior en Gd1 y otro en media ojiva interior en el caso de Gd3a1). Las variantes Gd2b, Gd2c y Gxd1 representan casos únicos, sus bases son planas y los labios redondeados, por lo que podrían formar otro grupo.

a.2) MB-ALCV: un reducido grupo de ejemplares corresponde a botellas miniatura, las que se determinaron teniendo en cuenta el número total de especímenes por medio de la raíz cuadrada del índice de la altura del cuerpo por el diámetro. De la media se restó la desviación estándar y los valores hacia la izquierda en el histograma corresponden a las piezas miniatura. En ese caso, el valor resultante es 11,37, lo que dejó cuatro especímenes (Fig. 4.19, cf. Apéndice 2).

Los rasgos de la variante Gd1 de MB-ALCV está contenida en el conjunto de la misma variante de B-ALCV, mientras que los de la variante Gd3a1 de MB-ALCV están contenidos dentro de su par de B-ALCV.

b) Olla: esta categoría (N=24) presenta las subcategorías O-C y MO-C; sus variantes se definen por sus cuellos (Figs. 4.9, 4.20). Hay subvariantes que tienen más de un espécimen.

b.1) O-C: según el tipo de cuello se definieron ocho variantes (Fig. 4.20). Presentan cuerpo de tipo globular achatado (Fig. 4.21). Hacia la parte superior derecha de esta figura hay un caso de mayores proporciones (CE-0317, que tiene 26,2 centímetros de diámetro de boca; cf. Apéndice 2). Por

comparación con el trabajo de Segura (2000: 77), esta correspondería a una olla mediana debido al rango del diámetro de su boca (entre 21 y 35 centímetros). Su ecuador está en la parte central del cuerpo; su base puede tener desde un ancho regular a uno amplio. Las bases pueden ser planas, ligeramente convexas, muy ligeramente convexas y en un solo caso es ligeramente cóncava. Las variantes Cd1a2 y Cd2b son muy semejantes entre sí por sus rasgos formales; lo mismo ocurre con los casos únicos Cd1a3, Cd2a, Cd3a1 de O-C debido a las bases planas y labios redondeados de sus cuellos. Las variantes Cd1a1 y Cd2c comparten rasgos. Todos los labios de las variantes son redondeados (salvo dos casos no identificados) y solo hay un caso de tipo convexo.

b.2) MO-C: un conjunto de especímenes fueron definidos como MO-C, lo que se hizo por medio de la operación estadística explicada antes (Fig. 4.22), de lo que resultaron tres especímenes y cada uno representa a tres variantes (Fig. 4.20). La subvariante 2a de Cd1a2 de MO-C es una probable réplica de la variante 2aNI de Cd1a2 de O-C. La variante Cd1a1 de MO-C replica las características de una subvariante de su par en O-C. Todos los bordes de los cuellos son simples y los labios redondeados.

c) Cántaro: esta categoría (N=3) cuenta con solo dos subcategorías (CM y MC-ALCH) (Fig. 4.23).

c.1) CM: el cántaro mamiforme conforma una vasija tipo y sus variantes se definen por el tipo de cuello (Figs. 4.9, 4.23). Las dimensiones de los cuerpos de ambos cántaros no se diferencian mucho entre sí: el primero tiene 31,5 centímetros de altura total del cuerpo, mientras que el segundo posee 37,2 (ver Apéndice 2).

c.2) MC-ALCH: es el único caso de cuello continuo en el universo y uno de los pocos de base redondeada. Asimismo, su variante es un caso único (Cp3b) (Fig. 4.23). Debido a que se trata de un único espécimen en el grupo Lima, a la pieza CE-0065 (altura=14,05 centímetros) se le puede definir como una miniatura si se comparan sus dimensiones con las de la vasija ilustrada en la publicación de Daniel Guerrero y Jonathan Palacios (1994: fig. 38). Presenta dos asas cintadas fragmentadas en posición horizontal y ligeramente oblicua.

d) Plato: presenta esta categoría y una subcategoría (Fig. 4.24).

d.1) P: se compone de 12 ejemplares en cuatro tipos definidos por sus contornos y presenta una subcategoría (MP), con un solo ejemplar (Figs. 4.11, 4.24). Las bases pueden ser planas, muy ligeramente convexas, cóncavas y ligeramente cóncavas. Los tipos P1a, P1b, P2b y P2c pueden tener una variedad de bases, pero solo las dos últimas poseen bases de tipo cóncavo o ligeramente cóncavo. Los labios de los recipientes son redondeados con excepción de tres ejemplares (ojiva, biselado exterior y convexo), además de un caso no identificado.

d.2) MP: la definición de esta subcategoría la muestra la Fig. 4.25, donde el espécimen CE-0126 es un *outlier*. Presenta el tipo P2c, tiene una base ligeramente cóncava y labio redondeado.



**B. Estilo Chakipampa.** En el grupo del estilo Chakipampa (N=17) se encuentran las categorías botella, cántaro y cuenco (Fig. 4.16).

a) Botella: esta categoría (N=14) contiene las subcategorías BC, BC-AAV, B-AAV y MB-AAV (Fig. 4.26). Su particularidad recae en la diversidad de las formas de sus tres tipos de cuerpo (Fig. 4.27), definidos mediante el índice de la altura de su cuerpo en relación con el diámetro máximo, además de su profundidad.

a.1) BC: su forma fue definida mediante el cuadro de dispersión de la Fig. 4.27. De los nueve especímenes por debajo de la línea  $x=y$ , cinco comprenden cuerpos globulares aplanados (su único tipo) debido a que sus diámetros no son iguales, por lo cual definen a la vasija tipo botella cantimplora.

a.2.) BC-AAV: de las BC se cuenta con un solo tipo y variante; un tipo de BC que se distingue por un asa auricular en posición vertical en la unión pico-cuello (Figs. 4.26, 4.27).

a.3) B-AAV: tres ejemplares (de cinco en total) sobre el eje  $x=y$  tienen diámetros dispares, por lo que conforman el tipo alargado aplanado. Esta subcategoría también presenta el tipo globular aplanado. En total tiene siete especímenes, con dos tipos y cuatro variantes (Fig. 4.26). Todas presentan dos asas auriculares en posición vertical.

a.4) MB-AAV: dos de las piezas por sobre la línea  $x=y$  (CE-0028 y CE-0029) son del tipo globular alargado debido a que mantienen, cada una, el mismo diámetro en sus dos ejes (9,50 centímetros en el primero y 10 centímetros en el segundo). Asimismo, son las únicas botellas miniatura del conjunto (ver Fig. 4.28; los valores 9,94 y 10,30 corresponden a estas piezas; ver Apéndice 2). Son prácticamente idénticas en su integridad y solo muestran un asa auricular en posición vertical en la unión del pico con el cuerpo.

Es difícil encontrar recurrencias en este conjunto. En todo el grupo las bases alternan entre muy ligeramente convexas y planas, salvo un caso no identificado. Asimismo, Pc2c y Pd3a1 muestran diversidad en los tipos de labios por espécimen. Las variantes, Pp2 y Pc2c son recurrentes en ambos tipos de la subcategoría B-AAV; de hecho, este grupo, en general, contiene un espécimen por subvariante. La subvariante 3aNI corresponde al caso del pico perdido —pero reconocido en la literatura— como engrosado exterior recto (Pxc3a; ver Uhle 1998 [1910]: fig. 18a, vasija del centro), típico del estilo Chakipampa si bien más relacionado con vasijas de mayores dimensiones. El tipo de labio en la variante Pd3a1 no es uniforme; el labio de la variante Pxp1a2 es el único redondeado. La variante reiterada Pp2 presenta —en un caso— labio plano en los tipos globular aplanado y globular aplanado alargado donde aparece; en cambio, la variante Pc2c es muy disímil en los tipos y subcategorías donde aparece, inclusive en la subcategoría MB-AAV (Fig. 4.26).

b) Cántaro: contiene a la subcategoría MC, con una sola subvariante y espécimen (Fig. 4.29).

b.1) MC: se trata de un único espécimen miniatura y su definición como tal se hace mediante comparación con piezas documentadas en la literatura (por ejemplo, Kaulicke 2001 [2000]: fig. 8). Su variante de cuello es un caso único (ver Fig. 4.9).

c) Cuenco: presenta tres tipos, Cu3a1, Cu3b1 y Cu3b2 (Fig. 4.30). Estos son muy disímiles en tamaño y se diferencian, en particular, en que el tipo 2 tiene un carenado muy marcado en la unión de la pared con la base. Comparten el mismo tipo de base pero difieren en la forma del labio del recipiente.

**C. Estilo Nazca.** Solo una categoría y ejemplar componen formalmente este estilo (Fig. 4.16). Se trata de un vaso tipo Vp2b2, con forma propia de la fase 4 de Nazca (Nazca Medio) (Fig. 4.31; cf. Apéndice 1). Debido a que todos los vasos del universo corresponden a casos únicos (Fig. 4.12) su comparación se hará más adelante.

**D. Estilo Mochica.** Consiste, igualmente, de un solo espécimen (Fig. 4.16) de B-APC-PP de la fase Moche V (Fig. 4.32). Visiblemente tiene el tipo de cuerpo globular achatado. El tipo de pico, Pc2a, es uno de los dos casos en el universo de especímenes, pero carece de sus extremos si bien se puede recuperar esa información por medio de comparaciones con la literatura, donde se aprecia que son de borde simple y con un diámetro de boca muy estrecho (ver Apéndice 1).

**E. Estilo Pachacamac.** Con 28 especímenes, se compone de las categorías botella y olla (Fig. 4.16; 4.33-4.36).

a) Botella: contiene las subcategorías B-ALTV y MB-ALTV.

a.1) B-ALTV: presenta los tipos globular achatado (Figs. 4.33, 4.34) y perfil compuesto (N=26). Sus variantes se definen por los contornos de sus picos (Figs. 4.7, 4.33). Su número de subvariantes (22) es relativamente alto, pero existe un grupo consistente de cuatro especímenes (Pc3c1, subvariante 10a). Las bases de los cuerpos se alternan entre planas y muy ligeramente convexas en el tipo globular achatado, mientras que en el tipo perfil compuesto todas las bases son del tipo ligeramente convexo. El labio más común, cuando se cuenta con el dato, es el plano (variantes Pc1a3, Pc2c, Pc2d, Pc3a, Pc3b, Pc3c1 en el tipo globular achatado y Pp1 en el tipo perfil compuesto); el resto de casos en este tipo son convexos (Pp1), media ojiva exterior (Pd1 y Pc1a1) y redondeado (Pd2a). El labio de media ojiva exterior predomina en las variantes del tipo perfil compuesto, con un solo caso plano (Pp1).

a.2) MB-ALTV: como se observa en la Fig. 4.34, a la pieza 33-641 se le define como miniatura (MB-ALTV) debido a que sus dimensiones son mucho menores a las del resto. Su variante (Pp3a, de labio redondeado) no se replica en el conjunto B-ALTV (Fig. 4.33).

b) Olla: se presenta en forma de una sola subcategoría (O-ALCH).

b.1) O-ALCH: de cuerpo globular achatado, es un único espécimen. Tiene borde de tipo engrosado exterior y labio biselado interior (Fig. 4.35). Dos asas cintadas están dispuestas a ambos extremos del cuerpo en posición oblicuo-horizontal.

**F. Estilo Viñaque.** Se compone solamente de la categoría vaso (Fig. 4.16), del tipo Vd2a, con un único espécimen (Figs. 4.12, 4.36).

**G. Grupo No Determinado.** La mayor parte de piezas del universo está en el grupo No Determinado y corresponden a seis categorías y 23 subcategorías en total. Catorce de ellas no aparecen como parte de los grupos morfológicos de otros estilos y 11 de estas corresponden a subcategorías de botellas. En su conjunto se trata de las categorías y subcategorías B, B-APC-PP, B-APT-PP, B-APC-PC, B-APC-PPR, B-ALCV, B-ALTV, B-AAV, B-AE, O-C, O-ALCH, O-ALCH-Ve, C, C-ALCH, T, P, V, Cu, MB, MB-AAV, MB-ALCV, MO-C, MO-C-AAH-Ve, MO-C-AAH, MO-C-ALCH, MT, MP, MV y MV-Ve. Este grupo abarca siete de los ocho tipos de cuerpos definidos en la Fig. 4.6, con excepción de la forma C3 (globular aplanado de contorno de forma circular, correspondiente a las botellas cantimplora). El grupo No Determinado destaca por contener el tipo escultórico en gran número (ver acápite 4.1.1.5).

Para su descripción se le subdividió en dos subgrupos: de las botellas en general (N=114, Fig. 4.37) y el resto de categorías y subcategorías (cántaro, olla, tetera, plato, vaso y cuenco [N=51]; Figs. 4.46). En el primer subgrupo se presenta la relación de subcategorías de botellas, cantidad de tipos por cada una de ellas, variantes, subvariantes y especímenes. Para la segregación de las subformas globulares de este grupo se empleó el procedimiento antes usado para los estilos definidos por medio del índice de la altura del cuerpo en relación con el diámetro máximo del mismo (Fig. 4.39). Solo dos especímenes corresponden a la forma globular alargada (CE-0062 y 35-5430), mientras que el ejemplar CE-0029, además de esta característica, no tiene sus diámetros de cuerpo iguales, lo que lo hace la única pieza de tipo globular alargado aplanado en este grupo. A partir de la Fig. 4.40 se definen las piezas miniatura. Los valores debajo de 10,59 corresponden a las siguientes siete piezas, en orden descendente: CE-0153, CE-0041, CE-0022, 35-5435, 35-1035, CE-0042 y CE-0024, respectivamente (ver Apéndice 2).

a) Botella:

a.1) B: presenta tres tipos (globular achatado, globular alargado y escultórico), así como dos variantes no definidas de este último tipo (s.e.1, s.e.2) (Fig. 4.38). De hecho, este tipo tiene mayor cantidad de variantes, lo que incluye a las dos que no están definidas. Debido a la disparidad de los tipos y

variantes no sorprende la variabilidad de dimensiones que se presenta. Los rasgos formales, como los labios de los picos, no son uniformes probablemente debido a que los cuerpos corresponden a estilos diferentes (formas lima, pacheco y nazca; ver Apéndice 1). Las bases son de tipo muy ligeramente convexo, plano y ligeramente cóncavo. Varios de los picos están incompletos.

a.2) MB: es un solo caso de tipo escultórico (una serpiente enroscada), definida de este modo por sus muy reducidas dimensiones; constituye un caso único e igualmente tiene su pico incompleto (Fig. 4.38).

a.3) B-APC-PP, B-APT-PP y B-AP?-PP: conforma un conjunto numeroso de vasijas (30 ejemplares); dos subcategorías (B-APC-PP y B-APT-PP) se diferencian por el tipo de asa que muestran (cintada y tubular), mientras que hay un grupo de vasijas de las que no se han podido definir sus variantes debido a la falta de sus picos y asas correspondientes (B-AP?-PP). Con excepción de una subvariante en el conjunto B-APT-PP, que comprende tres especímenes, el resto de subvariantes solo muestra un ejemplar (Fig. 4.41). La subcategoría B-APC-PP cuenta con tres tipos (globular achatado, perfil compuesto y escultórico) y siete variantes en total. Sus bases son muy disímiles (plana, ligeramente cóncava, muy ligeramente convexa y pedestal de varios tipos) y en algunos casos se debe a que son del tipo escultórico. Esta subcategoría es la única que presenta la base pedestal en el conjunto de las botellas, fuera del ejemplar fragmentado en el grupo BND. Además, uno de sus ejemplares tiene doble cuerpo (CE-0001). Contrasta con la subcategoría B-APT-PP, que solo comprende el tipo escultórico (Fig. 4.41) y dos variantes. La variante Pe1 del tipo globular achatado tiene un labio de tipo biselado exterior; los labios de sus variantes Pc1a1 son casi en su integridad planos con excepción del espécimen 35-1455, de tipo biselado exterior; son planos también los picos Pc1a2, Pc2b y Pc2e; se diferencian la subvariante 2a2 de Pc1a1 (ojiva) y de la única variante compuesta Pp3b2 del tipo escultórico (redondeado). Los labios de todos sus tipos de picos son planos.

Debido a que las piezas del conjunto B-AP?-PP no tienen asas ni picos, no puede determinarse la variante —a todas se les denominó con la abreviatura s.e. ('sin especificar')—; sin embargo, se pueden definir sus cuatro tipos. Con seguridad corresponden a una de las dos subcategorías de asa puente (cintada o tubular), ya que sus tipos se replican en dichas subcategorías. Es el único grupo donde aparece el tipo de cuerpo cilíndrico. Sus bases oscilan entre planas y muy ligeramente convexas.

a.4) B-APC-PC, B-APC-P?C y B-AP?-PC: es un conjunto que se compone de pocos ejemplares (N=8, Fig. 4.42). En la subcategoría B-APC-PC obviamente su único tipo es el escultórico y sus variantes son el pico Pp3a y se reiteran las variantes Pc1a1 y Pc1a2. El código B-APC-P?C indica que la pieza carece del pico, mientras que en el caso de B-AP?-PC falta el asa correspondiente, si bien una pequeña sección de esta indica que es cintada igualmente.

a.5) B-APC-PPR y B-AP?-PPR: subcategoría que presenta dos tipos, perfil compuesto (con tres variantes) y paralelepípedo (con dos variantes). La conforman 10 vasijas completas y una incompleta a

la que le falta el asa, con toda seguridad cintada (B-AP?-PPR). En el caso del tipo perfil compuesto, según Rafael Segura (observación personal 2002), dos platos de la tradición Lima conforman el cuerpo de estas vasijas, lo que puede corroborarse por medio de sus contornos y diámetros (ver más adelante). Casi todos los labios en sus variantes son planos, con excepción de la subvariante 2b de Pc1a1 (biselado exterior) y la subvariante 2b de la variante Pc2b (media ojiva exterior) (Fig. 4.43).

a.6) B-ALCV: junto con la subcategoría MB-ALCV conforman el conjunto más numeroso en el grupo No Determinado (N=33 en el primero y N=12 en el segundo). Sus variantes se definen por picos en el caso de las B-ALCV (Figs. 4.7a, 4.7b y 4.44) y por golletes y picos en las MB-ALCV (Figs. 4.7b, 4.8, 4.44). Existe un caso por cada variante con excepción de Pd1, Pd2b y Pd3a1. Las bases pueden ser de tipo muy ligeramente convexo, plano, cóncavo y ligeramente cóncavo.

Las B-ALCV tienen cuatro tipos; el tipo globular achatado es el que tiene mayor cantidad de variantes (16). Los labios de los picos en este tipo son mayormente redondeados, con pocas excepciones (plano [Pp2, Pd2b y Pxc2], ojiva [subvariante en Pd1] y convexo [subvariante en Pd3a1]. En el tipo globular aplanado alargado, el tipo Pd3a1 el labio coincide con el de su par del tipo globular achatado, aunque la base del cuerpo difiere (plana y muy ligeramente convexa respectivamente). En el tipo perfil compuesto, su único ejemplar Pc1a1 reitera uno semejante del tipo globular achatado pero el labio difiere (plano). En el tipo escultórico, los cuerpos tienen bases muy ligeramente convexas o planas; inclusive en la variante de mayor cantidad de especímenes (Pd3a1) los labios son diferentes, así como sus bases. En este tipo se reiteran las variantes Pd1 y Pd3a1 del tipo globular achatado, pero solo se replican las características de las bases de sus pares y no los labios. La mayor parte de los labios en estas variantes son de tipo media ojiva exterior (Pd1, Pd3a1, una subvariante en Pd3a3 y Pxp1d), plano (una subvariante en Pd3a1) y redondeado (Pxp1c y pxd2).

a.7) MB-ALCV: en esta subcategoría se reiteran algunas variantes del conjunto B-ALCV. Las bases pueden ser planas, muy ligeramente convexas e, inclusive, una de tipo redondeada (Fig. 4.44). En el tipo globular achatado aparecen dos variantes de golletes (Gd1, Gd2b) y se repiten las variantes Pd1, Pd2b y Pd3a1 respecto de su par en B-ALCV. Las variantes con golletes tienen rasgos muy semejantes a los del grupo Lima (Gd1, de rasgos iguales, y Gd2b, que solo es igual en la base, más no así en el labio). Todos los cuerpos tienen base plana con excepción de la variante Pd2b, que tiene una base muy ligeramente convexa. Los tipos de labio son muy disímiles (redondeado [Gd1 y Pe2a], plano [Pd1 y Pd3a1] y ojiva [Gd2b]) (Fig. 4.44). En la pieza del tipo perfil compuesto se reitera la variante pp1 y su labio es plano, mientras que en el tipo escultórico se repite la variante Pd3a1 del tipo globular achatado; la mayoría de casos tienen bases de tipo muy ligeramente convexa. Los labios son planos (pp3) y redondeado (Pd3a2, Pxp1a1).

a.8) B-ALTV: los tres especímenes de esta subcategoría tienen todos sus rasgos formales disímiles, con excepción del tipo (escultórico; Figs. 4.7a, 4.45).

a.9) B-AAV: tiene un solo ejemplar y como subcategoría replica una de las del estilo Chakipampa, expuesto antes, pero sus tipos respectivos son distintos (Figs. 4.7a, 4.7b, 4.45); su variante (Pxp1a2) muestra un labio (redondeado) idéntico al de su par en ese grupo.

a.10) MB-AAV: a diferencia del anterior no muestra un tipo y variante existente en el conjunto del estilo Chakipampa (Fig. 4.45), pero su base (muy ligeramente convexa) también está dentro del repertorio de dicho grupo.

a.11) B-AE: con dos subvariantes en su único tipo (escultórico), ambos casos no tienen mayores rasgos en común, salvo las bases (de tipo plano) (Figs. 4.7c, 4.45). La vasija CE-0006 es de dos cuerpos y su pico es de tipo escultórico (una olla con cuello).

a.12) *BND*: consiste de botellas cuya subcategoría y variantes específicas solo se pueden sugerir a falta de rasgos formales que se han perdido (Fig. 4.45). Los tres especímenes pertenecen al tipo escultórico. La variante s.e.1 consiste de la representación de un ave de cuerpo entero que carece de la cabeza; por sus características pareciera una B-APC-PC. La s.e.2 es una vasija antropomorfa que también carece de cabeza, por lo que opcionalmente pudo tener pico pero no un asa cintada debido a que en el área del cuerpo correspondiente no hay espacio para un elemento de esa clase. Por último, la variante s.e.3 solo consiste de la parte inferior de la vasija, de tipo plano, cuyo soporte son tres cabezas escultóricas de individuos de sexo masculino de cuatro que eran originalmente, según se ve en una impronta.

A continuación se describe el conjunto de vasijas que existen además de las botellas en el grupo No Determinado. Comprende las categorías cántaro, olla, tetera, plato, vaso y cuenco, y suman 51 especímenes en total (Fig. 4.46). Con excepción de las teteras (N=23), cada categoría o subcategoría restante muestra de uno a tres especímenes solamente. Cuatro de las subcategorías (en las categorías cántaro y olla) muestran cuello y asas a la vez.

b) Cántaro: se presenta esta categoría y una subcategoría.

b.1) C: solo cuenta con dos tipos y un espécimen respectivo, por lo que cada uno representa un caso único (Figs. 4.9, 4.47). El cuerpo es similar a la forma en que se componen las vasijas de la subcategoría B-APC-PPR. Su cuello es de tipo Cd3a1, que también está en uno de los casos de CM del grupo de vasijas del estilo Lima. El labio es de tipo redondeado.

b.2) C-ALCH: también muestra un solo ejemplar (Fig. 4.47). Gran parte del cuello se ha conservado, por lo que se puede decir, por lo menos, que es compuesto y convergente. Muestra, además, uno de los pocos casos de base redondeada.

c) Olla: esta categoría muestra una gran variedad de subcategorías (Fig. 4.46).

c.1) O-C: sus especímenes (N=4) constituyen casos únicos (Fig. 4.48). Presenta dos tipos (perfil compuesto y escultórico) y sus variantes se replican en el grupo Lima. Sus bases también replican las de sus pares en ese conjunto (muy ligeramente convexa, ligeramente cóncava y plana, además de un caso no identificado). Todos los labios son de tipo redondeado, con excepción de un caso con labio biselado exterior (variante Cd1a2).

c.2) MO-C: en este grupo se reitera la variante Cd1a1 del tipo escultórico de O-C, y ocurre lo mismo con la variante Cd3a2 del tipo globular achatado de MO-C, que se repite en el tipo escultórico de O-C (Fig. 4.48). Sus bases también repiten características de sus pares del grupo de vasijas del estilo Lima (plana, muy ligeramente convexa y cóncava). Asimismo, todos los labios de sus cuellos son redondeados.

c.3) O-C-ALCH: esta subcategoría de olla comprende un caso único, si bien su cuello (Cd1a1) replica una de las variantes de las O-C del grupo de vasijas del estilo Lima (Fig. 4.49), y su labio también es redondeado.

c.4) MO-C-AAH: tiene un solo tipo (escultórico) y un espécimen (Fig. 4.50). Su cuello replica una variante del grupo Lima (Cd1a1). El labio del cuello es de tipo media ojiva exterior.

c.5) MO-C-AAH-Ve: muestra dos ejemplares (Fig. 4.50) que corresponden a un solo tipo de cuerpo (escultórico). Las variantes de sus cuellos replican, como en el caso anterior, cuellos de las O-C del grupo de vasijas del estilo Lima, si bien se diferencian en los tipos de labio (un ejemplar tiene labio redondeado y el otro es de media ojiva exterior). Sus bases sí presentan características de dicho grupo. La vertedera de la pieza CE-0158 es de tipo Vep1a y presenta una sección restaurada en el borde y labio, mientras que la de la pieza 35-1024 es de tipo Vep1b.

c.6) O-ALCH: esta subcategoría (N=3) solo posee un tipo (globular achatado), pero las bases respectivas difieren entre sí (plana y ligeramente cóncava, rasgos del grupo Lima), además de mostrar un ejemplar sin esta sección. En dos de sus tres casos (35-1023 y 35-5709) existe una recurrencia en el tipo de borde engrosado exterior con el tipo de labio biselado interior (Fig. 4.51). El tercero (CE-0112) se caracteriza por presentar un ligero reborde. El asa está en posición horizontal y ligeramente oblicua.

c.7) O-ALCH-Ve: esta subcategoría comprende dos tipos (globular achatado y escultórico) y sus variantes se definen por sus vertederas (Vep1a y Vep1b respectivamente) (Figs. 4.10, 4.51). Ambas vasijas tienen en común la base plana, pero se diferencian en el tipo de labio del recipiente (redondeado y plano según el caso). Los labios de sus vertederas son redondeados.

d) Tetera: se presenta esta categoría y una sola subcategoría (Fig. 4.46).

d.1) T: comprende un conjunto donde la variedad de bases, bordes de los recipientes y tipos de labios de las vertederas casi no permite encontrar recurrencias en los ejemplares de sus dos tipos (globular achatado y perfil compuesto) (Figs. 4.10, 4.52). El primer tipo (N=17) tiene tres variantes definidas y una sin especificar (s.e.1). Sus bases tienen casi el mismo repertorio. En la primera variante (Vep1a)

sus bases son planas, cóncavas y ligeramente cóncavas; en la segunda (Vec1) son planas, cóncavas y ligeramente convexas; en la tercera variante (Vexp1) la base es plana; lo mismo ocurre en la variante s.e.1. Respecto a los recipientes se puede observar algunas recurrencias. En el tipo globular achatado los bordes simples tienen labios de tipo media ojiva exterior y redondeado; los de tipo engrosado exterior presentan labio biselado interior y plano; en el borde adelgazado interior el borde es redondeado. En el tipo perfil compuesto la variante Vec1 presenta el borde de tipo engrosado exterior con el labio biselado exterior, lo mismo que la variante s.e.2; el borde de la variante s.e.1 es simple y el labio redondeado. En el primer tipo, los labios de las vertederas Vep1a son de tipo plano, biselado exterior y redondeado, los de Vec1 son mayormente planos, hay dos casos de redondeados y solo uno de media ojiva exterior; el labio de Vexp1 es redondeado; en el segundo tipo uno solo de los labios de las vertederas Vec1 es plano, como en el primer tipo; el otro no se puede identificar.

d.2) MT: el único ejemplar de esta subcategoría se definió por medio del índice de la altura del cuerpo sobre el diámetro (Figs. 4.52, 4.53). Su tipo de vertedera (Vec2) es particular y único pues sus lados no son simétricos, sino que uno de ellos presenta un contorno convexo y más pronunciado en su sección inferior, mientras que el otro es recto, ambos en sentido ligeramente convergente. El borde del recipiente es engrosado exterior y el labio es biselado interior. El labio de la vertedera es plano.

e) Plato: se presenta esta categoría y una subcategoría, cada una con un espécimen (Fig. 4.54) de bases y labios de sus recipientes distintos.

e.1) P: el plato presenta el tipo P2a, que no se encuentra en el grupo Lima descrito antes, si bien su concordancia con ese conjunto es por el tipo de base que presenta (cóncava) (Fig. 4.54).

e.2) MP: se trata de una miniatura de plato de tipo Px1 (Figs. 4.17d, 4.54). Se caracteriza por presentar el único contorno de tipo compuesto entre los platos.

f) V: esta categoría muestra tres tipos diferentes, con un espécimen por cada uno (Figs. 4.12, 4.54); sus rasgos formales respecto de la base y el labio del recipiente son muy disímiles por lo que también constituyen casos únicos.

g) Cu: esta categoría presenta dos tipos diferentes y un espécimen por cada uno (Figs. 4.13, 4.54). Las bases de los dos son planas, pero sus labios son diferentes.

**4.1.1.3. Rasgos morfológicos por estilo: vasijas de cocción reductora.** Este conjunto consta de 22 ejemplares distribuidos entre tres estilos definidos (Lima, Chakipampa y Viñaque) y el grupo No Determinado. Salvo los dos primeros estilos, el resto presenta un espécimen por subvariante (Fig. 4.55).



**A. Estilo Lima (cocción reductora).** El grupo de vasijas del estilo Lima en este tipo de cocción se compone solo de la categoría plato (Fig. 4.55).

a) Plato: presenta dos especímenes del tipo P2a (Figs. 4.11, 4.56). Uno de ellos carece de base, aunque está restaurado, pero aparentemente fueron idénticos respecto de sus rasgos formales. Este tipo no replica a los del conjunto de vasijas lima de cocción oxidada. Los labios de ambos recipientes son redondeados (Fig. 4.57).

**B. Estilo Chakipampa (cocción reductora).** Consiste solo de la categoría botella (BC, Fig. 4.55). Se trata, igualmente, de dos vasijas idénticas en sus rasgos formales y dimensiones. Presentan el pico Pd2b y sus labios correspondientes redondeados (Figs. 4.7a, 4.57).

**C. Estilo Viñaque (cocción reductora).** A este estilo solo corresponde la categoría vaso (Fig. 4.58) del tipo Vd2a (Figs. 4.12, 4.58). Su base es muy ligeramente convexa y el labio es redondeado.

**D. Grupo No Determinado (cocción reductora).** El grupo No Determinado contiene aquí a las categorías botella, olla, plato, vaso y cuenco (Fig. 4.55).

a) Botella: comprende a esta categoría y las subcategorías MB, B-APC-PP, B-ALCV y B-AE (Figs. 4.59). En total muestra 11 especímenes y tiene un ejemplar por subvariante. En general, las botellas tienen bases de tipo plano o muy ligeramente convexo.

a.1) B: la categoría botella tiene dos tipos y cada uno tiene una variante (Pc2c y Pp1) y respectiva subvariante; sus rasgos formales son completamente distintos. La variante Pc2c replica la base pero no tiene el mismo tipo de labio de su par en el grupo No Determinado de cocción oxidada y tampoco replica el tipo de cuerpo (globular alargado). La forma Pc2c es un tipo mayormente encontrado en el grupo Chakipampa de cocción oxidada, pero el cuerpo está más relacionado con formas idénticas atarco y pachacamac (*cf.* Apéndice 1, Fig. 4.59). El segundo caso, con variante Pp1, muestra un tipo diferente (escultórico). Los labios de ambos son diferentes (Fig. 4.59).

a.2) MB: en esta subcategoría solo hay una variante (pe1a1) y subvariante, por lo que no hay posibilidad de comparación (Fig. 4.59). El tipo de pico (escultórico, olla con cuello) se replica en una BA-E del grupo No Determinado de cocción oxidada.

a.3) B-APC-PP: presenta dos variantes (Pc1a3 y Pc2a) a partir de su único tipo (escultórico), por lo que los rasgos formales no son coincidentes (Fig. 4.59). El pico Pc1a3 se encuentra en el grupo Pachacamac, y su labio así como la base del cuerpo son diferentes de los de su par en el grupo No Determinado de cocción oxidada. El tipo Pc2a es un pico que solo hay en el grupo Mochica del

conjunto de vasijas de cocción oxidada. La base de este ejemplar es diferente y falta el extremo de uno de los picos.

a.4) B-ALCV: presenta tres tipos; cada uno de los dos primeros (globular achatado y perfil compuesto) tiene una variante y el tercero (escultórico) tiene tres (Fig. 4.59). Las variantes Pd3a2, Pp1 y Pp3b2 se pueden encontrar en el conjunto B-ALCV del grupo No Determinado de cocción oxidada, mientras que las compuestas Pxd3 y Pxc3b son particulares respecto de esta subcategoría en el conjunto de cocción reductora. Las bases pueden ser planas o muy ligeramente convexas, rasgos también encontrados en el grupo Lima.

a.5) BA-E: existe un solo caso (Fig. 4.59) y su variante (pxp1) constituye un caso único.

b) Olla: en este grupo se manifiesta en forma de una sola subcategoría (Fig. 4.60).

b.1) MO-C-AAH-Ve: con un único espécimen, su cuello (Cd1a1) es parte de las variantes del grupo Lima e igualmente su labio es redondeado. Presenta una pequeña asa cintada, restaurada, a altura media del cuerpo y está en posición horizontal. Posee pedestal de tipo ovoide y trípode (Fig. 4.60). El extremo de su vertedera está restaurado, por lo que su subvariante no tiene una definición completa, aunque probablemente tuvo el mismo tipo de contorno (recto y paralelo).

c) Plato: presenta solo esta categoría, con un solo espécimen (Fig. 4.61).

c.1) P: corresponde a un único ejemplar de tipo P1a, que replica un tipo del grupo Lima de cocción oxidada, aunque la diferencia recae, en este caso, en la base, que es de tipo cóncava (Fig. 4.61). El labio del recipiente es en ojiva, al igual que su par en el mencionado grupo, pero se caracteriza por presentar dos aplicaciones modeladas en forma, al parecer, de cabeza de ave (?) dispuestas en el borde.

d) Vaso: corresponde a dos ejemplares miniatura de esta categoría (Figs. 4.62, 4.63).

d.1) MV: consta de un espécimen del tipo Vd1 (Figs. 4.12, 4.62); la base y labio del recipiente semejan a los rasgos de la mayoría de sus pares.

d.2) MV-Ve: de tipo Vd2a, el ejemplar de esta subcategoría (Figs. 4.12, 4.63) repite las características del primero (base muy ligeramente convexa y labio redondeado del recipiente); su vertedera es de tipo Vep1a.

e) Cuenco: consta de dos tipos (Fig. 4.64). En el primer espécimen (CE-0130), sus lados son convexos y es de doble cuerpo. El segundo caso (CE-0168) presenta lados divergentes, con un contorno que alterna entre secciones convexas y cóncavas (Fig. 4.64). Las bases son diferentes, pero los labios de ambos recipientes son redondeados.

**4.1.1.4. Comparación de dimensiones y características de elementos formales.** En este subacápite se trata una comparación y detalle de las dimensiones (alturas, diámetros de boca y sus rangos respectivos de ser el caso) de los golletes, picos, cuellos y vertederas en los conjuntos de vasija de los estilos definidos así como en el grupo No Determinado; los vasos y los cuencos no se incluyen por ser casos únicos cada uno de sus tipos. Cuando aparece la abreviatura NI (no identificado) entre paréntesis en los cuadros de altura/rango de altura; diámetro/rango de diámetro ubicados debajo del dibujo de cada variante y al lado de cifras determinadas en las Figs. 4.65a a 4.65g se señala que hay, por lo menos, algún espécimen del que no se cuenta la medida por carecer del elemento formal respectivo. Si se trata de un caso único y aparece la indicación NI se refiere a que falta el rasgo formal en cuestión.

#### **A. Conjunto de vasijas de cocción oxidada**

**a. Estilo Lima.** El conjunto de golletes del universo se restringe a las B-ALCV y MB-ALCV del grupo Lima (Fig. 4.65a) y dos ejemplares en las MB-ALCV del grupo No Determinado (Fig. 4.65e); no hay ejemplares en cocción reductora de estas subcategorías. Las variantes, incluyendo las MB-ALCV, tienen una medida cercana a los 3 centímetros de altura, pero las que tienen mayor altura son Gd3a1 y Gd3a2 (con 3,60 y 3,80 centímetros respectivamente), mientras que las de mayor diámetro de boca son Gd1 y Gd3a1 (con 5,70 y 5,60 centímetros respectivamente). Las variantes que se reiteran en B-ALCV y MB-ALCV son Gd1 y Gd3a1; en este último caso las alturas y diámetros de boca no son muy diferentes.

En relación con las O-C, la Fig. 4.65a muestra que la altura de los cuellos está entre los 2,50 y 4 centímetros mayormente, y la excepción es la variante Cd3a2 (que alcanza los 5 centímetros). En esta figura no se incluye al espécimen CE-0317, debido a que está en otro rango de tamaño, pero tiene casi la misma altura (4,80 centímetros; ver más adelante). También posee la abertura de boca más amplia en ambos casos, y le siguen los rangos de las variantes Cd1a3 y Cd2a (con más de 16 centímetros en su rango máximo). Entre las O-C y las MO-C se repiten las variantes Cd1a1 y Cd1a2; las dimensiones en este último caso son bastante similares al de su par de las O-C. Las alturas de los cuellos de los cántaros mamiformes CM (Cp1 y Cd3a1) son prácticamente parejas (7,40 centímetros de promedio), más no así los diámetros de sus bocas (Fig. 4.65a). Una de sus variantes reitera una de las presentes en las O-C (Cd3a1), si bien es mucho más alta.

Por último, todos los tipos de platos de este grupo tienen una altura alrededor de los 6 centímetros, pero el tipo P1b tiene la mayor medida (6,90 centímetros, Fig. 4.65a). Con excepción del tipo P1a, que alcanza 15,45 centímetros, sus mayores diámetros de boca oscilan aproximadamente entre los 16 y casi 20 centímetros. En la subcategoría MP se reitera el tipo P2c y cuenta con 3,19 centímetros de altura, es decir, prácticamente la mitad en relación con la altura de los primeros.

**b. Estilo Chakipampa.** Las dimensiones de las variantes de picos de botellas se muestran en la Fig. 4.65b. Respecto a las BC, las variantes Pd3a1 y Pxp1a2 son bastante semejantes en su altura, lo que puede deberse a que corresponden solamente a esta subcategoría; queda sin conocerse las medidas de un ejemplar (35-1496) de la primera variante debido a que carece de pico. En los tipos globular aplanado y globular aplanado alargado de las B-AAV las variantes que se reiteran son Pp2 y Pc2c; estas también tienen alturas similares y con diámetros de boca no muy disímiles. Asimismo, la variante Pc2c se reitera en los ejemplares de MB-AAV.

**c. Estilo Mochica.** Solo cuenta con la variante Pc2a en su único ejemplar de B-APC-PP, de la que se desconocen sus dimensiones por carecer de los extremos de sus picos (Fig. 4.65c, pero ver Fig. 4.65g).

**d. Estilo Pachacamac.** Las alturas de su gran número de variantes (13) en sus dos tipos oscilan mayormente entre los 4,90 (Pd1, tipo perfil compuesto) y 7 centímetros (Pc2d, del tipo globular achatado), pero sobresale un caso de la variante Pc3c1, con 8,40 centímetros (Fig. 4.65c). Los diámetros de boca más estrechos (entre 1,20 y 1,60 centímetros) se encuentran en las variantes Pc2d, Pce1 y Pce2 y probablemente se debe a que sean de contorno convergente. El resto sobrepasa los 2 centímetros de diámetro de boca (si bien hay casos NI). Las variantes reiteradas que se encuentran en ambos tipos son Pp1, Pd1 y Pc3c1 y sus medidas son bastante semejantes en cada uno de los tipos mencionados.

**e. Grupo No Determinado.** Este grupo se tratará según la categoría y la subcategoría. Por obvias razones, solo se contemplan los casos de especímenes completos y no los denominados s.e. (Figs. 4.17 a 4.54). En el conjunto de las botellas (B), las variantes son muy diversas; el más alto es el Pd2b y el menor rango de altura está en la variante Pp1. En el conjunto B-APC-PP hay tres tipos y una diversidad de picos, y los de mayor longitud entre ellos son los tipos Pc1a2, Pc1a3 y Pc2b. La forma del pico Pc1a2 del espécimen 35-1000 se tomó de la literatura (D'Harcourt 1922: *planche 2, 2*) y constituye una versión visiblemente alargada y de contorno no muy uniforme respecto de la forma Pc1a1. Por otro lado, el pico Pc1a3 de la pieza 35-5235 es el de mayor longitud (10,40 centímetros). La variante Pp3b2 sobresale por su diámetro de boca (2,10 centímetros) y es el más amplio en relación con los demás casos, mientras que la mínima medida es de 1,10 centímetros. En este conjunto sobresale el pico escultórico Pe1 debido a su forma, un cántaro con cuello y de cuerpo globular alargado; y la variante Pc2e por sus lados asimétricos y poca longitud. Por su reiteración y número de casos sobresale la variante Pc1a1, que aparece en los tipos perfil compuesto y escultórico. Varios de estos especímenes carecen de uno de sus picos, pero la diferencia entre las longitudes de los que sí están completos varía entre 0,5 a 3 milímetros (*cf.* Fig. 4.65d).

El conjunto B-APT-PP solo presenta el tipo escultórico y las variantes Pc1a1 y Pc1a2, el primero de los cuales se presenta en tres ejemplares y el segundo en dos (Fig. 4.65d). Solo permanece intacto un pico en todos los casos, salvo los del ejemplar 35-1005 de la variante Pc1a2. El rango de longitud de la variante Pc1a1 es semejante a los de la subcategoría anterior, mientras que los picos del ejemplar 35-1005 tienen 12 centímetros de largo, probablemente los de mayor longitud de todas las variantes (Fig. 4.41).

La variante Pc1a2 del grupo B-APC-PC, como en el caso anterior, es la de mayor longitud y alcanza los 9,90 centímetros. Las variantes Pc1a1 y Pc1a2 se reiteran aquí, y las medidas del primero de estos son muy semejantes a las de sus pares en otras subcategorías (Fig. 4.65d). La variante Pp3a tiene una longitud en el rango de la Pc1a1. En el caso del conjunto B-APC-PPR, tiene dos tipos (perfil compuesto y escultórico), y el primero registra tres variantes y el segundo dos. Los de mayor altura son casos de la variante Pc2b (que alcanza 9,90 centímetros). Se reiteran la variante Pp1 respecto del grupo B, Pc1a1 en relación con B-APC-PP, B-APT-PP y B-APC-PC; por último, se repite la variante Pc2b en relación con el grupo B-APC-PP. Las medidas (altura y diámetro de boca) de ambas variantes en el conjunto B-APC-PPR se asemejan mucho a los casos al interior de este grupo y a los que aparecen en otros (B-APC-PP, B-APT-PP y B-APC-PC; pero ver más adelante). El caso de Pp1 es visiblemente más corto.

Los conjuntos B-ALCV y MB-ALCV son los más numerosos entre las botellas del grupo No Determinado. Conforman sus variantes picos largos y cortos, así como golletes. La primera subcategoría cuenta con cuatro tipos (globular achatado, globular aplanado alargado, perfil compuesto y escultórico), y es en el primero donde hay mayor cantidad de variantes. También destaca el número de variantes de contorno compuesto (Fig. 4.65e), así como los escultóricos (dos ollas con cuello, variantes Pe2a1 y Pe2a3). Entre las variantes de mayor altura están el Pp2, Pd1, Pxp1a2, Pxp1b y Pxc2; entre los de pico corto la variante pp1 es la de menor altura. Los diámetros de boca tienen como mínimo 2 centímetros (variante Pxc2). En el tipo globular aplanado alargado se reitera la variante Pd3a1, si bien es de menor altura que en el caso del tipo globular achatado; en el caso del tipo perfil compuesto se repite la variante Pc1a1 y sus dimensiones son semejantes a los de los casos antes vistos (B-APC-PP, entre otros, véase antes); sin embargo, en el ejemplar del tipo globular achatado el diámetro de la boca es mucho mayor (3,5 centímetros). En el caso del tipo escultórico, con siete variantes definidas y una sin determinar, las de mayor altura son Pd3a3 y Pd3a1 (en ese orden). El diámetro mínimo de boca es de 2,60 centímetros (variante Pp1). Las variantes Pd1 y Pd3a1 se reiteran respecto del tipo globular achatado; en este último caso sus dimensiones son semejantes. Los diámetros de boca pueden alcanzar los 4,50 centímetros (variante pxd2).

Para el grupo MB-ALCV se cuenta con tres tipos (globular achatado, perfil compuesto y escultórico), y salvo el segundo, que tiene solo una variante, los demás tienen de cuatro a seis variantes (Fig. 4.65e). El primer tipo tiene golletes y picos como variantes. Gd1 y Gd2b son golletes que se replican del grupo Lima y su altura no sobrepasa los 3 centímetros. Los picos Pd1, Pd2b y Pd3a1 se replican del tipo globular achatado de las B-ALCV. En general sus picos, así sean del tipo largo, no sobrepasan los 6 centímetros (lo que incluye a la variante Pe2a2, una olla con cuello). El diámetro de boca mínimo correspondiente está sobre los 2 centímetros.

En el tipo perfil compuesto, con solo una variante y ejemplar, el pico corto (pp1) alcanza solo 2,30 centímetros de alto. Se reitera con respecto a su par en el tipo globular achatado. Por último, en el tipo escultórico, hay un caso de pico corto (pp3, con 1,70 centímetros de altura) y los otros tres son picos largos; el de mayor altura es el Pxp1a1 (con 5,30 centímetros de altura máxima). Las variantes que se reiteran son Pd3a1 (de los tipos globular achatado y escultórico) y Pxp1a1 (en el tipo globular achatado). De los casos documentados, el diámetro de boca mínimo es de 2,40 centímetros (sin contar el caso NI de la variante pp3) (Fig. 4.65e).

Como se vio anteriormente, del resto de subcategorías de botellas no hay muchos especímenes, por lo que se hace difícil la comparación. El conjunto B-ALTV se conforma de tres variantes (dos de ellas divergentes) a partir de un solo tipo (escultórico). El pico de mayor altura es el Pp1, con 5,30 centímetros y el rango de diámetro de las tres variantes es amplio (entre 2,70 a 3,30 centímetros) (Fig. 4.65f).

La B-AAV tiene un solo tipo, escultórico; su variante Pxp1a2 sobresale por su altura (6,20 centímetros) y su amplio diámetro de boca (3,50 centímetros, Fig. 4.65f). Con el mismo tipo de asa, el único ejemplar de MB-AAV tiene una variante de altura menor (Pp3a, con 4,90 centímetros). La subcategoría B-AE tiene dos variantes a partir de un solo tipo (escultórico), pero el pico del ejemplar 35-1490 carece de su parte superior pero es muy probable que sus contornos hayan sido paralelos; la pieza CE-0006 también replica una forma escultórica de pico, como en los conjuntos B-ALCV y MB-ALCV.

Respecto a los cántaros, de los que existen esta categoría y una subcategoría (C y C-ALCH), cada uno se compone de un espécimen; el cuello del cántaro (Cd3a1) replica una variante propia de los cántaros mamiformes y una variante de O-C del grupo Lima, pero su altura es mucho menor respecto de sus pares. El caso del C-ALCH es único pues es uno de los pocos en que el contorno es convergente y, además, compuesto (Fig. 4.65f).

Las O-C de este grupo tienen dos tipos (perfil compuesto y escultórico). Las alturas de todas las variantes, en ambos tipos, son aproximadamente semejantes. La altura de la única variante del primer tipo, Cd1a3, es semejante a las de sus pares en el grupo Lima; ocurre lo mismo con las variantes del segundo tipo (Cd1a2 —en este caso es incluso un poco más alto— y Cd2d), mientras que la de contorno Cd3a2 es notoriamente más pequeña. Todas replican variantes del grupo Lima (Fig. 4.65f). Las piezas MO-C muestran igualmente los dos tipos mencionados (globular achatado y escultórico). Las alturas de las variantes de ambos tipos no presentan similitudes —y, más bien, superan la proporción esperada (aunque algunas veces con una diferencia mínima)—, pero el caso de la variante Cxp1 es más alto que otras variantes del grupo O-C. En el primer tipo, sus variantes (Cd1a1, Cd2a y Cd3a2) replican contornos de las O-C del grupo Lima; en el caso del segundo tipo, se reitera la variante Cd2a y junto con la Cd1a1 replican contornos de las O-C del grupo Lima; en cambio, el caso de la variante Cxp1 es único (Fig. 4.65f). En el tipo escultórico, la variante Cd1a1 la altura es casi idéntica a la de su par en el grupo Lima, mientras que la variante Cd2a supera en altura a su par en el tipo globular achatado.

La subcategoría O-C-ALCH constituye un caso único; su variante, que también se da en el grupo Lima, tiene muy poca altura. Se presentan también casos especiales de miniaturas de ollas con cuello que presentan asas auriculares e, incluso, vertederas (Fig. 4.65f). Las dos O-ALCH-Ve tienen variantes iguales a las de las teteras, pero es más corto en el caso del Vep1b (el otro caso es NI). Las subcategorías MO-C-AAH y MO-C-AAH-Ve solo cuentan con el tipo escultórico y sus cuellos replican formas que se advierten en las O-C del grupo de vasijas lima.

Respecto de la categoría tetera, que se compone de dos tipos (globular achatado y perfil compuesto); el primero tiene tres variantes y el segundo una sola. Notoriamente, la variante Vec1 es la de mayor rango de longitud, con más variabilidad de esta dimensión y con más cantidad de ejemplares en todo el conjunto; además, se reitera en el tipo perfil compuesto. Tanto Vep1a como Vexp1 tienen mayor diámetro de boca que la variante Vec1. En la subcategoría MT, la versión en miniatura de las teteras, existe un caso único de variante (Vec2) que, como en el caso del pico Pc2e de las B-APC-PP, es asimétrica (un lado es más convexo y sobresaliente mientras el otro es más recto). En el caso del plato P2a, tiene un diámetro que está en el rango de los tipos P2b y P2c y su altura es muy semejante a las de otros tipos del conjunto lima (Fig. 4.65f).

## **B. Conjunto de vasijas de cocción reductora**

**a. Estilo Lima.** Presenta solo dos platos del tipo P2a, que replica la forma del plato del grupo No Determinado; su rango de altura es muy semejante al ejemplar mencionado pero superan ampliamente su diámetro de boca.

**b. Estilo Chakipampa.** Con solo dos ejemplares de botellas cantimplora (BC), las alturas de sus picos casi no tienen diferencia entre sí, lo mismo que el diámetro de sus bocas. Por sus características formales son especímenes prácticamente idénticos, pero el tipo de pico Pd2b no existe en el grupo Chakipampa de cocción oxidada (Fig. 4.65g).

**c. Grupo No Determinado.** Como en el conjunto de vasijas de cocción oxidada, se tratarán las categorías y subcategorías de piezas enteras y sin elementos formales faltantes (Figs. 4.55 a 4.64).

En el conjunto de las botellas (B) solo hay dos tipos (globular achatado y escultórico), con un espécimen para cada uno (Fig. 4.65g). El tipo de pico Pc2c está también en el conjunto de las B-AAV y se reitera varias veces, si bien su altura en este caso es mayor a la de los ejemplares del estilo Chakipampa de cocción oxidada y en los del estilo Pachacamac. En el tipo escultórico, el pico es Pp1, y su altura está en el rango de su par en el grupo No Determinado.

La MB tiene una sola variante y ejemplar (Fig. 4.65f); esta es de tipo escultórico (olla con cuello), una forma que se encuentra en los conjuntos B-ALCV, MB-ALCV y B-AE de las vasijas de cocción oxidada. Pese a ser una miniatura su altura no se diferencia mucho de la de sus pares en el grupo No Determinado (Fig. 4.65g). En el grupo de las B-APC-PP, de las que solo hay dos ejemplares con sus respectivas variantes (Pc1a3 y Pc2a), difieren mucho entre sí por sus características pero se parecen por poseer gran longitud. En el primer caso, su tipo de pico aparece en los ejemplares del grupo Pachacamac, mientras que el segundo es del tipo exacto de la pieza mochica importada del conjunto de vasijas de cocción oxidada (Fig. 4.32).

Hay varias B-ALCV, pero sus variantes no se replican en sus pares del grupo No Determinado de cocción oxidada, con excepción del pico Pp1, también del tipo escultórico. Lo mismo ocurre con el pico de la B-AE. La MO-C-AAH-Ve con pedestal tiene un cuello que se reitera del grupo lima. Por último, la altura y el diámetro de boca del plato de tipo P1a son semejantes a sus pares del grupo lima.

**4.1.1.5. Los cuerpos de las vasijas: el componente escultórico y atribuciones a estilos.** En el universo, 80 piezas (26,05%) del total (N=307) tienen cuerpo de tipo escultórico. Solo dos especímenes del grupo de vasijas del estilo Lima conforman una vasija tipo de estas características (cántaro mamiforme) y el resto se encuentra en 14 categorías y subcategorías del grupo No Determinado de cocción oxidada y en cinco correspondientes al grupo No Determinado de cocción reductora. La Fig. 4.66 muestra el espectro de representaciones en los cuerpos escultóricos, desde seres animados —o partes de estos— (N=26) a objetos inanimados, así como distintos tipos de representaciones en los protomas, modelados aplicados y bases pedestales (N=16). Sobresalen en número las representaciones naturalistas. Las formas especiales en la columna de los cuerpos se



refieren a formas geométricas —o aproximadamente geométricas— que tienen añadidas formas de representaciones de vegetales o seres vivos; incluso a veces la forma del cuerpo —sin importar cual sea— sirve de espacio explícito para las representaciones escultóricas, por lo que aquí se le incluye en este tipo. En la primera columna, las representaciones compuestas (E) se refieren a vasijas de doble cuerpo.

Las Figs. 4.67 a 4.69 muestran los casos de cuerpos escultóricos y no escultóricos por categoría y subcategoría tanto en las vasijas de cocción oxidada como en las de cocción reductora respecto del grupo No Determinado, y se añade la información de la relación estilística del cuerpo en caso de que se haya documentado (ver Apéndice 1). Como se observa, hay categorías y subcategorías cuyos cuerpos no presentan relación alguna con un estilo determinado o no muestran el tipo escultórico (MB-AAV, C, C-ALCH, O-ALCH, T, MT, MV-Ve y Cu). Los casos específicos de BND se explicarán más adelante. Se cuenta con 79 ejemplares con cuerpo escultórico en el grupo No Determinado; si bien no en todos los casos, con la forma específica ya definida, sí se pudo encontrar una relación con un estilo cerámico. Esta relación puede darse con otra subcategoría o tipo diferente a la de las vasijas en estudio en el presente trabajo. Se definieron tres modos de filiación de la forma del cuerpo de una vasija respecto de un estilo: a) forma idéntica: cuando el cuerpo replica fielmente las características formales de una vasija de una tradición cultural específica; b) forma alusiva: cuando el cuerpo no es idéntico a una vasija de otra tradición cultural pero sí emula sus características, y c) tecnología nazca: según refiere Carmichael (1994), consiste en el uso de dos vasijas para formar el cuerpo de una nueva.

#### A. Grupo No Determinado: vasijas de cocción oxidada

1. B: esta subcategoría tiene tres tipos, pero solo el tercero es el que tiene más ejemplares (seis), y hay variedad en la atribución de estilos, todos alusivos. Dos pertenecen al intervalo de fines del Período Intermedio Temprano/Horizonte Medio 1 y dos a la etapa posterior al Horizonte Medio 2. Esta variabilidad se refleja también en la sección sobre morfología (ver 4.1.1). Destaca la pieza 35-5027, con cuerpo de tipo mamiforme, como en las representaciones de las vasijas tipo del estilo Lima. La botella miniatura (MB) comparte el tipo pero sin alusión estilística definida (Fig. 4.67).

2. B-APC-PP: de sus tres tipos (globular achatado, perfil compuesto y escultórico), en el segundo los cuerpos de sus ejemplares son idénticos a vasijas nazca, lo que las hace metavasijas. Relativo a este estilo también hay un caso de los 10 de tipo escultórico (forma alusiva). Las formas escultóricas son muy variables (entre formas animadas e inanimadas), e incluyen las formas especiales (Fig. 4.67).

3. B-APT-PP: al menos dos de las vasijas en esta subcategoría tienen cuerpo de forma alusiva

mochica, si bien se refieren a formas escultóricas de diferente naturaleza en cada caso (Fig. 4.67); también hay un caso de forma alusiva nazca (metavasija) y el resto corresponde a representaciones zoomorfas. En el conjunto B-AP?-PP, en el tipo perfil compuesto, hay una forma de cuerpo idéntica a las que aparecen en los estilos atarco y pachacamac (35-1479); en el tipo escultórico hay dos especímenes que tienen formas alusivas mochica y uno tiene cuerpo de forma alusiva nazca (Fig. 4.67). El resto de ejemplares comprende una metavasija y representaciones antropo- y zoomorfas.

4. B-APC-PC: con su único tipo escultórico, sus formas comprenden representaciones zoomorfas (una de ellas alusiva al estilo Lima), una compuesta (representación antropomorfa unida a un cuerpo globular alargado; CE-0011) y uno de tipo híbrido-fantástico. En el conjunto B-AP?-PC hay dos piezas cuyos cuerpos presentan una gran semejanza con la vasija MSP-412, que tiene la representación de una mujer; aquí también hay una pieza de doble cuerpo donde solo se conserva la forma globular alargada, pero sus características formales son prácticamente idénticas a la primera (35-1596), así como un felino. Por último, el único ejemplar sin su asa cintada (B-AP?-PC) corresponde, igualmente, a una figura muy semejante a la de la vasija MSP-412 (Fig. 4.67).

5. B-APC-PPR: con excepción de una pieza (cuyo cuerpo tiene forma idéntica atarco), todas corresponden a cuerpos elaborados con tecnología nazca en el tipo perfil compuesto (Fig. 4.67), en este caso la composición de una vasija por medio de dos platos (*cf.* Apéndice 1). Del mismo modo ocurre en el caso del espécimen en B-AP?-PPR. Solo la pieza CE-0155 tiene un cuerpo de tipo compuesto de forma idéntica a los que hay en los estilos Atarco y Pachacamac.

El empleo de la tecnología nazca permite distinguir cuáles tipos de platos del grupo Lima fueron utilizados, tal como se había indicado antes. La mayor parte corresponde al tipo P2c (35-1454, como la subvariante 4a, de base plana; CE-0013, 35-998, CE-0154 y CE-0014, bases muy ligeramente convexas), lo que haría que, en el grupo de vasijas del estilo Lima, tanto el tipo P2b como P2c tengan el mismo tipo de bases y, por ende, grupos semejantes de subvariantes. El tipo P1b está en la pieza 35-1472 (subvariante 2a). El único espécimen que no cabe en los tipos conocidos es el CE-0015, un plato de mayor altura y que podría corresponder, si bien no por el contorno, a un tipo de plato denominado como hondo por Segura (1999: fig. 64). Todas las piezas superiores, por contraste, consisten de platos de fondo convexo y continuo, donde no se observa una inflexión con respecto de su base, de las que Patterson (1966: figs. 20 a, 21, a, *inter alia*), Palacios y Guerrero (1994: figs. 17a, 40), así como Segura identificaron (1999: fig. 54) en sus respectivos trabajos. Este es un tipo muy parecido al grupo P2, pero su contorno es mucho más divergente. De fondo y convexo continuo también es el ejemplar miniatura CE-0025. En cuanto a los diámetros, solo las vasijas 35-1454 y CE-0154 coinciden con los rangos registrados del tipo P2c (Fig. 4.65a), mientras que los demás están muy poco por debajo o

encima de ese rango (*cf.* Apéndice 2); el espécimen 35-1472 también está por debajo del rango del tipo P1b (Fig. 4.65a).

6. B-ALCV: con cuatro tipos de cuerpo, solo presenta atribuciones estilísticas para tres de ellos (globular achatado, perfil compuesto y escultórico). El primer tipo se caracteriza por presentar 10 formas idénticas lima; en el tipo perfil compuesto se presenta tecnología nazca, mientras que el escultórico cuenta con una particularidad: los cuerpos son mayormente de cucurbitáceas; por otro lado hay una forma alusiva al Período Transicional de San José de Moro (CE-0009), en el valle de Jequetepeque, y una forma alusiva lima manifestada en un cuerpo mamiforme (Fig. 4.67).

7. MB-ALCV: comprende los tipos globular achatado, perfil compuesto y escultórico. Como en la subcategoría anterior, hay tecnología nazca presente en el tipo perfil compuesto y diversas formas escultóricas en el tercer tipo, si bien sin alusiones a un estilo en particular. Dos de sus ejemplares son de cucurbitáceas, dos zoomorfas y una es de tipo especial (Fig. 4.67).

10. B-ALTV: los tres ejemplares pertenecen al tipo escultórico. Dos tienen forma de cucurbitácea y una es de forma especial (Fig. 4.67).

11. B-AAV: el cuerpo consiste de una forma especial, ya que se le agregaron aplicaciones con el fin de darle un aspecto zoomorfo.

12. B-AE: ambos casos pertenecen al tipo escultórico. El primer ejemplar es de doble cuerpo, con la representación de un hombre que sujeta a un felino por el cuello con una soga; en el segundo caso, el cuerpo es de forma alusiva lima, si bien en una versión algo distinta de las representaciones de mujer encontradas en la subcategoría B-APC-PC (Fig. 4.67).

13. BND: estas tres botellas aluden a estilos distintos a pesar de estar incompletas. La pieza CE-0313 es muy parecida a las B-APC-PC nazca con forma de ave; la CE-0163 tiene mucha semejanza con piezas mochica del sitio Huacas del Sol y de la Luna; por último, el ejemplar del que solo queda el pedestal cuatrípode no muestra semejanza con otra tradición estilística en sus características.

14. O-C: de sus dos tipos (globular achatado y escultórico), el segundo consiste solamente de representaciones de cucurbitáceas (Fig. 4.68).

15. MO-C: tiene los mismos tipos que la subcategoría anterior, y en el segundo de ellos todos los cuerpos también corresponden a representaciones de cucurbitáceas (Fig. 4.68).

16. MO-C-AAH: solo tiene un tipo (escultórico) y espécimen, y el cuerpo tiene la forma de una cucurbitácea (Fig. 4.68).

17. MO-C-AAH-Ve: como en el caso anterior, cuenta con un único tipo y los cuerpos de sus dos ejemplares representan cucurbitáceas (Fig. 4.68).

18. O-ALCH-Ve: en su tipo escultórico el cuerpo tiene forma de cucurbitácea (Fig. 4.68).

19. P y MP: en esta categoría y subcategoría aparecen representaciones alusivas. En el primer caso es una forma idéntica lima (P2a); en el segundo, MP, se trata de una forma alusiva nazca (Fig. 4.68).

20. V: presenta tres tipos, de los cuales solo el segundo (Vp2b1) tiene forma alusiva nazca (Fig. 4.68).

B. Grupo No Determinado: vasijas de cocción reductora.

1. B: tiene dos tipos (globular achatado y escultórico); el primero es una forma alusiva a los estilos Atarco y Pachacamac, mientras que el segundo corresponde a una concha *Spondylus*, sin correspondencia estilística definida (Fig. 4.69).

2. MB: se trata de un único ejemplar en esta subcategoría, cuyo cuerpo es una forma alusiva a las vasijas del estilo Pacheco (Fig. 4.69).

3. B-APC-PP: en esta subcategoría solo existe el tipo escultórico. El primero consiste de una metavasija, mientras que el cuerpo de la segunda presenta una forma idéntica mochica (Fig. 4.69), que se compone de cuatro calabazas atadas.

4. B-ALCV: consta de tres tipos (globular achatado, perfil compuesto y escultórico). No hay formas idénticas o alusivas. Las formas del tipo escultórico son de tipo especial, cucurbitácea y metavasija (Fig. 4.69).

5. BA-E: la forma del cuerpo es claramente alusiva al estilo Lima (Rafael Segura, observación personal 2003), del tipo que aparece en las B-ALCV con gollete, con su ecuador hacia la parte inferior del cuerpo (Fig. 4.69).

6. MO-C-AAH-Ve: único espécimen de esta subcategoría, tiene un solo tipo (escultórico) y se trata de una metavasija con base de pedestal tipo ovoide (Fig. 4.69).

7. P: se compone de solo un ejemplar; es del tipo P1a y su diferencia con respecto a los especímenes del grupo de vasijas del estilo Lima es que tiene dos aplicaciones en forma de cabeza de ave (?) dispuestas en el borde, un rasgo que no aparece en otra tradición cerámica.

**4.1.1.6. Definición de los rasgos tecnológicos.** Se documentaron datos de la técnica de manufactura, acabado, color de la superficie y observaciones macroscópicas generales de la pasta pese al inconveniente del recubrimiento de «cera» que afecta a muchas piezas (ver caps. 2 y 3). Se pueden distinguir diversas características de las superficies de las piezas, lo que se puede comparar con las vasijas que no fueron afectadas por este proceso y con las documentadas en la literatura. Así, las piezas pulidas se dejan distinguir porque sus superficies brillan más, e incluso se pueden ver las estrías; por otro lado, el pulido mate es difícil de diferenciar; las bruñidas dejan ver las bandas características —que alternan entre franjas brillosas y opacas—, mientras que, cuando la pieza está alisada, la cera afecta mucho la superficie, lo que también impide el reconocimiento del color en extensas secciones de la vasija. En caso de no lograrse un pulido, el color negro es uno de los más afectados al momento de la inspección del exterior de las piezas, pues el paso de la cera redujo su tonalidad y semeja un color gris, por lo que es posible que estas piezas tengan un acabado, alisado, bruñido o, inclusive, pulido mate. Como no es concluyente esta determinación, se decidió considerar que las piezas pulidas de los tipos mate o brillante son pulidas en general —si bien algunas destacan por un brillo mucho mayor— pero se usarán los especímenes no afectados para las comparaciones respectivas. Solo un 9,44% (N=29) de las piezas del universo (N=307) no tiene el antiguo recubrimiento de cera.

El acabado puede ser alisado (Al), bruñido (Br) y pulido (P), mientras que los colores de superficie se denominaron de la siguiente manera: a) naranja (Na); b) marrón claro (M-cl); c) marrón oscuro (Mos); d) *beige* (Be), y e) rojo (R). Para los fines de este trabajo se añadieron entre corchetes los códigos de tecnología, que aquí se describen, a los de forma. Una superficie de color rojo y alisada se consigna como R-Al, mientras que una de color naranja y pulida se codifica Na-P. A partir de ello se obtuvieron 12 combinaciones posibles.

En cuanto a la pasta, si era visible debido a desportillado, a que la pieza estaba quebrada y/o pasó por un proceso de restauración apropiado en la actualidad —momento en el que se le pudo observar con detenimiento—, se consignó un dato aproximado por lo que todos los tipos definidos —probablemente con excepción de uno— comprenden características generalizantes. Debido a ello, estas observaciones no son concluyentes ya que no poseen fracturas intencionalmente ocasionadas para un análisis propio de fragmentería, por lo que pueden tener algunas características más (o en menor medida) y, quizá, algunas de ellas en común. Es probable que no se puedan contemplar aquí aspectos como la esfericidad y la distribución de las inclusiones de manera que, tal como se plantea aquí, estos tipos

sirven para orientar estudios más exhaustivos de materiales semejantes en el futuro. Los cuatro tipos de pasta son los siguientes:

- a) Tipo 1: tiene dos subtipos. 1a) de color naranja a naranja claro, textura regular, compacta, de fractura regular, sin inclusiones visibles (25 casos); 1b) de color naranja a naranja claro, textura regular, compacta, de fractura regular, con inclusiones diversas, todas muy pequeñas —incluso microscópicas—, de color blanco, transparentes, mica dorada o de vegetales (ocho casos).
- b) Tipo 2: naranja oscuro, textura regular, semicompacta a semiporosa, por lo general de fractura irregular, con inclusiones medianas y pequeñas de mica dorada, negras, blancas, transparentes, carbonatos (algunos grandes —más de 1 milímetro de diámetro—) y vegetales (44 casos).
- c) Tipo 3: rojiza, semicompacta, por lo general de fractura irregular, con inclusiones medianas negras, blancas, transparentes o mica dorada; en algunos casos pueden tener más de 1 milímetro de diámetro (13 casos).
- d) Tipo 4: rosada o naranja rosácea, textura regular, semicompacta, por lo general de fractura irregular, con inclusiones pequeñas negras (tres casos).

De manera general, estas pastas se relacionan con las definidas por Guerrero y Palacios, Segura y Ccencho (ver cap. 1). Las pastas 1a y 1b están más relacionadas con la distinción realizada por Ccencho.

**4.1.1.7. Rasgos tecnológicos por estilo: vasijas de cocción oxidada.** A continuación se describen los rasgos tecnológicos por cada uno de los estilos descritos antes. Los cuadros ilustran, por estilo, el tipo de variante según los contornos explicados en las Figs. 4.7a a 4.13, así como las subvariantes, el código formal que se definió anteriormente con la adición de los rasgos tecnológicos codificados. Al lado de la mención de cada espécimen se consigna entre paréntesis y en negrillas el tipo de pasta específico en caso se haya podido registrar.

#### **A. Estilo Lima**

##### a) Botella

a.1) B-ALCV (N=27): la Fig. 4.70 ilustra el contorno y código de forma y tecnología para cada uno de sus casos. En este grupo priman los colores naranja (2.5YR 4/8, 2.5YR 5/8, 5YR 5/8 y 5YR 6/8 [estos

dos últimos también en piezas sin cera]) y rojo (10R 4/8 y 10R6/6 [sin cera]) como color de superficie. A partir del cuadro resumen de la Fig. 4.74 se infiere lo siguiente:

- las variantes Gp3 y Gxd1 tienen exclusivamente superficie roja y acabado alisado.
- las variantes Gd1, Gd3a1 y Gd3a2 presentan superficies de color naranja y rojo, con diversidad de acabados.
- las variantes Gd2a, Gd2b y Gd2c muestran superficies de color naranja con dos tipos de acabado exclusivamente.

Todos los tipos de pasta están presentes en esta subcategoría. La variante Gd1 muestra dos tipos (1a, 2), pero en el resto de variantes la distribución de los tipos de pasta 2, 3 y 4 es indistinta y no guarda relación con el color de superficie, el acabado o la forma de la variante.

a.2) MB-ALCV (N=4): como en la subcategoría anterior, solo están presentes los colores naranja (5YR 5/8) y rojo (10R 5/6 y 10R 6/6) (Fig. 4.70). El naranja pulido se asocia a la variante Gd1, mientras que el rojo alisado se asocia a la variante Gd3a1 (Fig. 4.74), lo que replica las asociaciones en el conjunto B-ALCV y las inferencias mencionadas. Solo dos vasijas de esta última variante presentan pasta de tipo 2.

#### b) Olla

b.1) O-C (N=21): el espectro de colores de superficie comprende el naranja (10R 5/8, 2.5YR 5/8, 2.5YR 6/8 y 5YR 6/8), el rojo (10R 4/8, 10R 5/6 y 10R 6/6) y el marrón claro (2.5YR 6/6) (Fig. 4.71). Sus superficies presentan engobe, la mayoría de casos son de color rojo y los acabados pueden ser alisado (la gran mayoría de ejemplares) o bruñido; el naranja tiene acabado alisado, bruñido y pulido, mientras que el marrón claro solo presenta el acabado alisado (Fig. 4.75). En general, el rojo es el color de superficie que predomina (N=14). El rojo alisado es el de mayor número y tiene presencia en la variante Cd1a1, la integridad del Cd1a2, en Cd1a3, en Cd2b y Cd2c. A partir del cuadro de la Fig. 4.75 se infiere lo siguiente:

- las variantes Cd1a1, Cd1a2, Cd1a3 y Cd2b presentan superficies de color rojo y naranja con diversos tipos de acabados.
- las variantes Cd2c y Cd3a2 muestran superficies de color exclusivamente naranja y dos tipos de acabado.
- la variante Cd2a tiene exclusivamente superficie de color marrón, de acabado alisado.

Solo hay dos tipos de pasta reconocidos y se presentan en la variante Cd1a3 (2, 3) y Cd3a1 (2).

b.2) MO-C (N=3): estas presentan el color rojo (10R 6/6) y el color marrón claro (2.5YR 6/6) (Fig. 4.74) en superficie. Dos de los tres especímenes tienen color rojo en superficie y uno solo el color marrón claro y todos son alisados (Fig. 4.75).

#### c) Cántaro

c.1) CM (N=2): el color de su superficie es rojo (10R 5/6 y 10R 6/6 [ambos sin cera]), pero mientras uno tiene acabado alisado, el otro es bruñido (Fig. 4.72).

c.2) MC-ALCH (N=1): el color de superficie es marrón oscuro (2.5YR 3/6) y su acabado es alisado (Fig. 4.72).

#### d) Plato

d.1) P (N=13): en este conjunto predominan los colores de superficie rojo (10R 5/6 y 10R 6/6) y marrón claro (N=4; 2.5YR 5/4 y 2.5YR 5/6) sobre el naranja (N=3; 5YR 6/8 [sin cera], 2.5YR 6/8 y 10R 5/8) (Fig. 4.73). Presentan engobe externo e interno y su acabado es alisado, bruñido y pulido en el naranja, alisado en el rojo, y alisado y bruñido en el marrón claro. El acabado es el mismo al exterior e interior de los especímenes, salvo un solo caso de alisado al interior diferente al exterior [CE-0116]). A partir de la Fig. 4.76 se infiere lo siguiente:

- el color naranja se presenta en el único espécimen del tipo P1a.
- los colores rojo y marrón claro están en el tipo P1b.
- el naranja y el marrón se presentan en el tipo P2b.
- los tres colores de superficie de este repertorio se muestran en el tipo P2c.

Solo en tres casos fue posible observar la pasta (P1a [2], P1b y P2b [3]). A pesar de la poca cantidad, se puede deducir que es indistinto el empleo de una pasta respecto de un tipo de plato.

d.2) MP (N=1): su superficie es de color naranja (10R 5/8) y el acabado alisado (Figs. 4.73, 4.76).

## B. Estilo Chakipampa

a) Botella: todos los ejemplares tienen superficie de color naranja, con excepción de uno (Fig. 4.77).

a.1) BC (N=4): el espécimen 35-6022 tiene superficie roja (10R 6/6 [sin cera]); la superficie del resto de BC es de color naranja (10R 5/8 y 5YR 6/8). Los acabados son diversos: bruñido, pulido y alisado (Fig. 4.77). Solo el ejemplar 35-1496 muestra pasta 1b.

a.2) BC-AAV (N=1): el único ejemplar tiene superficie naranja (5YR 6/8) acabado bruñido (Fig. 4.77).

a.3) B-AAV (N=7): todas las variantes presentan superficie de color naranja (5YR 6/8, 2.5YR 5/8, 7.5YR 7/6 y 5YR 7/8) y acabado pulido. El espécimen de la variante 2a1 muestra pasta de tipo 2 (Fig. 4.77).

a.4) MB-AAV (N=2): los ejemplares tienen superficie naranja (5YR 6/8) y acabado pulido (Fig. 4.77). La subvariante 1a2 presenta pasta de tipo 1a.



## b) Cántaro

b.1) MC (N=1): tiene engobe, su superficie es naranja (5YR 6/8) y su acabado es bruñido (Fig. 4.78).

c) Cu (N=3): los tres ejemplares presentan engobe, tienen superficie naranja (2.5YR 4/8) y su acabado es pulido (Fig. 4.79).

**C. Estilo Nazca**

## a) Vaso

a.1) V: su superficie es de color naranja (5YR 6/8) y su acabado es pulido (Fig. 4.80).

**D. Estilo Mochica**

## a) Botella

a.1) B-APC-PP: su superficie está muy dañada por agua corriente cuando aún no estaba debidamente depositada en las oficinas del Museo de Puruchuco (Luis Felipe Villacorta, comunicación personal 2002), pero presenta engobe y, al parecer, un pulido brillante. Su superficie es de color rojo (10R 4/8). No se tiene información clara de la pasta, pero muy posiblemente fue de color rojo oscuro (Fig. 4.81).

**E. Estilo Pachacamac**

## a) Botella

a.1) B-ALTV (N=27): en este conjunto predomina el color de superficie naranja (2.5YR 4/8, 2.5YR 5/8, 2.5YR 6/8, 5YR 5/8, 5YR 6/6, 5YR 6/8, y 7.5YR 5/6 y 7.5YR 6/6) sobre el marrón claro (2.5YR 5/6, 2.5YR 6/6, 5YR 5/4 [sin cera], 5YR 5/6 [sin cera] y 10YR 6/4) (Fig. 4.82). Todos los de superficie naranja tienen acabado pulido, mientras que los de marrón claro presentan alisado y, en mayor número, pulido.

De la Fig. 4.86 se infiere lo siguiente:

- las variantes Pp1, Pd1, Pd2a, Pc3a, Pce1 y Pce2 del tipo globular achatado y Pd1 del tipo perfil compuesto presentan exclusivamente superficie de color naranja.
- las variantes Pc1a1, Pc2c, Pc2d y Pc3b del tipo globular achatado, y Pp1 y Pc3a1 del tipo perfil compuesto solo presentan superficies de color marrón claro.
- las variantes Pc1a3 y Pc3c1 muestran superficies de ambos colores.

Al igual que en el caso de B-ALCV del grupo de vasijas lima hay ejemplares de los cuatro tipos de pasta. El tipo Pd1 muestra un ejemplar con pasta 1a, la pasta 2 se presenta en las variantes Pp1, Pd2a, Pc3b, Pc3c1 y Pce1, las pastas de tipo 3 y 4 están en las variantes Pc1a2 y Pc2d, y, por último, la pasta 4 se encuentra en la variante Pce2. Los colores de la pasta no necesariamente coinciden con el de la superficie (por ejemplo, las variantes Pc1a2 y Pce2 presentan superficie naranja y acabado pulido, que tienen pasta 3; y las variantes Pc1a2, Pc2d y Pc3c1, que presentan pasta 3 tienen superficie de color marrón claro con acabado pulido y alisado).

a.2) MB-ALTV (N=1): este único ejemplar miniatura tiene engobe, presenta superficie color marrón claro (5YR 5/6) y su acabado es alisado (Fig. 4.82).

b) O-ALCH (N=1): posee engobe y su color de superficie es naranja (2.5YR 6/8), además de acabado pulido (Fig. 4.83).

## F. Estilo Viñaque

a) Vaso

a.1) Vaso: posee engobe, el color de su superficie es naranja (5YR 6/8) y su acabado es pulido (Fig. 4.84).

En el cuadro resumen de la Fig. 4.87, se aprecia que el color de superficie que prevalece en los estilos definidos contemporáneos (Lima, Chakipampa, Nazca, Mochica) es el naranja, con cuatro tipos de acabados, y entre ellos el acabado pulido predomina. En el caso del grupo Lima sobresale por presentar cuatro colores de superficie, donde el rojo es mayoritario (con tres tipos de acabado, el resto con variedad de ellos). Para el Horizonte Medio 2 se presenta nuevamente el color marrón claro en el estilo Pachacamac (con dos tipos de acabado, alisado y pulido), pero el naranja está en mayor número y solo aparece en acabado pulido. Se advierte una segregación entre los colores de superficie y las formas. En el estilo Lima el color naranja se restringe a las botellas, ollas y platos; el rojo incluye estas formas pero se presenta también en los cántaros, mientras que el marrón (claro u oscuro) se relaciona con las ollas, cántaros y platos. En el grupo Chakipampa el color naranja está en todas las superficies, salvo el caso mencionado, al igual que en el Nazca. El color y acabado que se presentan en más cantidad es el naranja pulido, mientras que el alisado se relaciona más con el rojo, tal como el marrón claro. El naranja pulido también es predominante en el grupo Chakipampa, y también está en la pieza de forma nazca. Para el Horizonte Medio 2 también es predominante el naranja pulido en el estilo Pachacamac, si bien el pulido también está asociado al color marrón claro. Según la Fig. 4.88, en los grupos Lima y Chakipampa la pasta predominante es la de tipo 2, seguidos por la 3 y 4. Las pastas 1a

y 1b aparecen en pocas cantidades en ambos grupos. Para el Horizonte Medio 2 el valor de las pastas definidas aquí es relativo debido a que no se han hecho estudios exhaustivos en esa dirección; la pasta predominante es la de tipo 2, seguida igualmente de la 3 y 4. Un caso notable presenta pasta 1a.

## G. Grupo No Determinado

### a) Botella

a.1) B (N=9): la variedad de color y acabado puede deberse a que la mayoría de piezas son del tipo escultórico y a que los cuerpos se relacionan con diversos estilos (Fig. 4.89). La variante Pd2b del tipo globular achatado tiene color de superficie naranja (5YR 6/8), y acabado pulido. Las variantes Pp1 y Pc2c tienen superficie de color rojo (10R 4/8 [sin cera], 10R 5/6 respectivamente) y acabado alisado. En el caso del tipo escultórico los dos especímenes de las subvariantes de la variante Pp1 son muy distintos. En el primero (CE-0020) su color de superficie es naranja y el acabado es pulido; en el segundo (35-5027) su superficie es roja (10R 6/6) y de acabado alisado. La superficie del cuerpo de la variante Pd2a (35-5713) es naranja (2.5YR 5/8) y tiene acabado alisado; la variante Pd3a1 (35-995) tiene una superficie naranja (5YR 6/8) y acabado pulido. El ejemplar de la variante s.e.1 (35-1004) presenta superficie naranja (5YR 7/8) y acabado pulido; por su parte, el ejemplar de la variante s.e.2 (CE-0005) también es de superficie naranja (2.5YR 4/8), pero de acabado bruñido. Solo los especímenes 35-1038 y CE-0020 tienen muestras de pasta (2 y 1a respectivamente).

a.2) MB (N=1): su superficie es naranja (5YR 6/8) y su acabado pulido (Fig. 4.89).

a.3) B-APC-PP (N=14): este conjunto se caracteriza porque sus especímenes son, con excepción de uno de color marrón claro (5YR 4/6) y acabado pulido, de superficie color naranja (2.5YR 5/8, 5YR 6/8 [dos casos sin cera] y 7.5YR 7/8) y acabado pulido. Información de pasta se encuentra en las variantes Pc1a1 (1a y 2) y CE-0018 (1a) del tipo escultórico (Fig. 4.90).

a.4) B-APT-PP (N=5): sus ejemplares tienen superficie de color naranja (5YR 6/6 y 2.5YR 6/8) y acabado pulido (Fig. 4.90). Dos de ellos muestran pasta de tipo 1a. En el conjunto B-AP?-PP (N=11), inclusive probablemente el ejemplar CE-0314 en la variante s.e.2 del tipo cilíndrico, afectado probablemente por agua corriente que alteró, en parte, su superficie y color, todas las piezas tienen superficie de color naranja (5YR 6/8, 5YR 7/8 [un caso sin cera], 2.5YR 5/8, 7.5YR 7/6 y 10R 5/8) y acabado pulido. Un ejemplar presenta la pasta 1a, cuatro tienen la pasta 1b y una la del tipo 2 (Fig. 4.91).

a.5) B-APC-PC (N=3): la totalidad de los ejemplares tienen color naranja (5YR 6/8 y 7.5YR 7/6) y acabado pulido (Fig. 4.92). De igual modo, las piezas B-APC-P?C (N=3) tienen color de superficie naranja (5YR 6/8, 5YR 7/8 [un caso sin cera] y 2.5YR 5/8) y ese acabado (Fig. 4.92). En el caso de la vasija CE-0008 (B-AP?-PC), no presenta parte del cuerpo, pico ni asa, pero probablemente fue cintada

debido a sus similares características morfológicas. Su superficie es naranja (5YR 6/8) y su acabado pulido. Es la única de esta subcategoría que presenta información de pasta (tipo 2) (Fig. 4.92).

a.6) B-APC-PPR (N=10): todos los ejemplares del tipo perfil compuesto y sus tres variantes, y el tipo paralelepípedo, con sus dos variantes, presentan el mismo color naranja (5YR 6/8), mientras que solo un caso en la variante Pc2b es disimilar (CE-0154, 2.5YR 5/8); asimismo, todos sus especímenes tienen acabado pulido. En el tipo perfil compuesto, en la variante Pc1a1, un ejemplar presenta la pasta 1a y uno de la variante Pc2b la pasta 3, mientras que dos ejemplares en la variante Pc2b del tipo paralelepípedo muestran pastas 1a y 1b (Fig. 4.93). El único ejemplar B-APC-PPR muestra igual color naranja (5YR 6/8) y acabado que las vasijas de su subcategoría (Fig. 4.93).

a.7) B-ALCV (N=34): sus superficies poseen engobe y en esta subcategoría predominan, como color de superficie, el color naranja (2.5YR 4/8, 2.5YR 5/8, 2.5YR 6/8, 5YR 6/6, 5YR 6/8, 5YR 6/8, 7.5YR 5/6 y 10R 5/8) y el rojo (10R 5/6 y 10R 6/6) cuyo acabado es pulido o alisado (Fig. 4.94).

En el tipo globular achatado la superficie naranja alisada está presente en las variantes pd3, Pd3a1, Pxc2, Pxc3c; solo en el tipo escultórico está presente el naranja bruñido y esto es en las variantes Pd1 y Pxp1c, mientras que el naranja pulido es más numeroso y abarca las variantes Pp2, Pp3a, Pd1, Pd3a1, Pxp1a1, Pxp1a2, Pxp1b, Pe2a1 y Pe2a3 del tipo globular achatado; Pd3a1 del tipo globular aplanado, Pc1a1 del tipo perfil compuesto, y Pd3a1, Pd3a3, Pxp1d, pxd2 y la s.e.1 del tipo escultórico. Por su parte la superficie rojo alisada está presente en las variantes pp1, Pp3b, pd3, Pd1, Pd2b y Pc1a1 del tipo globular achatado; el rojo bruñido solo aparece en la variante Pp1 del tipo escultórico, mientras que el rojo pulido únicamente se muestra en la variante Pd2b del tipo globular achatado.

De la Fig. 4.105 se infiere lo siguiente:

- las superficies de color naranja abarcan casi todo el espectro de variantes y subvariantes.
- solo presentan superficies de ambos colores las variantes pd3 y Pd1 del tipo globular achatado.
- las superficies exclusivamente de color rojo son las de las variantes pp1, Pd2b, Pc1a1 del tipo globular achatado y Pp1 del tipo escultórico.

Los tipos de pasta identificados son 1a, 1b, 2 y 3. Las pastas 1a, 1b y varios casos de las 2 y 3 están relacionadas con la superficie de color naranja pulido, mientras que otros con tipo 2 a las de color rojo.

La pasta 1a se asocia con el acabado pulido de manera exclusiva.

a.8) MB-ALCV (N=11): este conjunto muestra tres tipos (globular achatado, perfil compuesto y escultórico). El primero de ellos contiene el único caso de presentar picos y golletes en sus seis variantes, el segundo uno solo y el tercero cuatro (Fig. 4.95). Todos los ejemplares de los dos primeros tipos presentan superficie naranja (2.5YR 5/8, 2.5YR 6/8, 5YR 6/6, 7.5YR 7/6 y 10R 5/8 en el tipo globular achatado, y 2.5YR 5/8 en el caso del tipo perfil compuesto) y acabado pulido. En el tipo escultórico, de sus cuatro variantes, solo una presenta superficie de color rojo (Pd3a1; 10R 5/6) y acabado pulido; el resto es naranja y pulido (2.5R 5/8 y 5YR 6/8). Solo una variante (pp1) de este conjunto tiene información de pasta (1a) (ver Fig. 4.95, 4.105).

a.9) B-ALTV (N=3): las piezas, en su totalidad, son de superficie naranja (5YR 6/8 y 7.5YR 7/6) y acabado pulido (Fig. 4.96).

a.10) B-AAV (N=1): de tipo escultórico, tiene superficie naranja (5YR 6/8) y acabado pulido. Presenta la pasta de tipo 2 (Fig. 4.96).

a.11) MB-AAV (N=1): definida como miniatura en la Fig. 4.40, su color de superficie es naranja (5YR 6/8) y presenta acabado pulido (Fig. 4.96). Su pasta es del tipo 1b.

a.12) B-AE (N=2): de tipo escultórico, tiene dos variantes. La primera es de forma escultórica (pico en forma de olla con cuello) y una sin especificar (s.e.1). Tienen el mismo color y acabado (naranja [5YR 5/8 y 5YR 6/8], pulido) (Fig. 4.96). Ambas presentan pasta tipo 1a.

a.13) BND (N=3): las piezas tienen superficie de color naranja (5YR 6/8 y 2.5YR 5/8) y acabado pulido. Dos presentan pasta de tipo 1a y la tercera el tipo 2 (Fig. 4.96).

#### b) Cántaro

b.1) C (N=1): su color de superficie es rojo (10R 6/6) y el acabado bruñido (Fig. 4.97).

b.2) C-ALCH (N=1): su superficie es de color marrón oscuro (2.5YR 3/6) y su acabado alisado (Fig. 4.97).

#### c) Olla

c.1) O-C (N=4): se conforma de solo dos tipos. El primero (perfil compuesto) consiste de una vasija de color rojo (10R 6/6) y acabado pulido. En el segundo tipo (escultórico) hay tres variantes. La primera tiene superficie naranja (2.5YR 6/8) y acabado pulido. Las otras dos variantes del segundo tipo muestran superficie de color rojo (10R 6/6), pero de acabado alisado y pulido respectivamente. En la tercera variante la vasija presenta pasta de tipo 3 (Fig. 4.98).

c.2) MO-C (N=6): se compone de dos tipos (globular achatado y escultórico). El primero se compone de tres variantes, todas de superficie naranja (2.5YR 5/8 y 5YR 6/8), pero la primera tiene un acabado alisado, la segunda es pulida y la tercera bruñida. El segundo tipo (escultórico) también consiste de tres variantes, igualmente de superficie naranja (5YR 5/8 y 5YR 6/8) pero todos presentan acabado pulido (Fig. 4.98).

c.3) O-C-ALCH (N=1): su superficie es de color marrón claro (5YR 6/4) y el acabado es alisado (Fig. 4.99).

c.4) MO-C-AAH (N=1): de tipo globular achatado, su superficie es naranja (2.5YR 5/8) y el acabado pulido (Fig. 4.99).

c.5) MO-C-AAH-Ve (N=2): corresponden a un solo tipo (escultórico), si bien difieren ligeramente en sus dimensiones (Fig. 4.100). Presentan superficie naranja (5YR 6/6), pero distinto acabado (uno alisado y otro pulido).

c.6) O-ALCH (N=3): presenta un solo tipo (globular achatado). Sus superficies son de color naranja (2.5YR 5/8 y 10R 5/8) y acabado pulido (Fig. 4.101). Una de ellas presenta pasta de tipo 2.

c.7) O-ALCH-Ve (N=2): consiste de dos tipos (globular achatado y escultórico). El primero presenta superficie roja (10R 3/6) y acabado alisado, mientras que el segundo tiene superficie naranja (5YR 6/8) y acabado pulido (Fig. 4.101).

#### d) Teteras

d.1) T (N=22): en el primero de sus dos tipos (globular achatado), el color de superficie de todos sus ejemplares es naranja (2.5YR 4/8, 2.5YR 5/8, 2.5YR 6/8, 5YR 5/8, 5YR 6/6, 5YR 6/8 y 10R 5/8); salvo un caso de alisado (subvariante 1b de la variante Vep1a), el resto tiene acabado pulido. En la variante 2 una vasija presenta pasta de tipo 1a y otra pasta de tipo 2 (Fig. 4.102). En el tipo perfil compuesto, todos los ejemplares son de superficie naranja (2.5YR 4/8, 2.5YR 5/8 y 2.5YR 6/8) y acabado pulido, mientras que la variante s.e.1 muestra color rojo (10R 4/8) y acabado bruñido. Todos los tipos de pasta están representados en este tipo: en la variante 1 aparece una pieza con pasta tipo 1a y otra de tipo 4, mientras que las variantes sin especificar presentan pastas 3 y 2 respectivamente.

d.2) MT (N=1): su acabado es, igualmente, naranja (5YR 5/8) y de acabado pulido (Fig. 4.102).

#### e) Plato

e.1) P (N=1): este ejemplar tiene superficie de color naranja (5YR 6/8) y acabado pulido (Fig. 4.103). Muestra pasta de tipo 1a.

e.2) MP (N=1): este plato miniatura se caracteriza por ser la única pieza de color *beige* (10YR 7/4). Su acabado es pulido (Fig. 4.103).

#### f) Vaso

f.1) V (N=3): dos de ellos tienen superficies de color naranja (2.5YR 6/8 y 5YR 6/8) y pulida; las características del tercero (CE-0132) no se pudieron identificar (Fig. 4.103). Solo el vaso de tipo Vp2b1 presenta pasta de tipo 1a.

#### g) Cuenco

g.1) Cu (N=3): de manera similar al caso de los vasos, existen tres tipos en esta categoría y un ejemplar correspondiente a cada uno. Los tres presentan superficie de color naranja (2.5YR 5/8 y 5YR 6/8) y acabado pulido. Un ejemplar (Cu3b1) presenta la pasta tipo 1a y otro (Cu3a2) la pasta tipo 2 (Fig. 4.103).

En la Fig. 4.105 se muestran las subcategorías B-ALCV y MB-ALCV. El repertorio de colores y acabado es prácticamente igual al del conjunto lima. Casi todas las MB-ALCV son de acabado pulido, mientras que en las B-ALCV hay diversidad en los colores de superficie y acabados. Como se aprecia en la Fig. 4.106 en todos los casos de B-ALTV, B-AAV, MB-AAV, B-AE Y BND todas son de superficie naranja y acabado pulido. En la Fig. 4.107 hay distintas categorías y subcategorías. El cántaro (C) se asemeja en color y acabado a su par escultórico CM del grupo Lima, mientras que el C-ALCH replica el color de superficie y acabado de la MC-ALCH. En las O-C se repiten los colores y acabados de sus pares lima, e igualmente en las MO-C se reitera, en su mayor parte, el acabado pulido pero todas las piezas son de superficie de color naranja.

La Fig. 4.108 constituye un resumen del conjunto completo No Determinado por color de superficie y acabado expresado en porcentajes. De las 165 vasijas (100%), 127 (77,6%) tienen color naranja y acabado pulido. El rojo, en todos sus acabados, alcanza muy pocas piezas (18) y solo tres son de color marrón. En la Fig. 4.109 se ilustra un resumen de las categorías y subcategorías del grupo No Determinado en su integridad en relación con los tipos de pastas presentes. Notoriamente, las pastas 1a y 1b, que tendrían relación con la pasta del estilo Nievería según Menzel, se concentran básicamente en las subcategorías de botellas (incluso las BND), en las teteras y un plato, un vaso y un cuenco. La pasta 2 casi iguala a la cantidad registrada de especímenes en pasta 1a y su presencia en las botellas es semejante, pero también en las O-ALCH y T. Hay una mínima presencia de la pasta 3 en botellas, una O-C y una T; solo un ejemplar de la pasta 4 aparece en las teteras.

**4.1.1.8. Rasgos tecnológicos por estilo: vasijas de cocción reductora.** Como en el caso de las vasijas de cocción oxidada, primero se tratarán las piezas con formas claramente atribuidas a un estilo y, luego, las del grupo No Determinado. No se cuenta con información de pastas.

#### **A. Estilo Lima (cocción reductora)**

##### a) Plato

a.1) P (N=2): sus dos ejemplares presentan acabado bruñido (5YR 2.5/1 y 5YR 2.5/2) (Fig. 4.110).

#### **B. Estilo Chakipampa (cocción reductora)**

##### a) Botella

a.1) BC (N=2): su acabado es pulido en sus dos especímenes (5YR 2.5/1) (Fig. 4.111).

### **C. Estilo Viñaque (cocción reductora)**

#### a) Vaso

a.1) V (N=1): corresponde a un solo tipo (Vd2a, Fig. 4.112). Su acabado es pulido (5YR 2.5/1).

### **D. Grupo No Determinado (cocción reductora)**

#### a) Botella

a.1) B (N=2): se compone de un ejemplar por cada uno de sus tipos (globular achatado y escultórico) (Fig. 4.113). En el primer caso, su acabado es pulido (5YR 2.5/1); en el segundo, el acabado es bruñido (5YR 2.5/2).

a.2) MB (N=1): ejemplar de tipo escultórico; su acabado es pulido (10YR 3/1) (Fig. 4.113).

a.3) B-APC-PP (N=2): corresponden solo al tipo escultórico. El acabado de la superficie de la primera variante no se ha podido identificar debido a su estado de conservación, pero probablemente fue bruñido (5YR 2.5/1); en el caso de la segunda es pulido (10YR 3/1) (Fig. 4.113).

a.4) B-ALCV (N=5): comprende tres tipos y cada variante un espécimen. El tipo globular achatado contiene una sola variante y su acabado es pulido (5YR 2.5/1). El tipo perfil compuesto también se compone de una sola variante y su acabado es bruñido (10YR 3/1). En el tercer tipo (escultórico) hay tres variantes: la primera tiene acabado pulido (5YR 2.5/1); en la segunda es bruñido (10YR 3/1) y en la tercera es pulido (10YR 3/1) (Fig. 4.113).

a.5) B-AE (N=1): comprende un solo tipo y variante; su acabado también es pulido (5YR 2.5/1) (Fig. 4.113).

#### b) Olla

b.1) MO-C-AAH-Ve (N=1): el acabado de esta vasija miniatura es de tipo bruñido (10YR 3/1) (Fig. 4.114).

#### c) Plato

c.1) P (N=1): comprende un solo tipo que no aparece en el conjunto Lima. Su acabado es bruñido (5YR 2.5/1) (Fig. 4.115).

d) Vaso: comprende dos subcategorías.



d.1) MV (N=1): vasija miniatura de acabado alisado (5YR 2.5/1) (Fig. 4.116).

d.2) MV-Ve (N=1): pieza de acabado bruñido (10YR 3/1) (Fig. 4.116).

e) Cuenco

e.1) consiste de dos tipos. El primero, Cu1, es una vasija de doble cuerpo cuya superficie tiene acabado bruñido (5YR 2.5/2) (Fig. 4.117). El segundo, Cu2, también presenta el mismo tipo de acabado (5YR 2.5/1) (Fig. 4.117).

La Fig. 4.118 indica que la mayoría de piezas en este grupo tiene acabado bruñido y pulido; solo hay un caso de alisado. Las botellas presentan acabado pulido mayormente. Las otras categorías del grupo No Determinado tienen acabado bruñido principalmente.

#### 4.1.2. Decoración

**4.1.2.1. Relación de diseños por estilo.** Para elaborar una relación de los diseños, se empleó una abreviatura por cada estilo involucrado con el fin de formar un código por cada diseño (Fig. 4.119). La Fig. 4.120 se compone del listado de los diseños encontrados en las vasijas no escultóricas. Estos estilos son Lima, Chakipampa, Mochica, versiones reelaboradas de diseños foráneos, versiones reelaboradas de diseños híbridos, uno correspondiente a Pachacamac y campos de color referentes a estilos. Suman en total 221 diseños y se presentan desde la Fig. 4.122 a la Fig. 4.136. Los diseños de las vasijas escultóricas se describirán textualmente, pero muchos se basan en los expuestos. Los estilos Pachacamac y Viñaque no se tratarán *in extenso* pero se ilustrarán los especímenes respectivos. Los diseños se aplicarán, luego, a las vasijas respectivas según las clasificaciones morfológicas y tecnológicas expuestas.

#### 4.2. Revisión de las formas cerámicas de la tradición Lima

El grupo No Determinado contiene diversas formas de vasijas nuevas de estilo Lima que se han determinado con base en los análisis de este trabajo, las comparaciones internas, fuentes bibliográficas consultadas así como comunicaciones personales. Con esto se quiere indicar que se hace necesario considerar qué tipo de información no se ha tenido en cuenta pero que puede aportar mayores alcances en la distinción de cuáles piezas se pueden atribuir a este estilo local de la costa central.

#### 4.2.1. Un examen retrospectivo de las categorías, subcategorías y elementos formales de la tradición cerámica de la costa central

Diversas categorías, subcategorías y elementos formales de la cerámica de fines del Período Intermedio Temprano se han podido identificar y se han presentado en este trabajo, pero han tenido antecedentes locales incluso muy tempranos. Poseen formas definidas y reconocibles con determinados rasgos a veces sin alteración en el tiempo; por ejemplo, una botella de doble pico y asa puente puede tener diferentes formas, decoración, entre otros, pero siempre mantiene la idea de un cuerpo, de diversa morfología, coronado con dos picos en su parte superior, los que serán unidos por un asa —de diferente clase—. En ese sentido, se desea mostrar a continuación que hay casos de formas diversas que perduran en el tiempo desde muy temprano.

##### a. *Categorías y subcategorías formales*

- ***Botellas con asa lateral cintada (B-ALCV) con gollete.*** Este tipo de botella se ha observado algunas veces prácticamente sin modificación en la literatura sobre el estilo Lima procedente de diversos sitios de la parte nuclear de la costa central. Por ejemplo, se remonta a la fase Villa El Salvador 2 (Epiformativo) y el Período Transicional (del Período Formativo hacia los Desarrollos Regionales) definidos por Mercedes Delgado en el sitio de Villa El Salvador, en el valle de Lurín (2007: fotos 15 y 16, cuadro 6; el de la foto 16 corresponde al estilo Blanco sobre Rojo). Aquí, Delgado los denomina cántaros y el de la foto 15 presenta pequeñas protuberancias circulares a manera de decoración (ver más adelante). Para el área del valle medio del Rímac, Palacios (2013: 21, arriba), muestra una vasija muy semejante a las referidas por Delgado, incluso con protuberancias idénticas. Del sitio E, Cerro Trinidad, valle de Chancay, Kroeber (1926: *plate* 89, H) ilustró una vasija semejante, con decoración pictórica, asignada al estilo Interlocking, denominado Lima luego por Patterson, y corresponde muy probablemente a la parte temprana de ese estilo.

- ***Botella con asa lateral cintada (B-ALCV) con pico.*** Es más factible reconocer como del estilo Lima a las más conocidas B-ALCV con gollete y que aparecen en diversas publicaciones incluso desde muy temprano en el siglo XX (D'Harcourt 1922: *planché* IV, 2; Gayton 1927, *inter alia*). Pero, asimismo, diversas son las evidencias de picos, sobre todo del tipo largo como se definió en este trabajo. Por su parte, Córdova (2009: fig. 14) reportó una botella con pico largo y asa cintada, de cuerpo cilíndrico y base trípode de tipo ovoide —como se le ha definido aquí (ver Fig. 4.14) correspondiente a la tradición Blanco sobre Rojo y que procede del sitio de Baños de Boza. Kroeber analizó el material del Uhle del sitio E del valle de Chancay y entre ese material había una botella de pico largo y delgado con asa cintada atribuida al estilo Interlocking (1926: fig. 24 [E-6759]). En cuanto a trabajos más recientes y los que se les denomina de esta manera a estos elementos formales se puede mencionar a

Silva (1992), quien reportó evidencias de las fases 8 y 9 del estilo Lima en la Pirámide de Nievería y Huaca Trujillo; dichos rasgos se refieren a «picos» (Silva 1992: figs. 23, 24). Por su parte, Guerrero (1998: 79) ilustró como perteneciente a la etapa Lima Tardío una botella con pico (largo) y asa lateral cintada procedente del sitio de Rinconada Alta.

**- Botella asa puente cintada pico-pico.** Este tipo de botella fue reconocido desde muy temprano en los estudios de arqueología andina como propio de la parte sur de la costa peruana, pero precedidos por una pieza documentada por Palacios (2013: 10), hay registro de numerosos especímenes de este tipo en la costa central desde los períodos Formativo Final y Epiformativo (según el planteamiento de Kaulicke) relacionados con los estilos Paracas y Topará (estilo Cerro en el primer caso; Pinazo y, sobre todo, Huayco, para el segundo; cf. Palacios 1988, 2013; Narváez 2013). Kroeber ilustró un ejemplar del estilo Blanco sobre Rojo procedente del sitio E de Cerro Trinidad (1926: *plate* 86, F). Asimismo, hay varios especímenes de los cementerios de Tablada de Lurín (Cárdenas 1999; Makowski 2009), en la etapa transicional entre el Horizonte Temprano y el Período Intermedio Temprano, así como diversas piezas —con distintas formas de cuerpo— recuperadas de los sitios de Villa El Salvador y El Panel (Delgado 2007; Maguiña Ugarte y Paredes 2009). Debido a ello, es muy probable que esta subcategoría existiera —como de hecho se ha publicado— con diversidad de rasgos formales en las etapas Lima Temprano y Medio y pasaran, luego, a fines del Intermedio Temprano/Horizonte Medio, tal como dedujo Patterson (1966: 96-97); el problema radica en que el registro arqueológico —en estas dos etapas en especial— de estas vasijas, de reducidas dimensiones, es escaso. Patterson anotó lo siguiente:

*«The tradition of double spout-and-bridge bottles probably persisted throughout the Early Intermediate Period on the Central Peruvian coast. The earliest example of the tradition is a small vessel that was found by Jorge C. Muelle at La Florida and that is virtually identical to the Jahuay 2-3 double spout-and-bridge bottles found in the region between the Cañete and Pisco valleys during the Early Horizon Epoch 10. Other early examples of these bottles occur in the Baños de Boza style of the lower Chancay Valley, one of which has short slightly flaring cylindrical spouts connected by a highly arched bridge (Kroeber 1926: pl. 86, F). There is a second bottle in this tradition from the Chancay Valley which probably dates to the third phase of the Lima style, this specimen has a flat bridge connecting two nearly vertical, cylindrical spouts [...] Another spout, the upper part of which is broken off, was found associated with Lima 8 refuse at El Carmen; this specimen also has an arched bridge (fig. 20, j)» (1966: 96).*

De esta última mención, Patterson señala que corresponde al alfar Terracota Ware D (aproximadamente el tipo 2 de este trabajo). Además de la pieza citada, Kroeber ilustra otro ejemplar del estilo Interlocking del sitio E de Cerro Trinidad, muy probablemente de etapas tempranas del estilo Lima (1926: *plate* 89, F). Por su parte, Tabío (1965: 45) documentó una botella de cuerpo lenticular pero cuyos picos son muy cortos (5 centímetros) y su asa es idéntica en su forma a sus pares nazca, debido tanto a su color negro como a que sobresale del ancho de los picos. Corresponde a la etapa Lima Medio y fue hallada en Playa Grande, sin contexto reconocido (Tabío 1965: lám. 3). De Playa Grande procede también otra botella de esta subcategoría (Escobedo y Goldhausen 1999: fig. 3). Un

campo de color negro cubre los picos, el asa y la parte superior del cuerpo (como ocurre en ejemplares paracas), mientras que el resto de la superficie muestra decoración de entrelazados. También hay botellas de doble pico y asa puente de Lima Medio, procedentes del cementerio al pie del cerro Ventana, con cuerpo de forma cilíndrica (Jonathan Palacios, comunicación personal 2015), así como una procedente de los trabajos del mismo autor en el sitio de Cerro Cuncacucho, valle medio del Rímac (Palacios 2013: 11, pieza arriba a la derecha). La forma es globular achatada, con el ecuador hacia la parte inferior del cuerpo. Sus picos igualmente semejan el tipo Pc1a1, pero están pintados de negro, dispuestos en posición oblicua y el asa está a una altura mayor. Según Palacios (comunicación personal 2014) corresponde igualmente a la etapa Lima Medio.

- **Botella asa puente cintada pico cuerpo escultórico (B-APC-PC).** Ejemplares de esta subcategoría existen en el Cementerio de Tablada de Lurín (Cárdenas 1999: fotos 38, 39, entre otras; lám. 43), así como en el sitio de Villa El Salvador (Delgado 2007: cuadro 6), desde las fases Villa El Salvador 1 (fotos 29, 30, 47a). Asimismo, Delgado cita hallazgos hechos en El Panel con piezas de esta subcategoría (2007: foto 54). Kroeber (1926: *plate* 90, F, H) muestra dos botellas de esta subcategoría, pertenecientes al estilo Interlocking (Lima). La segunda de ellas fue atribuida a las fases Lima 5 o 6 por parte de Patterson (1966: 123).

- **Botella de asa puente citada pico-protoma (B-APC-PPR).** Botellas de este tipo existen desde el Período Formativo (cerámica cupisnique del valle de Jequetepeque, *cf.* Alva 1986: figs. 385, 389, 390, entre otras), con asas cintadas que no eran ajenas a este estilo, al igual que en el repertorio paracas, cuya presencia respectiva se ha documentado en la costa central. En el sitio de Villa El Salvador, Delgado (2007: foto 22) encontró una botella de cuerpo carenado de la fase Villa El Salvador 1. Por su parte, Palacios ilustra una botella de esta subcategoría de la fase Pinazo (1988: fig. 8).

- **Olla con asa lateral cintada horizontal (O-ALCH).** Por lo general son ollas que poseen dos asas cintadas en posición ligeramente oblicua y diametralmente opuestos. De esta forma ya había registrado Patterson para su fase 9 del estilo Lima y la denominó *Unique bowl* (1966: fig. 21, d), y tenía 17 centímetros de diámetro de boca. Una forma muy similar la consigna en la fase Lima 7 (*Bowl* 9A, fig. 18, b, con 21 centímetros de diámetro de boca), pero esta última tiene las asas más cerca del labio. La primera pertenece al alfar Scraped Terracota Ware B (también semejante al tipo 2 del presente trabajo). Sin embargo, piezas semejantes se pueden observar en el trabajo de Willey, correspondientes al estilo Blanco sobre Rojo (1943: *plate* 1, c, e, g; *plate* 2, f, *plate* 9, c).

- **Tetera (T).** Las teteras son vasijas restringidas cuyo cuerpo puede tener diversas formas, pero que se caracterizan por tener un mango en un extremo del cuerpo y una vertedera en el otro. Su ubicación puede estar en el ecuador o la parte superior media del cuerpo. Su característica forma la define como

vasija de servicio (Rafael Segura, comunicación personal 2002). Se trata de una categoría formal ya existente desde la fase Pinazo, en el valle medio del Rímac (Palacios, comunicación personal 2014).

- ***Piezas en miniatura de barro cocido.*** Como parte de los contextos funerarios, hay vasijas de diverso tipo en miniatura de barro cocido en el Cementerio de Tablada de Lurín (Cárdenas 1999: 72-75, lám. 38, foto 32). Respecto a los entierros de Lima Medio de Playa Grande que Stumer halló, Barraza (2000: 35) mencionó que «la práctica de acompañar a los individuos enterrados con miniaturas de arcilla parecer remontarse a fines del Horizonte Temprano o comienzos del Intermedio Temprano, pudiendo ser observada en los cementerios de Villa El Salvador y Tablada de Lurín». Asimismo, para la fase Lima 7, según los datos de Palacios (comunicación personal 2015), hay teteras miniatura en los entierros de la llanura de Huachipa como parte de los trabajos realizados que fueron publicados en el artículo elaborado en conjunto con Daniel Guerrero (Guerrero y Palacios 1994).

- ***Tambor.*** Los conocidos tambores del estilo Lima aparecen en diversas publicaciones desde muy temprano (Gayton 1927: *plate* 96, b). Goldhausen (2001: fig. 7) ilustra un tambor de la misma morfología pero de grandes dimensiones procedente de Cerro Culebra; es asignado a Lima Medio. Sin embargo, tambores con esas características formales ya aparecen en el Cementerio de Tablada de Lurín, inclusive con diversos diámetros (Cárdenas 1999: fotos 33, 37, lám. 42).

## **b. Formas del cuerpo**

- ***Cuerpo globular alargado.*** Llamada también ovoide, este tipo de forma se remonta al Blanco sobre Rojo. Willey (1943: *plate* 2, a) ilustra un cántaro fragmentado con un cuerpo con esta forma. Delgado (2007: foto 17) reportó un cántaro ovoide (entre otras categorías con esa forma de cuerpo) de la fase Villa El Salvador, procedente del sitio del mismo nombre. En el sitio de Tablada de Lurín se han hallado diversas botellas con esta forma (Cárdenas 1999: lám. 37, formas 2.3-2.5, p. 70; ver también pieza 59\_CF\_146\_II\_C4 del catálogo en línea del Proyecto Valle de Pachacamac [<http://www.valledepachacamac.com/finder/6>]). En Cerro Culebras, Stumer, igualmente, halló un cántaro con esa forma (Stumer 1954b: fig. 7), y por su decoración pertenecería a las fases tardías lima.

- ***Doble cuerpo.*** En Tablada de Lurín hay botellas de doble cuerpo (Cárdenas 1999: foto 74) y hasta de triple cuerpo, formada por tres cantimploras (Cárdenas 1999: foto 73). En el caso del valle medio del Rímac existen botellas de doble cuerpo desde la fase Pinazo (Blanco sobre Rojo; Palacios, comunicación personal 2015).

- ***Forma calabazoide.*** Otro rasgo muy particular de la cerámica de la costa central en el repertorio de cuerpos escultóricos es la forma de cucurbitácea. Es prácticamente ubicua en diversas categorías y

subcategorías cerámicas halladas en los entierros de los cementerios de Tablada de Lurín; inclusive esto se da en forma insinuada en piezas que ya son escultóricas en sí por lo que conforman lóbulos (Cárdenas 1999: fotos 52-54, 76, lám. 46, entre otros). De la misma manera están presentes en la cerámica de las fases Pinazo (Palacios 1988: fig. 38) y Huayco (Palacios 1988: figs. 20, 21; 2013: 21, vasija en la esquina superior derecha). De hecho, este tipo de representación también es propio del estilo Topará, cuya presencia en la costa central Narváez (2013) denomina ocupación topará.

- **Formación del cuerpo por medio de planchas.** Una botella B-APC-PP, con el asa rota, deja ver una decoración escultórica muy elaborada de influencia recuay (Cárdenas 1999: foto 69, p. 113). Tiene un cuerpo elaborado a base de planchas curvas que forman una figura cuadrangular. Palacios y Guerrero (1994: fig. 62) muestran una vasija tipo cuenco, pero hecha de planchas curvadas, procedente del sitio de Huampaní tal como en el caso de la pieza de Tablada de Lurín. El autor de este trabajo excavó en el borde norte superior del edificio principal del Conjunto Villar Córdova. En uno de los pisos hallados, bajo unas construcciones, había un área de quema con muchos fragmentos de cerámica de la fase Lima Tardío, carbón, entre otros materiales, un tipo de contexto que se ha encontrado en el sitio de Huaca Pucllana. Entre la cerámica había grandes fragmentos casi completos de planchas cuadrangulares pero esta vez muy planas y con decoración de entrelazado (de tipo L6j1, ver catálogo de diseños) que aparentaban ser las paredes de maquetas. Según Johny Isla (comunicación personal 2008), en la tradición Nazca también se emplea este tipo de tecnología, especialmente en el período Nazca Tardío según la nueva cronología planteada por Unkel y Wagner (2009: fig. 1.2) (Museum Rietberg 1999: figs. 125, 201; cf. Carmichael 1994: 237 y Ravines 1994: figs. 183, 194).

### c. Elementos formales

- **El pico Pc1a1.** Diversos elementos componentes de las piezas en estudio tienen antecedentes en etapas más tempranas. Al parecer, uno de los tipos de picos con más presencia en el grupo No Determinado, el Pc1a1, es registrado por Patterson como de la fase Lima 6 (Patterson 1966: fig. 17, l). Según describió, el pico estaba colocado diagonalmente (1966: 70). Su decoración pictórica es roja, con dos líneas (negra y blanca) debajo de la unión del pico con el asa. Según se interpreta del dibujo, la altura del asa sobre el cuerpo no es muy grande a diferencia de los materiales de las colecciones en estudio. Pertenecía al Terracota Ware D y procedía de un pequeño cateo en el sitio de Copacabana. Para la fase 6, Patterson (1966: fig. 17, j, *unique bottle*) también documenta un fragmento de pico; si bien su diámetro de boca es de 5 centímetros (a cuyas dimensiones se acercan las variantes pp1 y el pd3, entre otras aunque muy divergentes) no es muy alejado del concepto de pico empleado aquí. Perteneció al alfar Scraped Terracota Ware B. Del resto de materiales de la muestra de Patterson, como Segura ha precisado (2004: 112), se carece en gran parte de información de vasijas de dimensiones reducidas, por lo que solo hay dos muestras más de botellas fragmentadas, una atribuida a un cántaro

(*unique jar*, 1966: fig. 11, c), de la fase 3 del estilo Lima y del mismo alfar; y un fragmento de la base de un pico de la fase 8 (1966: fig. 20, j, *unique bottle*) correspondiente al Terracota Ware D. Patterson 1966: 75) indicó que el asa parece muy arqueada, y no se pudo determinar su altura.

- **Base pedestal.** Los elementos sobre los que se sostiene un cuerpo o pedestales existen desde larga data en la costa central. Entre los materiales cerámicos de los cementerios de Tablada de Lurín hay piezas de diversas categorías formales con elementos de este tipo, por ejemplo insinuados en una vasija escultórica (Cárdenas 1999: lám. 127, 08376). La base trípode de tipo ovoide se encuentra en la botella de cuerpo cilíndrico de la tradición Blanco sobre Rojo, que procede del sitio Baños de Boza, mencionada antes (Córdova 2009: fig. 14). También se puede citar una pieza ilustrada por Gayton y que ella atribuye al *Strain A* del Proto-Lima (estilo Lima) (1927: *plate* 92, e). Se trata de una olla con cuello y dos asas cintadas laterales en posición horizontal que se sostiene sobre tres pedestales puntiagudos.

- **Figuras escultóricas integradas.** Las aquí denominadas *Formas especiales* consisten de elementos escultóricos integrados a vasijas con formas geométricas o globulares. Es el caso de proyecciones escultóricas que se dan sobre todo en forma de plantas. Este tipo de decoración se puede rastrear en muestras excavadas del estilo Blanco sobre Rojo, asociado a vasijas grandes del sitio E, Cerro Trinidad, valle de Chancay (Kroeber 1926: fig. 8; Willey 1943: 147, *plate* 2, g). En trabajos de rescate en Cerro Trinidad en 2007, Aurora García (comunicación personal 2015), halló cántaros completos y casi completos del tipo que se citan aquí, así como los elementos escultóricos en mención, pero en alfares de pasta marrón. En formas idénticas, Uhle encontró vasijas de este tipo (Fig. 4.167, a) (IAI-PK. Berlín, Nachlass Max Uhles [Legado de Max Uhle]: s.f.). Del mismo modo, cántaros con proyecciones escultóricas hay en el Cementerio de Tablada de Lurín (Cárdenas 1999: lám. 46, 03054, 08114), y se puede citar un cántaro del estilo Blanco sobre Rojo de Cerro Trinidad cuyas proyecciones son más bien zoomorfas (Willey 1943: fig. 8). Un espécimen de mucho mayores dimensiones (27 centímetros de largo) se ilustra en el trabajo de Willey (1943: 147, *plate* 2, g) y pertenece igualmente al Blanco sobre Rojo.

- **Aplicaciones modeladas para representar figuras zoomorfas y antropomorfas.** Igualmente de Tablada de Lurín (Cárdenas 1999: lám. 50, 00137; fotos 27, 30, 75) aparecen aplicaciones delgadas y largas en forma de serpientes; la manera de representar los rasgos de los personajes en las figurinas lleva a deducir el uso de esta técnica para representaciones zoomorfas o antropomorfas diversas (*cf.* Delgado 2007: fotos 52, 55, piezas procedentes de El Panel). Un cántaro cara-gollete (Delgado 2007: foto 14) muestra las mismas características; corresponde a la fase Villa El Salvador 1. En general esto se puede ampliar a otros ejemplares diversos de estas etapas tempranas en los que se han empleado pequeñas aplicaciones para formar los rasgos anatómicos.

- **Decoración en forma de protuberancias.** Las formas mencionadas B-ALCV por Palacios (2013: 21, arriba) y Delgado (2007: foto 15) presentan pequeñas protuberancias circulares alineadas horizontalmente. Esta autora también halló una olla con cuello de gran tamaño con el mismo tipo de decoración (2007: foto 9), y corresponde al período Transicional entre el Período Formativo y los Desarrollos Regionales (Delgado 2007: cuadro 6).

#### 4.2.2. Inferencias preliminares: nuevas consideraciones acerca del estilo Lima

Sobre la base de lo expuesto, queda de manifiesto que no se cuenta con un repertorio documentado y publicado completo (en la medida de lo posible) que facilite el reconocimiento de formas propias del estilo Lima. Esto se advierte en la poca cantidad documentada de material cerámico de los períodos Lima Temprano y Medio —que se conoce en mayor parte por fragmentos y su decoración— y sus relaciones con etapas más tempranas, como las fases Huayco y Pinazo del valle de Huachipa (Palacios 1988), la cerámica del cementerio de Tablada de Lurín, el sitio de Villa El Salvador, El Panel, entre otros. Por otro lado, es evidente que varias de las categorías o subcategorías formales, los elementos formales integrantes o las formas del cuerpo de las colecciones estudiadas aquí tienen un amplio rango temporal, y los rasgos de algunas de ellas permanecen casi sin alteración en el tiempo. Este es el caso de los cántaros mamiformes (CM), de los que se sabe ya hay en la fase Villa El Salvador 1 del sitio del mismo nombre (Delgado 2007: foto 18), múltiples ejemplos en el estilo Blanco sobre Rojo y Lima (Willey 1943, Kroeber 1926, entre otros); el de las B-ALCV con gollete, así como los tambores. El repertorio formal, en general, tiende a ampliarse y un ejemplo claro de ello es un hallazgo de la temporada 2012 en el sitio de Huaca 20, complejo de Maranga, valle bajo del Rímac, donde un cántaro con asas cintadas laterales en posición vertical estaba asociado a una pieza de estilo Nievería (Ramos 2012: 355; Patterson 2014: lám. 31A); de atribución clara a Lima Medio, su forma es prácticamente idéntica a cántaros procedentes de Tablada de Lurín (Cárdenas 1999: lám. 37, fig. 2.16, lám. 78, 05122a; lám. 90, 04981).

El postulado de Patterson (1966: apéndice 7) acerca de que el *gadrooning* —es decir la representación en forma de lóbulos (calabazoide)— apareció recién en la fase 8 o 9 del estilo Lima puede dar paso a las consideraciones presentadas aquí debido al hecho del mayor número de investigaciones en la costa central desde la realización de su trabajo. De hecho, el mismo Patterson se dirige, parcialmente, en esta misma línea de razonamiento en su sección *Processes* (1966: 85) al exponer la vigencia de diversas formas, rasgos formales y decorativos en lapsos largos o que abarcan más de una fase. Esto lleva a sugerir que si se trata de explicar la existencia de formas y elementos «no comunes» o «novedosos» en una tradición cerámica no es necesaria la intervención de una intrusión externa tardía (Menzel 1964; cf. Palacios y Guerrero 1994).



De manera inicial se planteó que las vasijas B-APC-PPR que tenían un cuerpo formado por planchas curvadas eran producto de la tecnología nazca (Valdez 2010). Como se ha visto, hay evidencias tempranas y tardías del uso de planchas y de superficies curvadas. Por lo mencionado, este tipo de técnica estaba presente tanto en cerámica lima de acabado muy fino y de acabado no muy logrado, por lo que lo hace un componente técnico intrínseco a la producción cerámica lima y, probablemente, compartido con la tradición Nazca y otras más. Es más, podría añadirse a lo antes enumerado que las denominadas botellas compuestas de Villa El Salvador (2007: foto 31 a, entre otras), consistentes en una representación escultórica por lo general zoomorfa que se apoya en un cuerpo globular achatado puedan relacionarse con ciertos pedestales identificados en las B-APC-PP del grupo No Determinado. Este tipo de piezas también fue reportado por Willey (1943: *plate* 86, G; *plate* 90, A, C). De hecho, no hay evidencias de los tipos de pedestales tipologizados en el corpus en otras tradiciones cerámicas y, por lo tanto, no implicarían innovaciones. Otro ejemplo son los collares (*collar*) ubicados en la unión del cuerpo con el cuello. Dentro del material de Tablada de Lurín hay una pieza con una insinuación de collar con incisiones, hasta el momento un rasgo formal lima (Cárdenas 1999: foto 31, pieza 04538). Por otro lado, desde muy temprano en el siglo XX diversos autores ya hacían alusión a las formas de la tradición local. Por ejemplo, respecto de dos teteras provenientes del Cementerio de Nievería, Gayton expresó: «*Two Nazca Y-influenced pieces are very low lenticular bowls having a long projecting spout on one side and on the opposite a conical handle. One is decorated with two Nazcoid double-headed serpents [...] On the other (pl. 95f), four mythological creatures characterized by the tripart element typical of the late Nazcan Jagged-staff demon design<sup>18</sup> are disposed in four opposing panels. The rectangular convention of these creatures hints at a Tiahuanacan (Pachacamac) influence. It should be noted that these two specimens, in spite of their Nazcan designs, are of typical Proto-Liman shape [...]*» (1927: 313-314). En relación con la decoración de incisiones en los platos, Stumer (1957: 283) planteó: «No descubro ninguna influencia extraña en la cerámica incisa de Huaquerones [Catalina Huanca]; pienso simplemente que las formas y motivos reflejan el paso del tiempo». El mismo autor se refirió a las vasijas de cocción reductora ilustradas en su artículo *Cerámica negra del estilo Maranga* (1957), con el planteamiento de que varias de ellas pertenecían al estilo local.

Delgado postula una relación con la costa sur en estas piezas, ya que incluso se recuperó de El Panel una «botella modelada en forma de ave con pico y asa-puente [...]. Esta ave, a diferencia de las anteriores, presenta una base modelada a modo de cactus; con decoración tricolor (crema, índigo, marrón) (foto 49). Esta autora realizó análisis químicos en los que se concluyó que la pieza probablemente fue de intercambio y la comparó con una del estilo Nazca, bastante semejante (Delgado 2007: foto 50). A todo lo expuesto hay que añadir el hallazgo de Daniel Guerrero (Guerrero y Palacios 1994: 306), quien identificó vasijas de la fase 5 del estilo Lima en el sitio de Macas, valle medio del Chillón. La decoración constaba de los colores blanco, crema-amarillo, negro, gris, marrón y rojo. Las

formas eran «boles» y cuencos de acabado pulido que constituían una asamblea «particularmente polícroma» al de la producción cerámica de inicios del Horizonte Medio.

Finalmente, en ese mismo sentido, Rafael Segura (2004: cuadro 2) expuso, de manera resumida, la duración de los ocho alfares definidos por Patterson en su trabajo; de lo que se observa, se advierte la larga duración de varios de ellos y se puede inferir que es factible la duración mayor de algunos —ya que se trataba de una muestra sesgada—, pero lo más importante es el hecho de que esos alfares tienen una relación directa con las formas del estilo Lima durante su vigencia y, por lo tanto, reflejan tecnológicamente lo postulado acerca de las formas. Se debe tener en cuenta, además, que no son los únicos alfares o rasgos del estilo Lima (ver cap. 1).

Según lo anterior, el repertorio formal lima y la tradición de la costa central no han podido ser reconocidos en su amplitud, algo que puede motivar una atribución estilística ambigua u errada de sus vasijas. Ese proceso ha demorado prácticamente un siglo, probablemente debido a las ideas preconcebidas acerca de las secuencias estilísticas desarrolladas en el siglo XX y al conocimiento progresivo pero lento de sus características formales, tecnológicas y decorativas conforme era mayor el número de investigaciones en la costa central (*cf.* cap 1). De manera contraria ocurrió con el estilo Tiwanaku en relación con el hallazgo realizado en 2005 en la isla de Pariti, ubicada en el lago Titicaca, por parte de un proyecto conjunto boliviano-finlandés. El lugar ya había dado evidencias de material notable, lo que fue confirmado por trabajos previos, como los de Wendell C. Bennett, quien documentó manufactura muy lograda en varios soportes. El repertorio de formas de la cerámica del estilo Tiwanaku se amplió en gran medida. Se trataba de un gran número de vasijas quebradas y enterradas en dos pozos (rasgos 1 y 2). Los resultados obtenidos revelaron «formas poco comunes y hasta inéditas», en su totalidad suntuaria (Korpisaari y Pärssinen [eds.] 2005: 45), así como un énfasis en las representaciones figurativas y bastante elaboradas (Korpisaari y Pärssinen [eds.] 2005: 10).

Diversos aspectos se pueden rescatar a partir de este hallazgo, como, por ejemplo, el hecho de que la mayor parte de la cerámica tiwanaku hasta entonces conocida no lo era por su carácter escultórico, por lo que se puede decir, por un lado, que este tipo de producción era limitado o estaba restringido para sus ceramistas hasta que se ocurrió su hallazgo. Pero, de manera más importante, a diferencia del caso del estilo Lima, es que este conjunto cerámico fue incorporado muy rápidamente dentro del estilo Tiwanaku y, luego, llevó a estudios más detallados acerca de sus características (Korpisaari y Pärssinen 2011).

Como siguiente paso se procede a asociar, sobre la base de los rasgos morfológicos, tecnológicos y decorativos individuales correspondientes de cada una de las piezas del corpus analizadas con el apoyo de la expuesta sustentación acerca de la persistencia de rasgos y formas diversas de la cerámica de la

tradición local de la costa central. Con ello se pretende tener una caracterización detallada de las vasijas atribuidas a los estilos definidos explicados antes y exponer los productos resultantes en el grupo No Determinado.

#### **4.3. Descripción de las piezas correspondientes a estilos definidos y los resultados en el grupo No Determinado**

Hay piezas que conforman grupos morfodecorativos y otras que constituyen casos únicos; complementados con los datos tecnológicos, se ilustran desde la Fig. 4. 138A a 4.166A. Su ordenamiento se ha hecho sobre la base de la decoración en el cuerpo de la pieza. Esto abarca a las de cocción oxidada como reductora de los estilos de la etapa Fines del Período Intermedio Temprano-Inicios del Horizonte Medio (FPIT-IHM), pero no en detalle a los estilos Pachacamac y Viñaque, correspondientes a la Etapa relacionada con el Período de Incurción Wari (E-PIW) (ver cap. 1), si bien se les ilustra y describe con fines comparativos; por último, se describen las piezas de la Etapa relacionada con el Período de Posincurción Wari (E-PPIW) (ver cap. 1). A cada lámina le acompañan cuadros con gráficos con tonos de grises que se refieren a los colores de superficie: rojo, naranja, marrón claro y marrón oscuro (explicado en la Fig. 4.137a). Se exponen los datos de pasta cuando se cuenta con ellos. Para fines de comparación y explicación, la descripción textual sigue el orden de los estilos definidos, pero el de las láminas correspondientes sigue el orden temporal de acuerdo al reordenamiento postulado para el Horizonte Medio por parte de Haeblerli (Isbell 2011; ver cap. 1).

En cuanto a la decoración, se presentan cuadros con la presencia de estos en cada elemento formal de la pieza. La Fig. 4.137b muestra una convención de signos o abreviaturas de disposición de los diseños listados antes cuyo propósito es facilitar la visualización de su empleo y asociaciones. Por lo general, se respeta el orden definido en el listado. Como se indicó antes, los diseños de cuerpos escultóricos no se han consignado en detalle en el catálogo (Fig. 4.120). Un patrón particular de decoración que se encontró en las vasijas del corpus es la de los campos de color (Fig. 4.136) que aparecen en botellas de diversas subcategorías, cántaros mamiformes y teteras. Se le ha denominado aquí *decoración compuesta* y presenta las variantes siguientes: a) campos de color completos, b) dos campos de color diferentes en un mismo pico y c) campos de color con un diseño (referente a un estilo) en el borde. Para los fines de denominación del estilo Nievería se ha considerado la nomenclatura del planteamiento de Haebeli. Como se advertirá en el texto a continuación, hay expresiones de la cerámica de estilo Nievería en las tres fases definidas del Horizonte Medio según esa revisión (*cf.* cap. 1), por lo que al estilo Nievería de Fines del Período Intermedio Temprano e Inicios del Horizonte Medio se le mantiene con esa denominación; al estilo Nievería de la Etapa relacionada con el Período de Incurción Wari se le denomina Nievería E-PIW, y, por último, cuando este estilo se hace presente en la Etapa relacionada con el Período de Posincurción Wari se le llama Nievería E-PPIW. Estas

mismas abreviaturas se aplican, de igual modo, a las denominaciones de piezas con estilos definidos o no definidos.

### **4.3.1. Cocción oxidada: estilos definidos. Fines del Período Intermedio Temprano e Inicios del Horizonte Medio**

#### **a. Piezas del estilo Lima**

1. Grupo morfodecorativo Li-1: se caracteriza por líneas singulares o compuestas de diverso tipo dispuestas verticalmente alrededor del cuerpo. Se compone mayormente de la subcategoría B-ALCV, así como de MB-ALCV, O-C, MO-C, CM y un solo plato (Figs. 4.138A, 4.139A; *cf.* 4.167, a, b). En las B-ALCV sus variantes son Gd1, Gd2a, Gd2c y Gd3a1, en las MB-ALCV, las variantes Gd1 y Gd3a1 se reiteran. Las O-C presenta las variantes Cd1a2 y Cd3a1. Por su parte, el CM tiene el tipo de cuello Cp1 y hay un plato de tipo P2c. Tres especímenes presentan la pasta 2 (dos B-ALCV y una O-C).

2. Grupo morfodecorativo Li-2: consiste de diseños de bandas colocadas de diversa forma; se presenta una O-C con la variante Cd1a2 y un plato de tipo P2b (Figs. 4.139A, 4.139B).

3. Grupo morfodecorativo Li-3: se compone de diseños o paneles geométricos dispuestos en lados opuestos del cuerpo de la vasija. Hay tres subgrupos:

- Li-3A: diseños colocados de manera opuesta en el cuerpo; se compone de B-ALCV y O-C. En la primera subcategoría se trata de las variantes Gd1, Gd2a, Gd3a1 y Gd3a2; en las O-C, las variantes presentes son Cd1a1, Cd1a3, Cd2b y Cd3a2 (Figs. 4.140A, 4.140B).

- Li-3B1: diseños en paneles romboidales dispuestos en lados opuestos de la vasija. Se presenta en las subcategorías B-ALCV y MB-ALCV. El primer caso muestra las variantes Gd1, Gd2a, Gd2b y Gd3a1; el segundo caso, con un solo ejemplar, reitera la variante Gd3a1 (Fig. 4.141A, 4.141B; *cf.* 4.167, b).

- Li-3B2: diseños en paneles triangulares o triangulares truncos dispuestos en lados opuestos de la vasija. Aparece en la subcategoría B-ALCV en sus variantes Gd1 y Gd3a1 (Fig. 4.141A, 4.141B).

4. Li-4: formas triangulares en greca que salen desde la unión del cuello con el cuerpo o desde el borde del recipiente. Se conforma de las subcategorías B-ALCV, MB-ALCV, O-C y P. De las dos primeras solo hay un ejemplar cada uno; la variante de la primera es Gp3 y de la segunda es Gd3a1. Para la subcategoría O-C las variantes presentes son Cd1a1, Cd1a2, Cd1a3, Cd2b, Cd2c y Cd3a2. En el caso del plato, es del tipo P2b. Solo un caso de las O-C tiene pasta de tipo 2 (Figs. 4.141A, 141B, 4.142A, 4.142B).

5. Li-5: vasijas sin decoración pictórica. Se compone de las categorías y subcategorías O-C, MO-C, MC-ALCH, P y MP. En la subcategoría O-C se presentan las variantes Cd1a2, Cd1a3 y Cd2a; en la subcategoría MO-C están las variantes Cd1a2 y Cd2d; La MC-ALCH muestra el caso único Cp3b y

corresponde al reconocible alfar de color marrón oscuro que aparece en el estilo Lima. El conjunto de platos presenta los tipos P1a, P1b, P2b y P2c. El único ejemplar de MP es de tipo P2c (Fig. 4.143A, 4.143B). Dos platos presentan pasta de los tipos 2 y 3.

6. Li-VeR: se trata de un caso particular, un CM, pues la decoración la compone una versión reelaborada del chevrón chakipampa, ya que solo tiene los colores negro y blanco (Fig. 4.144A, 4.144B; *cf.* 4.167, c).

La decoración de los golletes y cuellos varía entre entrelazados, líneas y semicírculos y a veces no hay decoración pictórica. Un caso especial lo constituyen los cántaros mamiformes, que presentan campos de color completos. Las asas se decoran sobre todo con la serie L1 (líneas), con excepción de los especímenes CE-0052 (Li-1) y CE-0150 (Li-3B1), que emplean bandas. Los colores empleados son rojo oscuro, negro y blanco. El color de superficie de las vasijas de este conjunto son el rojo, naranja, marrón claro y marrón oscuro. Las B-ALCV y MB-ALCV presentan acabados diversos incluso al interior de grupos morfodecorativos consistentes como el Li-3B1. Pueden ser de superficie roja y acabado alisado, y también de superficie naranja y acabado pulido y en menor grado bruñido. Las O-C y MO-C presentan un tercer color, marrón claro. Si tienen superficie roja, casi todas son alisadas; si presentan superficie naranja tienen acabado pulido, bruñido y alisado. Los cántaros, de cualquier subcategoría, son alisados o bruñidos. Los platos rojos son alisados, los de superficie naranja presentan todos los tipos de acabado (alisado, bruñido, pulido) y los de color marrón claro son todos alisados, con excepción de uno bruñido. Las pastas determinadas aquí, cuyo valor relativo es mayor en el caso del estilo Lima dado que se conocen con mayor detenimiento, de las 71 piezas del estilo Lima (Figs. 4.138A-4.144A), una presenta pasta tipo 1a, 14 la de tipo 2, cuatro tienen la de tipo 3 y una es de tipo 4.

**b. Piezas del estilo Chakipampa.** Este grupo se caracteriza porque su color de superficie de sus ejemplares es de color naranja en su integridad.

1. Ch-1: piezas con diseños colocados de manera opuesta en los hombros de la vasija sobre campo de color rojo que cubre los dos tercios superiores. Solo botellas cantimplora (una de versión BC-AAV) pertenecen a este subgrupo. Sus variantes son Pxp1a2 y Pd3a1 (Figs. 4.145A, a, b; 4.145B; *cf.* 4.167, e).

2. Ch-2: piezas con diseños opuestos en los dos tercios o mitad superiores del cuerpo. También lo conforman BC, con su variante Pd3a1, y una MB-AAV, de variante Pp2 (Figs. 4.145A, c, d, e; 4.145B).

3. Ch-3: piezas con diseños reiterados en paneles cuadrangulares separados por bandas delineadas verticales que forman divisiones. Lo integran un MC y un cuenco de tipo Cu3b1 (Figs. 4.145A, f, g; 4.145B).

4. Ch-4: comprende un solo ejemplar (cuenco de tipo Cu3b2, el más grande), con diseños en paneles cuadrangulares y cuya delimitación vertical es un conjunto de diseños (Figs. 4.145A, h; 4.145B).
5. Ch-5: consiste de un solo ejemplar en el que su decoración consiste de pintura roja en las paredes, menos la base (Figs. 4. 145A, i; 4.145B).
6. Ch-6: subgrupo con piezas sin decoración pictórica. Consiste de dos MB-AAV, con variante de pico Pc2c (Figs. 4. 145A, j, k; 4.145B).

Se le denomina *conjunto especial* pues la pasta en dos de sus ejemplares es 1a y 1b, y en otra es del tipo 2, lo que plantea la posibilidad de que pudieron ser manufacturados localmente y no ser vasijas importadas. En ese sentido, llegan a esa conclusión un estudio sobre fragmentos con decoración chakipampa procedentes del sitio Huaca 20 del complejo Maranga, valle bajo del Rímac (Pillaca *et al.* 2009). La decoración de dos BC y una MB-AAV es de tipo compuesta. Salvo dos casos (alisado y bruñido) el acabado es pulido. Los colores empleados son el rojo oscuro, negro, blanco y gris.

**c. Pieza del estilo Mochica.** Se conforma de un solo ejemplar en el que un diseño complejo está ubicado de manera opuesta sobre la parte media superior de la vasija. Los picos son de la variante Pc2a (Figs. 4. 145A, l; 4.145B). Debido a las características formales y decorativas que presenta, claramente es una pieza importada. Los colores que muestra son el negro, rojo oscuro, crema, blanco y gris, pero posiblemente hubo otro más (quizá celeste), no reconocible por su mal estado de conservación. Los detalles del diseño M1 fueron tomados de la foto original de Stumer (1958: fig. 5) y comparadas con los dibujos mostrados por Donnan y McClelland (1999) acerca de los seres representados en este tipo de piezas. Este espécimen presenta diversos elementos en común con ellos pero no hay otro idéntico.

#### 4.3.2. Cocción oxidada: estilos definidos. Etapa relacionada con el Período de Incurción Wari

**a. Piezas de estilo Pachacamac.** El grupo Pachacamac consta de B-ALTV y una O-ALCH. La decoración de sus botellas se puede agrupar de manera consistente en cuatro subgrupos y una serie de casos únicos (N=8).

1. Subgrupo A: las variantes presentes son Pc1a3 y Pc3c1. Su decoración consiste de anchas bandas rojas verticales delineadas en negro, líneas que tienen aros o círculos o que alternan con formas en «S». Estas bandas alternan con diferentes diseños: líneas aisladas con círculos y formas en «S» superpuestas, hileras de diseños cruciformes al medio de un campo de rombos o puntos, campos de color naranja con una línea en el centro de puntos pequeños en área, o con hileras de rombos con aros en sus esquinas en medio de un campo de puntos negros. Los picos muestran un campo de color negro, y las asas bandas negras. Un ejemplar presenta pasta 2 y otro pasta tipo 3 (Figs. 4.161A, 4.161B).

2. Subgrupo B: consiste de las variantes Pp1, Pd1, Pc3a, Pc3b, Pc1a1 y Pc1a3. Su decoración claramente muestra diseños muy semejantes al grupo Li-3B1 en lo que respecta a los triángulos de diversa conformación y formas en «V» invertidas (Fig. 4.148A). Salvo dos casos, los picos presentan el diseño entrelazado de la serie L6p del grupo Lima; hay asas con bandas de color y un pico con campo de color. Dos ejemplares muestran la pasta 2 y uno la 3 (Figs. 4.161A, 4.162, a-d; 4.161B; cf. 4.169, k).
3. Subgrupo C: lo conforman vasijas cuya decoración consiste en entrelazados en el cuerpo semejantes al diseño L6p1 en la parte superior de la vasija de contorno compuesto; la parte inferior es un campo de color negro o rojo. Su única variante es Pd1 y una de las piezas presenta pasta de tipo 1a (Figs. 4.162A, e, f; 4.162B).
4. Subgrupo D: consiste de vasijas decoradas con una serie de rostros de perfil (de clara filiación del Horizonte Medio) en paneles cuadrangulares, los que cubren los dos tercios superiores de la pieza. Su única variante es Pc3c1 y un espécimen muestra pasta de tipo 2 (Figs. 4.162A, g-i; 4.162B).
5. Casos únicos: tienen, como decoración en el cuerpo, líneas de diverso tipo en posición vertical, «alas emplumadas» que Menzel describió para el estilo Chakipampa (1964: 17), rostros aplicados en el pico, entre otros muy diversos. Sus variantes son Pd2a, Pc1a3, Pc2d, Pc3c1, Pc2c, Pce1 y Pce2. (Figs. 4.163A, a-h; 4.163B). Siete especímenes muestran pastas de tipo 2, 3 y 4.
6. El único ejemplar de O-ALCH muestra decoración de un diseño afín a Chakipampa dispuesto en paneles con el fondo de color de la superficie que alternan con cuadrángulos de color rojo (Figs. 4.163A, i; 4.163B).

Las superficies de color naranja están pulidas y las de color marrón claro están pulidas y alisadas. Los colores empleados son el negro, blanco, rojo oscuro, rojo y naranja. El tipo de decoración compuesta también aparece en este conjunto. Los tipos de pasta (1a, 2, 3 y 4) identificadas para este grupo tienen un valor relativo pues no hay estudios actuales sobre materiales de este estilo, pero destaca el ejemplar de tipo 1a para el subgrupo C. Menzel señaló que el estilo Pachacamac se compone, en una parte, de rasgos formales y decorativos derivados de Nievería («*Derived Nievería shape and design themes*», 1964: 56) y eso se aprecia en la decoración del subgrupo B, si bien se puede apreciar que la decoración es lima mientras que la forma (B-ALTV) parece tener un antecedente en el estilo Nievería según se expone más adelante. Ciertamente, Nievería Derivado no es un estilo, como algunos autores han interpretado, y Menzel no lo explicó de ese modo.

**b. Pieza del estilo Viñaque.** Consiste de un vaso de tipo Vd2a, con representación de la cabeza de un ser mítico elaborado del que salen alas emplumadas y dispuesto reiteradamente entre paneles divididos por chevrones colocados en posición vertical; arriba y abajo del área decorada hay bandas de color negro (Fig. 4.163A, j; 4.163B). Su superficie de color naranja está pulida. Los colores de decoración son el negro, blanco, rojo oscuro, rojo y gris.

### 4.3.3. Cocción oxidada: grupo No Determinado. Fines del Período Intermedio Temprano e Inicios del Horizonte Medio (FPIT-IHM)

**a. Formas nuevas del estilo Lima.** Consiste de diversas vasijas que replican en gran parte la decoración de las piezas del estilo Lima expuesto antes.

1. Grupo morfodecorativo Li-1: se compone de las categorías y subcategorías B (variante Pp1), B-ALCV (variantes Pp1, Pd1, Pd3a3, Pd2b, Pxc2, pxd2, Pxp1d y una no identificada) y MB-ALCV (variante Gd1), B-APC-PP (Pc2e), B-APC-PC (con doble cuerpo, variante Pc1a1), MO-C (variante Cd2a), O-ALCH-Ve (variante Vep1b) y C (variante Cd3a1). Hay cuatro piezas con pasta de tipo 1a y cuatro del tipo 2 (Figs. 4.146A, 4.147A, a-e; 4.146B, 4.147B; *cf.* 4.167, f, g).

2. Grupo morfodecorativo Li-3: como en el grupo Lima descrito antes, hay varios subgrupos y aparece una forma distinta de panel:

- Li-3A: se presentan diseños únicamente de manera opuesta en el cuerpo; solo consiste de dos vasijas, una B (variante Pp1) y una B-ALCV (variante pd3). Una vasija muestra pasta de tipo 2 (Figs. 4.147A, f, g; 4.147B; *cf.* 4.167, h).

- Li-3B1: la decoración del cuerpo consiste de paneles romboidales; comprende solo B-ALCV (variantes pd3, Pp2, Pd2b, Pc1a1, Pxc3c, Pe2a3 y Pe2a1), una MB-ALCV (variante Pd2b) y una B-APC-PP (Pc1a1) (Figs. 4.147A, h-k; 4.148A, a, b; 4.147B, 4.148B). Igualmente, solo una pieza muestra pasta de tipo 2.

- Li-3B2: la decoración del cuerpo consiste de paneles triangulares o triangulares trancos o formas en «V» invertidas; comprende solo B-ALCV (variantes pd3, Pp2, Pd2b, Pc1a1, Pxc3c, Pe2a3 y Pe2a1), una MB-ALCV (variante Pd2b) y una B-APC-PP (Pc1a1); de cinco especímenes, uno presenta pasta tipo 1b, tres de tipo 2 y uno de tipo 3 (Figs. 4.148A, c-k; 4.148B; *cf.* 4.167, i).

- Li-3C: la decoración del cuerpo consiste de paneles semicirculares; comprende solo una MB-ALCV (variante Gd2b) (Figs. 4.148A, l; 4.148B).

3. Grupo morfodecorativo Li-4: su decoración consta de formas en «V» o triangulares en greca que salen desde la unión del cuello con el cuerpo o desde el borde del recipiente. Comprende varias B-ALCV (variantes Pd2b, Pd1, Pc1a1, Pp3b1, y pp1) y una O-ALCH-Ve (variante Vep1a) (Figs. 4.149A, a-f; 4.149B). Dos especímenes presentan pasta de tipo 2.

4. Grupo morfodecorativo Li-5: como en su par descrito antes, no hay decoración pictórica y solo una presenta decoración en altorrelieve. Consta de las categorías B (variante Pc2c), T (variante Vep1a y una no identificada) y la subcategoría C-ALCH (variante no identificada). Una tetera tiene pasta de tipo 3. El C-ALCH corresponde al alfar de color marrón oscuro del estilo Lima (Figs. 4.149A, g-j; 4.149B).

5. Grupo morfodecorativo Li-6: los diseños en el cuerpo constan de dos líneas negras con aros en su interior en posición vertical que encierran una hilera vertical de rombos rojos delineados en negro y



que están sobre un campo de puntos o rombos negros; este conjunto se alterna con líneas verticales de color rojo. Solo una pieza muestra pasta de tipo 2 (Figs. 4.150A, a, b; 4.150B).

6. Grupo morfodecorativo Li-7: consiste de diseños entrelazados en las dos terceras partes superiores del cuerpo. Hay dos teteras y una de ellas presenta pasta de tipo 2 (Figs. 4.150A, c, d; 4.150B).

7. Grupo morfodecorativo Li-8: grupo de teteras con decoración de campo de color rojo oscuro encerrados entre dos líneas de color negro en posición horizontal. Pueden presentar diseños al interior, como aros de color blanco o de arañas en altorrelieve (Figs. 4.150A, e-g; 4.150B).

8. Grupo morfodecorativo Li-9: consta de tres B-APC-PP y, si bien dos de ellos están incompletos, se puede afirmar que pertenecen a esta subcategoría. Representan mujeres con un vestido de color negro, delineado negro y rojo en el cabello o y tatuaje en los brazos. Portan un cinturón con decoración de entrelazado. Dos de ellas llevan a un infante en brazos. Una pieza presenta pasta de tipo 2 (Figs. 4.150A, h-j; 4.150B; *cf.* 4.167, j).

La variabilidad en la decoración de los picos, golletes, cuellos y vertederas es muy amplia, y como en el primer grupo de piezas lima, a veces no hay pintura; en cuanto a la decoración compuesta, los campos de color están en un cuello y se amplían a los picos; uno de ellos presenta dos campos de color a la vez (rojo y negro). Los colores para decorar son, igualmente, el rojo oscuro, el negro y el blanco. La decoración de las asas de las botellas puede ser de líneas y bandas si se trata de vasijas de superficie roja y acabado alisado, bruñido y pulido, así como naranja alisado, pero en las de superficie de color naranja y acabado pulido se decoran con la serie L6, es decir, entrelazados. El único cántaro de este grupo coincide en color, acabado y parte de la decoración con uno de los CM de las piezas definidas del estilo Lima antes expuestas. El C-ALCH, de color marrón oscuro, sigue el patrón de otras piezas de este alfar de otras investigaciones (alisado).

Por otra parte, de las tres O-C de superficie roja dos son pulidas y una alisada, y solo hay un caso de naranja pulido; todos los ejemplares MO-C muestran superficie naranja y acabado pulido mayormente. Solo hay dos ejemplares de O-ALCH-Ve pero una muestra superficie roja y alisada, y la otra es naranja y de acabado pulido. En cuanto a las T, casi todas son de superficie naranja y acabado pulido con una excepción (alisado); la otra es de color rojo y acabado bruñido. Por último, el único vaso tiene superficie naranja y está pulida.

9. Piezas del estilo Lima. Casos únicos (CU): se trata de varias categorías y subcategorías, en especial de botellas. Muestra diversas variantes (o tipos): B (Pp1 y Pd2a), B-ALCV (Pp3a, Pd1 y Pxp1c), MB-ALCV (pp3, Pd3a1, Pd3a2, y Pxp1a1), B-APC-PP (Pp3b2, Pc1a1, Pc2b y Pe1), B-APC-PC (Pc1a2 y Pp3a), O-C (Cd1a2, Cd1a3, Cd2d y Cd3a2), MO-C (Cd1a2, Cd1a2, Cd2a y Cd3a2), T (Vec1) y V (Vp2a). No forman grupos morfodecorativos, pero puede haber vasijas iguales —o de características semejantes— en otros contextos fuera de este corpus. En las láminas de las Figs. 4.151A, 4.151B,

4.152A, 4.152B, 4.153A y 4.153B se han agrupado de acuerdo a su decoración similar (líneas, bandas, triángulos pendientes, puntos y aros, rombos, entrelazados, semicírculos; por último están las vasijas de cuerpo escultórico, las que pueden contener varios de estos diseños a la vez). Aquí también hay decoración compuesta (campos de color en cuellos y picos).

La decoración en las asas, cuando está presente este elemento formal, consiste —salvo un solo caso de L1 (líneas), de diseños lima de la serie L2, L4, L5, L6 y L9, es decir bandas, puntos, rombos, entrelazados y figurativos respectivamente. La decoración de los picos puede tener también el patrón compuesto, pero también no tener ninguno o presentar líneas verticales (L1) (*cf.* Figs. 4.150A, h, 4.152A, g).

Gran parte de los cuerpos es escultórico y destaca entre ellos una pieza con base cónica de doble cuerpo (Fig. 152A, f), un arcaísmo, cuyos picos tienen notable semejanza con las piezas del estilo Topará (Fig. 153A, a, *cf.* 4.168, a). Inclusive el asa está unida a los puntos donde los picos se unen al cuerpo, algo propio de esa tradición. El color de superficie del cuerpo —cuya forma es la de un fruto— es muy semejante al de los ejemplares del Cementerio de Tablada de Lurín, pero lleva mínima decoración pictórica en el asa y en el cuerpo. Por otro lado, la pieza 35-1034 (Fig. 152A, b) está deformada marcadamente por haberse expuesto a sobrecocción. El ejemplar CE-2738 muestra decoración pictórica naranja, además de los ya conocidos negro, blanco y rojo oscuro (Fig. 153A, e).

Mención especial merecen cuatro ejemplares. El primero (CE-0174) (Fig. 153A, f) tiene decoración lima y foránea; de su forma se puede hacer un paralelo con una olla con cuello grande hallada en Huaca Pucllana y atribuida por Goldhausen y Narváez a Lima 8-9 (Patterson 2014 [1966]: lám 35, C; Vargas 2006: fig. 3). Su decoración escultórica también son dos representaciones zoomorfas (lobos marinos) ubicadas en el borde del cuello de manera opuesta. La pieza 35-5120 (Fig. 153A, g) también presenta decoración lima y de tipo VeR (de la serie Ch14). Por su parte, las vasijas 35-6023 y 35-1478 (Fig. 153A, g, h, i; *cf.* 4.168, b) presentan pintura gris además de la que generalmente se presenta en las piezas del estilo Lima (rojo oscuro, negro y blanco). La segunda pieza destaca por que muestra decoración chakipampa además de la lima y el color gris presente. Es un caso particular debido a que muestra pedestales cilíndricos. A la decoración que incorpora el color gris se les define como Decoración Gris Integrada (DGI).

Los rasgos comunes que presentan las representaciones escultóricas antropomorfas lima en estas colecciones son ojos almendrados, con tatuaje en los brazos, pintura facial roja en la cara en diferentes formas; los hombres visten taparrabos y las mujeres tienen vestidos. En relación con el acabado y color de superficie, varios ejemplares —y no todos— muestran color rojo en superficie y acabado alisado o bruñido; la mayoría de piezas son de superficie naranja y acabado mayormente pulido, tres

bruñidos y dos alisados. En este grupo seis vasijas poseen pasta tipo 1a, una tiene la de tipo 1b, 14 presentan el tipo 2 y tres tienen el tipo 3.

**b. Piezas del estilo Nievería.** El conjunto de piezas del estilo Nievería se conforma de vasijas lima, de piezas del conjunto especial Chakipampa y de formas reelaboradas de las tradiciones Lima, en especial, así como Nazca y Mochica. Por formas reelaboradas (FR) me refiero aquí a vasijas de una tradición determinada en la que se ha reemplazado un elemento formal componente y este puede estar relacionado con un estilo diferente o con elementos correspondientes a la tradición Lima. Otro componente lo constituyen las imitaciones de vasijas de los estilos Chakipampa y Nazca. Consiste de grupos morfodecorativos, así como de casos únicos. La decoración en la vasija es lima o lima en gran medida.

1. Grupo morfodecorativo Nie-1: es el conjunto más consistente y, al parecer, muy singular de este estilo. Su decoración consta, en su mayor parte, de paneles alternados con bandas o paneles delineados en negro o con delineado vertical triple (negro-blanco-negro), y variantes de este esquema. En los paneles internos, cuya delimitación consta de una línea negra o una banda delineada de negro o blanco o triple delineado (negro-blanco-negro), aparecen diseños lima o de otros estilos (Figs. 4.154A-4.156A). Se divide en cinco subgrupos:

a) Nie-1a: el patrón que se sigue es el alternado con bandas rojas entre las vasijas de este grupo hay dos formas lima (O-ALCH, B-APC-PPR, variante Pc2b), una chakipampa (B-AAV, variantes Pc2c, Pp2) y FR lima (Figs. 4.154A, a-k; 4.156, a; *cf.* 4.168. c, d). La O-ALCH es una pieza reconocida por Patterson (1966: fig. 21, d); las B-APC-PPR usan una tecnología común a la que aparece en Nazca Tardío, mientras que las teteras (T, variantes Vec1, Vep1a y una no identificada), siguen el mismo patrón pero su asa y vertedera se han modificado y son más largas; una T incompleta revela igualmente este patrón (Figs. 4.154A, h-k, 4.155, a; *cf.* 4.168, e). Al interior de este grupo hay una variante en la que los paneles no se cierran por medio de una línea horizontal (Figs. 4.155A, k; 4.156, a). Los otros ejemplares son FR lima: la B-APC-PP (variante Pc1a1), que tiene el cuerpo con forma alusiva nazca; de igual manera el ejemplar B-APT-PP (variante Pc1a2), y la que carece de picos y asa, que de igual manera se altera en el cuerpo (Figs. 4.155A, b, c, d; *cf.* 4.168, f). El asa tubular que se presenta aquí y en varios casos (ver más adelante) indica un elemento mochica. Los dos primeros conforman un caso especial pues la vasija es prácticamente idéntica pero la diferencia principal es el tipo de asa (cintada y tubular respectivamente).

b) Nie-1b: el patrón es el mismo que el anterior, pero en vez de que todas las bandas o campos de color sean rojos, dos son grises (Figs. 4.155A, e-j; 4.155B; *cf.* 4.168, g, h). Dos son formas lima (O-ALCH), una es de forma chakipampa (B-AAV, variante Pxc3a) y tres son FR lima (T, variantes Vec1 y Vep1a). Todos los diseños que están en los paneles son chakipampa.

c) Nie-1c: se conforma de una sola pieza chakipampa (B-AAV, variante Pp2). A diferencia de la anterior, las franjas verticales con las que alterna el diseño se conforman de cuadrángulos rojos delineados en negro y series de líneas negras cortas de clara filiación lima (Figs. 4.156A, a; 4.156B; *cf.* 4.168, i).

d) Nie-1d: consiste de una sola pieza FR lima (T, variante Vep1a). Dos de las franjas verticales con las que alterna el diseño del cuerpo se modificaron para dar lugar a tres bandas estrechas (de color gris y rojo) delineadas en negro, de filiación chakipampa (Figs. 4.156A, b; 4.156B).

e) Nie-1e: la decoración de paneles o campos de color se trastoca a campos vacíos sin decoración, pero los diseños sí están al interior de paneles. Solo la categoría T (variante Vec1) forma este subgrupo (Figs. 4.156A, c, d; 4.156B; *cf.* 4.168, j).

2. Grupo morfodecorativo Nie-2: son B-APC-PPR (variantes Pp1, pp1, Pc1a1 y Pc2b) cuyos cuerpos los conforman dos platos, es decir, tecnología nazca (Fig. 4.156A, e-j, l, m; 4.156B; *cf.* 4.169, a) y una B-APC-PP (variante Pc1a1) (Fig. 4.156A, k); los diseños en el cuerpo consisten de paneles romboidales y semicirculares o semicirculares trancos, tal como en el subgrupo Li-3B2. Todos los diseños en los paneles son lima con excepción de uno, que contiene un diseño VeR de filiación chakipampa (Fig. 4.156, l).

3. Grupo morfodecorativo Nie-3: consiste de una forma lima y el resto son FR lima, específicamente teteras (T) cuya decoración consiste en un diseño chakipampa o serie horizontal de ellos en la parte superior de la vasija (Figs. 4.157A, a-c; 4.157B). Se divide en dos subgrupos:

- Nie-3a: se conforma de una forma lima MT y dos FR lima T; el diseño está encerrado en una banda horizontal de color rojo delineada en ambos lados con líneas negras. La vertedera y mango de la MT muestran la variante Vec2, de tipo asimétrico, semejante a los picos de la B-APC-PP CE-0018 (variante Pc2e, Fig. 4.146A, a); las T muestran la variante Vec1 y una sin identificar (Figs. 4.157A, a, b, c; 4.157B; *cf.* 4.169, b).

- Nie-3b: el diseño no está delimitado por otros (variante Vec1) (Figs. 4.157A, d; 4.157B).

4. Grupo morfodecorativo Nie-4: se conforma, básicamente, de B-APT-PP y una pieza que carece de sus picos y asa (Figs. 4.157A, e, f, g; 4.157B; *cf.* 4.169, c). Se caracteriza por que sus cuerpos son versiones reelaboradas de huacos retrato mochica, donde la base también es plana, como en los ejemplares de la costa norte. En el caso de la pieza 35-1494 (variante Pc1a1) se trata de un rostro impreso por molde, como los reportados por Shimada en Pampa Grande (1994: fig. 7.32), donde abarcan solo una parte y no todo el cuello de la vasija. En todos los casos la decoración es la estándar para los personajes lima, donde resalta la pintura facial roja y una representación similar del cabello.

5. Grupo morfodecorativo Nie-5: consiste de dos B-ALTV, es decir FR lima modificadas en el asa, de tipo tubular (Figs. 4.157A, h, i; 4.157B). La decoración es lima en su totalidad. La pieza CE-0152 parece estar presentada por Sestieri (1971: 102) asociada a un contexto funerario lima (*cf.* cap. 2).

Del mismo modo que en los grupos de vasijas de los estilos Lima y Chakipampa, también hay decoración de campos de color en picos y de bandas en asas y mangos de teteras. Dos piezas tienen campos de color donde el borde corresponde a un diseño de un estilo específico (Lima o Chakipampa, respectivamente) (Figs. 4.154A, d; 4.155A, f). En lo que respecta a las asas, solo las O-ALCH y un caso de MB-ALCV tienen decoración de líneas; un grupo de B-APC-PPR tiene decoración compleja formada por líneas y campos de color, mientras que el resto tiene decoración de campos de color, bandas y de la serie L6 (entrelazados). La totalidad de las piezas de estos grupos morfodecorativos tiene superficie naranja y acabado pulido. Hay 11 piezas que presentan la pasta tipo 1a, una con el tipo 1b, cuatro con el tipo 2, una con el tipo 3 y una del 4.

6. Piezas del estilo Nievería. Casos únicos (CU): consiste de un grupo de varias categorías y subcategorías, como en el caso lima, igualmente de botellas (B, BC, B-APC-PP, B-ALCV, B-ALTV y B-AE), un plato miniatura (MP) y un vaso (V). Se trata de un conjunto de FR lima, nazca y mochica, así como dos imitaciones (Figs. 4.158A, 4.158B). La pieza CE-0006 es una botella asa-estribo que denota un arcaísmo lima, pero reelaborado con una forma más tardía de representación en el cuerpo (individuo que sujeta del cuello a un felino con una sogá, Fig. 4.158A, a). El asa tiene un corte transversal cuadrangular —algo que remite a las asas de ese tipo de las botellas cupisnique en el valle de Jequetepeque—, mientras que el pico es escultórico y muestra decoración típica de las O-C (*cf.* 4.139A, i). La decoración de la pieza solo pertenece al estilo Lima. Por su parte, las piezas 35-1492 y 35-1493 (Fig. 4.158A, b, c; *cf.* 4.169, d) muestran un asa de tipo tubular cuya decoración también es lima.

La botella 35-1004 (Fig. 4.158A, d) tiene en el cuerpo una forma de representación antropomorfa muy propia de la cerámica nazca, con la cabeza del individuo dispuesta de manera muy sobresaliente. La intencionalidad de este tipo de representación se demuestra en el hecho de que está presente en una serie de piezas pero no de esa manera: en Potrero Tenorio conforma el cuerpo de una B-AP?-PP (Palacios y Guerrero 1992: fig. 29, arriba a la izq.); de igual modo en una B-APT-PP de la colección del Museo Larco (catálogo en línea, <http://www.museolarco.org/catalogo/ficha.php?id=331590>), y en forma de protoma en una B-AP?-PPR de la Colección Carmen Oeschle (Baer 1990: p. 3, figura inferior). La primera de las siguientes botellas (CE-0140) tiene un cuerpo formado por dos platos; sin embargo, la filiación de estos no se ha podido determinar debido a su base anular y muy ligeramente convexa (Fig. 4.158A, e). La segunda botella (CE-0012), de la misma subcategoría (Fig. 4.158A, f), presenta un asa tubular y cuerpo con apéndices escultóricos; de manera singular muestra color de decoración naranja. La B-APC-PP 35-1005 (Fig. 4.158A, g) muestra un tipo de pico muy largo (Pc1a2) y un asa tubular, pero, además de ello, un cuerpo escultórico alusivo a la tradición Mochica; la decoración en su integridad es lima. Las siguientes tres piezas son formas reelaboradas de dos tradiciones foráneas: Nazca y Mochica. El vaso 35-1013 (Fig. 4.158A, h) es de forma nazca pero la

decoración, en relieve y pictórica, es lima en su integridad; inclusive muestra rostros impresos al parecer por molde, pero cada uno de ellos es distinto de los otros. La pieza CE-0127 (Fig. 4.158A, i, cf. 4.169, e) es una versión miniatura de los *cumbrous bowls* nazca, donde, además, se han «emulado» los rostros que aparecen en la parte inferior de ese tipo de piezas. La vasija 35-1479 es otra B-AE, pero está más emparentada con piezas procedentes del sitio Huacas del Sol y de la Luna de la fase Moche IV. El cuerpo constituye una alusión a las vasijas escultóricas del grupo Li-9, incluso con el vestido de color negro y el cinturón o faja que tiene decoración de entrelazado (Fig. 4.158A, j). Por último, hay dos imitaciones (Fig. 4.158A, k, l; cf. 4.169, f): la primera es una BC pero tiene superficie de color rojo y acabado alisado; incluso tiene un collar —rasgo formal típico de la tradición Lima— en la unión del pico con el cuerpo. La segunda pieza es una imitación de un vaso nazca el que, igualmente, tiene decoración lima. Su datación corresponde a Nazca Medio (ver Apéndice 1), lo que sugeriría que esta forma habría estado vigente en las etapas tardías nazca contemporáneas con sus pares de la costa central.

La mayoría tienen cuerpo escultórico. De igual modo, hay decoración compuesta en los picos de varios de estos ejemplares. Las asas de las vasijas que las presentan tienen decoración de la serie L2 (bandas), L5 (rombos), L6 (entrelazados) y un campo de color. Los colores pictóricos son rojo oscuro, naranja, negro, blanco y gris. Todas las vasijas tienen superficie naranja y acabado pulido, con la excepción de la imitación de BC. Todos los tipos de pasta están presentes aquí.

**c. Piezas posiblemente del estilo Lima.** Se trata de un conjunto de piezas cuya atribución a este estilo no es concluyente. Se trata de tres botellas, dos O-C-AAH-Ve, una O-C-AAH y una tetera miniatura (MT) (Fig. 4.159A, 4.159B; cf. 4.169, g). Las dos primeras botellas (35-1038 y CE-0029) tienen cuerpo globular aplanado, mientras que la tercera (CE-0144) tiene esta configuración, pero, además, en el cuerpo se insinúan los lóbulos de una cucurbitácea (Fig. 4.159A, a, b, c). El tipo de cuerpo globular aplanado no presenta un antecedente claro, por lo quedaría por confirmar su atribución a este estilo. La primera vasija tiene la decoración del subgrupo Nie-1a pero no hay un diseño al interior de los paneles. Las asas cintadas tienen decoración de la serie L6.

Las miniaturas de ollas con cuello, asa auricular en posición horizontal y vertedera (Fig. 4.159A, d, e) tienen decoración lima en su integridad; el asa de este tipo y su posición no son usuales del estilo Lima, aunque sí aparece en forma vertical en otras tradiciones (Chakipampa y Nazca mayormente, Mochica en mucho menor grado). Es el mismo caso para la O-C-AAH (Fig. 4.159A, f), que tiene asas auriculares en posición horizontal, pero de tipo tubular y más grandes. Los cuerpos de todas estas ollas tienen cuerpo en forma de cucurbitácea. De manera análoga, existen vasijas de este tipo en otros estilos. Carmichael (1988: 479; pag. 571, *plate* 13) presentó un conjunto de vasijas miniatura de cocción oxidada y muy elaboradas, tal como sus pares de mucho mayores dimensiones: «*Virtually all*

*vessel shapes were reproduced in miniature including bowls and various forms of jars, vases and bottles. In all instances, they were so skillfully made and decorated that they can hardly be attributed to the imitative play of children or be construed as toys».* La única pieza que muestra pasta es la 35-1038 (de tipo 2); el color de superficie de todas las vasijas es naranja y de acabado pulido, con excepción de la olla con cuello y vertedera miniatura (CE-0158), que posee acabado alisado. Los colores de decoración son rojo oscuro, negro y blanco.

**d. Piezas posiblemente del estilo Nievería.** Este conjunto de piezas consta de FR, y posibles FR, de varias tradiciones (Figs. 4.159A, g-l; 4.159B). La pieza CE-0169 (Fig. 4.159A, g) es un plato lima de tipo P2a, y su decoración es chakipampa, pero desde la base, ligeramente cóncava, sale un elemento aparentemente tubular pero que está quebrado. La pieza 35-6055 (Fig. 4.159A, h) posiblemente sea una reelaboración de una forma chakipampa, donde el elemento trastocado es el cuerpo, que más tiene afinidad con las representaciones zoomorfas lima y lleva esa decoración. Dos ejemplares parecen corresponder a formas del estilo Chakipampa. La primera es una MB-AAV (Fig. 4.159A, i) cuya forma es muy semejante a las reportadas para el sitio de Conchopata (*cf.* Ochatoma 2007: 126). La segunda pieza es un cuenco muy pequeño pero su contorno es bastante parecido al de los cuencos del conjunto especial Chakipampa (Figs. 4.159A, j). La decoración del primero es lima, por lo que podría corresponder a una imitación (como en el caso de la pieza 35-6022, Fig. 4.158A, k); en el caso del segundo, su decoración sugiere una simplificación de la de la pieza CE-0172, del grupo Chakipampa, por lo que podría tratarse también de una versión reelaborada. La pieza CE-0313 (Fig. 4.159A, k) es escultórica y aparenta un ave, pero carece de la cabeza; su semejanza con piezas nazca B-APC-PC es bastante grande; lo mismo ocurre con el último ejemplar, antropomorfo, pero con decoración nítidamente lima (Fig. 4.159A, l; *cf.* 4.169, h). Se asemeja mucho a vasijas mochica y a un ejemplar ilustrado por Gayton procedente del Cementerio de Nievería (1927: *plate* 92, a). Estas dos últimas piezas abren la posibilidad de que las formas reelaboradas incluyan versiones locales de formas íntegras foráneas y no solo la trastocación de uno o más de sus elementos formales. Es probable que su pico haya tenido decoración chakipampa, como en el ejemplar ilustrado por Gayton. De siete piezas tres tienen pasta 1a, una muestra pasta 1b, mientras que las tres restantes presentan pasta 2. La superficie es naranja y el acabado pulido en todos los casos. Los colores pictóricos son rojo oscuro, negro, blanco y gris.

**e. Piezas posiblemente del estilo Lima o Nievería.** Este conjunto de piezas se compone de botellas, casi todas de doble pico y asa puente (Figs. 4.160A, 4.160B) y algunas presentan partes restauradas. Al carecer de asa no se puede determinar si pertenecen al estilo Lima o al Nievería. Las primeras tres piezas tienen decoración o representaciones lima (Fig. 4.160A, a, b, c). Las botellas CE-0314 y CE-0046 (Fig. 4.160A, d, e; *cf.* 4.169, i) presentan el diseño VeR1, siempre en un fondo negro, pero se acompaña de decoración lima. El diseño VeR1 (*cf.* Fig. 4.135) es una reelaboración de la decoración

que se observa en piezas de la fase Moche V de Pampa Grande (Shimada 1994: fig. 8.12, A). En este caso se presenta también una botella de cuerpo casi cilíndrico y lados curvos, algo muy parecido a la forma de cuerpo C7 de la tipología planteada aquí y que es exclusiva de las piezas donde la decoración reelaborada tiene que ver con la tradición Mochica. De igual modo, hay dos piezas de Galindo (Shimada 1994: 243, fig. 9.18, A, B, citado de Bawden 1977) que presentan igualmente el diseño de manera más clara con la diferencia de que su ápice y partes inferiores terminan en volutas rectas y escalonadas.

Las botellas 35-1001, 35-1015 y 35-1000 (Fig. 4.160A, f, g, h; *cf.* 4.169, j) presentan la particularidad de que está integrado el color gris a los diseños típicos lima, como se vio antes. Las piezas 35-1015 y la 35-1000 muestran un diseño VeR: la primera es una versión de los diseños de la serie Ch14, pero en color gris delineado en negro y de ejecución no bien lograda; la segunda constituye, más bien, un diseño adicional (un chevrón, dibujado al modo lima en los ápices internos pero que mantiene el color gris). La pieza 35-1403 (Fig. 4.160A, i), de la que solo queda la base, muy probablemente fue una botella pero sus pedestales son antropomorfos. Replica igualmente el patrón de representación de los personajes de sexo masculino lima y el cabello semeja al de los que aparecen en la pieza 35-1013 (Fig. 4.158A, h). Dos vasijas muestran pasta de tipo 1a, tres la de tipo 1b y una la de tipo 2. La superficie es naranja y de acabado pulido en todos los casos salvo en el ejemplar CE-0314, del que no se puede determinar pero cuyo aspecto es el de haber estado enterrado y que pudo haber caído agua corriente sobre él, por lo que se aprecian aún sus colores ligeramente. Los colores de decoración son rojo oscuro, negro, blanco y gris.

**f. Pieza de estilo no identificado.** Se trata de un cuenco muy pequeño con decoración lima (Fig. 4.160A, j). Los colores pictóricos son rojo oscuro y negro. Su superficie es naranja y el acabado es pulido.

#### **4.3.4. Cocción oxidada: Grupo No Determinado. Etapa relacionada con el Período de Incursión Wari (E-PIW)**

**a. Piezas del estilo Nievería E-PIW.** Dos son las vasijas que pertenecen a este conjunto (Figs. 4.164A, a, b; 4.164B; *cf.* 4.170, a). La primera, una B-ALCV, tiene como cuerpo una forma alusiva al Período Transicional definido en el sitio de San José de Moro (*cf.* Apéndice 1). La segunda es una B-AP?-PP, cuyos picos no están completos. Este ejemplar muestra un cuerpo semejante al de los estilos Atarco y Pachacamac, que los comparten según Menzel; por lo tanto, ambas son FR lima. En su decoración, mayormente lima, aparece también un diseño afin a Chakipampa. La segunda botella presenta pasta 1b; las superficies de ambos es naranja y pulida, y se decoran de rojo oscuro, negro y blanco.



**b. Pieza posiblemente del estilo Nievería E-PIW.** La pieza CE-0155 (Fig. 4.164A, c) es una B-APC-PPR y su cuerpo corresponde también a ejemplares de los estilos Atarco y Pachacamac. Como en esos estilos, hay un campo de color negro en la pared del cuerpo. A diferencia de la mecánica de las FR lima, donde el elemento formal componente trastocado se decora con diseños lima, se conserva el patrón atarco/pachacamac de la pared decorada con un campo de color y se le agrega la decoración chakipampa en la parte superior, lo que la hace distinta a las fórmulas de composición expuestas (ver más adelante). La pieza CE-0142 es una B-AAV (Fig. 4.164A, d) que parece ser una FR chakipampa debido a su forma; sin embargo, las asas auriculares son tubulares y más grandes que las del conjunto especial Chakipampa. Finalmente, la decoración es compuesta, corresponde al del subgrupo Nie-1b, pero hay un diseño de filiación pachacamac en el borde del pico. Por último, la vasija miniatura 35-5903 (Fig. 4.164A, e) tendría una relación con una vasija encontrada, muy posiblemente, en el sitio de Copacabana reportado por Friedrich Dockstader (1967: fig. 142; la cita dice «hallado en el sitio de Cerro de Campaña (valle del Chillón) [...]»). Esta vasija se encuentra en el Museum of the American Indian, en New York, y es mucho más grande. Su decoración está relacionada con los estilos del Horizonte Medio 2 —probablemente Viñaque— pero igualmente representa a una serpiente enroscada. Los colores de decoración son negro, rojo oscuro, blanco y gris, mientras que las superficies presentan color naranja y acabado pulido.

**c. Piezas de estilo no identificado.** Tres vasijas no pudieron ser atribuidas a un estilo determinado, pero sus elementos formales y decoración dan pistas de ello además de que se tiene información por la literatura (Figs. 4.164A, f, g, h; 4.164B). La pieza CE-0132 (Fig. 4.164A, f) tiene en el borde una decoración afín a Chakipampa, pero su procedencia es de una tumba intrusiva en el sitio de Catalina Huanca (*Cut* 3; cf. cap. 3). Por su rótulo, la O-C-ALCH CE-0315 (Fig. 4.164A, g), que no presenta decoración pictórica, se sabe que proviene del mismo montículo con tumbas intrusivas (Stumer (1954: 281, *passim*; ver cap. 3). La tercera vasija (Fig. 4.164A, k) posee una forma ya reconocida como nazca (Fig. 4.156A, j), pero los picos son claramente del tipo Pc1a3, muy común en el grupo de vasijas pachacamac (Figs. 4.161A-4.163A), por lo que no hay duda acerca de la etapa a la que pertenece.

#### **4.3.5. Cocción oxidada: Grupo No Determinado. Etapa relacionada con el Período Posincursión Wari (E-PPIW)**

**a. Piezas del estilo Nievería E-PPIW.** Solamente hay dos vasijas, que constituyen FR del estilo Pacheco (Figs. 4.164A, i, j; 4.164B; cf. 4.170, b). Las dos son botellas, la primera con la variante Pd3a1 y la segunda no determinada. La pieza 35-995 es una reelaboración completa de los ejemplares de mayor tamaño hallados en el sitio de Pacheco, pero la decoración y su vestimenta difieren completamente. Los colores de decoración son rojo oscuro, negro y blanco. La segunda (CE-0005) es una vasija-retrato, con una reinterpretación sobre todo de la decoración, pues lleva los ojos

almendrados y el tocado de cabeza es semejante al de las vasijas originales. Además, lleva orejeras tubulares y la disposición del cabello es como en la representación estándar de los personajes lima. El gris reemplaza al color negro en la decoración facial (Fig. 4.170B). Su superficie es naranja pero el acabado difiere.

#### **4.3.6. Cocción reductora: estilos definidos. Fines del Período Intermedio Temprano e Inicios del Horizonte Medio (FPIT-IHM)**

**a. Piezas del estilo Lima.** Las piezas correspondientes a este estilo son solo platos del tipo P2a (Figs. 4.165A, a, b; 4.165B). Su decoración es incisa. La diferencia se da en las dimensiones.

**b. Piezas del estilo Chakipampa.** Se trata de dos BC prácticamente de las mismas dimensiones y acabado (bruñido). La variante de pico que presentan es Pd2b (Figs. 4.165A, c, d; 4.165B).

#### **4.3.7. Cocción reductora: estilos definidos. Etapa relacionada con el Período de Incurción Wari (E-PIW)**

**a. Pieza del estilo Viñaque.** El espécimen es un vaso de forma idéntica (tipo Vd2a) al presentado en el grupo de vasijas de cocción oxidada (Fig. 4.166A, d). Procede de un entierro intrusivo del Horizonte Medio 2 (Stumer 1957: fig. 11, p. 281; *cf.* cap. 3) y estaba junto a la pieza CE-0131 (Fig. 4.163A, j).

#### **4.3.8. Cocción reductora: Grupo No Determinado. Fines del Período Intermedio Temprano e Inicios del Horizonte Medio (FPIT-IHM)**

**a. Formas nuevas del estilo Lima.** La botella (B) tiene la variante Pp1, y las B-ALCV presentan las variantes Pp1, Pp3b2, Pd3a2 y Pxd3 (Figs. 4.165A, e-i; 4.165B). La vasija CE-0044 (Fig. 4.165A, i) muestra también lóbulos marcados por incisiones, como en el subgrupo Li-1. Una vasija que destaca es la MO-C-ALCH-Ve, con base de pedestal de tipo ovoide (Fig. 4.170, c). Una olla de esta subcategoría (pero sin pedestal) se encontró asociada al contexto funerario IX de los trabajos realizados en el área del Parque de Las Leyendas (Pinilla 1983). Según Palacios (comunicación personal 2015), estos contextos funerarios corresponden a la fase Lima 7. Igualmente, Segura encontró una pieza semejante en sus trabajos en el conjunto Tello de Cajamarquilla (1999: fig. 107). Por último, el plato CE-0170 (Figs. 4.165A, k) es del tipo P1a pero muestra decoración aplicada en forma de cabezas de ave. Sus acabados son bruñido y pulido.

**b. Pieza del estilo Nievería.** La pieza MSP-71 (Fig. 4.166A, a; 4.166B; *cf.* 4.170, **d**) es una FR de un arcaísmo mochica. La B-AE emula a una vasija cupisnique, pero su cuerpo tiene la forma de las B-ALCV con gollete del estilo Lima (Rafael Segura, observación personal 2002). Su acabado es pulido.

**c. Pieza posiblemente del estilo Lima o Nievería.** El ejemplar CE-0058 (Fig. 4.166A, b; 4.166B) puede corresponder al estilo Lima siempre y cuando la forma de la vasija representada en el cuerpo sea de ese estilo, lo que debe corroborarse por medio de la comparación con otros materiales. En caso contrario podría atribuirse al estilo Nievería. Su acabado también es pulido.

**d. Pieza posiblemente importada del estilo Mochica Polícromo.** Por su logrado acabado, la pieza CE-2786 (Fig. 4.166A, c; 4.166B; *cf.* 4.170, **e**) podría ser una versión en cocción reductora de las vasijas del estilo Mochica Polícromo y que fue importada. Semeja la hallada en la tumba MU-1702 de San José de Moro (Castillo 2009: fig. 68). La variante del pico (Pc2a) es idéntica a los picos de la pieza mochica CE-0045 (Fig. 4.145A, l), propios de ese estilo (Castillo 2001a; Donnan y McClelland 1999). Asociada al entierro II del Templo de las Columnas, Huaca Lucía, Batán Grande hay una vasija de la fase Moche V con el cuerpo semejante a esta vasija, pero este presenta una base plana y muy baja. Tiene asa estribo pero la decoración es pictórica y policroma con representaciones de arañas sobre una superficie rojo-naranja. El cuerpo tiene la forma de cuatro calabazas atadas (Shimada 1981: figs. 27, 28). Hay una B-APC-PP bastante semejante pero en cocción oxidada en San José de Moro (pieza M-U26-C5, Castillo 2001a: fig. 27, derecha abajo). Su acabado es pulido y muy logrado. Su definición concluyente como pieza importada depende del análisis de su pasta y de una comparación con las medidas de sus pares de la costa norte.

#### **4.3.9. Cocción reductora: Grupo No Determinado. Etapa relacionada con el Período de Incurción Wari (E-PIW)**

**a. Pieza del estilo Nievería E-PIW.** La vasija CE-0156 podría incrementar el número de estilos involucrados en la formación de piezas del estilo Nievería (Fig. 4.166A, e, 4.166B; *cf.* 4.170, **f**). Se trata de una B-APC-PP que emula las de las botellas del estilo Proto-Lambayeque registradas en el sitio mochica de San José de Moro (Castillo *et al.* 2008: fig. 51), pero el cuerpo es afín al estilo Lima; en ese sentido, se podría definir como una FR proto-lambayeque. Los picos, de la variante Pc2c, también se presentan en el conjunto Pachacamac antes mencionado (*cf.* acápite 4.3.2) y en piezas del Horizonte Medio 2 que se han señalado como cerámica importada (Castillo 2001a: fig. 14). El «gorro» en la cabeza del personaje colocado en el asa no tiene cuatro puntas sino dos cortos apéndices romos.

**b. Piezas de estilo no identificado.** Dos piezas no han podido ser definidas de manera concluyente (Fig. 4.166A, f, g; 4.166B). La forma de la primera (CE-0145), en su integridad, puede atribuirse tanto

al estilo Atarco como Pachacamac (*cf.* Apéndice 1); sin embargo, la decoración naturalista (en altorrelieve y con incisiones) que muestra no se conoce para estos estilos por lo que sugiere ser lima (ver Fig. 4.131). La segunda (CE-0130), si bien no tiene un estilo definido, procede de un entierro intrusivo de Catalina Huanca (Stumer 1957: 281). Los acabados son diferentes (pulido y bruñido).

#### **4.3.10. Cocción reductora: Grupo No Determinado. Etapa relacionada con el Período Posincursión Wari (E-PPIW)**

**a. Pieza del estilo Nievería E-PPIW.** Se ha definido a esta MB (Fig. 4.166A, h; 4.166B) como una FR pacheco ya que reinterpreta a las conocidas vasijas escultóricas que representan llamas que sostienen una vasija en su lomo. En este caso es una olla con cuello. Su acabado es pulido.

#### **4.3.11. Cocción reductora: Grupo No Determinado. Piezas sin atribución estilística**

No se ha podido identificar el estilo de una pieza de la Colección MAI de Huaca Tello y dos procedentes del Cementerio de Nievería. Se trata de un cuenco y dos vasos miniatura, uno con vertedera (Fig. 4.166A, i, j, k; 4.166B). Presentan acabados de tipo bruñido y alisado.

#### **4.4. Resumen y discusión de los resultados obtenidos**

Si se contrasta la información de la Fig. 4.4 con la de la Figs. 4.171 y 4.172 (vasijas de cocción oxidada y reductora respectivamente) se podrá observar el alto número de piezas del estilo Lima que se han definido, a las que siguen las del estilo Nievería. Diversos especímenes permanecen con la indicación de posible atribución a un estilo y de nueve no se ha podido determinar con certeza. Como se ha expuesto, el estilo Nievería está presente en las etapas FPIT-IHM, E-PIW y E-PPIW.

El conocimiento de un mayor repertorio de formas del estilo Lima deja advertir diversos aspectos. Entre ellos está, en primer lugar, la amplia variedad de formas que se puede esperar encontrar en las investigaciones presentes y futuras para todas las etapas anteriores (incluso muy tempranas) o posteriores a Lima Tardío. Probablemente la gama escultórica fue uno de los aspectos menos esperado para los investigadores previos de este estilo, por lo que no debe sorprender su diversidad. En ese sentido, Roxana Lazo (comunicación personal 2012) halló grandes fragmentos de representaciones escultóricas muy logradas de lobos marinos —muy semejantes a otros halladas en vasijas de menor tamaño— en las plataformas superiores de la Huaca San Marcos, Complejo de Maranga. Por otro lado, los contornos de los cuellos y ollas pueden verse desde ejemplares de grandes dimensiones en la literatura como en los de menores proporciones ilustrados aquí. De igual modo pertenecen a este estilo

una gran variedad de picos, entre los que sobresalen los de tipo escultórico como los de contorno compuesto. En suma, sus formas no fueron originadas por una influencia externa o imposiciones.

En cuanto a la decoración, se presentan otros esquemas decorativos en los que los diseños lima constituyen la mayor parte pero puede encontrarse un diseño de otro estilo (incluso reelaborado [VeR] o de tipo híbrido reelaborado [HiR]), chakipampa en especial; es más, también puede incorporarse al color gris al repertorio general de decoración pictórica del estilo Lima (por lo general rojo oscuro, negro, blanco, naranja), algo que es indicativo claro del contexto del Horizonte Medio, en especial el contacto con el estilo Chakipampa. Como se menciona antes, aquí se le denomina Lima Decoración Gris Integrada (Li DGI). Dentro de los resultados respecto de la decoración se observa que esta es mayoritariamente lima y puede tener un diseño foráneo o una versión reelaborada (VeR) o híbrida de este (HiR); además se muestran piezas con campos de color rojo o negro (o de ambos colores) en golletes, picos y cuellos (aquí llamado decoración compuesta), un rasgo que puede verse de manera clara en las vasijas del estilo Lima ilustradas en este trabajo y que puede remontarse hasta la fase 3, según Patterson, a pesar de que este autor no lo menciona directamente para ese caso (1966: apéndice 3; Kroeber 1926: plate 88, A), si bien sí lo hace para la fase 6 en adelante (1966: 68, *passim*). Este tipo de decoración aparece tanto en las tradiciones Mochica como Nazca.

La Fig. 4.174 es un resumen de los casos de las formas respectivas del estilo Lima previamente definido sumado a los de las formas nuevas determinadas, su decoración y ejemplos respectivos, así como el llamado conjunto especial Chakipampa y el único caso, al parecer, de una botella mochica importada.

El estilo Nievería tiene una conformación particular que consiste, formalmente, de formas reelaboradas (FR) tanto del estilo Lima como de Nazca, Mochica e imitaciones de Chakipampa y Mochica si bien esto se limita a la muestra estudiada y no pretende ser una aseveración exhaustiva. En cuanto a la decoración es lima o mayormente lima, pero sobresale por su singularidad el grupo Nie-1 (con sus subdivisiones) —que parece ser muy distintivo y convencionalizado— y que incluye formas lima (O-ALCH y B-APC-PPR) y chakipampa (B-AAV) que no tienen modificaciones formales. Por otra parte, el subgrupo Nie-1b, como se ha visto, es la versión de Nie-1a donde se incorpora el color gris, también predominan los diseños lima en los elementos formales de las piezas y se asemeja la decoración Li DGI. La Fig. 4.175 muestra los grupos morfodecorativos y casos únicos del estilo Nievería con las formas asociadas respectivas, y los recuadros referentes a la decoración se han ilustrado con la mención de la decoración lima (Li) en primer lugar con el fin de señalar que en la gran mayoría de las piezas los diseños de este estilo se presentan en más cantidad, mientras que el segundo diseño mencionado está por lo general, en el cuerpo y en diferentes proporciones respecto de su dimensión. De hecho, tratándose de vasijas enteras se podría tratar de hacer una serie de correlaciones

más exhaustivas respecto de la decoración pero eso rebasa los fines de este trabajo. Por otro lado, algo que coincide con lo que Menzel había observado es que las vasijas de este estilo eran mayormente botellas (1964: 32), lo que se puede ver en la Fig. 4.175, pero igualmente se puede advertir que la mayor parte de este estilo son FR lima.

Como se mencionó antes, las pastas definidas de manera generalizante tienen mayor valor respecto a las piezas de la etapa FPIT-IHM ya que se tiene mayor documentación al respecto, pero es relativo para la posterior etapa E-PIW (Fig. 4.173). Como se puede observar, el uso de las pastas 1a y 1b —la pasta «fina», sin inclusiones o cantidad mínima de estas—, con la que parecía reconocerse al estilo Nievería en su primera definición, no es exclusivo de ese estilo sino que está presente en el repertorio del estilo Lima (cf. primer grupo de piezas lima, si bien se tiene un solo caso (pieza 35-1508). En otras palabras, esta pasta no define al estilo Nievería; de hecho, Menzel ya la había mencionado como una gran parte de su componente tecnológico: «*Much of the Nievería pottery is distinguished by its fine grained paste with little temper [...]*». Se le encuentra también en el grupo especial de vasijas de estilo Chakipampa y no es la única en piezas de posible atribución a un estilo. Un solo espécimen presenta, al parecer, esta pasta en el grupo de piezas del estilo Pachacamac. Queda pendiente para futuros estudios corroborar el uso de pastas de estos tipos de manera posterior a la etapa FPIT-IHM. Como se infiere de los cuadros anteriores, todas las piezas tienen color naranja y el acabado es pulido, salvo el caso del plato CE-0127 (versión miniatura de *cumbrous bowl* nazca) y el de la imitación de BC con superficie de color rojo. Ciertamente hay varias piezas en los estilos Lima y Nievería en el que la pintura de color rojo oscuro es más delgada, por lo que se le ha denominado como rojo pero el patrón sugiere que debe haber tenido la misma tonalidad. En otras hay defectos de cocción que causan que el rojo oscuro se enfatice (por ejemplo, la vasija 35-1493, Fig. 4.158A, c). En todo caso se indican los colores respectivos en las láminas que contienen las piezas estudiadas.

Para lo que aquí se denominan formas reelaboradas (FR) hay cuatro fórmulas de composición formal en el estilo Nievería que involucran al estilo Lima en mayor medida y a los estilos Chakipampa, Nazca y Mochica, entre otros de etapas posteriores (Fig. 4.176A-E):

#### Vasijas de cocción oxidada

##### A. Fines del Período Intermedio Temprano-Inicios del Horizonte Medio (FPIT-IHM)

###### a) Fórmula 1: presenta dos variantes

- Fórmula 1a: FR lima modificada con elementos formales relacionados con estilos foráneos y donde el cuerpo y/o el asa son reemplazados. Se trata de ejemplares de B, B-APC-PP, B-APC-PPR y B-ALCV y las tradiciones vinculadas son nazca y mochica (Fig. 4.176A).

- Fórmula 1b: FR lima modificada con elementos formales locales (cuerpo y/o el asa) son reemplazados. Se trata de ejemplares de B-AE y T. En el caso de las teteras, el mango y la vertedera

tienen probablemente los mismos tipos de las del estilo Lima, pero se presentan con mayor longitud (Fig. 4.176A).

b) Fórmula 2: FR foránea modificada con elemento formal relacionado con el estilo Lima. Se relaciona con las tradiciones Nazca y Mochica. En el primer caso, el vaso de forma nazca es alterado con decoración lima en relieve, mientras que el cuerpo es reemplazado en el segundo, de manera semejante a la fórmula 1a (Fig. 4.176B).

c) Fórmula 3: FR foránea. Se hace una nueva versión de la forma foránea incluso con la modificación de sus dimensiones. Este es el caso de una miniatura de *cumbrous bowl* (Fig. 4.176B).

c) Fórmula 4: imitación de formas foráneas. La forma foránea es copiada hasta en sus dimensiones. En los casos documentados (chakipampa y nazca) su decoración es lima en su integridad (Fig. 4.176B).

#### B. Etapa relacionada con el Período de Incurción Wari (E-PIW)

a) Fórmula 1a: FR lima modificada con elementos formales relacionados con estilos foráneos. Se reemplazan el cuerpo y/o el asa. Los casos documentados son B-ALCV y B-APC-PP y los estilos vinculados son el Transicional de San José de Moro y el Atarco o Pachacamac, ya que ambos comparten una forma de vasija (Fig. 4.176C).

#### C. Etapa relacionada con el Período de Posincurción Wari (E-PPIW)

c) Fórmula 3: FR foránea. En este caso se trata de una versión de menores dimensiones de los cántaros cara-gollete y una de un huaco-retrato del estilo Pacheco en el que se han combinado elementos lima y pacheco como decoración (Fig. 4.176D).

#### Vasijas de cocción reductora

##### A. Fines del Período Intermedio Temprano-Inicios del Horizonte Medio

a) Fórmula 2: FR foránea modificada con elemento formal relacionado con el estilo Lima. Se presenta el caso de una B-AE, un arcaísmo propio del estilo Mochica, reelaborado con el cuerpo semejante a las de las B-ALCV lima (Fig. 4.176E).

##### B. Etapa relacionada con el Período de Incurción Wari (E-PIW)

a) Fórmula 2: FR foránea modificada con elemento formal relacionado con el estilo Lima. Se trata de una B-APC-PP del estilo Proto-Lambayeque, cuyo cuerpo es reemplazado con una forma figurativa (Fig. 4.176E).

De los grupos siguientes de vasijas, de posible atribución a un estilo, se pueden hacer varias inferencias (Fig. 4.177). Las piezas posiblemente del estilo Lima podrían ampliar el repertorio conocido, se incluirían las formas globulares aplanadas en su manufactura cerámica, y habrían otras formas de miniaturas. Las vasijas posiblemente del estilo Nievería presentan tres casos interesantes y

diferentes a la vez relacionados con el estilo Chakipampa. En el primero, la B-AAV CE-0153 (Fig. 4.145A, i), podría tratarse de una imitación, tal como en el caso de la BC 35-6022, e igualmente cumple con el patrón de decoración completamente lima. Esto podría corroborarse con mayor documentación de formas y decoración de vasijas de consumo del Horizonte Medio halladas en investigaciones en la sierra sur. En segundo lugar, la pieza 35-6055 (Fig. 4.145A, h) implica una inversión en el sentido de que la forma reelaborada no es local sino foránea. En el tercero, el pequeño cuenco CE-0167 (Fig. 4.145A, h) presenta la particularidad de que sus diseños parecen ser una versión simplificada de la de la pieza CE-0172 (Fig. 4.145A, h) pero con los colores rojo oscuro y negro exclusivamente, lo que es más propio de la decoración lima. Este sería un caso completamente distinto en el que la decoración de uno de los estilos involucrados es hecha con los colores locales; esto lleva, nuevamente, a que la tradición local vuelve a presentarse. Por otro lado, es particular el caso de la pieza CE-0313 (Fig. 4.159A, l) que se asemeja mucho a una pieza ilustrada por Gayton (*Chimu-influenced*, 1927: plate 92, a). La bolsa o *chuspa* la lleva en la espalda algo que también se ve en ejemplares mochica y en una vasija hallada por Stumer en Playa Grande (Stumer 1953: fig. 15). Como se mencionó antes queda la posibilidad de que su pico haya tenido decoración de chevrones chakipampa en el borde y eso lleva a la cuestión de que tanto el estilo Lima como el Chakipampa son predominantes en su presencia respecto de sus formas, decoración y colores de decoración incluso cuando una pieza determinada corresponde a una forma alusiva de otro estilo (en este caso mochica, ver cap. 5). Esto puede verificarse con un hallazgo, ya mencionado antes (acápite 4.2.3), en el sitio de Huaca 20. Junto al cántaro con decoración de Lima Medio se halló una pieza cuyo cuerpo es alusivo a la tradición Mochica (una vasija erótica, específicamente zoofilia) con un personaje antropomorfo decorado al estilo Lima, con la tatuaje en los brazos inclusive (Ramos 2012: 355). El pico de la pieza tiene chevrones chakipampa en el borde.

El aspecto que se rescata de las piezas posiblemente del estilo Lima o Nievería es que el repertorio de combinaciones de diseños es prácticamente el mismo respecto del estilo Lima con la ligera diferencia del caso Li DGI + VeR de las piezas 35-1015 y 35-1000 (Fig. 4.160, g, h) y que parece seguir el patrón de las piezas que presentan decoración lima mayormente y en una proporción menor la de las diseños relacionados con estilos foráneos. De todos modos, de manera evidente, un segmento de la producción de las vasijas de los estilos Lima y Nievería incorpora al color gris.

Para la Etapa relacionada con el Período de Incursión Wari hay vasijas del estilo Nievería E-PIW que siguen las fórmulas antes expuestas, pero esta vez relacionadas con estilos de esta etapa (Fig. 4.178). La primera de las piezas posiblemente del estilo Nievería E-PIW (B-APC-PPR CE-0155, Fig. 4.164A, c) sigue un patrón distinto, ya que no solo se compone de un cuerpo de otro estilo (Atarco), sino también su decoración, lo que sugiere otro modo de combinación formal-decorativa diferente a las fórmulas expuestas. La pieza CE-0142 (Fig. 4.164, d) es singular por la forma del cuerpo, semejante



pero no muy concordante con las formas chakipampa (al menos en lo que se conoce hasta hoy), sus asas auriculares de corte tubular y, además, un pico con un campo de color negro en cuyo borde hay decoración relativa al estilo Pachacamac, según Menzel (1964: notas 334 y 337). Podría tratarse de una FR chakipampa debido a estas características, algo que se refuerza por el hecho de que tiene el mismo tipo de esquema decorativo del grupo morfodecorativo Nie-1a. La MB 35-5903 (Fig. 4.164, e) representa una posible ampliación a otros estilos de las fórmulas de composición del estilo Nievería (Viñaque, en este caso). Por último, la Fig. 4.178 ilustra dos piezas de la E-PPIW, también del estilo Nievería, lo que lleva a una consideración sobre su vigencia en el tiempo ya que el estilo Pacheco tendría una posición temporal tardía en el esquema de Haerberli.

Del conjunto de vasijas de cocción reductora (Fig. 4.179) solo se destacarán tres aspectos. El primero tiene que ver con el repertorio de las formas lima que no han sido consideradas antes ya que su distintiva tecnología dificultaba su atribución estilística, pese a las propuestas que Stumer hizo en su momento (1957). El segundo tiene que ver con la posibilidad de la importación de otra pieza del estilo Mochica Polícromo (CE-2786) (Fig. 4.166A, c) que, junto con la pieza del estilo Huamanga reportada por Mogrovejo en Huaca Tello, sugiere que se pueda ampliar la posibilidad de encontrar vasijas importadas de otras áreas. El tercero se relaciona con una ampliación de las fórmulas del estilo Nievería E-PIW al estilo Proto-Lambayeque definido en el sitio de San José de Moro, valle de Jequetepeque.

Por último, la Fig. 4.180 ilustra un resumen del repertorio decorativo expuesto antes, pero limitado al FPIT-IHM. La decoración de las formas lima que incluye diseños de otros estilos es de tipo diversificada, pero la del estilo Nievería está incluida dentro de esta gama. Como se ha explicado antes, las piezas posiblemente del estilo Lima o Nievería añaden otra alternativa (Li DGI + VeR). De manera interesante, esta diversidad decorativa para el estilo Lima se amplía a vasijas de mayores dimensiones si se toma en consideración la descripción de Mogrovejo (1999: 236) de un cántaro mediano enterrado tras la fachada este del edificio principal del Conjunto Tello, donde la decoración del cuello era lima pero la del cuerpo tenía la de un híbrido lima-chakipampa. Por otro lado, otro tipo de decoración se evidencia en los hallazgos de Huaca 20 (Rengifo 2006: figs. 198, 210, 229), donde se encontraron fragmentos de cuellos, probablemente de ollas o cántaros, con decoración chakipampa exclusivamente, lo que abre la probabilidad de que se trate de una decoración relacionada de manera íntegra con ese estilo en la superficie de esas vasijas.

## CAPÍTULO 5

### APLICACIÓN DE LOS RESULTADOS DEL ANÁLISIS

#### **5.1. La asociación de vasijas en los lotes de contextos funerarios de Catalina Huanca y el Conjunto Tello**

Como se mencionó en los caps. 2 y 3, se pudo reconstruir los lotes funerarios de una serie de contextos, y en ellos están dos de los tres instrumentos musicales que no se han analizado en este trabajo. Trece son los contextos funerarios de Catalina Huanca que tienen sus lotes completos (Figs. 5.1A, 5.1B) y 23 no cuentan con toda sus vasijas asociadas (Figs. 5.1C, 5.1D, 5.1E y 5.1F). Además, hay cinco contextos funerarios del Conjunto Tello de Cajamarquilla, cuatro de ellos con su lote correspondiente completo (Figs. 5.1G). En estas figuras las piezas del estilo Nievería aparecen en primer lugar a la izquierda y se han ilustrado primero los contextos que tienen por lo menos una vasija de este estilo. Según los resultados obtenidos, cinco contextos funerarios completos (T-15 [con dos ejemplares], T-11, T-48, T-16 y T-41) tienen vasijas del estilo Nievería, dos de ellas de cocción reductora, con la posibilidad de un lote adicional (T-12), en tanto se defina que la pieza CE-0058 es del estilo Nievería o Lima (Fig. 5.1A). Seis del resto de contextos (T-24, T-14, T-17, T-40, T-44 y T-6) solo muestran piezas del estilo Lima y tres de ellos tienen una vasija asociada. La T-24 es notable por la cantidad de piezas asociadas (N=11, Fig. 5.1B). La T-42 muestra una pieza Nievería E-PPIW, la única de esta etapa, lo que llevaría a sugerir una ocupación de largo plazo en esta área funeraria (Fig. 5.1F).

Pese a su estado incompleto, los 23 contextos funerarios muestran información adicional (Figs. 5.1C-5.1F). El ordenamiento de estos contextos ha sido semejante al primero, con la diferencia de que se muestran, en primer lugar, los que tienen vasijas de otras tradiciones, los que contienen material del estilo Nievería; a continuación los que tienen vasijas lima singulares (arcaísmo, decoración de tipo VeR), las tumbas con cerámica de cocción reductora y por último todas las que tienen solo cerámica del estilo Lima. La T-1 sobresale por contener a la vasija importada del estilo Mochica Polícromo; las T-43 y T-45 poseen una vasija del conjunto chakipampa que son idénticas en su forma y acabado, pero la última presenta dos piezas del estilo Nievería —además de una probable pues está incompleta—. Las T-7, T-49 y T-9 contienen una sola pieza de este estilo (Figs. 5.1C), mientras que la T-5 posee una sola, miniatura además (Figs. 5.1D). Tres contextos tienen una sola vasija en cocción reductora (T-5, T-29 y T-13) y la T-3 es la única en presentar dos vasijas del alfar marrón. La T-5 es la que tiene mayor cantidad de piezas en este conjunto (N=8), mientras que las T-25, T-33, T-38, T-32, T-31 y T-

31 muestran entre cinco a dos vasijas asociadas. Solo tres contextos (T-22, T-47 y T-2) contienen una sola pieza. La T-34 presenta una pieza del estilo Nievería E-PIW, lo que concuerda con la cronología relativa en el grupo anterior de lotes completos. Los lotes de los contextos del Conjunto Tello (Fig. 5.1G, tumbas T-II, T-III, T-IV, T-V y T-VIII) se han ordenado de la misma manera. Cada uno de los contextos T-II, T-III y T-V presentan una vasija del estilo Nievería, mientras que los de la T-VIII presentan la particularidad de que pertenecen al individuo en posición extendida y cuyo contexto fue disturbado posteriormente (*cf.* cap. 3), pero su primera pieza (CE-0155) es posiblemente del estilo Nievería E-PIW (*cf.* cap. 4). Es probable que este hecho se relacione con la evidencia de las dos capas de entierros de la cima (ver cap. 1). La T-IV, cuyo lote está incompleto, contiene solo una pieza posiblemente del estilo Lima.

Se puede llegar a un análisis exhaustivo de la cerámica depositada en cada contexto funerario por medio de la asociación de diseños dispuestos en los elementos formales de las vasijas en relación con las formas con el fin de encontrar patrones o recurrencias. Si bien ese objetivo rebasa los alcances de este trabajo, podría hacerse mediante, por ejemplo, una codificación del tipo de diseño, su relación con otros, su ubicación y disposición en una vasija —sean de la misma tradición o no— las pastas utilizadas, entre otros aspectos. Como se mencionó anteriormente, diversos tipos de campos de color que se han reconocido y expuesto en el cap. 4 son propios del estilo Lima desde épocas tempranas, y del mismo modo hay picos o cuellos sin decoración, entre otros, lo que debe expresar, de todos modos, una intencionalidad.

## **5.2. La cerámica analizada y las fases del estilo Lima de Thomas C. Patterson**

Los rasgos del estilo Lima en el material estudiado corresponden a las fases 7 a 9 definidas por Patterson (1966). La fase 7 (Patterson 1966: 71-74, apéndice 7) está representada por líneas negras verticales delineadas en blanco en el cuerpo que penden de la unión del gollete o pico con el cuerpo en las botellas (serie L1 del catálogo de diseños, Fig. 4.120); vasijas sin decoración en los cuellos; decoración *interlocking* en el borde de cuellos (serie L6); cuellos con decoración en negro y líneas blancas horizontales —o cortas verticales— en el interior que terminan en cuadrángulos; dos líneas negras paralelas horizontales en el borde muy cerca del labio en los cuellos de ollas; una banda negra dispuesta en greca delineada en blanco (serie L3), y figuras geométricas (paneles) delineadas en blanco y negro que contienen diseños *interlocking* en el cuerpo. A la fase 8 (Patterson 1966: 71-74, apéndice 7) corresponden bandas rojas delineadas en negro y blanco (ver serie L3), campos de color en el cuello de cántaros mamiformes, líneas negras delineadas en blanco (serie L1), líneas negras y blancas en las asas de las botellas (serie L1), bandas que forman figuras geométricas y que encierran diseños *interlocking* pintados de blanco y negro y semicírculos pendientes del labio de los cuellos (serie L7). A la fase 8 o 9 (transicional según Patterson 1966: 128) corresponden líneas negras y

blancas en las asas de botellas y líneas verticales en el cuerpo (serie L1). La fase 9 (Patterson 1966: 78-80, apéndices 6 y 7) está representada por bandas rojas delineadas en negro o negro y blanco (serie L3), diseños realizados mayormente con el color rojo (diversos ejemplos en la serie L6), y delineados en blanco. La mención de un chevrón de color negro delineado en blanco —si bien en bandas— que penden de superficies pintadas de negro sugiere una alusión al CM de la Fig. 4.144A (serie VeR). También hay bandas semicirculares negras delineadas en blanco pendientes del labio de cántaros (serie L7), hileras paralelas de pequeñas elipses de color rojo (serie L4), bandas rojas delineadas en blanco (serie L2), líneas verticales en el cuerpo de las botellas (serie L1) y asas con decoración de líneas de color rojo y blanco (serie L1). Por último, paneles de forma geométrica que encierran elementos *interlocking* pintados de rojo (series L6).

Debido a que la caracterización realizada por Patterson no es exhaustiva para todas las formas lima, y menos lo es para las vasijas pequeñas (Segura 2004: 112) no es posible ser preciso en la determinación de la asociación de fases. Por ejemplo, de manera general, lo que se aprecia en los contextos funerarios expuestos de Catalina Huanca, con lotes completos e incompletos, es que presentan mayoritariamente rasgos de las fases 8 y 9 y en mucho menor cantidad de la fase 7; y las piezas nievería están asociadas a ellas y presentan sus rasgos también. En los contextos funerarios T-II, T-III y T-V del Conjunto Tello los diseños que se encuentran en las piezas parecen aludir a la fase 9 del estilo Lima. Sin embargo, si bien no es el objetivo de este trabajo llevar a revisiones de las fases planteadas de Patterson, habría que examinar el hecho de la presencia en una sola pieza de rasgos de dos fases distintas: ¿si los rasgos de la fase 7 son minoritarios constituyen necesariamente rezagos pervivientes en las fases 8 y 9? Este es el caso de la pieza CE-0097 (T-24, Fig. 5.1B), donde las líneas negras paralelas en el borde del cuello son un rasgo denotado como de la fase 7, pero en el cuerpo están diseños adscritos para las fases 8 y 9; asimismo, en la O-C CE-0087 (T-35, Fig. 5.1E) el cuello está decorado muy probablemente con un fondo negro donde se han dibujado líneas blancas, un rasgo típico de la fase 7, pero el cuerpo lleva un diseño como el del caso anterior.

Con respecto al estilo Chakipampa, según Menzel (1964), están presentes los diseños Ch13 (Menzel 1964: nota 42), los dos primeros Ch14 (denominado *Rosebud* por Bennett 1953: 75, fig. 17, i. o), los chevrones (Ch3, Menzel 1964: nota 43), y el animal con cabeza de perfil que puede o no tener una nariz recurvada, una boca cerrada o abierta con colmillos o no (parece describir al grupo Ch8, Menzel 1964: nota 38, pero ver más adelante) se atribuyen a la fase Chakipampa A. Al Chakipampa B corresponden la Flor de Lys (Menzel 1964: nota 53), el *humped animal* (Ch17, Menzel 1964: nota 60), el diseño del Ayacucho Serpent Bowl (Ch16, Menzel 1964: nota 60). Sobre la base de excavaciones en los sitios de Conchopata, Huari, Aqo Wayqo y Ñawinpuquio, Ochatoma y Cabrera (2011) postulan que la división entre A (cerámica decorativa fina) y B (cerámica común) correspondientes a las épocas 1A y 1B respectivamente de Menzel debe ser revisada. Ya antes, Knobloch (1989) postuló que había

que considerar los diseños del *fancy* Chakipampa en la fase Chakipampa B. El estilo Chakipampa no es exclusivo de la época 1B sino que aparece asociada a varias fases hasta el momento del abandono. Su separación debería darse sobre la base de rasgos morfofuncionales más que cronológicos. En el material contextualizado aparece en dos piezas nievería de la T-15 (CE-0017 y CE-0101, Fig. 5.1A) del grupo de contextos completos; en el grupo de lotes incompletos hay diseños chakipampa en la pieza CE-0100 (T-45, Fig. 5.1C); versiones reelaboradas e híbridas con el *ventral animal*, diseño de origen nazca y asimilado en la decoración chakipampa, aparecen en dos piezas, una nievería y una lima (T-7, Fig. 5.1C y T-28, Fig. 5.1D) en el grupo de contextos incompletos. La T-45 es particularmente interesante por contener una botella del conjunto especial Chakipampa, idéntica a una asociada al contexto T-43 (Fig. 5.1C).

Debido a la falta de los datos referentes a la estratigrafía y los registros completos de Stumer no es posible hacer una correlación temporal entre tumbas, por lo que aquí se hace referencia al planteamiento reciente de Haeberli, pero eso lleva a que, si hay material asociado de las fases 8 y 9 de Lima a la pieza CE-0009 (T-34, Fig. 5.1F), aquellos entierros donde solo hay cerámica lima pueden atribuirse tanto a la E-FPIT-IHM como a la E-PIW. Del mismo modo, se abre una interrogante respecto de la presencia de la decoración Li DGI, incluso incorporada en el material nievería, y que no está presente salvo de manera explícita en los diseños chakipampa en los contextos mostrados aquí. ¿Se trata de una división temporal, según lo planteado por Ccencho? Este autor (2006: 31-32, *cf.* cap. 1) denominó Nievería Temprano a la cerámica de ese estilo en el que hay más rasgos iconográficos de la costa sur y Nievería Tardío a la cerámica de este estilo que incorpora al color gris y en la que aparece iconografía foránea (chakipampa), diferenciación que está relacionada con fases arquitectónicas del montículo de Huaca Pucllana. En parte, el Nievería Tardío definición corresponde a lo llamado aquí decoración Li DGI, que afecta tanto al estilo Lima como al Nievería.

### 5.3. Los estilos Lima y Nievería: nuevos planteamientos

Sobre la base de los análisis expuestos, el llamado estilo Nievería consiste de una serie de fórmulas de composición morfológicas y decorativas que involucran al estilo Lima principalmente, al Chakipampa en segundo lugar, entre otros, en el contexto de los contactos entre diversas sociedades del Horizonte Medio (Período Chakipampa en adelante, según el planteamiento de Haeberli). Gran parte de los rasgos formales y decorativos son del estilo Lima y son adaptados también. Formalmente consta de formas reelaboradas (llamadas aquí FR) de los estilos Lima (de manera primordial), Mochica, Nazca y Chakipampa, su confección sigue pautas convencionalizadas y por lo menos uno de sus esquemas de decoración (al parecer emblemático) puede extenderse a formas de los estilos Lima y Chakipampa que no se modifican. Comprende también decoración lima y mayormente lima en diversas expresiones y cubriendo gran parte de los elementos formales componentes, así como puede presentar diseños

foráneos, o incluso reelaborados por lo general en menor proporción. En ese sentido ambos estilos son contemporáneos como ya lo han referido diversos autores, entre ellos Guerrero y Palacios, Segura y Ccencho (ver cap. 1). Estos también la consideran como parte de la producción cerámica lima pero priorizando al alfar, lo que, como hemos mencionado, no es determinante. Como se advierte de la lectura del texto, sin negar el fenómeno de la influencia de unos estilos sobre otros en la etapa prehispánica, no ha sido necesario emplear dicho término en este análisis, y en cuanto al término «híbrido» solo se le ha referido en relación a diseños que presentan una mezcla de rasgos de dos estilos diferentes.

Shady y Guerrero y Palacios sostienen que el estilo Nievería surge a partir del estilo Lima en el marco de la fuerte interacción del Horizonte Medio con otras sociedades y tradiciones, lo que es corroborado en este trabajo pero se añade aquí que las formas específicas en que ese estilo surge (formas, decoración, tecnología) no estaban definidas; este aspecto ya se había referido en el sentido de que las interpretaciones acerca del estilo eran ambiguas. Por otro lado, su presencia o ausencia en determinados contextos (entierros, ofrendas, fases) debe obedecer a intencionalidad y no necesariamente a una «culminación» o «etapa final» en la lectura estratigráfica. Ciertamente, como se ha visto en el cap. 1, muchos entierros con vasijas nievería (según la interpretación de cada autor) se han hallado en la cima de edificios monumentales pero también en otras locaciones. El Cementerio de Nievería, al igual que los entierros de Huaca 20, contiene material nievería pero ambos están en una explanada (lo mismo que algunos contextos en Potrero Tenorio). Hay áreas funerarias en la cima de los edificios monumentales (Huaca Tello) como al lado de estos (Catalina Huanca). En Huaca Pucllana el material nievería está en el edificio monumental pero también en el área alrededor del mismo. Valdría la pena revisar las lecturas de la estratigrafía de los sitios excavados y hacer las comparaciones respectivas intersitio pues se abre una interrogante al advertir que las capas/fases con material cerámico «fino» (donde la pasta fue decisiva para determinar la presencia de Nievería) están en las partes superiores/finales de los estratos/fases.

Su vigencia, como la del estilo Lima, parece estar también vinculada en las etapas relacionadas con el Período de Incurción Wari y con el Período Posincurción Wari a juzgar por la asociación de vasijas en los contextos funerarios de Catalina Huanca y del Conjunto Tello. En ese sentido habría que considerar el planteamiento de la tesis doctoral de Narváez (2014: 355) quien postula, tentativamente, sobre la base de fechados radiocarbónicos calibrados de sitios lima, que los períodos Lima Temprano (fases 1, 2, y 3), Medio (fases 4, 5 y 6) y Tardío (7, 8 y 9) se inician de manera más tardía: entre 300 y 350 cal AD en el primer caso, alrededor de 550 cal AD en el segundo y entre 750 y 800 cal AD para el último. Si se compara esta propuesta con la Fig. 1.7, podría ser concordante en términos de que la propuesta de Haeberli expuesta por Isbell es en referencia a la sierra sur y que los contactos con otras sociedades se dieron de manera posterior, si bien el tiempo en que se dio este fenómeno de contacto

aún no ha entrado en debate. Si se corrobora que Lima Medio dura entre, aproximadamente, 550 a 750 cal AD, sería contemporáneo con la Fase terminal del Período Intermedio Temprano y el Período Chakipampa, mientras que Lima Tardío lo sería con el Período de Incursión Wari, lo que de todos modos implica una prolongada duración de la sociedad Lima, ya que la hace todavía vigente en el Horizonte Medio 2 definido por Menzel e incluso posterior a este en términos de Haeberli.

Pero, ¿qué refleja esta confección singular de vasijas de cerámica? En el sitio de Maymi, Martha Anders (1990) halló cerámica que era «una mezcla estilística, ya que pertenece tanto a Nasca Tardío (8 y 9) como a Wari (Robles Moqo y Chakipampa)» (1990: 31). Si bien el tipo de mezcla estilística no puede compararse de manera exhaustiva con el fenómeno de la producción del estilo Nievería, sí es pertinente la pregunta que planteó en su momento: «La mezcla estilística representada en la cerámica de las ofrendas y de contextos domésticos presenta interrogantes muy provocativas en términos de quién controló y dirigió la fabricación de cerámica [...]» (1990: 31, 38, 39), lo que también Ccencho refirió respecto de la producción de cerámica nievería para el caso de Huaca Pucllana (ver cap. 1). De manera hipotética, se plantea aquí que el estilo Nievería habría sido producto de grupos de ceramistas lima que siguieron cánones para su manufactura en concordancia con ceramistas chakipampa, el otro estilo más presente en rasgos formales y decorativos. Esto en el marco de las relaciones entre ambas sociedades y del Horizonte Medio. Ciertamente, también se hacen reelaboraciones de formas de estilos como Mochica, Nazca, e incluso Proto-Lambayeque, pero su decoración es advertida en mayor frecuencia tanto en la literatura como en el material analizado presente y, además, es la que también está plasmada con más fidelidad respecto de los ejemplares de su área nuclear en la sierra sur, si bien esto no va en contra de la intencionalidad de la falta de esta cuando se producen formas alusivas o reelaboraciones. Una producción local se apoyaría en el hecho de que los materiales también fueron locales, como se comprueba para la producción del estilo Lima, para el conjunto especial Chakipampa —como se dejó entrever en el cap. 4— y Nievería, entre otros. Eso llevaría a la existencia de sitios de producción análogos a Maymi, algo que habría sucedido en el marco sociopolítico que Haeberli denominó Período Chakipampa, nombre del estilo que aparece en un vasto espacio de los Andes Centrales, como se ha comprobado con las investigaciones de los últimos años. Sin embargo, fenómenos probablemente similares habrían ocurrido durante las etapas relacionadas con el Período de Incursión Wari y con el Período Posincursión Wari; los escenarios sociopolíticos podrían no haber sido iguales y no se cuenta aún con mucha información al respecto, al margen de que estas secuencias tentativas tienen que verificarse.

Como se ha visto en el cap. 1, se le ha encontrado, esencialmente, en contextos funerarios y de ofrenda. Una dirección de las indagaciones futuras acerca de su carácter sería la del tipo de vasija, con su fórmula correspondiente, que se entierra junto a los individuos y en qué lugar se ubican esos entierros. En ese sentido, baste mencionar, por el momento el entierro de elite de la Sacerdotisa M-

U41 de San José de Moro, donde hay una vasija del estilo Nievería y una del estilo Lima, ambos básicamente con decoración lima. El segundo es el contexto funerario hallado en el edificio principal de Huaca Pucllana que contiene, entre otros una tetera del subgrupo Nie-1b; ambos contextos son interpretados como de elite, algo que en el caso de la sociedad Lima no es muy claro debido a que aún no se han hallado entierros comparables a sus pares mochica y nazca. La calificación de elite ya la había sostenido Patterson al observar «vasijas finas» en los entierros del Cementerio de Nievería y, como se vio en el cap. 1, Flores y Ccencho también advierten esto para el caso de Huaca Pucllana. Es probable, como aseveró Flores, que las distinciones al interior de esta elite se habrían definido por la posesión de productos considerados valiosos, una observación similar a lo distinguió Gayton en su momento (ver cap. 1).

De igual modo habría que determinar qué relación hay entre el estilo presente en la vasija nievería y el contexto funerario: por ejemplo, Kaulicke (1997a: 34, 71) llama la atención sobre el vaso nievería con rasgos mochica asociado al individuo del entierro 643 del grupo de entierros lima en Ancón, que está en posición decúbito dorsal, el único en esa posición en Ancón, pero común en la cultura Mochica. Como se ha visto en los caps. 1, 2 y 3, hay diversas posiciones en las que se colocaba al individuo en los entierros lima. Asimismo, otra línea de investigaciones futuras relacionadas con estos resultados tendría que tratarse respecto a las piezas que son llevadas a otras zonas fuera de la costa central. En San José Moro hay una pieza de tipo Nie-4 (una FR lima con un asa tubular más familiarizada con ese estilo que, además, muestra un cuerpo con una alusión a un huaco-retrato), prácticamente idéntico a la pieza CE-0164 (Fig. 4.157A, e), aunque esta es mejor lograda. Particularmente, el uso de este tipo de asa no es exclusivo de las piezas con cuerpo alusivo a los productos mochicas, pero es notable su asociación. Por otro lado, en los materiales estudiados no hay material de las tradiciones Recuay (Stumer 1957: fig. 14, *cf.* Schindler 2000: fig. N.M. 214) y Huamanga (Mogrovejo y Segura 2001: fig. 14), pero si bien eso puede significar un sesgo, sugiere que el fenómeno de los contactos e interacción era muy diversificado a inicios del Horizonte Medio, tal como lo anotó Shady, entre otros, y que pueden hallarse más materiales de otras áreas geográficas en la zona ocupada por la cultura Lima.

De igual modo, las semejanzas que presentan las piezas del grupo Nie-5 de B-ALCV con las del grupo Pachacamac, ambas con asas tubulares, pueden ser evidencia de los procesos en que se desarrollan los estilos en este intervalo del Horizonte Medio y que Menzel trató y reconoció en su trabajo de 1964. En ese sentido, los alcances de la presente tesis necesariamente se deben complementar con otras investigaciones.

Las limitaciones para el reconocimiento de estilos y las secuencias cronológicas han pasado por una serie de ideas preconcebidas y prejuicios a lo largo del siglo XX, muchos de los cuales ya han sido superados respecto de diversas sociedades andinas prehistóricas, pero no del todo para lo que se



conoce respecto del estilo Lima o, en general, para la tradición cerámica de la costa central. De hecho, un conocimiento más detallado del estilo Nievería tiene un significado de igual peso que el del estilo Lima, pues se deja entrever la existencia de un vasto repertorio formal y decorativo en parte conocido, pero, asimismo, otro gran conjunto de carácter inédito del que aún falta documentar y publicar no solo respecto de sus etapas más tempranas sino de los lapsos intermedios hasta los inicios del Horizonte Medio, durante esta época y posterior a ella también, de lo que se sugiere que podrían existir, con anterioridad, productos cerámicos con presencia de dos tradiciones en una sola vasija. Las implicancias cronológicas son bastante grandes, pero las del ámbito sociocultural abarcan, con seguridad, una mayor cobertura.



## CONCLUSIONES

Sobre la base de los rasgos morfológicos, tecnológicos y decorativos, así como de una revisión de la literatura y del estado de conocimientos actual se llega a las siguientes conclusiones:

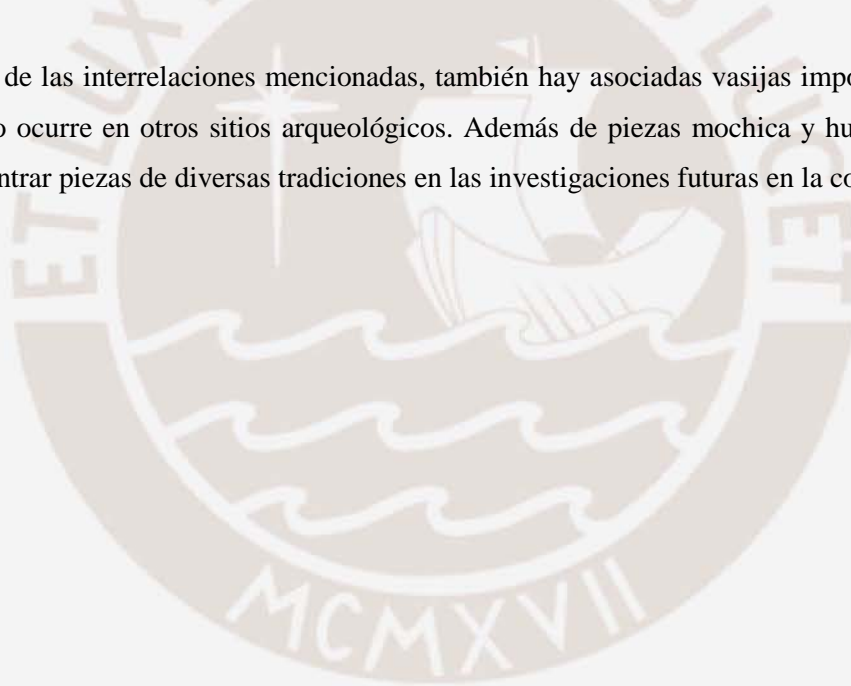
1. Nievería corresponde a un estilo convencionalizado sujeto a fórmulas morfológicas y decorativas predeterminadas para su manufactura. La gran mayoría de sus piezas corresponde a formas reelaboradas del estilo Lima, formas no modificadas de los estilos Lima y Chakipampa, además de formas reelaboradas de estilos contemporáneos en el lapso correspondiente a fines del Período Intermedio Temprano e inicios del Horizonte Medio, entre ellos el Nazca y el Mochica. De igual modo lo componen imitaciones de piezas de estilos foráneos a la costa central.
2. Se determinó la existencia de formas reelaboradas de vasijas, las que se definen por la modificación o trastocación de uno o más de sus elementos formales componentes. Este elemento formal reemplazante tiene que ver con el estilo Lima o con un estilo foráneo. Este tipo de manufactura es un elemento importante en la confección de las vasijas nievería.
3. Asimismo, la decoración lima abarca en su integridad o es predominante en los elementos formales componentes de las vasijas nievería y puede presentar diseños relacionados con otros estilos, sobre todo en el cuerpo. Destaca en su decoración al menos un esquema decorativo distintivo que comprende las formas no modificadas de los estilos Lima y Chakipampa mencionadas antes así como formas reelaboradas.
4. Debido a la presencia de piezas chakipampa —al parecer al menos en parte— elaboradas con pasta local y que su decoración es la segunda en términos proporcionales en el conjunto de piezas analizadas para esta etapa, se sugiere que la confección de estas piezas también fue producto de una convención con grupos de ceramistas de la sierra sur.
5. El marco de su producción es la parte inicial del Horizonte Medio, como parte de las interrelaciones sociales y políticas que se daban en ese lapso, pero también está vigente más allá de su inicio, según la propuesta de secuencia relativa revisada más reciente de Joerg Haeberli. Las fórmulas de su composición morfodecorativa se mantienen, al menos en pocos ejemplares en la muestra estudiada, y están en relación con los estilos correspondientes a esas etapas posteriores.
6. Tecnológicamente, comparte con el estilo Lima el alfar de pasta fina, compacta, de color naranja y sin inclusiones o casi sin ellas que reconoció Dorothy Menzel en su tiempo. En ese sentido, esta pasta

es solo un componente, aparentemente mayoritario, pero no un determinante de su producción. De hecho, comparte las pastas propias del estilo Lima.

7. El estilo Lima muestra una gran diversidad de formas, antes no reconocidas como parte de su repertorio. En ese sentido, hay piezas de acabado muy logrado cuyos rasgos no las hacen parte del estilo Nievería, no tienen que ver con una influencia foránea respecto a la costa central para su manufactura y tampoco son ajenas a la capacidad de los especialistas de la tradición local.

8. El corpus analizado se compone de piezas pequeñas, de consumo y servicio y provienen, casi en su totalidad, de contextos funerarios. Se ha identificado una gama diversa de esquemas decorativos que incrementan la información acerca de la producción cerámica de la sociedad lima. Varios de ellos son compartidos con las piezas del estilo Nievería y también existen en vasijas de mayor tamaño del estilo Lima. Esta caracterización no pretende ser exhaustiva y dependerá de complementaciones basadas en la información resultante de las investigaciones que se llevan a cabo actualmente o futuras.

9. Como parte de las interrelaciones mencionadas, también hay asociadas vasijas importadas de otras áreas, tal como ocurre en otros sitios arqueológicos. Además de piezas mochica y huamanga, puede esperarse encontrar piezas de diversas tradiciones en las investigaciones futuras en la costa central.



## REFERENCIAS

## 1. FUENTES MANUSCRITAS

- Ibero-Amerikanisches Institut-Preußischer Kulturbesitz (IAI-PK). Berlín**  
**Nachlass Max Uhles (Legado de Max Uhle)**  
 s.f. N-0035 544, Chancay.
- Museo de Arqueología y Antropología de la Universidad Nacional Mayor de San Marcos (MAA-UNMSM). Lima**  
 1944-1945 Grupo Valle de Lima. Monografía de Xika-Marka (Cajamarquilla), Folder 5.
- Museo de Sitio Arturo Jiménez Borja-Puruchuco (MSAJB-P). Lima**  
**Zegarra Galdós, J.**  
 1957 Diario de los trabajos arqueológicos en Catalina Huanca y Huaquerones, informe presentado al Ministerio de Educación Pública, Lima.
- Museo Nacional de Arqueología, Antropología e Historia del Perú (MNAAHP). Lima**  
**Archivo Tello**  
**Huapaya Manco, C.**  
 1944 Xika Marka (Cajamarquilla). Diario de los trabajos arqueológicos. Desde el 13 setiembre hasta el 25 de octubre de 1944, tomo I, Lima.  
 1944-1945 Diario de los trabajos arqueológicos en XIKA MARKA. Del 26 de octubre de 1944 hasta el 28 de enero de 1945, tomo II, Lima.  
 1963 Copia del inventario general de especímenes (manuscrito), registrados en el volumen N.º X del Museo Nacional de Historia correspondiente a los años 1906 a 1911, tomos I y II, Lima.

## 2. BIBLIOGRAFÍA

- Alessio, M., F. Bella, F. Bachechi y C. Cortesi**  
 1967 University of Roma Carbon-14 Dates, *Radiocarbon* 9, 363-364.
- Anders, M.**  
 1990 Maymi: un sitio arqueológico del Horizonte Medio en el valle de Pisco, *Gaceta Arqueológica Andina*, 27-39.
- Alva, W.**  
 1986 Frühe Keramik aus dem Jequetepeque-Tal, Nordperu/Cerámica temprana en el valle de Jequetepeque, norte del Perú, *Materialien zur Allgemeinen und Vergleichenden Archäologie* 32, C. H. Beck, München.
- Baer, G.**  
 1990 Einleitung, en: Die Galerie (ed.), *Inka und Vorläuferkulturen: Sammlung Carmen Oechsle; Ausstellung in der Galerie "Le Point" am Hauptsitz der Schweizerischen Kreditanstalt*, 3-36, Zürich.
- Barraza, S.**  
 2000 Las excavaciones de Louis Stumer en Playa Grande (1952): una aproximación a las prácticas funerarias lima, *Boletín del Instituto Riva-Agüero* 27, 25-76.
- Barreto, M. I., J. Ccencho, H. Chuchón y H. Silvera**  
 2010 Sacrificios humanos lima asociados a la última etapa constructiva de Huaca Pucllana, *Arqueología y Sociedad* 22, 55-72.
- Bennett, W. C.**  
 1953 *Excavations at Wari, Ayacucho, Perú*, Yale University Press, New Haven.
- Bueno, A.**  
 1974-75 Cajamarquilla y Pachacamac: dos ciudades de la costa central del Perú, *Boletín Bibliográfico de Antropología Americana* 36, 171-201.  
 1975 La zona arqueológica de Cajamarquilla, valle del Rímac, *Proceso* 4, 17-21.
- Buse, H.**  
 1959 Cajamarquilla, *El Comercio*, 6 de agosto, p. 5, Lima.
- Cárdenas, M.**  
 1999 *Tablada de Lurín: excavaciones 1958-1989*, Instituto Riva-Agüero, Dirección Académica de Investigación, vol. 1, Pontificia Universidad Católica del Perú, Lima.
- Carmichael, P.**  
 1988 *Nasca Mortuary Customs: Death and Ancient Society on the South Coast of Perú*, Department of Archaeology, University of Calgary, Calgary.  
 1994 Cerámica Nasca: producción y contexto social, en: I. Shimada (ed.), *Tecnología y*

*organización de la producción de cerámica prehispánica en los Andes*, 229-247, Pontificia Universidad Católica del Perú, Lima.

- Castillo, L. J.**  
2009 Programa Arqueológico San José de Moro. Informa de excavaciones, temporada 2000, Pontificia Universidad Católica del Perú, Lima.
- 2001a La presencia de Wari en San José de Moro, en: P. Kaulicke y W. H. Isbell (eds.), *Huari y Tiwanaku: modelos vs. evidencias*. Primera parte, *Boletín de Arqueología PUCP* 4 (2000), 583-595.
- 2001b The Last of the Mochicas: A View from the Jequetepeque Valley, en: J. Pillsbury (ed.), *Moche Art and Archaeology in Ancient Perú*, 307-312, Trustees of the National Gallery of Art, Washington, D.C.
- 2003 Los últimos mochicas en Jequetepeque, en: S. Uceda y E. Mujica (eds.), *Moche hacia el final del milenio*, tomo II, 65-123, Pontificia Universidad Católica del Perú/ Universidad Nacional de Trujillo, Lima.
- Castillo, L. J., J. Rucabado, M. del Carpio, K. Bernuy, K. Ruíz, C. Rengifo, G. Prieto y C. Fraresso**  
2008 Ideología y poder en la consolidación, colapso y reconstitución del Estado Mochica del Jequetepeque. El Proyecto Arqueológico San José de Moro (1991-2006), *Ñawpa Pacha* 29, 1-86.
- Cavatrunci, C.**  
1991 Cajamarquilla, un centro urbano de la costa central, en: *Los incas y el antiguo Perú, 3000 años de historia*, 352-363, vol. I, Centro Cultural de la Villa de Madrid, Madrid.
- Ccencho, J.**  
1999 Alfarería Pucllana: propuesta de una metodología de clasificación y algunos aportes para el entendimiento de la cultura Lima, en: I. Pérez, W. Aguilar y M. Purizaga (eds.), *XII Congreso Peruano del Hombre y la Cultura Andina «Luis G. Lumbreras»*, tomo II, 140-151, Universidad Nacional San Cristóbal de Huamanga, Huamanga.
- 2006 El alfar Pucllana Nievería. Cambios registrados en una vajilla ceremonial y sus implicaciones sociales, *Cuadernos de Investigación/INC I. Arqueología*, 17-34.
- Cerulli, E.**  
1967 Cajamarquilla 1962-1967. Attività della Missione Archeologica Italiana in Peru, *Annali di Studi di Geografia* 3, 49-60, Génova.
- 1969 Cajamarquilla 1968: Informazioni preliminari sugli scavi della Missione Archeologica Italiana in Peru, *Verhandlungen Kongress, Stuttgart-Munche, 12. bis 18, August*, Band I, 353-355, Stuttgart.
- Chapdelaine, C.**  
2001 The Growing Power of a Moche Urban Class, en: J. Pillsbury (ed.), *Moche Art and Archaeology*, 69-87, National Gallery of Art, New Haven/London.
- 2003 La ciudad de Moche: urbanismo y Estado, en: S. Uceda y E. Mujica (eds.), *Moche hacia el final del milenio*, tomo II, 243-285, Pontificia Universidad Católica del Perú/ Universidad Nacional de Trujillo, Lima.
- Cock, G.**  
2004 Puruchuco y el cementerio inca de la Quebrada de Huaquerones, en: L. F. Villacorta, L. Vetter y C. Ausejo (eds.), *Puruchuco y la sociedad de Lima: un homenaje a Arturo Jiménez Borja*, 179-197, CONCYTEC/Compañía de Minas Buenaventura/Diagnósticos Gammagráficos, Lima.
- Córdova, H.**  
2009 La arquitectura y cronología de Baños de Boza, valle de Chancay, y sus implicancias para fines del Horizonte Temprano en el valle de Lurín, en: R. Burger y K. Makowski (eds.), *Arqueología del Período Formativo en la cuenca baja de Lurín*, 401-428, Pontificia Universidad Católica del Perú, Lima.
- Delgado, M.**  
2007 Investigaciones arqueológicas en Villa El Salvador: secuencia cerámica en contextos funerarios, tesis de licenciatura, Facultad de Letras y Ciencias Humanas, Pontificia Universidad Católica del Perú, Lima.
- D'Harcourt, R.**  
1922 La céramique de Cajamarquilla-Nievería, *Journal de la Société des Americanistes* 14, 107-118, Paris.
- Dockstader, F.**  
1967 *Arte indígena de América del Sur*, Press Service, New York.

**Donnan, C. y D. McClelland**

1999 *Moche Fineline Painting: Its Evolution and its Artists*, University of California at Los Angeles, Fowler Museum of Cultural History, Los Angeles.

**Eisleb, D.**

1977 *Altperuanische Kulturen. Vol. II. Nazca*, Museum für Volkerkunde, Berlín.

**Escobedo, M. y M. Goldhausen**

1999 Algunas consideraciones acerca de la iconografía Lima, *Baessler Archiv. Neue Folge* 47, 5-37, Berlín.

**Fernández Sotomayor, J.**

1960 El estilo Maranga: apuntes preliminares para su estudio y clasificación, en: *Antiguo Perú. Espacio y tiempo*. Trabajos presentados a la Semana de Arqueología peruana (9-14 de noviembre de 1959), 241-250, Juan Mejía Baca, Lima.

**Flores, I.**

2005 *Pucllana: esplendor de la cultura Lima*, Instituto Nacional de Cultura, Lima.

**Franco, R.**

2001 El Templo Viejo de Pachacamac: nuevos aportes al estudio del Horizonte Medio, en: P. Kaulicke y W. H. Isbell (eds.), *Huari y Tiwanaku: modelos vs. evidencias*. Primera parte, *Boletín de Arqueología PUCP* 4 (2000), 583-595.

**Gayton, A. H.**

1927 The Uhle Pottery Collections from Nievería, *University of California Publications in American Archaeology and Ethnology* 21 (8), 305-329, Berkeley.

**Gayton, A. H. y A. Kroeber**

1927-1930 The Uhle Pottery Collections from Nazca, *University of California Publications in American Archaeology and Ethnology* 24, 1-46, Berkeley.

**Goldhausen, M.**

2001 Avances en el estudio de la iconografía Lima, *Arqueológicas* 25, 223-263.

2005a Klimaveränderungen im Spiegel regionalen Siedlungsverhaltens? Eine systematische Bevölkerungsverschiebung im 6. Jh. u. Z. an der zentralen Küste von Peru, *Ethnographisch-Archäologische Zeitschrift* 46, 59-89.

2005b Zur Herausbildung des Staates an der Zentralen Küste von Peru: Eine paradigmatische politisch-ökonomische Entwicklung im 1. Jt. u. Z., *Mitteilungen der Berliner Gesellschaft für Anthropologie, Ethnologie und Urgeschichte* 26, 29-54.

2014 Una aproximación a la secuencia estilística de la cerámica del Desarrollo Regional en la costa central desde la perspectiva de la quebrada de Orcón-Pacaybamba, en: T. C. Patterson, *Patrón y proceso en la cerámica del Período Intermedio Temprano de la costa central del Perú* [traducción de Joaquín Narváez], 14-32, Avqi Ediciones, Lima.

**Guerrero D.**

1998 Prehistoria, en: J. E. Tord (ed.), *Historia del distrito de La Molina*, 65-106, Municipalidad de La Molina, Lima.

**Guerrero, D. y J. Palacios**

1994 El surgimiento del estilo Nievería en el valle del Rímac, *Boletín de Lima* 91-96, 275-311.

**Hampe, T.**

1998 Max Uhle y los orígenes del Museo Nacional, en: P. Kaulicke (ed.), *Max Uhle y el Perú antiguo*, 123-156, Pontificia Universidad Católica del Perú, Lima.

**Hecht, N.**

2009 Of Layers and Sherds: A Context-Based Relative Chronology of the Nasca Style Pottery from Palpa, en: M. Reindel y G. A. Wagner (eds.), *New Technologies for Archaeology*, 207-230, Springer, Berlin/Heidelberg.

**Isbell, W. H.**

2001 Repensando el Horizonte Medio: el caso de Conchopata, Ayacucho, Perú, en: P. Kaulicke y W. H. Isbell (eds.), *Huari y Tiwanaku: modelos vs. evidencias*. Primera parte, *Boletín de Arqueología PUCP* 4 (2000), 9-68.

2002 Reflexiones finales, en: P. Kaulicke y W. H. Isbell (eds.), *Huari y Tiwanaku: modelos vs. evidencias*. Segunda parte, *Boletín de Arqueología PUCP* 5 (2001), 455-479.

2008 Wari and Tiwanaku: International Identities in the Central Andean Middle Horizon, en: H. Silverman y W. H. Isbell (eds.), *Handbook of South American Archaeology*, 731-759, Springer, New York.

- 2011 La arqueología Wari y la dispersión del quechua en: P. Kaulicke, R. Cerrón-Palomino, P. Heggarty y D. Beresford-Jones (eds.), *Lenguas y sociedades en el antiguo Perú: hacia un enfoque interdisciplinario*, *Boletín de Arqueología PUCP* 14 (2010), 199-220.
- Isbell, W. H. y A. Cook**  
1987 Ideological Origins of an Andean Conquest State, *Archaeology* 40 (4), 26-33.
- Jijón y Caamaño, J.**  
1949 *Maranga, contribución al conocimiento de los aborígenes del valle del Rímac*, La Prensa Católica, Quito.
- Kaulicke, P.**  
1974-75 Reflexiones sobre la arqueología de la sierra de Lima, *Arqueología PUC* 15-16, 29-36.  
1997a *Contextos funerarios de Ancón: esbozo de una síntesis analítica* [traducción de Rafael Valdez], Pontificia Universidad Católica del Perú, Lima.  
1997b La muerte en el antiguo Perú. Contextos y conceptos funerarios: una introducción, en: P. Kaulicke (ed.), *La muerte en el antiguo Perú: contextos y conceptos funerarios*, *Boletín de Arqueología PUCP* 1, 7-54.  
1998 Algunas reflexiones sobre la cronología Mochica, en: S. Dedenbach, C. Arellano, E. König y H. Prümers (eds.), *50 años de estudios americanistas en la Universidad de Bonn. Nuevas contribuciones a la arqueología, etnohistoria, etnolingüística y etnografía de las Américas*, *Bonner Amerikanistische Studien* 30, 105-128, Anton Saurwein, Bonn.  
2001 La sombra de Pachacamac: Wari en la costa central, en: P. Kaulicke y W. H. Isbell (eds.), *Huari y Tiwanaku: modelos vs. evidencias. Primera parte*, *Boletín de Arqueología PUCP* 4 (2000), 313-358.  
2002 Cronología, identidad, urbanismo y Estado en la los Andes Central y surcentrales, siglos V. a X d.C., en: P. Kaulicke y W. H. Isbell (eds.), *Huari y Tiwanaku: modelos vs. evidencias. Segunda parte*, *Boletín de Arqueología PUCP* 5 (2001), 481-529.
- Kaulicke, P. (ed.)**  
1998 *Max Uhle y el Perú antiguo*, Pontificia Universidad Católica del Perú, Lima.
- Knobloch, P.**  
1989 Artisans of the Realm: Art of the Wari Empire and its Contemporaries, en: S. Mazuda, T. Shozo e I. Shimada (eds.), *Kodai Andesu Bijutsu*, 107-123, Iwanami, Tokyo.  
1991 Huari and Nievería: A Re-Assessment of Coastal and Sierra Interaction, <http://www-rohan.sdsu.edu/~bharley/IAS1991HuariNieveria.html>  
2005 Monkey Saw, Monkey Did: A Stylization Model for Correlating Nasca and Wari Chronology, *Andean Past* 7, 111-134.  
2012 Archives in Clay: The Styles and Stories of Wari Ceramic Artists, en: S. Bergh (ed.) *Wari: Lords of the Ancient Andes*, 122-143, Thames and Hudson/The Cleveland Museum of Art, New York/Cleveland.
- Korpisaari, A. y M. Pärssinen**  
2011 *Pariti: The Ceremonial Tiwanaku Pottery of an Island in Lake Titicaca*, University of Helsinki, Helsinki.
- Korpisaari, A. y M. Pärssinen (eds.)**  
2005 *Pariti: isla, misterio y poder: el tesoro cerámico de la cultura Tiwanaku*, Embajada de Finlandia, La Paz.
- Kroeber, A.**  
1926 *The Uhle Pottery Collections from Chancay*, University of California Publications in Archaeology and Ethnology 21 (7), 265-304, Berkeley.  
1954 Proto Lima, a Middle Period Culture of Peru, *Fieldiana Anthropology, Chicago National History Museum* 44 (1), Chicago.
- Lavallée, D.**  
1965-1966 Una colección de cerámica de Pachacamac, *Revista del Museo Nacional* 34, 220-246.
- Lau, G. F.**  
2010 *Ancient Community and Economy at Chinchawas (Áncash, Perú)*, Yale University Publications in Archaeology 90, Yale University Press, New Haven/London.
- Liebscher, V.**  
1999 Uhle Itinerare in Argentinien, Bolivien und Peru/Itinerarios de Uhle en Argentina, Bolivia y Perú, en: W. W. Wurster (ed.), *Max Uhle (1856-1944). Pläne archäologischer Stätte im Andengebiet/Planos de sitios arqueológicos en el área andina*, *Materialien zur Allgemeinen und Vergleichenden Archäologie* 56, 58-87, Mainz.

- Lockard, G.**  
2008 A New View of Galindo: Results of the Galindo Archaeological Project, en: L. J. Castillo, H. Bérnier, G. Lockard y J. Rucabado (eds.), *Arqueología mochica: nuevos enfoques: Actas del primer congreso internacional de jóvenes investigadores de la Cultura Mochica. Lima, 4 y 5 de agosto de 2004*, 275-294, Lima.
- Lumbreras, L. G.**  
1959 Esquema arqueológico de la sierra central del Perú, *Revista del Museo Nacional* 28, 64-117.  
1998 Max Uhle y la tradición de investigación arqueológica en el Perú, *Indiana* 15, 177-196.  
2005 *Arqueología y sociedad* (edición de Enrique González Carré y Carlos del Águila), Instituto de Estudios Peruanos, Instituto Nacional de Cultura, Museo Nacional de Arqueología, Antropología e Historia del Perú, Instituto Andino de Estudios Arqueológicos, Lima.  
2011 *Jacinto Jijón y Caamaño. Estudios sobre Lima prehispánica: Maranga*, Instituto Metropolitano de Patrimonio Cultural de Quito, Quito.
- Mac Kay, M.**  
2007 Contextos funerarios lima de la Huaca 20: reconstrucción del ritual funerario y la vida cotidiana del valle del Rímac en los inicios del Horizonte Medio, tesis de licenciatura, Facultad de Letras y Ciencias Humanas, Pontificia Universidad Católica del Perú, Lima.
- Mac Kay, M. y R. Santa Cruz**  
2001 Las excavaciones del Proyecto Arqueológico Huaca 20 (1999 y 2000), en: P. Kaulicke y W. H. Isbell (eds.), *Huari y Tiwanaku: modelos vs. evidencias. Primera parte, Boletín de Arqueología PUCP* 4 (2000), 583-595.
- Maguiña Ugarte, A. y P. Paredes**  
2009 El Panel, patrón de enterramiento, análisis del material y su correlación estilística en la costa central del Perú, en: R. Burger y K. Makowski (eds.), *Arqueología del Período Formativo en la cuenca baja de Lurín*, 208-236, Pontificia Universidad Católica del Perú, Lima.
- Makowski, K.**  
2009 Poder y estatus social a fines del Período Formativo: los cementerios del valle bajo de Lurín, en: R. Burger y K. Makowski (eds.), *Arqueología del Período Formativo en la cuenca baja de Lurín*, 208-236, Pontificia Universidad Católica del Perú, Lima.  
2009 Tablada de Lurín: aspectos cronológicos de la ocupación de lomas costeras de Atocongo, en: R. Burger y K. Makowski (eds.), *Arqueología del Período Formativo en la cuenca baja de Lurín*, 237-282, Pontificia Universidad Católica del Perú, Lima.
- Mauricio, A. C., C. Olivera y F. Fernandini**  
2008 Proyecto Arqueológico Huaca 20-Complejo Maranga: informe final de investigación: temporadas 2005-2008, Pontificia Universidad Católica del Perú, Lima.
- Menzel, D.**  
1958 Problemas en el estudio del Horizonte Medio en la arqueología peruana, *Revista del Museo Regional de Ica* 9 (10), 24-56.  
1964 Style and Time in the Middle Horizon, *Ñawpa Pacha* 2, 1-105.  
1968 *La cultura Huari*, Serie Las grandes civilizaciones del Perú, Lima.  
1977 *The Archaeology of Ancient Peru and the Work of Max Uhle*, R. H. Lowie Museum, Berkeley.
- Milla Villena, C.**  
1974 *Catastro del valle del Rímac*, Centro de Investigación y Restauración de Bienes Monumentales, 2 tomos, Instituto Nacional de Cultura, Lima.
- Mogrovejo, J. D.**  
1996a Informe final de la primera temporada de investigaciones 1996 en el Conjunto Julio C. Tello, Cajamarquilla. Informe presentado al Instituto Nacional de Cultura, Lima.  
1996b Informe final de la segunda temporada de investigaciones 1996 en el Conjunto Julio C. Tello, Cajamarquilla. Informe presentado al Instituto Nacional de Cultura, Lima.  
1997 Informe final de la tercera temporada de investigaciones 1997 en el Conjunto Julio C. Tello, Cajamarquilla. Informe presentado al Instituto Nacional de Cultura, Lima.  
1999 Cajamarquilla y el fin de la cultura Lima, *Boletín de Instituto Riva-Agüero* 26, 227-243.
- Mogrovejo, J. D. y K. Makowski**  
1999 Cajamarquilla y los Mega Niños en el pasado prehispánico, *Íconos* 1, 46-57.



**Mogrovejo, J. D. y R. Segura**

2001 El Horizonte Medio en el conjunto arquitectónico Julio C. Tello de Cajamarquilla, en: P. Kaulicke y W. H. Isbell (eds.), *Huari y Tiwanaku: modelos vs. evidencias*. Primera parte, *Boletín de Arqueología PUCP* 4 (2000), 565-582.

**Montoya, H.**

1995 Análisis de fragmentería cerámica excavada en un relleno de clausura. Complejo Arqueológico Huaca Pucllana, tesis de licenciatura, Facultad de Letras y Ciencias Humanas, Especialidad de Arqueología, Pontificia Universidad Católica del Perú, Lima.

**Muelle, J. C.**

1935 Restos hallados en una tumba en Nievería, *Revista del Museo Nacional* 4, 135-152.

**Narváez, J.**

2005 *Sociedades de la antigua Cajamarquilla. Investigaciones arqueológicas en el Sector XI del Conjunto Tello y un estudio de la colección tardía del Conjunto Sestieri*, Avqi, Lima.

2006 Desarrollo de las sociedades prehispánicas del valle del Rímac, *Contextos* 1, 109-160.

2013 Pre-Colonial Irrigation and Settlement Patterns in Three Artificial Valleys in Lima, Perú, tesis de doctorado, Department of Archaeology, University of Calgary, Alberta.

2014 La secuencia alfarera de Thomas C. Patterson y los valles de Rímac y Lurín, en: T. C. Patterson, *Patrón y proceso en la cerámica del Período Intermedio Temprano de la costa central del Perú* [traducción de Joaquín Narváez], 33-52, Avqi Ediciones, Lima.

**Ochatoma, J.**

2007 *Alfareros del Imperio wari. Vida cotidiana y áreas de actividad en Conchopata*, Universidad Nacional de San Cristóbal de Huamanga, Lima.

**Ochatoma, J. y M. Cabrera**

2001 Arquitectura y áreas de actividad en Conchopata, en: P. Kaulicke y W. H. Isbell (eds.), *Huari y Tiwanaku: modelos vs. evidencias*. Primera parte, *Boletín de Arqueología PUCP* 4 (2000), 583-595.

2011 Iconografía y simbolismo en la cerámica del estilo Chakipampa-Huari, *Revista de Investigación* 19 (2), 45-74.

**OFICINA NACIONAL DE RECURSOS NATURALES (ONERN)**

1985 *Estudio geomorfológico aplicado al control de huaycos de la cuenca del Río Seco (afluente del río Rímac)*, ONERN, Lima.

**Palacios, J.**

1988 La secuencia de la cerámica temprana del valle de Lima en Huachipa, *Gaceta Arqueológica Andina* 16, 13-29.

2013 *La fortaleza del cerro Cuncacucho, Ñaña, valle medio del Rímac*, Universidad Peruana Unión, Lima.

**Palacios, J. y D. Guerrero**

1992 Potrero Tenorio: un enterramiento ritual de ofrendas del estilo Nievería en el valle del Rímac, *Pachacamac* 1, 75-100.

**Patterson, T. C.**

1966 *Patterns and Process in the Early Intermediate Period Pottery of the Central Coast of Peru*, University of California Press, Berkeley/Los Angeles.

2014 *Patrón y proceso en la cerámica del Período Intermedio Temprano de la costa central del Perú* [traducción de Joaquín Narváez], Avqi Ediciones, Lima.

**Pierce, S.**

2008 Análisis de la decoración de la fragmentería cerámica del Área 3 del sitio Huaca 20, tesis de licenciatura, Facultad de Letras y Ciencias Humanas, Pontificia Universidad Católica del Perú, Lima.

**Pillaca, M., C. V. Landauro, R. Lazo y M. Mac Kay**

2009 Caracterización de cerámica precolombina de estilo Chakipampa y Lima, *Revista de Investigación de Física* 12 (2), 1-5.

**Pinilla, J.**

1983 Una aproximación a los patrones de enterramiento durante el Horizonte Medio en Lima, Maranga. Informe de prácticas pre-profesionales, Lima.

**Prieto, O. G., A. C. Mauricio y C. Olivera**

2007 Proyecto Arqueológico Huaca 20-Complejo Maranga. Informe de investigaciones, temporada 2006, Pontificia Universidad Católica del Perú, Lima.

**Prieto, O. G., A. C. Mauricio, C. Olivera, F. Fernandini**

2008 Proyecto Arqueológico Huaca 20-Complejo Maranga. Informe de investigaciones, temporada 2007, Pontificia Universidad Católica del Perú, Lima.

- Proulx, D.**  
1994 Stylistic Variation in Proliferous Nasca Pottery, *Andean Past* 4, 91-107.
- Raddatz, C. y G. Krause**  
1985 *Ein Hannoveraner in Lima. Eine Ausstellung del Völkerkunde-Abteilung des Niedersächsisches Landesmuseum über den Sammler präcolumbischer Altertümer Christian Theodor Wilhelm Gretzer (1847-1926)*, Niedersächsisches Landesmuseum Hannover.
- Ramos, N.**  
2012 Informe final del Proyecto de Rescate Arqueológico Huaca 20, temporada 2011-2012, Lima.
- Ravines, R.**  
1977 Prácticas funerarias en Ancón. Primera parte, *Revista del Museo Nacional* 43, 234-314.  
1981 Prácticas funerarias en Ancón. Segunda parte, *Revista del Museo Nacional* 45, 89-166.
- Reindel, M. y J. Isla**  
2005 *Archäologisches Projekt «Paracas in Palpa», Perú. Ausgrabungen und Forschungen im Jahr 2005. Jahresbericht der Schweizerisch-Liechtensteinischen Stiftung für Archäologische Forschungen im Ausland, 2005*, 30-59, Zürich.
- Reindel, M. y G. A. Wagner**  
2009 Introduction: New Methods and Technologies of Natural Sciences for Archaeological Investigations in Nasca and Palpa, Perú, en: M. Reindel y G. A. Wagner (eds.), *New Technologies for Archaeology*, Springer, Berlin/Heidelberg.
- Rengifo, C.**  
2006 Proyecto Arqueológico Huaca 20-Complejo Maranga. Informe de investigaciones Temporada 2005, Pontificia Universidad Católica del Perú, Lima.
- Rice, P. M.**  
1987 *Pottery Analysis. A Sourcebook*, The University of Chicago Press, Chicago.
- Rickenbach, J. (ed.)**  
1999 *Nasca: Geheimnisvolle Zeichen im Alten Peru*, Museum Rietberg Zürich, Zürich.
- Ríos, N. y J. Ccencho**  
2009 Cambios en la sociedad Lima reflejados en la arquitectura del Centro Ceremonial de Pucllana durante las primeras épocas del Horizonte Medio: las evidencias de la Plataforma IV, *Arqueología y Sociedad* 20, 91-118.
- Rostworowski de Diez Canseco, M.**  
2005 La influencia wari en el incario y las peregrinaciones, en: P. Kaulicke, G. Urton y I. Farrington (eds.), *Identidad y transformación en el Tawantinsuyu y en los Andes coloniales. Perspectivas arqueológicas y etnohistóricas. Tercera parte*, *Boletín de Arqueología PUCP* 7 [2004], 23-30.
- Rowe, J. H.**  
1960 Nuevos datos relativos a la cronología del estilo Nasca, en: R. Matos (ed.), *Antiguo Perú: espacio y tiempo*, 29-45.  
1971 The Influence of Chavín Art on Later Styles, en: E. P. Benson (ed.), *Dumbarton Oaks Conference on Chavín*, 101-124, Washington, D.C.  
1998 Max Uhle y la idea del tiempo en la arqueología americana, en: P. Kaulicke (ed.), *Max Uhle y el Perú antiguo*, 5-21, Pontificia Universidad Católica del Perú, Lima.
- Senado de la República**  
1953 *Las ruinas arqueológicas del Perú: el Senado de la República interviene en su defensa y conservación*, El Cóndor, Lima.
- Segura, R. A.**  
1999 Rito y estrategia económica en Cajamarquilla. Un estudio de las evidencias arqueológicas del Conjunto Julio C. Tello del Horizonte Medio 1A, tesis de licenciatura, Facultad de Letras y Ciencias Humanas, Especialidad de Arqueología, Pontificia Universidad Católica del Perú, Lima.  
2001a Informe de los trabajos de excavación en el conjunto Pedro Villar Córdova, Cajamarquilla, temporada 2000, informe presentado al Instituto Nacional de Cultura, Lima.  
2001b *Rito y economía en Cajamarquilla. Investigaciones arquitectónicas en el Conjunto Arquitectónico Julio C. Tello*, Pontificia Universidad Católica del Perú, Lima.  
2002 Informe de los trabajos de excavación en el conjunto Pedro Villar Córdova, Cajamarquilla, temporada 2001, informe presentado al Instituto Nacional de Cultura, Lima.  
2004 La cerámica lima en los albores del Horizonte Medio y algunas notas para el debate,

en: L. F. Villacorta, L. Vetter y C. Ausejo (eds.), *Puruchuco y la sociedad de Lima: un homenaje a Arturo Jiménez Borja*, 97-117, CONCYTEC/Compañía de Minas Buenaventura/Diagnósticos Gammagráficos, Lima.

**Schindler, H.**

2000

*Die Kunstsammlung Norbert Mayrock aus Alt-Peru*, Staatliches Museum für Völkerkunde München, International Publishing GmbH Germering, München.

**Sestieri, C. P.**

1963

Scavi della Misione Archeologica Italiana in Peru. Relazione Preliminare, *Bolletino d'Arte del Ministero della Pubblica Istruzione* 1-2, 166-182.

1964a

*Un vaso configurato da Cajamarquilla (Peru)*, Estrato dal Bolletino d'Arte del Ministero della Pubblica Istruzione 3, 246-249.

1964b

Excavations at Cajamarquilla, Peru, *Archaeology* 17 (1), 12-17.

1971

Cajamarquilla, Peru: The Necropolis on the Huaca Tello, *Archaeology* 24 (2), 101-106.

1972

Scavi a Cajamarquilla (Perù), *Atti del XL Congresso Internazionale degli Americanistas (Estratto)*, Roma-Genova.

**Shady, R.**

1982

La cultura Nievería y la interacción social en el mundo andino en la época Huari, *Arqueológicas* 19, 5-18.

1999

*La Huaca San Marcos y la antigua ciudad de Maranga-Lima*, Museo de Arqueología y Antropología de la Universidad Nacional Mayor de San Marcos, Lima.

**Shepard, A.**

1968

*Ceramics for the Archaeologist*, Carnegie Institution of Washington, Washington D.C.

**Shimada, I.**

1981

The Batán Grande-La Leche Archaeological Project: The First Two Seasons, *Journal of Field Archaeology* 8 (4), 405-446.

1991

Pachacamac Archaeology: Retrospect and Prospect, en: *Pachacamac. A Reprint of the 1903 Edition by Max Uhle*, XV-XLVI, The University of Museum of Archaeology and Anthropology, University of Pennsylvania, Philadelphia.

1994

*Pampa Grande and the Mochica Culture*, University of Texas Press, Austin.

**Silva, J.**

1992

Ocupaciones postformativas en el valle del Rímac: Huachipa-Jicamarca, *Pachacamac* 1, 49-74.

**Silva, J. y R. García**

1997

Huachipa-Jicamarca: cronología y desarrollo socio-político en el Rímac, *Boletín del Instituto Francés de Estudios Andinos* 26 (2), 195-228.

**Silva, J., K. Hirth, R. García y J. Pinilla**

1982

El valle del Rímac hace 2500 años: Huachipa-Jicamarca, *Boletín de Lima* 21, 59-68.

**Silva, J., D. Morales, R. García y E. Bragayrac**

1988

Cerro Culebra, un asentamiento de la época Lima en el valle del Chillón, *Boletín de Lima* 56, 23-33.

**Silverman, H. y D. Proulx**

2002

*The Nasca, The Peoples of America*, Blackwell, Malden.

**Squier, E. G.**

1974 [1877]

*Un viaje por tierras incaicas. Crónica de una expedición arqueológica (1863-1865)*, edición auspiciada por la UNMSM y Embajada de los Estados Unidos de Norteamérica, Buenos Aires.

**Strong, W. D.**

1925

The Uhle Pottery Collections from Ancón, *University of California Publications in American Archaeology and Ethnology* 21 (4), 135-190, Berkeley.

1957

*Paracas, Nazca and Tiahuanacoid Cultural Relationships in South Coastal Perú*, Society for American Archaeology, Salt Lake City.

**Stumer, L. M.**

1953

Playa Grande: Primitive Elegance in Pre-Tiahuanaco, Peru, *Archaeology* 6 (1), 42-48.

1954a

The Chillón Valley of Peru: Excavation and Reconnaissance 1952-1953. Part 2, *Archaeology* 7 (4), 220-228.

1954b

Antiguos centros de población del valle del Rímac, *Revista del Museo Nacional* 23, 212-240.

1956

Desarrollo de los estilos tiahuanacoides costeros, *Revista del Museo Nacional* 25, 73-88.

1957

Cerámica negra del estilo Maranga, *Revista del Museo Nacional* 26, 272-289.

- 1958 Contactos foráneos en la arquitectura de la costa central del Perú, *Revista del Museo Nacional* 27, 11-30.
- Tabío, E.**  
1957 Excavaciones en Playa Grande, costa central del Perú, 1955, *Arqueológicas* 1, 2-48.  
1965 *Excavaciones en la costa central del Perú, 1955-1958*, Departamento de Antropología, Academia de Ciencias de la República de Cuba, La Habana.
- Ubbelohde-Doering, H.**  
1983 Vorspanische Gräber von Pacatnamú, Nordperu, *Materialien zur Allgemeinen und Vergleichenden Archäologie* 26, Kommission für Allgemeine und Vergleichende Archäologie, München.
- Uceda, S.**  
2010 Huacas del Sol y de la Luna: cien años después de Uhle, en: P. Kaulicke, M. Fischer, P. Masson y G. Wolff (eds.), *Max Uhle (1856-1944): evaluaciones de sus investigaciones y obras*, 313-336, Pontificia Universidad Católica del Perú, Lima.
- Uhle, M.**  
1907 La estólicia en el Perú, *Revista Histórica* 2, 1-10.  
1991 [1903] *Pachacamac. A Reprint of the 1903 Edition by Max Uhle*. Introducción de Izumi Shimada. The University of Museum of Archaeology and Anthropology, University of Pennsylvania, Philadelphia.  
1998 [1910] Acerca de las culturas tempranas de Lima y sus alrededores [traducción de Rafael Valdez], en: P. Kaulicke (ed.), *Max Uhle y el Perú antiguo*, 231-254, Pontificia Universidad Católica del Perú, Lima.
- Valdez, R.**  
2010 Los trabajos de Max Uhle en el Cementerio de Nievería y su cronología a la luz de las investigaciones recientes, en: P. Kaulicke, M. Fischer, P. Masson y G. Wolff (eds.), *Max Uhle (1856-1944): evaluaciones de sus investigaciones y obras*, 313-336, Pontificia Universidad Católica del Perú, Lima.
- Vargas, P.**  
2006 El tiburón y las olas: apuntes preliminares para un entendimiento de las figuras arqueológicas lima de Huaca Pucllana (500-700 d.C.), *Cuadernos de Investigación/INC 1. Arqueología*, 77-90.
- Vega, M. del C.**  
2008 Huaca 20 y el actual estado del conocimiento acerca de las poblaciones humanas en la época Lima, en: A. C. Mauricio, C. Olivera y F. Fernandini, Proyecto Arqueológico Huaca 20. Informe final de investigación, temporadas 2005-2008, Pontificia Universidad Católica del Perú, Lima.
- Villacorta, L. F.**  
2013 Informe final. Proyecto de Rescate Arqueológico en el sitio arqueológico Huaca 20, Complejo Maranga, campus de la Pontificia Universidad Católica del Perú, temporada 2012-2013, Lima.
- Willey, G.**  
1943 Excavations in the Chancay Valley, *Columbia Studies in Archaeology and Ethnology* 1 (3), New York.
- Woloszyn, J.**  
2008 *Los rostros silenciosos: los huaco retrato de la cultura Moche*, Colección Estudios Andinos 4, Pontificia Universidad Católica del Perú, Lima.
- Wurster, W. W.**  
1999 Max Uhle (1856-1944). Pläne archäologischer Stätte im Andengebiet/Planos de sitios arqueológicos en el área andina, *Materialien zur Allgemeinen und Vergleichenden Archäologie* 56, Mainz.

**APÉNDICE 1. RELACIÓN DE VASIJAS DEL UNIVERSO CORRESPONDIENTES A ESTILOS DEFINIDOS Y NO DEFINIDOS (cuadros elaborados por el autor).**

Apéndice 1A. Vasijas correspondientes al estilo Lima.

Rótulo	Nomenclatura	Referencia bibliográfica (forma general y del cuerpo)
CE-0064	B-ALCV	Gayton 1927: plate 93a; Guerrero y Palacios 1994: fig. 52, i.a
CE-0067	B-ALCV	Gayton 1927: plate 93a; Guerrero y Palacios 1994: fig. 52, i.a
CE-0060	B-ALCV	Gayton 1927: plate 93a; Guerrero y Palacios 1994: fig. 52, i.a
35-5036	B-ALCV	Gayton 1927: plate 93a; Guerrero y Palacios 1994: fig. 52, i.a
35-5298	B-ALCV	Gayton 1927: plate 93a; Guerrero y Palacios 1994: fig. 52, i.a
CE-0035	B-ALCV	Gayton 1927: plate 93a; Guerrero y Palacios 1994: fig. 52, i.a
35-1508	B-ALCV	Gayton 1927: plate 93a; Guerrero y Palacios 1994: fig. 52, i.a
35-5024	B-ALCV	Gayton 1927: plate 93a; Guerrero y Palacios 1994: fig. 52, i.a
CE-0034	B-ALCV	Gayton 1927: plate 93a; Guerrero y Palacios 1994: fig. 52, i.a
35-5035	B-ALCV	Gayton 1927: plate 93a; Guerrero y Palacios 1994: fig. 52, i.a
35-5917	B-ALCV	Gayton 1927: plate 93a; Guerrero y Palacios 1994: fig. 52, i.a
CE-0036	B-ALCV	Gayton 1927: plate 93a; Guerrero y Palacios 1994: fig. 52, i.a
35-1498	B-ALCV	Gayton 1927: plate 93a; Guerrero y Palacios 1994: fig. 52, i.a
CE-0031	B-ALCV	Gayton 1927: plate 93a; Guerrero y Palacios 1994: fig. 52, i.a
CE-0050	B-ALCV	Gayton 1927: plate 93a; Guerrero y Palacios 1994: fig. 52, i.a
CE-0040	B-ALCV	Gayton 1927: plate 93a; Guerrero y Palacios 1994: fig. 52, i.a
CE-0032	B-ALCV	Gayton 1927: plate 93a; Guerrero y Palacios 1994: fig. 52, i.a
35-5243	B-ALCV	Gayton 1927: plate 93a; Guerrero y Palacios 1994: fig. 52, i.a
CE-0057	B-ALCV	Gayton 1927: plate 93a; Guerrero y Palacios 1994: fig. 52, i.a
CE-0052	B-ALCV	Gayton 1927: plate 93a; Guerrero y Palacios 1994: fig. 52, i.a
35-5433	B-ALCV	Gayton 1927: plate 93a; Guerrero y Palacios 1994: fig. 52, i.a
CE-0039	B-ALCV	Gayton 1927: plate 93a; Guerrero y Palacios 1994: fig. 52, i.a
35-5297	B-ALCV	Gayton 1927: plate 93a; Guerrero y Palacios 1994: fig. 52, i.a
CE-0048	B-ALCV	Gayton 1927: plate 93a; Guerrero y Palacios 1994: fig. 52, i.a
CE-0053	B-ALCV	Gayton 1927: plate 93a; Guerrero y Palacios 1994: fig. 52, i.a
CE-0056	B-ALCV	Gayton 1927: plate 93a; Guerrero y Palacios 1994: fig. 52, i.a
CE-0055	B-ALCV	Gayton 1927: plate 93a; Guerrero y Palacios 1994: fig. 52, i.a
CE-0021	B-ALCV	Gayton 1927: plate 93a; Guerrero y Palacios 1994: fig. 52, i.a
CE-0063	MB-ALCV	Guerrero y Palacios 1994: fig. 51
CE-0061	MB-ALCV	Guerrero y Palacios 1994: fig. 51
CE-0150	MB-ALCV	Gayton 1927: plate 93a; Guerrero y Palacios 1994: fig. 52, i.a
CE-0090	O-C	Patterson 1966: fig. 21f; Guerrero y Palacios 1994: figs. 45, 72; Segura 1999: figs. 72, 73, i.a
CE-0071	O-C	Patterson 1966: fig. 21f; Guerrero y Palacios 1994: figs. 45, 72; Segura 1999: figs. 72, 73, i.a
CE-0079	O-C	Patterson 1966: fig. 21f; Guerrero y Palacios 1994: figs. 45, 72; Segura 1999: figs. 72, 73, i.a
CE-0089	O-C	Patterson 1966: fig. 21f; Guerrero y Palacios 1994: figs. 45, 72; Segura 1999: figs. 72, 73, i.a
CE-0086	O-C	Patterson 1966: fig. 21f; Guerrero y Palacios 1994: figs. 45, 72; Segura 1999: figs. 72, 73, i.a
CE-0078	O-C	Patterson 1966: fig. 21f; Guerrero y Palacios 1994: figs. 45, 72; Segura 1999: figs. 72, 73, i.a
CE-0083	O-C	Patterson 1966: fig. 21f; Guerrero y Palacios 1994: figs. 45, 72; Segura 1999: figs. 72, 73, i.a
CE-0076	O-C	Patterson 1966: fig. 21f; Guerrero y Palacios 1994: figs. 45, 72; Segura 1999: figs. 72, 73, i.a
CE-0080	O-C	Patterson 1966: fig. 21f; Guerrero y Palacios 1994: figs. 45, 72; Segura 1999: figs. 72, 73, i.a
CE-0097	O-C	Patterson 1966: fig. 21f; Guerrero y Palacios 1994: figs. 45, 72; Segura 1999: figs. 72, 73, i.a
CE-0088	O-C	Patterson 1966: fig. 21f; Guerrero y Palacios 1994: figs. 45, 72; Segura 1999: figs. 72, 73, i.a
CE-0091	O-C	Patterson 1966: fig. 21f; Guerrero y Palacios 1994: figs. 45, 72; Segura 1999: figs. 72, 73, i.a
CE-0077	O-C	Patterson 1966: fig. 21f; Guerrero y Palacios 1994: figs. 45, 72; Segura 1999: figs. 72, 73, i.a
CE-0098	O-C	Patterson 1966: fig. 21f; Guerrero y Palacios 1994: figs. 45, 72; Segura 1999: figs. 72, 73, i.a
CE-0087	O-C	Patterson 1966: fig. 21f; Guerrero y Palacios 1994: figs. 45, 72; Segura 1999: figs. 72, 73, i.a
CE-0073	O-C	Patterson 1966: fig. 21f; Guerrero y Palacios 1994: figs. 45, 72; Segura 1999: figs. 72, 73, i.a
CE-0084	O-C	Patterson 1966: fig. 21f; Guerrero y Palacios 1994: figs. 45, 72; Segura 1999: figs. 72, 73, i.a
CE-0085	O-C	Patterson 1966: fig. 21f; Guerrero y Palacios 1994: figs. 45, 72; Segura 1999: figs. 72, 73, i.a
CE-0094	O-C	Patterson 1966: fig. 21f; Guerrero y Palacios 1994: figs. 45, 72; Segura 1999: figs. 72, 73, i.a
CE-0317	O-C	Patterson 1966: fig. 21f; Guerrero y Palacios 1994: figs. 45, 72; Segura 1999: figs. 72, 73, i.a
CE-0093	O-C	Patterson 1966: fig. 21f; Guerrero y Palacios 1994: figs. 45, 72; Segura 1999: figs. 72, 73, i.a
CE-0081	MO-C	Patterson 1966: fig. 21f; Guerrero y Palacios 1994: figs. 45, 72; Segura 1999: figs. 72, 73, i.a
CE-0096	MO-C	Patterson 1966: fig. 21f; Guerrero y Palacios 1994: figs. 45, 72; Segura 1999: figs. 72, 73, i.a
CE-0092	MO-C	Patterson 1966: fig. 21f; Guerrero y Palacios 1994: figs. 45, 72; Segura 1999: figs. 72, 73, i.a
35-5429	CM	Patterson 1966: fig. 20e; Segura 1999: figs. 125-126
35-1542	CM	Patterson 1966: fig. 20e; Segura 1999: figs. 125-126
CE-0065	MC-ALCH	Guerrero y Palacios 1994: fig. 38
CE-0171	P	Patterson 1966: 20a; Guerrero y Palacios 1994: figs. 40-41; Segura 1999: figs. 54-56
CE-0117	P	Patterson 1966: 20a; Guerrero y Palacios 1994: figs. 40-41; Segura 1999: figs. 54-56
CE-0118	P	Patterson 1966: 20a; Guerrero y Palacios 1994: figs. 40-41; Segura 1999: figs. 54-56
CE-0842	P	Patterson 1966: 20a; Guerrero y Palacios 1994: figs. 40-41; Segura 1999: figs. 54-56
CE-0121	P	Patterson 1966: 20a; Guerrero y Palacios 1994: figs. 40-41; Segura 1999: figs. 54-56
CE-0125	P	Patterson 1966: 20a; Guerrero y Palacios 1994: figs. 40-41; Segura 1999: figs. 54-56
CE-0124	P	Patterson 1966: 20a; Guerrero y Palacios 1994: figs. 40-41; Segura 1999: figs. 54-56
CE-0116	P	Patterson 1966: 20a; Guerrero y Palacios 1994: figs. 40-41; Segura 1999: figs. 54-56
CE-0122	P	Patterson 1966: 20a; Guerrero y Palacios 1994: figs. 40-41; Segura 1999: figs. 54-56
CE-0123	P	Patterson 1966: 20a; Guerrero y Palacios 1994: figs. 40-41; Segura 1999: figs. 54-56
CE-0119	P	Patterson 1966: 20a; Guerrero y Palacios 1994: figs. 40-41; Segura 1999: figs. 54-56
CE-0120	P	Patterson 1966: 20a; Guerrero y Palacios 1994: figs. 40-41; Segura 1999: figs. 54-56
CE-0126	MP	Cencho 1999: 144

Apéndice 1B. Vasijas correspondientes al estilo Chakipampa

Rótulo	Nomenclatura	Referencia bibliográfica (forma general de la vasija y del cuerpo)
35-6022	BC	Menzel 1964: 11; Ochatoma y Cabrera 2011: 18, 1f
CE-0141	BC	Menzel 1964: 11; Ochatoma y Cabrera 2011: 18, 1f
CE-0143	BC	Menzel 1964: 11; Ochatoma y Cabrera 2011: 18, 1f
35-1496	BC	Menzel 1964: 11; Ochatoma y Cabrera 2011: 18, 1f
35-5294	BC-AAV	Menzel 1964: 11
35-1499	B-AAV	Johny Isla, comunicación personal 200f
35-1020	B-AAV	Johny Isla, comunicación personal 200f
35-1018	B-AAV	Johny Isla, comunicación personal 200f
35-1019	B-AAV	Johny Isla, comunicación personal 200f
35-5289	B-AAV	Johny Isla, comunicación personal 200f
CE-0142	B-AAV	Johny Isla, comunicación personal 200f
35-1017	B-AAV	Johny Isla, comunicación personal 200f
CE-0028	MB-AAV	Johny Isla, comunicación personal 200f
CE-0027	MB-AAV	Johny Isla, comunicación personal 200f
35-5759	MC-AAV	Menzel 1964: nota 134; Johny Isla, comunicación personal 200f
CE-0128	Cu	José Ochatoma, comunicación personal 2014
CE-0166	Cu	Ochatoma y Cabrera 2011: 14, 15; Johny Isla, comunicación personal 201f
CE-0172	Cu	Menzel 1964: nota 62

Apéndice 1C. Vasija correspondiente al estilo Nazca

Rótulo	Nomenclatura	Referencia bibliográfica (forma general de la vasija y del cuerpo)
CE-0165	V	Eisleb 1977: fig. 130

Apéndice 1D. Vasija correspondiente al estilo Mochica

Rótulo	Nomenclatura	Referencia bibliográfica (forma general de la vasija y del cuerpo)
CE-0045	B-APC-PP	Donnan y McClelland 1999: 83; Rowe 1942: Castillo 2001: fig. 28, i.e

Apéndice 1E. Vasijas correspondientes al estilo Pachacamac.

Rótulo	Nomenclatura	Referencia bibliográfica (forma general y del cuerpo)	Referencia bibliográfica (forma general y del cuerpo)
35-5497	B-ALTV	Menzel 1964: notas 344-346	
35-1033	B-ALTV	Menzel 1964: notas 344-346	
35-8845	B-ALTV	Menzel 1964: notas 344-346	
35-5033	B-ALTV	Menzel 1964: notas 344-346	
35-5290	B-ALTV	Menzel 1964: notas 344-346	Isbell 2001: fig. 21D
35-8844	B-ALTV	Menzel 1964: notas 344-346	
35-5121	B-ALTV	Menzel 1964: notas 344-346	
35-5592	B-ALTV	Menzel 1964: notas 344-346	
35-5588	B-ALTV	Menzel 1964: notas 344-346	
35-1507	B-ALTV	Menzel 1964: notas 344-346	
35-5589	B-ALTV	Menzel 1964: notas 344-346	
35-5291	B-ALTV	Menzel 1964: notas 344-346	
35-5758	B-ALTV	Menzel 1964: notas 344-350	
35-5234	B-ALTV	Menzel 1964: notas 344-346	
35-5018	B-ALTV	Menzel 1964: notas 344-346	Isbell 2001: fig. 21D
35-5494	B-ALTV	Menzel 1964: notas 344-346	Isbell 2001: fig. 21D
35-1456	B-ALTV	Menzel 1964: notas 344-346	
35-5587	B-ALTV	Menzel 1964: notas 344-346	
35-5123	B-ALTV	Menzel 1964: notas 344-346	
35-5019	B-ALTV	Menzel 1964: notas 344-346	
35-8846	B-ALTV	Menzel 1964: notas 344-346	
35-5585	B-ALTV	Menzel 1964: notas 344-346	
35-5031	B-ALTV	Menzel 1964: notas 344-346	
35-1032	B-ALTV	Menzel 1964: notas 344-346	Menzel 1964: nota 288
35-5760	B-ALTV	Menzel 1964: notas 344-346	Menzel 1964: nota 288
35-5498	B-ALTV	Menzel 1964: notas 344-346	Menzel 1964: nota 288
33-641	MB-ALTV	Menzel 1964: notas 344-346	
CE-0139	O-ALCH	Menzel 1964: nota 358	

Apéndice 1F. Vasija correspondiente al estilo Viñaque.

Rótulo	Nomenclatura	Referencia bibliográfica (forma general y del cuerpo)
CE-0136	V	Menzel 1964: notas 218, 219

Apéndice 1G. Vasijas correspondientes al grupo No Determinado

Sección Botellas

Rótulo	Nomenclatura	Estilo de la vasija completa	Estilo del cuerpo	Referencia bibliográfica (forma general de la vasija)	Referencia bibliográfica (forma del cuerpo)
35-1038	B	No det.	No det.	No det.	No det.
35-5430	B	No det.	No det.	No det.	No det.
CE-0062	B	No det.	No det.	No det.	No det.
CE-0020	B	No det.	No det.	No det.	No det.
35-5027	B	No det.	Forma alusiva Lima Tardío	No det.	Gayton 1927: plate 93a; Guerrero y Palacios 1994: fig. 52, i.a
35-5713	B	No det.	No det.	No det.	No det.
35-995	B	No det.	Forma alusiva pacheco	No det.	Menzel 1964: nota 108
35-1004	B	No det.	Forma alusiva Nazca Medio/Tardío	No det.	Museum Rietberg 1999: 115, 126. i.a.
CE-0005	B	No det.	Forma alusiva pacheco	No det.	Menzel 1964: nota 108
35-5903	MB	No det.	No det.	No det.	No det.
CE-0019	B-APC-PP	No det.	No det.	No det.	No det.
35-1010	B-APC-PP	No det.	Forma idéntica Nazca Medio (4,5)	No det.	Museum Rietberg 1999: 346, fig. 201
35-5235	B-APC-PP	No det.	Forma idéntica Nazca Medio (4,5)	No det.	Museum Rietberg 1999: 346. fig. 201
35-5756	B-APC-PP	No det.	No det.	No det.	No det.
35-1455	B-APC-PP	No det.	Forma alusiva Nazca Medio (4,5)	No det.	Museum Rietberg 1999: 346, fig. 202
35-1398	B-APC-PP	No det.	No det.	No det.	No det.
35-1000	B-APC-PP	No det.	No det.	No det.	No det.
CE-0001	B-APC-PP	No det.	No det.	No det.	No det.
35-5120	B-APC-PP	No det.	No det.	No det.	No det.
CE-0174	B-APC-PP	No det.	No det.	No det.	No det.
35-999	B-APC-PP	No det.	No det.	No det.	No det.
35-1478	B-APC-PP	No det.	No det.	No det.	No det.
CE-0018	B-APC-PP	No det.	No det.	No det.	No det.
CE-0016	B-APT-PP	No det.	No det.	No det.	No det.
35-1492	B-APT-PP	No det.	No det.	No det.	No det.
35-1493	B-APT-PP	No det.	No det.	No det.	No det.
35-1494	B-APT-PP	No det.	Forma alusiva Moche III/IV	No det.	Woloszyn 2008: 32-34
CE-0017	B-APT-PP	No det.	Forma alusiva Nazca Medio (4,5)	No det.	Museum Rietberg 1999: fig. 202
35-1005	B-APT-PP	No det.	Forma alusiva Moche IV	No det.	Ubbelohde-Doering 1983: 65; Donnan y Cock 1997: 57
35-5293	B-AP?-PP	No det.	No det.	No det.	No det.
35-1015	B-AP?-PP	No det.	No det.	No det.	No det.
35-1479	B-AP?-PP	No det.	Forma idéntica atarco/pachacamac	No det.	Menzel 1964: nota 288; nota 340
CE-0046	B-AP?-PP	No det.	No det.	No det.	No det.
CE-0314	B-AP?-PP	No det.	No det.	No det.	No det.
CE-0164	B-AP?-PP	No det.	Forma alusiva Moche III/IV	No det.	Woloszyn 2008: 32-34
CE-0002	B-AP?-PP	No det.	No det.	No det.	No det.
35-1001	B-AP?-PP	No det.	No det.	No det.	No det.
35-1002	B-AP?-PP	No det.	No det.	No det.	No det.
35-1404	B-AP?-PP	No det.	Forma alusiva Nazca Medio (4,5)	No det.	Gayton y Kroeber 1927-1930: plate 6, F; Museum Rietberg 1999: fig. 202
CE-0007	B-AP?-PP	No det.	Forma alusiva Moche III/IV	No det.	Woloszyn 2008: 32-34
CE-0003	B-APC-PC	No det.	No det.	No det.	No det.
MSP-412	B-APC-PC	No det.	Forma alusiva Lima Medio (fase 6)	No det.	Stumer 1953: fig. 15
CE-0011	B-APC-PC	Atarco	No det.	Menzel 1964: nota 293	No det.
35-1003	B-APC-PC	No det.	No det.	No det.	No det.
CE-0004	B-APC-PC	No det.	Forma alusiva Lima Medio (fase 6)	No det.	Stumer 1953: fig. 15
35-1596	B-APC-PC	Atarco	No det.	Menzel 1964: nota 293	No det.
CE-2738	B-APC-PC	No det.	No det.	No det.	No det.
CE-0008	B-AP?-PC	No det.	Forma alusiva Lima Medio (fase 6)	No det.	Stumer 1953: fig. 15
CE-0013	B-APC-PPR	No det.	Tecnología Nazca Tardío (fase 7)	No det.	Museum Rietberg 1999: figs. 125, 201, pero cf. Carmichael 1994: 237 y Ravines 1994: figs. 183, 194, Johnny Isla, com. pers. 2010

CE-0015	B-APC-PPR	No det.	Tecnología Nazca Tardío (fase 7)	No det.	Museum Rietberg 1999: figs. 125, 201, pero cf. Carmichael 1994: 237 y Ravines 1994: figs. 183, 194, Johnny Isla, com. pers. 2010
35-1472	B-APC-PPR	No det.	Tecnología Nazca Tardío (fase 7)	No det.	Museum Rietberg 1999: figs. 125, 201, pero cf. Carmichael 1994: 237 y Ravines 1994: figs. 183, 194, Johnny Isla, com. pers. 2010
CE-0154	B-APC-PPR	No det.	Tecnología Nazca Tardío (fase 7)	No det.	Museum Rietberg 1999: figs. 125, 201, pero cf. Carmichael 1994: 237 y Ravines 1994: figs. 183, 194, Johnny Isla, com. pers. 2010
CE-0155	B-APC-PPR	No det.	Forma idéntica atarco/pachacamac	No det.	Menzel 1964: nota 288; nota 340
35-1454	B-APC-PPR	No det.	Tecnología Nazca Tardío (fase 7)	No det.	Museum Rietberg 1999: figs. 125, 201, pero cf. Carmichael 1994: 237 y Ravines 1994: figs. 183, 194, Johnny Isla, com. pers. 2010
CE-0014	B-APC-PPR	No det.	Tecnología Nazca Tardío (fase 7)	No det.	Museum Rietberg 1999: figs. 125, 201, pero cf. Carmichael 1994: 237 y Ravines 1994: figs. 183, 194, Johnny Isla, com. pers. 2010
CE-0047	B-APC-PPR	No det.	No det.	No det.	No det.
35-1438	B-APC-PPR	No det.	No det.	No det.	No det.
35-1402	B-APC-PPR	No det.	No det.	No det.	No det.
35-998	B-AP?-PPR	No det.	Tecnología Nazca Tardío (fase 7)	No det.	Museum Rietberg 1999: figs. 125, 201, pero cf. Carmichael 1994: 237 y Ravines 1994: figs. 183, 194, Johnny Isla, com. pers. 2010
CE-0051	B-ALCV	No det.	Forma idéntica Lima Tardío	No det.	Gayton 1927: plate 93a; Guerrero y Palacios 1994: fig. 52, i.a
35-1027	B-ALCV	No det.	Forma idéntica Lima Tardío	No det.	Gayton 1927: plate 93a; Guerrero y Palacios 1994: fig. 52, i.a
CE-0033	B-ALCV	No det.	No det.	No det.	No det.
CE-0068	B-ALCV	No det.	Forma idéntica Lima Tardío	No det.	Gayton 1927: plate 93a; Guerrero y Palacios 1994: fig. 52, i.a
CE-0066	B-ALCV	No det.	Forma idéntica Lima Tardío	No det.	Gayton 1927: plate 93a; Guerrero y Palacios 1994: fig. 52, i.a
CE-0049	B-ALCV	No det.	Forma idéntica Lima Tardío	No det.	Gayton 1927: plate 93a; Guerrero y Palacios 1994: fig. 52, i.a
CE-0162	B-ALCV	No det.	Forma idéntica Lima Tardío	No det.	Gayton 1927: plate 93a; Guerrero y Palacios 1994: fig. 52, i.a
35-5296	B-ALCV	No det.	No det.	No det.	No det.
35-5431	B-ALCV	No det.	No det.	No det.	No det.
35-5753	B-ALCV	No det.	No det.	No det.	No det.
35-6025	B-ALCV	No det.	Forma idéntica Lima Tardío	No det.	Gayton 1927: plate 93a; Guerrero y Palacios 1994: fig. 52, i.a
35-1509	B-ALCV	No det.	No det.	No det.	No det.
35-1408	B-ALCV	No det.	Forma idéntica Lima Tardío	No det.	Gayton 1927: plate 93a; Guerrero y Palacios 1994: fig. 52, i.a
35-5695	B-ALCV	No det.	No det.	No det.	No det.
35-1028	B-ALCV	No det.	No det.	No det.	No det.
35-5025	B-ALCV	No det.	No det.	No det.	No det.
CE-0023	B-ALCV	No det.	No det.	No det.	No det.
35-1036	B-ALCV	No det.	No det.	No det.	No det.
CE-0054	B-ALCV	No det.	No det.	No det.	No det.
CE-0037	B-ALCV	No det.	Forma idéntica Lima Tardío	No det.	Gayton 1927: plate 93a; Guerrero y Palacios 1994: fig. 52, i.a
CE-0038	B-ALCV	No det.	Forma idéntica Lima Tardío	No det.	Gayton 1927: plate 93a; Guerrero y Palacios 1994: fig. 52, i.a
CE-0029	B-ALCV	No det.	No det.	No det.	No det.
CE-0140	B-ALCV	No det.	Tecnología Nazca Tardío (fase 7)	No det.	Museum Rietberg 1999: figs. 125, 201, pero cf. Carmichael 1994: 237 y Ravines 1994: figs. 183, 194, Johnny Isla, com. pers. 2010



35-6026	B-ALCV	No det.	No det.	No det.	No det.
35-6057	B-ALCV	No det.	No det.	No det.	No det.
35-5914	B-ALCV	No det.	No det.	No det.	No det.
CE-0009	B-ALCV	No det.	Forma alusiva Transicional	No det.	Castillo 2001: fig. 16b
CE-0144	B-ALCV	No det.	No det.	No det.	No det.
35-1606	B-ALCV	No det.	No det.	No det.	No det.
35-1034	B-ALCV	No det.	Forma alusiva Lima Tardío	No det.	Patterson 1966: fig. 20e; Segura 1999: figs. 125-129
CE-0030	B-ALCV	No det.	No det.	No det.	No det.
CE-0043	B-ALCV	No det.	No det.	No det.	No det.
35-1407	B-ALCV	No det.	No det.	No det.	No det.
35-1035	MB-ALCV	No det.	No det.	No det.	No det.
CE-0042	MB-ALCV	No det.	No det.	No det.	No det.
35-5435	MB-ALCV	No det.	No det.	No det.	No det.
CE-0022	MB-ALCV	No det.	No det.	No det.	No det.
CE-0024	MB-ALCV	No det.	No det.	No det.	No det.
CE-0041	MB-ALCV	No det.	No det.	No det.	No det.
CE-0025	MB-ALCV	No det.	Tecnología Nazca Tardío (fase 7)	No det.	Museum Rietberg 1999: figs. 125, 201, pero cf. Carmichael 1994: 237 y Ravines 1994: figs. 183, 194, Johny Isla, com. pers. 2010
35-5303	MB-ALCV	No det.	No det.	No det.	No det.
MSP-414	MB-ALCV	No det.	No det.	No det.	No det.
35-1007	MB-ALCV	No det.	No det.	No det.	No det.
V4/misc	MB-ALCV	No det.	No det.	No det.	No det.
35-1511	MB-ALCV	No det.	No det.	No det.	No det.
CE-0151	B-ALTV	No det.	No det.	No det.	No det.
CE-0012	B-ALTV	No det.	No det.	No det.	No det.
CE-0152	B-ALTV	No det.	No det.	No det.	No det.
35-6055	B-AAV	No det.	No det.	No det.	No det.
CE-0153	MB-AAV	No det.	No det.	No det.	No det.
CE-0006	B-AE	No det.	No det.	No det.	No det.
35-1490	B-AE	Moche IV	Forma alusiva Lima Medio (fase 6)	Donnan y Mackey 1978: 161, 4, 166, 1	Gayton 1927: plate 93a; Guerrero y Palacios 1994: fig. 52, i.a.
CE-0313	BND	No det.	No det.	No det.	No det.
CE-0163	BND	No det.	No det.	No det.	No det.
35-1403	BND	No det.	No det.	No det.	No det.

## Sección cántaros, ollas y teteras

Rótulo	Nomenclatura	Estilo de la vasija completa	Estilo del cuerpo	Referencia bibliográfica (forma general de la vasija)	Referencia bibliográfica (forma del cuerpo)
CE-0069	C	No det.	No det.	No det.	No det.
CE-0316	C-ALCH	No det.	No det.	No det.	No det.
CE-0070	O-C	No det.	No det.	No det.	No det.
35-1030	O-C	No det.	No det.	No det.	No det.
CE-0161	O-C	No det.	No det.	No det.	No det.
CE-0099	O-C	No det.	No det.	No det.	No det.
CE-0082	MO-C	No det.	No det.	No det.	No det.
CE-0074	MO-C	No det.	No det.	No det.	No det.
CE-0075	MO-C	No det.	No det.	No det.	No det.
CE-0072	MO-C	No det.	No det.	No det.	No det.
35-6023	MO-C	No det.	No det.	No det.	No det.
35-5912	MO-C	No det.	No det.	No det.	No det.
CE-0315	O-C-ALCH	No det.	No det.	No det.	No det.
CE-0157	MO-C-AAH	No det.	No det.	No det.	No det.
CE-0158	MO-C-AAH-Ve	No det.	No det.	No det.	No det.
35-1024	MO-C-AAH-Ve	No det.	No det.	No det.	No det.
35-1023	O-ALCH	Lima Tardío	No det.	Patterson 1966: fig. 18, b; fig. 21, d	No det.
35-5709	O-ALCH	Lima Tardío	No det.	Patterson 1966: fig. 18, b; fig. 21, d	No det.
CE-0112	O-ALCH	No det.	No det.	No det.	No det.
CE-0113	O-ALCH-Ve	No det.	No det.	No det.	No det.
CE-0114	O-ALCH-Ve	No det.	No det.	No det.	No det.
CE-0101	T	Lima Tardío	No det.	Patterson 1966: 95	No det.
35-1534	T	Lima Tardío	No det.	Patterson 1966: 95	No det.
CE-0108	T	Lima Tardío	No det.	Patterson 1966: 95	No det.
CE-0107	T	Lima Tardío	No det.	Patterson 1966: 95	No det.
CE-0106	T	Lima Tardío	No det.	Patterson 1966: 95	No det.
CE-0102	T	Lima Tardío	No det.	Patterson 1966: 95	No det.
CE-0105	T	Lima Tardío	No det.	Patterson 1966: 95	No det.
35-5710	T	Lima Tardío	No det.	Patterson 1966: 95	No det.
35-1022	T	Lima Tardío	No det.	Patterson 1966: 95	No det.
35-1536	T	Lima Tardío	No det.	Patterson 1966: 95	No det.
CE-0103	T	Lima Tardío	No det.	Patterson 1966: 95	No det.
CE-0104	T	Lima Tardío	No det.	Patterson 1966: 95	No det.
MSP-1047	T	Lima Tardío	No det.	Patterson 1966: 95	No det.
CE-0100	T	Lima Tardío	No det.	Patterson 1966: 95	No det.
CE-0115	T	Lima Tardío	No det.	Patterson 1966: 95	No det.
CE-0160	T	Lima Tardío	No det.	Patterson 1966: 95	No det.
CE-0109	T	Lima Tardío	No det.	Patterson 1966: 95	No det.
CE-0159	T	Lima Tardío	No det.	Patterson 1966: 95	No det.
35-1021	T	Lima Tardío	No det.	Patterson 1966: 95	No det.
35-1535	T	Lima Tardío	No det.	Patterson 1966: 95	No det.
CE-0110	T	Lima Tardío	No det.	Patterson 1966: 95	No det.
CE-0111	T	Lima Tardío	No det.	Patterson 1966: 95	No det.
35-5122	MT	No det.	No det.	No det.	No det.

## Sección platos, vasos y cuencos

Rótulo	Nomenclatura	Estilo de la vasija completa	Estilo del cuerpo	Referencia bibliográfica (forma general de la vasija)	Referencia bibliográfica (forma del cuerpo)
CE-0169	P	Forma idéntica Lima Tardío	No det.	Patterson 1966: 20a; Guerrero y Palacios 1994: figs. 40-41; Segura 1999: figs. 54-56	No det.
CE-0127	MP	Forma alusiva Nazca Medio (fase 4)/Tardío (fase 7)	No det.	Reindel e Isla 2005: fig. 18; Museum Rietberg 1999: fig. 205	No det.
CE-0133	V	No det.	No det.	No det.	No det.
35-1013	V	Forma alusiva Nazca Medio	No det.	No det.	Ravines 1994: 126
CE-0132	V	No det.	No det.	No det.	No det.
CE-0167	Cu	No det.	No det.	No det.	No det.
CE-0135	Cu	No det.	No det.	No det.	No det.

Apéndice 1H. Vasijas de cocción reductora correspondientes a estilos específicos.

Rótulo	Nomenclatura	Estilo de la vasija completa	Referencia bibliográfica (forma general y del cuerpo)
CE-0129	P	Lima Tardío	Patterson 1966: 20a; Guerrero y Palacios 1994: figs. 40-41; Segura 1999: figs. 54-56
CE-0137	P	Lima Tardío	Patterson 1966: 20a; Guerrero y Palacios 1994: figs. 40-41; Segura 1999: figs. 54-56
CE-0147	BC	Chakipampa	Menzel 1964: 11
CE-0148	BC	Chakipampa	Menzel 1964: 11
CE-0131	V	Viñaque	Menzel 1964: notas 218, 219

Apéndice 1I. Vasijas de cocción reductora correspondientes al Grupo No Determinado

Rótulo	Nomenclatura	Estilo de la vasija completa	Estilo del cuerpo	Referencia bibliográfica (forma general de la vasija)	Referencia bibliográfica (forma del cuerpo)
CE-0145	B	No det.	Forma idéntica Atarco/Pachacamac A	No det.	Menzel 1964: fig. 5b/nota 321
CE-0149	B	No det.	No det.	No det.	No det.
CE-0010	MB	No det.	Forma alusiva pacheco	No det.	Menzel 1964: nota 118
CE-0156	B-APC-PP	No det.	No det.	No det.	No det.
CE-2786	B-APC-PP	No det.	Forma idéntica Moche V	No det.	Shimada 1994: fig. 9.20
CE-0026	MB-ALCV	No det.	No det.	No det.	No det.
CE-0059	B-ALCV	No det.	No det.	No det.	No det.
CE-0146	B-ALCV	No det.	No det.	No det.	No det.
CE-0044	B-ALCV	No det.	No det.	No det.	No det.
CE-0058	B-ALCV	No det.	No det.	No det.	No det.
MSP-71	B-AE	Moche V	Forma alusiva Lima Tardío	Rowe 1971; Shimada 1994: 193-195, fig. 8.9	Gayton 1927: plate 93a; Guerrero y Palacios 1994: fig. 52, i.a.
CE-0138	MO-C-AAH-Ve	No det.	No det.	No det.	No det.
CE-0170	P	No det.	Forma idéntica Lima Tardío	No det.	Patterson 1966: 20a; Guerrero y Palacios 1994: figs. 40-41; Segura 1999: figs. 54-56
35-5055b	V	No det.	No det.	No det.	No det.
35-5504	MV-V	No det.	No det.	No det.	No det.
CE-0130	Cu	No det.	No det.	No det.	No det.
CE-0168	Cu	No det.	No det.	No det.	No det.

**APÉNDICE 2. DIMENSIONES DE LAS VASIJAS DEL UNIVERSO CORRESPONDIENTES A ESTILOS DEFINIDOS Y NO DEFINIDOS  
(cuadros elaborados por el autor)**

Apéndice 2a. Piezas del estilo Lima.

Rótulo	Cat./subcat.	Altura total	Altura del cuerpo	Diámetro de cuerpo 1	Diámetro de cuerpo 2	Diámetro de boca	hxd	Raiz2(hxd)	Índice de alt. y diám. del cuerpo	Altura del gollete/cuello
CE-0064	B-ALCV	17.90	14.70	21.00	--	NI	308.70	17.57	0.70	3.20
CE-0067	B-ALCV	14.05	12.55	16.70	--	4.30	209.59	14.48	0.75	1.50
CE-0060	B-ALCV	12.30	9.60	16.10	--	4.00	154.56	12.43	0.60	2.70
35-5036	B-ALCV	14.10	11.50	14.40	--	3.90	165.60	12.87	0.80	2.60
35-5298	B-ALCV	13.10	10.00	14.20	--	5.70	142.00	11.92	0.70	3.10
CE-0035	B-ALCV	14.40	11.20	12.40	--	4.30	138.88	11.78	0.90	3.20
35-1508	B-ALCV	12.60	10.40	15.90	--	4.80	165.36	12.86	0.65	2.20
35-5024	B-ALCV	16.20	13.70	17.10	--	4.50	234.27	15.31	0.80	2.50
CE-0034	B-ALCV	12.10	9.80	13.30	--	4.00	130.34	11.42	0.74	2.30
35-5035	B-ALCV	16.50	13.90	16.40	--	4.70	227.96	15.10	0.85	2.60
35-5917	B-ALCV	14.90	12.10	16.70	--	4.70	202.07	14.22	0.72	2.10
CE-0036	B-ALCV	13.85	11.35	14.40	--	4.20	163.44	12.78	0.79	2.50
35-1498	B-ALCV	13.40	11.50	15.40	--	4.20	177.10	13.31	0.75	1.90
CE-0031	B-ALCV	12.56	9.90	14.56	--	4.20	144.14	12.01	0.68	2.60
CE-0050	B-ALCV	14.00	11.30	15.40	--	4.30	174.02	13.19	0.73	2.70
CE-0040	B-ALCV	13.60	11.20	13.40	--	4.00	150.08	12.25	0.84	2.40
CE-0032	B-ALCV	13.90	11.60	14.00	--	3.40	162.40	12.74	0.83	2.30
35-5243	B-ALCV	15.00	12.30	15.60	--	4.10	191.88	13.85	0.79	2.70
CE-0057	B-ALCV	16.30	12.40	18.20	--	5.60	225.68	15.02	0.68	3.60
CE-0052	B-ALCV	13.40	10.50	14.80	--	4.70	155.40	12.47	0.71	2.90
35-5433	B-ALCV	18.20	14.60	19.50	--	5.20	284.70	16.87	0.75	3.60
CE-0039	B-ALCV	15.35	12.85	15.60	--	4.20	200.46	14.16	0.82	2.50
35-5297	B-ALCV	14.20	11.00	15.00	--	3.90	165.00	12.85	0.73	3.20
CE-0048	B-ALCV	14.00	11.70	14.70	--	3.70	171.99	13.11	0.80	2.30
CE-0053	B-ALCV	15.90	12.70	18.60	--	5.00	236.22	15.37	0.68	3.20
CE-0056	B-ALCV	16.25	12.45	16.45	--	NI	204.80	14.31	0.76	3.80
CE-0055	B-ALCV	14.70	12.20	15.20	--	4.10	185.44	13.62	0.80	2.50
CE-0021	MB-ALCV	11.90	9.50	12.20	--	3.20	115.90	10.77	0.78	2.40
CE-0063	MB-ALCV	10.00	7.70	10.80	--	3.90	83.16	9.12	0.71	2.30
CE-0061	MB-ALCV	11.80	9.60	10.70	--	4.20	102.72	10.14	0.90	2.20
CE-0150	MB-ALCV	13.05	10.15	12.50	--	3.80	126.88	11.26	0.81	2.90
CE-0090	O-C	14.90	12.40	20.90	--	14.30	259.16	16.10	0.59	2.50
CE-0071	O-C	13.80	11.30	16.10	--	10.10	181.93	13.49	0.70	2.50
CE-0079	O-C	15.10	13.10	16.10	--	12.50	210.91	14.52	0.81	2.00
CE-0089	O-C	17.55	14.30	21.40	--	13.90	306.02	17.49	0.67	3.25
CE-0086	O-C	14.65	11.65	17.40	--	13.00	202.71	14.24	0.67	3.00
CE-0078	O-C	15.10	13.10	15.80	--	13.20	206.98	14.39	0.83	2.00
CE-0083	O-C	14.50	12.00	16.90	--	14.30	202.80	14.24	0.71	2.50
CE-0076	O-C	15.00	12.50	16.40	--	9.60	205.00	14.32	0.76	2.50
CE-0080	O-C	17.40	14.40	17.15	--	13.40	246.96	15.71	0.84	3.00
CE-0097	O-C	17.05	15.25	17.80	--	15.05	271.45	16.48	0.86	1.80
CE-0088	O-C	16.80	13.80	21.70	--	16.10	299.46	17.30	0.64	3.00
CE-0091	O-C	14.25	12.25	21.05	--	16.80	257.86	16.06	0.58	2.00
CE-0077	O-C	16.70	12.70	18.50	--	13.90	234.95	15.33	0.69	4.00
CE-0098	O-C	23.55	20.05	22.60	--	16.70	453.13	21.29	0.89	3.50
CE-0087	O-C	14.05	11.55	19.60	--	15.70	226.38	15.05	0.59	2.50
CE-0073	O-C	17.50	14.50	19.45	--	13.50	282.03	16.79	0.75	3.00
CE-0084	O-C	14.70	10.70	17.40	--	15.10	186.18	13.64	0.61	4.00
CE-0085	O-C	14.60	11.60	18.10	--	13.50	209.96	14.49	0.64	3.00
CE-0094	O-C	13.40	10.40	17.50	--	9.40	182.00	13.49	0.59	3.00
CE-0317	O-C	32.70	27.80	40.00	--	26.20	1112.00	33.35	0.70	4.80
CE-0093	O-C	19.80	14.80	21.80	--	19.30	322.64	17.96	0.68	5.00
CE-0081	MO-C	12.60	10.40	12.80	--	6.90	133.12	11.54	0.81	2.20
CE-0096	MO-C	12.60	10.60	13.90	--	15.35	147.34	12.14	0.76	2.00
CE-0092	MO-C	12.50	10.00	15.10	--	11.70	151.00	12.29	0.66	2.50
35-5429	CM	38.80	31.50	30.80	20.50	6.10	--	--	--	7.30
35-1542	CM	44.50	37.00	37.20	26.80	9.20	--	--	--	7.50
CE-0065	MC-ALCH	14.05	12.45	12.80	--	5.60	159.36	12.62	0.97	1.60
CE-0171	P	--	6.10	15.45	--	--	94.25	9.71	0.39	--
CE-0117	P	--	6.90	19.30	--	19.30	133.17	11.54	0.36	--
CE-0118	P	--	6.50	19.20	--	19.20	124.80	11.17	0.34	--
CE-0842	P	--	5.90	17.60	--	17.60	103.84	10.19	0.34	--
CE-0121	P	--	5.25	16.85	--	16.85	88.46	9.41	0.31	--
CE-0125	P	--	4.95	13.75	--	13.75	68.06	8.25	0.36	--
CE-0124	P	--	5.40	13.40	--	13.40	72.36	8.51	0.40	--
CE-0116	P	--	6.00	19.40	--	19.40	116.40	10.79	0.31	--
CE-0122	P	--	5.50	17.15	--	17.15	94.33	9.71	0.32	--
CE-0123	P	--	5.60	18.55	--	18.55	103.88	10.19	0.30	--
CE-0119	P	--	6.35	19.25	--	19.25	122.24	11.06	0.33	--
CE-0120	P	--	4.40	16.10	--	16.10	70.84	8.42	0.27	--
CE-0126	MP	--	3.10	10.50	--	10.70	32.55	5.71	0.30	--

Apéndice 2b. Piezas del estilo Chakipampa.

Rótulo	Cat./subcat.	Altura total	Altura del cuerpo	Diámetro de cuerpo 1	Diámetro de cuerpo 2	Diámetro de boca	hxd	Raiz2(hxd)	Profundidad	Índice de alt. y diám. del cuerpo	Altura del pico
35-6022	BC	22.00	17.10	18.30	-	4.20	312.93	17.69	13.30	0.93	4.90
CE-0141	BC	26.10	20.80	22.10	-	4.65	459.68	21.44	15.50	0.94	5.30
CE-0143	BC	23.40	18.20	19.20	-	4.00	349.44	18.69	14.80	0.95	4.90
35-1496	BC	NI	18.40	19.40	-	NI	356.96	18.89	13.20	0.95	NI
35-5294	BC-AAV	21.50	16.00	16.50	-	3.40	264.00	16.25	11.40	0.97	5.60
35-1499	B-AAV	16.70	12.20	13.00	11.70	2.40	158.60	12.59	11.70	0.94	4.50
35-1020	B-AAV	17.30	12.50	12.90	11.50	2.80	161.25	12.70	11.50	0.97	4.80
35-1018	B-AAV	22.20	16.80	17.00	15.80	2.40	285.60	16.90	15.80	0.99	5.40
35-1019	B-AAV	22.80	17.30	17.50	16.70	2.40	302.75	17.40	16.70	0.99	5.70
35-5289	B-AAV	17.80	12.90	12.40	11.20	2.50	159.96	12.65	11.20	1.04	4.90
CE-0142	B-AAV	25.55	19.65	18.75	16.50	2.70	368.44	19.19	16.50	1.05	5.90
35-1017	B-AAV	31.00	23.20	22.00	19.00	NI	510.40	22.59	19.00	1.05	NI
CE-0028	MB-AAV	14.50	10.60	10.00	-	2.10	106.00	10.30	-	1.06	3.89
CE-0027	MB-AAV	14.30	10.40	9.50	-	2.20	98.80	9.94	-	1.09	3.90
35-5759	MC-AAV	17.30	14.10	14.30	-	4.70	201.63	14.20	-	0.99	3.20
CE-0128	Cu	7.05	-	12.20	-	10.20	-	-	-	0.58	-
CE-0166	Cu	7.60	-	15.20	13.00	13.00	-	-	-	0.50	-
CE-0172	Cu	13.00	-	35.20	-	30.90	-	-	-	0.37	-

Apéndice 2c. Pieza del estilo Nazca.

Rótulo	Categoría	Altura total	Diámetro de cuerpo	Diámetro de boca	Índice de alt. y diám. del cuerpo
CE-0165	V	12.40	11.55	9.30	1.07

Apéndice 2d. Pieza del estilo Mochica.

Rótulo	Subcat.	Altura total	Altura del cuerpo	Diámetro de cuerpo	Diámetro de boca 1	Diámetro de boca 2	hxd	Raiz2(hxd)	Índice de alt. y diám. del cuerpo	Altura del pico 1	Altura del pico 2
CE-0045	B-APC-PP	16.20	9.10	12.90	NI	NI	117.39	10.83	0.71	NI	NI

Apéndice 2e. Piezas del estilo Pachacamac.

Rótulo	Subcat.	Altura total	Altura del cuerpo	Diámetro de cuerpo	Diámetro de cuerpo 2	Diámetro de boca	hxd	Raiz2(hxd)	Índice de alt. y diám. del cuerpo	Altura del pico
35-5497	B-ALTV	19.20	13.00	15.30	-	2.20	198.90	14.10	0.85	6.20
35-1033	B-ALTV	15.60	10.30	12.60	-	2.60	129.78	11.39	0.82	5.30
35-8845	B-ALTV	17.00	11.40	13.80	-	3.20	157.32	12.54	0.83	5.60
35-5033	B-ALTV	20.10	13.30	16.00	-	3.00	212.80	14.59	0.83	6.80
35-5290	B-ALTV	19.30	12.40	15.50	-	1.30	192.20	13.86	0.80	6.90
35-8844	B-ALTV	20.40	13.50	16.40	-	NI	221.40	14.88	0.82	NI
35-5121	B-ALTV	16.90	10.90	14.40	-	NI	156.96	12.53	0.76	6.00
35-5592	B-ALTV	18.50	11.70	14.40	-	2.50	168.48	12.98	0.81	6.80
35-5588	B-ALTV	18.00	11.20	16.00	-	NI	179.20	13.39	0.70	6.80
35-1507	B-ALTV	21.20	14.50	15.30	-	2.40	221.85	14.89	0.95	6.70
35-5589	B-ALTV	16.50	9.50	12.20	-	1.50	115.90	10.77	0.78	7.00
35-5291	B-ALTV	19.80	13.20	17.50	-	2.60	231.00	15.20	0.75	6.60
35-5758	B-ALTV	17.60	11.80	15.70	-	2.90	185.26	13.61	0.75	5.80
35-5234	B-ALTV	19.90	12.90	15.70	-	2.70	202.53	14.23	0.82	7.00
35-5018	B-ALTV	15.90	10.20	12.70	-	1.70	129.54	11.38	0.80	5.70
35-5494	B-ALTV	20.60	12.20	16.20	-	1.80	197.64	14.06	0.75	8.40
35-1456	B-ALTV	19.50	13.10	16.20	-	2.10	212.22	14.57	0.81	6.40
35-5587	B-ALTV	18.30	11.50	15.00	-	NI	172.50	13.13	0.77	6.80
35-5123	B-ALTV	16.01	9.50	11.60	-	NI	110.20	10.50	0.82	NI
35-5019	B-ALTV	16.90	12.00	15.40	-	NI	184.80	13.59	0.78	NI
35-8846	B-ALTV	18.00	11.10	15.30	-	1.60	169.83	13.03	0.73	6.90
35-5585	B-ALTV	18.60	11.40	13.70	-	1.20	156.18	12.50	0.83	7.20
35-5031	B-ALTV	17.00	11.60	12.40	-	2.10	143.84	11.99	0.94	5.40
35-1032	B-ALTV	15.00	10.50	12.50	-	NI	131.25	11.46	0.84	4.90
35-5760	B-ALTV	21.00	14.20	17.40	-	NI	247.08	15.72	0.82	5.80
35-5498	B-ALTV	18.20	11.50	13.80	-	NI	158.70	12.60	0.83	6.70
33-641	MB-ALTV	12.70	7.70	9.20	-	2.10	70.84	8.42	0.84	4.70
CE-0139	O-ALCH	-	12.00	24.60	19.90	11.50	295.20	17.18	0.49	-

Apéndice 2f. Pieza del estilo Viñaque.

Rótulo	Cat./subcat.	Altura total	Diámetro de cuerpo	Diámetro de boca
CE-0136	V	10.00	9.50	8.80

Apéndice 2g. Piezas del grupo No Determinado. Botellas, sección a.

Rótulo	Cat./subcat.	Altura total	Altura del cuerpo	Diámetro de cuerpo 1	Diámetro de cuerpo 2	Diámetro de boca 1	Diámetro de boca 2	hxd	Raiz2(hxd)	Índice de alt. y diám. del cuerpo	Alt./long. pico	Alt./long. pico 2
35-1038	B	24.00	17.20	19.00	-	4.30	-	326.80	18.08	0.91	6.80	-
35-5430	B	20.20	16.40	13.60	-	2.50	-	223.04	14.93	1.21	3.80	-
CE-0062	B	20.15	15.65	14.30	-	2.70	-	223.80	14.96	1.09	4.50	-
CE-0020	B	15.70	12.90	13.10	-	1.91	-	-	-	-	2.80	-
35-5027	B	21.20	16.60	17.30	-	2.70	-	-	-	-	4.60	-
35-5713	B	25.30	19.60	17.70	-	3.30	-	346.92	18.63	1.11	5.70	-
35-995	B	30.50	24.50	18.30	-	4.40	-	-	-	-	6.00	-
35-1004	B	20.60	14.80	17.80	-	3.20	-	-	-	-	NI	-
CE-0005	B	21.20	20.90	16.50	-	NI	-	-	-	-	NI	-
35-5903	MB	12.50	9.60	9.00	-	NI	-	-	-	-	2.90	-
CE-0019	B-APC-PP	11.90	7.70	14.60	-	1.60	NI	112.42	10.60	0.53	5.50	5.5
35-1010	B-APC-PP	18.10	9.90	13.90	-	NI	NI	137.61	11.73	0.71	7.80	NI
35-5235	B-APC-PP	17.20	8.20	13.20	-	1.10	NI	108.24	10.40	0.62	10.40	10.50
35-5756	B-APC-PP	17.20	9.70	14.80	-	1.20	1.20	-	-	-	8.50	8.80
35-1455	B-APC-PP	14.50	8.30	13.60	-	1.10	NI	-	-	-	7.80	NI
35-1398	B-APC-PP	18.00	11.70	12.00	-	1.20	NI	-	-	-	7.80	NI
35-1000	B-APC-PP	11.40	11.40	16.90	9.60	NI	NI	-	-	-	NI	NI
CE-0001	B-APC-PP	18.10	13.00-11.00	20.00	15.00	1.10	NI	-	-	-	6.20	6.50
35-5120	B-APC-PP	20.20	9.80	11.10	-	NI	NI	108.78	10.42	0.88	7.10	NI
CE-0174	B-APC-PP	16.83	9.00	13.10	-	1.25	NI	-	-	-	7.45	NI
35-999	B-APC-PP	13.50	7.50	16.40	-	1.20	NI	-	-	-	8.30	NI
35-1478	B-APC-PP	16.00	6.80	16.80	-	1.20	1.20	-	-	-	9.10	9.20
CE-0018	B-APC-PP	13.10	10.00	12.50	-	1.10	NI	-	-	-	5.70	NI
CE-0016	B-APC-PP	16.60	8.50	12.80	-	2.10	2.10	-	-	-	5.50	5.80
35-1492	B-APT-PP	14.20	8.00	9.80	4.50	0.90	0.90	-	-	-	7.70	NI
35-1493	B-APT-PP	15.00	10.10	10.50	9.90	1.10	NI	-	-	-	7.10	NI
35-1494	B-APT-PP	15.80	8.00	10.90	-	1.10	1.10	-	-	-	7.20	NI
35-1005	B-APT-PP	20.70	9.70	13.50	11.60	0.90	NI	-	-	-	12.00	12.00
CE-0017	B-APT-PP	17.10	9.20	14.60	-	1.20	NI	-	-	-	9.90	NI
35-5293	B-AP?-PP	10.40	10.40	12.80	10.90	NI	NI	133.12	11.54	0.81	NI	NI
35-1015	B-AP?-PP	12.30	9.70	12.40	-	NI	NI	120.28	10.97	0.78	NI	NI
35-1479	B-AP?-PP	13.20	8.80	13.60	-	NI	NI	119.68	10.94	0.65	NI	NI
CE-0046	B-AP?-PP	NI	8.60	16.90	-	NI	NI	-	-	-	NI	NI
CE-0314	B-AP?-PP	NI	7.50	7.90	7.20	NI	NI	-	-	-	NI	NI
CE-0164	B-AP?-PP	14.20	13.90	11.50	11.20	NI	NI	-	-	-	NI	NI
CE-0002	B-AP?-PP	7.30	7.10	16.80	10.00	NI	NI	-	-	-	NI	NI
35-1001	B-AP?-PP	15.40	15.40	19.50	-	NI	NI	-	-	-	NI	NI
35-1002	B-AP?-PP	14.30	14.00	12.00	11.50	NI	NI	-	-	-	NI	NI
35-1404	B-AP?-PP	10.40	10.40	15.60	-	NI	NI	-	-	-	NI	NI
CE-0007	B-AP?-PP	10.80	10.80	12.10	12.10	NI	NI	-	-	-	NI	NI
CE-0003	B-APC-PC	19.20	19.20	14.20	11.30	1.40	-	-	-	-	7.10	-
MSP-412	B-APC-PC	15.00	15.00	12.50	8.80	NI	-	-	-	-	8.00	-
CE-0011	B-APC-PC	17.00	10.90	18.90	-	1.20	-	-	-	-	6.20	-
35-1003	B-APC-PC	15.70	5.40	17.50	-	1.10	-	-	-	-	10.40	-
CE-0004	B-APC-PC	14.50	14.50	13.00	12.50	NI	-	-	-	-	NI	-
35-1596	B-APC-PC	12.60	8.20	8.30	-	NI	-	-	-	-	NI	-
CE-2738	B-APC-PC	15.70	15.70	19.20	10.10	NI	-	-	-	-	NI	-
CE-0008	B-AP?-PC	11.60	11.60	13.20	10.20	NI	-	-	-	-	NI	-
CE-0013	B-APC-PPR	13.20	6.50	15.00	-	1.80	-	97.50	9.87	0.43	7.70	-
CE-0015	B-APC-PPR	14.30	9.20	15.80	-	1.30	-	145.36	12.06	0.58	9.00	-
35-1472	B-APC-PPR	13.50	7.20	16.00	-	1.70	-	115.20	10.73	0.45	7.50	-
CE-0154	B-APC-PPR	15.00	6.30	17.20	-	1.10	-	108.36	10.41	0.37	8.20	-
CE-0155	B-APC-PPR	16.50	8.80	13.30	-	0.90	-	117.04	10.82	0.66	9.10	-
35-1454	B-APC-PPR	15.20	5.40	17.50	-	1.30	-	94.50	9.72	0.31	9.90	-
CE-0014	B-APC-PPR	15.70	8.00	19.40	-	1.30	-	155.20	12.46	0.41	9.60	-
CE-0047	B-APC-PPR	15.40	8.70	15.20	-	1.30	-	-	-	-	7.90	-
35-1438	B-APC-PPR	17.10	8.80	16.50	-	1.30	-	-	-	-	8.40	-
35-1402	B-APC-PPR	17.00	9.30	16.40	-	1.30	-	-	-	-	8.00	-
35-998	B-AP?-PPR	15.00	8.00	15.50	-	NI	-	124.00	11.14	0.51	NI	-

Apéndice 2h. Piezas del grupo No Determinado. Botellas, sección b.

Rótulo	Cat./subcat.	Altura total	Altura del cuerpo	Diámetro de cuerpo 1	Diámetro de cuerpo 2	Diámetro de boca	hxd	Raiz2 (hxd)	Profundidad	Índice de alt. y diám. del cuerpo	Alt./long. pico
CE-0051	B-ALCV	16.00	11.50	15.45	-	4.50	177.68	13.33	-	0.74	4.50
35-1027	B-ALCV	16.70	10.70	13.40	-	2.90-2.40	143.38	11.97	-	0.80	6.00
CE-0033	B-ALCV	14.20	10.00	12.60	-	2.10	126.00	11.22	-	0.79	4.20
CE-0068	B-ALCV	16.50	12.40	16.70	-	NI	207.08	14.39	-	0.74	4.10
CE-0066	B-ALCV	20.65	15.05	19.90	-	5.70	299.50	17.31	-	0.76	5.60
CE-0049	B-ALCV	18.70	13.90	18.50	-	4.80	257.15	16.04	-	0.75	4.80
CE-0162	B-ALCV	18.75	14.85	17.00	-	3.60	252.45	15.89	-	0.87	3.90
35-5296	B-ALCV	15.80	11.50	13.60	-	3.50	156.40	12.51	-	0.85	4.30
35-5431	B-ALCV	18.20	13.20	15.80	-	3.40	208.56	14.44	-	0.84	5.00
35-5753	B-ALCV	15.20	11.10	16.80	-	3.40	186.48	13.66	-	0.66	4.10
35-6025	B-ALCV	18.00	12.60	16.00	-	3.60	201.60	14.20	-	0.79	5.40
35-1509	B-ALCV	17.90	13.10	15.80	-	3.70	206.98	14.39	-	0.83	4.80
35-1408	B-ALCV	17.80	12.60	15.60	-	3.40	196.56	14.02	-	0.81	5.20
35-5695	B-ALCV	20.60	15.40	18.00	-	3.50	277.20	16.65	-	0.86	5.20
35-1028	B-ALCV	15.50	9.40	16.00	-	3.50	150.40	12.26	-	0.59	6.10
35-5025	B-ALCV	17.50	13.10	16.70	-	3.50	218.77	14.79	-	0.78	4.40
CE-0023	B-ALCV	14.00	8.30	14.40	-	3.55	119.52	10.93	-	0.58	5.70
35-1036	B-ALCV	18.70	12.10	14.50	-	2.00	175.45	13.25	-	0.83	6.60
CE-0054	B-ALCV	17.60	11.20	18.00	-	3.70	201.60	14.20	-	0.62	8.20
CE-0037	B-ALCV	16.90	12.50	15.70	-	3.50	196.25	14.01	-	0.80	4.40
CE-0038	B-ALCV	17.30	11.80	14.90	-	3.70	175.82	13.26	-	0.79	5.50
CE-0029	B-ALCV	16.70	12.20	11.80	-	2.86	143.96	12.00	9.90	1.03	4.41
CE-0140	B-ALCV	16.85	9.80	16.15	-	1.35	158.27	12.58	-	0.61	6.85
35-6026	B-ALCV	15.00	9.90	13.00	-	2.60	-	-	-	0.76	5.10
35-6057	B-ALCV	17.20	11.70	16.20	-	3.20	-	-	-	-	5.20
35-5914	B-ALCV	19.50	13.20	15.50	-	3.60	-	-	-	-	6.30
CE-0009	B-ALCV	13.20	7.20	17.10	-	2.90	-	-	-	-	4.20
CE-0144	B-ALCV	17.20	12.35	12.35	-	3.00	-	-	-	-	4.85
35-1606	B-ALCV	19.90	13.20	12.80	-	5.70	-	-	-	-	6.70
35-1034	B-ALCV	16.10	12.10	14.00	-	2.90	-	-	-	-	4.50
CE-0030	B-ALCV	17.80	12.00	13.20	-	3.78	-	-	-	-	5.79
CE-0043	B-ALCV	10.90	6.70	9.80	-	4.50	-	-	-	-	4.20
35-1407	B-ALCV	12.00	10.50	15.00	-	NI	-	-	-	-	NI
35-1035	MB-ALCV	10.60	7.50	12.00	-	3.70	90.00	9.49	-	0.63	2.90
CE-0042	MB-ALCV	10.05	7.35	12.05	-	3.30	88.57	9.41	-	0.61	2.70
35-5435	MB-ALCV	12.90	8.70	10.90	-	2.70	94.83	9.74	-	0.80	4.20
CE-0022	MB-ALCV	12.40	7.65	12.90	-	2.10	98.69	9.93	-	0.59	4.75
CE-0024	MB-ALCV	9.50	6.40	12.50	-	2.87	80.00	8.94	-	0.51	3.10
CE-0041	MB-ALCV	13.14	7.50	13.35	-	4.10	100.13	10.01	-	0.56	5.60
CE-0025	MB-ALCV	6.50	4.20	9.30	-	2.21	39.06	6.25	-	0.45	2.30
35-5303	MB-ALCV	7.30	5.00	5.80	-	NI	-	-	-	-	1.70
MSP-414	MB-ALCV	NI	6.50	10.60	-	NI	68.90	8.30	-	0.61	NI
35-1007	MB-ALCV	10.20	6.40	14.30	-	3.00	-	-	-	-	3.80
35-1511	MB-ALCV	12.50	8.20	13.50	-	3.40	-	-	-	-	4.30
V4/misc	MB-ALCV	16.00	10.70	10.10	-	2.40	-	-	-	-	5.30
CE-0151	B-ALTV	16.50	11.00	12.75	-	3.30	-	-	-	-	5.50
CE-0012	B-ALTV	17.00	12.50	14.00	-	3.30	175.00	13.23	-	0.89	4.50
CE-0152	B-ALTV	15.50	10.20	12.75	-	2.70	-	-	-	-	5.30
35-6055	B-AAV	17.30	11.10	14.00	-	3.50	155.40	12.47	-	0.79	6.20
CE-0153	MB-AAV	15.00	10.10	10.50	-	2.45	106.05	10.30	-	0.96	4.90
CE-0006	B-AE	19.10	13.30	16.20	-	2.80	-	-	-	-	3.00
35-1490	B-AE	18.20	15.80	11.00	-	NI	-	-	-	-	NI
CE-0313	BND	12.90	NI	9.70	5.40	NI	-	-	-	-	NI
CE-0163	BND	17.40	NI	16.40	16.10	NI	-	-	-	-	NI
35-1403	BND	6.10	NI	NI	-	NI	-	-	-	-	NI

Apéndice 2i. Piezas del grupo No Determinado. Otras categorías y subcategorías.

Rótulo	Cat./subcat.	Altura total	Altura del cuerpo	Diámetro de cuerpo 1	Diámetro de cuerpo 2	Diámetro de boca	Diámetro de boca 2	hxd	Raiz2(hxd)	Profund.	Índice de alt. y diám. del cuerpo	Alt./long. cuello/vert.
CE-0069	C	31.56	26.86	26.00	18.80	6.40	-	-	-	18.80	1.03	4.70
CE-0316	C-ALCH	20.00	17.20	20.60	20.55	NI	-	354.32	18.82	-	0.83	NI
CE-0070	O-C	17.40	13.60	22.50	-	20.80	-	-	-	-	-	3.20
35-1030	O-C	13.90	10.60	16.00	-	10.10	-	-	-	-	-	3.30
CE-0161	O-C	14.25	11.05	16.15	-	11.90	-	-	-	-	-	2.80
CE-0099	O-C	16.45	13.95	20.85	-	15.50	-	-	-	-	-	2.50
CE-0082	MO-C	12.50	9.50	13.90	-	9.80	-	132.05	11.49	-	0.68	3.00
CE-0074	MO-C	9.60	7.60	12.60	-	9.70	-	95.76	9.79	-	0.60	2.00
CE-0075	MO-C	11.80	9.80	15.15	-	11.20	-	148.47	12.18	-	0.65	2.00
CE-0072	MO-C	11.80	9.60	13.80	-	10.20	-	-	-	-	-	2.20
35-6023	MO-C	8.70	4.90	9.90	-	9.40	-	-	-	-	-	3.10
35-5912	MO-C	12.20	7.80	12.70	-	10.30	-	-	-	-	-	4.40
CE-0315	O-C-ALCH	9.50	8.35	15.75	12.30	9.80	NO	131.51	11.47	-	0.53	1.15
CE-0157	MO-C-AAH	8.00	6.20	12.15	10.20	4.25	NO	-	-	-	-	1.50
CE-0158	MO-C-AAH-Ve	8.15	7.90	12.30	8.90	6.20	1.10	-	-	-	-	1.30
35-1024	MO-C-AAH-Ve	11.00	7.50	14.40	-	9.30	NI	-	-	-	-	2.80
35-1023	O-ALCH	-	9.30	21.40	-	11.30	NO	199.02	14.11	-	0.43	NI
35-5709	O-ALCH	-	10.10	24.30	-	12.50	NO	245.43	15.67	-	0.42	NI
CE-0112	O-ALCH	-	10.50	19.85	-	10.60	NO	208.43	14.44	-	0.53	NI
CE-0113	O-ALCH-Ve	14.00	13.00	21.80	-	14.00	2.70	283.40	16.83	-	0.60	NI
CE-0114	O-ALCH-Ve	18.20	5.50	13.00	-	0.80	16.40	-	-	-	-	3.70
CE-0101	T	13.00	10.55	19.90	-	11.60	2.10	209.95	14.49	-	0.53	9.50
35-1534	T	11.60	10.10	22.80	-	13.10	1.90	230.28	15.17	-	0.44	8.50
CE-0108	T	11.10	9.50	21.40	-	13.30	2.80	203.30	14.26	-	0.44	6.60
CE-0107	T	10.50	8.80	23.35	-	12.60	2.25	205.48	14.33	-	0.38	6.00
CE-0106	T	10.60	9.95	19.50	-	12.30	2.50	194.03	13.93	-	0.51	4.55
CE-0102	T	13.00	9.20	20.60	-	10.00	1.90	189.52	13.77	-	0.45	9.80
CE-0105	T	13.20	10.70	21.20	-	11.90	1.80	226.84	15.06	-	0.50	8.70
35-5710	T	11.70	10.20	24.50	-	13.80	1.70	249.90	15.81	-	0.42	8.60
35-1022	T	15.50	10.40	21.60	-	11.30	NI	224.64	14.99	-	0.48	11.15
35-1536	T	8.20	5.70	18.50	-	11.30	1.80	105.45	10.27	-	0.31	5.60
CE-0103	T	9.90	8.30	20.70	-	12.80	1.85	171.81	13.11	-	0.40	5.60
CE-0104	T	10.40	7.80	20.45	-	12.30	2.50	159.51	12.63	-	0.38	5.30
MSP-1047	T	13.00	7.20	21.00	-	11.10	1.00	151.20	12.30	-	0.34	9.70
CE-0100	T	13.20	9.80	22.35	-	12.20	1.60	219.03	14.80	-	0.44	7.70
CE-0115	T	11.80	8.20	20.50	-	9.90	1.70	168.10	12.97	-	0.40	9.00
CE-0160	T	9.25	9.10	19.65	-	12.20	1.40	178.82	13.37	-	0.46	6.35
CE-0109	T	9.80	7.05	20.30	-	12.40	2.70	143.12	11.96	-	0.35	5.40
CE-0159	T	11.30	10.00	21.10	-	11.50	NI	211.00	14.53	-	0.47	NI
35-1021	T	10.40	9.20	19.20	-	11.60	1.30	176.64	13.29	-	0.48	6.00
35-1535	T	12.20	9.70	19.80	-	9.90	1.20	192.06	13.86	-	0.49	7.80
CE-0110	T	11.40	9.05	20.85	-	12.80	NI	-	-	-	0.43	NI
CE-0111	T	NI	8.20	NI	-	12.30	NI	-	-	-	-	NI
35-5122	MT	7.90	7.90	12.80	-	6.90	1.20	101.12	10.06	-	0.62	7.50
CE-0169	P	-	5.40	14.15	-	14.85-14.15	-	76.41	8.74	-	0.38	-
CE-0127	MP	-	2.60	8.85	-	8.90	-	23.01	4.80	-	0.29	-
CE-0133	V	-	9.35	8.10	-	6.80	-	-	-	-	1.15	-
35-1013	V	-	11.90	14.10	13.80	9.10-8.50	-	-	-	-	0.84	-
CE-0132	V	-	8.80	11.05	-	10.90	-	-	-	-	0.80	-
CE-0167	Cu	-	7.15	10.00	-	7.65	-	-	-	-	0.72	-
CE-0135	Cu	-	6.10	7.00	-	4.10	-	-	-	-	0.87	-



Apéndice 2j. Vasijas en cocción reductora. Piezas del estilo Lima.

Rótulo	Categoría	Altura total	Diámetro de boca	hxd	Raiz2(hxd)	Índice de alt. y diám. del cuerpo
CE-0129	P	4.90	16.45	80.61	8.98	0.30
CE-0137	P	6.60	20.40	134.64	11.60	0.32

Apéndice 2k. Vasijas en cocción reductora. Piezas del estilo Chakipampa.

Rótulo	Subcat.	Altura total	Altura del cuerpo	Diámetro de cuerpo	Diámetro de boca	hxd	Raiz2(hxd)	Profund.	Índice de alt. y diám. del cuerpo	Altura del pico
CE-0147	BC	19.75	15.10	16.35	3.35	246.89	15.71	11.9	0.92	4.65
CE-0148	BC	20.00	15.70	16.40	3.80	257.48	16.05	11.4	0.96	4.30

Apéndice 2l. Vasijas en cocción reductora. Pieza del estilo Viñaque.

Rótulo	Categoría	Altura total	Diámetro de cuerpo 1	Diámetro de boca	Índice de alt. y diám. del cuerpo
CE-0131	V	9.60	9.05	8.70	1.06

Apéndice 2m. Vasijas en cocción reductora. Pieza del estilo Pachacamac.

Rótulo	Categoría	Altura total	Altura del cuerpo	Diámetro de cuerpo	Diámetro de boca	hxd	Raiz2(hxd)	Índice de alt. y diám. del cuerpo	Altura del pico
CE-0145	B	22.85	16.05	17.55	2.10	281.68	16.78	0.91	6.80

Apéndice 2n. Vasijas en cocción reductora. Piezas del grupo No Determinado.

Rótulo	Cat./subcat.	Altura total	Altura del cuerpo	Diámetro de cuerpo	Diámetro de cuerpo 2	Diámetro de boca	Diámetro de boca 2	hxd	Raiz2 (hxd)	Índice de alt. y diám. del cuerpo	Alt./long. cuello/pico	Alt./long. cuello/pico/vert. 2
CE-0149	B	18.40	13.95	17.95	—	3.95	—	—	—	—	4.45	—
CE-0010	MB	10.00	9.00	16.00	—	3.80	—	—	—	—	4.00	—
CE-0156	B-APC-PP	17.30	10.50	13.20	—	1.53	NI	—	—	—	8.20	NI
CE-2786	B-APC-PP	16.50	9.00	12.00	10.20	0.70	NI	—	—	—	9.50	9.50
CE-0026	B-ALCV	11.70	7.80	13.10	—	2.98	—	102.18	10.11	0.60	3.89	—
CE-0059	B-ALCV	13.30	7.95	14.40	—	2.70	—	114.48	10.70	0.55	5.35	—
CE-0146	B-ALCV	14.35	9.90	11.40	—	2.65	—	112.86	10.62	0.87	4.45	—
CE-0044	B-ALCV	16.00	10.90	12.10	—	3.10	—	—	—	—	5.10	—
CE-0058	B-ALCV	14.80	8.50	14.60	—	2.30	—	—	—	—	6.30	—
MSP-71	B-AE	19.00	9.50	16.00	—	3.30	—	152.00	12.33	0.59	3.30	—
CE-0138	MO-C-AAH-Ve	11.20	3.80	4.50	—	4.60	0.80	—	—	—	0.75	NI
CE-0170	P	6.15	5.50	17.50	—	17.50	—	96.25	9.81	0.31	—	—
35-5055b	MV	—	6.20	6.80	—	6.80	—	—	—	0.91	—	—
35-5504	MV-Ve	—	7.00	7.80	—	7.80	1.25	—	—	0.90	—	4.60
CE-0130	Cu	—	4.85	19.65	9.35	7.90-8.30	—	—	—	0.25	—	—
CE-0168	Cu	—	7.10	10.70	—	10.70	—	—	—	0.66	—	—

Autor	Año de publicación	Valle	Área	Sitio	Tipo de sitio	Tipo de contexto	Estado del registro arqueológico
Anna Gayton	1927	Rímac	Medio	Cementerio de Nievería	Área funeraria	Contextos funerarios	Muy incompleto
José Fernández Sotomayor	1960	Rímac	Bajo	Complejo Maranga	Complejo monumental	¿Rellenos arquitectónicos?	Muy incompleto
Dorothy Menzel	1964	Rímac y Ancón	Rímac medio y área al norte de Lima	Cementerio de Nievería, Catalina Huanca, Ancón	Áreas funerarias de complejos monumentales	Contextos funerarios y otros no determinados por falta del dato de procedencia específica	Muy incompleto
Ruth Shady	1994	Rímac, área al norte de Lima, Lurín, Mala	Rímac medio, Rímac bajo, área al norte de Lurín, Lurín bajo, Mala bajo	Cajamarquilla, Catalina Huanca, Makat-Tampu, Ancón, Pachacamac y Cerro del Oro	Complejos monumentales, áreas funerarias y otros no determinados por falta del dato de procedencia específica	Contextos funerarios y otros no determinados por falta del dato de procedencia específica	Muy incompleto
Daniel Guerrero y Jonathan Palacios	1994	Rímac	Medio	El Vallecito	Aldea	Relleno en Sector A (viviendas), basural del Sector B (viviendas), basura del Sector C (viviendas), Sector F (área no definida saqueada)	Completo
				Huachipa	Áreas funerarias en la llanura	Contextos funerarios	
				Huampaní	Aldea de trazo complejo	Contextos funerarios	
Rafael Segura	1999, 2001, 2004	Rímac	Medio	Complejo Cajamarquilla	Complejo monumental	Pozos de ofrenda (fase CII)	Completo
José Coencho	2001, 2006	Rímac	Bajo	Huaca Pucllana	Complejo monumental	Rellenos constructivos, basura sobre piso, ofrendas y contextos funerarios, todos de la fase IIIb, la última identificada en el complejo	Completo

Fig. 1. 1. Tipos de contextos y ubicación por valle en los trabajos citados como referencia acerca del estilo Nievería (cuadro elaborado por el autor).

Estilo	Componentes (influencias)		Forma	Variante
Nievería	Nazca 9	Vasijas cerradas	Botella	con cuello (pico)
				antropomorfas
		Cántaro		
		Vasijas abiertas	Vasos	altos y sin decoración, con base de pedestal ( <i>tall plain slipped goblets with pedestal bases</i> )
	Cuencos		llanos, de lados convexos	
	Estilos de la sierra		Sin especificar	de cuellos altos y cilíndricos
	Chakipampa		Sin especificar	
	Ocros		Sin especificar	
Lima		Sin especificar		
Imitaciones de:				
Estilos de la sierra	Vasijas cerradas	Botella	cantimplora; de un solo pico, antropomorfas; de tres niveles	
Robles Moqo		Botella	figurativa	
Moche V		Botella	de doble pico y asa puente (tipo DeVault)	
Asociado a:				
Lima	Vasijas cerradas	Botellas	con collar ( <i>collared jars</i> )	
			con asas ( <i>handled jugs</i> )	
Chakipampa B	Vasijas abiertas	Cuenco	<i>Ayacucho Serpent Bowl</i>	
		Cuenco	de lados convergentes	
Cocc. reductora	Vasijas cerradas	Botellas	asa cintada lateral, cuerpo escultórico	
Arcaísmo		Botella	de asa estribo	

Fig. 1.2. Componentes del estilo Nievería, estilos asociados e imitaciones según Menzel (1964: 32-33) (cuadro elaborado por el autor).

Guerrero y Palacios	1994	Pasta	A	B	C	D	E	F
		Color de pasta	Marrón	Naranja/rojo	Naranja Amarillo ante	Reducida de B	Gris	Naranja claro
Segura	1999, 2001	Alfar	Alfar A	Alfar B	Alfar C	Alfar D	Alfar E	Indeterminado
		Pasta	I	I	II	III	IV	V
		Color de pasta	Naranja Rojo claro	Versión reducida de A	Marrón oscuro	Naranja Gris-Naranja	Naranja Marrón	Naranja
Ccencho	2001, 2006	Alfar	Pucllana Naranja	Pucllana Gris	Pucllana Marrón	Pucllana Nievería	Pucllana Fino	
		Color de pasta	Naranja	Gris	Marrón rojizo oscuro	Rojizo amarillento	Rojizo amarillento	
			Amarillo			Rojo claro		

Fig. 1.3. Alfares definidos por Guerrero y Palacios (1994), Segura (1999, 2001) y Ccencho (2001, 2006). Los cuadros en gris equivalen a la pasta que caracteriza a la cerámica de estilo Nievería según Menzel (1964: 32) (cuadro elaborado por el autor).

Forma	Gayton (1927)	Fernández Sotomayor (1960)	Menzel (1964)	Shady (1980)	Guerrero y Palacios (1994)	Segura (1999, 2001)	Coencho (2001, 2006)
Botellas	Jars Vase	Botellas/cántaros	Jars/jugs Bottles	Cántaro	Jarras Boles	Botellas	Botellas
Botellas cantimplora			<i>Canteen shaped flasks</i>		Vasijas cantimplora		
Ollas (con cuello)	Bowls			«Boles» Ollas	Ollas con cuello	Ollas con cuello	Ollas con cuello
Ollas con cuello y asas					Ollas sin cuello	Ollas sin cuello	Ollas sin cuello
Ollas sin cuello	<i>Low lenticular lipless bowls with ribbon handles</i>	Fuentes					
Ollas sin cuello y asas							
Cántaros		Urnas		Cántaros	Cántaros	Cántaros	Cántaros
Cántaros mamiformes	<i>Mammiform jars</i>	Cántaros mamiformes		Cántaros mamiformes	Cántaros mamiformes	Cántaros mamiformes	Cántaros mamiformes
Teteras	<i>Low dishes/jars/plates with handle and spout</i> <i>Very low lenticular bowls</i>	Cancheros/cancheros de mango y pico		Cancheros			Cancheros
Platos		Platos	<i>Flasks</i>	Platos	Platos	Platos	Platos
Tazas			<i>Goblets</i>	Tazas			
Cuencos		Vasos/Keros	<i>Bowls</i>	Cuencos	Cuencos/boles	Cuencos	Cuencos
Vasos				Vasos	Vasos		
Vasijas cerradas							
Vasijas abiertas							

Fig. 1.4. Nomenclatura de las principales categorías formales tratadas por los investigadores cuyos trabajos han sido citados como referencia acerca del estilo Nievería (cuadro elaborado por el autor).

	Secuencia Maestra, valle de Ica (Menzel 1977)	Fases de Moche (Shimada 1994)	Secuencia lima, valle del Rímac (Patterson 1966)	Secuencia nazca (Proulx 2000)
1200				
1000				
900	HM 4			
800	HM 3			↑ Nasca 9
700	HM 2B			Nasca 8
600	HM 2A	Moche V		Nasca 7
	HM 1B			Nasca 6
	HM 1A		Lima 9	
500	PIT 8	Moche IV	Lima 8	
			Lima 7	
400	PIT 7C			Nasca 5
	PIT 7B	Moche III	Lima 6	
300	PIT 7A		Lima 5	
200	PIT 6	Moche II	Lima 4	Nasca 4
				Nasca 3
100	PIT 5	Moche I		
	PIT 4			Nasca 2
d.C. 0				
a.C.	PIT 3D			Nasca 1
	PIT 3C			
100				

Fig. 1.5. Cuadro comparativo de las secuencias cronológicas relativas para los estilos Mochica, Lima y Nasca en relación con la Secuencia Maestra de Ica según Larco (Shimada 1994: table 1), Patterson (1966), Dawson (Rowe 1960) y Menzel (1977) (cuadro elaborado por el autor).

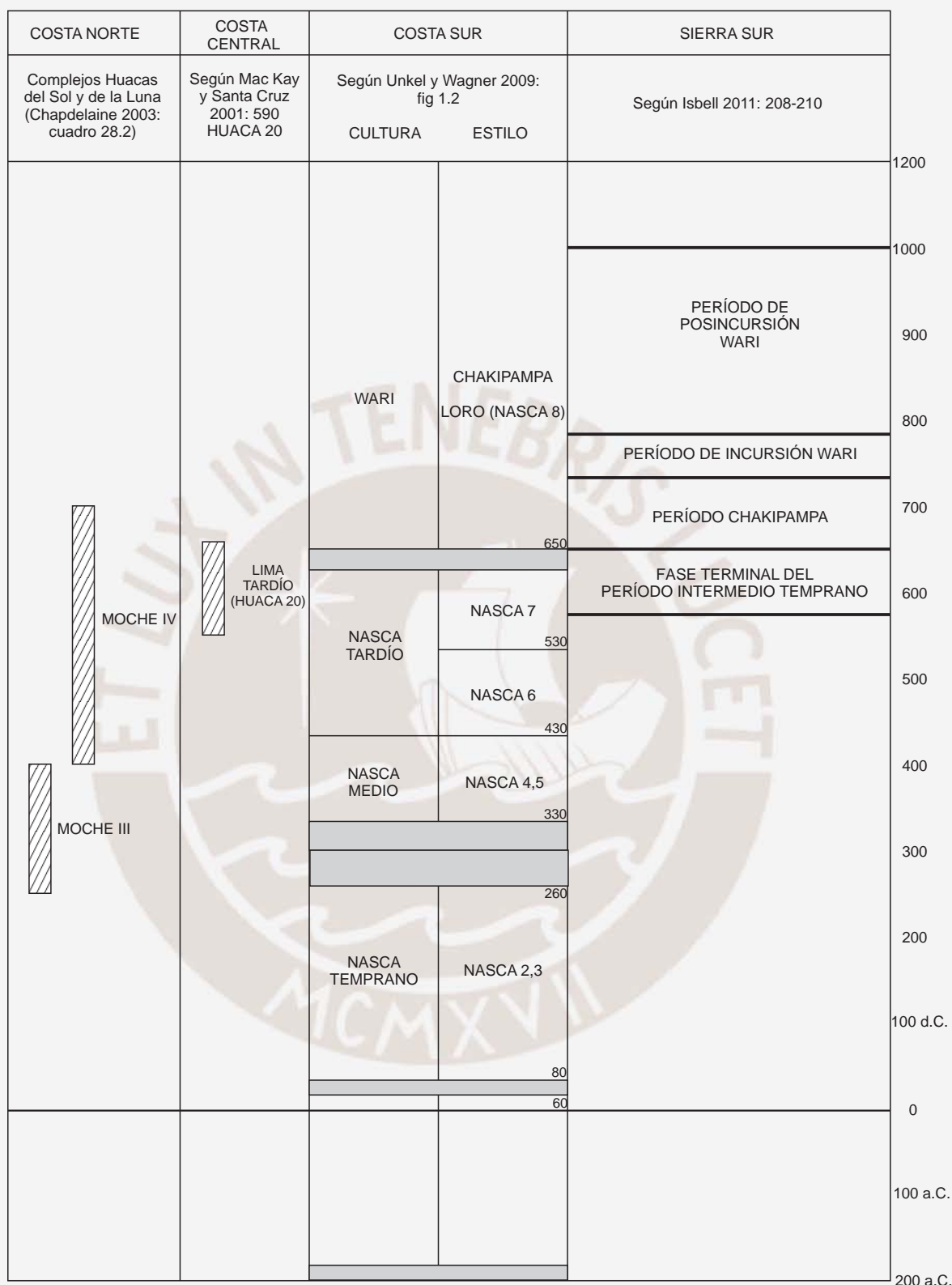


Fig. 1.6. Cuadro comparativo de las secuencias cronológicas para la costa norte, central, sur y sierra sur con fechados radiocarbónicos calibrados a 2 sigmas según Chapdelaine (2003: cuadro 22.2); Mac Kay y Santa Cruz (2001: 590); Reindel y Wagner (2005: fig. 1.1) e Isbell (2011: 208-210; propuesta de Haeblerli) (cuadro elaborado por el autor).

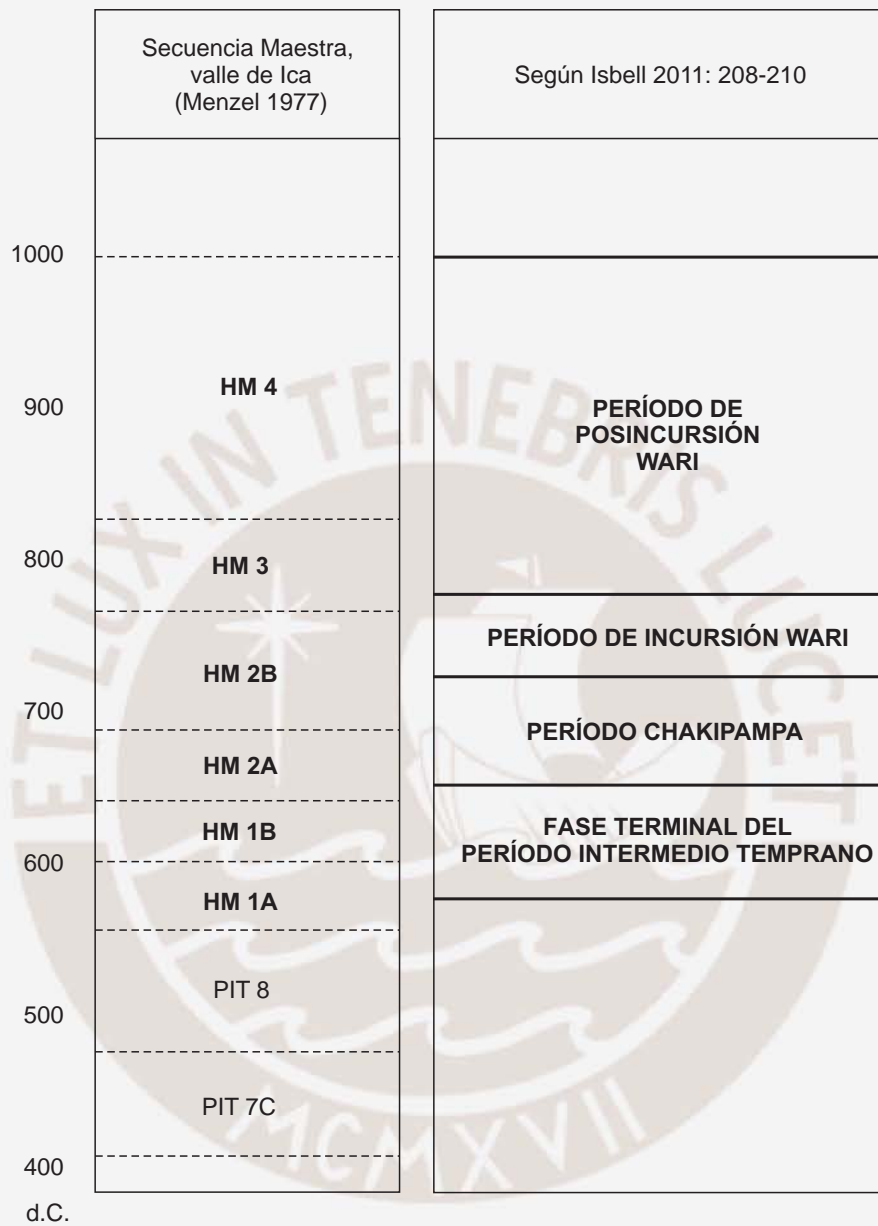


Fig. 1.7. Comparación de la secuencia planteada para el Horizonte Medio por Menzel (1977) y la propuesta de Haerberli (Isbell 2011).

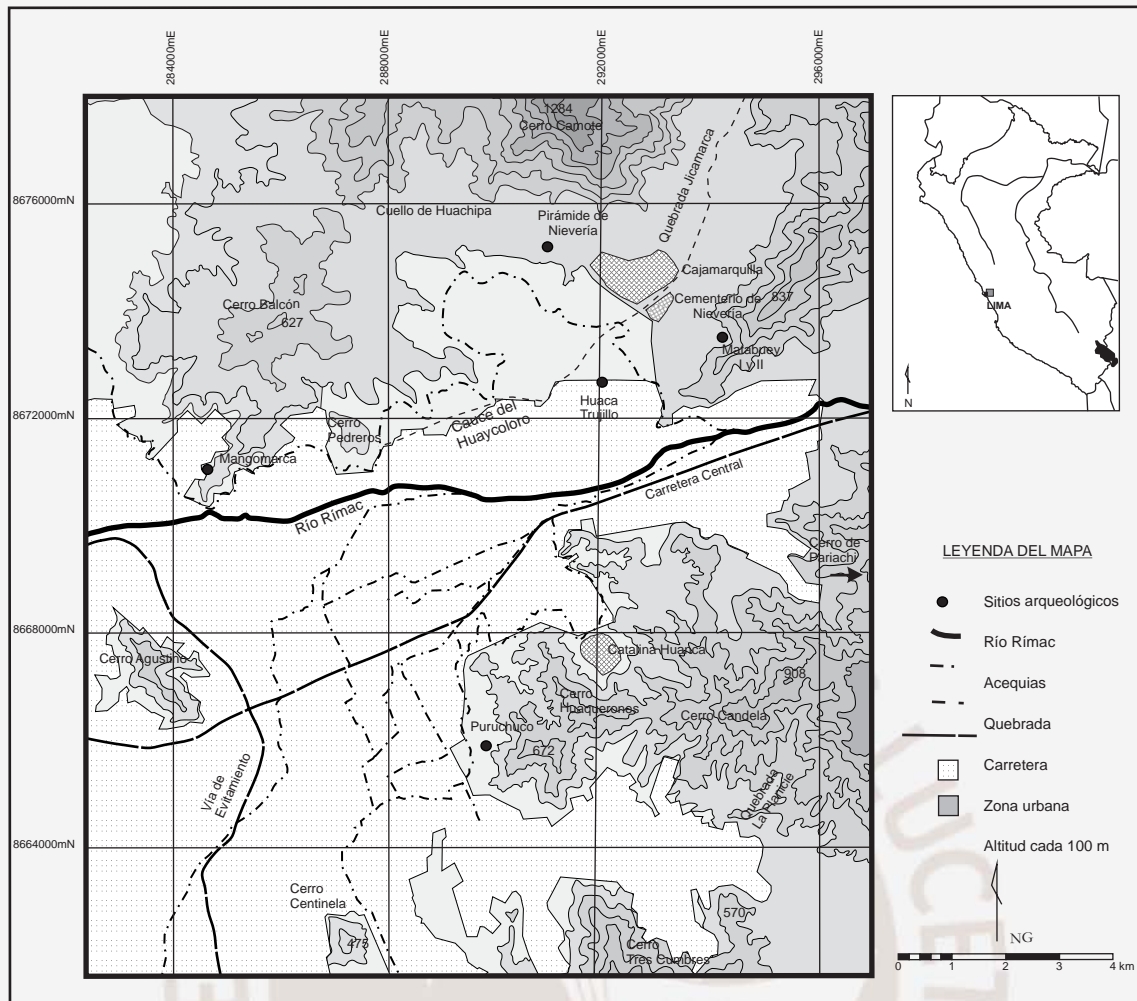


Fig. 2.1. Mapa del valle medio del Rímac, con la ubicación de los sitios de Cajamarquilla, Cementerio de Nievería y Catalina Huanca (dibujo elaborado por Gabriela Cervantes, basado en la Carta Nacional 24j).



Fig. 2.2. Foto satelital del complejo de Cajamarquilla, rodeado por asentamientos humanos (fuente: Google Earth 2014).





Fig. 2.3. Arriba: foto aérea de Cajamarquilla (SAN 1944). El Conjunto Arquitectónico Julio C. Tello se ubica hacia el lado superior izquierdo.



Fig. 2.4. Abajo: plano del Conjunto Arquitectónico Tello levantado por el PAC. El sector II corresponde al montículo principal.

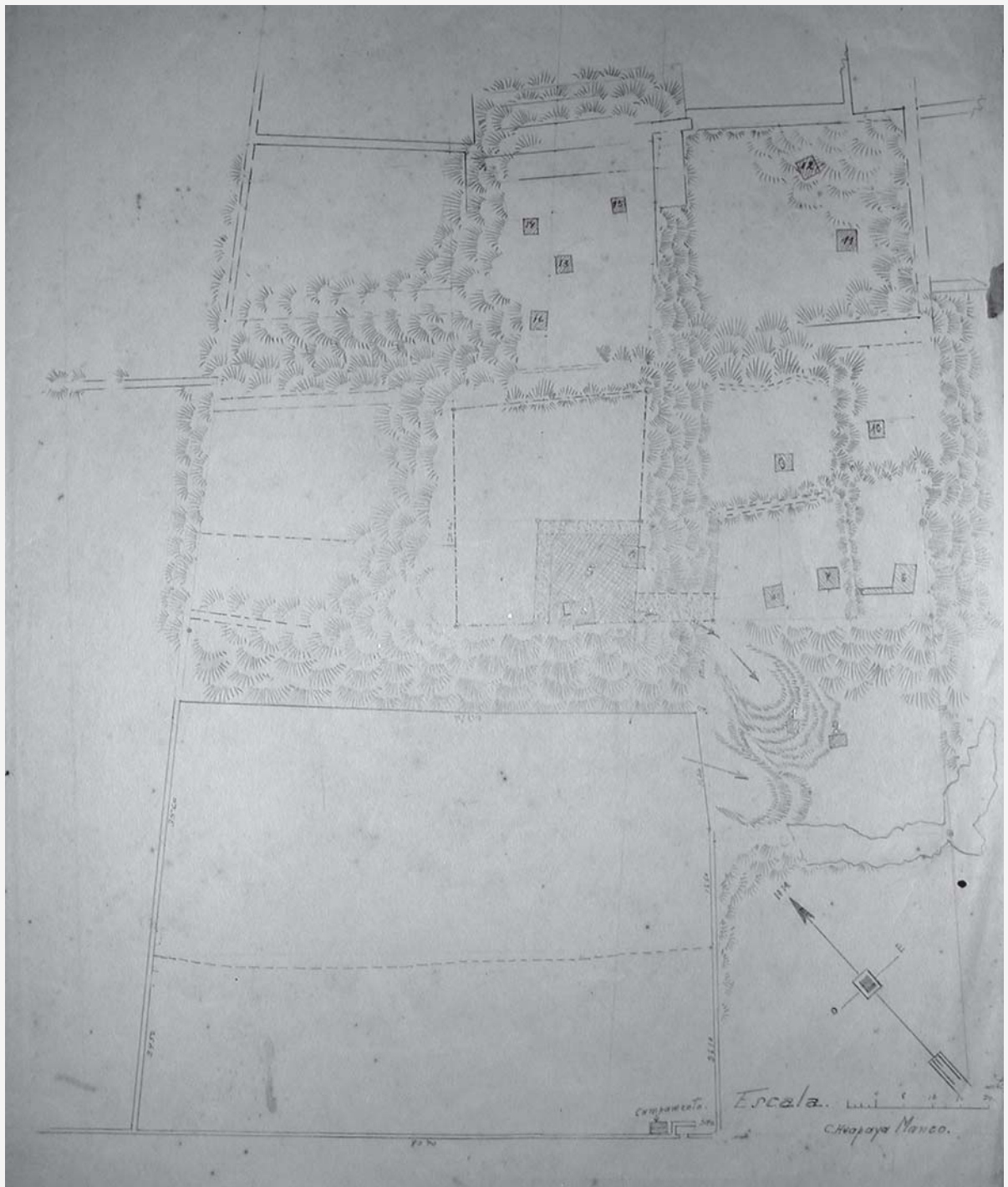


Fig. 2.5. Croquis de las áreas intervenidas por Huapaya en la «Huaca A» (Conjunto Tello) (de Archivo Tello MAA-UNMSM 1944-1945: lám. IV, código 1009).

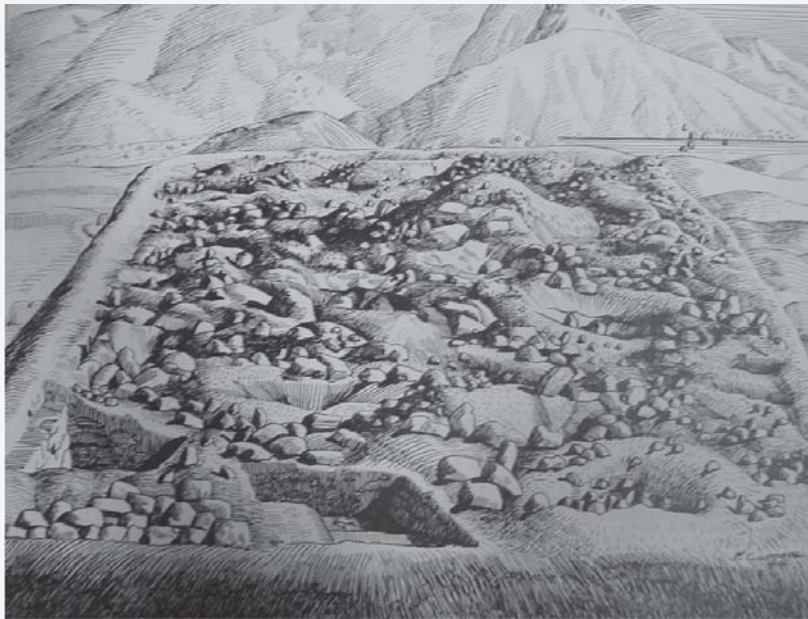
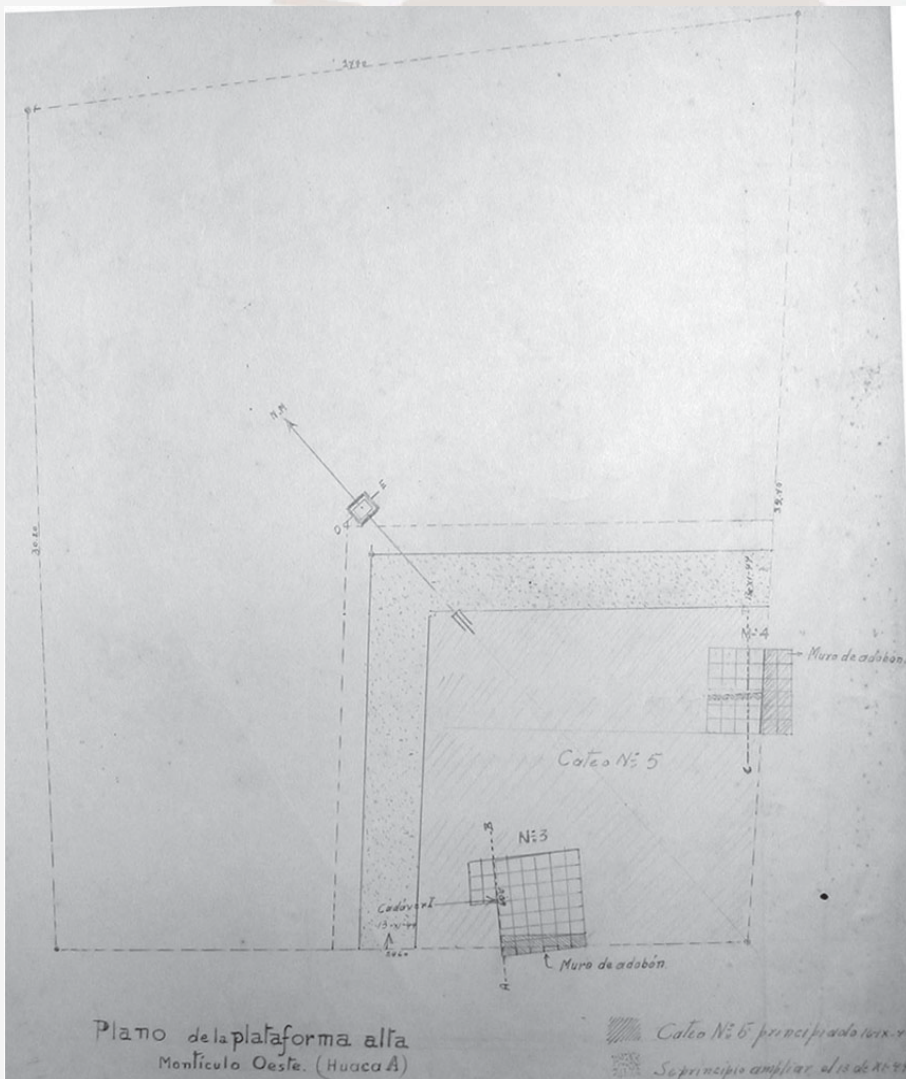


Fig. 2.6. Vista de la cima de la Huaca A, con los cateos 3 y 4 en primer plano. Dibujo realizado por Cirilo Huapaya en 1944 (de Archivo Tello MAA-UNMSM 1944-1945: código 982). Por la orientación, se trata de una vista al noreste.

Fig. 2.7. Abajo, detalle de planta de las excavaciones en el Cateo 5, que incluye a los cateos 3 y 4 (de Archivo Tello MAA-UNMSM 1944-1945: código 1007).



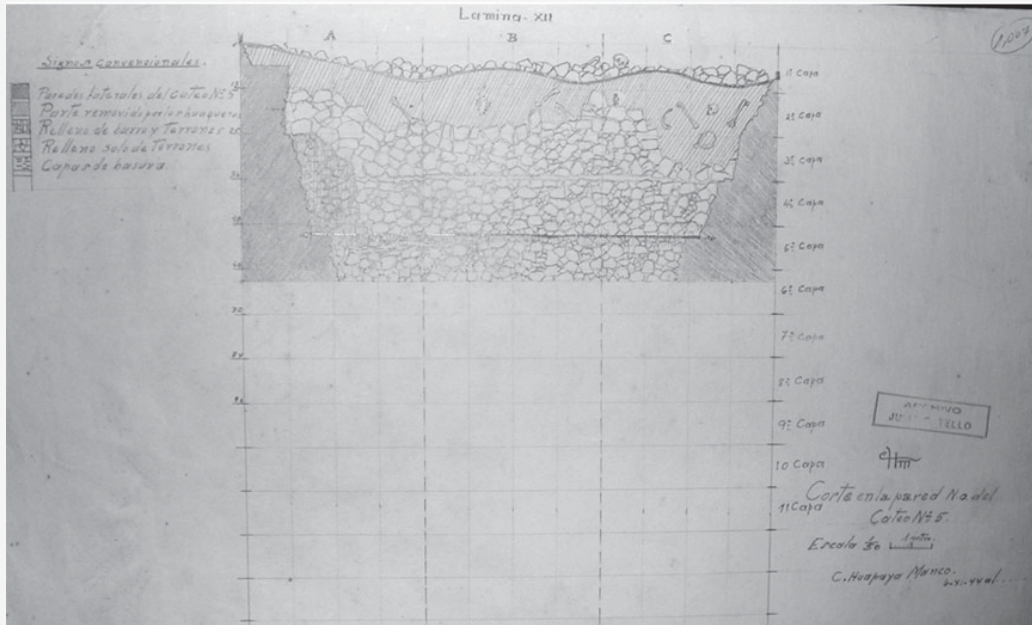


Fig. 2.8. Perfil del Cateo 5 en la plataforma principal de la Huaca A. Dibujo realizado por Cirilo Huapaya (de Archivo Tello MAA-UNMSM 1944-1945: código 1007).

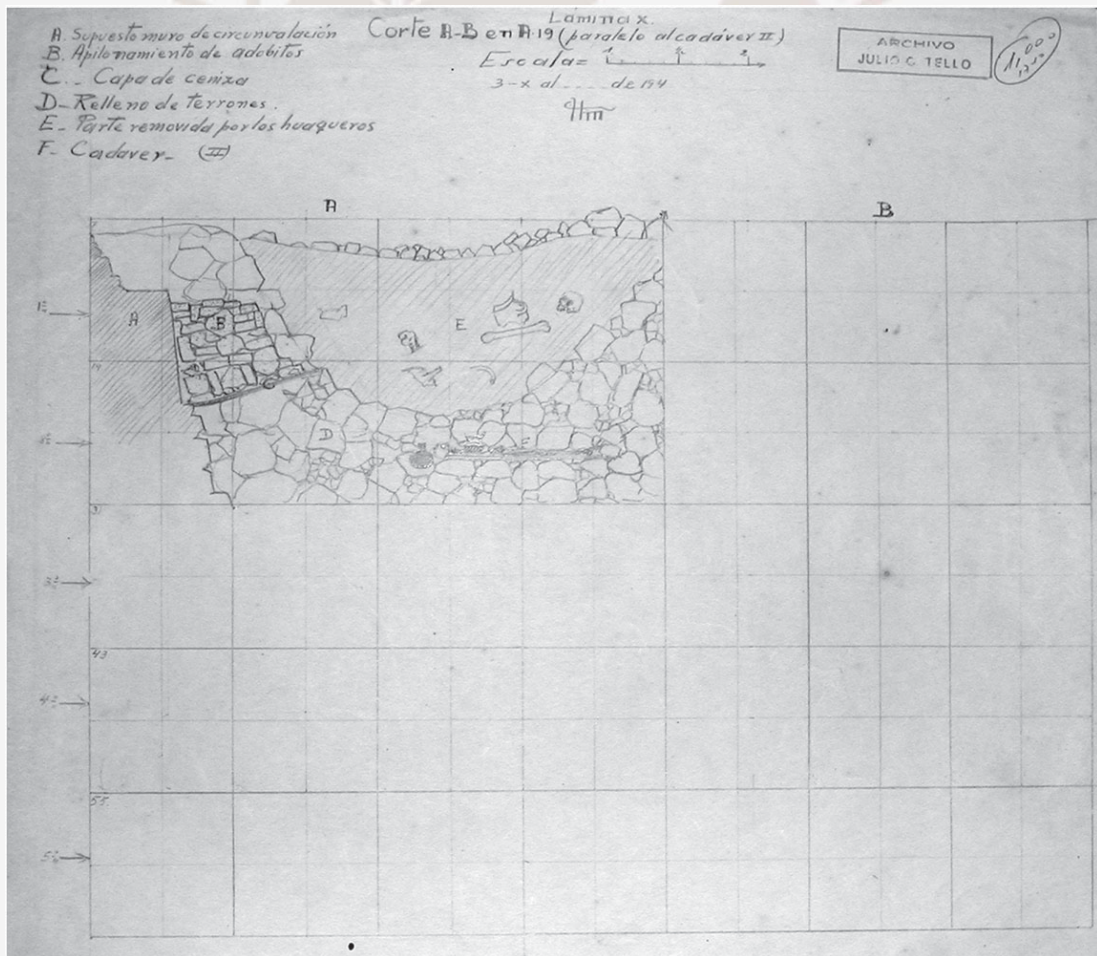


Fig. 2.9. Perfil noroeste del Cateo 5 que muestra un contexto funerario (Cadáver II). La altura es, aproximadamente, similar en los ocho contextos hallados por Huapaya (de MAA-UNMSM 1944-1945: lám. X, código 1000).

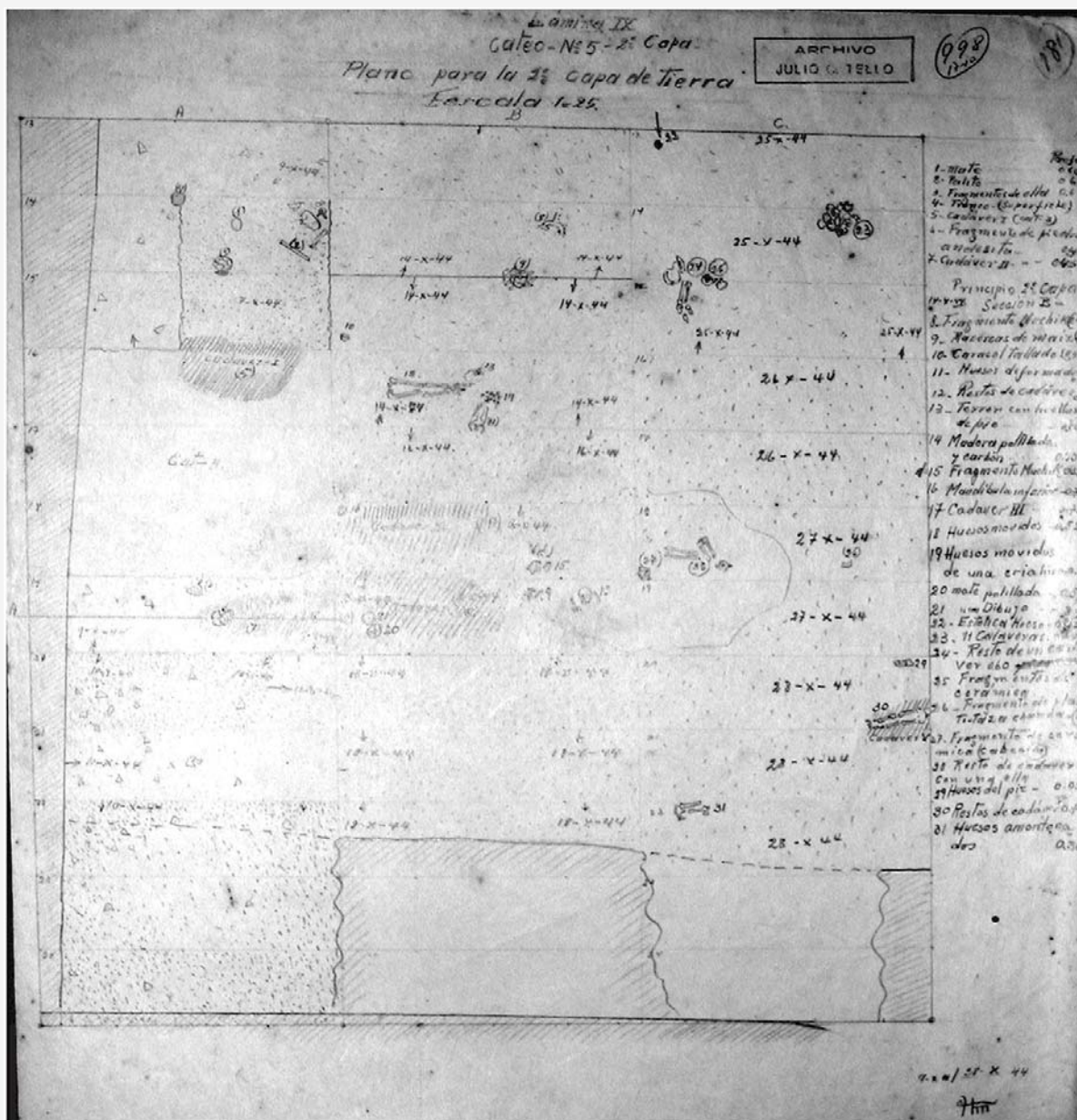


Fig. 2.10. Detalle de planta de las excavaciones en el Cateo 5 (de Archivo Tello MAA-UNMSM 1944-1945: código 154).

a) Trabajos de Cirilo Huapaya (1944-1945)		b) Trabajos de la MAI (1968-1972)	
Contextos funerarios con individuos en posición extendida	Esp.	Contextos funerarios con individuos en posición extendida	Esp.
Cadáver I	3	T-I	1
Cadáver II	6	T-II	3 (4?)
Cadáver III	1	T-III	1
Cadáver IV	5	T-IV	2
Cadáver V	?	T-V	1
Cadáver VI	?	T-VI	?
Cadáver VII	?	T-VII	?
Cadáver VIII	?	T-VIII	5?
NMV= 15		NMV= 13	

c) Trabajos del PAC (1996-1997)					
Contextos funerarios con individuos en posición extendida	Esp.	Contextos funerarios con individuos flexionados sentados	Esp.	Contextos funerarios con individuos colocados en cámaras	Esp.
CF 8	5	CF 3	3	A	
CF 9	2	CF 4	1	B	
CF 10	1	CF 5	1	C	n.e*
		CF 11	3	D	5
		CF 12	2	E	
		CF 13	2	F	2
				G	
NMV= 8		NMV= 12		NMV= 7	

\* No especificado

Fig. 2.11. Contabilidad general de las vasijas de cerámica recuperadas por contexto funerario en el Conjunto Julio C. Tello de Cajamarquilla (la nomenclatura corresponde a cada proyecto) (cuadro elaborado por el autor).

a) Piezas y contextos funerarios con mención confirmada en la literatura.

Contexto funerario	Cantidad de vasijas asociadas	Número de inventario en el MSAJB-P	Rótulo original de los trabajos de la MAI
T-II	3	CE 0143	H.T. Tomba 2 1969 A-2
		CE 0146	H.T Tomba 2 1969 C-1(M.N)
		CE 0159	H.T. Tomba 2 1969 A-1
T-III	1	CE 0154	H.T Tomba 3 1969 1
T-IV	1	CE 0144	H.T 1969 Tomba IV 1
T-V	1	CE 0140	HT(1969) TV 1
T-VIII	4	CE 0141	HT1969 T.VIII-1
		CE 0155	H.T. 1969 TVIII-2
		CE 0168	H.T. 1969 T VIII-3
		CE 0171	H.T 1969 T VIII 5
Subtotal	10		

b) Piezas y posibles contextos funerarios con mención no confirmada en la literatura agrupados por los datos de los rótulos.

Contexto funerario	Cantidad de vasijas asociadas	Número de inventario en el MSAJB-P	Rótulo original de los trabajos de la MAI
TVIII (?)	1	CE 0169	H.T 1969 T VIII-2 (*)
T-9	1	CE 0149	H.T.1970 T9.3
T-11	1	CE 0148	H.T. 1970 T.11/1
T-12	1	CE 0147	H.T.1970 T.12-1
T-13	2	CE 0153	H.T 1970 T.13-1
		CE 0167	H.T.70 T.13-1
Subtotal	6		

(\*) Probablemente contenga un error, pues duplica el código de la pieza CE-0155. En todo caso, no está descrito en la literatura pertinente.

c) Piezas y posibles contextos funerarios con mención no confirmada en la literatura agrupados por los datos (años) consignados en los rótulos.

Año	Cantidad de vasijas asociadas	Número de inventario en el MSAJB-P	Rótulo original de los trabajos de la MAI
1968	1	CE 0165	H.T. 68 α 14
1968/9	4	CE 0172	T. H 1968/9 α 4
1968/69		CE 0161	H.T- 1968/69 α 25
1968/69		CE 0145	H.T 1968/69 MN3
1968/9		CE 0174	H.T Q3 1968/9
1969	5	CE 0151	H.T Tomba 2 1969 A-3
1969		CE 0152	H.T 69 TV 1
1969		MSP-1047	HT 1969 α 6
1969		CE 0156	HT-1969 T-24
1969		CE-2786	ht1969 α 24
1971	2	CE 0162	W.T. 1971
1971		CE 0173	H.T. 1971 8p1
Subtotal	12		

d) Piezas sin asociación segura a un contexto funerario según la literatura consultada y los datos de los rótulos.

Contexto funerario	Cantidad de vasijas asociadas	Número de inventario en el MSAJB-P	Rótulo original de los trabajos de la MAI
	9	CE 0150	H.T
		CE 0157	H.T 168 X10
		CE 0158	H.T. BIB 1
		CE 0160	H.T. 2? Paccha
		CE 0163	HT. Config-1
		CE 0164	H T Ritrati ?????
		CE 0166	H.T. ?????
		CE 0170	H.T Maranga Niev 1
		CE 0142	H.T ovoidale
Subtotal	9		
Total	49		

Fig. 2.12. Vasijas de cerámica asociadas o no a contextos funerarios recuperadas por la MAI procedentes del Conjunto Julio C. Tello, Cajamarquilla (cuadros elaborados por el autor).



Fig. 2.13. Área del Cementerio de Nievería, al lado del Huaycoloro y bordeado por el canal de Nievería por el sur y el oeste (foto área SAN 340-1631).

Fuente consultada	Referencias citadas
Uhle 1910; 1998 [1910]: 246, 249	Ubicado en la parte alta de Lima, cerca de Nievería.
D'Harcourt 1922: 110	Ubicado a 600 o 700 metros de las ruinas.
Gayton 1927: 306	Situación en terrenos de la antigua hacienda Nievería.
Muelle 1935: 135-136	En la llanura de Pumapampa, sobre la margen sureste del Río Seco; área muy profanada desde antes de Uhle.
Villar Córdova 1938: 50	Ubicación contigua al complejo.
Senado de la República 1953: 51	Frente al barranco por el lado sur de las ruinas [de Cajamarquilla].
Stumer 1954c: 227	Área saqueada, inútil para cualquier trabajo arqueológico y ocupada por terrenos agrícolas.
Kroeber 1954: 11	Ubicada cerca de las grandes ruinas de Cajamarquilla
Buse 1959: 5	Ubicación contigua al complejo.
Sestieri 1963: 171	Ubicación fuera de la «ciudad» y al suroeste de la misma.
Patterson 1966: 113	Ubicado al borde de Cajamarquilla, y entre el poblado y Huaca Trujillo
Cerulli 1967: 354	Se reitera la ubicación mencionada por Sestieri.
Milla 1974: ficha 188, p. 637	Ubicación frente a las ruinas y junto al cauce del río Huaycoloro.
Silva y García 1997: 199	Ubicación respecto del cauce del Huaycoloro. Este bordea el lado norte del Cementerio.

Fig. 2.14. Resumen de las referencias en la literatura acerca de la ubicación del Cementerio de Nievería (cuadro elaborado por el autor).



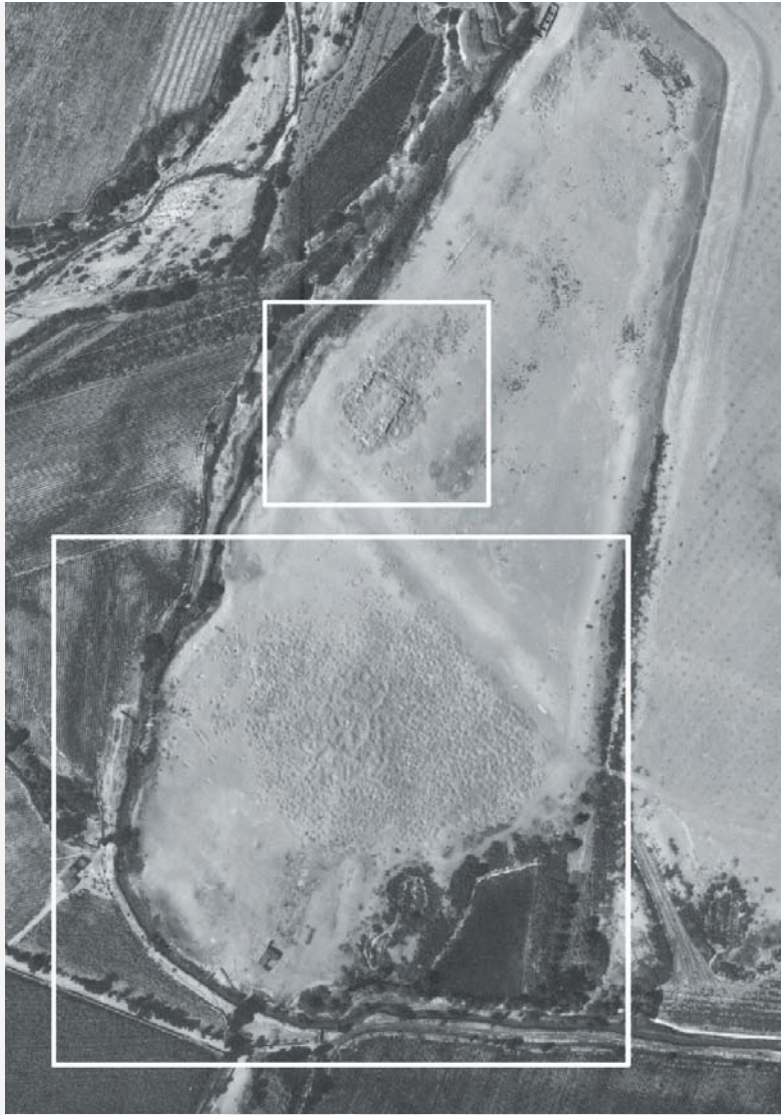


Fig. 2.15. Detalle de la Fig. 2.2



Fig. 2.16. Foto de la estructura cuadrangular tardía. Este montículo ha sufrido daños en tiempos recientes (foto del autor, 2003).



Fig. 2.17. Foto aérea satelital del asentamiento humano «Praderas de Huachipa», ubicado sobre el Cementerio de Nievería, correspondiente al 2002. Al parecer, la carretera también está sobre el yacimiento (fuente: Google Earth 2014).

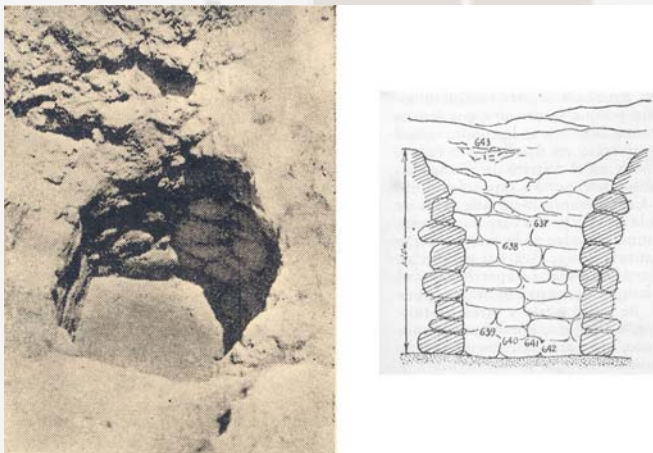


Fig. 2.18. Foto y perfil de la estructura tipo cámara encontrada por Muelle (1935: figs. 1, 3).



Fig. 2.19. Objetos recuperados por Muelle en la estructura de tipo cámara del Cementerio de Nievería (de Muelle 1935: fig. 2).

Años	Objetos de cerámica	Objetos en otro tipo de soporte	Objetos en barro (barro cocido)	Objetos en soporte no definido	Total de entradas
1905	45	93	17	2	157
1906	200	181	29		410
1907	2				2
1908	330	500	26		856
Total	577	774	72	2	1425
Porcentaje	40,49%		59,51%		100,00%

Fig. 2.20. Contabilidad general de los objetos recuperados por Uhle en el Cementerio de Nievería entre 1905 y 1908 (datos de MNAHP 1963, cuadro elaborado por el autor).

Años	Cantidad de piezas recuperadas por Uhle	No habidas	Cantidad de piezas recuperadas
1905	45	15	30
1906	200	170	30
1907	2	2	0
1908	330	268	62
Total	577	405	122
Porcentaje	100,00%	78,69%	21,31%

Fig. 2.21. Piezas de cerámica recuperadas del Cementerio de Nievería (datos de MNAHP1963, cuadro elaborado por el autor).

a) Vasijas del Cementerio de Nievería asociadas a extierros en posición extendida.

Rótulo de vasija (según inventario MNAAHP)	Tipo de pieza (según nomenclatura original)
35-5429	Botella
35-5430	Botella
35-5431	Cántaro
35-5433	Cántaro
35-5435	Cántaro
35-5753	Botella
35-6022	Cántaro
35-6023	Olla
35-6025	Cántaro
35-6026	Botella
Subtotal	10

b) Vasijas del Cementerio de Nievería asociadas a extierros en cámaras.

Rótulo de vasija (según inventario MNAAHP)	Tipo de pieza (según nomenclatura original)
33-641	Cantarito
35-5494	Botella
35-5497	Botella
35-5498	Botella
35-5504	Tetera
35-5585	Botella
35-5587	Botella
35-5588	Botella
35-5589	Botella
35-5592	Cántaro
35-5695	Botella
35-5709	Taza
35-5710	Tetera
35-5758	Botella
35-5759	Cántaro
35-5760	Botella
35-5903	Cántaro
35-5912	Olla
35-5914	Cántaro
35-5917	Cántaro
Subtotal	20

c) Vasijas del Cementerio de Nievería asociadas a extierros de las dos formas.

Rótulo de vasija (según inventario MNAAHP)	Tipo de pieza (según nomenclatura original)
35-6057	Botella
35-6055	Botella
35-5713	Cántaro
Subtotal	3

Fig. 2.22. (esta página y la siguiente) Relación de las vasijas recuperadas del Cementerio de Nievería (cuadros elaborados por el autor).

d) Vasijas del Cementerio de Nievería sin contexto asociado específico.

Rótulo de vasija (según inventario MNAAHP)	Tipo de pieza (según nomenclatura original)
35-995	Cántaro
35-998	Botella
35-999	Botella
35-1000	Botella
35-1001	Botella
35-1002	Botella
35-1003	Botella
35-1004	Botella
35-1005	Botella
35-1007	Botella
35-1010	Botella
35-1013	Vaso
35-1015	Botella
35-1017	Botella
35-1018	Botella
35-1019	Botella
35-1020	Botella
35-1021	Cacerola
35-1022	Cacerola
35-1023	Olla
35-1024	Olla
35-1027	Botella
35-1028	Botella
35-1030	Olla
35-1032	Botella
35-1033	Botella
35-1034	Botella
35-1035	Botella
35-1036	Botella
35-1038	Plato
35-1398	Botella
35-1402	Botella
35-1403	Vaso
35-1404	Botella
35-1407	Botella
35-1408	Botella
35-1438	Botella
35-1454	Botella
35-1455	Botella
35-1456	Botella
35-1472	Botella
35-1478	Botella
35-1479	Botella
35-1490	Botella
35-1492	Botella

35-1493	Botella
35-1494	Botella
35-1496	Botella
35-1498	Botella
35-1499	Botella
35-1507	Botella
35-1508	Botella
35-1509	Botella
35-1511	Botella
35-1534	Olla
35-1535	Olla
35-1536	Olla
35-1542	Cántaro
35-1596	Botella
35-1606	Botella
35-5018	Botella
35-5019	Botella
35-5024	Cántaro
35-5025	Botella
35-5027	Botella
35-5031	Botella
35-5033	Botella
35-5035	Cántaro
35-5036	Cántaro
35-5055b	Copa
35-5120	Botella
35-5121	Botella
35-5122	Cacerola
35-5123	Botella
35-5234	Botella
35-5235	Botella
35-5243	Cántaro
35-5289	Botella
35-5290	Botella
35-5291	Botella
35-5293	Botella
35-5294	Botella
35-5296	Botella
35-5297	Cántaro
35-5298	Cántaro
35-5303	Cántaro
35-5756	Botella
35-8844	Forma no especificada
35-8845	Forma no especificada
35-8846	Forma no especificada

Subtotal 93

Total 123



Fig. 3.1. Foto aérea compuesta del complejo Catalina Huanca y su entorno inmediato (1944, Fotos SAN 340-1649, 340-1698, 340-1647, 340-1696).



Fig. 3.2. Vista del frontis principal (noroeste) del montículo central de Catalina Huanca (foto del autor, 2003).



Fig. 3.3. Vista general del estado del complejo Catalina Huanca en el 2003 (foto del autor).



Fig. 3.4. Foto de detalle (SAN 340-1698). Obsérvese la cara sur del montículo principal y el área saqueada ubicada en el lado izquierdo (1944).



Fig. 3.5. Foto de detalle (SAN 15112-57-5-1574). Obsérvese la cara sur del montículo principal y el área saqueada ubicada en el lado izquierdo (1960).





Fig. 3.6. El frontis sur del montículo principal de Catalina Huanca. Nótese el área removida, al parecer, por excavaciones controladas. A la derecha del área se aprecia parte del revoque original (foto del autor, 2003).

a) Piezas correspondientes a los contextos funerarios del Cut 3.

Contexto funerario	Vasijas recuperadas	Número de inventario en el MSAJB-P	Rótulo original
T-1	2	CE 0132	t-3/T-1
		CE 0130	∇-3/T-1
Tt-4	2	CE 0136	∇-3/t4-1
		CE 0131	∇-3/T9-1?
Subtotal	4		

Fig. 3.7. (en esta página y la siguiente). Relación de los lotes por contexto funerario según los rótulos consignados en las vasijas de la Colección Stumer y en las publicaciones (cuadros elaborados por el autor).

b) Piezas correspondientes a los contextos funerarios del Cuf 4.

Contexto funerario	Vasijas recuperadas	Número de inventario en el MSAJBP	Rótulo original
T-1	1	CE 0045	∇-4
T-2	1	CE 0069	∇4/12-2
T-3	5	CE 0316	∇-4/13-12
		CE 0018	∇-4/13-1
		CE 0065	∇-4/13-2
		CE 0134	Cut 4-T3
T-4	1	CE 0096	∇4/T3
		CE 0025	∇-4/14-4
T-5	8	CE 0038	∇-4/15-5
		CE 0092	∇-4/15-10
		CE 0033	∇-4/15-9
		CE 0089	∇-4/15-6
		CE 0138	∇-4/15-7
		CE 0041	∇-4/15-3
		CE 0121	∇4/15-2
T-6	1	CE 0124	M-4/T5-1
		CE 0126	∇-4/16-1
T-7	5	CE 0023	∇-4/T7-1
		CE 0068	∇-4/17-2
		CE 0047	∇-4/T7-5
		CE 0081	∇-4/17-3
T-9	3	CE 0113	∇4/17-1
		CE 0013	∇4/T9-4
		CE 0029	∇-4/19-1
T-11	3	CE 0094	∇-4/19-2
		CE 0071	∇-4/11-1
T-12	5	CE 0031	∇-4/11-3
		CE 0006	∇4/11-2
		CE 0030	∇-4/12-3
		CE 0058	∇4/T12-2
T-13	2	CE 0079	∇-4/T12-5
		CE 0090	∇-4/12-4
		CE 0080	∇-4/T12-1
T-14	4	CE 0026	∇-4/13-1
		CE 0043	∇-4/13-5
		CE 0019	∇-4/14-4
		CE 0054	∇-4/14-3
T-15	5	CE 0060	∇-4/T14-1
		CE 0107	∇4/14-2
		CE 0017	∇-?/15-3
		CE 0051	∇-4/15-4
		CE 0117	∇-4/15-1
T-16	6	CE 0066	∇-4/T15-5
		CE 0101	∇-4/15-2
		CE 0083	∇-4/T16-4
		CE 0084	∇-4/T16-5
		∇-116-1	∇4/16-1
		MSP-71	∇4
T-17	2	CE-0024	∇4/129-2
		CE 0021	∇4/14-12?
T-20	5	CE 0008	∇-4/17-2
		CE 0056	∇-4/17-1
T-22	1	CE 0091	∇-4/120-4
		CE 0016	∇-4/120-1
		CE 0119	∇-4/120-7
		CE 0122	∇4/120-6
T-22	1	CE 0123	∇-4/120-5
		CE 0020	∇4/122-10

T-24	11	CE 0034	∇-4/124-11
		CE 0097	∇-4/124-9
		CE 0098	∇4/T24-7
		CE 0039	∇-4/124-3
		CE 0040	∇-4/124-4
		CE 0032	∇-4/124-10
		CE 0052	∇-4/124-6
		CE 0055	∇-4/124-8
		CE 0086	∇-4/T24-5
		CE 0077	∇4/124-2
		CE 0108	∇4/124-1
T-25	5	CE 0110	∇4/125-7
		CE 0078	∇4/T25-4
		CE 0048	∇-4/125-2
		CE 0050	∇-4/125-6?
		CE 2737	∇-4/125-1
T-28	4	CE 0053	∇4/128-1?
		CE 0073	∇4/128-6
		CE 0011	∇4/128-11
T-29	3	CE 0103	∇4/128-3
		CE 0036	∇4/129-9
		CE 0057	∇-4/129-1
T-31	3	CE 0059	∇4/129-7
		CE 0076	∇4/T31-?
T-32	3	CE 0093	∇4/131-3
		CE 0120	∇4/131-1
T-33	4	MSP-412	∇4/132-11
		MSP-414	∇4/132-2
T-34	3	CE 0063	∇/T32-10
		CE 0061	∇4/133-16
		CE 0037	∇4/133-3
		CE 0064	∇-4/133-17
T-35	2	CE 0125	∇4/133-2
		CE 0049	∇-4/134-1?
		CE 0088	∇4/134-6
T-38	3	CE 0009	∇-4/T34-5
		CE 0035	∇-4/135-3
T-40	1	CE 0087	∇-4/135-4
		CE 0067	∇-4/138-2
T-41	2	CE 0114	∇4/T38-2
		CE 0003	∇4/138-1
T-42	1	CE 0109	∇4/140-1
		CE 0104	∇4/141-1
T-43	5	CE 0127	∇4/141-2
		CE 0022	∇4/143-4
		CE 0028	∇-4/143-4
		CE 0042	∇4/143-2
		CE 0085	∇-4/T43-6
T-44	1	CE 0133	∇4/143-1
		CE 0099	∇4/144-1
T-45	6	CE 0021	∇4/145-7
		CE 0027	∇4/145-4
		CE 0014	∇4/145-2
		CE 0313	∇4/145-1
T-47	1	CE 0001	∇4/145-6
		CE 0118	∇4/145-3
T-48	1	CE 0062	∇4/T47ofr
T-49	3	CE 0105	∇4/148-1
		CE 0106	∇4/149-1
		CE 0070	∇4/149-3
		CE 0015	∇4/149-?

Subtotal 120

Total 124

Procedencia	Vasijas recuperadas	Número de inventario en el MSAJB-P	Rótulo original
Cut 1 o South Face	1	CE 0112	∇4/s.face
	1	CE 0116	∇-1/S. face
	1	CE 0137	∇-4?
Cut 3	1	CE 0315	∇-3
Test pit 2	1	CE 0842	∇test pit*2
Cut 4	18	CE 0135	∇-4/misc
		CE 0074	∇-4/misc
		CE 0115	∇-4/misc
		CE 0102	∇-4/misc
		CE 0314	∇4/misc
		CE 0004	∇4/misc
		CE 0005	∇4/misc
		Sin Rótulo	∇4/misc
		CE 0128	∇-4/misc
		CE 0095	∇-4/ofr.misc.
		CE 0012	∇4
		CE 0044	∇4
		CE 0046	∇-4
		CE 0002	∇-4
		CE 0072	∇-4
CE 0075	∇4/t2?		
CE 0139	∇-4/t4-3?		
CE 0129	∇-4/Dr Stumer		
Sin referencias	5	CE 0317	gran olla
		CE 0007	huaco-retrato
		CE 0082	
		CE 0111	
Subtotal	28		

Fig. 3.8. Relación de las vasijas procedentes de otras áreas o sin contexto conocido según los rótulos consignados en las vasijas de la colección Stumer y en las publicaciones (Stumer 1957, 1958) (cuadro elaborado por el autor).

a) Cut 3. Contextos funerarios y vasijas asociadas

Contexto funerario	Número máximo de vasijas según los rótulos	Recuperada	Faltante
T-1		2	?
T-4	2	2	0
Subtotales	?	4	

b) Cut 4. Contextos funerarios con sus vasijas asociadas completas.

Contexto funerario	Número máximo de vasijas según los rótulos	Recuperada	Faltante
T-24	11	11	0
T-15	5	5	0
T-12	5	5	0
T-14	4	4	0
T-11	3	3	0
T-17	2	2	0
T-41	2	2	0
T-13	2	2	0
T-6	1	1	0
T-40	1	1	0
T-42	1	1	0
T-44	1	1	0
T-48	1	1	0
T-16		6	0
Subtotales	39	45	

c) Cut 4. Contextos funerarios con sus vasijas asociadas incompletas.

Contexto funerario	Número máximo de vasijas según los rótulos	Recuperada	Faltante
T-33	17	4	13
T-3	12	4	8
T-32	11	3	8
T-28	11	4	7
T-5	10	8	2
T-22	10	1	9
T-29	9	3	6
T-45	7	6	1
T-20	7	5	2
T-25	7	5	2
T-43	6	5	1
T-13	5	2	3
T-35	4	2	2
T-4	4	1	?
T-9	4	3	1
T-2	2	1	1
T-7		5	?
T-31		3	?
T-34		3	?
T-38	?	3	?
T-49		3	?
T-1		1	?
T-47		1	?
Subtotales	126	76	

Fig. 3.9. Relación de número máximo de vasijas (NMV) según los rótulos en las vasijas de la colección Stumer y en las publicaciones (Stumer 1957, 1958) (cuadro elaborado por el autor).

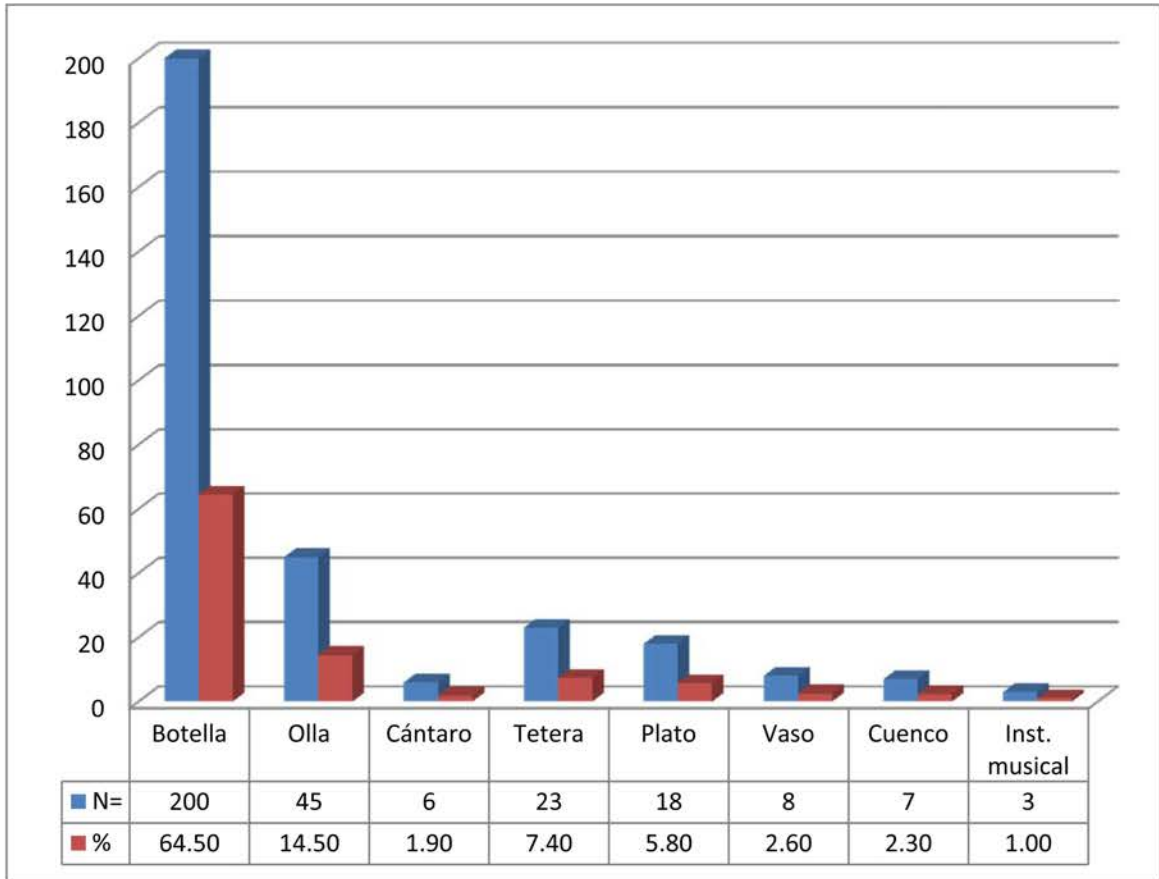


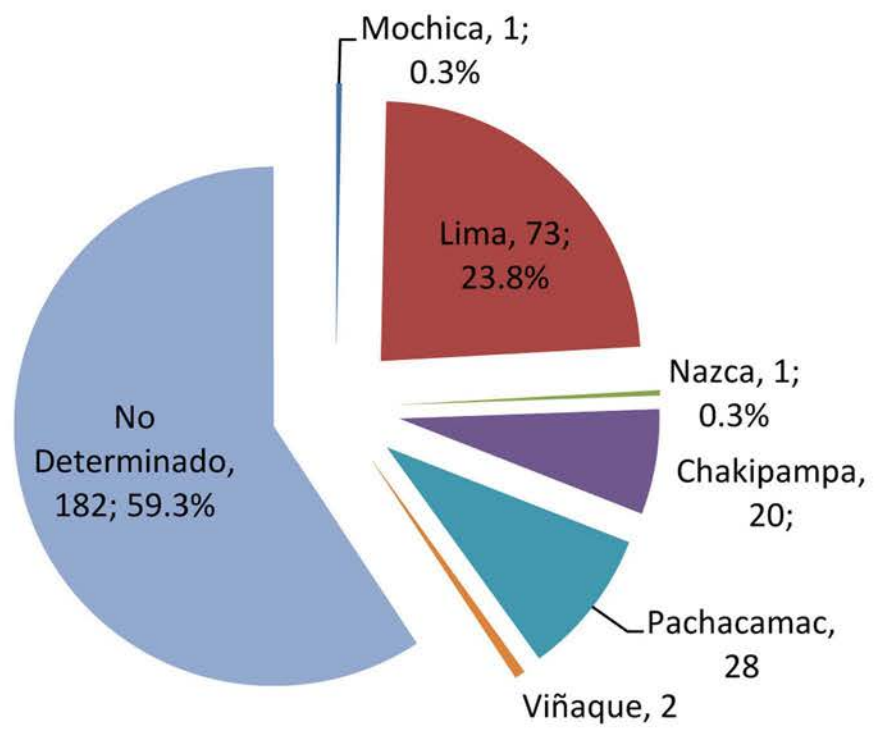
Fig. 4.1. Universo de las piezas del estudio (diagrama elaborado por el autor).

	Tipo de asa	Posición o elementos unidos	Código
1	Asa lateral cintada	vertical	ALCV
		horizontal	ALCH
2	Asa lateral tubular	vertical	ALTV
3	Asa auricular	vertical	AAV
		horizontal	AAH
4	Asa puente cintada	pico-pico	APC-PP
		pico-cuerpo	APC-PC
		pico-protoma	APC-PPR
5	Asa puente tubular	pico-pico	APT-PP
		pico-cuerpo	APT-PC
6	Asa estribo		AE

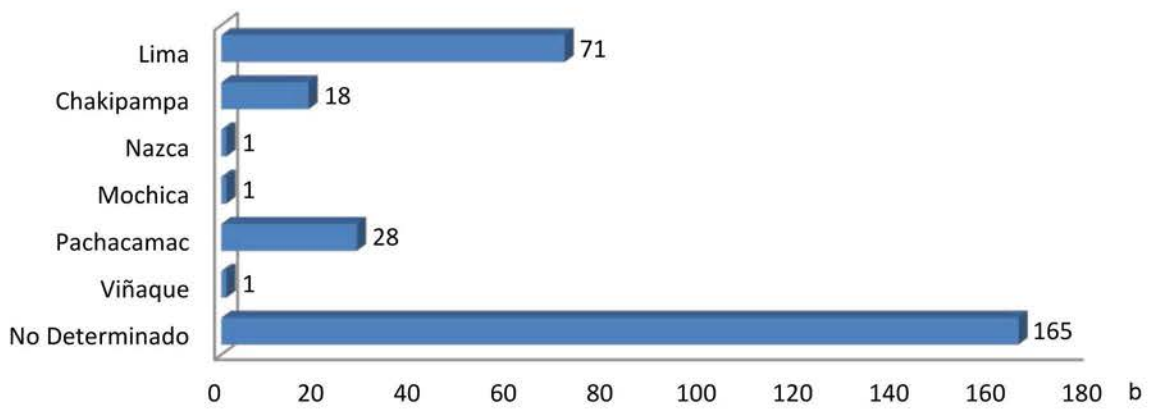
Fig. 4.2 . Codificación de las formas de asa de las piezas del universo (cuadro elaborado por el autor).

Categoría formal	Sin/con cuello	Sin/con asa	Tipo de asa y posición	Elementos unidos	Sin/con vertedera	Vasija tipo	Categoría/subcat. (nomenclatura)	N=
<b>Vasijas cerradas</b>								
1 Botella	sin asa					B. cantimplora	B	11
	con asa	auricular vertical				B. cantimplora	BC	6
		puente cintada	pico-pico				BC-AAV	1
		puente tubular	pico-pico				B-APC-PP	17
		puente s. definir	pico-pico				B-APT-PP	5
		puente cintada	pico-protoma				B-AP?-PP	11
		puente s. definir	pico-protoma				B-APC-PPR	10
		puente cintada	pico-cuerpo escultórico				B-AP?-PPR	1
		puente cintada	pico sin def.-cuerpo escultórico				B-APC-PC	4
		puente s. definir	pico-cuerpo escultórico				B-AP?-PC	3
		lateral cintada vertical					B-ALCV	1
		lateral tubular vertical					B-ALTV	66
		auricular vertical					B-AAV	29
		estribo					B-AE	8
							BND	3
							O-ALCH	2
							O-ALCH-Ve	4
							O-C	25
							O-C-ALCH	1
	2 Olla	sin cuello	con asa	lateral cintada horizontal				C
	con cuello	con asa	lateral cintada horizontal	con vertedera			CM	2
3 Cántaro	sin cuello	sin asa				C. mamiforme	C	1
							CM	2
4 Teteras							C-ALCH	1
							T	22
<b>Vasijas abiertas</b>								
5 Plato							P	16
6 Vaso							V	6
7 Cuenco							Cu	7
<b>Vasijas miniatura</b>								
<b>Vasijas cerradas</b>								
1 Botella	sin asa						MB	2
	con asa	lateral cintada vertical					MB-ALCV	15
		lateral tubular vertical					MB-ALTV	1
		auricular vertical					MB-AAV	3
	con cuello	sin asa					MO-C	9
	con asa	auricular horizontal					MO-C-AAH	1
		auricular horizontal	con vertedera				MO-C-AAH-Ve	3
	con asa	auricular vertical					MC-AAV	1
		lateral cintada horizontal					MC-ALCH	1
							MT	1
4 Tetera							MP	2
<b>Vasijas abiertas</b>								
5 Plato							MV	1
6 Vaso							MV-Ve	1
								1
<b>Otros</b>								
1 Instrumento musical							I	3
								310
						Total		

Fig. 4.3. Categorías y subcategorías del universo de piezas en estudio (diagrama elaborado por el autor).



a



b



c

Fig. 4.4. Cantidad de vasijas por estilo en el universo de estudio. a. Cantidad total de vasijas por estilo y el denominado Grupo No Determinado; b. Cantidad de vasijas de cocción oxidada; c. Cantidad de vasijas de cocción reductora (diagramas elaborados por el autor).

	Período Intermedio Temprano y Horizonte Medio 1				Horizonte Medio 2		No Determinado
	Mochica	Lima	Nazca	Chakipampa	Pachacamac	Víñaque	
B							11
BC				6			
BC-AAV				1			
B-APC-PP	1						16
B-APT-PP							5
B-AP?-PP							11
B-APC-PC							4
B-APC-P?C							3
B-AP?-PC							1
B-APC-PPR							10
B-AP?-PPR							1
B-ALCV		27					38
B-ALTV					26		3
B-AAV				7			1
B-AE							3
<i>BND</i>							3
O-C		21					4
O-ALCH					1		3
O-ALCH-Ve							2
O-C-ALCH							1
C							1
CM		2					
C-ALCH							1
T							22
P		14					2
V			1			2	3
Cu				3			4
MB							2
MB-AAV				2			1
MB-ALCV		4					12
MB-ALTV					1		
MO-C		3					6
MO-C-AAH							1
MO-C-AAH-Ve							3
MC-AAV				1			
MC-ALCH		1					
MT							1
MP		1					1
MV							1
MV-Ve							1
	1	73	1	20	28	2	182

Fig. 4.5. Cantidad de vasijas por categoría/subcategoría o subcategorías no completamente definidas por estilo. En gris se indican las subcategorías del grupo No Determinado que no forman parte de los otros estilos (cuadro elaborado por el autor).



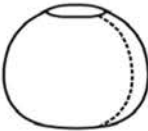
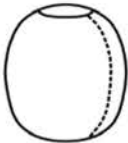

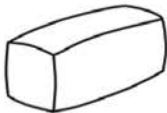

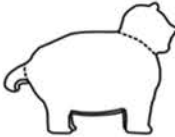
Forma de cuerpo			Código	
1	Globular	achatado	C1	
2		alargado	C2	
3		aplanado	C3	
4		aplanado alargado	C4	
5	Perfil compuesto		C5	
6	Paralelepípedo		C6	
7	Cilíndrico		C7	
8	Escultórico		C8	

Fig. 4.6. Formas de cuerpo de las vasijas del universo en estudio (cuadro elaborado por el autor).































	De contornos paralelos							
Picos largos	 Pp1	 Pp2	 Pp3a	 Pp3b1	 Pp3b2			
Picos cortos	 pp1	 pp3						
	De contornos divergentes							
Picos largos	 Pd1	 Pd2a	 Pd2b	 Pd3a1	 Pd3a2	 Pd3a3		
Picos cortos	 pd3							
	De contornos convergentes							
Picos largos	 Pc1a1	 Pc1a2	 Pc1a3	 Pc2a	 Pc2b	 Pc2c	 Pc2d	 Pc2e
Picos cortos	 Pc3a	 Pc3b	 Pc3c1	 Pc3c2	 Pce1	 Pce2		

Fig. 4.7a. Tipología de picos (cuadro elaborado por el autor).

De contornos paralelos	
Picos largos	<p>Pxp1a1    Pxp1a2    Pxp1b    Pxp1c    Pxp1d</p>
Picos cortos	<p>pxp1</p>
De contornos divergentes	
Picos largos	<p>Pxd3</p>
Picos cortos	<p>pxd2</p>
De contornos convergentes	
Picos largos	<p>Pxc2    Pxc3a    Pxc3b    Pxc3c</p>

Fig. 4.7b. Tipología de picos de contornos compuestos (cuadro elaborado por el autor).

Picos largos	<p>Pe1    Pe2a1    Pe2a2    Pe2a3</p>
Picos cortos	<p>pe1a1</p>

Fig. 4.7c. Tipología de picos escultóricos (cuadro elaborado por el autor).









De contornos paralelos					
					
Gp3					
De contornos divergentes					
					
Gd1	Gd2a	Gd2b	Gd2c	Gd3a1	Gd3a2
De contornos compuestos					
					
Gxd1					

Fig. 4.8. Tipología de golletes (cuadro elaborado por el autor).












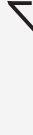

De contornos paralelos						
						
Cp1	Cp3a	Cp3b				
De contornos divergentes						
						
Cd1a1	Cd1a2	Cd1a3	Cd2a	Cd2b	Cd2c	Cd2d
						
Cd3a1	Cd3a2					
De contornos compuestos						
						
Cxp1						

Fig. 4.9. Tipología de cuellos (cuadro elaborado por el autor).






De contornos paralelos	
	
Vep1a	Vep1b
De contornos convergentes	
	
Vec1	Vec2
De contornos compuestos	
	
Vexp1	

Fig. 4.10. Tipología de vertederas (cuadro elaborado por el autor).







De contornos rectos		
		
P1a	P1b	
De contornos convexos		
		
P2a	P2b	P2c
De contornos compuestos		
		
Px1		

Fig. 4.11. Tipología de platos (cuadro elaborado por el autor).







Contornos paralelos		
		
Vp2a	Vp2b1	Vp2b2
Contornos divergentes		
		
Vd1	Vd2a	Vd2b

Fig. 4.12. Tipología de vasos (cuadro elaborado por el autor).







De contornos paralelos			
			
Cu1	Cu2		
De contornos divergentes			
De contornos convergentes			
			
Cu3a1	Cu3a2	Cu3b1	Cu3b2

Fig. 4.13. Tipología de cuencos (cuadro elaborado por el autor).











a	Plana	
b	Convexa	
c	Ligeramente convexa	
d	Muy ligeramente convexa	
e	Cóncava	
f	Ligeramente cóncava	
g1	Pedestal cilíndrico	
g2	Pedestal cónico	
g3	Pedestal ovoide	
g4	Pedestal escultórico	

Fig. 4.14. Tipos de base de las piezas del universo (cuadro elaborado por el autor).

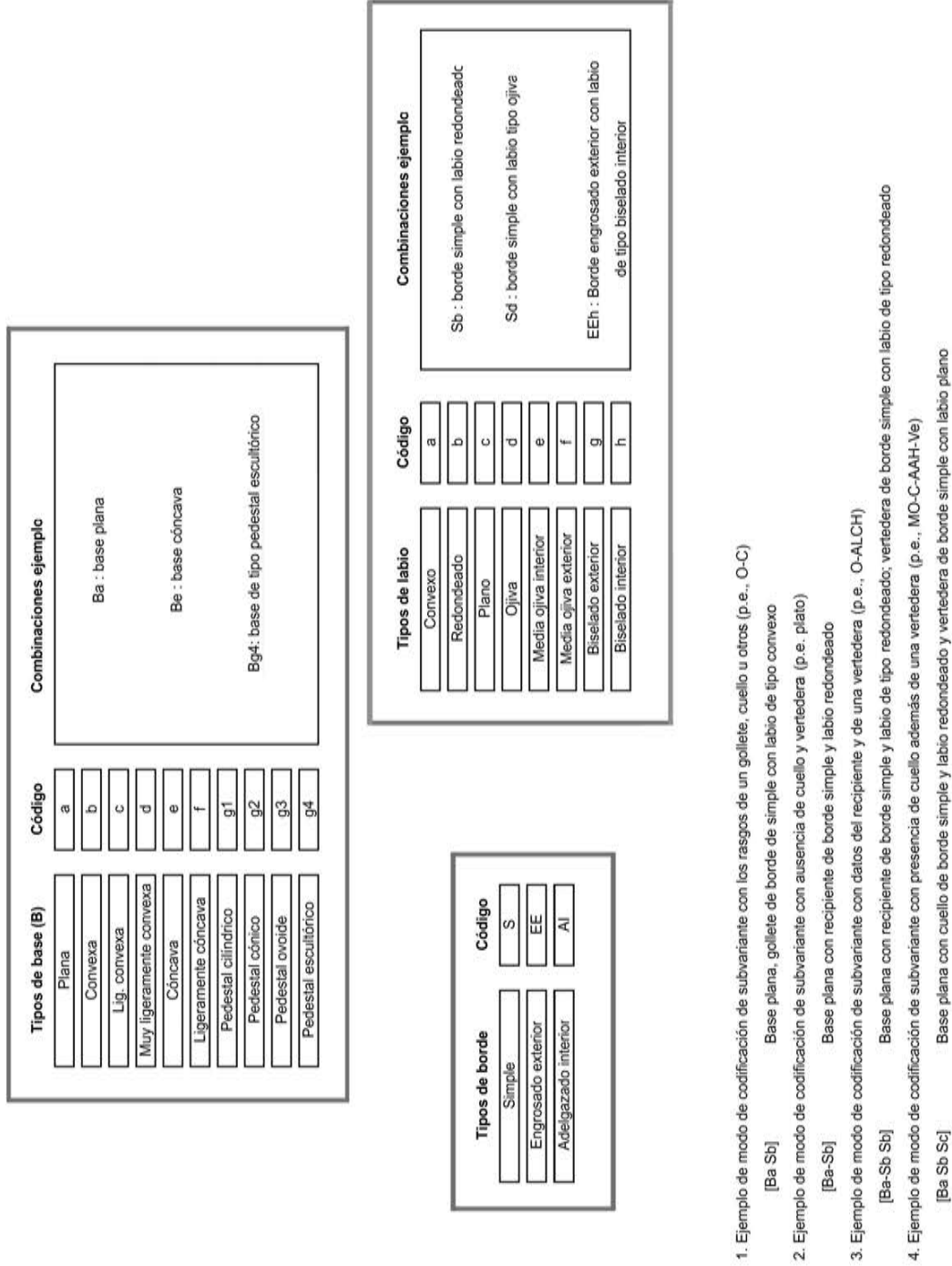


Fig. 4.15. Codificación y ejemplos de los rasgos formales conformantes de las subvariantes (cuadro elaborado por el autor).

Lima Tardío

Categoría	Subcategoría	Tipos N=	Tipo	Variantes N=	Subvar. N=	Esp. N=
Botella	B-ALCV	1	Globular achatado	8	16	27
	MB-ALCV	1	Globular achatado	2	4	4
Olla	O-C	1	Globular achatado	1	14	21
	MO-C	1	Globular achatado	1	3	3
Cántaro	CM	1	Escultórico	2	2	2
	MC-ALCH	1	Globular achatado	1	1	1
Plato		5			9	12
	MP	1			1	1

Chakipampa

Botella	BC	1	Globular aplanado	1	4	4
	BC-AAV	1	Globular aplanado	1	1	1
	B-AAV	2	Globular aplanado	2	4	4
			Globular aplanado alargado	3	3	3
MB-AAV	1	Globular alargado	1	2	2	
Cántaro	MC-AAV	1	Globular achatado	1	1	1
Cuenco		3			3	3

Nazca Medio (4)

Vaso		1			1	1
------	--	---	--	--	---	---

Moche V

Botella	B-APC-PP	1	Globular achatado	1	1	1
---------	----------	---	-------------------	---	---	---

Pachacamac A

Botella	B-ALTV	2	Globular achatado	12	18	22
			Perfil compuesto	3	4	4
	MB-ALTV	1	Globular achatado	1	1	1
Olla	O-ALCH	1	Globular achatado	1	1	1

Viñaque

Vaso		1			1	1
Subtotal						120

Fig. 4.16. Tipos, variantes y subvariantes de los especímenes de los estilos definidos (cuadro elaborado por el autor).

Subcat.	Tipo	Var.	Contorno	Subvar.	F. de base	F. de labio gollete	Código de forma	Esp.
B-ALCV	G. achat.	1	Gp3	1a	lig. cónc.	media ojiva int.	B(C1)-Gp3-ALCV [Bf Se]	CE-0064
				2a1	plana	redondeado	B(C1)-Gd1-ALCV [Ba Sb]	CE-0067 CE-0060 35-5036 35-5298 CE-0035
		2	Gd1	2a2		media ojiva ext.	B(C1)-Gd1-ALCV [Ba Sf]	35-1508
				2b	muy lig. conv.	redondeado	B(C1)-Gd1-ALCV [Bd Sb]	35-5024 CE-0034
				2c	lig. cónc.	redondeado	B(C1f)-Gd1-ALCV [Bf Sb]	35-5035
		3	Gd2a	3a	plana	redondeado	B(C1)-Gd2a-ALCV [Ba Sb]	35-5917 CE-0036 35-1498 CE-0031
				3b	muy lig. conv.	redondeado	B(C1)-Gd2a-ALCV [Bd Sb]	CE-0050
		4	Gd2b	4a	plana	redondeado	B(C1)-Gd2b-ALCV [Ba Sb]	CE-0040
				5a	plana	convexo	B(C1)-Gd2c-ALCV [Ba Sa]	CE-0032
		5	Gd2c	6a1	plana	redondeado	B(C1)-Gd3a1-ALCV [Ba Sb]	35-5243 CE-0057 CE-0052
				6a2		ojiva	B(C1)-Gd3a1-ALCV [Ba Sd]	35-5433
				6b	muy lig. conv.	redondeado	B(C1)-Gd3a1-ALCV [Bd Sb]	CE-0039 35-5297
		6	Gd3a1	6c	lig. cónc.	redondeado	B(C1)-Gd3a1-ALCV [Bf Sb]	CE-0048
				7a	plana	redondeado	B(C1)-Gd3a2-ALCV [Ba Sb]	CE-0053
				7b	lig. cónc.	redondeado	B(C1)-Gd3a2-ALCV [Bf Sb]	CE-0056
7	Gd3a2	8a	plana	redondeado	B(C1)-Gxd1-ALCV [Ba Sb]	CE-0055		
		1a	plana	redondeado	MB(C1)-Gd1-ALCV [Ba Sb]	CE-0021		
MB-ALCV	G. achat.	1	Gd1	2a1	plana	media ojiva int.	MB(C1)-Gd3a1-ALCV [Ba Se]	CE-0063
				2a2		redondeado	MB(C1)-Gd3a1-ALCV [Ba Sb]	CE-0061
		2	Gd3a1	2b	muy lig. conv.	ojiva	MB(C1)-Gd3a1-ALCV [Bd Sd]	CE-0150

Fig. 4.17. Estilo Lima. B-ALCV y MB-ALCV. Tipo, variante y subvariante (cuadro elaborado por el autor).



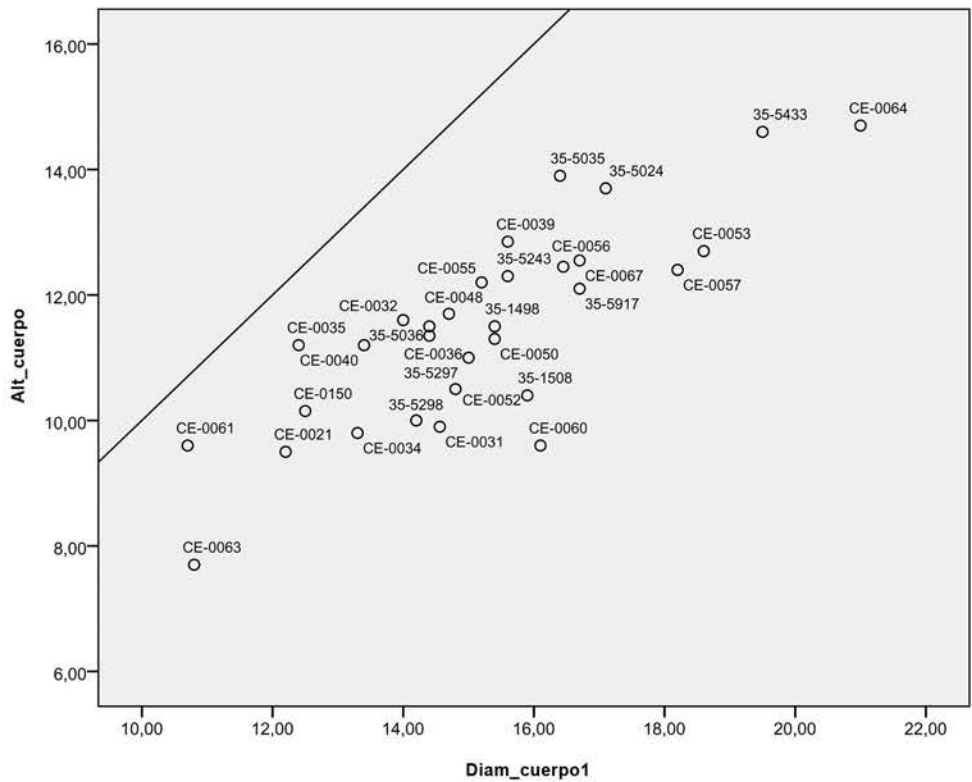


Fig. 4.18. Estilo Lima. B-ALCV. Cuadro de dispersión basado en el índice de la altura sobre el cuerpo (cuadro elaborado por el autor).

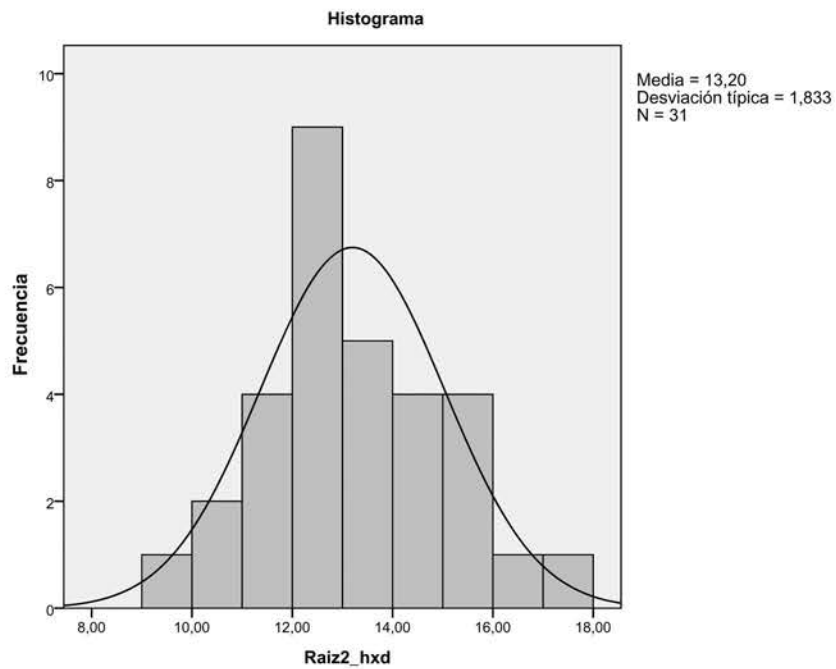


Fig. 4.19. Estilo Lima. B-ALCV. Histograma de la raíz cuadrada de la altura por el diámetro del cuerpo (cuadro elaborado por el autor).



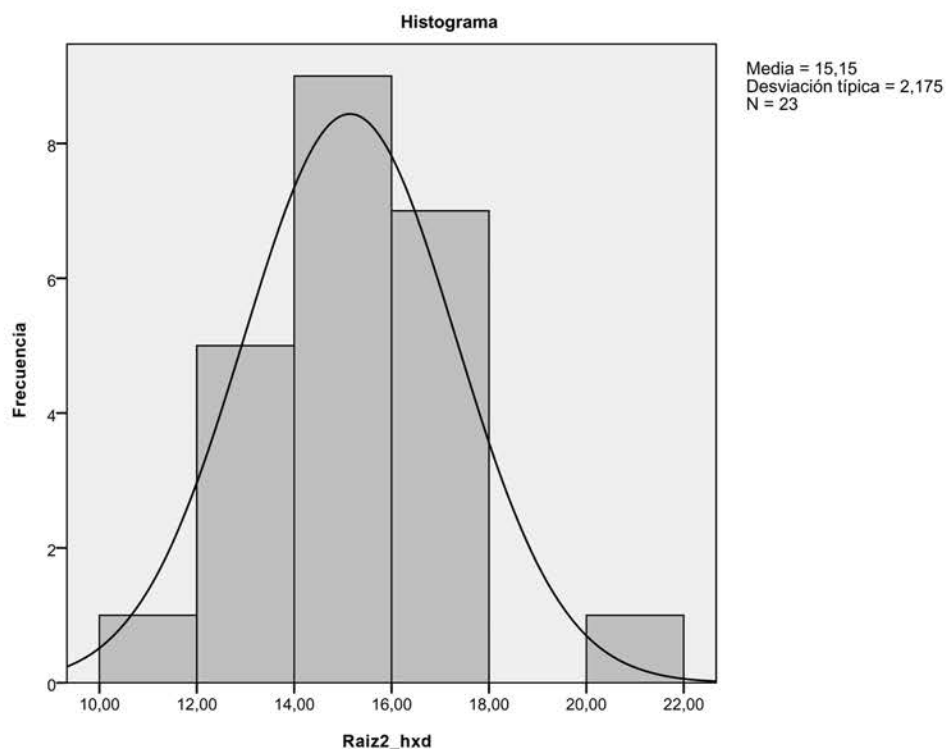


Fig. 4.22. Estilo Lima. O-C. Histograma basado en la raíz cuadrada de la altura por el diámetro del cuerpo (cuadro elaborado por el autor).

Subcat.	Tipo	Var.	Contorno	Subvar.	F. de base	F. de labio cuello	Código de forma	Esp.
CM	Esc.	1	Cp1	1a	NO	ojiva	CM(C8)-Cp1 [NO-Sd]	35-5429
		2	Cd3a1	2a	NO	media ojiva int.	CM(C8)-Cd3a1 [NO-Se]	35-1542
MC-ALCH	G. achat.	1	Cp3b	1a	redondeada	biselado ext.	MC(C1)-Cp3b-ALCH [Bb Sg]	CE-0065

Fig. 4.23. Estilo Lima. Cántaros. Tipo, variantes y subvariantes (cuadro elaborado por el autor).

Cat./subcat.	Tipo	Contorno	Subvar.	F. de base	F. de labio recipiente	Código de forma	Esp.	
P	1	P1a	1a	plana	ojiva	P1a [Ba-Sd]	CE-0171	
			2a	plana	redondeado	P1b [Ba-Sb]	CE-0117	
	2	P1b	2b	muy lig. conv.	redondeado	P1b [Bd-Sb]	CE-0118	
			2NI	NI	NI	P1b [NI-SNI]	CE-0842	
			3a1	plana	convexo	P2b [Ba-Sa]	CE-0121	
	3a2	redondeado	P2b [Ba-Sb]		CE-0125			
	3	P2b	3b	muy lig. conv.	redondeado	P2b [Bd-Sb]	CE-0124	
			3c	cónc.	redondeado	P2b [Be-Sb]	CE-0116	
			4a	plana	redondeado	P2c [Ba-Sb]	CE-0122	
			4	P2c	4b1	cónc.	redondeado	P2c [Be-Sb]
	4b2	cóncavo			P2c [Be-Sg]		CE-0120	
	MP	1	MP2c	1a	lig. cónc.	redondeado	MP2c [Bf-Sb]	CE-0126

Fig. 4.24. Estilo Lima. Platos. Tipos y subvariantes (cuadro elaborado por el autor).

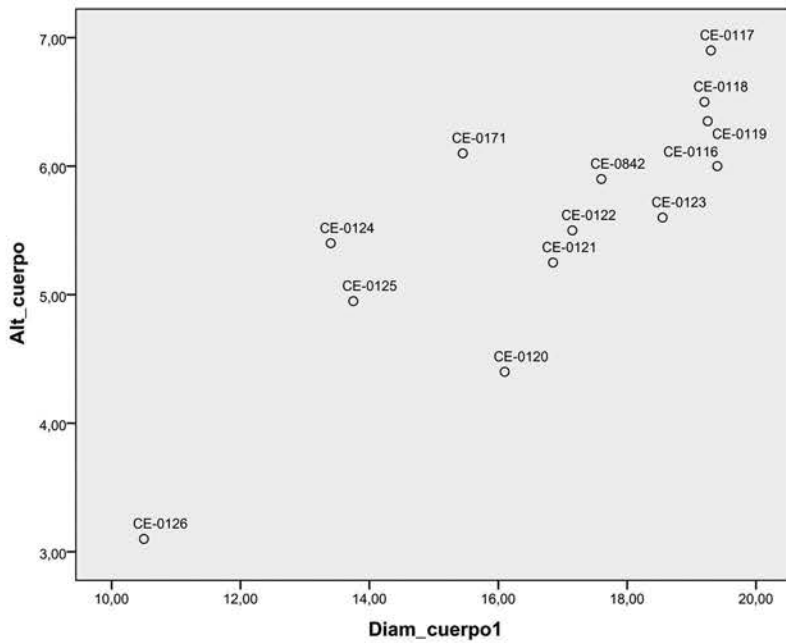


Fig. 4.25. Estilo Lima. Platos. Cuadro de dispersión basado en el índice de la altura del cuerpo sobre el diámetro de la boca (cuadro elaborado por el autor).

Subcat.	Tipo	Var.	Contorno	Subvar.	F. de base	F. de labio pico	Código de forma	Esp.
BC	G. aplan.	1	Pd3a1	1a	plana	media ojiva ext.	BC(C3)-Pd3a1 [Ba Sf]	35-6022
				1b1	muy lig. conv.	media ojiva ext.	BC(C3)-Pd3a1 [Bd Sf]	CE-0141
				1b2		biselado ext.	BC(C3)-Pd3a1 [Bd Sg]	CE-0143
				1bNI		NI	BC(C3)-Pd3a1 [Bd SNI]	35-1496
BC-AAV	G. aplan.	2	Pxp1a2	1a	plana	redondeado	BC(C3)-Pxp1a2-AAV [Ba Sb]	35-5294
B-AAV	G. aplan.	1	Pp2	1a1	muy lig. conv.	plano	B(C3)-Pp2-AAV [Bd Sc]	35-1499
				1a2		biselado ext.	B(C3)-Pp2-AAV [Bd Sg]	35-1020
		2	Pc2c	2a1	plana	redondeado	B(C3)-Pc2c-AAV [Ba Sb]	35-1018
				2a2		media ojiva int.	B(C3)-Pc2c-AAV [Ba Se]	35-1019
	G. aplan. alarg.	1	Pp2	1a	muy lig. conv.	plano	B(C4)-Pp2-AAV [Bd Sc]	35-5289
						2	Pc2c	2aNI
			Pxc3a	3aNI	plana	NI	B(C4)-Pxc3a-AAV [Ba EENI]	35-1017
MB-AAV	G. alarg.	1	Pc2c	1a1	muy lig. conv.	plano	MB(C2)-Pc2c-AAV [Bd Sc]	CE-0028
				1a2		biselado ext.	MB(C2)-Pc2c-AAV [Bd Sg]	CE-0027

Fig. 4.26. Estilo Chakipampa. Botellas. Tipos, variantes y subvariantes (cuadro elaborado por el autor).

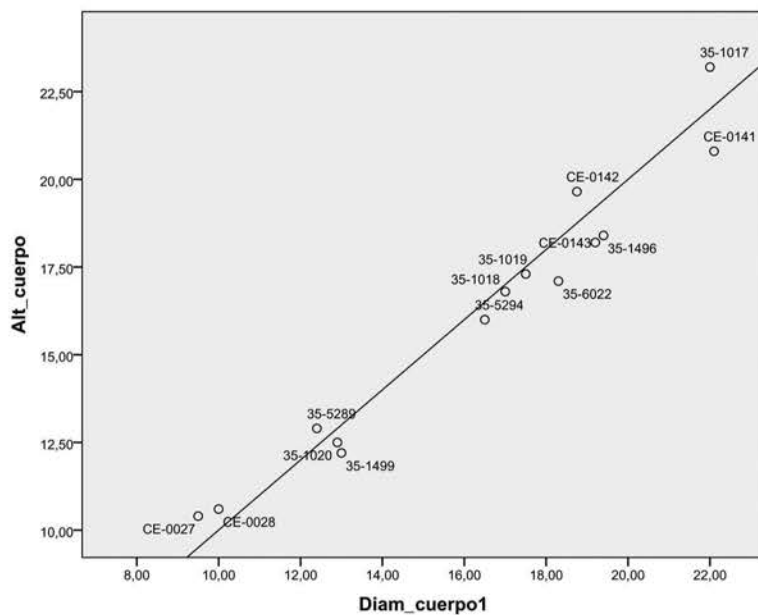


Fig. 4.27. Estilo Chakipampa. Botellas. Cuadro de dispersión basado en el índice de la altura sobre el diámetro del cuerpo (cuadro elaborado por el autor).

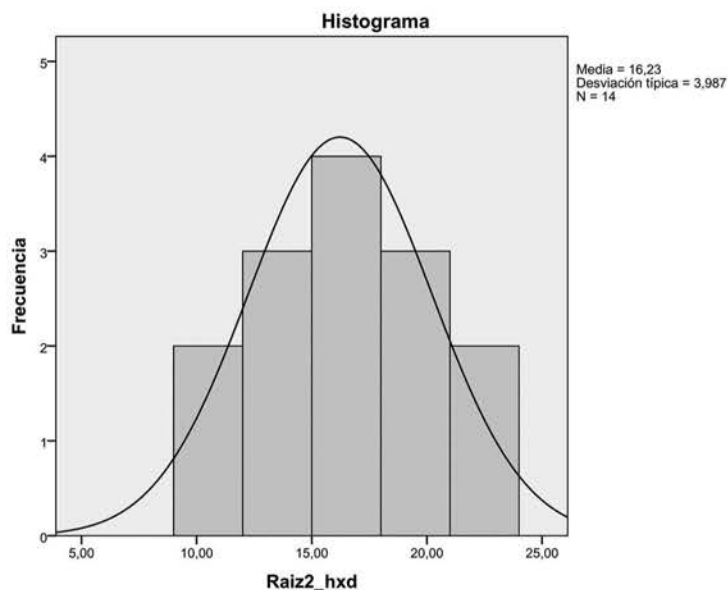


Fig. 4.28. Estilo Chakipampa. Botellas. Histograma basado en la raíz cuadrada de la altura sobre el diámetro del cuerpo (cuadro elaborado por el autor).

Subcat.	Tipo	Var.	Contorno	Subvar.	F. de base	F. de labio	Código de forma	Esp.
MC	G. achat.	1	Cp3a	1a	muy lig. conv.	redondeado	MC(C1)-Cp3a-AAV [Bd Sb]	35-5759

Fig. 4.29. Estilo Chakipampa. Cántaro. Tipo, variante y subvariante (cuadro elaborado por el autor).

Categoría	Tipo	Contorno	Subvar.	F. de base	F. de labio recipiente	Código de forma	Esp.
Cu	1	Cu3a1	1a	plana	media ojiva ext.	Cu3a1 [Ba-Sf]	CE-0128
	1	Cu3b1	1a	muy lig. conv.	media ojiva ext.	Cu3b1 [Bd-Sf]	CE-0166
	2	Cu3b2	1a	muy lig. conv.	ojiva	Cu3b2 [Bd-Sd]	CE-0172

Fig. 4.30. Estilo Chakipampa. Cuencos. Tipo y subvariantes (cuadro elaborado por el autor).

Categoría	Tipo	Contorno	Subvar.	F. de base	F. de labio recipiente	Código de forma	Esp.
V	1	Vp2b2	1a	muy lig. conv.	redondeado	Vp2b2 [Bd-Sb]	CE-0165

Fig. 4.31. Estilo Nazca. Vaso. Tipo y variante (cuadro elaborado por el autor).

Subcat.	Tipo	Var.	Contorno	Subvar.	F. de base	F. de labio picos	Código de forma	Esp.
B-APC-PP	G. achat.	1	Pc2a	1aNi	muy lig. conv.	NI	B(C1)-APC-PP(Pc2a) [Bd SNI]	CE-0045

Fig. 4.32. Estilo Mochica. B-APC-PP. Tipo y variante (cuadro elaborado por el autor).

Subcat.	Tipo	Var.	Contorno	Subvar.	F. de base	F. de labio pico	Código de forma	Esp.
B-ALTV	G. achat.	1	Pp1	1a	plana	convexo	B(C1)-Pp1-ALTV [Ba Sa]	35-5497
		2	Pd1	2a	plana	biselado ext.	B(C1)-Pd1-ALTV [Ba Sg]	35-1033
		3	Pd2a	3a	muy lig. conv.	redondeado	B(C1)-Pd2a-ALTV [Bd Sb]	35-8845
		4	Pc1a1	4a	plana	biselado ext.	B(C1)-Pc1a1-ALTV [Ba Sg]	35-5033
		5	Pc1a3	5a	plana	plano	B(C1)-Pc1a2-ALTV [Ba Sc]	35-5290
				5aNI		NI	B(C1)-Pc1a2-ALTV [Ba SNI]	35-8844
				5b	muy lig. conv.	biselado int.	B(C1)-Pc1a2-ALTV [Bd Sh]	35-5121
				5bNI1	muy lig. conv.	NI	B(C1)-Pc1a2-ALTV [Bd SNI]	35-5592
				5bNI2		NI	B(C1)-Pc1a2-ALTV [Bd SNI]	35-5588
		6	Pc2c	6a	muy lig. conv.	plano	B(C1)-Pc2c-ALTV [Bd Sc]	35-1507
		7	Pc2d	7a	muy lig. conv.	plano	B(C1)-Pc2d-ALTV [Bd Sc]	35-5589
		8	Pc3a	8a	plana	plano	B(C1)-Pc3a-ALTV [Ba Sc]	35-5291
	9	Pc3b	9a	plana	plano	B(C1)-Pc3b-ALTV [Ba Sc]	35-5758	
	10	Pc3c1	10a	plana	plano	B(C1)-Pc3c1-ALTV [Ba Sc]	35-5234 35-5018 35-5494 35-1456	
			10b	muy lig. conv.	plano	B(C1)-Pc3c1-ALTV [Bd Sc]	35-5587	
			10bNI1	muy lig. conv.	NI	B(C1)-Pc3c1-ALTV [Bd SNI]	35-5123	
			10bNI2		NI	B(C1)-Pc3c1-ALTV [Bd SNI]	35-5019	
	11	Pce1	11a	plana	NI	B(C1)-Pce1-ALTV [Ba SNI]	35-8846	
12	Pce2	12a	plana	NI	B(C1)-Pce2-ALTV [Ba SNI]	35-5585		
P. comp.	1	Pp1	1a	muy lig. conv.	plano	B(C5)-Pp1-ALTV [Bd Sc]	35-5031	
	2	Pd1	2a	muy lig. conv.	biselado ext.	B(C5)-Pd1-ALTV [Bd Sg]	35-1032	
			2aNI		NI	B(C5)-Pd1-ALTV [Bd SNI]	35-5760	
3	Pc3c1	3a	muy lig. conv.	biselado ext.	B(C5)-Pc3c1-ALTV [Bd Sg]	35-5498		
MB-ALTV	G. achat.	1	Pp3a	1a	lig. conv.	redondeado	MB(C1)-Pp3a-ALTV [Bc Sb]	33-641

Fig. 4.33. Estilo Pachacamac. Botellas. Tipos, variantes y subvariantes (cuadro elaborado por el autor).

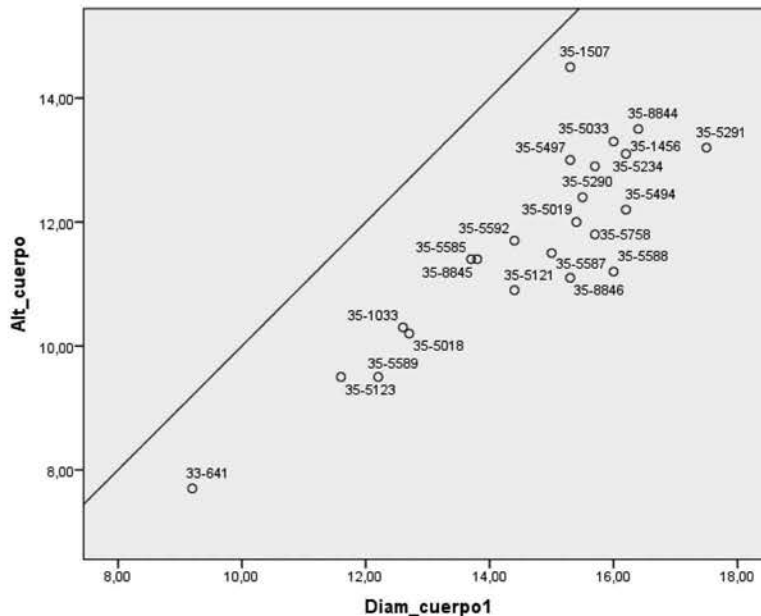


Fig. 4.34. Estilo Pachacamac. Botellas. Cuadro de dispersión basado en el índice de la altura sobre el diámetro del cuerpo (cuadro elaborado por el autor).

Subcat.	Tipo	Subvar.	F. de base	F. de labio recipiente	Código de forma	Esp.
O-ALCH	G. achat.	1a	muy lig. conv.	biselado int.	O(C1)-ALCH [Bd-Eeh]	CE-0139

Fig. 4.35. Estilo Pachacamac. O-ALCH. Tipo y subvariante (cuadro elaborado por el autor).

Categoría	Tipo	Contorno	Subvar.	F. de base	F. de labio recipiente	Código de forma	Esp.
V	1	Vd2a	1a	plana	redondeado	Vd2a [Ba-Sb]	CE-0136

Fig. 4.36. Estilo Viñaque. Vaso. Tipo y subvariante (cuadro elaborado por el autor).

Categoría	Subcategoría	Tipos N=	Tipo	Variantes N=	Subvar. N=	N=	
Botella		3	Globular achatado	1	1	1	
			Globular alargado	2	2	2	
			Escultórico	5 (2 s.e.)	4 (1 s.d.)	6	
	MB	1	1	Escultórico	1 s.e.	(1 s.d.)	1
				Globular achatado	1	1	1
	B-APC-PP	3	3	Perfil compuesto	2	2	2
				Escultórico	5	11 (2 s.d.)	11
				Escultórico	2	3	5
	B-APT-PP	1	1	Escultórico	2	3	5
	B-AP?-PP	4	4	Globular achatado	1 s.e.	(1 s.d.)	1
				Perfil compuesto	2 s.e.	(2 s.d.)	2
				Cilíndrico	2 s.e.	(2 s.d.)	2
				Escultórico	6 s.e.	(6 s.d.)	6
	B-APC-PC	1	1	Escultórico	3	3	4
	B-APC-P?C	1	1	Escultórico	3 s.e.	3 (3 s.d.)	3
	B-AP?-PC	1	1	Escultórico	1 s.e.	(1 s.d.)	1
	B-APC-PPR	2	2	Perfil compuesto	3	6	7
				Paralelepípedo	2	3	3
	B-AP?-PPR	1	1	Perfil compuesto	1 s.e.	(1 s.d.)	1
	B-ALCV	4	4	Globular achatado	16	20	21
				Globular alargado aplanado	1	1	1
				Perfil compuesto	1	1	1
				Escultórico	8 (1 s.e.)	10 (1 s.d.)	10
	MB-ALCV	3	3	Globular achatado	6	6	6
				Perfil compuesto	1	1	1
				Escultórico	4	5	5
	B-ALTV	1	1	Escultórico	3	3	3
	B-AAV	1	1	Escultórico	1	1	1
MB-AAV	1	1	Globular achatado	1	1	1	
B-AE	1	1	Escultórico	2 (1 s.e.)	(1 s.d.)	2	
BND	1	1	Escultórico	3 s.e.	(3 s.d.)	3	
						Subtotal	114

Fig. 4.37. Grupo No Determinado. Tipos, variantes y subvariantes. Botellas. (cuadro elaborado por el autor).

Cat./subcat.	Tipo	Var.	Contorno	Subvar.	F. de base	F. de labio pico	Código de forma	Esp.	
B	G. achat.	1	Pd2b	1a	muy lig. conv.	media ojiva ext.	B(C1)-Pd2b [Bd Sf]	35-1038	
	G. alarg.	1	Pp1	1a	plana	redondeado	B(C2)-Pp1 [Ba Sb]	35-5430	
		2	Pc2c	2a	muy lig. conv.	plano	B(C2)-Pc2c [Bd Sc]	CE-0062	
	Esc.	1	Pp1	1a1	1a1	muy lig. conv.	biselado ext.	B(C8)-Pp1 [Bd Sg]	CE-0020
				1aNI	1aNI	NI	B(C8)-Pp1 [Bd SNI]	35-5027	
		2	Pd2a	2aNI	2aNI	muy lig. conv.	NI	B(C8)-Pd2a [Bd SNI]	35-5713
		3	Pd3a1	3a	3a	plana	biselado ext.	B(C8)-Pd3a1 [Ba Sg]	35-995
		s.e.1	?	s.e.1.a	s.e.1.a	plana	redondeado	B(C8)-P(?) [Ba Sb]	35-1004
		s.e.2	?	s.e.2.aNI	s.e.2.aNI	lig. cónc.	NI	B(C8)-P(?) [Bf SNI]	CE-0005
	MB	Esc.	s.e.1	?	s.e.1.a	muy lig. conv.	biselado ext.	MB(C8)-P(?) [Bd Sg]	35-5903

Fig. 4.38. Grupo No Determinado. Botellas. Tipos, variantes y subvariantes (cuadro elaborado por el autor).

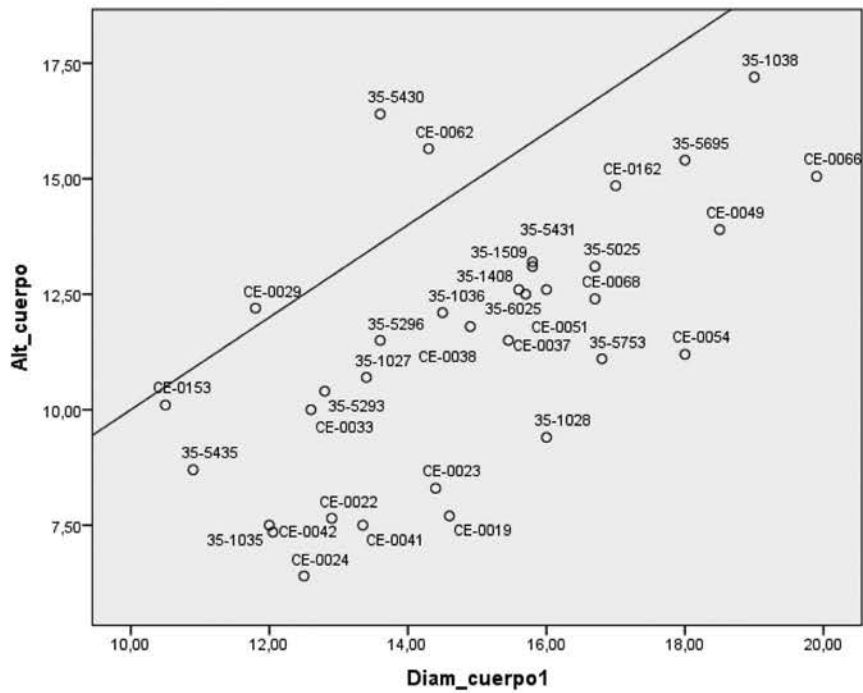


Fig. 4.39. Grupo No Determinado. Botellas. Cuadro de dispersión basado en el índice de la altura sobre el diámetro del cuerpo de las botellas globulares (cuadro elaborado por el autor).

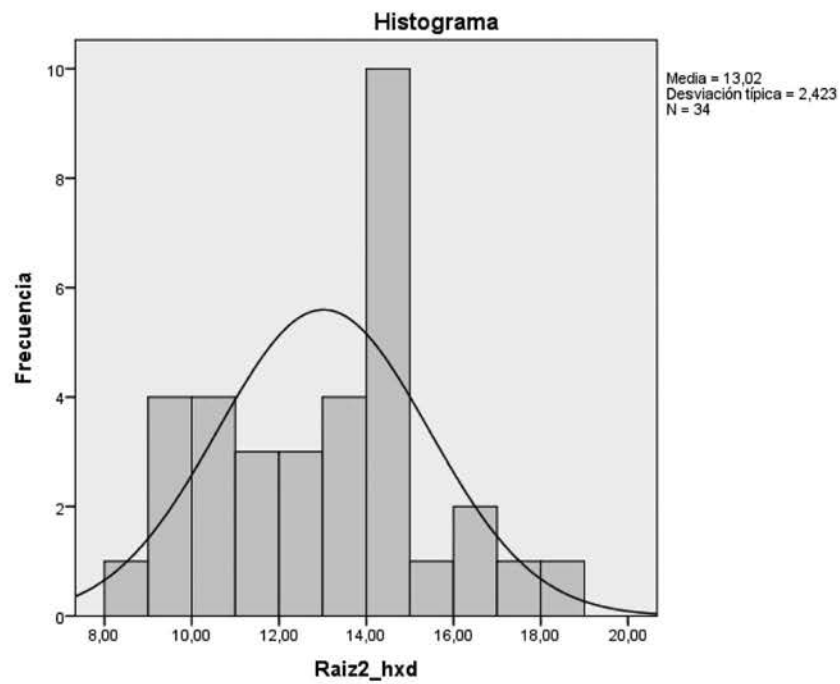


Fig. 4.40. Grupo No Determinado. Botellas. Histograma basado en la raíz cuadrada de la altura por el diámetro del cuerpo de las botellas globulares (cuadro elaborado por el autor).



Subcat.	Tipo	Var.	Contorno	Subvar.	F. de base	F. de labio picos	Código de forma	Esp.		
B-APC-PP	G. achat.	1	Pe1	1a	plana	biselado ext.	B(C1)-APC-PP(Pe1) [Ba Sg]	CE-0019		
	P. comp.	1	Pc1a1	1a	plana	plano	B(C5)-APC-PP(Pc1a1) [Ba Sc]	35-1010		
		2	Pc1a3	2a	lig. cónc.	plano	B(C5)-APC-PP(Pc1a3) [Bf Sc]	35-5235		
	Esc.	2	Pc1a1	1	Pp3b2	1a	plana	redondeado	B(C8)-APC-PP(Pxp1a1) [Ba Sb]	CE-0016
				2a1	plana	plano	B(C8)-APC-PP(Pc1a1) [Ba Sc]	35-5756		
				2a2	plana	ojiva	B(C8)-APC-PP(Pc1a1) [Ba Sd]	35-1455		
				2b	muy lig. conv.	plano	B(C8)-APC-PP(Pc1a1) [Bd Sc]	35-1398		
				2c	ped. cónico	plano	B(C8)-APC-PP(Pc1a1) [Bg2 Sc]	CE-0001		
				2d	ped. ovoide	plano	B(C8)-APC-PP(Pc1a1) [Bg3 Sc]	35-5120		
				2NI	NI	plano	B(C8)-APC-PP(Pc1a1) [NI SNI]	CE-0174		
				3	Pc1a2	3aNI	muy lig. conv.	NI	B(C8)-APC-PP(Pc1a1) [Bd SNI]	35-1000
				4	Pc2b	4a	plana	plano	B(C8)-APC-PP(Pc2b) [Ba Sc]	35-999
						4b	ped. cilíndrico	plano	B(C8)-APC-PP(Pc2b) [Bg1 Sc]	35-1478
5	Pc2e	5a	plana	plano	B(C8)-APC-PP(Pc2e) [Ba Sc]	CE-0018				
B-APT-PP	Esc.	1	Pc1a1	1a	plana	plano	B(C8)-APT-PP(Pc1a1) [Ba Sc]	35-1492 35-1493 35-1494		
		2	Pc1a2	2a	lig. cónc.	plano	B(C8)-APT-PP(Pc1a2) [Bf Sc]	CE-0017		
2b	plana			plano	B(C8)-APT-PP(Pc1a2) [Ba Sc]	35-1005				
B-AP?-PP	G. achat.	s.e.1	?	s.e.1.aNI	muy lig. conv.	NI	B(C1)-AP(?)-PP(?) [Bd SNI]	35-5293		
	P. comp.	s.e.1	?	s.e.1.aNI	plana	NI	B(C5)-AP(?)-PP(?) [Ba SNI]	35-1015		
		s.e.2	?	s.e.2.aNI	plana	NI	B(C5)-AP(?)-PP(?) [Ba SNI]	35-1479		
	Cilíndrico	s.e.1	?	s.e.1.aNI	muy lig. conv.	NI	B(C7)-AP(?)-PP(?) [Bd SNI]	CE-0046		
		s.e.2	?	s.e.2.aNI	muy lig. conv.	NI	B(C7)-AP(?)-PP(?) [Bd SNI]	CE-0314		
	Esc.	s.e.1	?	s.e.1.aNI	plana	NI	B(C8)-AP(?)-PP(?) [Ba SNI]	CE-0164		
		s.e.2	?	s.e.2.aNI	plana	NI	B(C8)-AP(?)-PP(?) [Ba SNI]	CE-0002		
		s.e.3	?	s.e.3.aNI	plana	NI	B(C8)-AP(?)-PP(?) [Ba SNI]	35-1001		
		s.e.4	?	s.e.4.aNI	plana	NI	B(C8)-AP(?)-PP(?) [Ba SNI]	35-1002		
		s.e.5	?	s.e.5.aNI	plana	NI	B(C8)-AP(?)-PP(?) [Ba SNI]	35-1404		
s.e.6		?	s.e.6.aNI	muy lig. conv.	NI	B(C8)-AP(?)-PP(?) [Bd SNI]	CE-0007			

Fig. 4.41. Grupo No Determinado. B-APC-PP, B-APT-PP y B-AP?-PP. Tipos, variantes y subvariantes (cuadro elaborado por el autor).

Subcat.	Tipo	Var.	Contorno	Subvar.	F. de base	F. de labio pico	Código de forma	Esp.
B-APC-PC	Esc.	1	Pp3a	1a	plana	plano	B(C8)-APC-PC(Pp3a) [Ba Sc]	CE-0003
		2	Pc1a1	1a	muy lig. conv.	plano	B(C8)-APC-PC(Pc1a1) [Bd Sc]	MSP-412 CE-0011
		3	Pc1a2	1a	NO	plano	B(C8)-APC-PC(Pc1a2) [NO Sc]	35-1003
B-APC-P?C	Esc.	s.e.1	?	s.e.1.aNI	plana	NI	B(C8)-P(?)-APC-P?C [Ba NI]	CE-0004
		s.e.2	?	s.e.2.aNI	plana	NI	B(C8)-P(?)-APC-P?C [Ba NI]	35-1596
		s.e.3	?	s.e.3.aNI	NO	NI	B(C8)-P(?)-APC-P?C [NO NI]	CE-2738
B-AP?-PC	Esc.	s.e.1	?	s.e.1.aNI	muy lig. conv.	NI	B(C8)-P(?)-AP(?)-PC [Bd NI]	CE-0008

Fig. 4.42. Grupo No Determinado. B-APC-PC. Tipos, variantes y subvariantes (cuadro elaborado por el autor).

Subcat.	Tipo	Var.	Contorno	Subvar.	F. de base	F. de labio pico	Código de forma	Esp.
B-APC-PPR	P. comp.	1	Pp1	1a	muy lig. conv.	plano	B(C5)-APC-PPR(Pp1) [Bd Sc]	CE-0013
		2	Pc1a1	2a	muy lig. conv.	plano	B(C5)-APC-PPR(Pc1a1) [Bd Sc]	CE-0015
				2b	plana	biselado ext.	B(C5)-APC-PPR(Pc1a1) [Ba Sg]	35-1472
				3a	plana	plano	B(C5)-APC-PPR(Pc2b) [Ba Sc]	CE-0154 CE-0155
		3	Pc2b	3b	muy lig. conv.	plano	B(C5)-APC-PPR(Pc2b) [Bd Sc]	35-1454
				3c	cónc.	plano	B(C5)-APC-PPR(Pc2b) [Be Sc]	CE-0014
	Paralelep.	1	Pc1a1	1a	muy lig. conv.	plano	B(C6)-APC-PPR(Pc1a1) [Bd Sc]	CE-0047
		2	Pc2b	2a	muy lig. conv.	plano	B(C6)-APC-PPR(Pc2b) [Bd Sc]	35-1438
	2b			muy lig. conv.	media ojiva ext.	B(C6)-APC-PPR(Pc2b) [Bd Sf]	35-1402	
	B-AP?-PPR	P. comp.	s.e.1	?	s.e.1.aNI	plana	NI	B(C5)-AP(?)-PPR(?) [Ba SNI]

Fig. 4.43. Grupo No Determinado. B-APC-PPR. Tipos, variantes y subvariantes (cuadro elaborado por el autor).

Subcat.	Tipo	Var.	Contorno	Subvar.	F. de base	F. de labio gollete / pico	Código de forma	Esp.
B-ALCV	G. achat.	1	pp1	1a	muy lig. conv.	redondeado	B(C1)-pp1-ALCV [Bd Sb]	CE-0051
		2	Pp2	2a	muy lig. conv.	plano	B(C1)-Pp2-ALCV [Bd Sc]	35-1027
		3	Pp3a	3aNI	muy lig. conv.	NI	B(C1)-Pp3a-ALCV [Bd SNI]	CE-0033
		4	Pp3b	4aNI	plana	NI	B(C1)-Pp3b-ALCV [Ba SNI]	CE-0068
		5	pd3	5a	plana	redondeado	B(C1)-pd3-ALCV [Ba Sb]	CE-0066 CE-0049
		6	Pd1	6a1	muy lig. conv.	redondeado	B(C1)-Pd1-ALCV [Bd Sb]	CE-0162
				6a2		ojiva	B(C1)-Pd1-ALCV [Bd Sd]	35-5296
				6b		lig. cónc.	redondeado	B(C1)-Pd1-ALCV [Bf Sb]
		7	Pd2b	7a	plana	plano	B(C1)-Pd2b-ALCV [Ba Sc]	35-5753
				7b	muy lig. conv.	redondeado	B(C1)-Pd2b-ALCV [Bd Sb]	35-6025
		8	Pd3a1	8a	plana	convexo	B(C1)-Pd3a1-ALCV [Ba Sa]	35-1509
				8b		redondeado	B(C1)-Pd3a1-ALCV [Ba Sb]	35-1408
		9	Pc1a1	9a	muy lig. conv.	redondeado	B(C1)-Pc1a1-ALCV [Bd Sb]	35-5695
		10	Pxp1a1	10a	plana	biselado int.	B(C1)-Pxp1a1-ALCV [Ba Sh]	35-1028
		11	Pxp1a2	11a	muy lig. conv.	redondeado	B(C1)-Pxp1a2-ALCV [Bd Sb]	35-5025
		12	Pxp1b	12a	cónc.	redondeado	B(C1)-Pxp1b-ALCV [Be Sb]	CE-0023
	13	Pxc2	13a	muy lig. conv.	plano	B(C1)-Pxc2-ALCV [Bd Sc]	35-1036	
	14	Pxc3c	14a	lig. cónc.	redondeado	B(C1)-Pxc3c-ALCV [Bf Sb]	CE-0054	
	15	Pe2a1	15a	cónc.	redondeado	B(C1)-Pe2a1-ALCV [Be Sb]	CE-0037	
	16	Pe2a3	16a	muy lig. conv.	redondeado	B(C1)-Pe2a3-ALCV [Bd Sb]	CE-0038	
	G. aplan. alarg.	1	Pd3a1	1a	muy lig. conv.	redondeado	B(C4)-Pd3a1-ALCV [Bd Sb]	CE-0029
	P. comp.	1	Pc1a1	1a	muy lig. conv.	plano	B(C5)-Pc1a1-ALCV [Bd Sc]	CE-0140
	Esc.	1	Pp1	1a	muy lig. conv.	convexo	B(C8)-Pp1-ALCV [Bd Sa]	35-6026
						2	Pd1	2a
3		Pd3a1	2a1	plana	biselado ext.	B(C8)-Pd3a1-ALCV [Ba Sg]	35-5914	
					media ojiva ext.	B(C8)-Pd3a1-ALCV [Ba Sf]	CE-0009	
					2b	muy lig. conv.	plano	B(C8)-Pd3a1-ALCV [Bd Sc]
4		Pd3a3	4a	muy lig. conv.	media ojiva ext.	B(C8)-Pd3a3-ALCV [Bd Sf]	35-1606	
5		Pxp1c	5a	NI	redondeado	B(C8)-Pxp1c-ALCV [NI Sb]	35-1034	
6		Pxp1d	6a	plana	media ojiva ext.	B(C8)-Pxp1d-ALCV [Ba Sf]	CE-0030	
7		pxd2	7a	plana	redondeado	B(C8)-pxd2-ALCV [Ba Sb]	CE-0043	
s.e.1		?	s.e.1.aNI	plana	NI	B(C8)-P(?) -ALCV [Ba NI]	35-1407	
MB-ALCV	G. achat.	1	Gd1	1a	plana	redondeado	MB(C1)-Gd1-ALCV [Ba Sb]	35-1035
		2	Gd2b	2a	plana	ojiva	MB(C1)-Gd2b-ALCV [Ba Sd]	CE-0042
		3	Pd1	3a	plana	plano	MB(C1)-Pd1-ALCV [Ba Sc]	35-5435
		4	Pd2b	4a	muy lig. conv.	biselado ext.	MB(C1)-Pd2b-ALCV [Bd Sg]	CE-0022
		5	Pd3a1	5a	plana	plano	MB(C1)-Pd3a1-ALCV [Ba Sc]	CE-0024
		6	Pe2a2	6a	plana	redondeado	MB(C1)-Pe2a2-ALCV [Ba Sb]	CE-0041
	P. comp.	1	pp1	1a	red.	plano	MB(C5)-pp1-ALCV [Bb Sc]	CE-0025
	Esc.	1	pp3	1a	muy lig. conv.	plano	MB(C8)-pp3-ALCV [Bd Sc]	35-5303
		2	Pd3a1	2a	muy lig. conv.	NI	MB(C8)-Pd3a1-ALCV [Bd NI]	MSP-414
		3	Pd3a2	3a	plana	redondeado	MB(C8)-Pd3a2-ALCV [Ba Sb]	35-1007
		4	Pxp1a1	4a	muy lig. conv.	redondeado	MB(C8)-Pxp1a1-ALCV [Bd Sb]	35-1511
				4b	NO	redondeado	MB(C8)-Pxp1a1-ALCV [NO Sb]	∇4/misc

Fig. 4.44. Grupo No Determinado. B-ALCV y MB-ALCV. Tipos, variantes y subvariantes (cuadro elaborado por el autor).

Subcat.	Tipo	Var.	Contorno	Subvar.	F. de base	F. de labio pico	Código de forma	Esp.
B-ALTV	Esc.	1	Pp1	1a	plana	media ojiva ext.	B(C8)-Pp1-ALTV [Ba Sf]	CE-0151
		2	Pd1	2a	plana	biselado ext.	B(C8)-Pd1-ALTV [Ba Sg]	CE-0012
		3	Pd3a1	3a	muy lig. conv.	ojiva	B(C8)-Pd3a1-ALTV [Bd Sd]	CE-0152
B-AAV	Esc.	1	Pxp1a2	1a	muy lig. conv.	redondeado	B(C8)-Pxp1a2-AAV [Bd Sb]	35-6055
MB-AAV	G. achat.	1	Pp3a	1a	muy lig. conv.	redondeado	MB(C1)-Pp3a-AAV [Bd Sb]	CE-0153
B-AE	Esc.	1	pe1a1	1a	plana	media ojiva ext.	B(C8)-pe1a1-AE [Ba Sf]	CE-0006
		s.e.1	?	s.e.1.aNI	plana	NI	B(C8)-P(?) -AE [Ba SNI]	35-1490
BND	Esc.	s.e.1	?	s.e.1.aNI	plana	NI	B(C8)-P(?) ND [Ba NI]	CE-0313
		s.e.2	?	s.e.2.aNI	muy lig. conv.	NI	B(C8)-P(?) ND [Bd NI]	CE-0163
		s.e.3	?	s.e.3.aNI	ped. escult.	NI	B(C8)-P(?) ND [Bg4 NI]	35-1403

Fig. 4.45. Grupo No Determinado. B-ALTV, B-AAV, MB-AAV, B-AE y BND. Tipos, variantes y subvariantes (cuadro elaborado por el autor).

Categoría	Subcategoría	Tipos N=	Tipo	Variantes N=	Subvar. N=	N=
Cántaro		1	Perfil compuesto	1	1	1
	C-ALCH	1	Globular achatado	1 s.e.	(1 s.d.)	1
Olla	O-C	2	Perfil compuesto	1	1	1
			Escultórico	3	3	3
		MO-C	2	Globular achatado	3	3
	Escultórico			3	3	3
	O-C-ALCH	1	Globular achatado	1	1	1
	MO-C-AAH	1	Escultórico	1	1 (1 s.d.)	1
	MO-C-AAH-Ve	1	Escultórico	2	2	2
	O-ALCH	1	Globular achatado	1	3 (1 s.d.)	3
	O-ALCH-Ve	2	Globular achatado	1	1	1
Escultórico			1	1	1	
Tetera	T	2	Globular achatado	4 (1 s.e.)	16 (3 s.d.)	18
			Perfil compuesto	3 (2 s.e.)	4 (2 s.d.)	4
	MT	1	Globular achatado	1	1	1
Plato	MP	1		1	1	1
				1	1	1
Vaso		3		3	3	3
Cuenco		2		2	2	2
Subtotal						51

Fig. 4.46. Grupo No Determinado. Otras categorías y subcategorías. Tipos, variantes y subvariantes (cuadro elaborado por el autor).

Cat./subcat.	Tipo	Var.	Contorno	Subvar.	F. de base	F. de labio cuello	Código de forma	Esp.
C	P. comp.	1	Cd3a1	1a	<b>NO</b>	redondeado	C(C5)-Cd3a1 [NO Sb]	CE-0069
C-ALCH	G. achat.	s.e.1	Cx(?)	s.e.1.aNI	red.	<b>NI</b>	C(C1)-Cxni-ALCH [Bb NI]	CE-0316

Fig. 4.47. Grupo No determinado. Cántaros. Tipos, variantes y subvariantes (cuadro elaborado por el autor).

Subcat.	Tipo	Var.	Contorno	Subvar.	F. de base	F. de labio cuello	Código de forma	Esp. N=
O-C	P. comp.	1	Cd1a3	1a	muy lig. conv.	redondeado	O(C5)-Cd1a3 [Bd Sb]	CE-0070
		1	Cd1a2	1a	lig. cónc.	biselado ext.	O(C8)-Cd1a2 [Bf Sg]	35-1030
	Esc.	2	Cd2d	2aNI	<b>NI</b>	redondeado	O(C8)-Cd2d [NI Sb]	CE-0161
		3	Cd3a2	3a	plana	redondeado	O(C8)-Cd3a2 [Ba Sb]	CE-0099
MO-C	G. achat.	1	Cd1a1	1a	plana	redondeado	MO(C1)-Cd1a1 [Ba Sb]	CE-0082
		2	Cd2a	2a	muy lig. conv.	redondeado	MO(C1)-Cd2a [Bd Sb]	CE-0074
		3	Cd3a2	3a	muy lig. conv.	redondeado	MO(C1)-Cd3a2 [Bd Sb]	CE-0075
	Esc.	1	Cd1a2	1a	plana	redondeado	MO(C8)-Cd1a2 [Ba Sb]	CE-0072
		2	Cd2a	2a	cónc.	redondeado	MO(C8)-Cd2a [Be Sb]	35-6023
		3	Cxp1	3a	muy lig. conv.	redondeado	MO(C8)-Cxp1 [Bd Sb]	35-5912

Fig. 4.48. Grupo No Determinado. O-C y MO-C. Tipos, variantes y subvariantes (cuadro elaborado por el autor).

Subcat.	Tipo	Var.	Contorno	Subvar.	F. de base	F. de labio cuello	Código de forma	Esp.
O-C-ALCH	G. achat.	1	Cd1a1	1a	convexa	redondeado	O(C1)-Cd1a1-ALCH [Bb Sb]	CE-0315

Fig. 4.49. Grupo No Determinado. O-C-ALCH. Tipo, variante y subvariante (cuadro elaborado por el autor).

Subcat.	Tipo	Var.	Contorno	Subvar.	F. de base	F. de labio cuello	F. de labio vertedera	Código de forma	Esp.
MO-C-AAH	Esc.	1	Cd1a1	1a	NI	media ojiva ext.	—	MO(C8)-Cd1a1-AAH [NI-Sf]	CE-0157
MO-C-AAH-Ve	Esc.	1	Cd3a1	1a	plana	redondeado	plano	MO(C8)-Cd3a1-AAH-Vep1a [Ba Sb Sc]	CE-0158
				1b	muy lig. conv.	media ojiva ext.	NI	MO(C8)-Cd3a1-AAH-Vep1a [Bd Sf SNI]	35-1024

Fig. 4.50. Grupo No Determinado. MO-C-AAH y MO-C-AAH-Ve. Tipos, variantes y subvariantes (cuadro elaborado por el autor).

Subcat.	Tipo	Var.	Contorno	Subvar.	F. de base	F. de labio recipiente	F. de labio vertedera	Código de forma	Esp.
O-ALCH	G. achat.	—	—	1a	plana	biselado int.	—	O(C1)-ALCH [Ba-EEh]	35-1023
				1b	lig. cónc.	biselado int.	—	O(C1)-ALCH [Bf-EEh]	35-5709
				1NI	NI	plano	—	O(C1)-ALCH [NI-EEc]	CE-0112
O-ALCH-Ve	G. achat.	1	Vep1a	1a	plana	redondeado	redondeado	O(C1)-ALCH-Vep1a [Ba-Sb Sb]	CE-0113
	Esc.	1	Vep1b	1a	plana	plano	redondeado	O(C8)-ALCH-Vep1b [Ba-Sc Sb]	CE-0114

Fig. 4.51. Grupo No Determinado. O-ALCH y O-ALCH-Ve. Tipos, variantes y especímenes (cuadro elaborado por el autor).

Cat./subcat.	Tipo	Var.	Contorno	Subvar.	F. de base	F. de labio recipiente	F. de labio vertedera	Código de forma	Esp.	
T	G. achat.	1	Vep1a	1a1	plana	media ojiva ext.	plano	T(C1)-Vep1a [Ba-Sf Sc]	CE-0101	
				1a2		biselado int.	biselado ext.	T(C1)-Vep1a [Ba-EEh Sg]	35-1534	
				1a3		redondeado	redondeado	T(C1)-Vep1a [Ba-Sb Sb]	CE-0108	
				1b	cónc.	redondeado	redondeado	T(C1)-Vep1a [Be-Sb Sb]	CE-0107	
				1c	lig. cónc.	media ojiva ext.	redondeado	T(C1)-Vep1a [Bf-EEF Sb]	CE-0106	
		2	Vec1	2a	2a1	plana	media ojiva ext.	plano	T(C1)-Vec1 [Ba-Sf Sc]	CE-0102
					2a2	plana	biselado int.	plano	T(C1)-Vec1 [Ba-EEh Sc]	CE-0105 35-5710
				2b	lig. conv.	plano	NI	T(C1)-Vec1 [Bc-EEc SNI]	35-1022	
				2c1	2c1a	cónc.	redondeado	redondeado	T(C1)-Vec1 [Be-Alb Sb]	35-1536
					2c1b		redondeado	redondeado	T(C1)-Vec1 [Be-Sb Sb]	CE-0103
				2c2	cónc.	redondeado	plano	T(C1)-Vec1 [Be-Sb Sc]	CE-0104	
				2d	cónc.	biselado int.	NI	T(C1)-Vec1 [Be-EEh SNI]	MSP-1047	
				2e	lig. cónc.	plano	plano	T(C1)-Vec1 [Bf-Sc Sc]	CE-0100	
				2NI 1	NI	biselado ext.	media ojiva ext.	T(C1)-Vec1 [NI-Sg Sf]	CE-0115	
				2NI 2	NI	biselado int.	plano	T(C1)-Vec1 [NI-EEh Sc]	CE-0160	
	3	Vexp1	3a	plana	redondeado	redondeado	T(C1)-Vexp1 [Ba-Sb Sb]	CE-0109		
	s.e.1	?	s.e.1aNI	muy lig. conv.	biselado int.	NI	T(C1)-Ve(?) [Bd-EEh SNI]	CE-0159		
	P. comp.	1	Vec1	1a	plana	biselado int.	NI	T(C5)-Vec1 [Ba-EEh SNI]	35-1021	
				1b	lig. cónc.	biselado int.	plano	T(C5)-Vec1 [Bf-EEh Sc]	35-1535	
				s.e.1	?	s.e.1aNI	cónc.	redondeado	NI	T(C5)-Ve(?) [Be-Sb NI]
s.e.2				?	s.e.2aNI	lig. cónc.	biselado int.	NI	T(C5)-Ve(?) [Bf-EEh NI]	CE-0111
MT	G. achat.	1	Vec2	1a	muy lig. conv.	biselado int.	plano	MT(C1)-Vec2 [Bd-EEh Sc]	35-5122	

Fig. 4.52. Grupo No Determinado. T y MT. Tipos, variantes y subvariantes (cuadro elaborado por el autor).

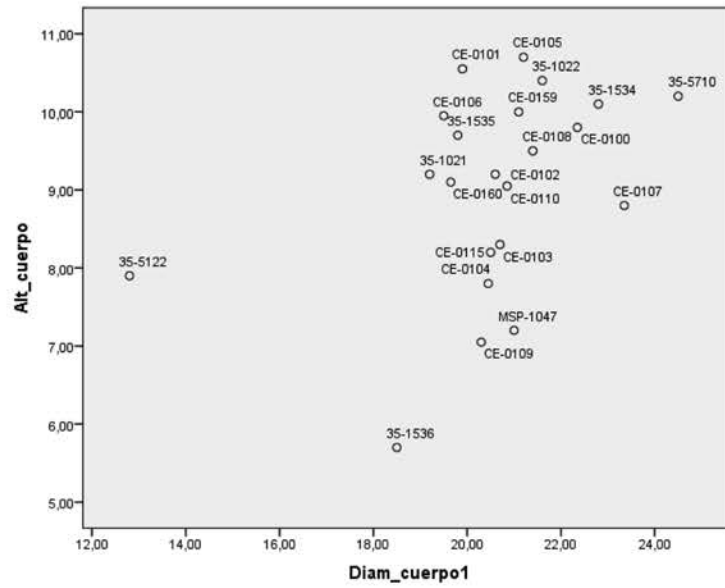


Fig. 4.53. Grupo No Determinado. Teteras. Cuadro de dispersión basado en el índice de la altura sobre el diámetro del cuerpo (cuadro elaborado por el autor).

Cat./subcat.	Tipo	Contorno	Subvar.	F. de base	F. de labio recipiente	Código de forma	Esp.
P	1	P2a	1a	cónic.	ojiva	P2a [Be-Sd]	CE-0169
MP	1	MPx1	1a	plana	redondeado	MPx1 [Ba-Sb]	CE-0127
V	1	Vp2a	1a	plana	plano	Vp2a [Ba-Sc]	CE-0133
	2	Vp2b1	2a	lig. conv.	redondeado	Vp2b1 [Bc-Sb]	35-1013
	3	Vd2b	3a	muy lig. conv.	redondeado	Vd2b [Bd-Sb]	CE-0132
Cu	1	Cu3b1	1a	plana	ojiva	Cu3b1 [Ba-Sd]	CE-0167
	2	Cu3a2	2a	plana	media ojiva ext.	Cu3a2 [Ba-Sf]	CE-0135

Fig. 4.54. Grupo No Determinado. P, MP, V y Cu. Tipos y subvariantes (cuadro elaborado por el autor).

Lima Tardío

Categoría	Subcategoría	Tipos N=	Tipo	Variantes N=	Subvar. N=	N=
Plato		1			2 (1 s.d.)	2

Chakipampa

Botella	BC	1	Globular aplanado	1	1	2
---------	----	---	-------------------	---	---	---

Viñaque

Vaso		1			1	1
------	--	---	--	--	---	---

No Determinado

Botella		1	Globular achatado	1	1	1
		1	Escultórico	1	1	1
	MB	1	Escultórico	1	1	1
	B-APC-PP	1	Escultórico	2	2	2
	B-ALCV	1	Globular achatado	1	1	1
		1	Perfil compuesto	1	1	1
	B-AE	1	Escultórico	3	3 (1 s.d.)	3
Olla	MO-C-AAH-Ve	1	Globular achatado	1	1	1
Plato		1	Escultórico	1	1	1
Vaso		1			1	1
	MV-Ve	1			1	1
Cuenco		2			2	2
Subtotal						22

Fig. 4.55. Cocción reductora. Diversas categorías y subcategorías en estilos definidos y del grupo No Determinado. Tipos, variantes y subvariantes (cuadro elaborado por el autor).

Categoría	Tipo	Contorno	Subvar.	F. de base	F. de labio recipiente	Código de forma	Esp.
P	1	P2a	1a	plana	redondeado	P2a [Ba-Sb]	CE-0129
			1aNI	NI	redondeado	P2a [NI-Sb]	CE-0137

Fig. 4.56. Cocción reductora. Estilo Lima. Platos. Tipos, variantes y subvariantes (cuadro elaborado por el autor).

Subcat.	Tipo	Var.	Contorno	Subvar.	F. de base	F. de labio pico	Código de forma	Esp.
BC	G. aplan.	1	Pd2b	1a	plana	redondeado	BC(C3)-Pd2b [Ba Sb]	CE-0147 CE-0148

Fig. 4.57. Cocción reductora. Estilo Chakipampa. BC. Tipo, variante y subvariante (cuadro elaborado por el autor).

Categoría	Tipo	Contorno	Subvar.	F. de base	F. de labio recipiente	Código de forma	Esp.
V	1	Vd2a	1a	muy lig. conv.	redondeado	Vd2a [Bd-Sb]	CE-0131

Fig. 4.58. Cocción reductora. Estilo Viñaque. Vaso. Tipo y subvariante (cuadro elaborado por el autor).

Cat./subcat.	Tipo	Var.	Contorno	Subvar.	F. de base	F. de labio pico	Código de forma	Esp.
B	G. achat.	1	Pc2c	1a	muy lig. conv.	media ojiva ext.	B(C1)-Pc2c [Bd Sf]	CE-0145
	Esc.	1	Pp1	1a	plana	ojiva	B(C8)-Pp1 [Ba Sd]	CE-0149
MB	Esc.	1	pe1a1	1a	plana	redondeado	MB(C8)-pe1a1 [Ba Sb]	CE-0010
B-APC-PP	Esc.	1	Pc1a3	1a	muy lig. conv.	redondeado	B(C8)-APC-PP(Pc1a3) [Bd Sb]	CE-0156
		2	Pc2a	2a	plana	plano	B(C8)-APC-PP(Pc2a) [Ba Sc]	CE-2786
B-ALCV	G. achat.	1	Pd3a2	1a	plana	redondeado	B(C1)-Pd3a2-ALCV [Ba Sb]	CE-0026
	P. comp.	1	Pxd3	1a	plana	plano	B(C5)-Pxd3-ALCV [Ba Sc]	CE-0059
	Esc.	1	Pp1	1a	plana	media ojiva ext.	B(C8)-Pp1-ALCV [Ba Sf]	CE-0146
		2	Pp3b2	2a	muy lig. conv.	biselado ext.	B(C8)-Pp3b2-ALCV [Bd Sg]	CE-0044
	3	Pxc3b	3aNI	muy lig. conv.	NI	B(C8)-Pxc3b-ALCV [Bd SNI]	CE-0058	
B-AE	G. achat.	1	pxp1	1a	muy lig. conv.	biselado ext.	B(C1)-pxp1-AE [Bd EEg]	MSP-71

Fig. 4.59. Cocción reductora. Grupo No Determinado. Botellas. Tipos, variantes y subvariantes (cuadro elaborado por el autor).

Subcat.	Tipo	Var.	Contorno	Subvar.	F. de base	F. de labio cuello	F. de labio vertedera	Código de forma	Esp.
MO-C-AAH-Ve	Esc.	1	Cd1a1	s.e.1.a	ped. ovoide	redondeado	NI	MO(C8)-Cd1a1-AAH-Ve(?) [Bq3 Sb NI]	CE-0138

Fig. 4.60. Cocción reductora. Grupo No Determinado. MO-C-AAH-Ve. Tipo, variante y subvariante (cuadro elaborado por el autor).

Categoría	Tipo	Contorno	Subvar.	F. de base	F. de labio recipiente	Código de forma	Esp.
P	1	P1a	1a	cónc.	ojiva	P1a [Be-Sd]	CE-0170

Fig. 4.61. Cocción reductora. Grupo No Determinado. Plato. Tipo y subvariante (cuadro elaborado por el autor).

Categoría	Tipo	Contorno	Subvar.	F. de base	F. de labio recipiente	Código de forma	Esp.
V	1	Vd1	1a	muy lig. conv.	redondeado	Vd1 [Bd-Sb]	35-5055b

Fig. 4.62. Cocción reductora. Grupo No Determinado. Vaso. Tipo y subvariante (cuadro elaborado por el autor).

Cat./subcat.	Tipo	Contorno	Subvar.	F. de base	F. de labio recipiente	F. de labio vertedera	Código de forma	Esp.
MV-Ve	1	Vd2a	1a	muy lig. conv.	redondeado	biselado ext.	MVd2a-Vep1a [Bd-Sb Sg]	35-5504

Fig. 4.63. Cocción reductora. Grupo No Determinado. MV-Ve. Tipo, variante y subvariante (cuadro elaborado por el autor).

Categoría	Tipo	Contorno	Subvar.	F. de base	F. de labio recipiente	Código de forma	Esp.
Cu	1	Cu1	1a	muy lig. conv.	redondeado	Cu1 [Bd-Sb]	CE-0130
	2	Cu2	2a	plana	redondeado	Cu2 [Ba-Sb]	CE-0168

Fig. 4.64. Cocción reductora. Grupo No Determinado. Cuencos. Tipos y subvariantes (cuadro elaborado por el autor).


B-ALCV		Globular aplanado						
N=	1	5	1	7	2	1		
Variante	Gp3	Gd2a	Gd2b	Gd2c	Gd3a1	Gd3a2	Gvd1	
rango altura	3.20	3.60-5.40	1.90-2.70	2.40	2.30	3.20-3.80	2.50	
rango diám. boca	Ni	3.90-5.70	4.20-4.70	4.00	3.40	3.70-5.60	5.00-Ni	
							4.10	
MB-ALCV		Globular aplanado						
N=	1	3						
Variante	Gd1	Gd3a1						
rango altura	2.40							
rango diám. boca	3.20							
O-C	Globular aplanado							
N=	2	7	4	3				
Variante	Cd1a1	Cd1a2	Cd1a3	Cd2a*				
rango altura	2.50	2.00-3.25	1.60-4.00	3.90				
rango diám. boca	10.10-14.30	9.60-14.30	15.00-16.80	16.70				
				13.90-15.10				
				9.40				
MO-C	Globular aplanado							
N=	1							
Variante	Cd1a1	Cd2d						
altura	2.20	2.00						
diám. boca	6.90	15.35						
		11.70						
CM	Escultórico							
N=	1							
Variante	Cp1	Cd3a1						
altura	7.30	7.50						
diám. boca	6.10	9.20						
P	P1a							
N=	1	3						
rango altura	6.10	5.90-6.90						
rango diám. boca	13.45	17.60-19.30						
		4.40-6.35						
		16.10-19.25						
MP	P2c							
N=	1	4						
altura	3.10							
diám. boca	10.70							
MC-ALCH	G. achat.							
N=	1							
Variante	Cd3b							
altura	1.60							
diám. boca	5.60							











Fig. 4.65a. Estilo Lima. Dimensiones de golletes, cuellos y platos (cuadro elaborado por el autor).



BC	G. aplanado	
N=	3	
Variante	Pd3a1	
rango altura	4.90-5.50(Ni)	
rango diám. boca	4.00-4.65(Ni)	
BC-AAV	G. aplanado	
N=	1	
Variante	Pp1a2	
altura	5.60	
diám. boca	3.40	
B-AAV	G. aplanado	
N=	2	
Variante	Pp2	Pc2c
rango altura	4.50-4.80	5.40-5.70
rango diám. boca	2.40-2.80	2.40-2.40
B-AAV	G. aplanado alargado	
N=	1	
Variante	Pp2	Pc2c
altura	4.90	5.90
diám. boca	2.50	2.70
MB-AAV	G. alargado	
N=	2	
Variante	Pc2c	
rango altura	3.80-3.90	
rango diám. boca	2.10-2.20	


Fig. 4.65b. Estilo Chakipampa. Dimensiones de picos y cuello (cuadro elaborado por el autor).



B-APC-PP	G. achatado
Nº	1
Variante	Pc2a
	
altura	NI
diám. boca	NI

B-ALTV	Globular achatado									
	1	1	1	1	1	1	1	1	1	1
Nº	Pp1	Pd1	Pd2a	Pct1a1	Pct1a3	Pc2c	Pc2d	Pc3a	Pc3b	Pc3c1
Variante										
rango altura	6.20	5.30	5.60	6.80	6.00-6.90 (NI)	6.70	7.00	6.60	5.60	5.70-8.40 (NI)
rango diám. boca	2.20	2.60	3.20	3.00	1.30-2.50 (NI)	2.40	1.50	2.60	2.90	1.70-2.70 (NI)

B-ALTV	P. compuesto	
	1	2
Nº	Pp1	Pd1
Variante		
rango altura	5.40	4.90-5.80
rango diám. boca	2.10	NI

MB-ALTV	G. achatado
Nº	1
Variante	Pc3a
	
altura	4.70
diám. boca	2.10


O-ALCH	
Nº	1
	
altura cuerpo	12.00
diám. cuerpo	24.60

Fig. 4.65c. Estilos Mochica (arriba) y Pachacamac. Botellas, dimensiones de picos; O-ALCH, dimensiones del cuerpo (cuadro elaborado por el autor).

GRUPO NO DETERMINADO

B		G. achat.	
Nº	1	Pq2b	
Variante			
altura	6.80		
diám. boca	4.30		

B		G. alargado	
Nº	1	Pp1	Pc2c
Variante			
altura	3.80		4.50
diám. boca	2.50		2.70

B		Escultórico	
Nº	2	Pd2a	Pd3a1
Variante			
rango altura	2.80-4.60	5.70	6.00
r. diám. boca	1.91-2.70	3.30	4.40

B-APC-PP		G. achatado	
Nº	1	Pf1	
Variante			
rango altura	5.50		
rango diám. boca	1.60		

B-APC-PP		P. compuesto	
Nº	1	Pct1a1	Pct1a3
Variante			
rango altura	7.80-7.10	10.40-NI	
r. diám. boca	NI	1.10-NI	

B-APC-PP		Escultórico	
Nº	1	6	1
Variante	Pp3b2	Pct1a1	Pct1a2
Variante			
rango altura	5.50-5.80	6.20-8.80	NI
r. diám. boca	2.10-2.10	1.10-1.25	NI
		8.30-9.20	5.70-NI
		1.20-2.10	1.10-NI

B-APT-PP	
Nº	
Variante	
rango altura	
rango diám. boca	

Escultórico	
3	2
Pct1a1	Pct1a2
7.10-9.90	9.90-12.00
0.90-1.10	1.20-0.90

B-APC-PC	
Nº	
Variante	
rango altura	
rango diám. boca	

Escultórico	
1	2
Pp3a	Pct1a1
7.10	6.20-8.00
1.40	1.20-NI
	10.40
	1.10

B-APC-PPR	
Nº	
Variante	
rango altura	
rango diám. boca	

Perfil compuesto	
1	4
Pp1	Pc2b
7.70	7.50-9.00
1.60	1.70-1.30
	8.20-9.90
	0.90-1.30

B-APC-PPR		Paralelepípedo	
Nº	1	2	
Variante	Pct1a1	Pc2b	
Variante			
r. altura	7.90	8.00-8.40	
r. diám. boca	1.30	1.30-1.30	

Fig. 4.65d. Grupo No Determinado. Dimensiones de picos en botellas (cuadro elaborado por el autor).

B-ALCV		Globofilar achatado															
N=	1	1	1	1	2	3	2	2	1	1	1	1	1	1	1	1	1
Variante	Pp1	Pp2	Pp3a	Pp3b	pd3	Pd1	Pd2b	Pd2a	Pd1a1	Pp1a1	Pp1a2	Pp1b	Pxc2	Pxc3c	Pc2a1	Pc2a3	
rango altura	4.50	6.00	4.20	4.10	4.80-5.60	3.90-5.00	4.10-5.40	4.80-5.20	5.20	6.10	4.40	5.70	6.60	8.20	4.40	5.50	
rango diám. boca	4.50	2.65	2.10	Ni	4.80-5.70	3.40-3.60	3.40-3.60	3.40-3.70	3.50	3.50	3.50	3.55	2.00	3.70	3.50	3.70	

G. alarg. ap.	
N=	1
Variante	
altura	4.41
diám. boca	2.86

B-ALCV	
N=	1
Variante	
altura	6.85
diám. boca	1.35

P. comp.	
N=	1
Variante	
altura	6.85
diám. boca	1.35

Esc.	
N=	1
Variante	
rango altura	5.20
rango diám. boca	3.20




  



Escultrónico	
N=	1
Variante	
rango altura	4.20-6.30
rango diám. boca	2.90-3.60



  

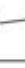


Escultrónico	
N=	1
Variante	
rango altura	4.20-6.30
rango diám. boca	2.90-3.60




Fig. 4.65(1). Grupo No Determinado. Dimensiones de picos de botellas (cuadro elaborado por el autor).

MB-ALCV	Glob. achatado	
Nº	1	1
Variante	Gd1	Gz2b
		
rango altura	2.90	2.70
rango diám. boca	3.70	3.30

MB-ALCV	P. comp.	
Nº	1	1
Variante	pp1	
		
altura	2.30	
diám. boca	2.21	

MB-ALCV	Esc.	
Nº	1	1
Variante	pp3	
		
rango altura	1.70	
rango diám. boca	NI	

Globular achatado		
1	1	1
Pd1	Pd2b	Pd3a1
		
4.20	4.75	3.10
2.70	2.10	2.87

Escultórico		
1	1	2
Pd3a1	Pd3a2	Pxp1a1
		
NI	3.80	5.30-4.30
NI	3.00	2.40-3.40



G. achst.	
1	1
Pz2a2	
	
5.60	
4.10	

Fig. 4.65e(2). Grupo No Determinado. Dimensiones de picos de botellas (cuadro elaborado por el autor).

B-ALTV	Escultórico	
	1	1
N=	Pp1	Pd3a1
Variante		
rango altura	5.50	4.50
rango diám. boca	3.30	3.30
		5.30
		2.70

B-AAV	Esc.	
	1	1
N=	Pxp1a2	
Variante		
altura	6.20	
diám. boca	3.50	

MB-AAV	G. achatado	
	1	1
N=	Pp3a	
Variante		
altura	4.90	
diám. boca	2.45	

B-AE	Esc.	
	1	1
N=	Pp1a1	
Variante		
altura	3.00	
diám. boca	2.80	

C	P. comp.	
	1	1
N=	Cd3a1	
Variante		
altura	4.70	
diám. boca	6.40	

C-ALCH	-	
	1	1
N=		
Variante		
altura cuerpo	17.20	
diám. cuerpo	20.60	

O-C	P. comp.	
	1	1
N=	Cd1a3	
Variante		
altura	3.20	
diám. boca	20.80	

O-C	Escultórico	
	1	1
N=	Cd1a2	Cd3a2
Variante		
altura	3.30	2.50
diám. boca	10.10	11.90
		15.50

MO-C	Glob. achatado	
	1	1
N=	Cd1a1	Cd3a2
Variante		
altura	3.00	2.00
diám. boca	9.80	9.70
		11.20

MO-C	Escultórico	
	1	1
N=	Cd1a2	Cxp1
Variante		
altura	2.20	3.10
diám. boca	10.20	9.40
		10.30

O-C-ALCH	G. achat.	
	1	1
N=	Cd1a1	
Variante		
altura	1.15	
diám. boca	9.80	

MO-C-AAH	Esc.	
	1	1
N=	Cd1a1	
Variante		
altura	1.50	
diám. boca	4.25	

MO-C-AAH-ve	Esc.	
	2	2
N=	Cd3a1	
Variante		
altura	1.30-2.80	
diám. boca	6.20-9.30	

T	Glob. achatado	
	5	11
N=	Vexp1a	Vec1
Variante		
rango de longitud	4.95-9.50	5.30-11.15
rango diám. boca	1.90-2.80	0.70-2.50
	5.40	2.70
	6.00-7.80	1.00-0.90

P	P. comp.	
	2	2
N=	Vec1	
Variante		
altura	5.40	
diám. boca	14.85-14.15	


O-ALCH	-	
	3	3
N=		
Variante		
rango altura cuerpo	9.30-10.50	
rango diám. cuerpo	19.85-24.30	

O-ALCH-ve	G. achat.	
	1	1
N=	Vexp1a	Vexp1b
Variante		
longitud	Ni	3.70
diám. boca	2.70	0.60


MT	G. achat.	
	1	1
N=	Vec2	
Variante		
altura	7.50	
diám. boca	1.20	

MP	P. comp.	
	1	1
N=		
Variante		
altura	2.60	
diám. boca	8.90	


Fig. 4.65f. Grupo No Determinado. Dimensiones de picos, cuellos, vertederas en diversas subcategorías de botellas, cántaros, ollas, teteras y platos (cuadro elaborado por el autor).


P	P2a
N=	2
Variante	
rango altura	4.90-6.60
rango diám. de boca	16.45-20.40

a


B	G. achat.
N=	1
Variante	Pc2c
	
altura	6.80
diám. boca	2.10

c


B	Esc.
N=	1
Variante	Pp1
	
altura	4.45
diám. boca	3.95

MB	Esc.
N=	1
Variante	pe1a2
	
rango altura	4.00
rango diám. boca	3.80


B	Esc.
N=	1
Variante	Pp1
	
altura	4.45
diám. boca	3.95

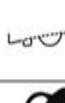
BC	G. aplan.
N=	2
Variante	Pq2b
	
rango altura	4.30-4.65
rango diám. boca	3.80-3.35


b

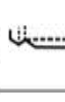
B-APC-PP	Escultórico
N=	1
Variante	Pc1a3
	
altura	8.20-NI
diám. boca	9.50-9.50
	1.53-NI
	0.70-NI


B-ALCV	Escultórico
N=	1
Variante	Pp3b2
	
altura	5.10
diám. boca	3.10
	2.30

B-ALCV	G. achat.
N=	1
Variante	Pq3a2
	
altura	3.89
diám. boca	2.96

B-ALCV	P. comp.
N=	1
Variante	Pxd3
	
altura	5.35
diám. boca	2.70

B-ALCV	Escultórico
N=	1
Variante	Pp1
	
altura	4.45
diám. boca	2.65
	5.10
	6.30
	2.30

B-AE	G. achat.
N=	1
Variante	pq1
	
altura	3.30
diám. boca	3.30

MO-C-AAH-Ve	Esc.
N=	1
Variante	Cd1a1
	
altura	0.75
diám. boca	4.60

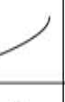
P	P1a
N=	1
	
altura	5.50
diám. boca	17.50

Fig. 4.65g. Vasijas de cocción reductora. a. Estilo Lima; b. Estilo Chakipampa; c. Grupo No Determinado. Dimensiones de picos, cuello y platos (cuadro elaborado por el autor).

Cuerpo de la vasija		Protomas, modelados aplicados, pedestales	
1	<b>Seres vivos</b>	1	<b>Seres vivos</b>
2	Cuerpo completo	2	Cuerpo completo
3	<b>A Zoomorfos</b>	3	<b>A Zoomorfos</b>
4	A.1 Acuáticos	4	A.1 Acuáticos
5	Pez	5	Pez
6	Molusco	6	Langosta
7	<b>A.2 Terrestres</b>	7	<b>A.2 Terrestres</b>
8	Felino	8	Felino
9	Serpiente	9	Mono
10	Llama	10	A.3 Aéreos
11	<b>A.3 Aéreos</b>	11	Ave
12	Ave	12	Cabeza de ave
13	<b>A.4 No identificado</b>	13	<b>B Híbridos o fantásticos</b>
14	Cabeza de animal no identificado	14	Animal alado fantástico
15	<b>B Híbridos o fantásticos</b>	15	<b>C Fitomorfos</b>
16	Serpiente felinizada	16	Frutos o elementos vegetales
17	Pez felinizado	17	<b>D Antropomorfos</b>
18	Pez de dos cabezas felinizado	18	Hombre
19	Felino-serpiente	19	Mujer
20	<b>C Fitomorfos</b>	20	<b>E Representaciones compuestas</b>
21	Cucurbitácea	21	Hombre + pez
22	Lúcuma	22	Hombre + felino
23	<b>D Antropomorfos</b>	23	Hombre + forma globular alargada
24	Hombre	24	Fig. no ident. + forma globular alargada
25	Mujer	25	<b>Objetos inanimados</b>
26	Cabeza de hombre	26	<b>A Objetos</b>
27	Mama	27	Vasija cerámica
28		28	<b>B Figuras geométricas</b>
29		29	Forma cruciforme
30		30	<b>Formas especiales</b>
31		31	Formas geométricas (aprox.) con adiciones modeladas
32		32	
33		33	
34		34	
35		35	
36		36	
37		37	
38		38	
39		39	
40		40	
41		41	
42		42	
43		43	
44		44	
45		45	
46		46	
47		47	
48		48	
49		49	
50		50	
51		51	
52		52	
53		53	
54		54	
55		55	
56		56	
57		57	
58		58	
59		59	
60		60	
61		61	
62		62	
63		63	
64		64	
65		65	
66		66	
67		67	
68		68	
69		69	
70		70	
71		71	
72		72	
73		73	
74		74	
75		75	
76		76	
77		77	
78		78	
79		79	
80		80	
81		81	
82		82	
83		83	
84		84	
85		85	
86		86	
87		87	
88		88	
89		89	
90		90	
91		91	
92		92	
93		93	
94		94	
95		95	
96		96	
97		97	
98		98	
99		99	
100		100	

Fig. 4.66. Formas escultóricas de cuerpos, protomas, elementos modelados y bases pedestales (cuadro elaborado por el autor).

Cat./subcat.	Correlación est. forma del cuerpo	Rep. escultórica específica (según Fig. 4.66)	Tipo	Var.	Contorno	Esp.	
B			G. achat.	1	Pd2b	35-1038	
			G. alarg.	1	Pp1	35-5430	
			G. alarg.	2	Pc2c	CE-0062	
	F. alus. lima F. alus. pachecc F. alus. nazca F. alus. pachecc	Cucurbitácea Mamiforme Forma especial Hombre Hombre + pez Cabeza de hombre	Esc.		1	Pp1	CE-0020
					2	Pd2a	35-5027
					3	Pd3a1	35-5713
				s.e.1	NI	35-995	
	s.e.2	NI	35-1004				
	s.e.2	NI	CE-0005				
MB		Serpiente	Esc.	s.e.1	NI	35-5903	
B-APC-PP	F. idént. nazca F. idént. nazca		G. achat.	1	Pe1	CE-0019	
			P. comp.	1	Pc1a1	35-1010	
	F. alus. nazca	Lúcuma Cucurbitácea Vasija Forma especial Pez Forma especial Vasija Serpiente Serpiente Fig. cruciforme Cucurbitácea	Esc.	P. comp.	2	Pc1a3	35-5235
					1	Pp3b2	CE-0016
					2	Pc1a1	35-5756
					2	Pc1a1	35-1455
					2	Pc1a1	35-1398
					2	Pc1a1	CE-0001
					2	Pc1a1	35-5120
					3	Pc1a2	CE-0174
	4	Pc2b	35-1000				
	5	Pc2e	35-999				
						35-1478	
						CE-0018	
B-APT-PP	F. alus. mochica F. alus. nazca F. alus. mochica	Pez felinizado Molusco Cabeza de hombre Vasija Cabeza de felinc	Esc.	1	Pc1a1	35-1492	
				2	Pc1a2	35-1493	
B-AP(?) -PP	F. idéntica atarco/pachacamac		G. achat.	s.e.1	NI	35-5293	
			P. comp.	s.e.1	NI	35-1015	
			P. comp.	s.e.2	NI	35-1479	
	F. alus. mochica F. alus. nazca F. alus. mochica	Cabeza de hombre Cabeza de lobo marinc Serpiente Serpiente Vasija Cabeza de hombre	Esc.	Cilíndrico	s.e.1	NI	CE-0046
					s.e.2	NI	CE-0314
					s.e.1	NI	CE-0164
					s.e.2	NI	CE-0002
					s.e.3	NI	35-1001
					s.e.4	NI	35-1002
					s.e.5	NI	35-1404
					s.e.6	NI	CE-0007
B-APC-PC	F. alus. lima	Hombre Mujer Hombre + f. glob. alarg. Serpiente felinizada	Esc.	1	Pp3a	CE-0003	
				2	Pc1a1	MSP-412	
				3	Pc1a2	CE-0011	
B-APC-P?C	F. alus. lima	Mujer Fig. no ident. + f. glob. alarg. Felino	Esc.	s.e.1	NI	35-1003	
				s.e.2	NI	CE-0004	
B-AP?-PC	F. alus. lima	Mujer	Esc.	s.e.3	NI	35-1596	
				s.e.1	NI	CE-2738	
B-APC-PPR	Tec. nazca Tec. nazca Tec. nazca F. idéntica atarco/pachacamac Tec. nazca Tec. nazca		P. comp.	1	Pp1	CE-0013	
				2	Pc1a1	CE-0015	
				3	Pc2b	35-1472	
			Paralelep.	1	Pc1a1	CE-0154	
				2	Pc2b	CE-0155	
						35-1454	
B-AP?-PPR	Tec. nazca		P. comp.	s.e.1	NI	CE-0014	
						CE-0047	
						35-1438	
						35-1402	
						35-998	

Fig. 4.67. (en esta página y la siguiente). Grupo No Determinado. Botellas. Presencia o ausencia de formas escultóricas y correlación estilística de la forma del cuerpo correspondiente (cuadro elaborado por el autor).



B-ALCV	F. idént. lima F. idént. lima		G. achat.	1	pp1	CE-0051
				2	Pp2	35-1027
	3			Pp3a	CE-0033	
	4			Pp3b	CE-0068	
	5			pd3	CE-0066	
					CE-0049	
	6			Pd1	CE-0162	
					35-5296	
	7			Pd2b	35-5431	
					35-5753	
	8			Pd3a1	35-6025	
					35-1509	
	9			Pc1a1	35-1408	
					35-5695	
	10			Pxp1a1	35-1028	
					35-5025	
11	Pxp1a2	CE-0023				
		35-1036				
12	Pxp1b	CE-0054				
		CE-0037				
13	Pxc2	CE-0038				
		CE-0029				
14	Pxc3c	CE-0140				
		CE-0140				
15	Pe2a1	CE-0140				
		CE-0140				
16	Pe2a3	CE-0140				
		CE-0140				
	G. ap. alar.	1	Pd3a1	CE-0029		
	Tec. nazca	P. comp.	1	Pc1a1	CE-0140	
F. idént. transicional  F. alus. lima	Cucurbitácea Cucurbitácea Cucurbitácea Felino Cucurbitácea Cucurbitácea Mamiforme Cucurbitácea Cucurbitácea Cucurbitácea	Esc.	1	Pp1	35-6026	
			2	Pd1	35-6057	
			3	Pd3a1	35-5914	
					CE-0009	
			4	Pd3a3	CE-0144	
					35-1606	
			5	Pxp1c	35-1034	
					CE-0030	
			6	Pxp1d	CE-0043	
					CE-0043	
7	pxd2	CE-0043				
		CE-0043				
	s.e.1	NI	35-1407			
MB-ALCV	Tec. nazca	G. achat.	1	Gd1	35-1035	
			2	Gd2b	CE-0042	
			3	Pd1	35-5435	
			4	Pd2b	CE-0022	
			5	Pd3a1	CE-0024	
			6	Pe2a2	CE-0041	
		P. comp.	1	pp1	CE-0025	
	Cucurbitácea Forma especial Ave Pez Cucurbitácea	Esc.	1	pp3	35-5303	
			2	Pd3a1	MSP-414	
			3	Pd3a2	35-1007	
4			Pxp1a1	∇4/misc 35-1511		
B-ALTV	Cucurbitácea Forma especial Cucurbitácea	Esc.	1	Pp1	CE-0151	
			2	Pd1	CE-0012	
			3	Pd3a1	CE-0152	
B-AAV	Cabeza de animal no ident.	Esc.	1	Pxp1a2	35-6055	
MB-AAV		G. achat.	1	Pp3a	CE-0153	
B-AE	F. alus. lima	Hombre + felino Mujer	Esc.	1	pe1a1	CE-0006
				s.e.1	NI	35-1490
BND	¿F. alus. nazca? ¿F. alus. mochica?	Ave Hombre NI	Esc.	s.e.1	NI	CE-0313
				s.e.2	NI	CE-0163
				s.e.3	NI	35-1403

Cat./subcat.	Correlación est. forma del cuerpo	Rep. escultórica específica (según Fig. 4.66)	Tipo	Var.	Contorno	Esp.						
C			G. achat.	1	Cd3a1	CE-0069						
C-ALCH			G. achat.	s.e.1	NI	CE-0316						
O-C		Cucurbitácea Cucurbitácea Cucurbitácea	P. comp.	1	Cd1a3	CE-0070						
			Esc.	1	Cd1a2	35-1030						
				2	Cd2d	CE-0161						
				3	Cd3a2	CE-0099						
MO-C			G. achat.	1	Cd1a1	CE-0082						
				2	Cd2a	CE-0074						
				3	Cd3a2	CE-0075						
			Esc.	1	Cd1a2	CE-0072						
				2	Cd2a	35-6023						
				3	Cxp1	35-5912						
O-C-ALCH			G. achat.	1	Cd1a1	CE-0315						
MO-C-AAH		Cucurbitácea	Esc.		Cd1a1	CE-0157						
MO-C-AAH-Ve		Cucurbitácea Cucurbitácea	Esc.	1	Cd3a1	CE-0158 35-1024						
O-ALCH			G. achat.			35-1023 35-5709 CE-0112						
O-ALCH-Ve		Cucurbitácea	G. achat.	1	Vp1a	CE-0113						
			Esc.	1	Vp1b	CE-0114						
T			G. achat.	1	Vep1	CE-0101 35-1534 CE-0108 CE-0107 CE-0106 CE-0102 CE-0105 35-5710 35-1022 35-1536 CE-0104 CE-0103 MSP-1047 CE-0100 CE-0115 CE-0160 CE-0109						
						2	Vec1	CE-0159				
				3	Vexp1			35-1021				
				s.e.1	?			35-1535				
				P. comp.	1			Vec1	CE-0110			
					s.e.1			?	CE-0111			
					s.e.2			?	CE-0111			
				MT					G. achat.	1	Vec2	35-5122
				P	F. idént. lima				P2a			CE-0169
					F. alus. nazca		MPx1			CE-0127		
V	F. alus. nazca		Vp2a			CE-0133						
			Vp2b1			35-1013						
			Vd2b			CE-0132						
Cu			Cu3b1			CE-0167						
			Cu3a2			CE-0135						

Fig. 4.68. Grupo No Determinado. C, C-ALCH, O-C, MO-C, MO-C-AAH, MO-C-AAH-Ve, O-ALCH, O-C-ALCH, O-ALCH-Ve, T, MT y Cu. Presencia o ausencia de formas escultóricas y correlación estilística de la forma del cuerpo correspondiente (cuadro elaborado por el autor).

Cat./subcat.	Correlación est. forma del cuerpo	Rep. escultórica específica (según Fig. 4.66)	Tipo	Var.	Contorno	Esp.
B	F. idéntica atarco/pachacamac		G. achat.	1	Pc2c	CE-0145
		Molusco	Esc.	1	Pp1	CE-0149
MB	F. alus. pacheco	Llama	Esc.	1	pe1a1	CE-0010
B-APC-PP	F. idént. mochica	Vasija	Esc.	1	Pc1a3	CE-0156
		Cucurbitácea		2	Pc2a	CE-2786
B-ALCV		Forma especial Cucurbitácea Vasija	G. achat.	1	Pd3a2	CE-0026
			P. comp.	1	Pxd3	CE-0059
			Esc.	1	Pp1	CE-0146
				2	Pp3b2	CE-0044
3	Pd3a2	CE-0058				
B-AE	F. alus. lima		G. achat.	1	pxp1	MSP-71
MO-C-AAH-Ve		Vasija	Esc.	s.e.1	Cd1a1	CE-0138
P	F. idént. lima		P1a	—		CE-0170
MV			Ved1	—		35-5055b
MV-Ve			Ved2a	—		35-5504
Cu			Cu1	—		CE-0130
			Cu2	—		CE-0168

Fig. 4.69. Vasijas de cocción reductora. Grupo No Determinado. Presencia o ausencia de formas escultóricas y correlación estilística de la forma del cuerpo correspondiente (cuadro elaborado por el autor).











Subcat.	Tipo	Var.	Contorno	Subvar.	Código de forma y tecnología	Esp. (pasta)		
B-ALCV	G. achat.	1	 Gp3	1a	B(C1)-Gp3-ALCV [Bf Se] [R-Al]	CE-0064		
		2	 Gd1	2a1	B(C1)-Gd1-ALCV [Ba Sb] [R-Al]	CE-0067	CE-0060	
					B(C1)-Gd1-ALCV [Ba Sb] [Na-P]	35-5036	35-5298	CE-0035
				2a2	B(C1)-Gd1-ALCV [Ba Sf] [Na-P]	35-1508 (1a)		
				2b	B(C1)-Gd1-ALCV [Bd Sb] [R-P]	35-5024 (2)		
					B(C1)-Gd1-ALCV [Bd Sb] [Na-P]	CE-0034 (2)		
			2c	B(C1)-Gd1-ALCV [Bf Sb] [Na-P]	35-5035 (2)			
		3	 Gd2a	3a	B(C1)-Gd2a-ALCV [Ba Sb] [Na-P]	35-5917	CE-0036 (3)	35-1498 (4)
						CE-0031		
			3b	B(C1)-Gd2a-ALCV [Bd Sb] [Na-Br]	CE-0050 (2)			
		4	 Gd2b	4a	B(C1)-Gd2b-ALCV [Ba Sb] [Na-Br]	CE-0040		
		5	 Gd2c	5a	B(C1)-Gd2c-ALCV [Ba Sa] [Na-Br]	CE-0032 (2)		
		6	 Gd3a1	6a1	B(C1)-Gd3a1-ALCV [Ba Sb] [R-Al]	35-5243	CE-0057 (2)	
					B(C1)-Gd3a1-ALCV [Ba Sb] [R-Br]	CE-0052 (2)		
				6a2	B(C1)-Gd3a1-ALCV [Ba Sd] [Na-Al/Br]	35-5433 (2)		
				6b	B(C1)-Gd3a1-ALCV [Bd Sb] [Na-P]	CE-0039	35-5297	
			6c	B(C1)-Gd3a1-ALCV [Bf Sb] [R-Al]	CE-0048			
		7	 Gd3a2	7a	B(C1)-Gd3a2-ALCV [Ba Sb] [R-Al]	CE-0053		
				7b	B(C1)-Gd3a2-ALCV [Bf Sb] [Na-Al]	CE-0056 (2)		
		8	 Gxd1	8a	B(C1)-Gxd1-ALCV [Ba Sb] [R-Al]	CE-0055		
MB-ALCV	G. achat.	1	 Gd1	1a	MB(C1)-Gd1-ALCV [Ba Sb] [Na-P]	CE-0021		
		2	 Gd3a1	2a1	MB(C1)-Gd3a1-ALCV [Ba Se] [R-Al]	CE-0063 (2)		
				2a2	MB(C1)-Gd3a1-ALCV [Ba Sb] [R-Al]	CE-0061		
				2b	MB(C1)-Gd3a1-ALCV [Bd Sd] [R-Al]	CE-0150 (2)		

Fig. 4.70. Estilo Lima. B-ALCV y MB-ALCV. Codificación de los rasgos morfológicos y tecnológicos, así como los especímenes correspondientes (cuadro elaborado por el autor).












Subcat.	Tipo	Var.	Contorno	Subvar.	Código de forma y tecnología	Esp. (pasta)
O-C	G. achat.	1		1a	O(C1)-Cd1a1 [Ba Sb] [R-Al]	CE-0090
				1b	O(C1)-Cd1a1 [Bd Sb] [Na-Br]	CE-0071
		2		2aNI	O(C1)-Cd1a2 [Ba SNI] [R-Al]	CE-0079
				2b	O(C1)-Cd1a2 [Bc Sb] [R-Al]	CE-0089
				2c	O(C1)-Cd1a2 [Bd Sb] [R-Al]	CE-0086 CE-0078 CE-0083
					O(C1)-Cd1a2 [Bd Sb] [Na-Al]	CE-0076
		3		3a	O(C1)-Cd1a3 [Ba Sb] [R-Al]	CE-0097 (2) CE-0088
					O(C1)-Cd1a3 [Ba Sb] [R-Br]	CE-0091
					O(C1)-Cd1a3 [Ba Sb] [Na-Br]	CE-0077 (3)
		4		4a	O(C1)-Cd2a [Ba Sb] [Mcl-Al]	CE-0098
		5		5a	O(C1)-Cd2b [Ba Sb] [Na-Al]	CE-0087
				5b1	O(C1)-Cd2b [Bd Sb] [R-Al]	CE-0073
				5b2	O(C1)-Cd2b [Bd Sa] [R-Al]	CE-0084
		6		6a	O(C1)-Cd2c [Bd Sb] [R-Al]	CE-0085
7		7a	O(C1)-Cd3a1 [Ba Sb] [Na-Al]	CE-0094 (2)		
8		8a	O(C1)-Cd3a2 [Bf Sb] [Na-P]	CE-0317		
		8NI	O(C1)-Cd3a2 [NI SNI] [Na-Al]	CE-0093		
MO-C	G. achat.	1		1a	MO(C1)-Cd1a1 [Bd Sb] [R-Al]	CE-0081
		2		2a	MO(C1)-Cd1a2 [Ba Sc] [Mcl-Al]	CE-0096
		3		3a	MO(C1)-Cd2d [Bd Sb] [R-Br]	CE-0092

Fig. 4.71. Estilo Lima. O-C y MO-C. Codificación de los rasgos morfológicos y tecnológicos, así como los especímenes correspondientes (cuadro elaborado por el autor).




Subcat.	Tipo	Var.	Contorno	Subvar.	Código de forma y tecnología	Esp. (pasta)
CM	Esc.	1	 Cp1	1a	CM(C8)-Cp1 [NO-Sd] [R-AI]	35-5429
		2	 Cd3a1	2a	CM(C8)-Cd3a1 [NO-Se] [R-Br]	35-1542
MC	G. achat.	1	 Cp3b	1a	MC(C1)-Cp3b-ALCH [Bb Sg] [Mos-AI]	CE-0065

Fig. 4.72. Estilo Lima. Cántaros. Codificación de los rasgos morfológicos y tecnológicos, así como los especímenes correspondientes (cuadro elaborado por el autor).






Cat./subcat.	Tipo	Contorno	Subvar.	Código de forma y tecnología	Esp. (pasta)
P	1	 P1a	1a	P1a [Ba-Sd] [Na-Br]	CE-0171 (2)
			2a	P1b [Ba-Sb] [R-AI]	CE-0117
	2	 P1b	2b	P1b [Bd-Sb] [R-AI]	CE-0118 (3)
			2NI	P1b [NI-SNI] [Mcl-Br]	CE-0842
			3a1	P2b [Ba-Sa] [Na-AI]	CE-0121
	3	 P2b	3a2	P2b [Ba-Sb] [Mcl-AI]	CE-0125
			3b	P2b [Bd-Sb] [Mcl-AI]	CE-0124
			3c	P2b [Be-Sb] [Mcl-AI]	CE-0116 (3)
			4a	P2c [Ba-Sb] [Mcl-AI]	CE-0122
	4	 P2c	4b1	P2c [Be-Sb] [R-AI]	CE-0123
				P2c [Be-Sb] [Mcl-AI]	CE-0119
			4b2	P2c [Be-Sg] [Na-P]	CE-0120
	MP	1	 MP2c	1a	MP2c [Bf-Sb] [Na-AI]

Fig. 4.73. Estilo Lima. Platos. Codificación de los rasgos morfológicos y tecnológicos, así como los especímenes correspondientes (cuadro elaborado por el autor).

Tabla de contingencia Variante\_forma \* Color\_acabado

Recuento		Color_acabado							Total	
		[Na-AI]	[Na-AI/Br]	[Na-Br]	[Na-P]	[R-AI]	[R-Br]	[R-P]		
Variante_forma	1	B(C1)-Gp3-ALCV [Bf Se]	0	0	0	0	1	0	0	1
	2	B(C1)-Gd1-ALCV [Ba Sb]	0	0	0	3	2	0	0	5
		B(C1)-Gd1-ALCV [Ba Sf]	0	0	0	1 (1a)	0	0	0	1
		B(C1)-Gd1-ALCV [Bd Sb]	0	0	0	1 (2)	0	0	1 (2)	2
		B(C1)-Gd1-ALCV [Bf Sb]	0	0	0	1 (2)	0	0	0	1
	3	B(C1)-Gd2a-ALCV [Ba Sb]	0	0	0	4 (3,4)	0	0	0	4
		B(C1)-Gd2a-ALCV [Bd Sb]	0	0	1 (2)	0	0	0	0	1
	4	B(C1)-Gd2b-ALCV [Ba Sb]	0	0	1	0	0	0	0	1
	5	B(C1)-Gd2c-ALCV [Ba Sa]	0	0	1	0	0	0	0	1
	6	B(C1)-Gd3a1-ALCV [Ba Sb]	0	0	0	0	2 (2)	1 (2)	0	3
		B(C1)-Gd3a1-ALCV [Ba Sd]	0	1 (2)	0	0	0	0	0	1
		B(C1)-Gd3a1-ALCV [Bd Sb]	0	0	0	2	0	0	0	2
		B(C1)-Gd3a1-ALCV [Bf Sb]	0	0	0	0	1	0	0	1
		B(C1)-Gd3a2-ALCV [Ba Sb]	0	0	0	0	1	0	0	1
	7	B(C1)-Gd3a2-ALCV [Bf Sb]	1 (2)	0	0	0	0	0	0	1
		B(C1)-Gd3a2-ALCV [Ba Sb]	0	0	0	0	1	0	0	1
	8	B(C1)-Gxd1-ALCV [Ba Sb]	0	0	0	0	1	0	0	1
	1	MB(C1)-Gd1-ALCV [Ba Sb]	0	0	0	1	0	0	0	1
	2	MB(C1)-Gd3a1-ALCV [Ba Sb]	0	0	0	0	1	0	0	1
		MB(C1)-Gd3a1-ALCV [Ba Se]	0	0	0	0	1 (2)	0	0	1
MB(C1)-Gd3a1-ALCV [Bd Sd]		0	0	0	0	1 (2)	0	0	1	
Total		1	1	3	13	11	1	1	31	

Fig. 4.74. Tabla de contingencia. Estilo Lima. B-A-LCV. Datos de los códigos de forma y color de superficie y acabado (entre paréntesis se indica el tipo de pasta) (cuadro elaborado por el autor)

Tabla de contingencia Variante\_forma \* Color\_acabado








Recuento		Color_acabado						Total	
		[Na-AI]	[Na-Br]	[Na-P]	[R-AI]	[R-Br]	[Mcl-AI]		
Variante_forma	1	O(C1)-Cd1a1 [Ba Sb]	0	0	0	1	0	0	1
		O(C1)-Cd1a1 [Bd Sb]	0	1	0	0	0	0	1
	2	O(C1)-Cd1a2 [Ba SNI]	0	0	0	1	0	0	1
		O(C1)-Cd1a2 [Bc Sb]	0	0	0	1	0	0	1
		O(C1)-Cd1a2 [Bd Sb]	1	1	0	3	0	0	5
	3	O(C1)-Cd1a3 [Ba Sb]	0	1 (3)	0	2 (2)	1	0	4
	4	O(C1)-Cd2a [Ba Sb]	0	0	0	0	0	1	1
	5	O(C1)-Cd2b [Ba Sb]	1	0	0	0	0	0	1
		O(C1)-Cd2b [Bd Sa]	0	0	0	1	0	0	1
		O(C1)-Cd2b [Bd Sb]	0	0	0	1	0	0	1
	6	O(C1)-Cd2c [Bd Sb]	0	0	0	1	0	0	1
	7	O(C1)-Cd3a1 [Ba Sb]	1 (2)	0	0	0	0	0	1
	8	O(C1)-Cd3a2 [Bf Sb]	0	0	1	0	0	0	1
		O(C1)-Cd3a2 [NI SNI]	1	0	0	0	0	0	1
	1	MO(C1)-Cd1a1 [Bd Sb]	0	0	0	1	0	0	1
	2	MO(C1)-Cd1a2 [Ba Sc]	0	0	0	0	0	1	1
	3	MO(C1)-Cd2d [Bd Sb]	0	0	0	0	1	0	1
	Total		4	3	1	12	2	2	24

Fig. 4.75. Tabla de contingencia. Estilo Lima. O-C y MO-C. Datos de códigos de forma y color de superficie y acabado (entre paréntesis se indica el tipo de pasta) (cuadro elaborado por el autor).

Tabla de contingencia Variante\_forma \* Color\_acabado

Recuento		Color_acabado					Total		
		[Na-AI]	[Na-Br]	[Na-P]	[R-AI]	[Mcl-AI]		[Mcl-Br]	
Variante_forma	P1a [Ba Sd]	0	1 (2)	0	0	0	0	1	
	P1b [Ba-Sb]	P1b [Ba-Sb]	0	0	0	1	0	0	1
		P1b [Bd-Sb]	0	0	0	1 (3)	0	0	1
		P1b [NI-SNI]	0	0	0	0	0	1	1
		P2b [Ba-Sa]	1	0	0	0	0	0	1
	P2b [Ba-Sb]	P2b [Ba-Sb]	0	0	0	0	1	0	1
		P2b [Bd-Sb]	0	0	0	0	1	0	1
		P2b [Be-Sb]	0	0	0	0	1 (3)	0	1
		P2c [Ba-Sb]	0	0	0	0	1	0	1
	P2c [Be-Sb]	P2c [Be-Sb]	0	0	0	1	1	0	2
		P2c [Be-Sg]	0	0	1	0	0	0	1
	MP2c [Bf-Sb]	1	0	0	0	0	0	1	
	Total		2	1	1	3	5	1	13

Fig. 4.76. Tabla de contingencia. Estilo Lima. P. Datos de códigos de forma y color de superficie y acabado (entre paréntesis se indica el tipo de pasta) (cuadro elaborado por el autor).

Subcat.	Tipo	Var.	Contorno	Subvar.	Código de forma y tecnología	Esp. (pasta)
BC	G. aplan.	1	 Pd3a1	1a	BC(C3)-Pd3a1 [Ba Sf] [R-AI]	35-6022
				1b1	BC(C3)-Pd3a1 [Bd Sf] [Na-AI]	CE-0141
				1b2	BC(C3)-Pd3a1 [Bd Sg] [Na-P]	CE-0143
				1bNI	BC(C3)-Pd3a1 [Bd SNI] [Na-Br]	35-1496 (1b)
BC-AAV	G. aplan.	1	 Pxp1a2	1a	BC(C3)-Pxp1a2-AAV [Ba Sb] [Na-Br]	35-5294
B-AAV	G. aplan.	1	 Pp2	1a1	B(C3)-Pp2-AAV [Bd Sc] [Na-P]	35-1499
				1a2	B(C3)-Pp2-AAV [Bd Sg] [Na-P]	35-1020
		2		2a1	B(C3)-Pc2c-AAV [Ba Sb] [Na-P]	35-1018 (2)
				2a2	B(C3)-Pc2c-AAV [Ba Se] [Na-P]	35-1019
	G. aplan. alargado	1	 Pp2	1a	B(C4)-Pp2-AAV [Bd Sc] [Na-P]	35-5289
		2	 Pc2c	2aNI	B(C4)-Pc2c-AAV [NI Sg] [Na-P]	CE-0142
		3	 Pxc3a	3aNI	B(C4)-Pxc3a-AAV [Ba EENI] [Na-P]	35-1017
	MB-AAV	Glob. alarg.	1	 Pc2c	1a1	MB(C2)-Pc2c-AAV [Bd Sc] [Na-P]
1a2					MB(C2)-Pc2c-AAV [Bd Sg] [Na-P]	CE-0027 (1a)

4.77. Estilo Chakipampa. Botellas. Codificación de los rasgos morfológicos y tecnológicos, así como los especímenes correspondientes (cuadro elaborado por el autor).


Subcat.	Tipo	Var.	Contorno	Subvar.	Código de forma y tecnología	Esp. (pasta)
MC	Glob. achat.	1	 Cp3a	1a	MC(C1)-Cp3a-AAV [Bd Sb] [Na-P]	35-5759

Fig. 4.78. Estilo Chakipampa. Cántaro. Codificación de los rasgos morfológicos y tecnológicos, así como el espécimen correspondiente (cuadro elaborado por el autor).






Categoría	Tipo	Contorno	Subvar.	Código de forma y tecnología	Esp. (pasta)
Cu	1	 Cu3a1	1a	Cu3a1 [Ba-Sf] [Na-P]	CE-0128 (2)
	1	 Cu3b1	1a	Cu3b1 [Bd-Sf] [Na-P]	CE-0166
	2	 Cu3b2	2a	Cu3b2 [Bd-Sd] [Na-P]	CE-0172

Fig. 4.79. Estilo Chakipampa. Cuencos. Codificación de los rasgos morfológicos y tecnológicos, así como los especímenes correspondientes (cuadro elaborado por el autor).


Categoría	Tipo	Contorno	Subvar.	Código de forma y tecnología	Esp. (pasta)
V	1	 Vp2b2	1a	Vp2b2 [Bd-Sb] [Na-P]	CE-0165

Fig. 4.80. Estilo Nazca. Vaso. Codificación de los rasgos morfológicos y tecnológicos, así como el espécimen correspondiente (cuadro elaborado por el autor).


Subcategoría	Tipo	Var.	Contorno	Subvar.	Código de forma y tecnología	Esp. (pasta)
B-APC-PP	G. achat.	1	 Pc2a	1aNI	B(C1)-APC-PP(Pc2a) [Bd SNI] [R-P]	CE-0045

Fig. 4.81. Estilo Mochica. B-APC-PP. Codificación de los rasgos morfológicos y tecnológicos, así como el espécimen correspondiente (cuadro elaborado por el autor).






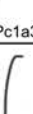
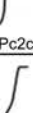
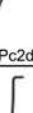
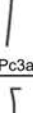
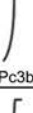






Subcat.	Tipo	Var.	Contorno	Subvar.	Código de forma y tecnología	Esp. (pasta)
B-ALTV	G. achat.	1		1a	B(C1)-Pp1-ALTV [Ba Sa] [Na-P]	35-5497 (2)
		2		2a	B(C1)-Pd1-ALTV [Ba Sg] [Na-P]	35-1033
		3		3a	B(C1)-Pd2a-ALTV [Bd Sb] [Na-P]	35-8845 (2)
		4		4a	B(C1)-Pc1a1-ALTV [Ba Sg] [Mcl-Al]	35-5033
		5		5a	B(C1)-Pc1a3-ALTV [Ba Sc] [Mcl-P]	35-5290
				5aNI	B(C1)-Pc1a3-ALTV [Ba SNI] [Na-P]	35-8844 (3)
				5b	B(C1)-Pc1a3-ALTV [Bd SNI] [Mcl-P]	35-5121 (3)
				5bNI1	B(C1)-Pc1a3-ALTV [Bd SNI] [Mcl-P]	35-5592 (3)
				5bNI2	B(C1)-Pc1a3-ALTV [Bd SNI] [Na-P]	35-5588
		6		6a	B(C1)-Pc2c-ALTV [Bd Sc] [Mcl-P]	35-1507
		7		7a	B(C1)-Pc2d-ALTV [Bd Sc] [Mcl-P]	35-5589 (3)
		8		8a	B(C1)-Pc3a-ALTV [Ba Sc] [Na-P]	35-5291
		9		9a	B(C1)-Pc3b-ALTV [Ba Sc] [Mcl-Al]	35-5758 (2)
		10		10a	B(C1)-Pc3c1-ALTV [Ba Sc] [Mcl-P]	35-5234
	B(C1)-Pc3c1-ALTV [Ba Sc] [Na-P]			35-5018 35-5494 35-1456		
10b	B(C1)-Pc3c1-ALTV [Bd Sc] [Na-P]			35-5587 (2)		
10bNI1	B(C1)-Pc3c1-ALTV [Bd SNI] [Na-P]			35-5123 (2)		
10bNI2	B(C1)-Pc3c1-ALTV [Bd SNI] [Na-P]			35-5019 (2)		
11		11a	B(C1)-Pce1-ALTV [Ba SNI] [Na-P]	35-8846 (2)		
12		12a	B(C1)-Pce2-ALTV [Ba SNI] [Na-P]	35-5585 (4)		

Fig. 4.82. (en esta página y la siguiente). Estilo Pachacamac. Botellas. Codificación de los rasgos formales y tecnológicos, así como sus especímenes correspondientes (cuadro elaborado por el autor).

	P. comp.	1		1a	B(C5)-Pp1-ALTV [Bd Sc] [Mcl-P]	35-5031
		2		2a	B(C5)-Pd1-ALTV [Bd Sg] [Na-P]	35-1032
				2aNI	B(C5)-Pd1-ALTV [Bd SNI] [Na-P]	35-5760 (1a)
		3		3a	B(C5)-Pc3c1-ALTV [Bd Sg] [Mcl-P]	35-5498 (3)
MB-ALTV	G. achat.	1		1a	MB(C1)-Pp3a-ALTV [Bc Sb] [Mcl-AI]	33-641

Subcat.	Tipo	Contorno	Subvar.	Código de forma y tecnología	Esp. (pasta)
O-ALCH	G. achat.	—	1a	O(C1)-ALCH [Bd-EEh] [Na-P]	CE-0139

Fig. 4.83. Estilo Pachacamac. O-ALCH. Codificación de los rasgos morfológicos y tecnológicos, así como el espécimen correspondiente (cuadro elaborado por el autor).


Categoría	Tipo	Contorno	Subvar.	Código de forma y tecnología	Esp. (pasta)
V	1		1a	Vd2a [Ba-Sb] [Na-P]	CE-0136

Fig. 4.84. Estilo Viñaque. Vaso. Codificación de los rasgos morfológicos y tecnológicos, así como el espécimen correspondiente (cuadro elaborado por el autor).

Tabla de contingencia Variante\_forma \* Color\_acabado

Recuento			Color_acabado				Total	
			[Na-AI]	[Na-Br]	[Na-P]	[R-AI]		
Variante_forma	1	BC(C3)-Pd3a1 [Ba Sf]	0	0	0	1	1	
		BC(C3)-Pd3a1 [Bd Sf]	1	0	0	0	1	
		BC(C3)-Pd3a1 [Bd Sg]	0	0	1	0	1	
		BC(C3)-Pd3a1 [Bd SNI]	0	1 (1a)	0	0	1	
	1	BC(C3)-Pxp1a2-AAV [Ba Sb]	0	1	0	0	1	
	1	B(C3)-Pp2-AAV [Bd Sc]	0	0	1	0	1	
		B(C3)-Pp2-AAV [Bd Sg]	0	0	1	0	1	
	2	B(C3)-Pc2c-AAV [Ba Sb]	0	0	1 (2)	0	1	
		B(C3)-Pc2c-AAV [Ba Se]	0	0	1	0	1	
	1	B(C4)-Pc2c-AAV [NI Sg]	0	0	1	0	1	
	2	B(C4)-Pp2-AAV [Bd Sc]	0	0	1	0	1	
	3	B(C4)-Pxc3a-AAV [Ba EENI]	0	0	1	0	1	
	1	MB(C2)-Pc2c-AAV [Bd Sc]	0	0	1	0	1	
		MB(C2)-Pc2c-AAV [Bd Sg]	0	0	1 (1a)	0	1	
	1	MC(C1)-Cp3a-AAV [Bd Sb]	0	0	1	0	1	
		Cu3a1 [Ba-Sf]	0	0	1 (2)	0	1	
		Cu3b1 [Bd Sf]	0	0	1	0	1	
		Cu3b2 [Bd Sd]	0	0	1	0	1	
			Total	1	2	13	1	18

Fig. 4.85. Tabla de contingencia. Estilo Chakipampa. Diversas categorías y subcategorías. Datos de los códigos de forma y color de superficie y acabado (entre paréntesis se indica el tipo de pasta) (cuadro elaborado por el autor).

Tabla de contingencia Variante\_forma \* Color\_acabado

Recuento			Color_acabado			Total
			[Na-P]	[Mcl-AI]	[Mcl-P]	
Variante_forma	1	B(C1)-Pp1-ALTV [Ba Sa]	1 (2)	0	0	1
	2	B(C1)-Pd1-ALTV [Ba Sg]	1	0	0	1
	3	B(C1)-Pd2a-ALTV [Bd Sb]	1 (2)	0	0	1
	4	B(C1)-Pc1a1-ALTV [Ba Sg]	0	1	0	1
	5	B(C1)-Pc1a3-ALTV [Ba Sc]	0	0	1	1
		B(C1)-Pc1a3-ALTV [Ba SNI]	1 (3)	0	0	1
		B(C1)-Pc1a3-ALTV [Bd Sh]	0	0	1 (3)	1
		B(C1)-Pc1a3-ALTV [Bd SNI]	1	0	1 (3)	2
	6	B(C1)-Pc2c-ALTV [Bd Sc]	0	0	1	1
	7	B(C1)-Pc2d-ALTV [Bd Sc]	0	0	1 (3)	1
	8	B(C1)-Pc3a-ALTV [Ba Sc]	1	0	0	1
	9	B(C1)-Pc3b-ALTV [Ba Sc]	0	1 (2)	0	1
	10	B(C1)-Pc3c1-ALTV [Ba Sc]	3	0	1	4
		B(C1)-Pc3c1-ALTV [Bd Sc]	1 (2)	0	0	1
		B(C1)-Pc3c1-ALTV [Bd SNI]	2 (2)	0	0	2
	11	B(C1)-Pce1-ALTV [Ba SNI]	1 (2)	0	0	1
	12	B(C1)-Pce2-ALTV [Ba SNI]	1 (4)	0	0	1
	1	B(C5)-Pp1-ALTV [Bd Sc]	0	0	1	1
	2	B(C5)-Pd1-ALTV [Bd Sg]	1	0	0	1
		B(C5)-Pd1-ALTV [Bd SNI]	1 (1a)	0	0	1
3	B(C5)-Pc3c1-ALTV [Bd Sg]	0	0	1 (3)	1	
1	MB(C1)-Pp3a-ALTV [Bc Sb]	0	1	0	1	
		Total	16	3	8	27

Fig. 4.86. Tabla de contingencia. Estilo Pachacamac. B-ALTV. Datos de los códigos de forma y de color de superficie y acabado (entre paréntesis se indica el tipo de pasta) (cuadro elaborado por el autor).

Tabla de contingencia Categoría\_prima \* Color\_acabado \* Grupo\_est

Grupo_est			Color_acabado											Total	
			[Na-AI]	[Na-AI/Br]	[Na-Br]	[Na-P]	[R-AI]	[R-Br]	[R-P]	[Mcl-AI]	[Mcl-Br]	[Mcl-P]	[Mos-AI]		
Lima	Categoría_prima	B-ALCV	Recuento	1	1	3	12	8	1	1	0	0	0	0	27
		% dentro de Categoría_prima	3.7%	3.7%	11.1%	44.4%	29.6%	3.7%	3.7%	0.0%	0.0%	0.0%	0.0%	100.0%	
		MB-ALCV	Recuento	0	0	0	1	3	0	0	0	0	0	0	4
		% dentro de Categoría_prima	0.0%	0.0%	0.0%	25.0%	75.0%	0.0%	0.0%	0.0%	0.0%	0.0%	0.0%	100.0%	
		O-C	Recuento	4	0	3	1	11	1	0	1	0	0	0	21
		% dentro de Categoría_prima	19.0%	0.0%	14.3%	4.8%	52.4%	4.8%	0.0%	4.8%	0.0%	0.0%	0.0%	100.0%	
		MO-C	Recuento	0	0	0	0	1	1	0	1	0	0	0	3
		% dentro de Categoría_prima	0.0%	0.0%	0.0%	0.0%	33.3%	33.3%	0.0%	33.3%	0.0%	0.0%	0.0%	100.0%	
	CM	Recuento	0	0	0	0	1	1	0	0	0	0	0	2	
	% dentro de Categoría_prima	0.0%	0.0%	0.0%	0.0%	50.0%	50.0%	0.0%	0.0%	0.0%	0.0%	0.0%	100.0%		
MC-ALCH	Recuento	0	0	0	0	0	0	0	0	0	0	1	1		
% dentro de Categoría_prima	0.0%	0.0%	0.0%	0.0%	0.0%	0.0%	0.0%	0.0%	0.0%	0.0%	100.0%	100.0%			
P	Recuento	1	0	1	1	3	0	0	5	1	0	0	12		
% dentro de Categoría_prima	8.3%	0.0%	8.3%	8.3%	25.0%	0.0%	0.0%	41.7%	8.3%	0.0%	0.0%	100.0%			
MP	Recuento	1	0	0	0	0	0	0	0	0	0	0	1		
% dentro de Categoría_prima	100.0%	0.0%	0.0%	0.0%	0.0%	0.0%	0.0%	0.0%	0.0%	0.0%	0.0%	100.0%			
Total	Recuento	7	1	7	15	27	4	1	7	1	0	1	71		
% dentro de Categoría_prima	9.9%	1.4%	9.9%	21.1%	38.0%	5.6%	1.4%	9.9%	1.4%	0.0%	1.4%	100.0%			
Chakipampa	Categoría_prima	BC	Recuento	1	0	1	1	1	0	0	0	0	0	4	
		% dentro de Categoría_prima	25.0%	0.0%	25.0%	25.0%	25.0%	0.0%	0.0%	0.0%	0.0%	0.0%	100.0%		
		BC-AAV	Recuento	0	0	1	0	0	0	0	0	0	0	1	
		% dentro de Categoría_prima	0.0%	0.0%	100.0%	0.0%	0.0%	0.0%	0.0%	0.0%	0.0%	0.0%	100.0%		
		B-AAV	Recuento	0	0	0	7	0	0	0	0	0	0	7	
		% dentro de Categoría_prima	0.0%	0.0%	0.0%	100.0%	0.0%	0.0%	0.0%	0.0%	0.0%	0.0%	100.0%		
	MB-AAV	Recuento	0	0	0	2	0	0	0	0	0	0	2		
% dentro de Categoría_prima	0.0%	0.0%	0.0%	100.0%	0.0%	0.0%	0.0%	0.0%	0.0%	0.0%	100.0%				
MC-AAV	Recuento	0	0	0	1	0	0	0	0	0	0	1			
% dentro de Categoría_prima	0.0%	0.0%	0.0%	100.0%	0.0%	0.0%	0.0%	0.0%	0.0%	0.0%	100.0%				
Cu	Recuento	0	0	0	3	0	0	0	0	0	0	3			
% dentro de Categoría_prima	0.0%	0.0%	0.0%	100.0%	0.0%	0.0%	0.0%	0.0%	0.0%	0.0%	100.0%				
Total	Recuento	1	0	2	14	1	0	0	0	0	0	18			
% dentro de Categoría_prima	5.6%	0.00%	11.1%	77.8%	5.6%	0.0%	0.0%	0.0%	0.0%	0.0%	0.0%	100.0%			
Nazca	Categoría_prima	V	Recuento	0	0	0	1	0	0	0	0	0	0	1	
		% dentro de Categoría_prima	0.00%	0.00%	0.00%	100.0%	0.00%	0.00%	0.00%	0.00%	0.00%	0.00%	100.0%		
Total	Recuento	0	0	0	1	0	0	0	0	0	0	0	1		
% dentro de Categoría_prima	0.00%	0.00%	0.00%	100.0%	0.00%	0.00%	0.00%	0.00%	0.00%	0.00%	0.00%	100.0%			
Moche	Categoría_prima	B-APC-PP	Recuento	0	0	0	0	0	0	1	0	0	0	1	
		% dentro de Categoría_prima	0.00%	0.00%	0.00%	0.00%	0.00%	0.00%	100.0%	0.00%	0.00%	0.00%	100.0%		
Total	Recuento	0	0	0	0	0	0	0	1	0	0	0	1		
% dentro de Categoría_prima	0.00%	0.00%	0.00%	0.00%	0.00%	0.00%	0.00%	100.0%	0.00%	0.00%	0.00%	100.0%			
Pechacamac	Categoría_prima	B-ALTV	Recuento	0	0	0	16	0	0	0	2	0	8	26	
		% dentro de Categoría_prima	0.00%	0.00%	0.00%	61.5%	0.00%	0.00%	0.00%	7.7%	0.00%	30.8%	100.0%		
		MB-ALTV	Recuento	0	0	0	0	0	0	0	1	0	0	1	
	% dentro de Categoría_prima	0.00%	0.00%	0.00%	0.0%	0.00%	0.00%	0.00%	100.0%	0.00%	0.0%	100.0%			
O-ALCH	Recuento	0	0	0	1	0	0	0	0	0	0	1			
% dentro de Categoría_prima	0.00%	0.00%	0.00%	100.0%	0.00%	0.00%	0.00%	0.0%	0.00%	0.0%	100.0%				
Total	Recuento	0	0	0	17	0	0	0	3	0	8	28			
% dentro de Categoría_prima	0.00%	0.00%	0.00%	60.7%	0.00%	0.00%	0.00%	10.7%	0.00%	28.6%	100.0%				
Villaque	Categoría_prima	V	Recuento	0	0	0	1	0	0	0	0	0	0	1	
		% dentro de Categoría_prima	0.00%	0.00%	0.00%	100.0%	0.00%	0.00%	0.00%	0.00%	0.00%	0.00%	100.0%		
Total	Recuento	0	0	0	1	0	0	0	0	0	0	0	1		
% dentro de Categoría_prima	0.00%	0.00%	0.00%	100.0%	0.00%	0.00%	0.00%	0.00%	0.00%	0.00%	0.00%	100.0%			

Fig. 4.87. Estilos definidos de cocción oxidada. Tablas de contingencia que muestran los tipos de color y acabado por categoría y subcategoría (cuadro elaborado por el autor).

Tabla de contingencia Categoría_prima * Pasta * Grupo_est										
Grupo_est			Pasta						Total	
			1a	1b	2	3	4	NI		
Lima	Categoría_prima	B-ALCV	Recuento	1	0	9	1	1	15	27
		% dentro de Categoría_prima	3.7%	0.0%	33.3%	3.7%	3.7%	55.6%	100.0%	
		MB-ALCV	Recuento	0	0	2	0	0	2	4
		% dentro de Categoría_prima	0.0%	0.0%	50.0%	0.0%	0.0%	50.0%	100.0%	
		O-C	Recuento	0	0	2	1	0	18	21
		% dentro de Categoría_prima	0.0%	0.0%	9.5%	4.8%	0.0%	85.7%	100.0%	
		MO-C	Recuento	0	0	0	0	0	3	3
		% dentro de Categoría_prima	0.0%	0.0%	0.0%	0.0%	0.0%	100.0%	100.0%	
	CM	Recuento	0	0	0	0	0	2	2	
	% dentro de Categoría_prima	0.0%	0.0%	0.0%	0.0%	0.0%	100.0%	100.0%		
MC-ALCH	Recuento	0	0	0	0	0	1	1		
% dentro de Categoría_prima	0.0%	0.0%	0.0%	0.0%	0.0%	100.0%	100.0%			
P	Recuento	0	0	1	2	0	9	12		
% dentro de Categoría_prima	0.0%	0.0%	8.3%	16.7%	0.0%	75.0%	100.0%			
MP	Recuento	0	0	0	0	0	1	1		
% dentro de Categoría_prima	0.0%	0.0%	0.0%	0.0%	0.0%	100.0%	100.0%			
Total	Recuento	1	0	14	4	1	51	71		
% dentro de Categoría_prima	1.4%	0.0%	19.7%	5.6%	1.4%	71.8%	100.0%			
Chakipampa	Categoría_prima	BC	Recuento	0	1	0	0	0	3	4
		% dentro de Categoría_prima	0.0%	25.0%	0.0%	0.0%	0.0%	75.0%	100.0%	
		BC-AAV	Recuento	0	0	0	0	0	1	1
		% dentro de Categoría_prima	0.0%	0.0%	0.0%	0.0%	0.0%	100.0%	100.0%	
		B-AAV	Recuento	0	0	1	0	0	6	7
		% dentro de Categoría_prima	0.0%	0.0%	14.3%	0.0%	0.0%	85.7%	100.0%	
		MB-AAV	Recuento	1	0	0	0	0	1	2
	% dentro de Categoría_prima	50.0%	0.0%	0.0%	0.0%	0.0%	50.0%	100.0%		
MC-AAV	Recuento	0	0	0	0	0	1	1		
% dentro de Categoría_prima	0.0%	0.0%	0.0%	0.0%	0.0%	100.0%	100.0%			
Cu	Recuento	0	0	1	0	0	2	3		
% dentro de Categoría_prima	0.0%	0.0%	33.3%	0.0%	0.0%	66.6%	100.0%			
Total	Recuento	1	1	1	0	0	14	18		
% dentro de Categoría_prima	5.9%	5.9%	5.9%	0.0%	0.0%	82.4%	100.0%			
Pachacamac	Categoría_prima	B-ALTV	Recuento	1	0	7	5	1	12	26
		% dentro de Categoría_prima	3.8%	0.0%	26.9%	19.2%	3.8%	46.2%	100.0%	
		MB-ALTV	Recuento	0	0	0	0	0	1	1
		% dentro de Categoría_prima	0.0%	0.0%	0.0%	0.0%	0.0%	100.0%	100.0%	
	O-ALCH	Recuento	0	0	0	0	0	1	1	
% dentro de Categoría_prima	0.0%	0.0%	0.0%	0.0%	0.0%	100.0%	100.0%			
Total	Recuento	1	0	7	5	1	14	28		
% dentro de Categoría_prima	3.6%	0.0%	25.0%	17.9%	3.6%	50.0%	100.0%			

Fig. 4.88. Estilos definidos de cocción oxidada. Tablas de contingencia que muestran los tipos de pasta por categoría y subcategoría (cuadro elaborado por el autor).







Cat./subcat.	Tipo	Var.	Contorno	Subvar.	Código de forma y tecnología	Esp. (pasta)
B	G. achat.	1	 Pd2b	1a	B(C1)-Pd2b [Bd Sf] [Na-P]	35-1038 (2)
	G. alarg.	1	 Pp1	1a	B(C2)-Pp1 [Ba Sb] [R-AI]	35-5430
		2	 Pc2c	2a	B(C2)-Pc2c [Bd Sc] [R-AI]	CE-0062
	Esc.	1	 Pp1	1a1	B(C8)-Pp1 [Bd Sg] [Na-P]	CE-0020 (1a)
				1aNI	B(C8)-Pp1 [Bd Sh] [R-AI]	35-5027
		2	 Pd2a	2aNI	B(C8)-Pd2a [Bd SNI] [Na-AI]	35-5713 (2)
		3	 Pd3a1	3a	B(C8)-Pd3a1 [Ba Sg] [Na-P]	35-995
		s.e.1	?	s.e.1.a	B(C8)-P(?) [Ba Sb] [Na-P]	35-1004
		s.e.2	?	s.e.2.aNI	B(C8)-P(?) [Bf SNI] [Na-Br]	CE-0005
	MB	Esc.	s.e.1	?	s.e.1.a	MB(C8)-P(?) [Bd Sg] [Na-P]

Fig. 4.89. Grupo No Determinado. Botellas. Codificación de los rasgos morfológicos y tecnológicos, así como los especímenes correspondientes (cuadro elaborado por el autor).

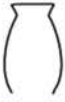








Subcat.	Tipo	Var.	Contorno	Subvar.	Código de forma y tecnología	Esp. (pasta)	
B-APC-PP	G. achat.	1		1a	B(C1)-APC-PP(Pe1) [Ba Sg] [Na-P]	CE-0019	
	P. comp.	1		1a	B(C5)-APC-PP(Pc1a1) [Ba Sc] [Na-P]	35-1010	
		2		2a	B(C5)-APC-PP(Pc1a3) [Bf Sc] [Na-P]	35-5235	
	Esc.	1	2		1a	B(C8)-APC-PP(Pp3b2) [Ba Sb] [Mcl-P]	CE-0016
					2a1	B(C8)-APC-PP(Pc1a1) [Ba Sc] [Na-P]	35-5756 (1a)
					2a2	B(C8)-APC-PP(Pc1a1) [Ba Sd] [Na-P]	35-1455 (2)
					2b	B(C8)-APC-PP(Pc1a1) [Bd Sc] [Na-P]	35-1398
					2c	B(C8)-APC-PP(Pc1a1) [Bg2 Sc] [Na-P]	CE-0001
					2d	B(C8)-APC-PP(Pc1a1) [Bg3 Sc] [Na-P]	35-5120
		2NI	B(C8)-APC-PP(Pc1a1) [NI SNI] [Na-P]	CE-0174 (1a)			
		3		3aNI	B(C8)-APC-PP(Pc1a2) [Bd SNI] [Na-P]	35-1000 (1a)	
		4		4a	B(C8)-APC-PP(Pc2b) [Ba Sc] [Na-P]	35-999	
				4b	B(C8)-APC-PP(Pc2b) [Bg1 Sc] [Na-P]	35-1478	
5		5a	B(C8)-APC-PP(Pc2e) [Ba Sc] [Na-P]	CE-0018 (1a)			
B-APT-PP	Esc.	1		1a	B(C8)-APT-PP(Pc1a1) [Ba Sc] [Na-P]	35-1492 35-1493 35-1494 (1a)	
				2a	B(C8)-APT-PP(Pc1a2) [Bf Sc] [Na-P]	CE-0017	
		2		2b	B(C8)-APT-PP(Pc1a2) [Ba Sc] [Na-P]	35-1005 (1a)	

Fig. 4.90. Grupo No Determinado. B-APC-PP y B-APT-PP. Codificación de los rasgos morfológicos y tecnológicos, así como los especímenes correspondientes (cuadro elaborado por el autor).



Subcategoría	Tipo	Var.	Contorno	Subvar.	Código de forma y tecnología	Esp. (pasta)
B-AP?-PP	G. achat.	s.e.1	?	s.e.1.aNI	B(C1)-AP(?)-PP(?) [Bd SNI] [Na-P]	35-5293 (1b)
	P. comp.	s.e.1	?	s.e.1.aNI	B(C5)-AP(?)-PP(?) [Ba SNI] [Na-P]	35-1015 (1b)
		s.e.2	?	s.e.2.aNI	B(C5)-AP(?)-PP(?) [Ba SNI] [Na-P]	35-1479 (1b)
	Cilindrico	s.e.1	?	s.e.1.aNI	B(C7)-AP(?)-PP(?) [Bd SNI] [Na-P]	CE-0046
		s.e.2	?	s.e.2.aNI	B(C7)-AP(?)-PP(?) [Bd SNI] [NI]	CE-0314 (2)
	Esc.	s.e.1	?	s.e.1.aNI	B(C8)-AP(?)-PP(?) [Ba SNI] [Na-P]	CE-0164
		s.e.2	?	s.e.2.aNI	B(C8)-AP(?)-PP(?) [Ba SNI] [Na-P]	CE-0002
		s.e.3	?	s.e.3.aNI	B(C8)-AP(?)-PP(?) [Ba SNI] [Na-P]	35-1001 (1b)
		s.e.4	?	s.e.4.aNI	B(C8)-AP(?)-PP(?) [Ba SNI] [Na-P]	35-1002
		s.e.5	?	s.e.5.aNI	B(C8)-AP(?)-PP(?) [Ba SNI] [Na-P]	35-1404
		s.e.6	?	s.e.6.bNI	B(C8)-AP(?)-PP(?) [Bd SNI] [Na-P]	CE-0007 (1a)

Fig. 4.91. Grupo No Determinado. B-AP?-PP. Codificación de los rasgos morfológicos y tecnológicos reconocibles, así como los especímenes correspondientes (cuadro elaborado por el autor).




Subcat.	Tipo	Var.	Contorno	Subvar.	Código de forma y tecnología	Esp. (pasta)
B-APC-PC	Esc.	1	 Pp3a	1a	B(C8)-APC-PC(Pp3a) [Ba Sc] [Na-P]	CE-0003
		2	 Pc1a1	2a	B(C8)-APC-PC(Pc1a1) [Bd Sc] [Na-P]	MSP-412 CE-0011
		3	 Pc1a2	3a	B(C8)-APC-PC(Pc1a2) [NO Sc] [Na-P]	35-1003
B-APC-P?C	Esc.	s.e.1	?	s.e.1.aNI	B(C8)-P(?) -APC-P?C [Ba NI] [Na-P]	CE-0004
		s.e.2	?	s.e.2.aNI	B(C8)-P(?) -APC-P?C [Ba NI] [Na-P]	35-1596
		s.e.3	?	s.e.3.aNI	B(C8)-P(?) -APC-P?C [NO NI] [Na-P]	CE-2738
B-AP? -PC	Esc.	s.e.1	?	s.e.1.aNI	B(C8)-P(?) -AP(?) -PC [Bd NI] [Na-P]	CE-0008 (2)

Fig. 4.92. Grupo No Determinado. B-APC-PC. Codificación de rasgos morfológicos y tecnológicos reconocibles, así como los especímenes correspondientes (cuadro elaborado por el autor).






Subcat.	Tipo	Var.	Contorno	Subvar.	Código de forma y tecnología	Esp. (pasta)
B-APC-PPR	P. comp.	1	 Pp1	1a	B(C5)-APC-PPR(Pp1) [Bd Sc] [Na-P]	CE-0013
		2	 Pc1a1	2a	B(C5)-APC-PPR(Pc1a1) [Bd Sc] [Na-P]	CE-0015 (1a)
				2b	B(C5)-APC-PPR(Pc1a1) [Ba Sg] [Na-P]	35-1472
		3	 Pc2b	3a	B(C5)-APC-PPR(Pc2b) [Ba Sc] [Na-P]	CE-0154 CE-0155
				3b	B(C5)-APC-PPR(Pc2b) [Bd Sc] [Na-P]	35-1454
				3c	B(C5)-APC-PPR(Pc2b) [Be Sc] [Na-P]	CE-0014 (3)
	Paralelep.	1	 Pc1a1	1a	B(C6)-APC-PPR(Pc1a1) [Bd Sc] [Na-P]	CE-0047
		2	 Pc2b	2a	B(C6)-APC-PPR(Pc2b) [Bd Sc] [Na-P]	35-1438 (1b)
				2b	B(C6)-APC-PPR(Pc2b) [Bd Sf] [Na-P]	35-1402 (1a)
B-AP? -PPR	P. comp.	s.e.1	?	s.e.1.aNI	B(C5)-AP(?) -PPR(?) [Ba SNI] [Na-P]	35-998

Fig. 4.93. Grupo No Determinado. B-APC-PPR. Codificación de rasgos morfológicos y tecnológicos, así como los especímenes correspondientes (cuadro elaborado por el autor).






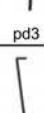
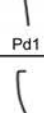
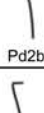
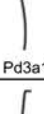
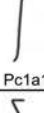















Subcat.	Tipo	Var.	Contorno	Subvar.	Código de forma y tecnología	Esp. (pasta)
B-ALCV	G. achat.	1		1a	B(C1)-pp1-ALCV [Bd Sb] [R-AI]	CE-0051
		2		2a	B(C1)-Pp2-ALCV [Bd Sc] [Na-P]	35-1027
		3		3aNI	B(C1)-Pp3a-ALCV [Bd SNI] [Na-P]	CE-0033
		4		4aNI	B(C1)-Pp3b-ALCV [Ba SNI] [R-AI]	CE-0068
		5		5a	B(C1)-pd3-ALCV [Ba Sb] [R-AI]	CE-0066
					B(C1)-pd3-ALCV [Ba Sb] [Na-AI]	CE-0049
		6		6a1	B(C1)-Pd1-ALCV [Bd Sb] [Na-P]	CE-0162
				6a2	B(C1)-Pd1-ALCV [Bd Sd] [R-AI]	35-5296 (2)
				6b	B(C1)-Pd1-ALCV [Bf Sb] [Na-P]	35-5431 (2)
		7		7a	B(C1)-Pd2b-ALCV [Ba Sc] [R-P]	35-5753 (2)
				7b	B(C1)-Pd2b-ALCV [Bd Sb] [R-AI]	35-6025
		8		8a	B(C1)-Pd3a1-ALCV [Ba Sa] [Na-AI]	35-1509 (2)
8b	B(C1)-Pd3a1-ALCV [Ba Sb] [Na-P]			35-1408 (2)		
9		9a	B(C1)-Pc1a1-ALCV [Bd Sb] [R-AI]	35-5695 (2)		
10		10a	B(C1)-Pxp1a1-ALCV [Ba Sh] [Na-P]	35-1028 (3)		
11		11a	B(C1)-Pxp1a2-ALCV [Bd Sb] [Na-P]	35-5025 (1b)		
12		12a	B(C1)-Pxp1b-ALCV [Be Sb] [Na-P]	CE-0023		

Fig. 4.94. (en esta página y la siguiente). Grupo No Determinado. B-ALCV. Codificación de rasgos morfológicos y tecnológicos, así como los especímenes correspondientes (cuadros elaborados por el autor).

B-ALCV		13		13a	B(C1)-Pxc2-ALCV [Bd Sc] [Na-Al]	35-1036	
		14		14a	B(C1)-Pxc3c-ALCV [Bf Sb] [Na-Al]	CE-0054	
		15		15a	B(C1)-Pe2a1-ALCV [Be Sb] [Na-P]	CE-0037 (2)	
		16		16a	B(C1)-Pe2a3-ALCV [Bd Sb] [Na-P]	CE-0038	
	G. aplan. alargado	1		1a	B(C4)-Pd3a1-ALCV [Bd Sb] [Na-P]	CE-0029	
	P. comp.	1		1a	B(C5)-Pc1a1-ALCV [Bd Sc] [Na-P]	CE-0140	
	Esc.		1		1a	B(C8)-Pp1-ALCV [Bd Sa] [R-Br]	35-6026 (2)
			2		2a	B(C8)-Pd1-ALCV [Bd Sf] [Na-Br]	35-6057
			3		2a1	B(C8)-Pd3a1-ALCV [Ba Sg] [Na-P]	35-5914 (2)
					2a2	B(C8)-Pd3a1-ALCV [Ba Sf] [Na-P]	CE-0009
					2b	B(C8)-Pd3a1-ALCV [Bd Sc] [Na-P]	CE-0144
			4		4a	B(C8)-Pd3a3-ALCV [Bd Sf] [Na-P]	35-1606 (2)
			5		5a	B(C8)-Pxp1c-ALCV [BNI Sb] [Na-Br]	35-1034 (2)
			6		6a	B(C8)-Pxp1d-ALCV [Ba Sf] [Na-P]	CE-0030
			7		7a	B(C8)-pxd2-ALCV [Ba Sb] [Na-P]	CE-0043 (1a)
	s.e.1	?	s.e.1.aNI	B(C8)-P(?) -ALCV [Ba NI] [Na-P]	35-1407 (1a)		












Subcat.	Tipo	Var.	Contorno	Subvar.	Código de forma y tecnología	Esp. (pasta)
MB-ALCV	G. achat.	1		1a	MB(C1)-Gd1-ALCV [Ba Sb] [Na-P]	35-1035
		2		2a	MB(C1)-Gd2b-ALCV [Ba Sd] [Na-P]	CE-0042
		3		3a	MB(C1)-Pd1-ALCV [Ba Sc] [Na-P]	35-5435
		4		4a	MB(C1)-Pd2b-ALCV [Bd Sg] [Na-P]	CE-0022
		5		5a	MB(C1)-Pd3a1-ALCV [Ba Sc] [Na-P]	CE-0024
		6		6a	MB(C1)-Pe2a2-ALCV [Ba Sb] [Na-Al]	CE-0041
	P. comp.	1		1a	MB(C5)-pp1-ALCV [Bb Sc] [Na-P]	CE-0025 (1a)
	Esc.	1		1a	MB(C8)-pp3-ALCV [Bd Sc] [Na-P]	35-5303
		2		2a	MB(C8)-Pd3a1-ALCV [Bd Ni] [Na-P]	MSP-414
		3		3a	MB(C8)-Pd3a2-ALCV [Ba Sb] [R-P]	35-1007
		4		4a	MB(C8)-Pxp1a1-ALCV [Bd Sb] [Na-P]	V4/misc
	4b			MB(C8)-Pxp1a1-ALCV [NO Sb] [Na-P]	35-1511	

Fig. 4.95. Grupo No Determinado. MB-ALCV. Codificación de rasgos morfológicos y tecnológicos, así como los especímenes correspondientes (cuadro elaborado por el autor).







Subcat.	Tipo	Var.	Contorno	Subvar.	Código de forma y tecnología	Esp. (pasta)
B-ALTV	Esc.	1		1a	B(C8)-Pp1-ALTV [Ba Sf] [Na-P]	CE-0151
		2		2a	B(C8)-Pd1-ALTV [Ba Sg] [Na-P]	CE-0012
		3		3a	B(C8)-Pd3a1-ALTV [Bd Sd] [Na-P]	CE-0152
B-AAV	Esc.	1		1a	B(C8)-Pxp1a2-AAV [Bd Sb] [Na-P]	35-6055 (2)
MB-AAV	G. achat.	1		1a	MB(C1)-Pp3a-AAV [Bd Sb] [Na-P]	CE-0153 (1b)
B-AE	Esc.	1		1a	B(C8)-pe1a1-AE [Ba Sf] [Na-P]	CE-0006 (1a)
		s.e.1	?	s.e.1.aNI	B(C8)-P(?) -AE [Ba NI] [Na-P]	35-1490 (1a)
BND	Esc.	s.e.1	?	s.e.1.aNI	B(C8)-P(?) ND [Ba NI] [Na-P]	CE-0313 (2)
		s.e.2	?	s.e.2.aNI	B(C8)-P(?) ND [Bd NI] [Na-P]	CE-0163 (1a)
		s.e.3	?	s.e.3.aNI	B(C8)-P(?) ND [Bg4 NI] [Na-P]	35-1403 (1a)

Fig. 4.96. Grupo No Determinado. B-ALTV, B-AAV, MB-AAV, BA-E y BND. Codificación de rasgos morfológicos y tecnológicos reconocibles, así como los especímenes correspondientes (cuadro elaborado por el autor).


Cat./subcat.	Tipo	Var.	Contorno	Subvar.	Código de forma y tecnología	Esp. (pasta)
C	C5	1		1a	C(C5)-Cd3a1 [NO Sb] [R-Br]	CE-0069
C-ALCH	C1	s.e.1	Cx(?)	s.e.1.aNI	C(C1)-Cxni-ALCH [Bb NI] [Mos-Al]	CE-0316

Fig. 4.97. Grupo No Determinado. C y C-ALCH. Codificación de rasgos morfológicos y tecnológicos reconocibles, así como los especímenes correspondientes (cuadro elaborado por el autor).











Subcategoría	Tipo	Var.	Contorno	Subvar.	Código de forma y tecnología	Esp. (pasta)
O-C	P. comp.	1	 Cd1a3	1a	O(C5)-Cd1a3 [Bd Sb] [R-P]	CE-0070
	Esc.	1	 Cd1a2	1a	O(C8)-Cd1a2 [Bf Sg] [Na-P]	35-1030
		2	 Cd2d	2aNI	O(C8)-Cd2d [NI Sb] [R-P]	CE-0161
		3	 Cd3a2	3a	O(C8)-Cd3a2 [Ba Sb] [R-Al]	CE-0099 (3)
MO-C	G. achat.	1	 Cd1a1	1a	MO(C1)-Cd1a1 [Ba Sb] [Na-Al]	CE-0082
		2	 Cd2a	2a	MO(C1)-Cd2a [Bd Sb] [Na-P]	CE-0074
		3	 Cd3a2	3a	MO(C1)-Cd3a2 [Bd Sb] [Na-Br]	CE-0075
	Esc.	1	 Cd1a2	1a	MO(C8)-Cd1a2 [Ba Sb] [Na-P]	CE-0072
		2	 Cd2a	2a	MO(C8)-Cd2a [Be Sb] [Na-P]	35-6023
		3	 Cxp1	3a	MO(C8)-Cxp1 [Bd Sb] [Na-P]	35-5912

Fig.4. 98. Grupo No Determinado. O-C y MO-C. Codificación de rasgos morfológicos y tecnológicos, así como los especímenes correspondientes (cuadro elaborado por el autor).


Subcategoría	Tipo	Var.	Contorno	Subvar.	Código de forma y tecnología	Esp. (pasta)
O-C-ALCH	G. achat.	1	 Cd1a1	1a	O(C1)-Cd1a1-ALCH [Bb Sb] [Mcl-Al]	CE-0315

Fig. 4.99. Grupo No Determinado. O-C-ALCH. Codificación de los rasgos morfológicos y tecnológicos, así como el espécimen correspondiente (cuadro elaborado por el autor).



Subcategoría	Tipo	Var.	Contorno	Subvar.	Código de forma y tecnología	Esp. (pasta)
MO-C-AAH	Esc.	1	 Cd1a1	1a	MO(C8)-Cd1a1-AAH [NI-Sf] [Na-P]	CE-0157
MO-C-AAH-Ve	Esc.	1	 Cd3a1	1a	MO(C8)-Cd3a1-AAH-Vep1a [Ba Sb Sc] [Na-Al]	CE-0158
				1b	MO(C8)-Cd3a1-AAH-Vep1a [Bd Sf SNI] [Na-P]	35-1024

Fig. 4.100. Grupo No Determinado. MO-C-AAH y MO-C-AAH-Ve. Codificación de los rasgos morfológicos y tecnológicos, así como los especímenes correspondientes (cuadro elaborado por el autor).



Subcategoría	Tipo	Var.	Contorno	Subvar.	Código de forma y tecnología	Esp. (pasta)
O-ALCH	G. achat.	—	—	1a	O(C1)-ALCH [Ba-EEh] Na-P]	35-1023
				1b	O(C1)-ALCH [Bf-EEh] NA-P]	35-5709 (2)
				1NI	O(C1)-ALCH [NI-Sc] Na-P]	CE-0112
O-ALCH-Ve	G. achat.	1	 Vep1a	1a	O(C1)-ALCH-Vep1a [Ba-Sb Sb] [R-Al]	CE-0113
	Esc.	1	 Vep1b	1a	O(C8)-ALCH-Vep1b [Ba-Sc Sb] [Na-P]	CE-0114

Fig. 4.101. Grupo No Determinado. O-ALCH y O-ALCH-Ve. Codificación de rasgos morfológicos y tecnológicos, así como los especímenes correspondientes (cuadro elaborado por el autor).








Cat./subcat.	Tipo	Var.	Contorno	Subvar.	Código de forma y tecnología	Esp. (pasta)	
T	G. achat.	1		1a1	T(C1)-Vep1a [Ba-Sf Sc] [Na-P]	CE-0101	
				1a2	T(C1)-Vep1a [Ba-EEh Sg] [Na-P]	35-1534	
				1a3	T(C1)-Vep1a [Ba-Sb Sb] [Na-P]	CE-0108	
				1b	T(C1)-Vep1a [Be-Sb Sb] [Na-Al]	CE-0107	
				1c	T(C1)-Vep1a [Bf-Sf Sb] [Na-P]	CE-0106	
		2		2a1	T(C1)-Vec1 [Ba-Sf Sc] [Na-P]	CE-0102 (1a)	
				2a2	T(C1)-Vec1 [Ba-EEh Sc] [Na-P]	CE-0105 35-5710	
				2b	T(C1)-Vec1 [Bc-EEc SNI] [Na-P]	35-1022	
				2c1a	T(C1)-Vec1 [Be-Alb Sb] [Na-P]	35-1536 (2)	
				2c1b	T(C1)-Vec1 [Be-Sb Sb] [Na-P]	CE-0103	
				2c2	T(C1)-Vec1 [Be-Sb Sc] [Na-P]	CE-0104	
				2d	T(C1)-Vec1 [Be-EEh SNI] [Na-P]	MSP-1047	
				2e	T(C1)-Vec1 [Bf-Sc Sc] [Na-P]	CE-0100	
				2NI 1	T(C1)-Vec1 [NI-Sg Sf] [Na-P]	CE-0115	
				2NI 2	T(C1)-Vec1 [NI-EEh Sc] [Na-P]	CE-0160	
	3		3a	T(C1)-Vexp1 [Ba-Sb Sb] [Na-P]	CE-0109		
			s.e.1	?	s.e.1aNI	T(C1)-Ve(?) [Bd-EEh SNI] [Na-P]	CE-0159
			P. comp.	1		1a	T(C5)-Vec1 [Ba-EEh SNI] [Na-P]
	1b	T(C5)-Vec1 [Bf-EEh Sc] [Na-P]				35-1535 (4)	
	s.e.1	?		s.e.1aNI	T(C5)-Ve(?) [Be-Sb NI] [R-Br]	CE-0110 (3)	
	s.e.2	?		s.e.2aNI	T(C5)-Ve(?) [Bf-EEh NI] [Na-P]	CE-0111 (2)	
	MT	G. achat.	1		1a	MT(C1)-Vec2 [Bd-EEh Sc] [Na-P]	35-5122

Fig. 4.102. Grupo No Determinado. T y MT. Codificación de los rasgos morfológicos y tecnológicos reconocibles, así como los especímenes correspondientes (cuadro elaborado por el autor).








Cat./subcat.	Tipo	Contorno	Subvar.	Código de forma y tecnología	Esp. (pasta)
P	1	 P2a	1a	P2a [Be-Sd] [Na-P]	CE-0169 (1a)
MP	1	 Px1	1a	MPx1 [Ba-Sb] [Be-P]	CE-0127
V	1	 Vp2a	1a	Vp2a [Ba-Sc] [Na-P]	CE-0133
	2	 Vp2b1	2a	Vp2b1 [Bc-Sb] [Na-P]	35-1013 (1a)
	3	 Vd2b	3a	Vd2b [Bd-Sb] [Ni]	CE-0132
Cu	1	 Cu3b1	1a	Cu3b1 [Ba-Sd] [Na-P]	CE-0167 (1a)
	2	 Cu3a2	2a	Cu3a2 [Ba-Sf] [Na-P]	CE-0135

Fig. 4.103. Grupo No Determinado. Platos, vasos y cuencos. Codificación de los rasgos morfológicos y tecnológicos, así como los especímenes correspondientes (cuadro elaborado por el autor).

Tabla de contingencia Variante\_forma \* Color\_acabado

Recuento		Color_acabado						Total	
		[Na-Al]	[Na-Br]	[Na-P]	[R-Al]	[Mcl-P]	NI		
Variante_forma	1	B(C1)-Pd2b [Bd Sf]	0	0	1 (2)	0	0	0	1
	1	B(C2)-Pp1 [Ba Sb]	0	0	0	1	0	0	1
	2	B(C2)-Pc2c [Bd Sc]	0	0	0	1	0	0	1
	1	B(C8)-Pp1 [Bd Sg]	0	0	1 (1a)	0	0	0	1
	1	B(C8)-Pp1 [Bd SNI]	0	0	0	1	0	0	1
	2	B(C8)-Pd2a [Bd SNI]	1 (2)	0	0	0	0	0	1
	3	B(C8)-Pd3a1 [Ba Sg]	0	0	1	0	0	0	1
	s.e.1	B(C8)-P(?) [Ba Sb]	0	0	1	0	0	0	1
	s.e.2	B(C8)-P(?) [Bf SNI]	0	1	0	0	0	0	1
	s.e.1	MB(C8)-P(?) [Bd Sg]	0	0	1	0	0	0	1
	1	B(C1)-APC-PP(Pe1) [Ba Sg]	0	0	1	0	0	0	1
	1	B(C5)-APC-PP(Pc1a1) [Ba Sc]	0	0	1	0	0	0	1
	2	B(C5)-APC-PP(Pc1a3) [Bf Sc]	0	0	1	0	0	0	1
	1	B(C8)-APC-PP(Pp3b2) [Ba Sb]	0	0	0	0	1	0	1
	2	B(C8)-APC-PP(Pc1a1) [Ba Sc]	0	0	1 (1a)	0	0	0	1
		B(C8)-APC-PP(Pc1a1) [Ba Sd]	0	0	1 (2)	0	0	0	1
		B(C8)-APC-PP(Pc1a1) [Bd Sc]	0	0	1	0	0	0	1
		B(C8)-APC-PP(Pc1a1) [Bg2 Sc]	0	0	1	0	0	0	1
		B(C8)-APC-PP(Pc1a1) [Bg3 Sc]	0	0	1	0	0	0	1
		B(C8)-APC-PP(Pc1a1) [NI SNI]	0	0	1 (1a)	0	0	0	1
	3	B(C8)-APC-PP(Pc1a2) [Bd SNI]	0	0	1 (1a)	0	0	0	1
	4	B(C8)-APC-PP(Pc2b) [Ba Sc]	0	0	1	0	0	0	1
		B(C8)-APC-PP(Pc2b) [Bg1 Sc]	0	0	1	0	0	0	1
	5	B(C8)-APC-PP(Pc2e) [Ba Sc]	0	0	1 (1a)	0	0	0	1
	1	B(C8)-APT-PP(Pc1a1) [Ba Sc]	0	0	3 (1a)	0	0	0	3
		B(C8)-APT-PP(Pc1a1) [Bf Sc]	0	0	1	0	0	0	1
	2	B(C8)-APT-PP(Pc1a2) [Ba Sc]	0	0	1 (1a)	0	0	0	1
	s.e.1	B(C1)-AP(?) -PP(?) [Bd SNI]	0	0	1 (1a)	0	0	0	1
	s.e.1, s.e.2	B(C5)-AP(?) -PP(?) [Ba SNI]	0	0	2 (1b)	0	0	0	2
	s.e.1, s.e.2	B(C7)-AP(?) -PP(?) [Bd SNI]	0	0	1	0	0	1 (2)	2
	s.e.1-s.e.5	B(C8)-AP(?) -PP(?) [Ba SNI]	0	0	5 (1b)	0	0	0	5
	s.e.6	B(C8)-AP(?) -PP(?) [Bd SNI]	0	0	1 (1a)	0	0	0	1
	1	B(C8)-APC-PC(Pp3a) [Ba Sc]	0	0	1	0	0	0	1
	2	B(C8)-APC-PC(Pc1a1) [Bd Sc]	0	0	2	0	0	0	2
	3	B(C8)-APC-PC(Pc1a2) [NO Sc]	0	0	1	0	0	0	1
	s.e.1, s.e.2	B(C8)-P(?) -APC-P?C [Ba NI]	0	0	2	0	0	0	2
	s.e.3	B(C8)-P(?) -APC-P?C [NO NI]	0	0	1	0	0	0	1
	s.e.1	B(C8)-P(?) -AP(?) -PC [Bd NI]	0	0	1 (2)	0	0	0	1
	1	B(C5)-APC-PPR(Pp1) [Bd Sc]	0	0	1 (1a)	0	0	0	1
	2	B(C5)-APC-PPR(Pc1a1) [Bd Sc]	0	0	1	0	0	0	1
		B(C5)-APC-PPR(Pc1a1) [Ba Sg]	0	0	1	0	0	0	1
	3	B(C5)-APC-PPR(Pc2b) [Ba Sc]	0	0	2	0	0	0	2
		B(C5)-APC-PPR(Pc2b) [Bd Sc]	0	0	1	0	0	0	1
		B(C5)-APC-PPR(Pc2b) [Be Sc]	0	0	1 (3)	0	0	0	1
	1	B(C6)-APC-PPR(Pc1a1) [Bd Sc]	0	0	1	0	0	0	1
	2	B(C6)-APC-PPR(Pc2b) [Bd Sc]	0	0	1 (1b)	0	0	0	1
		B(C6)-APC-PPR(Pc2b) [Bd Sf]	0	0	1 (1a)	0	0	0	1
	s.e.1	B(C5)-AP(?) -PPR(?) [Ba SNI]	0	0	1	0	0	0	1
	Total		1	1	52	3	1	1	59

Fig. 4.104. Grupo No Determinado. Botellas (B a B-APC-PPR). Tabla de contingencia que muestra los datos de los códigos de forma específicos por categoría y subcategoría y el color de superficie y acabado (entre paréntesis se indica el tipo de pasta) (cuadro elaborado por el autor).

Tabla de contingencia Variante\_forma \* Color\_acabado

Recuento		Color_acabado						Total	
		[Na-Al]	[Na-Br]	[Na-P]	[R-Al]	[R-Br]	[R-P]		
Variante_forma	1	B(C1)-pp1-ALCV [Bd Sb]	0	0	0	1	0	0	1
	2	B(C1)-Pp2-ALCV [Bd Sc]	0	0	1	0	0	0	1
	3	B(C1)-Pp3a-ALCV [Bd SNI]	0	0	1	0	0	0	1
	4	B(C1)-Pp3b-ALCV [Ba SNI]	0	0	0	1	0	0	1
	5	B(C1)-pd3-ALCV [Ba Sb]	1	0	0	1	0	0	2
	6	B(C1)-Pd1-ALCV [Bd Sb]	0	0	1	0	0	0	1
		B(C1)-Pd1-ALCV [Bd Sd]	0	0	0	1 (2)	0	0	1
		B(C1)-Pd1-ALCV [Bf Sb]	0	0	1 (2)	0	0	0	1
	7	B(C1)-Pd2b-ALCV [Ba Sc]	0	0	0	0	0	1 (2)	1
		B(C1)-Pd2b-ALCV [Bd Sb]	0	0	0	1	0	0	1
	8	B(C1)-Pd3a1-ALCV [Ba Sa]	1 (2)	0	0	0	0	0	1
		B(C1)-Pd3a1-ALCV [Ba Sb]	0	0	1 (2)	0	0	0	1
	9	B(C1)-Pc1a1-ALCV [Bd Sb]	0	0	0	1 (2)	0	0	1
	10	B(C1)-Pxp1a1-ALCV [Ba Sh]	0	0	1 (3)	0	0	0	1
	11	B(C1)-Pxp1a2-ALCV [Bd Sb]	0	0	1 (1b)	0	0	0	1
	12	B(C1)-Pxp1b-ALCV [Be Sb]	0	0	1	0	0	0	1
	13	B(C1)-Pxc2-ALCV [Bd Sc]	1	0	0	0	0	0	1
	14	B(C1)-Pxc3c-ALCV [Bf Sb]	1	0	0	0	0	0	1
	15	B(C1)-Pe2a1-ALCV [Be Sb]	0	0	1(2)	0	0	0	1
	16	B(C1)-Pe2a3-ALCV [Bd Sb]	0	0	1	0	0	0	1
	1	B(C4)-Pd3a1-ALCV [Bd Sb]	0	0	1	0	0	0	1
	1	B(C5)-Pc1a1-ALCV [Bd Sc]	0	0	1	0	0	0	1
	1	B(C8)-Pp1-ALCV [Bd Sa]	0	0	0	0	1 (2)	0	1
	2	B(C8)-Pd1-ALCV [Bd Sf]	0	1	0	0	0	0	1
	3	B(C8)-Pd3a1-ALCV [Ba Sf]	0	0	1	0	0	0	1
		B(C8)-Pd3a1-ALCV [Ba Sg]	0	0	1 (2)	0	0	0	1
		B(C8)-Pd3a1-ALCV [Bd Sc]	0	0	1	0	0	0	1
	4	B(C8)-Pd3a3-ALCV [Bd Sf]	0	0	1(2)	0	0	0	1
	5	B(C8)-Pxp1c-ALCV [BNI Sb]	0	1 (2)	0	0	0	0	1
	6	B(C8)-Pxp1d-ALCV [Ba Sf]	0	0	1	0	0	0	1
	7	B(C8)-pxd2-ALCV [Ba Sb]	0	0	1 (1a)	0	0	0	1
	s.e.1	B(C8)-P(?) -ALCV [Ba NI]	0	0	1 (1a)	0	0	0	1
	1	MB(C1)-Gd1-ALCV [Ba Sb]	0	0	1	0	0	0	1
	2	MB(C1)-Gd2b-ALCV [Ba Sd]	0	0	1	0	0	0	1
	3	MB(C1)-Pd1-ALCV [Ba Sc]	0	0	1	0	0	0	1
	4	MB(C1)-Pd2b-ALCV [Bd Sg]	0	0	1	0	0	0	1
	5	MB(C1)-Pd3a1-ALCV [Ba Sc]	0	0	1	0	0	0	1
	6	MB(C1)-Pe2a2-ALCV [Ba Sb]	1	0	0	0	0	0	1
	1	MB(C5)-pp1-ALCV [Bb Sc]	0	0	1 (1a)	0	0	0	1
	1	MB(C8)-pp3-ALCV [Bd Sc]	0	0	1	0	0	0	1
	2	MB(C8)-Pd3a1-ALCV [Bd NI]	0	0	1	0	0	0	1
	3	MB(C8)-Pd3a2-ALCV [Ba Sb]	0	0	0	0	0	1	1
	4	MB(C8)-Pxp1a1-ALCV [Bd Sb]	0	0	1	0	0	0	1
		MB(C8)-Pxp1a1-ALCV [NO Sb]	0	0	1	0	0	0	1
	Total		5	2	29	6	1	2	45

Fig. 4.105. Grupo No Determinado. B-ALCV y MB-ALCV. Tabla de contingencia que muestra los datos de los códigos de forma específica y color de superficie y acabado (entre paréntesis se indica el tipo de pasta) (cuadro elaborado por el autor).

Tabla de contingencia Variante\_forma \* Color\_acabado

Recuento		Color_acabado		
		[Na-P]	Total	
Variante_forma	1	B(C8)-Pp1-ALTV [Ba Sf]	1	1
	2	B(C8)-Pd1-ALTV [Ba Sg]	1	1
	3	B(C8)-Pd3a1-ALTV [Bd Sd]	1	1
	1	B(C8)-Pxp1a2-AAV [Bd Sb]	1 (2)	1
	1	MB(C1)-Pp3a-AAV [Bd Sb]	1 (1b)	1
	1	B(C8)-pe1a1-AE [Ba Sf]	1	1
	s.e.1	B(C8)-P(?) -AE [Ba NI]	1	1
	s.e.1	B(C8)-P(?) ND [Ba NI]	1	1
	s.e.2	B(C8)-P(?) ND [Bd NI]	1	1
	s.e.3	B(C8)-P(?) ND [Bg4 NI]	1	1
	Total		10	10

Fig. 4.106. Grupo No Determinado. B-ALTV a BND. Tabla de contingencia que muestra los datos de los códigos de forma específicos por categoría y subcategoría y el color de superficie y acabado (entre paréntesis se indica el tipo de pasta).

Tabla de contingencia Variante\_forma \* Color\_acabado

Recuento		Color_acabado										Total		
		[Na-AI]	[Na-Br]	[Na-P]	[R-AI]	[R-Br]	[R-P]	[Mcl-AI]	[Mos-AI]	[Be-P]	NI			
Variante_forma	1	C(C5)-Cd3a1 [NO Sb]	0	0	0	0	1	0	0	0	0	0	0	1
	s.e.1	C(C1)-Cxn1-ALCH [Bb NI]	0	0	0	0	0	0	0	1	0	0	0	1
	1	O(C5)-Cd1a3 [Bd Sb]	0	0	0	0	0	1	0	0	0	0	0	1
	1	O(C8)-Cd1a2 [Bf Sg]	0	0	1	0	0	0	0	0	0	0	0	1
	2	O(C8)-Cd2d [NI Sb]	0	0	0	0	0	1	0	0	0	0	0	1
	3	O(C8)-Cd3a2 [Ba Sb]	0	0	0	1 (3)	0	0	0	0	0	0	0	1
	1	MO(C1)-Cd1a1 [Ba Sb]	1	0	0	0	0	0	0	0	0	0	0	1
	2	MO(C1)-Cd2a [Bd Sb]	0	0	1	0	0	0	0	0	0	0	0	1
	3	MO(C1)-Cd3a2 [Bd Sb]	0	1	0	0	0	0	0	0	0	0	0	1
	1	MO(C8)-Cd1a2 [Ba Sb]	0	0	1	0	0	0	0	0	0	0	0	1
	2	MO(C8)-Cd2a [Be Sb]	0	0	1	0	0	0	0	0	0	0	0	1
	3	MO(C8)-Cxp1 [Bd Sb]	0	0	1	0	0	0	0	0	0	0	0	1
	1	O(C1)-Cd1a1-ALCH [Bb Sb]	0	0	0	0	0	0	1	0	0	0	0	1
	1	MO(C8)-Cd1a1-AAH [NI Sf]	0	0	1	0	0	0	0	0	0	0	0	1
	1	MO(C8)-Cd3a1-AAH-Vep1a [Ba Sb Sc]	1	0	0	0	0	0	0	0	0	0	0	1
		MO(C8)-Cd3a1-AAH-Vep1a [Bd Sf SNI]	0	0	1	0	0	0	0	0	0	0	0	1
		O(C1)-ALCH [Ba-EEh]	0	0	1	0	0	0	0	0	0	0	0	1
		O(C1)-ALCH [Bf-EEh]	0	0	1 (2)	0	0	0	0	0	0	0	0	1
		O(C1)-ALCH [NI-Sc]	0	0	1	0	0	0	0	0	0	0	0	1
	1	O(C1)-ALCH-Vep1a [Ba-Sb Sb]	0	0	0	1	0	0	0	0	0	0	0	1
	1	O(C8)-ALCH-Vep1b [Ba-Sc Sb]	0	0	1	0	0	0	0	0	0	0	0	1
	1	T(C1)-Vep1a [Ba-Sf Sc]	0	0	1	0	0	0	0	0	0	0	0	1
		T(C1)-Vep1a [Ba-EEh Sg]	0	0	1	0	0	0	0	0	0	0	0	1
		T(C1)-Vep1a [Ba-Sb Sb]	0	0	1	0	0	0	0	0	0	0	0	1
		T(C1)-Vep1a [Be-Sb Sb]	1	0	0	0	0	0	0	0	0	0	0	1
		T(C1)-Vep1a [Bf-Sf Sb]	0	0	1	0	0	0	0	0	0	0	0	1
	2	T(C1)-Vec1 [Ba-EEf Sc]	0	0	1 (1a)	0	0	0	0	0	0	0	0	1
		T(C1)-Vec1 [Ba-EEh Sc]	0	0	2	0	0	0	0	0	0	0	0	2
		T(C1)-Vec1 [Bc-EEc SNI]	0	0	1	0	0	0	0	0	0	0	0	1
		T(C1)-Vec1 [Be-Alb Sb]	0	0	1 (2)	0	0	0	0	0	0	0	0	1
		T(C1)-Vec1 [Be-Sb Sb]	0	0	1	0	0	0	0	0	0	0	0	1
		T(C1)-Vec1 [Be-Sb Sc]	0	0	1	0	0	0	0	0	0	0	0	1
		T(C1)-Vec1 [Be-EEh SNI]	0	0	1	0	0	0	0	0	0	0	0	1
		T(C1)-Vec1 [Bf-Sc Sc]	0	0	1	0	0	0	0	0	0	0	0	1
		T(C1)-Vec1 [NI-Sg Sf]	0	0	1	0	0	0	0	0	0	0	0	1
		T(C1)-Vec1 [NI-EEh Sc]	0	0	1	0	0	0	0	0	0	0	0	1
	3	T(C1)-Vexp1 [Ba-Sb Sb]	0	0	1	0	0	0	0	0	0	0	0	1
	s.e.1	T(C1)-Ve(?) [Bd-EEh SNI]	0	0	1	0	0	0	0	0	0	0	0	1
	1	T(C5)-Vec1 [Ba-EEh SNI]	0	0	1 (1a)	0	0	0	0	0	0	0	0	1
		T(C5)-Vec1 [Bf-EEh Sc]	0	0	1 (4)	0	0	0	0	0	0	0	0	1
	s.e.1	T(C5)-Ve(?) [Be-Sb NI]	0	0	0	0	1 (3)	0	0	0	0	0	0	1
	s.e.2	T(C5)-Ve(?) [Bf-EEh NI]	0	0	1 (2)	0	0	0	0	0	0	0	0	1
	1	MT(C1)-Vec2 [Bd-EEh Sc]	0	0	1 (1a)	0	0	0	0	0	0	0	0	1
		P2a [Be-Sd]	0	0	1	0	0	0	0	0	0	0	0	1
		MPx1 [Ba-Sb]	0	0	0	0	0	0	0	0	1	0	0	1
		Vp2a [Ba-Sc]	0	0	1	0	0	0	0	0	0	0	0	1
		Vp2b1 [Bc-Sb]	0	0	1 (1a)	0	0	0	0	0	0	0	0	1
		Vd2b [Bd-Sb]	0	0	0	0	0	0	0	0	0	1	0	1
		Cu3b1 [Ba-Sd]	0	0	1 (1a)	0	0	0	0	0	0	0	0	1
		Cu3a2 [Ba-Sf]	0	0	1	0	0	0	0	0	0	0	0	1
	Total		3	1	37	2	2	2	1	1	1	1	1	51

Fig. 4.107. Grupo No Determinado. C a Cu. Tabla de contingencia que muestra los datos de los códigos específicos por categoría y subcategoría y el color de superficie y acabado (entre paréntesis se indica el tipo de pasta) (cuadro elaborado por el autor).

			Tabla de contingencia Categoría_prima * Color_acabado * Grupo_est															
Grupo_est	Categoría_prima		Color_acabado											Total				
			[Na-A]	[Na-Br]	[Na-P]	[R-A]	[R-Br]	[R-P]	[Mcl-A]	[Mcl-P]	[Mos-A]	[Be-P]	NI					
No det.	Categoría_prima	B	Recuento	1	1	4	3	0	0	0	0	0	0	0	0	0	9	
		% dentro de Categoría_prima	11.1%	11.1%	44.4%	33.3%	0.0%	0.0%	0.0%	0.0%	0.0%	0.0%	0.0%	0.0%	0.0%	0.0%	100.0%	
		MB	Recuento	0	0	1	0	0	0	0	0	0	0	0	0	0	0	1
		% dentro de Categoría_prima	0.0%	0.0%	100.0%	0.0%	0.0%	0.0%	0.0%	0.0%	0.0%	0.0%	0.0%	0.0%	0.0%	0.0%	100.0%	
		B-APC-PP	Recuento	0	0	13	0	0	0	0	1	0	0	0	0	0	0	14
		% dentro de Categoría_prima	0.0%	0.0%	92.9%	0.0%	0.0%	0.0%	0.0%	7.1%	0.0%	0.0%	0.0%	0.0%	0.0%	0.0%	100.0%	
		B-APT-PP	Recuento	0	0	5	0	0	0	0	0	0	0	0	0	0	0	5
		% dentro de Categoría_prima	0.0%	0.0%	100.0%	0.0%	0.0%	0.0%	0.0%	0.0%	0.0%	0.0%	0.0%	0.0%	0.0%	0.0%	100.0%	
		B-AP?-PP	Recuento	0	0	10	0	0	0	0	0	0	0	0	1	0	0	11
		% dentro de Categoría_prima	0.0%	0.0%	90.9%	0.0%	0.0%	0.0%	0.0%	0.0%	0.0%	0.0%	0.0%	9.1%	0.0%	0.0%	100.0%	
		B-APC-PC	Recuento	0	0	4	0	0	0	0	0	0	0	0	0	0	0	4
		% dentro de Categoría_prima	0.0%	0.0%	100.0%	0.0%	0.0%	0.0%	0.0%	0.0%	0.0%	0.0%	0.0%	0.0%	0.0%	0.0%	100.0%	
		B-APC-P?C	Recuento	0	0	3	0	0	0	0	0	0	0	0	0	0	0	3
		% dentro de Categoría_prima	0.0%	0.0%	100.0%	0.0%	0.0%	0.0%	0.0%	0.0%	0.0%	0.0%	0.0%	0.0%	0.0%	0.0%	100.0%	
		B-AP?-PC	Recuento	0	0	1	0	0	0	0	0	0	0	0	0	0	0	1
		% dentro de Categoría_prima	0.0%	0.0%	100.0%	0.0%	0.0%	0.0%	0.0%	0.0%	0.0%	0.0%	0.0%	0.0%	0.0%	0.0%	100.0%	
		B-APC-PPR	Recuento	0	0	10	0	0	0	0	0	0	0	0	0	0	0	10
		% dentro de Categoría_prima	0.0%	0.0%	100.0%	0.0%	0.0%	0.0%	0.0%	0.0%	0.0%	0.0%	0.0%	0.0%	0.0%	0.0%	100.0%	
		B-AP?-PPR	Recuento	0	0	1	0	0	0	0	0	0	0	0	0	0	0	1
		% dentro de Categoría_prima	0.0%	0.0%	100.0%	0.0%	0.0%	0.0%	0.0%	0.0%	0.0%	0.0%	0.0%	0.0%	0.0%	0.0%	100.0%	
		B-ALCV	Recuento	4	2	19	6	1	1	0	0	0	0	0	0	0	0	33
		% dentro de Categoría_prima	12.1%	6.1%	57.6%	18.2%	3.0%	3.0%	0.0%	0.0%	0.0%	0.0%	0.0%	0.0%	0.0%	0.0%	100.0%	
		MB-ALCV	Recuento	1	0	10	0	0	1	0	0	0	0	0	0	0	0	12
		% dentro de Categoría_prima	8.3%	0.0%	83.3%	0.0%	0.0%	8.3%	0.0%	0.0%	0.0%	0.0%	0.0%	0.0%	0.0%	0.0%	100.0%	
		B-ALTV	Recuento	0	0	3	0	0	0	0	0	0	0	0	0	0	0	3
		% dentro de Categoría_prima	0.0%	0.0%	100.0%	0.0%	0.0%	0.0%	0.0%	0.0%	0.0%	0.0%	0.0%	0.0%	0.0%	0.0%	100.0%	
		B-AAV	Recuento	0	0	1	0	0	0	0	0	0	0	0	0	0	0	1
		% dentro de Categoría_prima	0.0%	0.0%	100.0%	0.0%	0.0%	0.0%	0.0%	0.0%	0.0%	0.0%	0.0%	0.0%	0.0%	0.0%	100.0%	
		MB-AAV	Recuento	0	0	1	0	0	0	0	0	0	0	0	0	0	0	1
		% dentro de Categoría_prima	0.0%	0.0%	100.0%	0.0%	0.0%	0.0%	0.0%	0.0%	0.0%	0.0%	0.0%	0.0%	0.0%	0.0%	100.0%	
		B-AE	Recuento	0	0	2	0	0	0	0	0	0	0	0	0	0	0	2
		% dentro de Categoría_prima	0.0%	0.0%	100.0%	0.0%	0.0%	0.0%	0.0%	0.0%	0.0%	0.0%	0.0%	0.0%	0.0%	0.0%	100.0%	
		BND	Recuento	0	0	3	0	0	0	0	0	0	0	0	0	0	0	3
		% dentro de Categoría_prima	0.0%	0.0%	100.0%	0.0%	0.0%	0.0%	0.0%	0.0%	0.0%	0.0%	0.0%	0.0%	0.0%	0.0%	100.0%	
		C	Recuento	0	0	0	0	1	0	0	0	0	0	0	0	0	0	1
		% dentro de Categoría_prima	0.0%	0.0%	0.0%	0.0%	100.0%	0.0%	0.0%	0.0%	0.0%	0.0%	0.0%	0.0%	0.0%	0.0%	100.0%	
		C-ALCH	Recuento	0	0	0	0	0	0	0	0	0	1	0	0	0	0	1
		% dentro de Categoría_prima	0.0%	0.0%	0.0%	0.0%	0.0%	0.0%	0.0%	0.0%	0.0%	100.0%	0.0%	0.0%	0.0%	0.0%	100.0%	
		O-C	Recuento	0	0	1	1	0	2	0	0	0	0	0	0	0	0	4
		% dentro de Categoría_prima	0.0%	0.0%	25.0%	25.0%	0.0%	50.0%	0.0%	0.0%	0.0%	0.0%	0.0%	0.0%	0.0%	0.0%	100.0%	
		MO-C	Recuento	1	1	4	0	0	0	0	0	0	0	0	0	0	0	6
		% dentro de Categoría_prima	16.7%	16.7%	66.7%	0.0%	0.0%	0.0%	0.0%	0.0%	0.0%	0.0%	0.0%	0.0%	0.0%	0.0%	100.0%	
		O-C-ALCH	Recuento	0	0	0	0	0	0	1	0	0	0	0	0	0	0	1
% dentro de Categoría_prima	0.0%	0.0%	0.0%	0.0%	0.0%	0.0%	0.0%	100.0%	0.0%	0.0%	0.0%	0.0%	0.0%	0.0%	100.0%			
MO-C-AAH	Recuento	0	0	1	0	0	0	0	0	0	0	0	0	0	0	1		
% dentro de Categoría_prima	0.0%	0.0%	100.0%	0.0%	0.0%	0.0%	0.0%	0.0%	0.0%	0.0%	0.0%	0.0%	0.0%	0.0%	100.0%			
MO-C-AAH-Ve	Recuento	1	0	1	0	0	0	0	0	0	0	0	0	0	0	2		
% dentro de Categoría_prima	50.0%	0.0%	50.0%	0.0%	0.0%	0.0%	0.0%	0.0%	0.0%	0.0%	0.0%	0.0%	0.0%	0.0%	100.0%			
O-ALCH	Recuento	0	0	3	0	0	0	0	0	0	0	0	0	0	0	3		
% dentro de Categoría_prima	0.0%	0.0%	100.0%	0.0%	0.0%	0.0%	0.0%	0.0%	0.0%	0.0%	0.0%	0.0%	0.0%	0.0%	100.0%			
O-ALCH-Ve	Recuento	0	0	1	1	0	0	0	0	0	0	0	0	0	0	2		
% dentro de Categoría_prima	0.0%	0.0%	50.0%	50.0%	0.0%	0.0%	0.0%	0.0%	0.0%	0.0%	0.0%	0.0%	0.0%	0.0%	100.0%			
T	Recuento	1	0	20	0	1	0	0	0	0	0	0	0	0	0	22		
% dentro de Categoría_prima	4.5%	0.0%	90.9%	0.0%	4.5%	0.0%	0.0%	0.0%	0.0%	0.0%	0.0%	0.0%	0.0%	0.0%	100.0%			
MT	Recuento	0	0	1	0	0	0	0	0	0	0	0	0	0	0	1		
% dentro de Categoría_prima	0.0%	0.0%	100.0%	0.0%	0.0%	0.0%	0.0%	0.0%	0.0%	0.0%	0.0%	0.0%	0.0%	0.0%	100.0%			
P	Recuento	0	0	1	0	0	0	0	0	0	0	0	0	0	0	1		
% dentro de Categoría_prima	0.0%	0.0%	100.0%	0.0%	0.0%	0.0%	0.0%	0.0%	0.0%	0.0%	0.0%	0.0%	0.0%	0.0%	100.0%			
MP	Recuento	0	0	0	0	0	0	0	0	0	0	1	0	0	0	1		
% dentro de Categoría_prima	0.0%	0.0%	0.0%	0.0%	0.0%	0.0%	0.0%	0.0%	0.0%	0.0%	100.0%	0.0%	0.0%	0.0%	100.0%			
V	Recuento	0	0	2	0	0	0	0	0	0	0	0	1	0	0	3		
% dentro de Categoría_prima	0.0%	0.0%	66.7%	0.0%	0.0%	0.0%	0.0%	0.0%	0.0%	0.0%	0.0%	33.3%	0.0%	0.0%	100.0%			
Cu	Recuento	0	0	2	0	0	0	0	0	0	0	0	0	0	0	2		
% dentro de Categoría_prima	0.0%	0.0%	100.0%	0.0%	0.0%	0.0%	0.0%	0.0%	0.0%	0.0%	0.0%	0.0%	0.0%	0.0%	100.0%			
Total	Recuento	9	4	128	11	3	4	1	1	1	1	1	2	0	0	165		
% dentro de Categoría_prima	5.5%	2.4%	77.6%	6.7%	1.8%	2.4%	.6%	.6%	.6%	.6%	.6%	1.2%	0.0%	0.0%	100.0%			

Fig. 4.108. Grupo No Determinado. Tabla de contingencia que muestra los tipos de color de superficie y acabado por categoría y subcategoría (cuadro elaborado por el autor).

Tabla de contingencia Categoría_prima * Pasta * Grupo_est									
Grupo_est	Categoría_prima	Recuento	Pasta					Total	
			1a	1b	2	3	4		NI
B		Recuento	1	0	2	0	0	6	9
		% dentro de Categoría_prima	11.1%	0.0%	22.2%	0.0%	0.0%	66.7%	100.0%
MB		Recuento	0	0	0	0	0	1	1
		% dentro de Categoría_prima	0.0%	0.0%	0.0%	0.0%	0.0%	100.0%	100.0%
B-APC-PP		Recuento	4	0	1	0	0	9	14
		% dentro de Categoría_prima	28.6%	0.0%	7.1%	0.0%	0.0%	64.3%	100.0%
B-APT-PP		Recuento	2	0	0	0	0	3	5
		% dentro de Categoría_prima	40.0%	0.0%	0.0%	0.0%	0.0%	60.0%	100.0%
B-AP?-PP		Recuento	1	4	1	0	0	5	11
		% dentro de Categoría_prima	9.1%	36.4%	9.1%	0.0%	0.0%	45.5%	100.0%
B-APC-PC		Recuento	0	0	0	0	0	4	4
		% dentro de Categoría_prima	0.0%	0.0%	0.0%	0.0%	0.0%	100.0%	100.0%
B-APC-P?C		Recuento	0	0	0	0	0	3	3
		% dentro de Categoría_prima	0.0%	0.0%	0.0%	0.0%	0.0%	100.0%	100.0%
B-AP?-PC		Recuento	0	0	1	0	0	0	1
		% dentro de Categoría_prima	0.0%	0.0%	100.0%	0.0%	0.0%	0.0%	100.0%
B-APC-PPR		Recuento	2	1	0	1	0	6	10
		% dentro de Categoría_prima	20.0%	10.0%	0.0%	10.0%	0.0%	60.0%	100.0%
B-AP?-PPR		Recuento	0	0	0	0	0	1	1
		% dentro de Categoría_prima	0.0%	0.0%	0.0%	0.0%	0.0%	100.0%	100.0%
B-ALCV		Recuento	2	1	11	1	0	18	33
		% dentro de Categoría_prima	6.1%	3.0%	33.3%	3.0%	0.0%	54.5%	100.0%
MB-ALCV		Recuento	1	0	0	0	0	11	12
		% dentro de Categoría_prima	8.3%	0.0%	0.0%	0.0%	0.0%	91.7%	100.0%
B-ALTV		Recuento	0	0	0	0	0	3	3
		% dentro de Categoría_prima	0.0%	0.0%	0.0%	0.0%	0.0%	100.0%	100.0%
B-AAV		Recuento	0	0	1	0	0	0	1
		% dentro de Categoría_prima	0.0%	0.0%	100.0%	0.0%	0.0%	0.0%	100.0%
MB-AAV		Recuento	0	1	0	0	0	0	1
		% dentro de Categoría_prima	0.0%	100.0%	0.0%	0.0%	0.0%	0.0%	100.0%
B-AE		Recuento	2	0	0	0	0	0	2
		% dentro de Categoría_prima	100.0%	0.0%	0.0%	0.0%	0.0%	0.0%	100.0%
BND		Recuento	2	0	1	0	0	0	3
		% dentro de Categoría_prima	66.7%	0.0%	33.3%	0.0%	0.0%	0.0%	100.0%
C		Recuento	0	0	0	0	0	1	1
		% dentro de Categoría_prima	0.0%	0.0%	0.0%	0.0%	0.0%	100.0%	100.0%
C-ALCH		Recuento	0	0	0	0	0	1	1
		% dentro de Categoría_prima	0.0%	0.0%	0.0%	0.0%	0.0%	100.0%	100.0%
O-C		Recuento	0	0	0	1	0	3	4
		% dentro de Categoría_prima	0.0%	0.0%	0.0%	25.0%	0.0%	75.0%	100.0%
MO-C		Recuento	0	0	0	0	0	6	6
		% dentro de Categoría_prima	0.0%	0.0%	0.0%	0.0%	0.0%	100.0%	100.0%
O-C-ALCH		Recuento	0	0	0	0	0	1	1
		% dentro de Categoría_prima	0.0%	0.0%	0.0%	0.0%	0.0%	100.0%	100.0%
MO-C-AAH		Recuento	0	0	0	0	0	1	1
		% dentro de Categoría_prima	0.0%	0.0%	0.0%	0.0%	0.0%	100.0%	100.0%
MO-C-AAH-Ve		Recuento	0	0	0	0	0	2	2
		% dentro de Categoría_prima	0.0%	0.0%	0.0%	0.0%	0.0%	100.0%	100.0%
O-ALCH		Recuento	0	0	1	0	0	2	3
		% dentro de Categoría_prima	0.0%	0.0%	33.3%	0.0%	0.0%	66.7%	100.0%
O-ALCH-Ve		Recuento	0	0	0	0	0	2	2
		% dentro de Categoría_prima	0.0%	0.0%	0.0%	0.0%	0.0%	100.0%	100.0%
T		Recuento	2	0	2	1	1	16	22
		% dentro de Categoría_prima	9.1%	0.0%	9.1%	4.5%	4.5%	72.7%	100.0%
MT		Recuento	0	0	0	0	0	1	1
		% dentro de Categoría_prima	0.0%	0.0%	0.0%	0.0%	0.0%	100.0%	100.0%
P		Recuento	1	0	0	0	0	0	1
		% dentro de Categoría_prima	100.0%	0.0%	0.0%	0.0%	0.0%	0.0%	100.0%
MP		Recuento	0	0	0	0	0	1	1
		% dentro de Categoría_prima	0.0%	0.0%	0.0%	0.0%	0.0%	100.0%	100.0%
V		Recuento	1	0	0	0	0	2	3
		% dentro de Categoría_prima	33.3%	0.0%	0.0%	0.0%	0.0%	66.7%	100.0%
Cu		Recuento	1	0	0	0	0	1	2
		% dentro de Categoría_prima	50.0%	0.0%	0.0%	0.0%	0.0%	50.0%	100.0%
Total		Recuento	22	7	21	4	1	110	165
		% dentro de Categoría_prima	13.3%	4.2%	12.7%	2.4%	0.0	66.7%	100.0%

Fig. 4.109. Grupo No Determinado. Tabla de contingencia que muestra los tipos de pasta por categoría y subcategoría (cuadro elaborado por el autor).


Categoría	Tipo	Contorno	Subvar.	Código de forma y tecnología	Esp. (pasta)
P	1	 P2a	1a	P2a [Ba-Sb] [Ne-Br]	CE-0129
			1aNI	P2a [NI-Sb] [Ne-Br]	CE-0137

Fig. 4.110. Cocción reductora. Estilo Lima. Platos. Codificación de los rasgos morfológicos y tecnológicos, así como los especímenes correspondientes (cuadro elaborado por el autor).


Subcat.	Tipo	Var.	Contorno	Subvar.	Código de forma y tecnología	Esp. (pasta)
BC	G. aplan.	1	 Pd2b	1a	BC(C3)-Pd2b [Ba Sb] [Ne-P]	CE-0147
						CE-0148

Fig. 4.111. Cocción reductora. Estilo Chakipampa. BC. Codificación de los rasgos morfológicos y tecnológicos, así como los especímenes correspondientes (cuadro elaborado por el autor).


Cat./subcat.	Tipo	Contorno	Subvar.	Código de forma y tecnología	Esp. (pasta)
V	1	 Vd2a	1a	Vd2a [Bd-Sb] [Ne-P]	CE-0131

Fig. 4.112. Cocción reductora. Estilo Viñaque. Vaso. Codificación morfológicos y tecnológicos, así como los especímenes correspondientes (cuadro elaborado por el autor).














Cat./subcat.	Tipo	Var.	Contorno	Subvar.	Código de forma y tecnología	Esp. (pasta)
B	G. achat.	1	 Pc2c	1a	B(C1)-Pc2c [Bd Sf] [Ne-P]	CE-0145
	Esc.	1	 Pp1	1a	B(C8)-Pp1 [Ba Sd] [Ne-Br]	CE-0149
MB	Esc.	1	 pe1a1	1a	MB(C8)-pe1a1 [Ba Sb] [Ne-P]	CE-0010
B-APC-PP	Esc.	1	 Pc1a2	1a	B(C8)-APC-PP(Pc1a2) [Bd Sb] [NI]	CE-0156
		2	 Pc2a	2a	B(C8)-APC-PP(Pc2a) [Ba Sc] [Ne-P]	CE-2786
B-ALCV	G. achat.	1	 Pd3a2	1a	B(C1)-Pd3a2-ALCV [Ba Sb] [Ne-P]	CE-0026
	P. comp.	1	 Pxd3	1a	B(C5)-Pxd3-ALCV [Ba Sc] [Ne-Br]	CE-0059
	Esc.	1	 Pp1	1a	B(C8)-Pp1-ALCV [Ba Sf] [Ne-P]	CE-0146
		2	 Pp3b2	2a	B(C8)-Pp3b2-ALCV [Bd Sg] [Ne-Br]	CE-0044
		3	 Pxc3b	3aNI	B(C8)-Pxc3b-ALCV [Bd SNI] [Ne-P]	CE-0058
B-AE	G. achat.	1	 pxp1	1a	B(C1)-pxp1-AE [Bd EEg] [Ne-P]	MSP-71

Fig. 4.113. Cocción reductora. Grupo No Determinado. Botellas. Codificación de rasgos morfológicos y tecnológicos, así como los especímenes correspondientes (cuadro elaborado por el autor).


Subcat.	Tipo	Var.	Contorno	Subvar.	Código de forma y tecnología	Esp. (pasta)
MO-C-AAH-Ve	Esc.	1	 Cód1a1	1	MO(C8)-Cd1a1-AAH-Ve(?) [Bg3 Sb Ni] [Ne-Br]	CE-0138

Fig. 4.114. Cocción reductora. Grupo No Determinado. MO-C-AAH-Ve. Codificación de los rasgos morfológicos y tecnológicos, así como el espécimen correspondiente (cuadro elaborado por el autor).


Categoría	Tipo	Contorno	Subvar.	Código de forma y tecnología	Esp. (pasta)
P	1	 P1a	1a	P1a [Be-Sd] [Ne-Br]	CE-0170

Fig. 4.115. Cocción reductora. Grupo No Determinado. Plato. Codificación de los rasgos morfológicos y tecnológicos, así como el espécimen correspondiente (cuadro elaborado por el autor).



Cat./subcat.	Tipo	Contorno	Subvar.	Código de forma y tecnología	Esp. (pasta)
V	1	 Vd1	1a	Vd1 [Bd-Sb] [Ne-Al]	35-5055b
MV-Ve	1	 Vd2a	1a	MVd2a-Vep1a [Bd-Sb Sg] [Ne-Br]	35-5504

Fig. 4.116. Cocción reductora. Grupo No Determinado. V y MV-Ve. Codificación de los rasgos morfológicos y tecnológicos, así como los especímenes correspondientes (cuadro elaborado por el autor).



Categoría	Tipo	Contorno	Subvar.	Código de forma y tecnología	Esp. (pasta)
Cu	1	 Cu1	1a	Cu1 [Bd-Sb] [Ne-Br]	CE-0130
	2	 Cu2	2a	Cu2 [Ba-Sb] [Ne-Br]	CE-0168

Fig. 4.117. Cocción reductora. Grupo No Determinado. Cuencos. Codificación de los rasgos morfológicos y tecnológicos, así como los especímenes correspondientes (cuadro elaborado por el autor).

Tabla de contingencia Variante\_forma \* Color\_acabado

Recuento		Color_acabado				Total
		[Ne-A]	[Ne-Br]	[Ne-P]	NI	
Variante_forma	Lima					
	P2a [Ba-Sb Sb]	0	1	0	0	1
	P2a [NI-Sb Sb]	0	1	0	0	1
	Chakipampa					
	1 BC(C3)-Pd2b [Ba Sb]	0	0	2	0	2
	Viñaque					
	Vd2a [Bd-Sb]	0	0	1	0	1
	Grupo No Determinado					
	1 B(C1)-Pc2c [Bd Sf]	0	0	1	0	1
	1 B(C8)-Pp1 [Ba Sd]	0	1	0	0	1
	1 MB(C8)-pe1a1 [Ba Sb]	0	0	1	0	1
	1 B(C8)-APC-PP(Pc1a3) [Bd Sb]	0	0	0	1	1
	2 B(C8)-APC-PP(Pc2a) [Ba Sc]	0	0	1	0	1
	1 B(C1)-Pd3a2-ALCV [Ba Sb]	0	0	1	0	1
	2 B(C5)-Pxd3-ALCV [Ba Sc]	0	1	0	0	1
	3 B(C8)-Pp1-ALCV [Ba Sf]	0	0	1	0	1
	4 B(C8)-Pp3b2-ALCV [Bd Sg]	0	1	0	0	1
	5 B(C8)-Pxc3b-ALCV [Bd SNI]	0	0	1	0	1
	1 B(C1)-pxp1-AE [Bd EEg]	0	0	1	0	1
	MO(C8)-Cd1a1-AAH-Ve(?) [Bg3-Sb NI]	0	1	0	0	1
	P1a [Be-Sd]	0	1	0	0	1
	Vd1 [Bd-Sb]	1	0	0	0	1
	MVd2a-Vep1a [Bd-Sb]	0	1	0	0	1
	Cu1 [Bd-Sb]	0	1	0	0	1
	Cu2 [Ba-Sb]	0	1	0	0	1
	Total	1	10	10	1	22

Fig. 4.118. Vasijas de cocción reductora. Estilos definidos y grupo No Determinado. Tabla de contingencia que muestra los datos de códigos de forma específicos por categoría y subcategoría (cuadro elaborado por el autor).

	Abrev.	N=
Lima	L	165
Chakipampa	Ch	36
Mochica	M	1
Versiones reelaboradas de diseños foráneos	VeR	8
Versiones reelaboradas de diseños híbridos	HiR	3
Pachacamac	Pach	1
Campos de color	CC	7
	Total	221

Fig. 4.119. Relación de los estilos cuyos diseños están en el listado de la fig. 4.120 y en el catálogo de diseños (cuadro elaborado por el autor).

Fig. 4.120. Listado de diseños (cuadro elaborado por el autor).

<b>1. Lima.</b> Se caracterizan por ser, mayormente, geométricos.
<b>L1. Líneas.</b> Se presentan, mayormente, de manera vertical.
L1a1. Línea continua, de color rojo o negro.
L1a2. Dos líneas negras rectas paralelas continuas de color negro.
L1a3. Tres líneas negras rectas paralelas continuas de color negro.
L1a4. Dos líneas negras rectas paralelas continuas de color negro, con una línea blanca ondulante en medio de ambas.
L1b1. Una sola línea continua, de color rojo o negro, delineada en color blanco.
L1b2. Dos líneas negras paralelas de color negro, con una línea blanca en medio, sin espacio entre ellas.
L1b3. Dos líneas negras paralelas continuas de color negro, cada una delineada en color blanco.
L1c. Una línea continua, de color negro, con aros de color blanco insertos.
L1d1. Línea discontinua de color negro o rojo.
L1d2. Dos líneas paralelas discontinuas de color negro o rojo.
L1e. Dos líneas negras sinuosas paralelas de color negro y una línea blanca sinuosa entre ambas.
L1f1. Dos líneas paralelas de color negro; una de ellas con pequeños segmentos de línea de color negro que surgen de ella de manera perpendicular.
L1f2. Dos líneas paralelas de color negro; una de ellas, delineada con una línea de color blanco, con pequeños segmentos de línea de color negro que salen de manera perpendicular.
L1g. Diseño afín al estilo Lima: una cruz de color negro.
<b>L2. Bandas.</b> Se pueden presentar de manera vertical u horizontal.
L2a. Banda recta simple, sin delineado, de color rojo, negro o blanco.
L2b1. Banda recta de color rojo, con delineado simple de color blanco en uno de sus dos lados.
L2b2. Banda recta de color rojo o negro, con delineado doble (de color negro o blanco) en sus dos lados.
L2c1. Banda recta de color rojo con puntos de color blanco insertos y delineado simple de color blanco en sus dos lados.
L2c2. Banda recta de color rojo con aros de color negro insertos y delineado de color negro en ambos lados.
L2c3. Banda recta de color rojo con aros de color blanco insertos, que colindan con los límites de la banda, y tiene un delineado de color negro en ambos lados.
L2c4. Banda recta de color rojo con pequeños aros de color blanco insertos que alternan, en una fila, con figuras en forma de «S», y tiene un delineado de color negro en ambos lados.
L2d1. Banda recta de color rojo con delineado doble (de color negro y blanco) en uno de sus lados.
L2d2. Banda recta de color rojo con delineado doble (de color negro y blanco) en ambos lados.
L2d3. Banda recta de color rojo con delineado doble (de color negro y blanco) en ambos lados, con puntos alargados de color blanco dispuestos en fila al medio de la banda.
L2e1. Banda recta de color rojo con delineado triple (de color negro y blanco) en ambos lados.
L2e2. Banda recta de color rojo con delineado triple (de color negro y blanco) en ambos lados, con aros de color blanco dispuestos en fila al medio de la banda.
L2f1a. Campo rectangular de color rojo delineado en negro.
L2f1b. Campo cuadrangular de color rojo delineado en negro.
L2f2. Campo rectangular de color negro delineado en blanco, con una línea blanca vertical al medio, que lo divide en dos.
L2g1. Rectángulo de color rojo, con un segmento de línea del mismo color al centro, dispuesto de forma horizontal.
L2g2. Rectángulo de color rojo, con dos segmentos paralelos de línea del mismo color, dispuestos al centro de forma horizontal.
L2g3. Diseño rectangular no cerrado en uno de sus lados formado por líneas de color rojo y que al medio presentan una fila de puntos de color rojo.
L2g4. Diseño rectangular cerrado formado enmarcada por dos formas ortogonales de color rojo pero no cerradas en uno de sus lados. El diseño tiene al medio una fila de puntos de color rojo alineados al centro junto con dos puntos adicionales que salen del extremo de esta hilera.
L2h. Diseño afín al estilo Lima en forma de cruz formada por bandas, con doble delineado en negro y blanco. Presenta, en su interior, una serie de líneas discontinuas en color negro.
<b>L3. Diseños en forma de «V» y triángulos</b>
L3a. Diseño conformado por líneas que forman triángulos de color rojo inscritos. Puede presentar dos puntos en el triángulo más interno. El extremo superior es redondeado.
L3b1. Diseño triangular formado por una banda roja a la que sigue una banda de color negro. Al interior del triángulo interior tiene unas hileras paralelas de puntos alargados dispuestos en forma diagonal.
L3b2. Diseño triangular formado por una banda de color rojo con delineado doble de color negro y blanco. Al interior presenta un reticulado de color blanco.
L3b3. Diseño triangular formado por bandas de color rojo con un delineado simple de color blanco y que en su interior presenta triángulos inscritos de color negro; en la parte más central hay tres puntos dispuestos en forma triangular. En las bandas tiene aros de color blanco dispuestos en hilera.
L3c. Diseño en forma de «V» invertida formado por una banda de color del fondo de la base y delineado triple de color blanco, negro y blanco. En sus secciones interiores presenta dos filas paralelas de línea discontinuas.
L3d. Diseño en forma de «V» invertida, conformado por dos bandas de color rojo delineadas en ambos lados en negro pero que en su sección superior no están cerradas, están inscritas y alternadas con bandas del color de la base que en su interior presentan puntos de color negro en hileras paralelas. La sección triangular más interna presenta puntos dispuestos en área.
L3e1. Diseño conformado por líneas de color rojo inscritas en forma de «V». Presenta dos puntos del mismo color en la sección

triangular más interna.
L3e2. Diseño que consiste de bandas de color rojo y blanco en forma de «V» inscritas, invertidas y alternadas con espacios del color del fondo. La banda exterior está delineada por líneas de color negro y blanco en los lados superiores. Presentan puntos de color negro en hilera en los espacios entre las bandas, mientras puntos de área se presentan en la sección triangular más interior.
L3e3. Diseño conformado por una banda del color de la base alternada con una de color rojo. La banda más externa tiene un delineado doble de color negro en los lados superiores y el diseño completo tiene un delineado negro en la parte inferior. Presenta puntos de color rojo sin orden en la banda exterior así como en la sección triangular más interior.
L3f1. Triángulos y formas en «V» invertidas inscritos conformados por bandas de color rojo con delineado simple de color negro en ambos lados. En los espacios entre triángulos tiene dos hileras de puntos de color rojo dispuestas en paralelo.
L3f2. Triángulos inscritos formados por bandas con delineado simple de color negro. Entre las bandas tienen puntos de color negro dispuestos en dos hileras paralelas. En la sección triangular más interna presenta puntos en área y otro delineado de color negro sobre sus lados superiores. Los lados superiores externos tienen un delineado adicional de color negro pero con un espacio de por medio.
L3g1. Diseño compuesto por dos formas triangulares de contornos curvados y ondulantes delineadas en color negro con una línea gruesa, a la que le sigue un delineado en blanco; una forma triangular es más grande y está encima de la otra, más pequeña. El interior tiene el color de la base.
L3g2. Diseño compuesto por dos formas triangulares, una más grande encima de otra mucho más pequeña, definidas por una banda de color blanco y delineada por líneas gruesas de color negro (en ambos lados) y blanco (como delineado exterior). La sección triangular inferior es completamente de color negro. Al interior del triángulo más interior el fondo es blanco. Sus contornos son ligeramente curvos.
L3g3. Diseño compuesto por dos formas triangulares, una más grande encima de otra más pequeña, delineadas por líneas gruesas de color negro y blanco, mientras que su fondo es del color de la base. En su interior hay puntos de color negro en área. Sus contornos son ligeramente curvos.
L3h1a. Triángulos en greca formados por líneas de color rojo. Están espaciados entre sí. Cada uno de ellos presenta triángulos inscritos. Uno presenta dos puntos en su espacio triangular más interno.
L3h1b. Triángulos en greca formados por líneas de color rojo. Uno de ellos presenta triángulos inscritos.
L3h2. Triángulos en greca formados por bandas de color rojo, delineadas en negro (al interior), pero que su contorno externo no tiene delimitación. Dos de sus triángulos presentan formas en «V» inscritas formadas por líneas de color negro en sus lados inferiores. Este el único caso en que existe una greca de líneas blancas que bordean los diseños sin tocarlos, a modo de delineado en la sección superior.
L3h3a. Triángulos en greca formados por bandas de color rojo, delineadas en negro y blanco en ambos lados de las bandas. Su particularidad es que semejan formas en «V» ya que carecen de la banda horizontal superior.
L3h3b. Triángulos en greca formados por bandas de color rojo, delineadas en negro y blanco en ambos lados de las bandas. Este diseño sí presenta la banda superior del triángulo pero sin delineado en esa sección.
L3h3c. Triángulos en greca formados por bandas de color rojo, delineadas en negro y blanco en ambos lados de las bandas.
L3h3d. Triángulos en greca formados por bandas de color rojo, delineadas en negro y blanco en ambos lados de las bandas de los lados inferiores. La banda superior solo tiene delineado negro en ambos lados.
L3h4. Triángulos en greca formados por bandas de color rojo, delineadas en negro y blanco en ambos lados de las bandas. En el interior de las bandas rojas presenta puntos alargados de color blanco dispuestos en hileras.
L3i. Diseño afín al estilo Lima que consiste de triángulos de color negro dispuestos en serie. Los triángulos aparecen con el ápice adjunta a una línea del mismo color sobre o por debajo de ellos.
L3j1. Diseño formado por bandas dispuestas en forma de triángulo en greca, de color rojo y con su extremo inferior terminado en una voluta. Ambos lados están delineados por una línea de color negro y otra de color blanco. Encierra un área triangular de color negro, delineado en blanco y puntos blancos en su interior.
L3j2. Diseño formado por secciones triangulares en greca, de color rojo en área, contornos curvos y cóncavos; presenta delineado triple de color negro, blanco y negro, al que se le agrega un delineado sinuoso doble de color blanco a ambos lados de este último.
L3k1. Diseño conformado por triángulos alargados dispuestos en greca. Su color de fondo es rojo y tiene un delineado doble de color negro y blanco.
L3k2. Diseño conformado por triángulos alargados dispuestos en greca y con delineado simple (blanco). Su color de fondo es rojo y presenta aros de color blanco al interior.
L3k3. Diseño conformado por triángulos alargados dispuestos en greca, delineado en negro y blanco. Su color de fondo es rojo muestra diseños en forma de «H» de color blanco en su interior.
L3l. Diseño conformado por triángulos inscritos, conformados por líneas, alargados, dispuestos en greca y delineados en negro, El delineado más externo es de color blanco.
L3m. Diseño en greca formado por líneas gruesas de color blanco delineadas en negro.
L3n. Diseño en greca formado por líneas gruesas de color rojo.
L3ñ. Diseño en greca formado por bandas de color negro delineadas en blanco.
L3o. Diseño en greca formado por bandas de color rojo delineadas en negro y blanco.
<b>L4. Puntos y círculos</b>
L4a1. Punto de color rojo o negro.
L4a2. Puntos de color rojo o negro dispuestos en hilera.
L4a3. Dos hileras paralelas de puntos de color rojo o negro.
L4b1. Círculo de color negro o rojo.
L4b2. Círculo en relieve.

L4c1. Aro, del grosor de una línea, de color blanco.
L4c2. Aro, del grosor de una banda, de color blanco.
L4c3. Círculo de color blanco, con un triángulo inscrito (sin color) en su centro.
L4d. Aro de color negro con un punto del mismo color inscrito.
L4e. Aro formado por una banda de color rojo, delineado en ambos lados en negro. En su centro muestra un punto.
L4f. Sección de un aro, de color negro, con un punto de color rojo en su centro.
L4g. Diseño afín al estilo Lima conformado por una banda circular de color rojo —con un círculo negro inscrito en él— delineada por una banda de color negro. Esta banda tiene puntos blancos insertos. De su parte superior se desprende una línea vertical también de color negro.
<b>L5. Rombos</b>
L5a. Rombo de color negro.
L5b. Rombo formado por un campo de color rojo (o gris) delineado de color negro.
L5c1. Rombo formado por líneas de color rojo con un punto del mismo color en el centro.
L5c2. Rombo formado por líneas de color rojo con varios puntos del mismo color en su interior sin orden definido.
L5d1. Diseño formado por un rombo de color blanco delineado en negro, con un pequeño rombo de color negro inscrito en su centro.
L5d2. Diseño formado por una banda de color rojo de forma romboidal y delineada en negro en ambos lados. En su centro se encuentra un rombo de color negro.
L5e. Diseño formado por una banda de color rojo de forma romboidal escalonado en sus bordes exteriores y delineado en negro en ambos lados. En su centro se encuentra un rombo de color negro.
L5f1. Diseño complejo que consiste de una banda conformada por rombos formados por líneas de color negro. Estos rombos tienen al centro un rombo de color negro en su centro, y están enmarcados por las líneas de color rojo que siguen su contorno. Este conjunto forma una banda, delineada en color negro. En el centro de las formas triangulares rojas hay un semicírculo pequeño que se desprende de las líneas negras.
L5f2. Diseño complejo que consiste de una banda con una serie de rombos inscritos. El diseño principal está formado por un rombo conformado por bandas de color rojo que alternan con una línea gruesa de color negro que tienen aros de color blanco en su interior. Al centro de este rombo hay uno más, formado de nuevo por una banda roja, y dentro de este hay inscrito un rombo solo compuesto de líneas negras, para terminar en un rombo pequeño de color rojo. Están dispuestos uno al lado del otro y alternan con áreas triangulares delineadas en negro, cuyo fondo es el color de base, y en sus extremos superior e inferior tienen bandas de color rojo. La banda inferior tiene un delineado doble negro y blanco, mientras la de arriba no muestra una delimitación.
L5g. Área romboidal en rojo trunca en una de sus esquinas, delineada alternadamente, en sus cuatro lados, por cuatro líneas en total, de color blanco y negro. En su interior tiene dos rombos dispuestos alineados verticalmente y conformados por líneas negras; cada uno tiene un pequeño rombo negro en su centro.
L5h. Diseño romboidal complejo formado por cuatro rombos inscritos que consisten de líneas negras. En los espacios entre los dos primeros rombos hay uno formado por líneas rojas, entre el segundo y el tercero una doble hilera de puntos, y entre el tercero y cuarto nuevamente un rombo que consiste de líneas rojas. Al interior del último rombo hay una serie de puntos rojos dispuestos sin orden.
L5i. Figura romboidal formada por una banda delineada por líneas gruesas en blanco en ambos lados. Sus lados superiores son convexos y los inferiores son cóncavos. Tiene inscrito un rombo formado por líneas de lados rectos y color blanco, el cual también está delineado por una línea negra. El interior es del color de la base
L5j. Diseño que tiene como centro un rombo formado por un doble delineado en negro; el espacio interior de esta figura es rojo y en el medio un rombo de color negro. En el espacio entre las dos líneas rectas negras hay una línea sinuosa de color blanco. De sus extremos horizontales salen figuras conformadas de igual manera, pero con un «dentado» en los lados interiores, formados por líneas negras, y que tienen un punto de color negro en el centro.
<b>L6. Entrelazados.</b> En total suman 47 tipos de entrelazados que se pueden agrupar respecto de sus características. Es el grupo más numeroso de diseños en el conjunto de tipos con que se cuentan en el corpus.
<i>Triangulares</i>
L6a1. Entrelazado de triángulos completos y adyacentes formados líneas de color rojo. Cada uno muestra tres puntos en su interior.
L6b1. Entrelazado que consiste de triángulos formados por una sola línea de color rojo, cerrados por la base, abiertos por su ápice y con sus lados escalonados. Al interior presentan un diseño flotante en forma de «T», también de color rojo.
L6b2. Entrelazado conformado por triángulos escalonados adyacentes, uno de color rojo y otro de color blanco. Los delinea una sola línea de color negro.
L6b3. Entrelazado que consiste de dos triángulos de color gris, escalonados en sus lados superiores, y la base sin delinear. Las separa una banda escalonada sin color delineada en negro en ambos lados.
L6c1. Entrelazado de formas triangulares sin cerrar y simples, formadas por una sola línea continua de color rojo, con un punto negro en el interior de cada una de las formas triangulares.
L6c2. Entrelazado semejante al anterior, de formas triangulares incompletas. Consiste de una sola línea continua de color rojo, con un punto del mismo color en el interior de cada una de las formas triangulares.
L6c3. Entrelazado semejante al anterior, de formas triangulares incompletas. Consisten de una sola línea de color rojo, pero con tres puntos del mismo color en el interior de cada una de las formas triangulares.
L6c4. Entrelazado semejante al anterior, de formas triangulares incompletas. Consisten de una sola línea de color rojo, pero presentan triángulos de color rojo sin delinear en el interior de cada una de las formas triangulares.
L6d. Entrelazado que consiste de dos triángulos de color rojo delineados en negro, con la base sin delinear. Una banda de color rojo zigzagueante, delineada en negro en ambos lados, las separa.

L6e1. Entrelazado de formas triangulares con dos lados escalonados, base recta y ápice trunco, formadas por líneas de color rojo y una línea escalonada que las separa.
L6e2. Entrelazado de formas triangulares con dos lados escalonados, base recta y ápice trunco, formadas por líneas de color negro; su espacio interior es de color rojo y una línea escalonada del mismo color las separa.
L6f. Entrelazado de triángulos formados por líneas de color negro delineadas en blanco. Su espacio interior es del color de la base. Este entrelazado se encuentra sobre un área de color rojo.
L6g1. Entrelazado de formas triangulares sobre un campo de color rojo; están delineadas en negro y el interior es del color de base. Dentro de este espacio tienen un triángulo escalonado cuya línea de base excede el contorno triangular y su ápice es trunco; de él emerge un segmento de línea vertical.
L6g2. Entrelazado que consiste de triángulos formados por líneas de color rojo, no cerrados por su base, sus lados escalonados y el ápice trunco. Al interior presentan un diseño en forma de «T». Ambos triángulos no se llegan a juntar.
L6h. Entrelazado de triángulos inscritos formados por líneas de color rojo. En el triángulo más interno presenta un punto del mismo color. Una línea de color rojo zigzagueante los separa.
L6i1. Entrelazado conformado por formas en «V» que consisten de tres líneas inscritas de color blanco y negro alternadas. Las separa una línea zigzagueante de color negro, también delineada en blanco.
L6i2. Entrelazado semejante al anterior, conformado por formas en «V» que consisten de líneas inscritas de color blanco y negro alternadas, pero en un número mucho mayor. Las separa una línea zigzagueante de color negro.
<i>Cabezas y cuerpos de serpientes o peces</i>
L6j1. Cabezas de serpientes entrelazadas de forma triangular y contornos rectos, con un punto en el centro de su cabeza. El delineado completo del diseño es negro.
L6j2. Entrelazado similar al anterior con la diferencia que cada uno de los extremos o cabezas de serpientes tienen tres puntos en su interior. El delineado íntegro y los tres puntos son de color negro.
L6j3. Entrelazado similar al anterior con la diferencia que el cuerpo y cada uno de los extremos o cabezas de serpientes tiene tres puntos en su interior. Además, hay un relleno de color blanco —formado por una línea gruesa— que no llega a tocar los bordes. Su delineado íntegro y los puntos son de color negro.
L6j4. Entrelazado formado por líneas de color rojo, y cuyos extremos (o cabezas) tienen varios puntos del mismo color dispuestos en forma triangular también.
L6k. Entrelazado semejante a los primeros descritos, con la diferencia de los cuerpos y las cabezas están escalonados por completo. Uno es de color rojo y el otro el color de la base.
L6l. Cabezas de serpientes entrelazadas de cabeza triangular en el que las cabezas se miran entre sí. Presentan una abertura en la sección del ápice. Uno de los cuerpos está pintado de blanco y el otro tiene el color de la base. El delineado íntegro es negro.
L6ll. Versión similar a la anterior en la que en vez de un solo extremo triangular entrelazado, se tienen figuras triangulares en serie y no cerradas —formadas por una línea de color rojo— y con un punto rojo en el centro de cada una de ellas.
L6m1. Entrelazado de dos cabezas triangulares formadas por una sola línea de color rojo y que miran en dirección contraria. En su interior tienen dos puntos —también rojos— a manera de ojos. Sus ápices tienen aberturas a manera de bocas.
L6m2. Diseño entrelazado semejante al anterior, con una abertura en el ápice a manera de boca, con la diferencia de que el delineado que las define es de color negro y los ojos son aros negros con un punto en el centro en un caso, y en el otro es solo un aro de color negro cuyo interior es rojo. Una de las figuras muestra color rojo, mientras que la otra presenta el color de la base.
L6m3. Diseño entrelazado similar al anterior, formado por una sola línea negra continua, con la diferencia de que en uno de los cuerpos el delineado que lo define es de color blanco y los ojos son puntos de color negro. Una figura es de color rojo mientras que la otra es blanca; las estructuras de sus cuerpos pueden no seguir el patrón común de este tipo de diseños, sino que, más bien, son irregulares.
L6n. Entrelazado en su forma más sencilla. Una sola línea de color rojo dibuja el contorno de ambos cuerpos y cabezas, las que tienen forma triangular. En el centro de cada cabeza hay un punto de color rojo que hace las veces de ojo.
L6ñ1. Entrelazado de seres de cuerpos y cabezas escalonados, en el que las cabezas miran hacia direcciones opuestas. Todos los contornos son formados por líneas negras. Una cabeza tiene el ápice abierto de manera recta, mientras que la boca del otro solo se insinúa por medio de una línea de color negro. Uno de los cuerpos es de color rojo, mientras que el otro presenta el color de la base.
L6ñ2. Entrelazado de límites de forma triangular. Se conforma de cabezas de menor cantidad de escalonados que en los casos anteriores. Sus bocas se señalan por medio de segmentos de línea verticales y los ojos son puntos de color negro. Dos cuerpos son de color rojo, mientras que el otro presenta el color de la base.
L6o. Entrelazado de formas triangulares escalonadas. Consisten de una sola línea de color rojo. En el interior de las cabezas presentan un cuadrángulo, con un segmento de línea que excede su ancho en su base, y en su ápice hay un pequeño segmento de línea dispuesto en forma vertical.
L6p1. Entrelazado de seres de cabeza rectangular. El color puede ser rojo o negro.
L6p2. Entrelazado de seres de cabeza rectangular. Presentan un punto en el medio a manera de ojo. El resto de la representación es escalonado. El delineado es de color negro; uno de ellos presenta color rojo, mientras que el otro tiene el color de la base.
L6p3. Entrelazado semejante al anterior con la diferencia de que los contornos y la cabeza los forman líneas rectas y angulosas. Las cabezas también presentan un punto en el medio a manera de ojo. Un cuerpo es de color rojo y el otro presenta el color de la base.
L6q1. Cabezas de serpientes entrelazadas de cabeza cuadrangular y un pequeño segmento de línea flotante en el centro a manera de ojo. Los segmentos correspondientes al cuerpo son escalonados. Una sola línea de color rojo conforma el diseño.
L6q2. Versión del diseño L6p1, pero realizado con una sola línea roja. Dos cuadrángulos pequeños representan los ojos, también rojos.
L6q3. Entrelazado complejo en el que, además, a las cabezas y cuerpo de cabezas cuadrangulares se unen secciones de

entrelazado de formas triangulares o angulosas, y otros del tipo L6j1. Los ojos están representados por pequeños cuadrados de color negro en el primer caso y puntos de ese color en los otros. Uno de los seres principales tiene color rojo, mientras que el otro presenta el color de la base.
L6q4. Versión del entrelazado L6p1, con la diferencia de que cada ser presenta dos ojos en vez de uno, los que se representan por medio de dos segmentos pequeños flotantes de líneas negras. El delineado que lo conforma es de color negro. Uno de los seres tiene color rojo y el otro es blanco.
<b>Áreas semicirculares</b>
L6r. Diseño entrelazado formado por semicírculos de color negro de borde sinuoso, las que se delimitan por bandas de color rojo o gris de contornos ondulantes y delineadas en negro.
<b>Derivados</b>
L6s. Diseño irregular que combina el entrelazado con el escalonado. Consiste de una sola línea roja.
L6t1. Variante con los extremos de cabeza triangular pero que conforman un solo elemento (como en la serie L6j), y en el que las «cabezas» tienen un triángulo en el interior del color de la base. Se conforma de una línea interior blanca delineada por una de color rojo.
L6t2. Diseño derivado del entrelazado que consiste de una sola banda que tiene en sus extremos dos cabezas triangulares (al igual que la serie L6j); las cabezas, sin ojos, tienen una abertura en su ápice también triangular en forma de boca. En su interior presenta puntos rojos dispuestos en dos hileras paralelas. Su contorno es negro y el delineado es blanco.
L6u. Diseño complejo inciso formado por una forma geométrica compuesta por formas triangulares o angulosas, cuyas probables «cabezas», que semejan los tipos L6t2, están unidas por una banda. Se alternan con una forma triangular colgante que surge de la parte superior. Su área interior y la del triángulo está decorada con puntos.
L6v1. Diseño complejo formado por una sola línea de color rojo. Combina un rombo, ubicado en la parte central y cuatro apéndices (dos por cada extremo —izquierdo y derecho del rombo—) semejantes a la forma L6n, con cabezas triangulares, ojos representados por un punto y cuerpos de contornos rectos.
L6v2. Diseño complejo inciso semejante al anterior. Se diferencia porque presenta un rombo inscrito, con un punto en su interior, y los cuatro apéndices tienen contornos zigzagueantes. Tanto en las «cabezas» —haciendo las veces de ojos— como en diversas partes presenta un punto. Otro rombo pequeño está inscrito entre los apéndices de la sección derecha.
L6v3. Diseño complejo semejante a los anteriores. Se conforma en general de una línea blanco delineada en rojo, pero este delineado no es adyacente. Presenta un rombo inscrito formado por líneas rojas al interior del rombo central (hecho con bandas blancas), y dicho rombo tiene cuatro puntos en su interior, con esa misma disposición. Los apéndices son muy similares a los del tipo L6v1 con la diferencia de que presentan una base triangular. Al centro de cada elemento triangular tienen un punto de color rojo. Entre los apéndices de los extremos derecho e izquierdo presenta dos figuras más, formadas por un rombo de color blanco, un punto central rojo, todo ello inscrito dentro de una forma romboidal hecha de una sola línea roja.
<b>L7. Diseños semicirculares</b>
L7a. Diseños semicirculares formados por bandas de color negro o rojo delineadas en negro o blanco.
L7b. Diseños semicirculares en greca que consisten de bandas de color rojo o negro delineadas en negro o blanco.
L7c. Diseño semicircular complejo formado por secciones de semicírculos formados por bandas de color rojo delineadas en color negro y blanco. El diseño final semeja una forma de «U» ladeada hacia la derecha.
L7d. Diseño complejo que consiste de semicírculos dispuestos en greca; estos consisten en bandas de color rojo y negro colocadas una debajo de otra y delineadas en blanco y negro y en blanco, respectivamente. Todo el diseño está delimitado en la parte inferior por una línea de color negro y las áreas entre los semicírculos están cubiertas por puntos blancos.
L7e. Diseño de semicírculos en greca inscritos formados por líneas rojas. Los espacios entre las líneas están pintados de color blanco.
<b>L8. Diseños en forma de «S»</b>
L8a1. Diseño en forma de «S» dispuesto de manera vertical. Lo conforma una línea de color rojo.
L8a2. Diseño en forma de «S» invertida, también dispuesto de manera vertical. Sus extremos son volutas más cerradas.
L8a3. Diseño en forma de «S» dispuesto horizontalmente. Se trata de una banda de color rojo, delineada en blanco, con aros de color blanco en su interior.
L8a4. Diseño semejante al anterior formado por una banda del color de la base delineada en negro, que presenta puntos de color blanco dispuestos en dos hileras paralelas en su interior. Este conjunto está bordeado por una banda de color rojo. Sus extremos son volutas muy cerradas.
<b>L9. Diseños figurativos</b>
L9a. Diseño afín al estilo Lima, aparente representación de una hoja de helecho, formada por una línea roja, delineada en negro por ambos lados. De ellos salen perpendicularmente muy pequeñas secciones de líneas que terminan en extremos curvos.
L9b1. Diseño de un sapo, representado de manera naturalista, de color negro y puntos de color blanco en su interior. Su cuerpo está pintado, de color negro, mientras que su cabeza es aplicada.
L9b2. Diseño de una araña, representada de manera naturalista, de color negro. Su cuerpo está representado completamente en altorrelieve.
L9b3. Diseño de una llama, representada de manera naturalista, de color negro.
L9b4. Diseño de un ser vermiforme, de cuerpo de color negro, decorado con rombos de color de la base unidos por sus extremos y que presentan puntos alineados de color negro en su interior.
L9b5. Representación de un ave por medio de líneas de color rojo. La cabeza la conforman círculos inscritos, mientras que el cuerpo presenta rombos inscritos. Las alas son más naturalistas. El interior está pintado de blanco.
L9b6. Representación escultórica de una cabeza probablemente de ave a juzgar por los incisivos que sugieren un pico.
L9b7. Representación de un animal, probablemente marino, formado por dos formas triangulares, la superior más grande que la inferior. La sección extrema de la cola es cóncava y los ojos son formados por dos aros de color blanco. El interior del cuerpo es negro y está delineado en blanco.



L9b8. Cabeza plástica de un lobo marino hecha con incisiones y excisiones.
L9b9. Representación en relieve de una langosta hecha con incisiones y excisiones.
L9c1. Representación de una cabeza (semejante al tipo L6n) a partir de una forma romboidal no cerrada y una sola línea de color negro. Sus extremos inferiores terminan en volutas. En el centro lleva un punto de color negro que semeja un ojo.
L9c2. Diseño no definido de un animal de cabeza triangular y una abertura en su ápice de manera semejante a los entrelazados de la serie L6m. Es de color blanco en su totalidad y sus lados inferiores son escalonados. De la sección inferior sale un pequeño segmento de banda. Está completamente delineado en negro y tiene un triángulo en su parte central, delineado también, pero con el interior del color de la base.
L9c3. Diseño inciso que semeja un animal definido por sus contornos angulares y cabeza triangular a manera de la serie L6m. Los ojos están representados por pequeñas secciones de línea. Asimismo, en su centro presenta un triángulo alargado.
L9d1. Diseño en forma de estrella de cinco puntas de color rojo, con delineado doble en negro y blanco. Al centro tiene un aro con un punto en el medio, ambos de color negro. Al interior de la estrella hay puntos de color blanco, dispuestos sin orden específico.
L9d2. Diseño en forma de estrella de seis puntas, pero sus extremos son truncos. Está delineado en negro y el interior es de color rojo. Al centro presenta un aro con un punto en el medio, ambos de color negro.
L9d3a. Diseño cuya sección inferior termina en tres puntas. Su interior es de color rojo y está delineado en negro y blanco.
L9d3b. Diseño semejante al anterior pero cuyos contornos son curvos en vez de rectos, y tiene un delineado blanco adicional al interior.
L10a. Diseño en altorrelieve de un rostro de un individuo de sexo masculino elaborado de manera irregular. Su cabello muestra incisiones verticales paralelas, mientras que el rostro presenta, sobre la nariz y debajo de los ojos, pintura facial de color rojo. De manera peculiar, una de las mejillas aparece más abultada que la otra, de lo que se deduce que está chacchando coca.
L10b. Diseño de un ser antropomorfo (un individuo de sexo masculino). Sobre la cabeza lleva un tocado decorado con entrelazados hechos de líneas de color rojo. Su vestimenta, al parecer un uncu, también tiene el mismo color y cubre todo el cuerpo, con excepción de las piernas, que aparecen descubiertas y flexionadas hacia adelante. Estas se representan en relieve. Los brazos también están flexionados hacia el pecho. Solo los contornos de la cabeza y el tocado son plasmados con líneas de color negro. Los ojos son almendrados y la nariz está hecha en altorrelieve.
<b>2. Chakipampa</b>
Ch1. Bandas de color rojo o gris dispuestos de forma horizontal o vertical delineadas en negro.
Ch2. Conjunto de cinco bandas; las de los extremos y la del centro alternan entre rojo o gris, y las intermedias son de color blanco.
Ch3. Diseño de chevrones, conformado por bandas quebradas en serie delineadas por líneas negras. Sus colores son el gris, rojo y el color de base dispuestos alternadamente.
Ch4. Punto de color negro inscrito en un círculo de igual color y el área de fondo de color blanco.
Ch5. Diseño afín al estilo Chakipampa que asemeja una letra S formada por una banda y dispuesta de manera horizontal. Su interior es rojo o gris, y está delineada en negro. Las volutas de sus extremos son muy cerradas.
Ch6a. Diseño afín al estilo Chakipampa de color rojo o gris que asemeja una letra S en posición horizontal y está delineado en negro. Presenta varios círculos con un punto en el centro adyacentes al cuerpo y cuyo interior es de color blanco. Las volutas de sus extremos también rodean círculos similares.
Ch6b. Diseño afín al estilo Chakipampa que asemeja una letra S en posición horizontal, pero más alargada y el color de su cuerpo es rojo o gris, mientras que el delineado es negro. Tiene semicírculos, de color gris, con un punto o segmentos de línea flotantes en el centro, adheridos a sus contornos. También están delineados en negro.
Ch6c. Diseño afín al estilo Chakipampa que asemeja una letra S en posición horizontal, pero sus contornos son menos curvos y las volutas son mucho más cerradas, prácticamente plegadas. El color interior es el de la base y presenta puntos de color negro en su interior. El delineado también es de color negro.
Ch7. Diseño formado por dos volutas que salen de un solo punto. Su color es rojo y está delineado en negro. Las dos volutas son muy cerradas y se extienden de manera diagonal hacia la izquierda y derecha. En el espacio interior hay aros de color blanco.
Ch8a1. Serpiente con dos cabezas ubicadas en sus extremos. Puede tener interior de color gris o rojo y su delineado es en color negro. Los contornos pueden presentar círculos con puntos en el centro adyacentes, mientras que su interior es blanco. Las cabezas tienen una serie de segmentos pequeños de líneas paralelas que sobresalen de sus partes superiores. Las fauces están abiertas en ambos casos.
Ch8a2. Variante de la serpiente de dos cabezas, de cuerpo pintado de rojo o gris y delineado en negro. Sus contornos presentan círculos —de interior de color rojo, gris y blanco— más grandes y delineados en negro, los que tienen dos pequeñas líneas paralelas flotantes en su interior. Las cabezas tienen una prominencia angular, mientras que el hocico tiene una reducida voluta lineal y las fauces abiertas. Debajo de la mandíbula aparecen pequeños segmentos paralelos.
Ch8a3. Variante de la serpiente de dos cabezas, de cuerpo con los colores gris y rojo delimitados por una línea negra y delgada longitudinal que los divide en dos partes. Los contornos del cuerpo, delineado en negro, pueden presentar adyacentes círculos de color gris y rojo con puntos negros en el centro. Sobre cada hocico presenta una sección semicircular definida por una línea negra. Las fauces permanecen, igualmente, abiertas.
Ch8b1. Variante de la serpiente de dos cabezas, de cuerpo de color rojo o gris, delineado en negro. De varias partes de su cuerpo sobresalen los diseños definidos como Flor de Lis en color gris o rojo. Sus fauces están abiertas.
Ch8b2. Variante de la serpiente de dos cabezas, de cuerpo de color rojo o gris, delineado en negro. Sobre los hocicos presenta una pequeña protuberancia en forma de un apéndice que se dobla hacia atrás. Del cuerpo sobresalen varios diseños que semejan la Flor de Lis. De las cabezas y otras partes del cuerpo sobresalen pequeños segmentos de líneas verticales u oblicuas. Asimismo, sus fauces están abiertas.
Ch8b3. Variante de la serpiente de dos cabezas, de cuerpo de color rojo, mientras que los apéndices en forma de Flor de Lis son

de color gris. La cabeza también presenta una protuberancia en la parte de la frente y fauces abiertas.
Ch9. Diseño afín al estilo Chakipampa debido a su similitud con las variantes antes expuestas. Su cuerpo es de color rojo y está delineado en negro. Sus ojos son aros con un punto al centro, también de color negro. Sobre un hocico y debajo del otro sobresale una voluta lineal. De las cabezas, aproximadamente como en otros casos, se desprenden pequeños segmentos de líneas paralelas oblicuas.
Ch10. Diseño afín al estilo Chakipampa. Se trata de una serpiente de dos cabezas de elaboración más simple. Su color es rojo y su delineado es en color negro. Sus contornos están decorados por conjuntos de dos círculos unidos, también de color rojo.
Ch11a1. Diseño afín al estilo Chakipampa. Se trata de una serpiente que presenta una cabeza, dos ojos, una boca, al parecer, abierta y cola en voluta. La boca se insinúa mediante dos líneas paralelas de las que salen pequeñas secciones de líneas a manera de dentadura. El color de su cuerpo es el de la base y tiene puntos negros alineados que forman dos hileras paralelas; su grueso delineado negro presenta círculos con un punto en el centro y su interior también tiene el color de la base. Los ojos son representados con el mismo tipo de círculos.
Ch11a2. Diseño afín al estilo Chakipampa semejante al anterior. La boca también se insinúa mediante dos líneas paralelas de las que salen pequeñas segmentos de línea a manera de dentadura. El color del cuerpo es el de la base y tiene puntos negros alineados que conforman dos hileras paralelas; su delineado es negro y presenta círculos con un punto en el centro, si bien en menor cantidad. Los ojos son representados por medio de rombos de color negro.
Ch12. Diseño afín al estilo Chakipampa formado por una banda en posición horizontal y de grosor irregular. Su interior es de color rojo, está delineado en color negro y presenta aros blancos. Tiene una serie de apéndices muy cortos de punta redondeada en cada extremo. Adyacentes a su contorno hay dos semicírculos —uno en cada lado— con tres segmentos de líneas paralelas cortas en su interior.
Ch13. Diseño conformado por un triángulo de color rojo, con sus dos lados superiores escalonados, ápice trunco y base recta.
Ch14a1. Diseño en forma de cruz de extremos gruesos, muy cortos y redondeados, de interior rojo o gris, y delineado en color negro. Cuatro círculos de color blanco delineados en negro, con un punto negro en el centro, se ubican entre los «brazos» del diseño central y hay un quinto círculo con punto en el centro del mismo.
Ch14a2. Variante del primero, de interior rojo o gris, con la diferencia de que sus brazos se pliegan, en forma de volutas muy cortas, pegadas al cuerpo. Mantiene sus cuatro círculos —de color blanco con un punto negro en el centro— en los espacios entre sus «brazos» y hay un quinto círculo en el centro del diseño.
Ch14a3. Variante del primero, de interior rojo o gris, también delineado en color negro. Sus cuatro extremidades son un poco más largas y terminan en volutas. Esta vez los círculos con punto están separados del cuerpo. Igualmente presenta un círculo con punto en el centro del diseño.
Ch14a4. Variante del primero, de interior rojo o gris, que presenta cinco apéndices muy cortos en voluta, muy pegada al cuerpo. Esta inscrito en un círculo formado por una línea negra cuyo interior es del color de la base, mientras que esta vez el círculo con punto central no tiene el interior blanco.
Ch15. Diseño afín al estilo Chakipampa compuesto por cinco círculos de color blanco delineados en negro con un punto en su centro del mismo color dispuestos en forma de cruz. El interior del círculo central puede ser blanco o rojo.
Ch16. Diseño de un ser zoomorfo cuyo cuerpo está formado por secciones circulares adyacentes que encierran un conjunto de círculos concéntricos —formados por bandas con un punto en el centro— y dos cabezas, también circulares, en sus extremos. De sus contornos laterales salen apéndices triples terminados en volutas que se pliegan fuertemente. El delineado es negro y el cuerpo puede tener color rojo o gris, lo mismo que los apéndices. De los hocicos dentados salen bandas curvas delineadas en forma de bigotes y que tienen los mismos colores. Sus ojos también consisten de círculos formados por bandas con un punto en el centro.
Ch17a1. Diseño de un ser zoomorfo, al parecer un felino, de fauces abiertas y en posición agazapada. Presenta una nariz que semeja los puntos con círculo descritos antes y oreja puntiaguda de forma triangular ligeramente inclinada hacia adelante. Es de color rojo y está delineado en color negro. Muestra un ojo almendrado y se señalan los detalles de las patas, las que muestran una flexión pronunciada. La cola se pliega, curvada, sobre la espalda del animal.
Ch17a2. Variante simplificada y de mayor grosor en los elementos del cuerpo respecto del primer diseño; su interior es rojo y el delineado de color negro.
Ch17a3. Variante del primero diseño, con el cuerpo rojo delineado en negro y un número de aros blancos al interior, muestra un ojo circular, con un punto en el centro, de interior blanco. En el lugar de las orejas hay dos círculos blancos delineados en negro, con puntos en el centro. Del hocico y la boca salen líneas muy sinuosas, también de color negro. Las extremidades son simplificadas y las garras se representan por medio de segmentos cortos de color negro.
Ch17a4. Variante del primero, con círculos, de interior de color rojo o blanco y punto negro en el centro que bordean el cuerpo, que es de color rojo, y una voluta muy plegada y de bordes angulares sobre el hocico abierto. La oreja está representada por medio de un triángulo y el ojo tiene la misma forma de los círculos con punto. De su pata trasera salen apéndices rectangulares juntos a modo de garras, pero de las delanteras no hay posibilidad de reproducir por la falta de esa sección en la vasija aunque debieron ser iguales.
Ch17a5. Variante del primer diseño que consiste de una imagen duplicada en espejo a partir de la sección media del animal. Presenta apéndices en los bordes superiores del cuerpo que semejan el diseño de la Flor de Lis, con la salvedad que solo están presentes los apéndices laterales curvados.
Ch17a6. Diseño afín al estilo Chakipampa que consiste de una imagen duplicada en espejo a partir de una versión del cuerpo entero, extendido y casi geometrizado del primero. El contorno de su cuerpo tiene un delineado negro y el interior es rojo. Adyacentes a él se ubican, indistintamente, círculos de color blanco con un punto en el centro y apéndices de color gris y delineado negro en forma de segmentos que se bifurcan en dos extremidades cortas plegadas sobre el cuerpo principal, así como conjuntos de pequeños segmentos de líneas delgadas paralelos. Su cola termina en un apéndice del tipo descrito. Presenta un delineado blanco adicional en las extremidades posteriores.
Ch17a7. Versión geometrizada del primer diseño, con diseños de la Flor de Lis en los contornos superiores del cuerpo y cola. El

cuerpo es de color rojo en su totalidad. La cabeza parece llevar un tocado de tres apéndices adyacentes y extremos cuadrangulares. Su ojo es cuadrangular, con un cuadrado de color negro en el centro. Sobre el hocico tiene una voluta de contornos rectos y muy plegada. Las garras se representan por medio de pequeños segmentos de línea de color negro. Presenta igualmente la boca abierta y dentada.
Ch17a8. Variante muy geométrica del primer diseño, con apéndices en forma de la Flor de Lis en el lomo del cuerpo y cola, y un rombo en el centro del mismo. Presenta la mitad superior, lo que incluye la cabeza, de color gris, mientras que la mitad inferior es de color rojo. Sobre la cabeza lleva una especie de tocado, de color rojo. Sobre el hocico tiene, igualmente, un apéndice de contornos rectos, muy plegado. Las garras son representadas por series de cuadrángulos adyacentes.
Ch18. Diseño complejo no determinado afín al estilo Chakipampa, que representa, al parecer, un animal fantástico de acabado muy abstracto, con una cabeza, cuerpo trapezoidal y dos extremidades muy prolongadas y curvadas. Apéndices de color gris y delineado negro en forma de segmentos que se bifurcan en dos extremidades cortas plegadas sobre el cuerpo principal y formas trapezoidales que tienen tres líneas flotantes en su interior bordean sus largas extremidades. La sección superior de estas tiene el interior, al parecer, del color de la base o blanco —algo que no se ha podido determinar—, mientras que la inferior es de color rojo. Presenta un único y gran ojo definido por un círculo delineado en negro con un punto de igual color en el centro. De la parte superior de la cabeza salen dos apéndices de contornos muy rectos que se pliegan fuertemente.
<b>3. Mochica</b>
M1. Diseño complejo de una escena de un ser antropomorfo que parece volar sobre una estructura o plataforma escalonada. Hasta donde la conservación de la pieza permite reconocer, presenta los colores negro, rojo oscuro, crema, gris y blanco.
<b>4. Versiones reelaboradas de diseños foráneos</b>
VeR1. Diseño inciso de una cabeza de forma triangular con los contornos laterales escalonados de filiación mochica. Los ojos están representados por un círculo con un punto al centro. Un segmento de línea aparece en la zona de la boca y otro en la parte media de la cabeza. Todo el diseño está enmarcado por un cuadrángulo.
VeR2. Diseño elaborado en altorrelieve de imitación de diseños cupisnique, de filiación mochica, que corresponden al rostro, al parecer de perfil, de un ser zoomorfo con las fauces abiertas y dos apéndices a los lados del rostro en forma de alas. Los ojos los conforman dos círculos y, también, muestra cejas continuas en la parte superior. En la parte inferior de la cabeza se encuentran, al parecer, apéndices de forma rectangular. Dos diseños adicionales se adjuntan.
VeR3. Versión del <i>ventral animal</i> , de filiación nazca, cuyo cuerpo y los extremos de sus miembros superiores e inferiores son de forma romboidal. Series de cuadrángulos de iguales dimensiones y del color de la base forman las garras de las patas; la cabeza es triangular y presenta las fauces abiertas. Los ojos son círculos delineados de color negro con un punto al centro. Hay una cabeza antropomorfa en medio de sus extremidades posteriores.
VeR4. Diseño de rostro «sonriente» muy simplificado de filiación nazca. Presenta cejas, nariz de forma triangular, boca y un semicírculo que delimita la parte superior de la cabeza.
VeR5. Diseño afín al estilo Nazca. Presenta delineado en negro y se compone solamente de dos cabezas juntas del <i>ventral animal</i> con sus extremidades anteriores muy simplificadas pero que miran en direcciones opuestas. Una es de color rojo y la otra de color gris. Sus ojos también consisten de círculos delineados en negro con un punto en el centro del mismo color.
VeR6. Versión del chevrón, de origen chakipampa, en forma de líneas negras delineadas con líneas blancas en ambos lados. Termina en un extremo puntiagudo.
VeR7. Versión del diseño de la serie Ch11, de interior rojo, con delineado doble en color negro y blanco, que es característico lima. Presenta cuatro apéndices menos curvos que también terminan en ligeras volutas muy gruesas y cortas, pero sin círculos externos. Solo hay un círculo simple, delineado en negro, en el centro del diseño.
VeR8. Versión del diseño de la serie Ch11, elaborada de manera prácticamente deforme. De color gris, su delineado es negro.
<b>5. Versiones reelaboradas de híbridos de diseños locales con foráneos o solamente foráneos</b>
HiR1. Diseño complejo que sigue el patrón entrelazado afín al estilo Lima pero que se conforma de dos cabezas del <i>ventral animal</i> nazca unidas por una banda diagonal y cuyos cuerpos están flanqueados por dos triángulos hechos también con bandas y un punto en su interior de clara filiación lima. Las fauces de ambas cabezas están abiertas pero son más simplificadas. Todos los elementos tienen contorno de color negro y están delineados en blanco. Todas las extremidades —salvo una— muestran, al parecer, garras simplificadas hacia los costados en forma de pequeños segmentos paralelos de color negro.
HiR2. Diseño afín al estilo Nazca. Se compone de una combinación de la cabeza del <i>ventral animal</i> y sus extremidades anteriores muy simplificadas con un cuerpo circular que no le corresponde en su concepción original y en cuyo interior hay un círculo con puntos negros dispuestos sin orden específico. Los ojos, como en otras versiones, lo forman círculos delineados en negro con un punto en el centro. Posee seis extremidades, por lo que se asemeja a una araña. El cuerpo puede ser de color rojo o gris, y su delineado es negro.
HiR3. Diseño que combina la mitad del cuerpo de una versión del <i>humped animal</i> y la de un ser vermiforme cuyo cuerpo se conforma de bandas de color rojo delimitadas con líneas negras, con su extremo puntiagudo. En el interior igualmente presenta una forma similar alargada y puntiaguda en un extremo, con una serie de líneas cortas discontinuas de color negro en su centro. Del contorno del cuerpo salen hacia el exterior pequeños segmentos de líneas. Al parecer, la cabeza del <i>humped animal</i> tiene un tocado, y sobre la boca tiene un semicírculo. Las garras, como en otros casos, están representadas por líneas cortas de color negro.
<b>6. Estilo Pachacamac</b>
Pach1. Diseño escalonado delineado en negro y sin color de fondo. Asume el color de la superficie de la vasija.
<b>7. Campos de color (CC)</b>
<b>7.1. Estilo Lima</b>
CCN-Li. Campo de color negro.
CCR-Li. Campo de color rojo.
CCB-Li. Campo de color blanco.
<b>7.2. Estilo Chakipampa</b>

CCR-Ch. Campo de color rojo.
CCG-Ch. Campo de color gris.
CCB-Ch. Campo de color blanco.
<b>7.3. Estilo Atarco</b>
CCN-At. Campo de color negro.





Fig. 4.121. Clave de achurados empleados (diagrama elaborado por el autor).

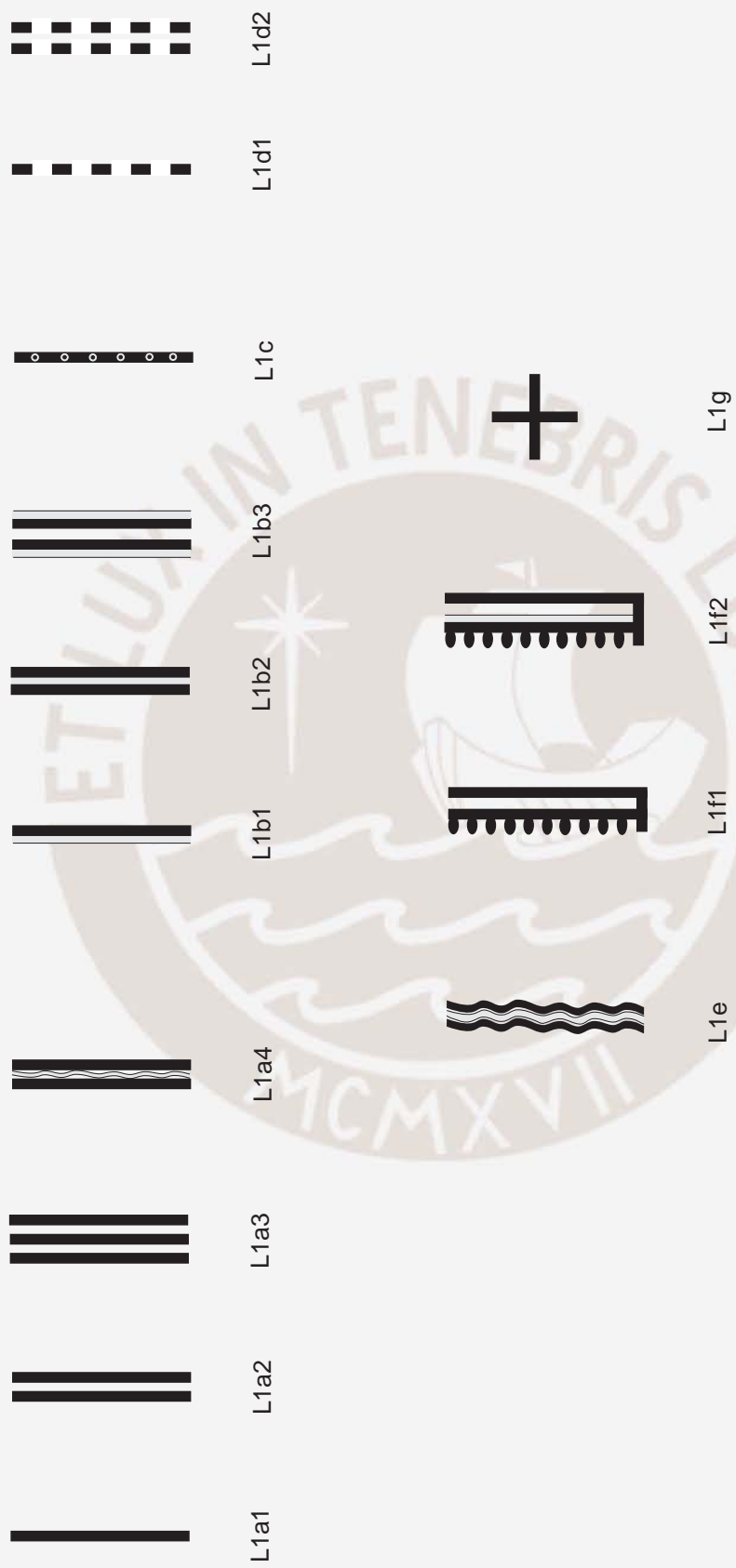


Fig. 4.122. Diseños correspondientes o afines al estilo Lima. Líneas (diagrama elaborado por el autor).

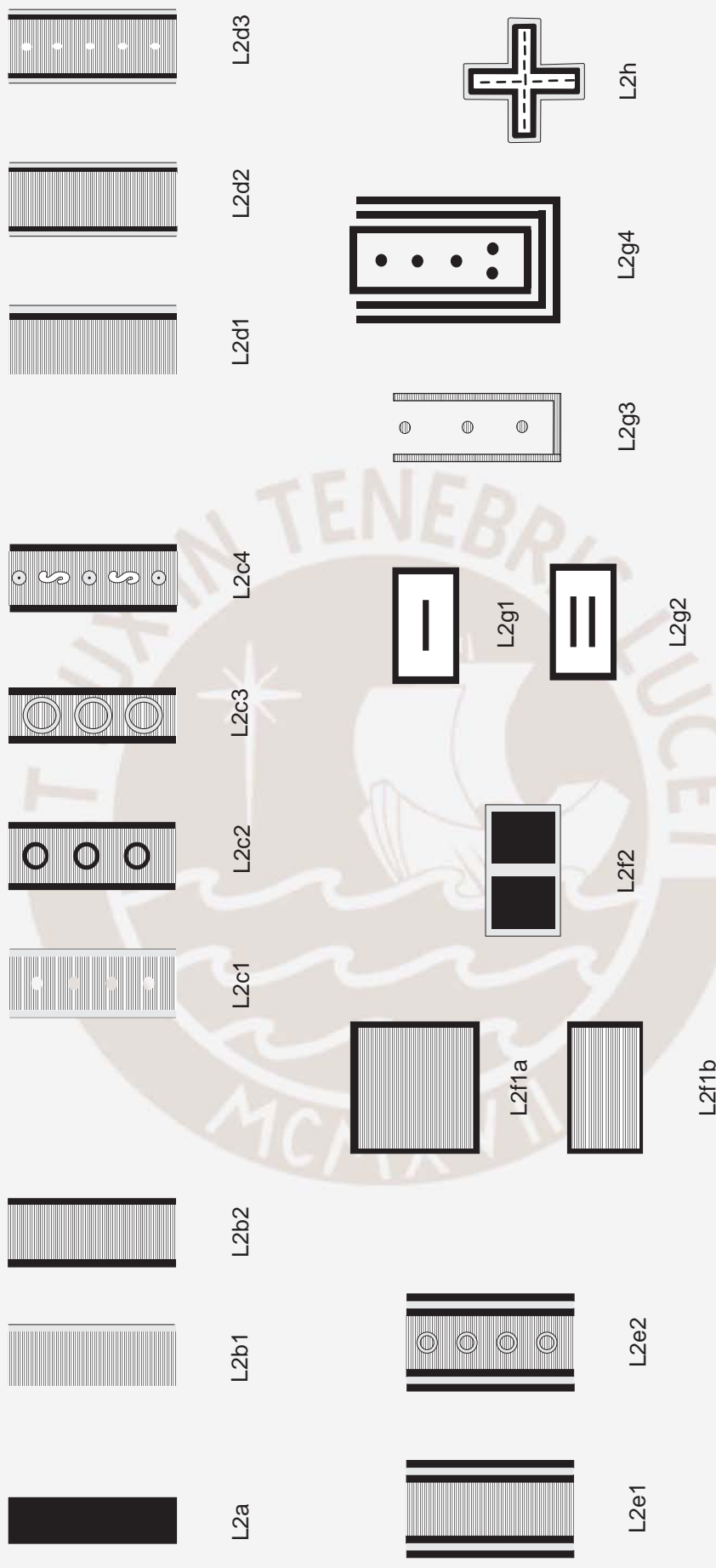


Fig. 4.123. Diseños correspondientes o afines al estilo Lima. Bandas (diagrama elaborado por el autor).

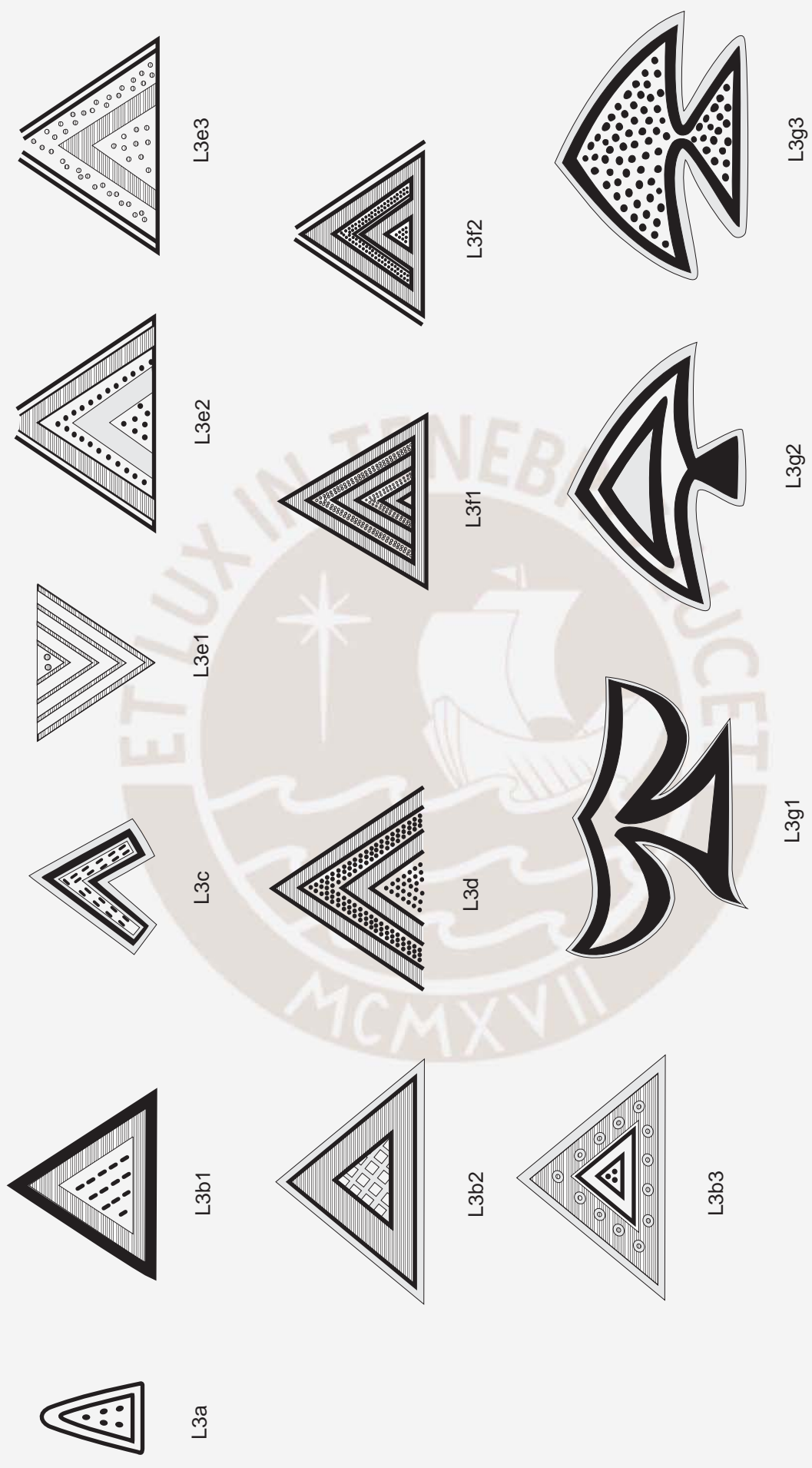


Fig. 4.124. Diseños correspondientes o afines al estilo Lima. Diseños en forma de «V» y triángulos (diagrama elaborado por el autor).



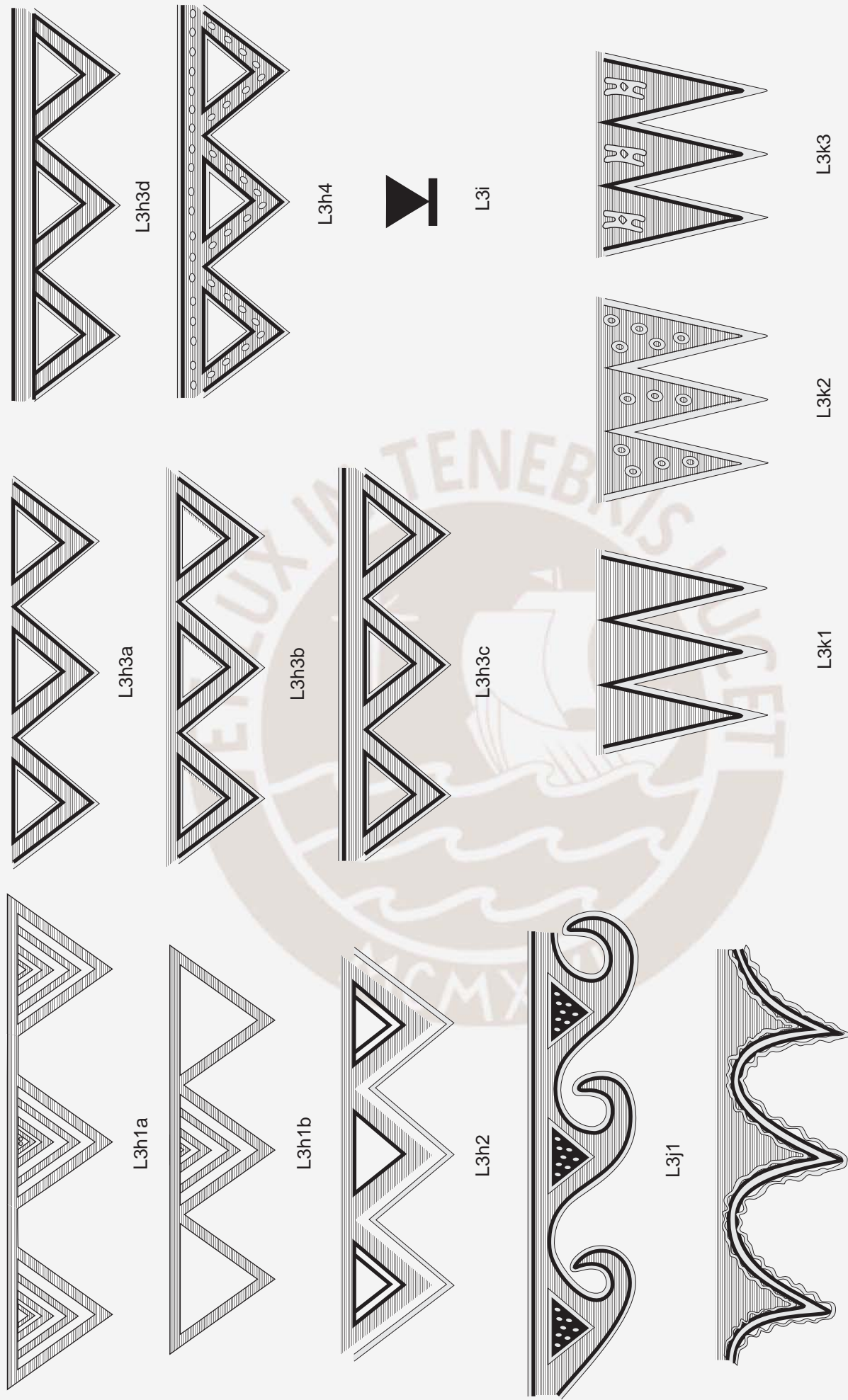


Fig. 4.125a. Diseños correspondientes o afines al estilo Lima. Greclas (diagrama elaborado por el autor).



Fig. 4.125b. Diseños correspondientes o afines al estilo Lima. Greca (diagrama elaborado por el autor).

Fig. 4.126. Diseños correspondientes o afines al estilo Lima. Puntos y círculos (diagrama elaborado por el autor).

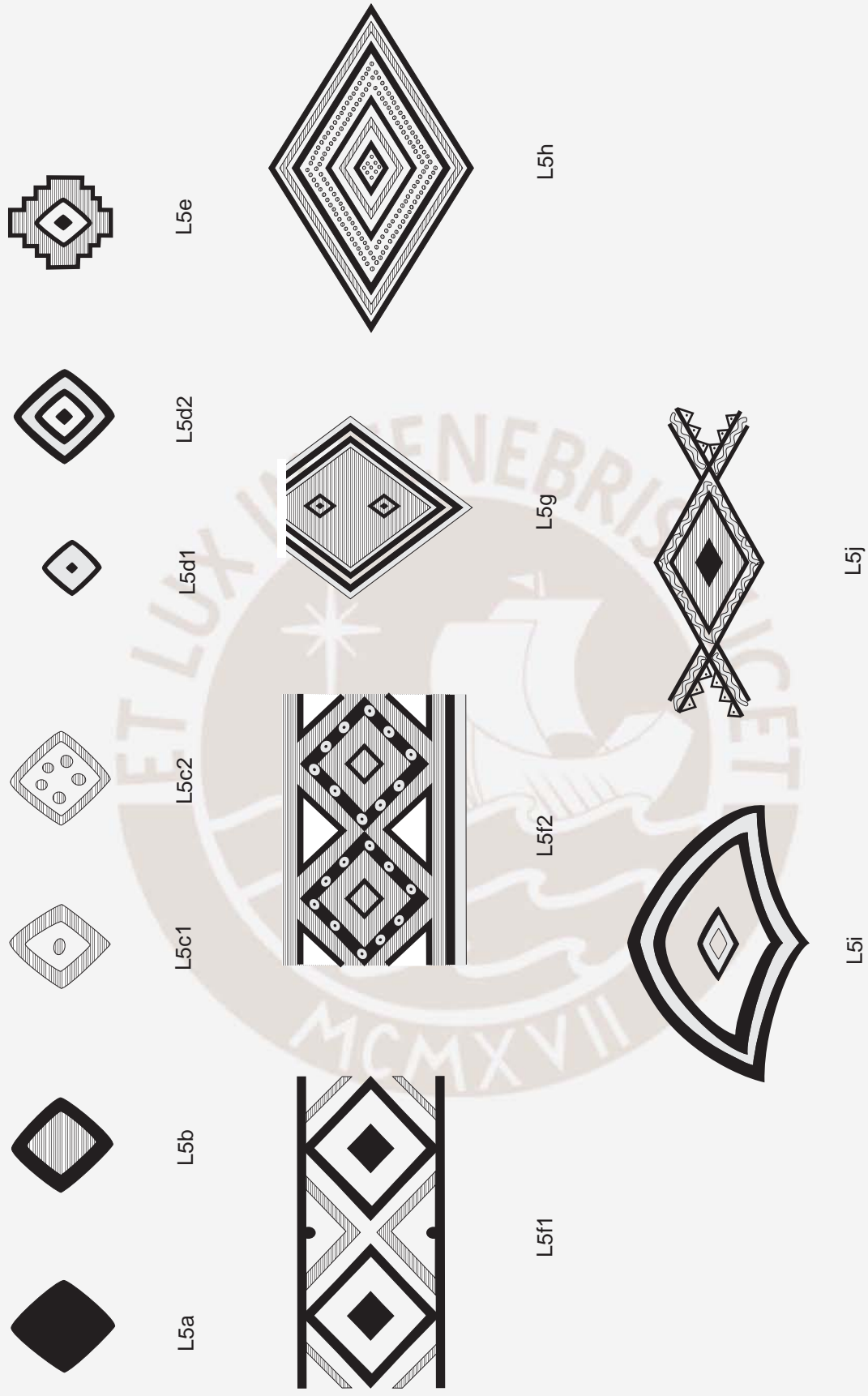


Fig. 4.127. Diseños correspondientes o afines al estilo Lima. Rombos (diagrama elaborado por el autor).

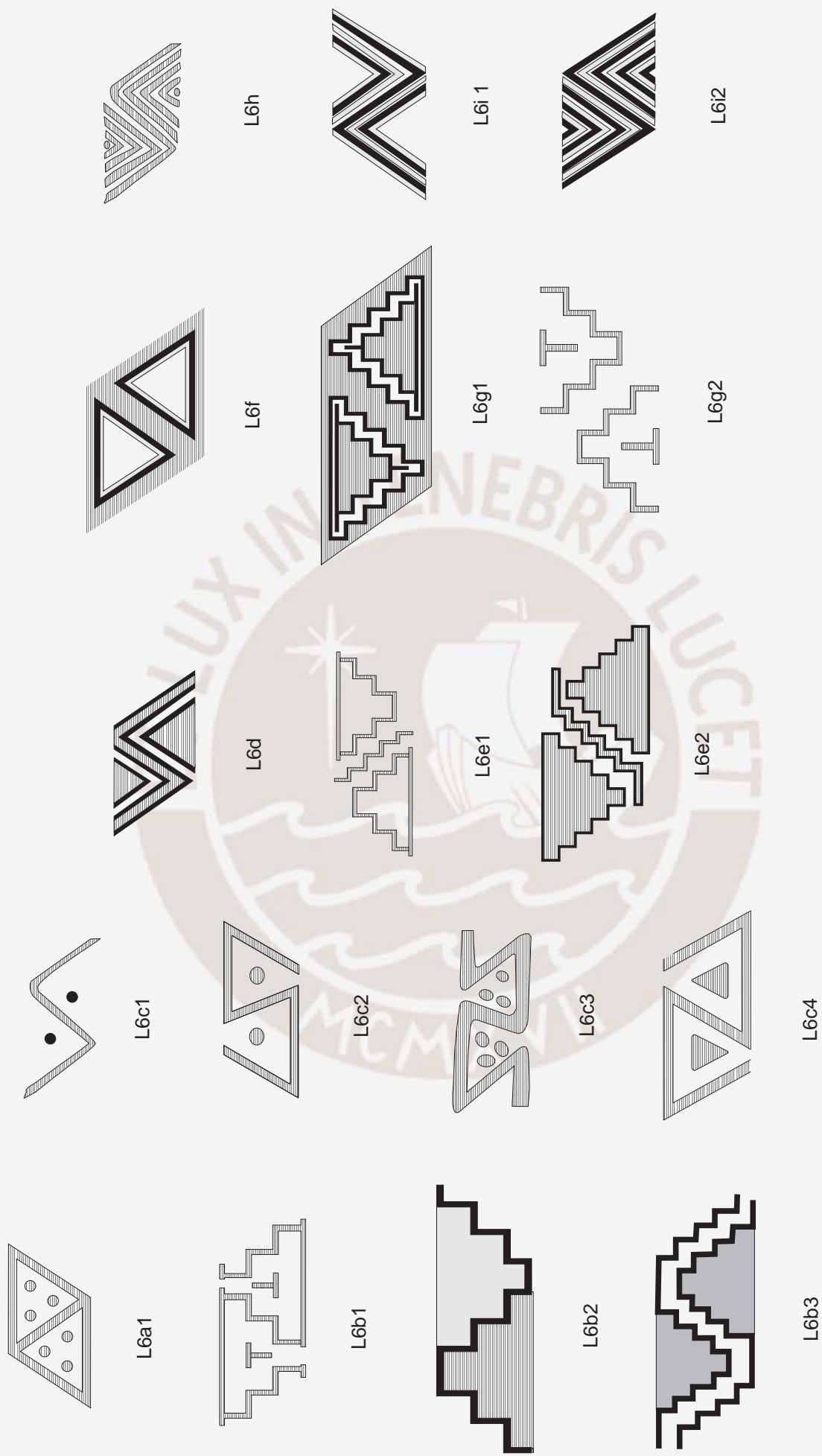


Fig. 4.128a. Diseños correspondientes o afines al estilo Lima. Entrelazados (diagrama elaborado por el autor).

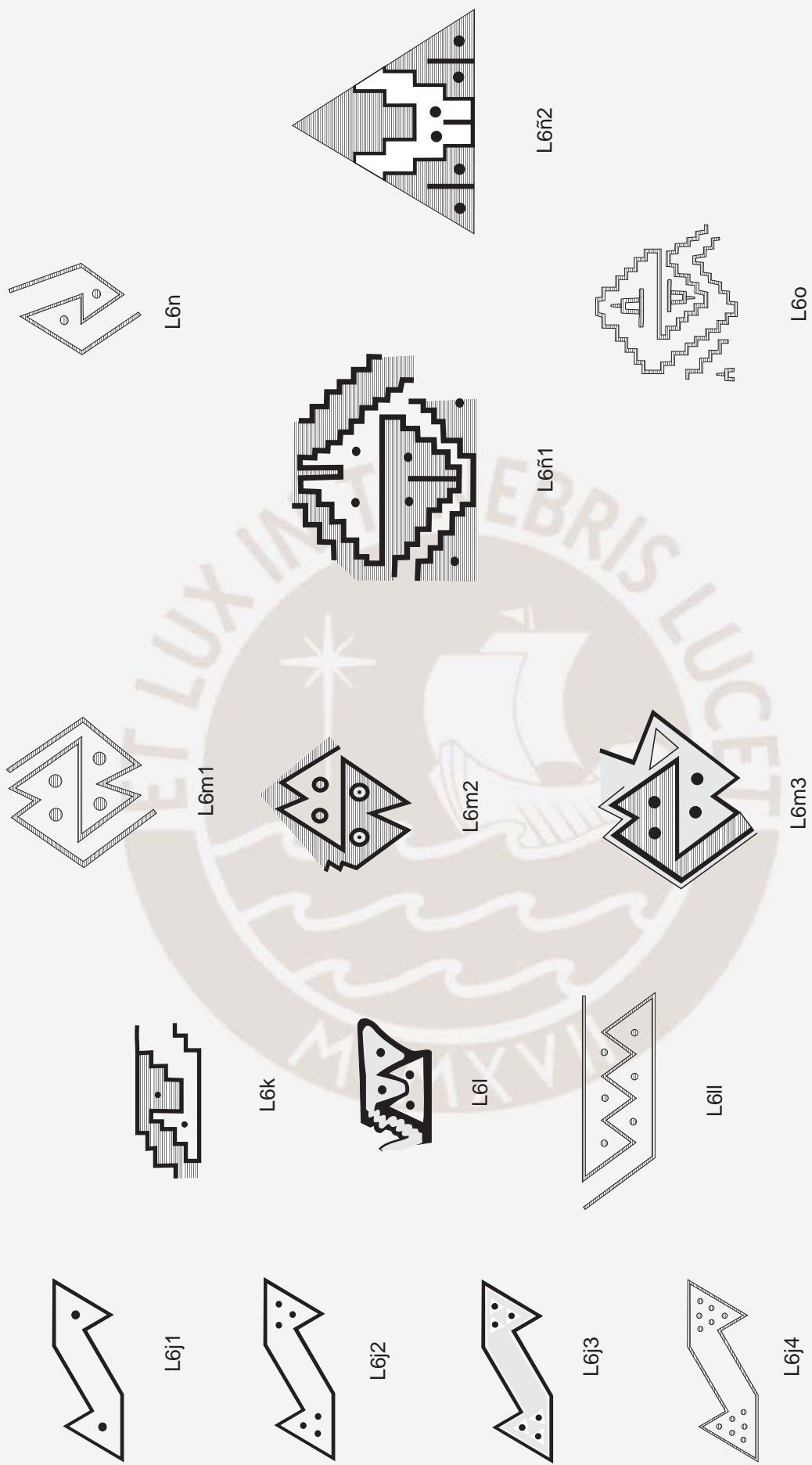


Fig. 128b. Diseños correspondientes o afines al estilo Lima. Entrelazados (diagrama elaborado por el autor).

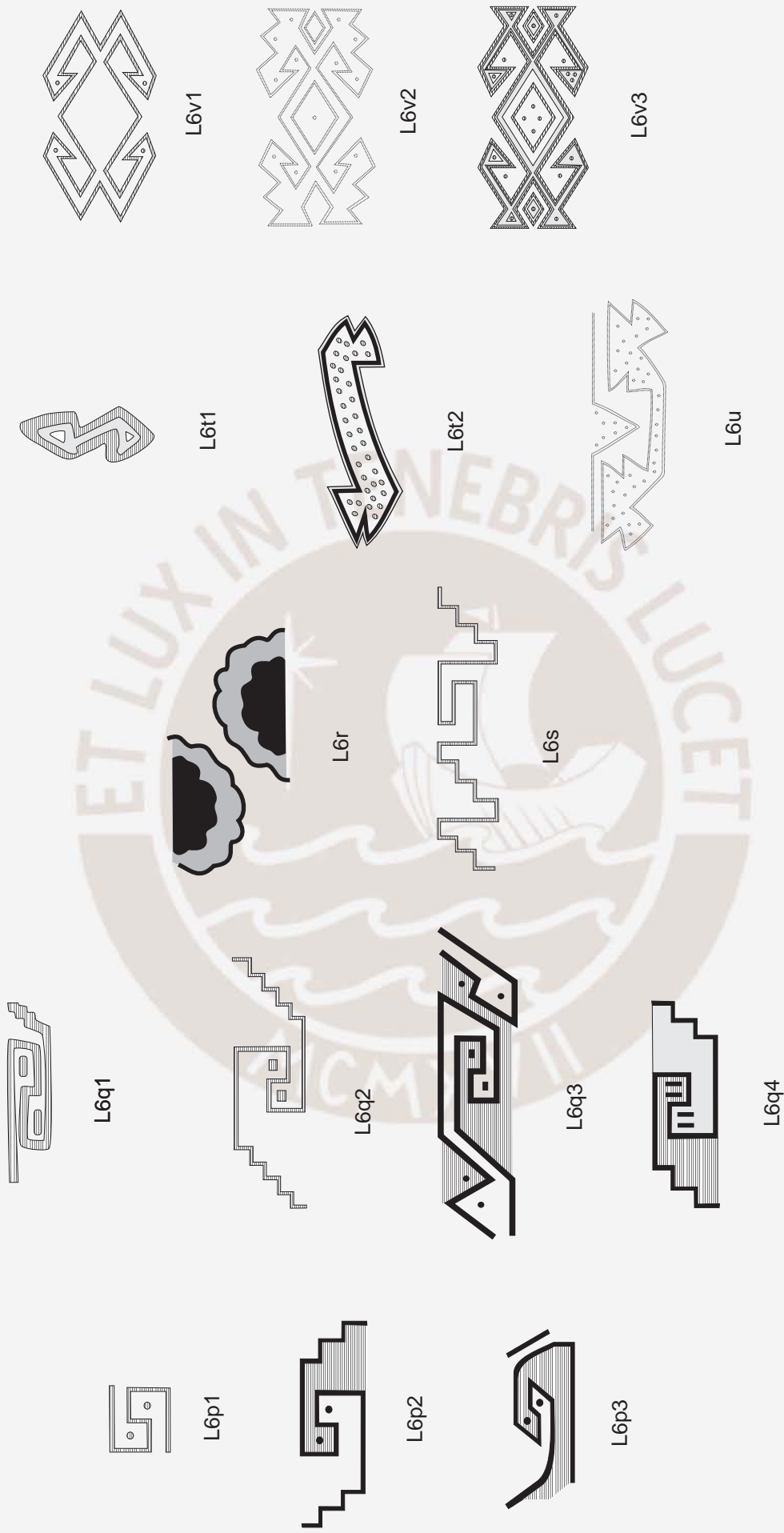


Fig. 128c. Diseños correspondientes o afines al estilo Lima. Entrelazados (diagrama elaborado por el autor).



Fig. 4.129. Diseños correspondientes o afines al estilo Lima. Semicírculos (diagrama elaborada por el autor).

Fig. 4.130. Diseños correspondientes o afines al estilo Lima. Diseños en forma de «S» (diagrama elaborada por el autor).

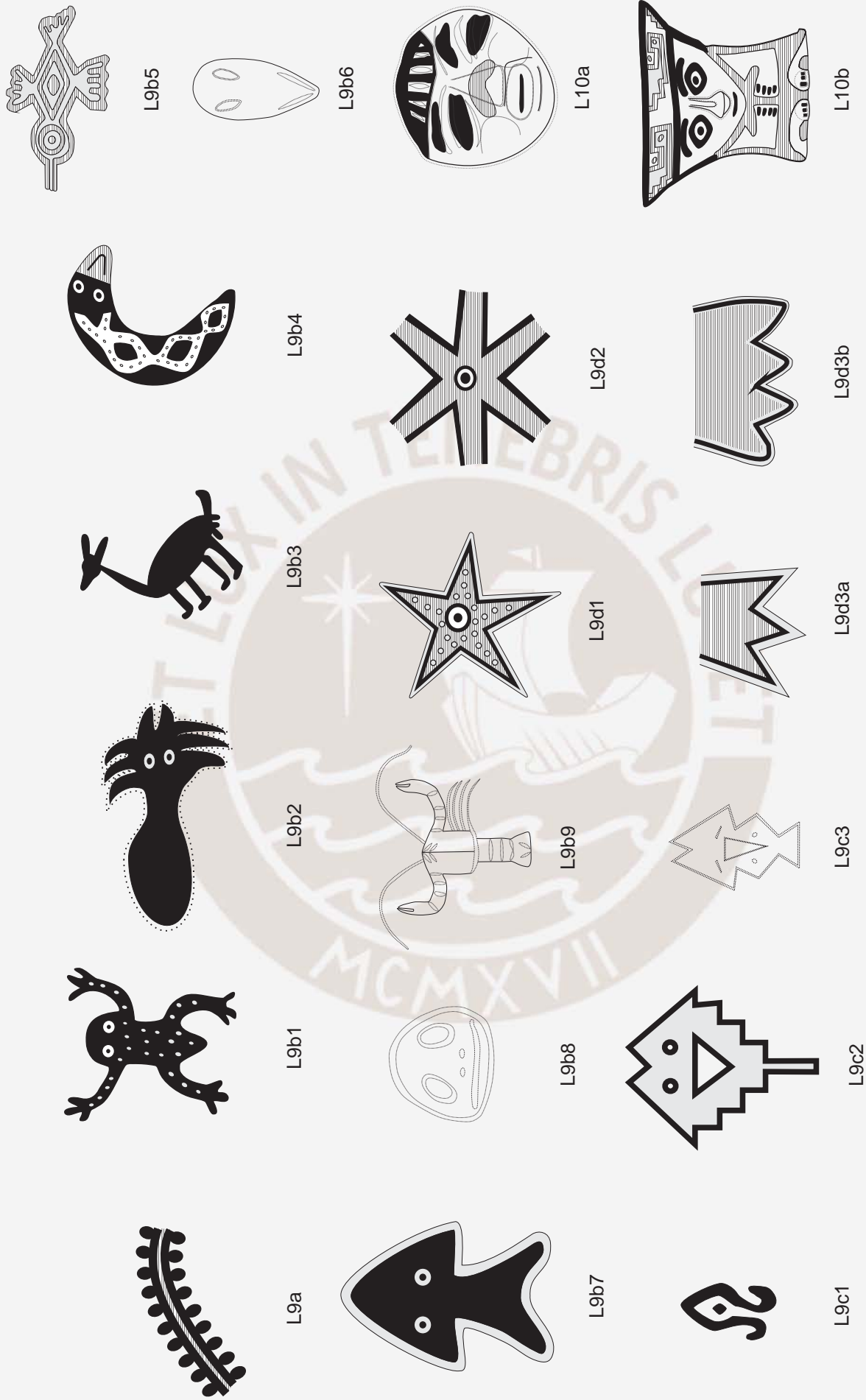
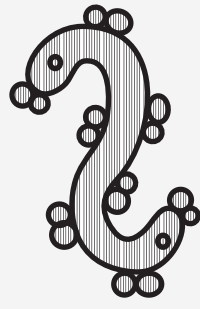


Fig. 4.131. Diseños correspondientes o afines al estilo Lima. Diseños figurativos (diagrama elaborado por el autor).





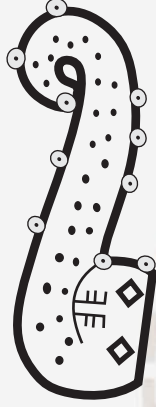
Fig. 4.132. Diseños correspondientes o afines al estilo Chakipampa (diagrama elaborado por el autor).



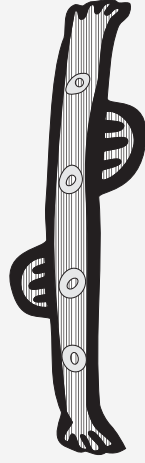
Ch10



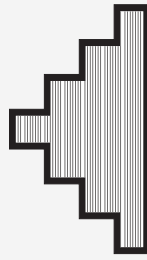
Ch11a1



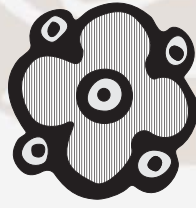
Ch11a2



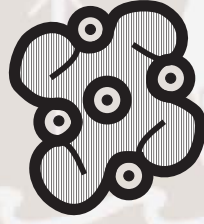
Ch12



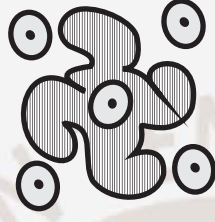
Ch13



Ch14a1



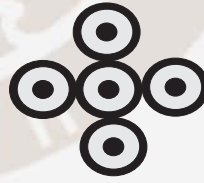
Ch14a2



Ch14a3



Ch14a4

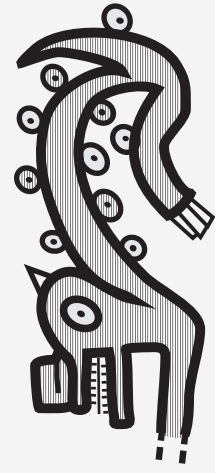


Ch15

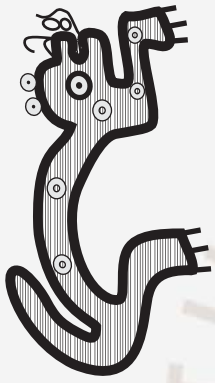


Ch16

Fig. 4. 133. Diseños correspondientes o afines al estilo Chakipampa (diagrama elaborado por el autor).



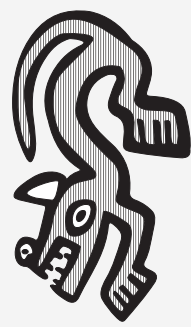
Ch17a4



Ch17a3



Ch17a2



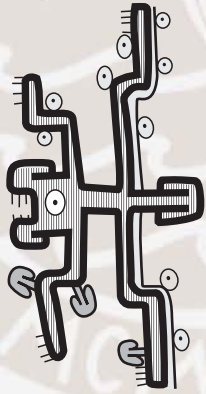
Ch17a1



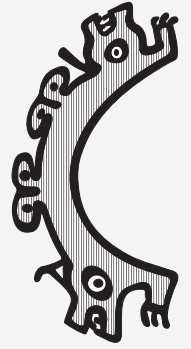
Ch17a8



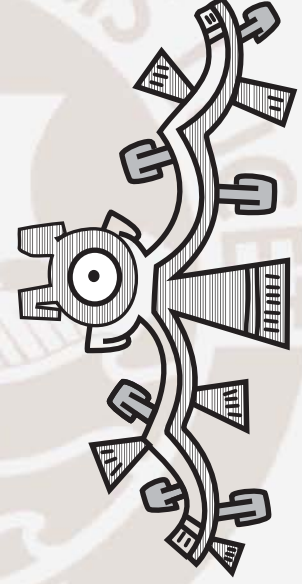
Ch17a7



Ch17a6



Ch17a5



Ch18

Fig. 4.134. Diseños correspondientes y afines al estilo Chakipampa (diagrama elaborado por el autor).

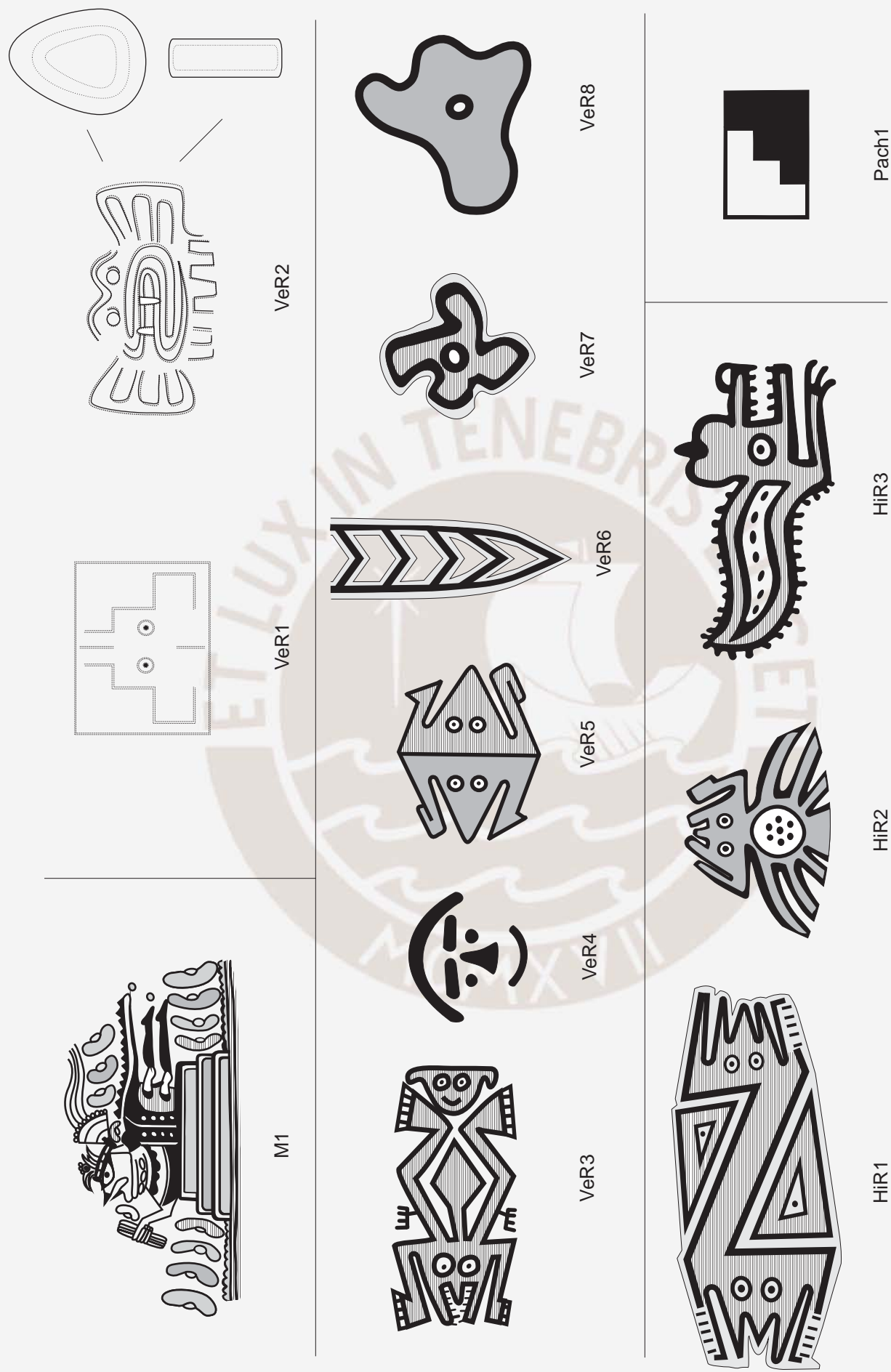


Fig. 4.135. Diseños correspondientes o las tradiciones Mochica (M); versiones reelaboradas de diseños de otras tradiciones (VR) e híbridos reelaborados (HR) y al estilo Pachacamac (diagrama elaborado por el autor).

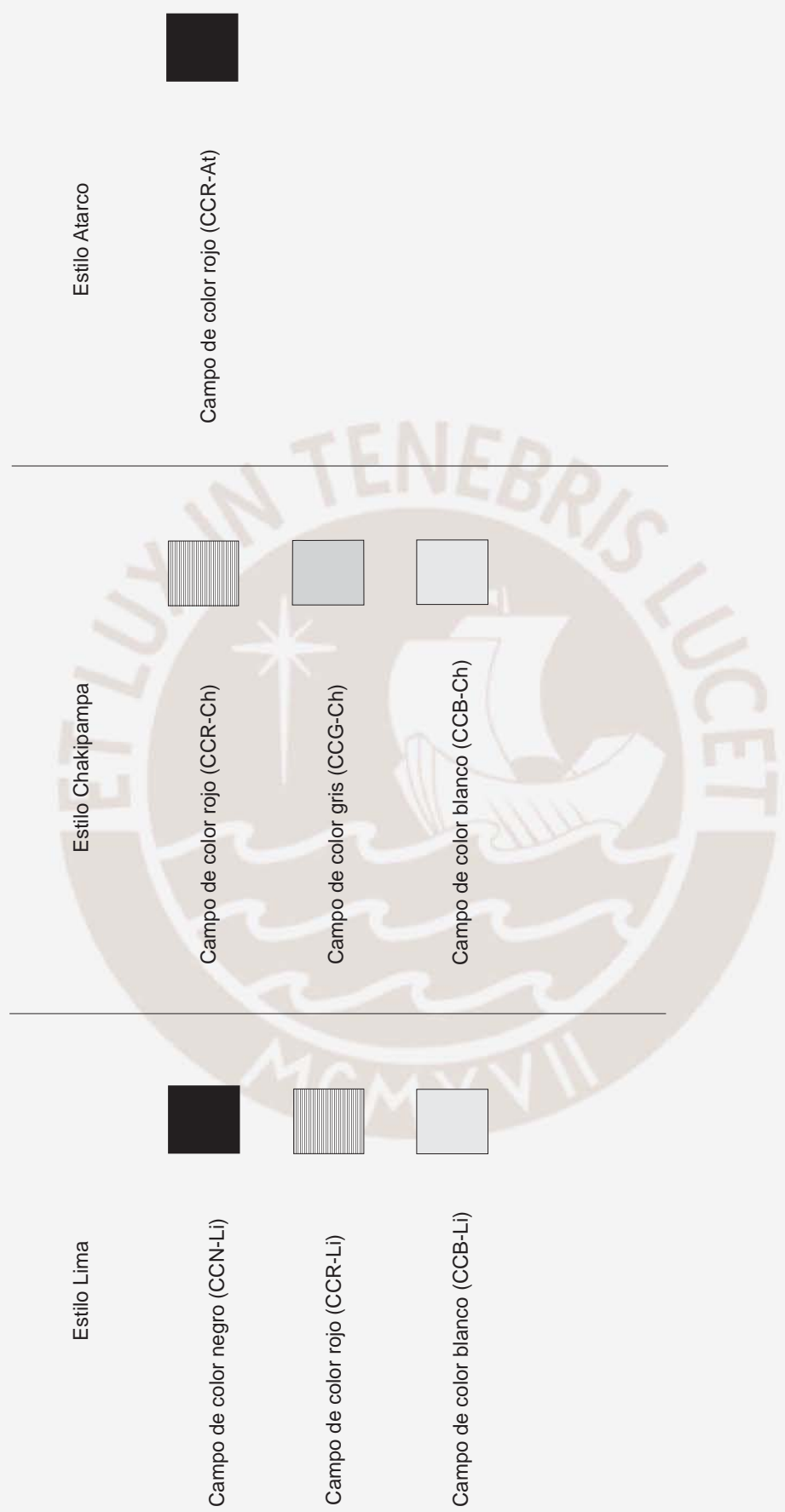


Fig. 4.136. Campos de color (diagrama elaborado por el autor).

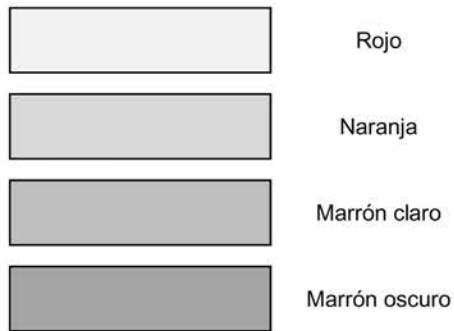


Fig. 4.137a. Colores en escala de grises para la descripción en los cuadros referentes a los códigos de forma y tecnología (cuadro elaborado por el autor)

<b>Convención para la presentación de los diseños</b>	
Separación entre diseños	;
Separación entre diseños idénticos	,
Separación entre diseños de estilos distintos	/
Diseños que se presentan juntos	+
Decoración que no se ha determinado por falta de un elemento formal	No det.
Tipo de diseño que no se ha determinado por mal estado de conservación	no det.
Indica que se forma un panel geométrico formado por uno o más diseños. El primer diseño indicado está en el centro y el segundo o último conforma el panel. Se unen por medio del signo +	(panel)
Indica que se forma un panel geométrico formado por uno o más diseños. El primer diseño indicado se presenta en área y el segundo o último conforma el panel. Se unen por medio del signo +	(Ar panel)
Sin decoración pictórica	SDP

Fig. 4.137b. Convención para la presentación de los diseños en los cuadros de los diseños que aparecen en cada elemento formal de las piezas por estilo (cuadro elaborado por el autor).

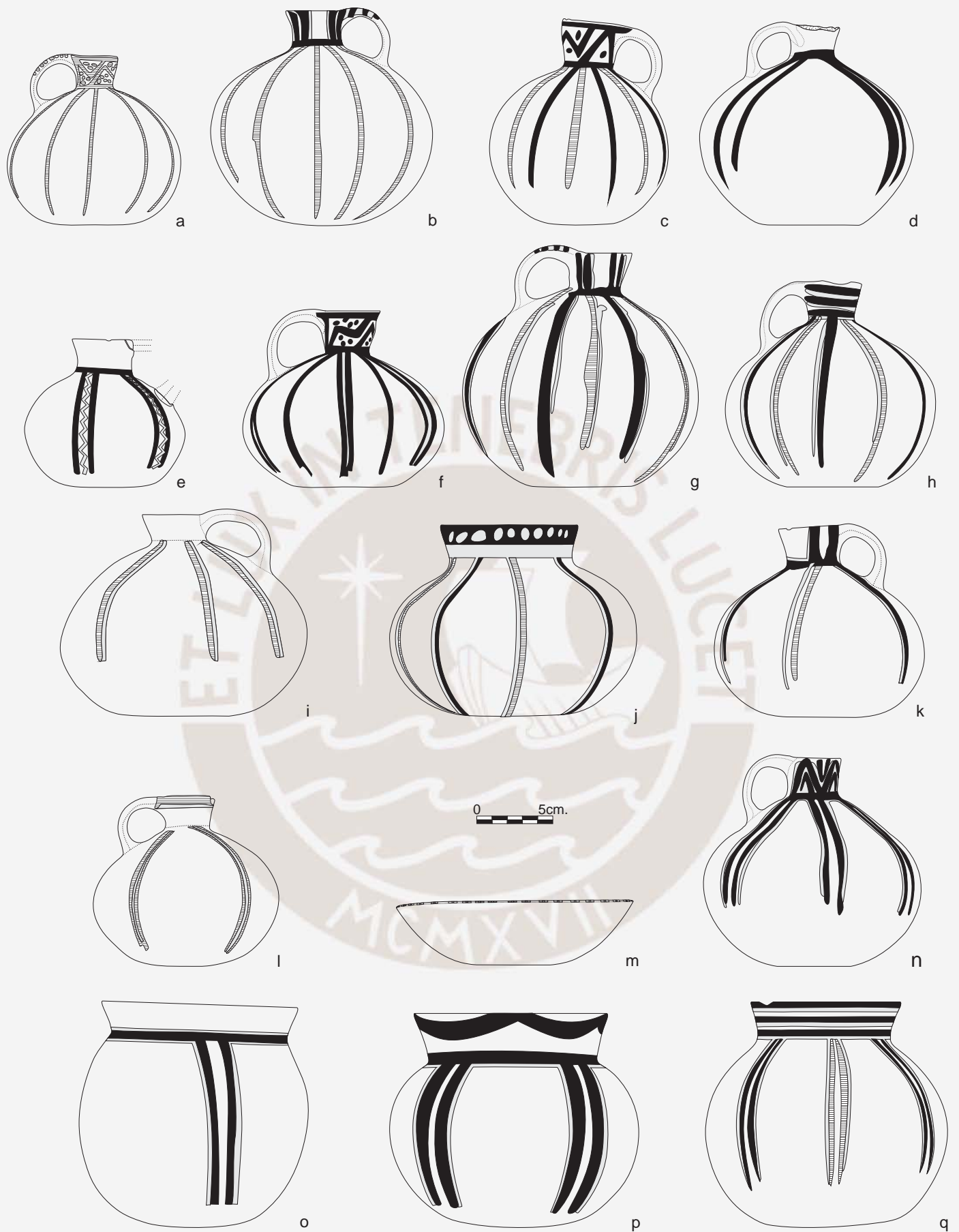


Fig. 4.138A. Estilo Lima. Li-1: a. CE-0021, b. CE-0039, c. CE-0035, d. CE-0048, e. CE-0063, f. CE-0031, g. 35-5035, h. 35-5036, l. CE-0067, j. CE-0094, k. CE-0052, l. CE-0034, m. CE-0120, n. 35-5243, o. CE-0078, p. CE-0086, q. CE-0076 (lámina elaborada por el autor).

Rótulo	Variante o tipo	Cat./subcat.	Código de forma y tecnología	Pasta
CE-0021		MB-ALCV	MB(C1)-Gd1-ALCV [Ba Sb] [Na-P]	-
CE-0039		B-ALCV	B(C1)-Gd3a1-ALCV [Bd Sb] [Na-P]	-
CE-0035		B-ALCV	B(C1)-Gd1-ALCV [Ba Sb] [Na-P]	-
CE-0048		B-ALCV	B(C1)-Gd3a1-ALCV [Bf Sb] [R-AI]	-
CE-0063		MB-ALCV	MB(C1)-Gd3a1-ALCV [Ba Se] [R-AI]	2
CE-0031		B-ALCV	B(C1)-Gd2a-ALCV [Ba Sb] [Na-P]	-
35-5035		B-ALCV	B(C1)-Gd1-ALCV [Bf Sb] [Na-P]	2
35-5036		B-ALCV	B(C1)-Gd1-ALCV [Ba Sb] [Na-P]	-
CE-0067		B-ALCV	B(C1)-Gd1-ALCV [Ba Sb] [R-AI]	-

CE-0094		O-C	O(C1)-Cd3a1 [Ba Sb] [Na-AI]	2
CE-0052		B-ALCV	B(C1)-Gd3a1-ALCV [Ba Sb] [R-Br]	2
CE-0034		B-ALCV	B(C1)-Gd1-ALCV [Bd Sb] [Na-P]	2
CE-0120		P	P2c [Be-Sg] [Na-P]	-
35-5243		B-ALCV	B(C1)-Gd3a1-ALCV [Ba Sb] [R-AI]	-
CE-0078		O-C	O(C1)-Cd1a2 [Bd Sb] [R-AI]	-
CE-0086		O-C	O(C1)-Cd1a2 [Bd Sb] [R-AI]	-
CE-0076		O-C	O(C1)-Cd1a2 [Bd Sb] [Na-AI]	-

Cód. morfodec.	Rótulo	Cat./subcat.	Labio	Gollete/cuello		Asa	Cuerpo
				Borde			
Li-1	CE-0021	MB-ALCV			L6j4	L1a1	L1a1
	CE-0039	B-ALCV			L1b3	L1a1	L1a1
	CE-0035	B-ALCV			L6j1	L1a1	L1a1; L1a1
	CE-0048	B-ALCV			SDP	L1a1	L1a2
	CE-0063	MB-ALCV			SDP	No det.	L1a4
	CE-0031	B-ALCV			L6j2	L1a1	L1a1; L1a2
	35-5035	B-ALCV			L1b3	L1b1	L1b1; L1b1
	35-5036	B-ALCV			L1b1	L1b1	L1b1; L1b1
	CE-0067	B-ALCV			SDP	SDP	L1b1
	CE-0094	O-C			L2a; L2a; L4b1		L1b1
	CE-0052	B-ALCV			L1b3	L2b1	L1b1
	CE-0034	B-ALCV			L2b1	L1a2; L1b1	L1b2
	CE-0120	P		L1b2			SDP
	35-5243	B-ALCV			L6i1	L1b1	L1b3
	CE-0078	O-C			SDP		L1b3
	CE-0086	O-C			L7b		L1b3
CE-0076	O-C			L1b1		L1b3	

Fig. 4.138B. Códigos de forma y tecnología y diseños presentes en los elementos formales de las vasijas del grupo Li-1 (cuadros elaborados por el autor).



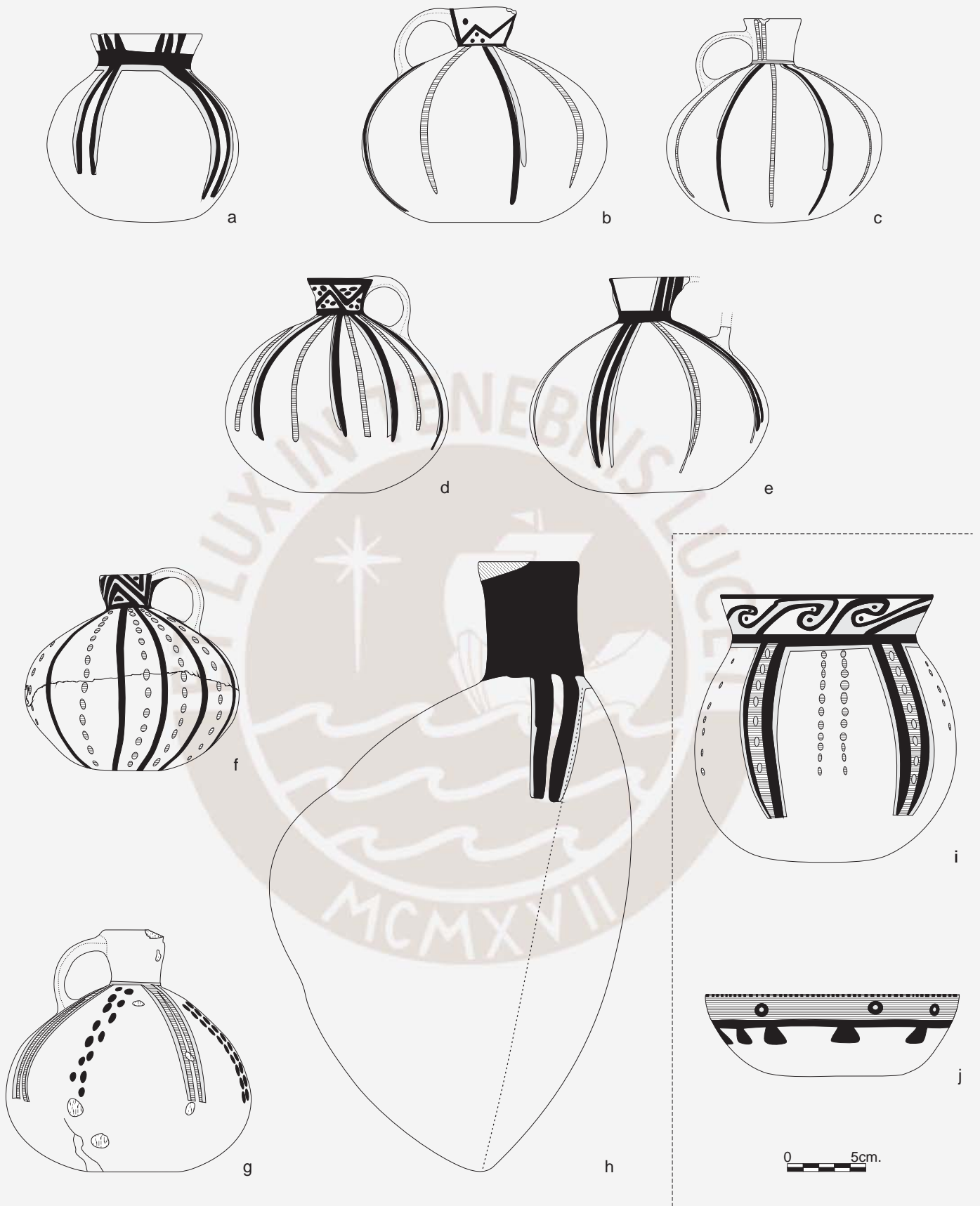


Fig. 4.139A. Estilo Lima. Li-1: a. CE-0081, b. 35-5917, c. 35-5297, d. CE-0055, e. CE-0050, f. CE-0032, g. CE-0056, h. 35-5429; Li-2: i. CE-0080, j. CE-0121 (lámina elaborada por el autor).










	Rótulo	Variante o tipo	Cat./subcat.	Código de forma y tecnología	Pasta
Li-1	CE-0081		MO-C	MO(C1)-Cd1a1 [Bd Sb] [R-AI]	-
	35-5917		B-ALCV	B(C1)-Gd2a-ALCV [Ba Sb] [Na-P]	-
	35-5297		B-ALCV	B(C1)-Gd3a1-ALCV [Bd Sb] [Na-P]	-
	CE-0055		B-ALCV	B(C1)-Gxd1-ALCV [Ba Sb] [R-AI]	-
	CE-0050		B-ALCV	B(C1)-Gd2a-ALCV [Bd Sb] [Na-Br]	2
	CE-0032		B-ALCV	B(C1)-Gd2c-ALCV [Ba Sa] [Na-Br]	2
	CE-0056		B-ALCV	B(C1)-Gd3a2-ALCV [Bf Sb] [Na-AI]	2
	35-5429		CM	CM(C8)-Cp1 [NO-Sd] [R-AI]	-
Li-2	CE-0080		O-C	O(C1)-Cd1a2 [Bd Sb] [Na-Br]	-
	CE-0121		P	P2b [Ba-Sa] [Na-AI]	-

Cód. morfodec.	Rótulo	Cat./subcat.	Labio	Gollete/cuello	Asa	Cuerpo
Li-1	CE-0081	MO-C		L1a3		L1b3
	35-5917	B-ALCV		L6j2	L1b1	L1a1; L1b1
	35-5297	B-ALCV		L1b2	L1b2	L1a1; L1b1
	CE-0055	B-ALCV		L6j3	L1b1	L1a1; L1b1
	CE-0050	B-ALCV		L1b3	No det.	L1b1; L1b3
	CE-0032	B-ALCV		L6i2	L1b2	L1a1; L1d1
	CE-0056	B-ALCV		SDP	L1d2; L1b3	L1d2; L1b3
	35-5429	CM		CCN-Li		L1b3
Li-2	CE-0080	O-C		L6p3		L2d3; L4a3
	CE-0121	P	L1a1			L2c2; L3i

Fig. 4.139B. Códigos de forma y tecnología y diseños presentes en los elementos formales de las vasijas de los grupos Li-1 y Li-2 (cuadros elaborados por el autor).

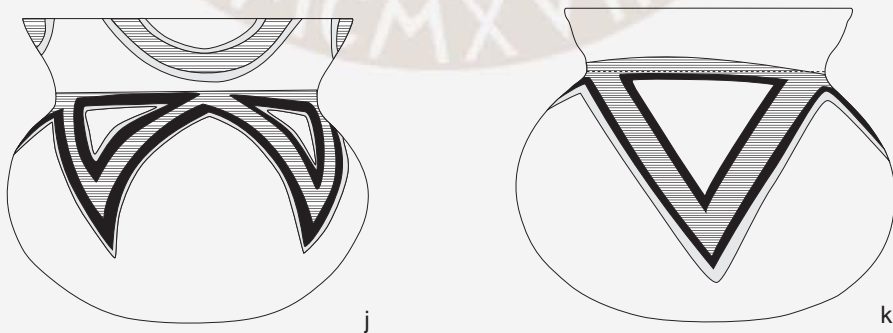
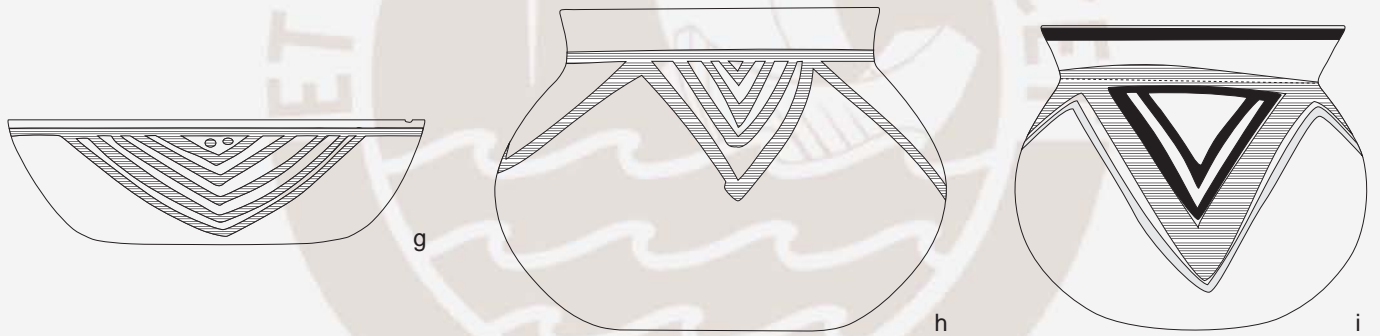
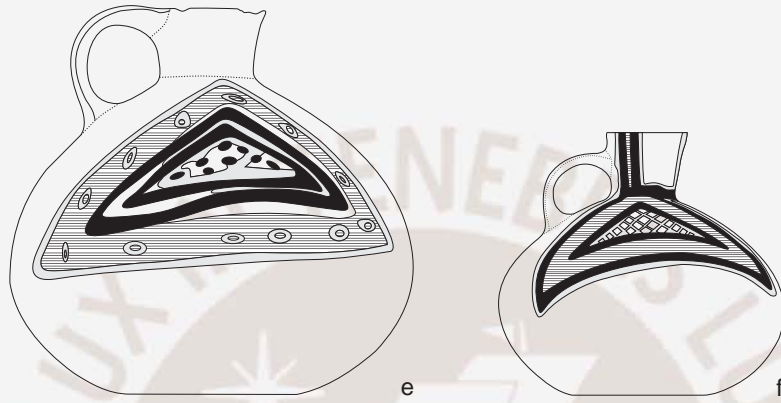
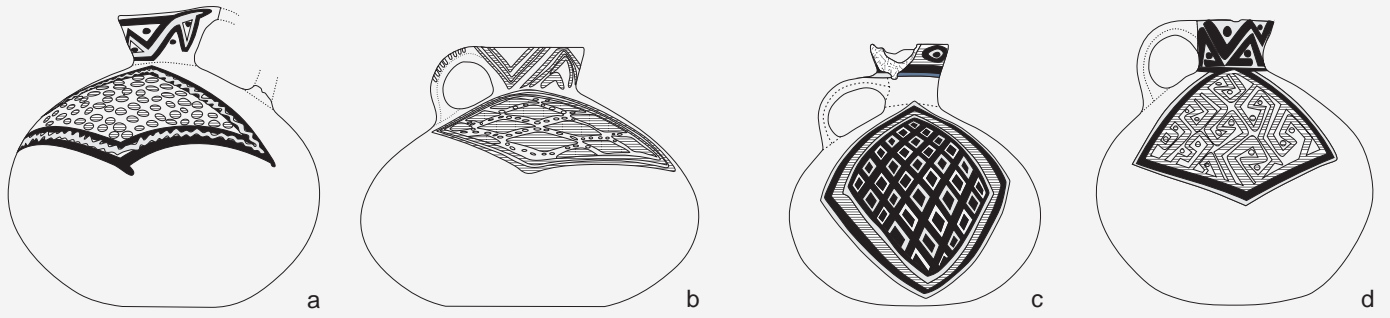


Fig. 4.140A. Estilo Lima. Li-3A: a. CE-0053, b. CE-0057, c. CE-0060, d. CE-0071, e. 35-1498, f. 35-5024, g. CE-0317, h. CE-0077, i. CE-0073 (lámina elaborada por el autor).

Rótulo	Variante o tipo	Cat./subcat.	Código de forma y tecnología	Pasta
CE-0053		B-ALCV	B(C1)-Gd3a2-ALCV [Ba Sb] [R-AI]	-
CE-0057		B-ALCV	B(C1)-Gd3a1-ALCV [Ba Sb] [R-AI]	2
CE-0060		B-ALCV	B(C1)-Gd1-ALCV [Ba Sb] [R-AI]	-
CE-0071		O-C	O(C1)-Cd1a1 [Bd Sb] [Na-Br]	-
35-1498		B-ALCV	B(C1)-Gd2a-ALCV [Ba Sb] [Na-P]	4
CE-0317		O-C	O(C1)-Cd3a2 [Bf Sb] [Na-P]	-
35-5024		B-ALCV	B(C1)-Gd1-ALCV [Bd Sb] [R-P]	2
CE-0077		O-C	O(C1)-Cd1a3 [Ba Sb] [Na-Br]	3
CE-0073		O-C	O(C1)-Cd2b [Bd Sb] [R-AI]	-

Cód. morfodec.	Rótulo	Cat./subcat.	Gollete/cuello	Asa	Cuerpo
Li-3A	CE-0053	B-ALCV	L6j3	L1b1	L3g1
	CE-0057	B-ALCV	L6j3	L1 no det.	L3g3
	CE-0060	B-ALCV	L1b1	L1a1	L5j
	CE-0071	O-C	L6j1		L3g2; L5i; L1b2
	35-1498	B-ALCV	L2d2	L1b1	L8a3
	35-5024	B-ALCV	L6j1	L1b2	L6i2
	CE-0317	O-C	L6p2		L8a4
	CE-0077	O-C	L7a		L7c; L2d2
	CE-0073	O-C	L6p2		HiR1

Fig. 4.140B. Códigos de forma y tecnología y diseños presentes en los elementos formales de las vasijas del grupo Li-3A (cuadros elaborados por el autor).



0 5cm.

Fig. 4.141A. Estilo Lima. Li-3B1: a. CE-0036, b. 35-1508, c. CE-0150, d. CE-0040; Li-3B2: e. 35-5433, f. 35-5298; Li-4: g. CE-0116, h. CE-0090, i. CE-0083, j. CE-0084, k. CE-0085 (lámina elaborada por el autor).

	Rótulo	Variante o tipo	Cat./subcat.	Código de forma y tecnología	Pasta
Li-3B1	CE-0036		B-ALCV	B(C1)-Gd2a-ALCV [Ba Sb] [Na-P]	3
	35-1508		B-ALCV	B(C1)-Gd1-ALCV [Ba Sf] [Na-P]	1a
	CE-0150		MB-ALCV	MB(C1)-Gd3a1-ALCV [Bd Sd] [R-AI]	2
	CE-0040		B-ALCV	B(C1)-Gd2b-ALCV [Ba Sb] [Na-Br]	-
Li-3B2	35-5433		B-ALCV	B(C1)-Gd3a1-ALCV [Ba Sd] [Na-AI/Br]	2
	35-5298		B-ALCV	B(C1)-Gd1-ALCV [Ba Sb] [Na-P]	-
Li-4	CE-0116		P	P2b [Be-Sb] [Mcl-AI]	3
	CE-0090		O-C	O(C1)-Cd1a1 [Ba Sb] [R-AI]	-
	CE-0083		O-C	O(C1)-Cd1a2 [Bd Sb] [R-AI]	-
	CE-0084		O-C	O(C1)-Cd2b [Bd Sa] [R-AI]	-
	CE-0085		O-C	O(C1)-Cd2c [Bd Sb] [R-AI]	-

Cód. morfodec.	Rótulo	Cat./subcat.	Gollete/cuello		Asa	Cuerpo
			Borde			
Li-3B1	CE-0036	B-ALCV	L6j3		No det.	L4a1 + L1a4 (Ar panel)
	35-1508	B-ALCV	L6h		L1a1	L5a + L1a2 (Ar panel); L5c1
	CE-0150	MB-ALCV	L5d1; L2d1		L2d2; CCB-Li	L5d1 + L2d1 (Ar panel); L2h
	CE-0040	B-ALCV	L6 no det.		L1a2, L1a2	L6n + L1b1 (Ar panel); L5c1
Li-3B2	35-5433	B-ALCV	SDP		L1a1	L3b3
	35-5298	B-ALCV	L1b3		L1b1	L3b2
Li-4	CE-0116	P				L3h1a
	CE-0090	O-C	SDP			L3h1b
	CE-0083	O-C	L1a1			L3h2
	CE-0084	O-C	L7a			L3h3a
	CE-0085	O-C	SDP			L3h3b

Fig. 4.141B. Códigos de forma y tecnología y diseños presentes en los elementos formales de las vasijas de los grupos Li-3B1, Li-3B2 y Li-4 (cuadros elaborados por el autor).

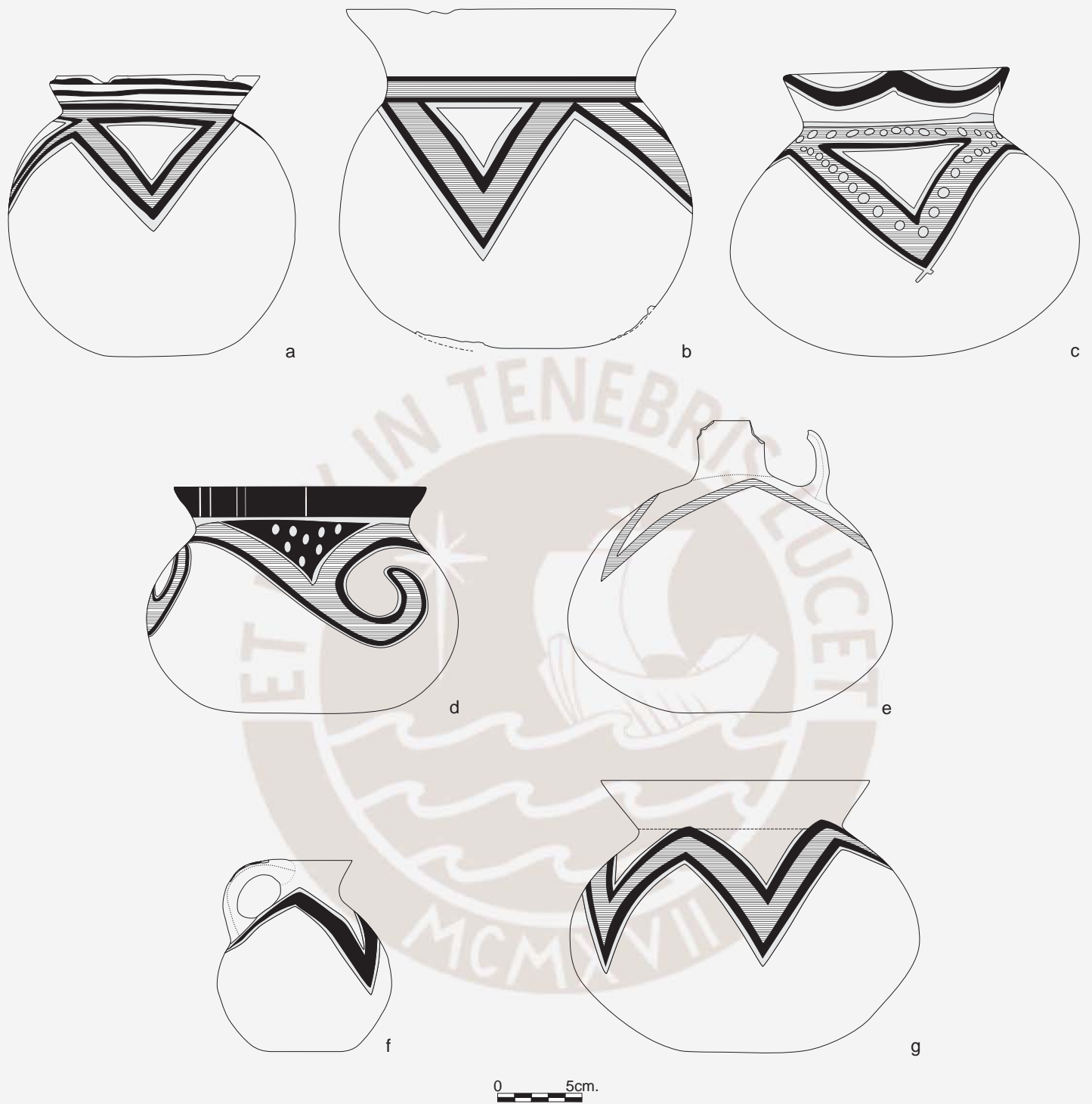


Fig. 4.142A. Estilo Lima. Li-4: a. CE-0097, b. CE-0093, c. CE-0089, d. CE-0087, e. CE-0064, f. CE-0061, g. CE-0088 (lámina elaborada por el autor).

Rótulo	Variante o tipo	Cat./subcat.	Código de forma y tecnología	Pasta
CE-0097		O-C	O(C1)-Cd1a3 [Ba Sb] [R-AI]	2
CE-0093		O-C	O(C1)-Cd3a2 [NI SNi] [Na-AI]	-
CE-0089		O-C	O(C1)-Cd1a2 [Bc Sb] [R-AI]	-
CE-0087		O-C	O(C1)-Cd2b [Ba Sb] [Na-AI]	-
CE-0064		B-ALCV	B(C1)-Gp3-ALCV [Bf Se] [R-AI]	-
CE-0061		MB-ALCV	MB(C1)-Gd3a1-ALCV [Ba Sb] [R-AI]	-
CE-0088		O-C	O(C1)-Cd1a3 [Ba Sb] [R-AI]	-

Cód. morfodec.	Rótulo	Cat./subcat.	Gollete/cuello		Asa	Cuerpo
			Borde			
Li-4	CE-0097	O-C	L1a2			L3h3c
	CE-0093	O-C		SDP		L3h3d
	CE-0089	O-C		L7b		L3h4
	CE-0087	O-C		L1a1; CCN-Li		L3j1
	CE-0064	B-ALCV		SDP	SDP	L3n
	CE-0061	MB-ALCV		SDP	L1b1	L3ñ
	CE-0088	O-C		SDP		L3o

Fig. 4.142B. Códigos de forma y decoración y diseños presentes en los elementos formales de las vasijas del grupo Li-4 (cuadros elaborados por el autor).



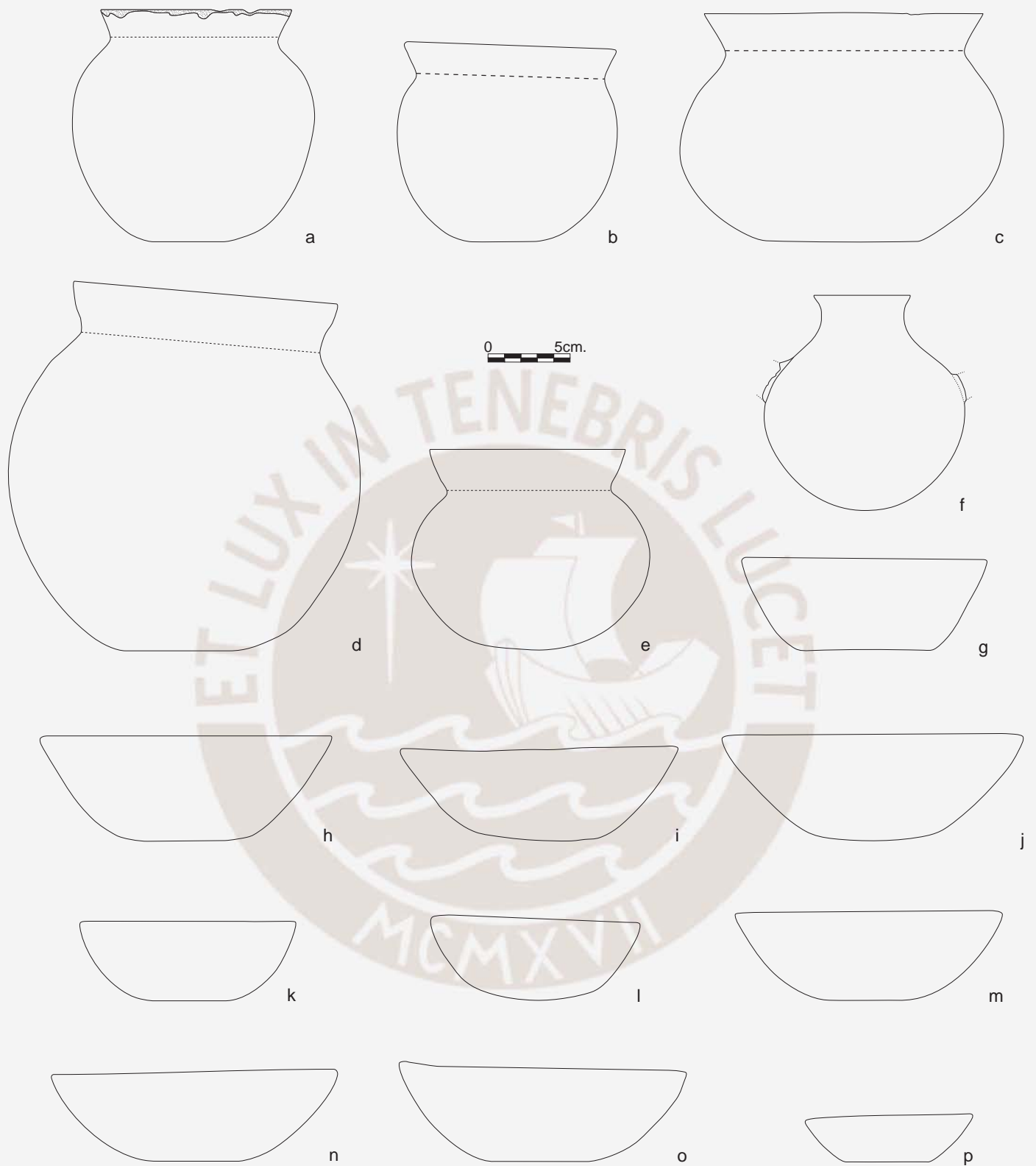


Fig. 4.143A. Estilo Lima. Li-5: a. CE-0079, b. CE-0096, c. CE-0091, d. CE-0098, e. CE-0092, f. CE-0065, g. CE-0171, h. CE-0117, i. CE-0842, j. CE-0118, k. CE-0125, l. CE-0124, m. CE-0122, n. CE-0123, o. CE-0119, p. CE-0126 (lámina elaborada por el autor).

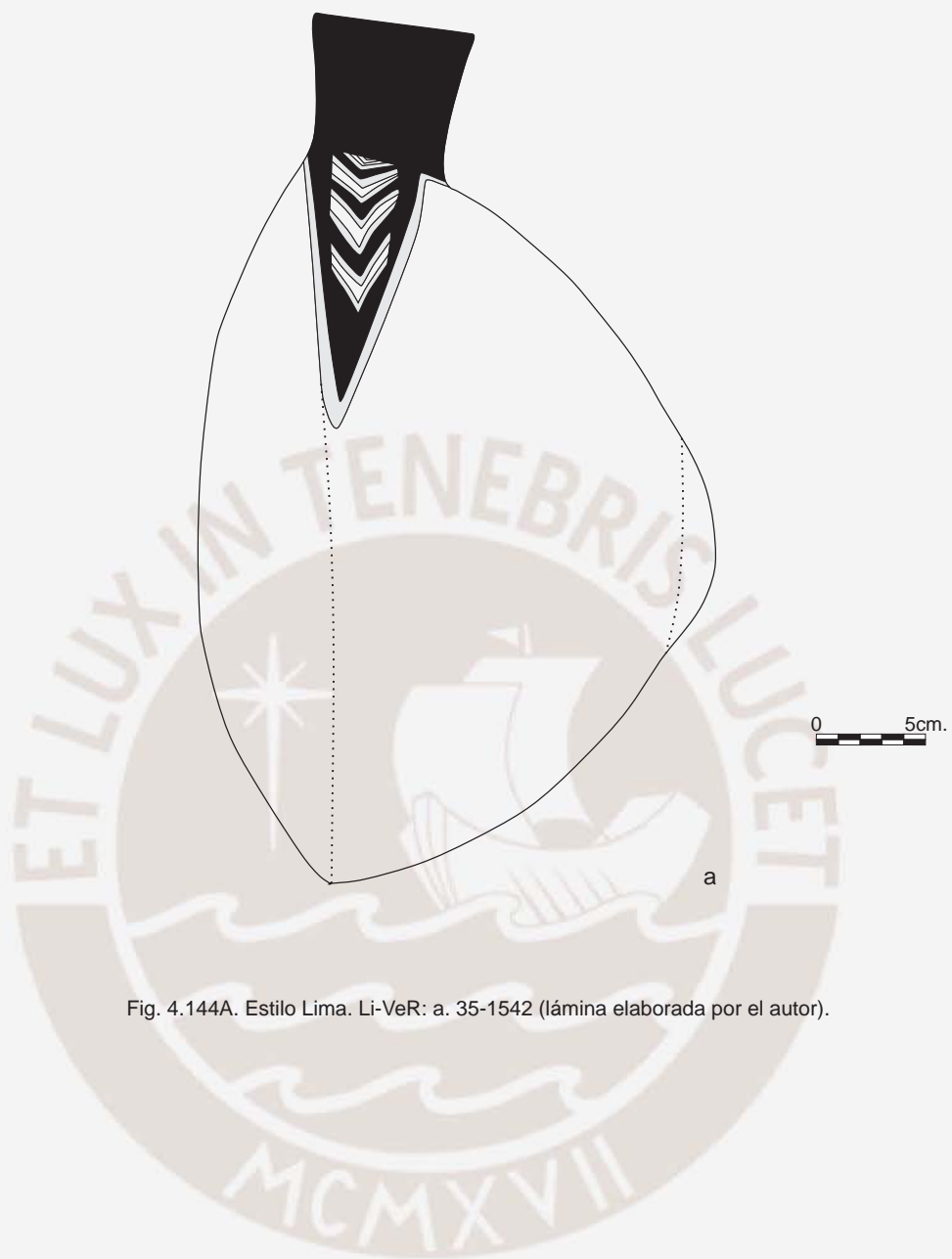



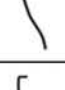
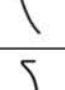
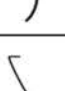




Fig. 4.144A. Estilo Lima. Li-VeR: a. 35-1542 (lámina elaborada por el autor).

Rótulo	Variante o tipo	Cat./subcat.	Código de forma y tecnología	Pasta
CE-0079		O-C	O(C1)-Cd1a2 [Ba Sn] [R-AI]	-
CE-0096		MO-C	MO(C1)-Cd1a2 [Ba Sc] [Mcl-AI]	-
CE-0091		O-C	O(C1)-Cd1a3 [Ba Sb] [R-Br]	-
CE-0098		O-C	O(C1)-Cd2a [Ba Sb] [Mcl-AI]	-
CE-0092		MO-C	MO(C1)-Cd2d [Bd Sb] [R-Br]	-
CE-0065		MC-ALCH	MC(C1)-Cp3b-ALCH [Bb Sg] [Mos-AI]	-
CE-0171		P	P1a [Ba-Sd] [Na-Br]	2
CE-0117		P	P1b [Ba-Sb] [R-AI]	-










CE-0842		P	P1b [Ni-SN] [Mcl-Br]	-
CE-0118		P	P1b [Bd-Sb] [R-AI]	3
CE-0125		P	P2b [Ba-Sb] [Mcl-AI]	-
CE-0124		P	P2b [Bd-Sb] [Mcl-AI]	-
CE-0122		P	P2c [Ba-Sb] [Mcl-AI]	-
CE-0123		P	P2c [Be-Sb] [R-AI]	-
CE-0119		P	P2c [Be-Sb] [Mcl-AI]	-
CE-0126		P	MP2c [Bf-Sb] [Na-AI]	-

Fig. 4.143b. Códigos de forma y tecnología de las vasijas del grupo morfodecorativo Li-5 (cuadro elaborado por el autor).

Rótulo	Variante o tipo	Cat./subcat.	Código de forma y tecnología	Pasta
35-1542		CM	CM(C8)-Cd3a1 [NO-Se] [R-Br]	-

Cód. morfodec.	Rótulo	Cat./subcat.	Cuello	Cuerpo
Li-VeR	35-1542	CM	CCN-Li	VeR6

Fig. 4.144B. Código de forma y tecnología y diseños presentes en los elementos formales del CM del grupo Li-VeR (cuadros elaborados por el autor).

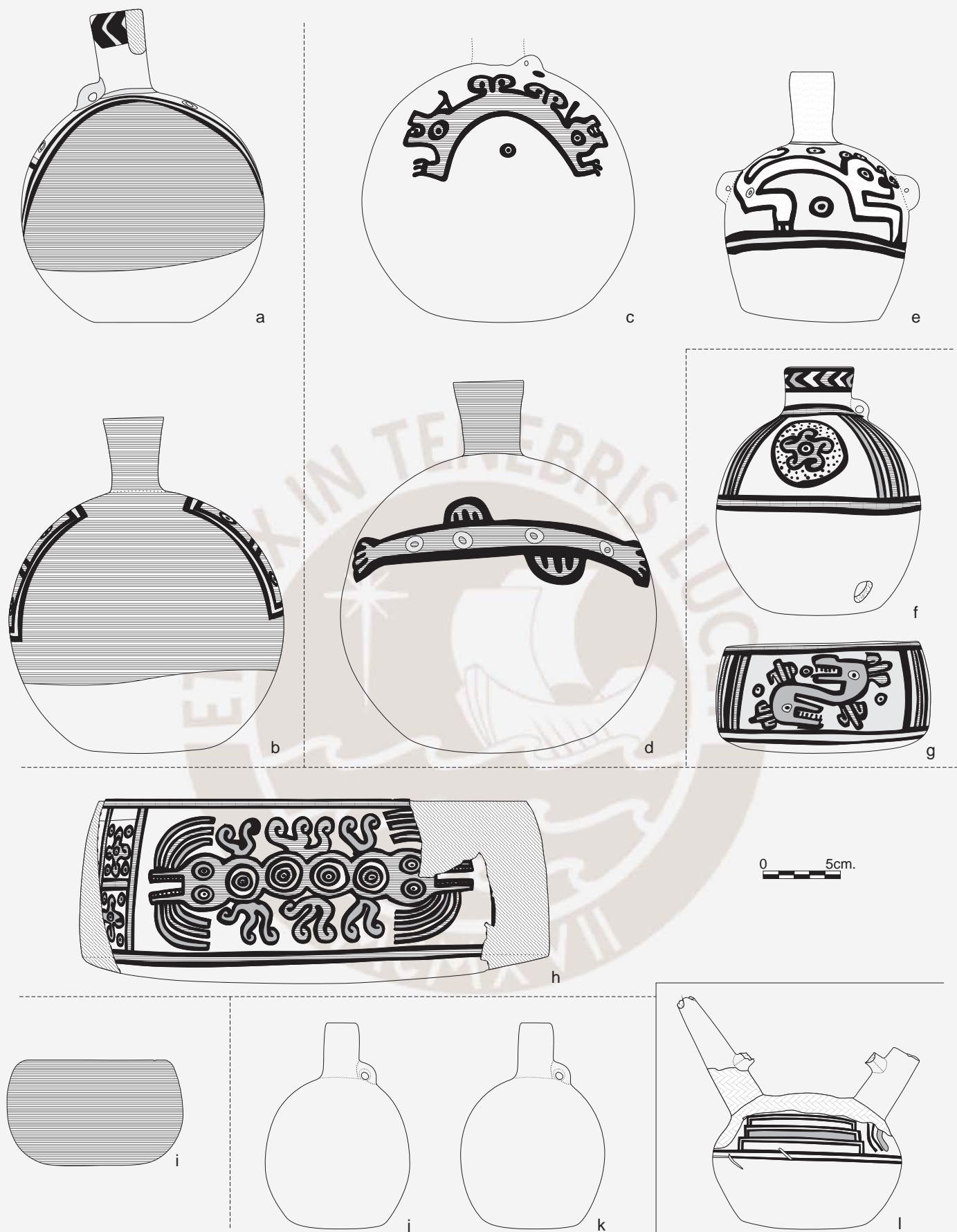


Fig. 4.145A. Estilo Chakipampa. Ch-1: a. 35-5294, b. CE-0143; Ch-2: c. 35-1496, d. CE-0141, e. 35-1020; Ch-3: f. 35-5759, g. CE-0166, Ch-4: h. CE-0172; Ch-5: i. CE-0128; Ch-6: j. CE-0027, k. CE-0028; Estilo Mochica: l. CE-0045 (lámina elaborada por el autor).

	Rótulo	Variante o tipo	Cat./subcat.	Código de forma y tecnología	Pasta
Ch-1	35-5294		BC-AAV	BC(C3)-Pxp1a2-AAV [Ba Sb] [Na-Br]	-
	CE-0143		BC	BC(C3)-Pd3a1 [Bd Sg] [Na-P]	-
Ch-2	35-1496		BC	BC(C3)-Pd3a1 [Bd SNi] [Na-Br]	1b
	CE-0141		BC	BC(C3)-Pd3a1 [Bd Sf] [Na-Al]	-
	35-1020		B-AAV	B(C3)-Pp2-AAV [Bd Sg] [Na-P]	-
Ch-3	35-5759		MC-AAV	MC(C1)-Cp3a-AAV [Bd Sb] [Na-P]	-
	CE-0166		Cu	Cu3b1 [Bd-Sf] [Na-P] [Na-P]	-
Ch-4	CE-0172		Cu	Cu3b2 [Bd-Sd] [Na-P]	-
Ch-5	CE-0128		Cu	Cu3a1 [Ba-Sf] [Na-P]	2
Ch-6	CE-0027		MB-AAV	MB(C2)-Pc2c-AAV [Bd Sg] [Na-P]	1a
	CE-0028		MB-AAV	MB(C2)-Pc2c-AAV [Bd Sc] [Na-P]	-
Mochica	CE-0045		B-APC-PP	B(C1)-APC-PP(Pc2a) [Bd SNi] [R-P]	-

Cód. morfodec.	Rótulo	Cat./subcat.	Cuello/pico		Asa	Cuerpo
			Borde			
Ch-1	35-5294	BC-AAV	Ch3		CCB-Ch	Ch14a2 + Ch1 (panel); CCR-Ch
	CE-0143	BC		CCR-Ch		Ch15 + Ch1 (panel); CCR-Ch
Ch-2	35-1496	BC		SDP		Ch17a5; Ch4
	CE-0141	BC		CCR-Ch		Ch12
	35-1020	B-AAV		CCR-Ch	SDP	Ch17a3; Ch4; Ch1
Ch-3	35-5759	MC-AAV	Ch3		SDP	Ch14a4 + Ch1 (panel); Ch2
	CE-0166	Cu				Ch8b2 + Ch1 (panel); Ch2; CCB-Ch
Ch-4	CE-0172	Cu				Ch16 + Ch1 (panel); Ch14a3 + Ch1 (panel)
Ch-5	CE-0128	Cu				CCR-Ch
Ch-6	CE-0027	MB-AAV		SDP	SDP	SDP
	CE-0028	MB-AAV		SDP	SDP	SDP
Mochica	CE-0045	B-APC-PP		SDP	No det.	M1

Fig. 4.145B. Códigos de forma y tecnología y diseños presentes en los elementos formales de las vasijas de los grupos del conjunto especial Chakipampa y el ejemplar del estilo Mochica (cuadros elaborados por el autor).

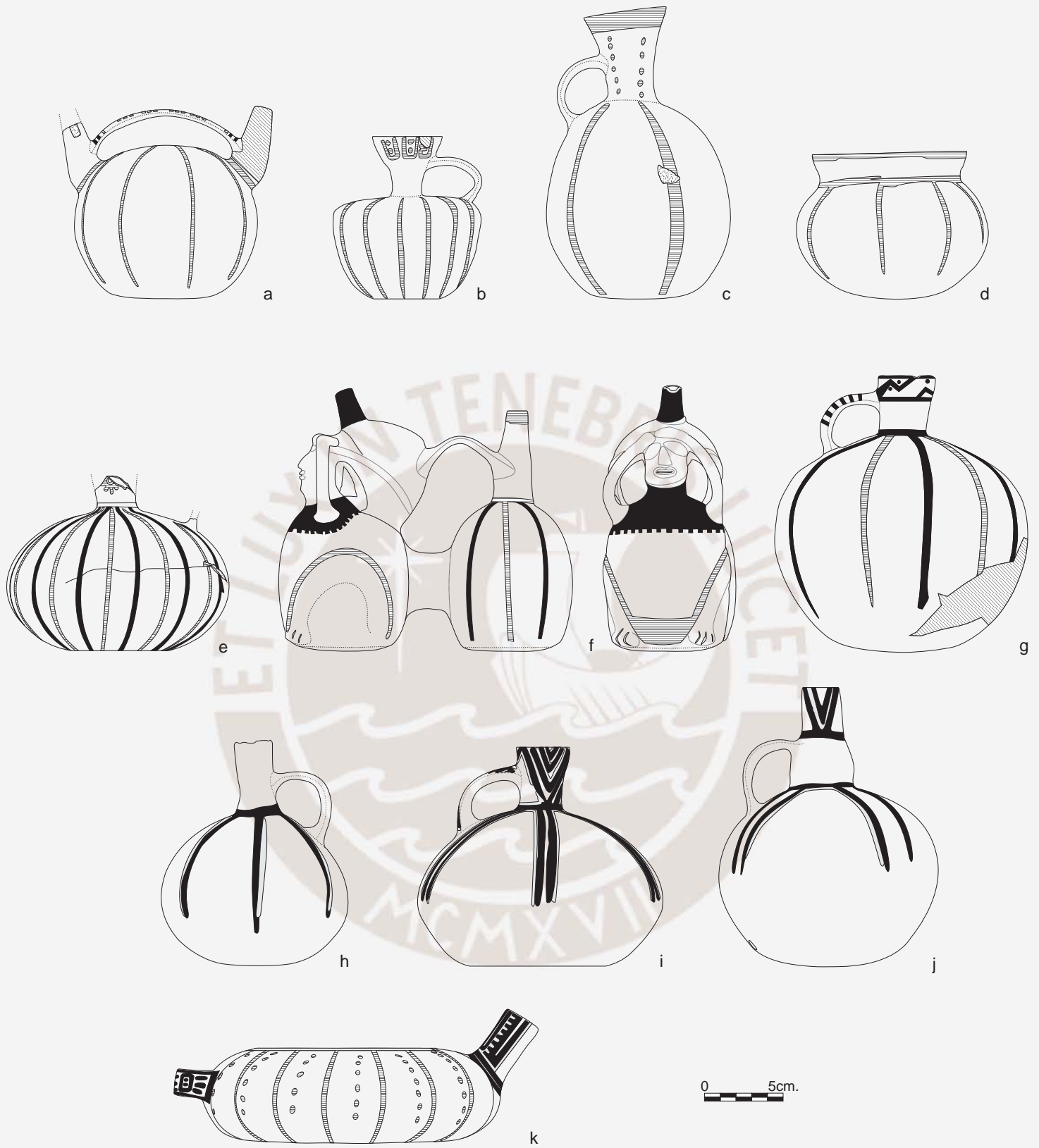


Fig. 4.146A. Formas nuevas del estilo Lima. Li-1: a. CE-0018, b. CE-0043, c. 35-1606, d. CE-0074, e. 35-1407, f. CE-0011, g. CE-0162, h. 35-6026, i. 35-5753, j. 35-1036, k. CE-0114 (lámina elaborada por el autor).

Rótulo	Variante o tipo	Cat./subcat.	Código de forma y tecnología	Pasta
CE-0018		B-APC-PP	B(C8)-APC-PP(Pc2e) [Ba Sc] [Na-P]	1a
CE-0043		B-ALCV	B(C8)-pxd2-ALCV [Ba Sb] [Na-P]	1a
35-1606		B-ALCV	B(C8)-Pd3a3-ALCV [Bd Sf] [Na-P]	2
CE-0074		MO-C	MO(C1)-Cd2a [Bd Sb] [Na-P]	-
35-1407	NI	B-ALCV	B(C8)-P(?) -ALCV [Ba Ni] [Na-P]	1a
CE-0011		B-APC-PC	B(C8)-APC-PC(Pc1a1) [Bd Sc] [Na-P]	-
CE-0162		B-ALCV	B(C1)-Pd1-ALCV [Bd Sb] [Na-P]	-
35-6026		B-ALCV	B(C8)-Pp1-ALCV [Bd Sa] [R-Br]	2
35-5753		B-ALCV	B(C1)-Pd2b-ALCV [Ba Sc] [R-P]	2
35-1036		B-ALCV	B(C1)-Pxc2-ALCV [Bd Sc] [Na-AI]	-
CE-0114		O-ALCH-Ve	O(C8)-ALCH-Vep1b [Ba-Sc Sb] [Na-P]	-

Cód. morfodec.	Rótulo	Cat./subcat.	Vertedera	Cuello/pico		Asa	Cuerpo
				Borde			
Li-1	CE-0018	B-APC-PP		L2a		L6e1	L1a1
	CE-0043	B-ALCV		L2g3		L2a; L1d1	L1a1
	35-1606	B-ALCV		L2a	L4a2	L1b1; L1b2	L1a1
	CE-0074	MO-C			L1a1		L1a1
	35-1407	B-ALCV		No det.		No det.	L1a1, L1a1
	CE-0011	B-APC-PC		L2a		L6j4; L1a2	L1a1, L1a1 + Li
	CE-0162	B-ALCV		L6j1		L1a1	L1a1, L1a1
	35-6026	B-ALCV		SDP		L1b1	L1b1
	35-5753	B-ALCV		L6i2		L1b2	L1b3
	35-1036	B-ALCV		L3m		L1b1	L1b3
	CE-0114	O-ALCH-Ve	L1f1; L1a2			L1a1; L2g1; L2g2	L1a1; L4a2

Fig. 4.146B. Códigos de forma y tecnología y diseños presentes en los elementos formales de las vasijas del conjunto de las formas nuevas del estilo Lima (Li-1) (cuadros elaborados por el autor).



Fig. 4.147A. Formas nuevas del estilo Lima. Li-1: a. CE-0020, b. CE-0030, c. 35-1596, d. 35-1035, e. CE-0069; Li-3A: f. CE-0066, g. 35-5027, Li-3B1: h. CE-0054, i. CE-0037, j. CE-0049, k. CE-0022 (lámina elaborada por el autor).



	Rótulo	Variante o tipo	Cat./subcat.	Código de forma y tecnología	Pasta
Li-1	CE-0020		B	B(C8)-Pp1 [Bd Sg] [Na-P]	1a
	CE-0030		B-ALCV	B(C8)-Pxp1d-ALCV [Ba Sf] [Na-P]	-
	35-1596	NI	B-APC-P?C	B(C8)-P(?) -APC-P?C [Ba Ni] [Na-P]	-
	35-1035		MB-ALCV	MB(C1)-Gd1-ALCV [Ba Sb] [Na-P]	-
	CE-0069		C	C(C5)-Cd3a1 [NO Sb] [R-Br]	-
Li-3A	CE-0066		B-ALCV	B(C1)-pd3-ALCV [Ba Sb] [R-AI]	-
	35-5027		B	B(C8)-Pp1 [Bd SNI] [R-AI]	-
Li-3B1	CE-0054		B-ALCV	B(C1)-Pxc3c-ALCV [Bf Sb] [Na-AI]	-
	CE-0037		B-ALCV	B(C1)-Pe2a1-ALCV [Be Sb] [Na-P]	2
	CE-0049		B-ALCV	B(C1)-pd3-ALCV [Ba Sb] [Na-AI]	-
	CE-0022		B-ALCV	MB(C1)-Pd2b-ALCV [Bd Sg] [Na-P]	-

Cód. morfodec.	Rótulo	Cat./subcat.	Gollete/pico/cuello	Asa	Cuerpo
Li-1	CE-0020	B	CCR-Li		L1a1; CCN-Li
	CE-0030	B-ALCV	CCN-Li	L6q2	L1a1
	35-1596	B-APC-P?C	CCR-Li	No det.	L1a1, L1a1 + No det.
	35-1035	MB-ALCV	CCR-Li	L1b1	L1a1; L1b2
	CE-0069	C	CCN-Li		L1b3
Li-3A	CE-0066	B-ALCV	SDP	SDP	L6v1
	35-5027	B	CCR-Li		L9d1; L1b3
Li-3B1	CE-0054	B-ALCV	L1b2; CCB-Li	L1b3	L5g
	CE-0037	B-ALCV	L4e	L1a2; L1a1	L5c1 + L1a2 (Ar panel); L4d
	CE-0049	B-ALCV	L6i2	L1b1	L6n + L2d1 (Ar panel); L4d
	CE-0022	MB-ALCV	L4a1; L4b1	L6II; L1a2	L6n + L1a2 (Ar panel)

Fig. 4.147B. Códigos de forma y tecnología y diseños presentes en los elementos formales de las vasijas de los grupos Li-1, Li-3A y Li-3B1 del conjunto de formas nuevas del estilo Lima (cuadros elaborados por el autor).



Fig. 4.148A. Formas nuevas del estilo Lima. Li-3B1: a. 35-1027, b. 35-1398; Li-3B2: c. CE-0038, d. CE-0041, e. 35-5435, f. 35-1408, g. 35-1509, h. 35-5025, i. 35-1028, j. 35-5431, k. CE-0023; Li-3C: l. CE-0042 (lámina elaborada por el autor).

	Rótulo	Variante o tipo	Cat./subcat.	Código de forma y tecnología	Pasta
Li-3B1	35-1027		B-ALCV	B(C1)-Pp2-ALCV [Bd Sc] [Na-P]	-
	35-1398		B-APC-PP	B(C8)-APC-PP(Pc1a1) [Bd Sc] [Na-P]	-
Li-3B2	CE-0038		B-ALCV	B(C1)-Pe2a3-ALCV [Bd Sb] [Na-P]	-
	CE-0041		MB-ALCV	MB(C1)-Pe2a2-ALCV [Ba Sb] [Na-Al]	-
	35-5435		MB-ALCV	MB(C1)-Pd1-ALCV [Ba Sc] [Na-P]	-
	35-1408		B-ALCV	B(C1)-Pd3a1-ALCV [Ba Sb] [Na-P]	2
	35-1509		B-ALCV	B(C1)-Pd3a1-ALCV [Ba Sa] [Na-Al]	2
	35-5025		B-ALCV	B(C1)-Pxp1a2-ALCV [Bd Sb] [Na-P]	1b
	35-1028		B-ALCV	B(C1)-Pxp1a1-ALCV [Ba Sh] [Na-P]	3
	35-5431		B-ALCV	B(C1)-Pd1-ALCV [Bf Sb] [Na-P]	2
	CE-0023		B-ALCV	B(C1)-Pxp1b-ALCV [Be Sb] [Na-P]	-
	Li-3C	CE-0042		MB-ALCV	MB(C1)-Gd2b-ALCV [Ba Sd] [Na-P]

Cód. morfodec.	Rótulo	Cat./subcat.	Gollete/pico		Asa	Cuerpo
			Borde			
Li-3B1	35-1027	B-ALCV	L6p1		L6g2; L1b2	L6n + L1b2 (Ar panel)
	35-1398	B-APC-PP	CCR-Li		No det.	L6ñ1 + L1b2 (Ar panel)
Li-3B2	CE-0038	B-ALCV	Li		L6m1; L1b2	L3e2; L3e3; L2c1
	CE-0041	MB-ALCV	L4e		L6d	L3f2
	35-5435	MB-ALCV	L2b1		No det.	L3f1; L8a2
	35-1408	B-ALCV	L1a2		L1a1	L5a + L4a1 + L1b2 (Ar panel); L9b1; L5c1
	35-1509	B-ALCV	L6p1		L1b2	L5c1 + L1a2 (Ar panel)
	35-5025	B-ALCV	L1a2		No det.	L5c1 + L1a1 (Ar panel); L1a2
	35-1028	B-ALCV	L1b2		L6ll; L1b2; L6p1	L6n + L1a2 (Ar panel); L9b4
	35-5431	B-ALCV	L2b1		L1b2	L6p1 + L1b2 (Ar panel)
	CE-0023	B-ALCV	CCR-Li	CCN-Li	L6ll; L1a2	L5a + L4a1 + L1a2 (Ar panel); L9b3
	Li-3C	CE-0042	MB-ALCV	L2a		L1a1

Fig. 4.148B. Códigos de forma y tecnología y diseños presentes en los elementos formales de las vasijas de los grupos Li-3B1, Li-3B2 y Li-3C del conjunto de formas nuevas del estilo Lima (cuadro elaborado por el autor).

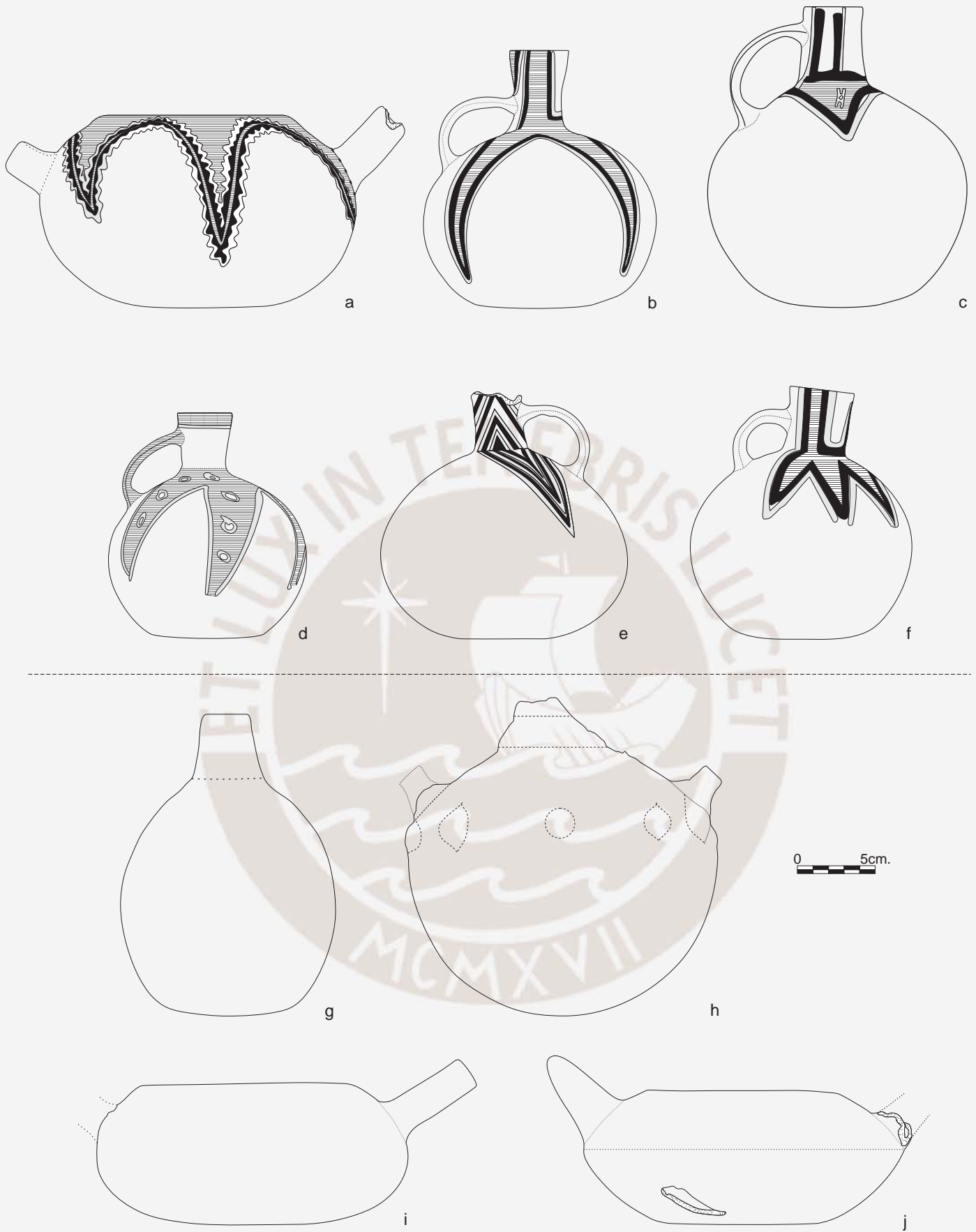


Fig. 4.149A. Formas nuevas del estilo Lima. Li-4: a. CE-0113, b. 35-6025, c. 35-5296, d. 35-5695, e. CE-0068, f. CE-0051; Li-5: g. CE-0062, h. CE-0316, i. CE-0108, j. CE-0110 (lámina elaborada por el autor).

	Rótulo	Variante o tipo	Cat./subcat.	Código de forma y tecnología	Pasta
Li-4	CE-0113		O-ALCH	O(C1)-ALCH-Vep1a [Ba-Sb Sb] [R-AI]	-
	35-6025		B-ALCV	B(C1)-Pd2b-ALCV [Bd Sb] [R-AI]	-
	35-5296		B-ALCV	B(C1)-Pd1-ALCV [Bd Sd] [R-AI]	2
	35-5695		B-ALCV	B(C1)-Pc1a1-ALCV [Bd Sb] [R-AI]	2
	CE-0068		B-ALCV	B(C1)-Pp3b1-ALCV [Ba SnI] [R-AI]	-
	CE-0051		B-ALCV	B(C1)-pp1-ALCV [Bd Sb] [R-AI]	-
Li-5	CE-0062		B	B(C2)-Pc2c [Bd Sc] [R-AI]	-
	CE-0316	NI	C-ALCH	C(C1)-Cxni-ALCH [Bb NI] [Mos-AI]	-
	CE-0108		T	T(C1)-Vep1a [Ba-Sb Sb] [Na-P]	-
	CE-0110	NI	T	T(C5)-Ve(?) [Be-Sb NI] [R-Br]	3

Cód. morfodec.	Rótulo	Cat./subcat.	Vertedera	Pico/cuello		Asa	Cuerpo
				Borde			
Li-4	CE-0113	O-ALCH-Ve	SDP			SDP	L3j2
	35-6025	B-ALCV			L2d2	L2d2	L3k1
	35-5296	B-ALCV		L2b1		L2b1	L3k2
	35-5695	B-ALCV			L1 no det.	L1b1	L3k3
	CE-0068	B-ALCV			L6i2	L1b2	L3l
	CE-0051	B-ALCV			L1b3	No det.	L9d3a
Li-5	CE-0316	C-ALCH		SDP		SDP	L4b2

Fig. 4.149B. Códigos de forma y tecnología y diseños presentes en los elementos formales de las vasijas de los grupos Li-4 y Li-5 del conjunto de formas nuevas del estilo Lima (cuadros elaborados por el autor).

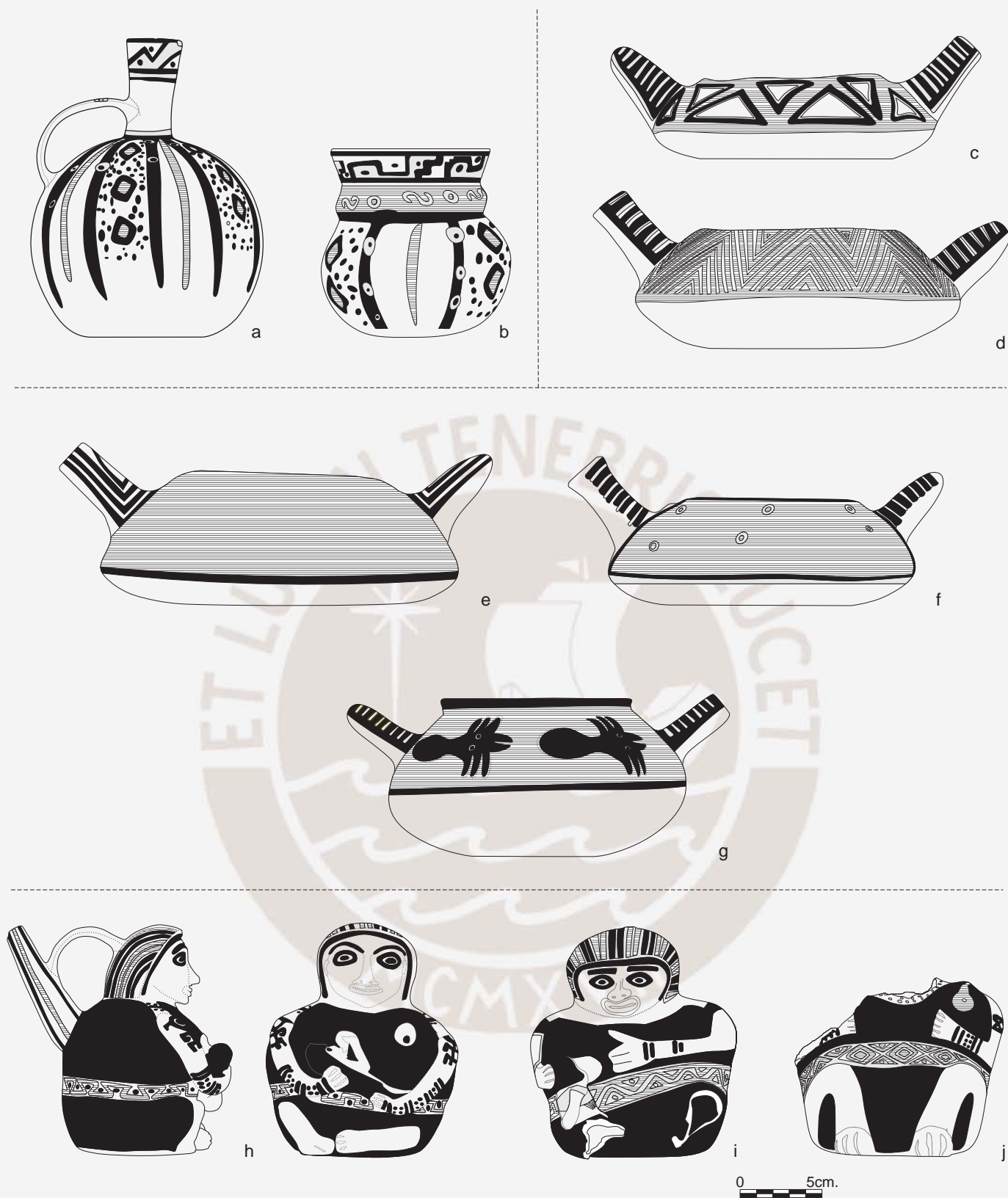


Fig. 4.150A. Formas nuevas del estilo Lima. Li-6: a. 35-5914, b. 35-5912; Li-7: c. 35-1536, d. CE-0104; Li-8: e. CE-0107, f. CE-0109, g. CE-0106; Li-9: h. MSP-412, i. CE-0004, j. CE-0008 (lámina elaborada por el autor).

	Rótulo	Variante o tipo	Cat./subcat.	Código de forma y tecnología	Pasta
Li-6	35-5914		B-ALCV	B(C8)-Pd3a1-ALCV [Ba Sg] [Na-P]	2
	35-5912		MO-C	MO(C8)-Cxp1 [Bd Sb] [Na-P]	-
Li-7	35-1536		T	T(C1)-Vec1 [Be-Alb Sb] [Na-P]	2
	CE-0104		T	T(C1)-Vec1 [Be-Sb Sc] [Na-P]	-
Li-8	CE-0107		T	T(C1)-Vep1a [Be-Sb Sb] [Na-Al]	-
	CE-0109		T	T(C1)-Vexp1 [Ba-Sb Sb] [Na-P]	-
	CE-0106		T	T(C1)-Vep1a [Bf-Sf Sb] [Na-P]	-
Li-9	MSP-412		B-APC-PC	B(C8)-APC-PC(Pc1a1) [Bd Sc] [Na-P]	-
	CE-0004	NI	B-APC-P?C	B(C8)-P(?)-APC-P?C [Ba Ni] [Na-P]	-
	CE-0008	NI	B-AP?-PC	B(C8)-P(?)-AP(?)-PC [Bd Ni] [Na-P]	2

Cód. morfodec.	Rótulo	Cat./subcat.	Vertedera	Pico/cuello		Asa/mango	Cuerpo
				Borde			
Li-6	35-5914	B-ALCV		L6j1		L1b2; L6m1	L1c; L5b; L4a1; L1a1
	35-5912	MO-C		L6p2; L2c4			L1c; L5b; L4a1; L1a1
Li-7	35-1536	T	L1b2			L1a1	L6f
	CE-0104	T	L1b1			L1b1	L6h
Li-8	CE-0107	T	L3a			L2g4	CCR-Li, L1a1
	CE-0109	T	L1b2			L1b2	L4c1; CCR-Li, L1a1
	CE-0106	T	L1b2			L1a1	L9b2; CCR-Li; L1a1
Li-9	MSP-412	B-APC-PC		L1a1, L1a1		L6m1	Li
	CE-0004	B-APC-P?C		No det.		No det.	Li
	CE-0008	B-AP?-PC		No det.		No det.	Li

Fig. 4.150B. Códigos de forma y tecnología y diseños presentes en los elementos formales de las vasijas de los grupos Li-6, Li-7, Li-8 y Li-9 del conjunto de formas nuevas del estilo Lima (cuadros elaborados por el autor).



Fig. 4.151A. Formas nuevas del estilo Lima. Casos únicos. a. 35-5303, b. CE-0024, c. 35-1030, d. CE-0033, e. 35-5756, f. CE-0082, g. CE-0099, h. 35-5430, i. 35-5713, j. CE-0019, k. 35-6057 (lámina elaborada por el autor).



Rótulo	Variante o tipo	Cat./subcat.	Código de forma y tecnología	Pasta
35-5303		MB-ALCV	MB(C8)-pp3-ALCV [Bd Sc] [Na-P]	-
CE-0024		MB-ALCV	MB(C1)-Pd3a1-ALCV [Ba Sc] [Na-P]	-
35-1030		O-C	O(C8)-Cd1a2 [Bf Sg] [Na-P]	-
CE-0033		B-ALCV	B(C1)-Pp3a-ALCV [Bd SNI] [Na-P]	-
35-5756		B-APC-PP	B(C8)-APC-PP(Pc1a1) [Ba Sc] [Na-P]	1a
CE-0082		MO-C	MO(C1)-Cd1a1 [Ba Sb] [Na-AI]	-
CE-0099		O-C	O(C8)-Cd3a2 [Ba Sb] [R-AI]	3
35-5430		B	B(C2)-Pp1 [Ba Sb] [R-AI]	-
35-5713		B	B(C8)-Pd2a [Bd SNI] [Na-AI]	2
CE-0019		B-APC-PP	B(C1)-APC-PP(Pe1) [Ba Sg] [Na-P]	-
35-6057		B-ALCV	B(C8)-Pd1-ALCV [Bd Sf] [Na-Br]	-

	Rótulo	Cat./subcat.	Pico/cuello		Asa	Cuerpo
			Borde			
Li-CU	35-5303	MB-ALCV	SDP		No det.	L1b1
	CE-0024	MB-ALCV	L2b1		L5f1	L5c1; L4a1; L1b2
	35-1030	O-C	L6l			L1c; CCR-Li
	CE-0033	B-ALCV	L1a2; L2a		L2a	L2a; L2a
	35-5756	B-APC-PP	SDP		No det.	L2a; L2a
	CE-0082	MO-C	L2f2; L2f2			L2e2
	CE-0099	O-C	SDP			L2d2
	35-5430	B	CCN-Li			L1b3; L2b2
	35-5713	B	CCN-Li			L2a; L2b2
	CE-0019	B-APC-PP	Li		L6h	L2a; L4a3; L1a1
	35-6057	B-ALCV	L6p1		L2d2	L2c3; L1b1; L9c1

Fig. 4.151B. Códigos de forma y tecnología y diseños presentes en los elementos formales de las vasijas del conjunto de casos únicos de las formas nuevas del estilo Lima (cuadros elaborados por el autor).



Fig. 4.152A. Formas nuevas del estilo Lima. Casos únicos. a. CE-0161, b. 35-1034, c. √/misc, d. 35-1007, e. CE-0103, f. CE-0001, g. 35-999, h. CE-0072, i. 35-1511, j. MSP-414, k. CE-0075, l. CE-0133 (lámina elaborada por el autor).

Rótulo	Variante o tipo	Cat./subcat.	Código de forma y tecnología	Pasta
CE-0161		O-C	O(C8)-Cd2d [Ni Sb] [R-P]	-
35-1034		B-ALCV	B(C8)-Pxp1c-ALCV [Ni Sb] [Na-Br]	2
V4/misc		MB-ALCV	MB(C8)-Pxp1a1-ALCV [NO Sb] [Na-P]	-
35-1007		MB-ALCV	MB(C8)-Pd3a2-ALCV [Ba Sb] [R-P]	-
CE-0103		T	T(C1)-Vec1 [Be-Sb Sb] [Na-P]	-
CE-0001		B-APC-PP	B(C8)-APC-PP(Pc1a1) [Bg2 Sc] [Na-P]	-
35-999		B-APC-PP	B(C8)-APC-PP(Pc2b) [Ba Sc] [Na-P]	-
CE-0072		MO-C	MO(C8)-Cd1a2 [Ba Sb] [Na-P]	-
35-1511		MB-ALCV	MB(C8)-Pxp1a1-ALCV [Bd Sb] [Na-P]	-
MSP-414		MB-ALCV	MB(C8)-Pd3a1-ALCV [Bd Ni] [Na-P]	-
CE-0075		MO-C	MO(C1)-Cd3a2 [Bd Sb] [Na-Br]	-
CE-0133		V	Vp2a [Ba-Sc] [Na-P]	-

	Rótulo	Cat./subcat.	Vertedera	Gollete/cuello/pico		Asa/mango	Cuerpo	Base
				Borde				
Li CU	CE-0161	O-C			L6j1		L2b2; L5d1	
	35-1034	B-ALCV			SDP	L1f2; L1f2	L3n; L4d	
	V4/misc	MB-ALCV			No det.	L2a; L1d2	Li	
	35-1007	MB-ALCV		L2b1	L4a2	No det.	Li	
	CE-0103	T	L9b5; L4a1			L9b5; L4a1	L9b5; L4a1	
	CE-0001	B-APC-PP			SDP	L6m3	Li	CCR-Li
	35-999	B-APC-PP			L1a1	No det.	Li	
	CE-0072	MO-C			L6p2		L5f2	
	35-1511	MB-ALCV			L4a2	L1a1	L6c3; L5c2; L5c1	
	MSP-414	MB-ALCV			L1a2	L6ll; L1a2	L6p2-L6a1; L9a	
	CE-0075	MO-C			L7e		L6v3; L4a1 + L2b2 (Ar panel); L3c	
	CE-0133	V			L6s		SDP	

Fig.4.152B.Códigos de forma y tecnología y diseños presentes en los elementos formales de las vasijas del conjunto de casos únicos de las formas nuevas del estilo Lima (cuadros elaborados por el autor).



Fig. 4.153A. Formas nuevas del estilo Lima. Casos únicos: a. CE-0016, b. CE-0070, c. 35-1003, d. CE-0003, e. CE-2738, f. CE-0174, g. 35-5120, h. 35-6023, i. 35-1478 (lámina elaborada por el autor).

Rótulo	Variante o tipo	Cat./subcat.	Código de forma y tecnología	Pasta
CE-0016		B-APC-PP	B(C8)-APC-PP(Pp3b2) [Ba Sb] [Mcl-P]	-
CE-0070		O-C	O(C5)-Cd1a3 [Bd Sb] [R-P]	-
35-1003		B-APC-PC	B(C8)-APC-PC(Pc1a2) [NO Sc] [Na-P]	-
CE-0003		B-APC-PC	B(C8)-APC-PC(Pp3a) [Ba Sc] [Na-P]	-
CE-2738	NI	B-APC-P?C	B(C8)-P(?)-APC-P?C [NO NI] [Na-P]	-
CE-0174		B-APC-PP	B(C8)-APC-PP(Pc1a1) [NI SNI] [Na-P]	1a
35-5120		B-APC-PP	B(C8)-APC-PP(Pc1a1) [Bg3 Sc] [Na-P]	-
35-6023		MO-C	MO(C8)-Cd2a [Be Sb] [Na-P]	-
35-1478		B-APC-PP	B(C8)-APC-PP(Pc2b) [Bg1 Sc] [Na-P]	-

	Rótulo	Cat./subcat.	Pico/cuello	Asa	Cuerpo	Base
Li-CU	CE-0016	B-APC-PP	SDP	L1b2; L1g	L6t1	
	CE-0070	O-C	L6q3		L7d	
	35-1003	B-APC-PC	SDP	L9c2	Li	
	CE-0003	B-APC-PC	CCR-Li	L6j1	Li	
	CE-2738	B-APC-P?C	No det.	No det.	Li	
	CE-0174	B-APC-PP	CCR-Li	No det.	Ch14? / L4d	
	35-5120	B-APC-PP	CCR-Li	No det.	L9d3b / VeR7	CCB-Li
	35-6023	MO-C	L6b3		L2b3; L4a1	
	35-1478	B-APC-PP	L1a1	L5e	Ch5; CCB-Li; CCR-Ch	CCG-Li

Fig. 4.153B. Códigos de forma y decoración y diseños en los elementos formales de las vasijas del conjunto de casos únicos de las formas nuevas del estilo Lima (cuadros elaborados por el autor).



Fig. 4.154A. Estilo Nievería. Nie-1: a. 35-5709, b. 35-1402, c. CE-0047, d. 35-1438, e. 35-1018, f. 35-1019, g. 35-5289, h. CE-0100, i. 35-1535 j. CE-0111, k. CE-0102 (lámina elaborada por el autor).

Rótulo	Variante o tipo	Cat./subcat.	Código de forma y tecnología	Pasta
35-5709	-	O-ALCH	O(C1)-ALCH [Bf-Eeh] [Na-P]	2
35-1402	∫	B-APC-PPR	B(C6)-APC-PPR(Pc2b) [Bd Sf] [Na-P]	1a
CE-0047	∫	B-APC-PPR	B(C6)-APC-PPR(Pc1a1) [Bd Sc] [Na-P]	-
35-1438	∫	B-APC-PPR	B(C6)-APC-PPR(Pc2b) [Bd Sc] [Na-P]	1b
35-1018	∫	B-AAV	B(C3)-Pc2c-AAV [Ba Sb] [Na-P]	2
35-1019	∫	B-AAV	B(C3)-Pc2c-AAV [Ba Se] [Na-P]	-
35-5289	∫	B-AAV	B(C4)-Pp2-AAV [Bd Sc] [Na-P]	-
CE-0100	∫	T	T(C1)-Vec1 [Bf-Sc Sc] [Na-P]	-
35-1535	∫	T	T(C5)-Vec1 [Bf-Eeh Sc] [Na-P]	4
CE-0111	Ni	T	T(C5)-Ve(?) [Bf-Eeh Ni] [Na-P]	2
CE-0102	∫	T	T(C1)-Vec1 [Ba-Sf Sc] [Na-P]	1a

Cod. morfodec.	Rótulo	Cat./subcat.	Labio	Vertedera	Pico		Asa/mango	Cuerpo
					Borde			
Nie-1a	35-5709	O-ALCH	L1a1				No det.	Ch6b + L1a1 (panel); L2e1
	35-1402	B-APC-PPR				CCR-Li	L1a2; L6II	L6o + L6p2 + L2b2 (panel); L2f1a
	CE-0047	B-APC-PPR				CCR-Li	L6p2	VeR3 + L2b2 (panel); L2f1a
	35-1438	B-APC-PPR				CCR-Li	No det.	HiR4 + L2b2 (panel); CCR-Li
	35-1018	B-AAV				CCN-Li		Ch8a1 + L1a1 (panel); L2e1
	35-1019	B-AAV				CCN-Li		Ch8a1 + L1a1 (panel); L2e1
	35-5289	B-AAV				L6 no det.	CCR-Li	Ch10 + L2b2 (panel); L2b2
	CE-0100	T	CCN-Li	CCN-Li			CCN-Li	Ch17a8 + L1a1 (panel); L2b2
	35-1535	T	CCR-Li	L2a			L2a	Ch14a2 + L1a1 (panel); L2e1
	CE-0111	T	CCR-Li	No det.			No det.	Ch8a3 + L1a1 (panel); Ch17a4 + L1a1 (panel); L2e1
CE-0102	T		L2b2			L2b2	Ch14a2; L2e1	

Fig. 4.154B. Códigos de forma y decoración y diseños presentes en los elementos formales de las vasijas del grupo Nie-1a del estilo Nievería (cuadros elaborados por el autor).

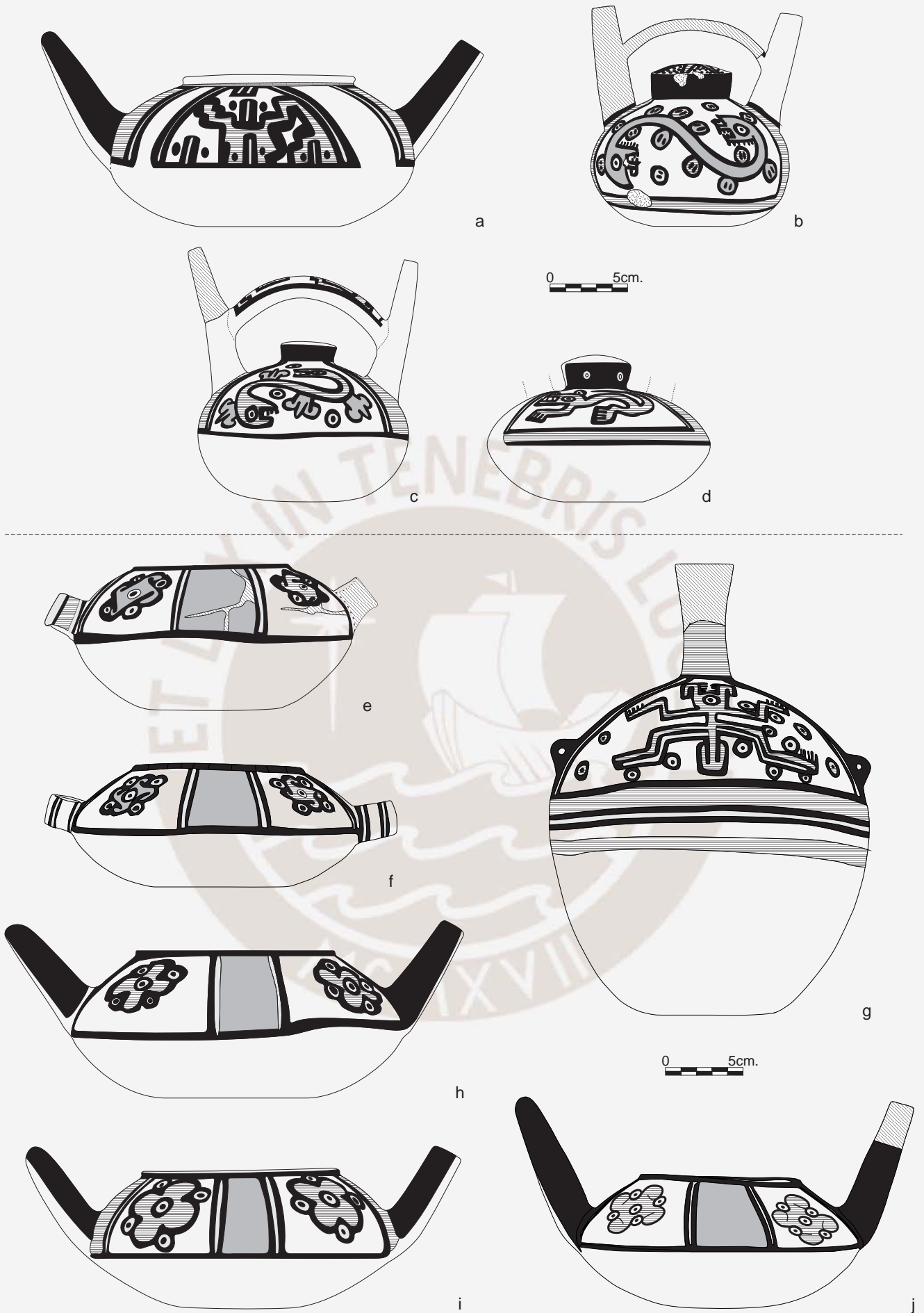


Fig. 4.155A. Estilo Nievería. Nie-1a: a. CE-0105, b. 35-1455, c. CE-0017, d. 35-1404; Nie-1b: e. CE-0112, f. 35-1023, g. 35-1017, h. 35-5710, i. 35-1534, j. 35-1022 (lámina elaborada por el autor).



	Rótulo	Variante o tipo	Cat./subcat.	Código de forma y tecnología	Pasta
Nie-1a	CE-0105		T	T(C1)-Vec1 [Ba-EEh Sc] [Na-P]	-
	35-1455		B-APC-PP	B(C8)-APC-PP(Pc1a1) [Ba Sd] [Na-P]	2
	CE-0017		B-APT-PP	B(C8)-APT-PP(Pc1a2) [Bf Sc] [Na-P]	-
	35-1404	NI	B-AP?-PP	B(C8)-AP(?)-PP(?) [Ba SNI] [Na-P]	-
Nie-1b	CE-0112	-	O-ALCH	O(C1)-ALCH [Ni-Sc] [Na-P]	-
	35-1023	-	O-ALCH	O(C1)-ALCH [Ba-EEh] [Na-P]	-
	35-1017		B-AAV	B(C4)-Pxc3a-AAV [Ba EENI] [Na-P]	-
	35-5710		T	T(C1)-Vec1 [Ba-EEh Sc] [Na-P]	-
	35-1534		T	T(C1)-Vep1a [Ba-EEh Sg] [Na-P]	-
	35-1022		T	T(C1)-Vec1 [Bc-EEc SNI] [Na-P]	-

Cod. morfodec.	Rótulo	Cat./subcat.	Labio	Vertedera	Pico		Asa/mango	Cuerpo
					Borde			
Nie-1a	CE-0105	T	CCR-Li	L2a			L2a	L6ñ2; L2e1
	35-1455	B-APC-PP				SDP	No det.	Ch8a2 + L2b2 (panel); L2b2; L9d2
	CE-0017	B-APT-PP				SDP	L6p2	Ch8a1 + L1a1 (panel); L2e1
	35-1404	B-AP?-PP				No det.	No det.	Ch17a1 + L2b2 (panel); L2e1
Nie-1b	CE-0112	O-ALCH					L1b2	Ch14a2 + L1a1 (panel); L2e1
	35-1023	O-ALCH	CCR-Li				L1b2	Ch14a2 + L1a1 (panel); L2e1
	35-1017	B-AAV			Ch3	CCR-Li		Ch18 + L2e1 (Ar panel); Ch17a6 + L2e1 (panel); L2a
	35-5710	T		L2a			L2a	Ch14a1 + L1a1 (panel); L2e1
	35-1534	T		L2a			L2a	Ch14a1 + L1a1 (panel); L2e1
	35-1022	T		L2a	L2a		L2a	Ch14a1 + L1a1 (panel); L2e1

Fig. 4.155B. Códigos de forma y decoración y diseños presentes en los elementos formales de las vasijas de los grupos Nie-1a y Nie1b del estilo Nievería (cuadros elaborados por el autor).

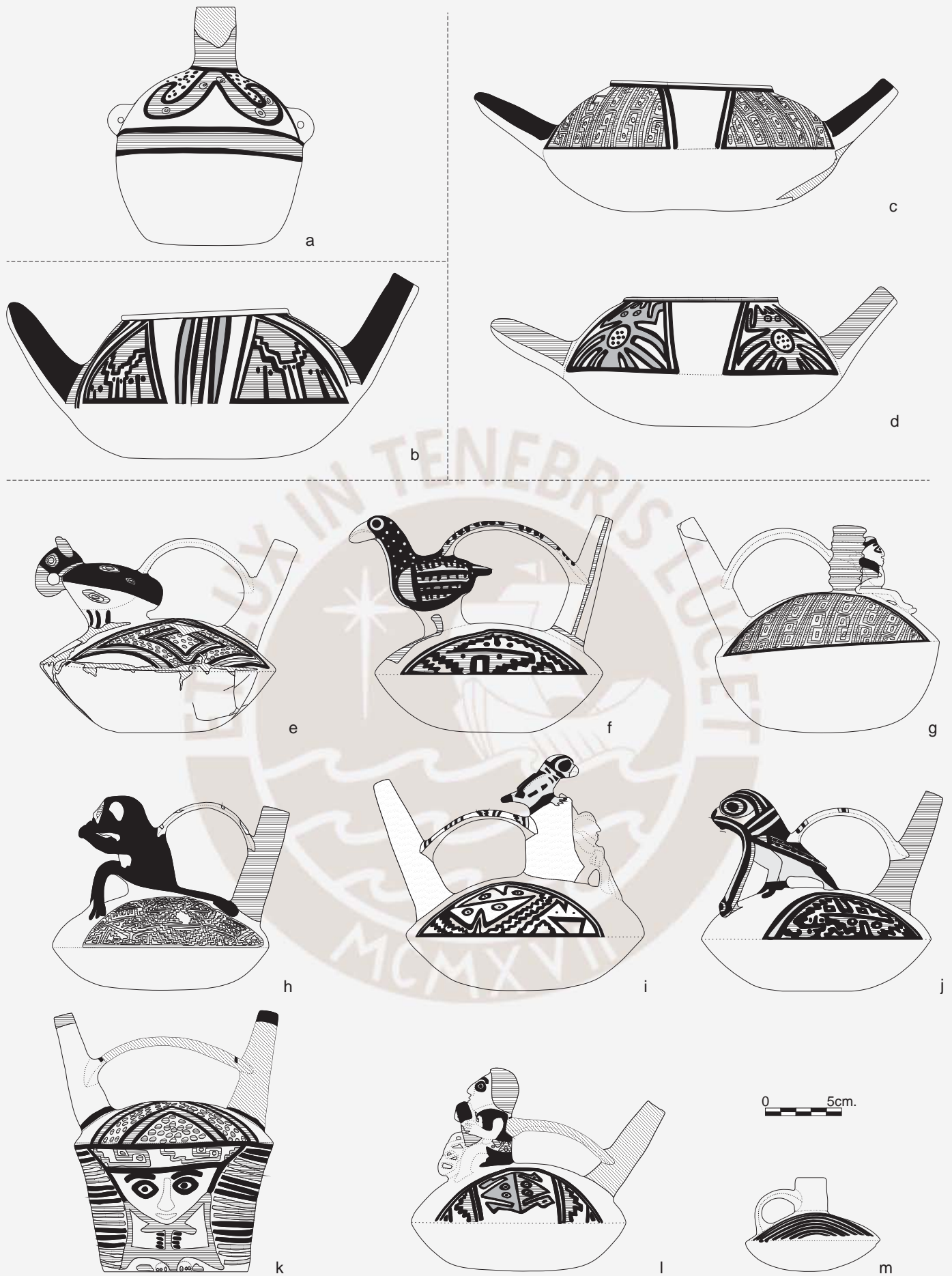


Fig. 4.156A. Estilo Nievería. Nie-1c: a. 35-1499; Nie-1d: b. CE-0101; Nie-1e: c. CE-0160, d. 35-1021; Nie-2: e. 35-1472, f. CE-0014, g. CE-0015, h. CE-0013, i. 35-1454, j. CE-0154, k. 35-1010, l. 35-998, m. CE-0025 (lámina elaborada por el autor).

	Rótulo	Variante o tipo	Cat./subcat.	Código de forma y tecnología	Pasta
Nie-1c	35-1499		B-AAV	B(C3)-Pp2-AAV [Bd Sc] [Na-P]	-
Nie-1d	CE-0101		T	T(C1)-Vep1a [Ba-Sf Sc] [Na-P]	-
Nie-1e	CE-0160		T	T(C1)-Vec1 [NI-EEh Sc] [Na-P]	-
	35-1021		T	T(C5)-Vec1 [Ba-EEh SNI] [Na-P]	1a
Nie-2	35-1472		B-APC-PPR	B(C5)-APC-PPR(Pc1a1) [Ba Sg] [Na-P]	-
	CE-0014		B-APC-PPR	B(C5)-APC-PPR(Pc2b) [Be Sc] [Na-P]	3
	CE-0015		B-APC-PPR	B(C5)-APC-PPR(Pc1a1) [Bd Sc] [Na-P]	1a
	CE-0013		B-APC-PPR	B(C5)-APC-PPR(Pp1) [Bd Sc] [Na-P]	-
	35-1454		B-APC-PPR	B(C5)-APC-PPR(Pc2b) [Bd Sc] [Na-P]	-
	CE-0154		B-APC-PPR	B(C5)-APC-PPR(Pc2b) [Ba Sc] [Na-P]	-
	35-1010		B-APC-PP	B(C5)-APC-PP(Pc1a1) [Ba Sc] [Na-P]	-
	35-998	NI	B-AP?-PPR	B(C5)-AP(?)-PPR(?) [Ba SNI] [Na-P]	-
	CE-0025		MB-ALCV	MB(C5)-pp1-ALCV [Bb Sc] [Na-P]	1a

Cod. morfodec.	Rótulo	Cat./subcat.	Labio	Vertedera	Pico		Asa/mango	Cuerpo
					Borde			
Nie-1c	35-1499	B-AAV				CCR-Li		Ch7 + L2b2 (panel); L2f1b + L1d1
Nie-1d	CE-0101	T		L2a			L2a	L6ñ2 + Ch2; L2e1
Nie-1e	CE-0160	T	CCR-Li	L2a			L2a	L6q1 + L1a2 (Ar panel)
	35-1021	T	CCR-Li	L2a			L2a	HiR2 + L1a2 (Ar panel)
Nie-2	35-1472	B-APC-PPR				SDP	L6q1	L5h
	CE-0014	B-APC-PPR				L1a1	L1b2; L1e; CCR-Li	L6ñ1 (Ar panel)
	CE-0015	B-APC-PPR				SDP	L6g1	L6p1 (Ar panel)
	CE-0013	B-APC-PPR				CCR-Li	L6m1	L6o (Ar panel)
	35-1454	B-APC-PPR				CCR-Li	L1b2; L1e; CCR-Li	L6m2 + L6ñ1 (Ar panel)
	CE-0154	B-APC-PPR				CCR-Li	L1b2; L1e; CCR-Li	L6ñ1 (Ar panel)
	35-1010	B-APC-PP				L2a		L1a1, L1a1; L10b; L3d
	35-998	B-AP?-PPR				No det.	No det.	Ch13 + Ver5 + L1a1 (panel)
	CE-0025	MB-ALCV				SDP	L1a1	L1a1 (panel)

Fig. 4.156B. Códigos de forma y decoración y diseños presentes en los elementos formales de las vasijas de los grupos Nie-1c, Nie-1d, Nie-1e y Nie-2 del estilo Nievería (cuadros elaborados por el autor).

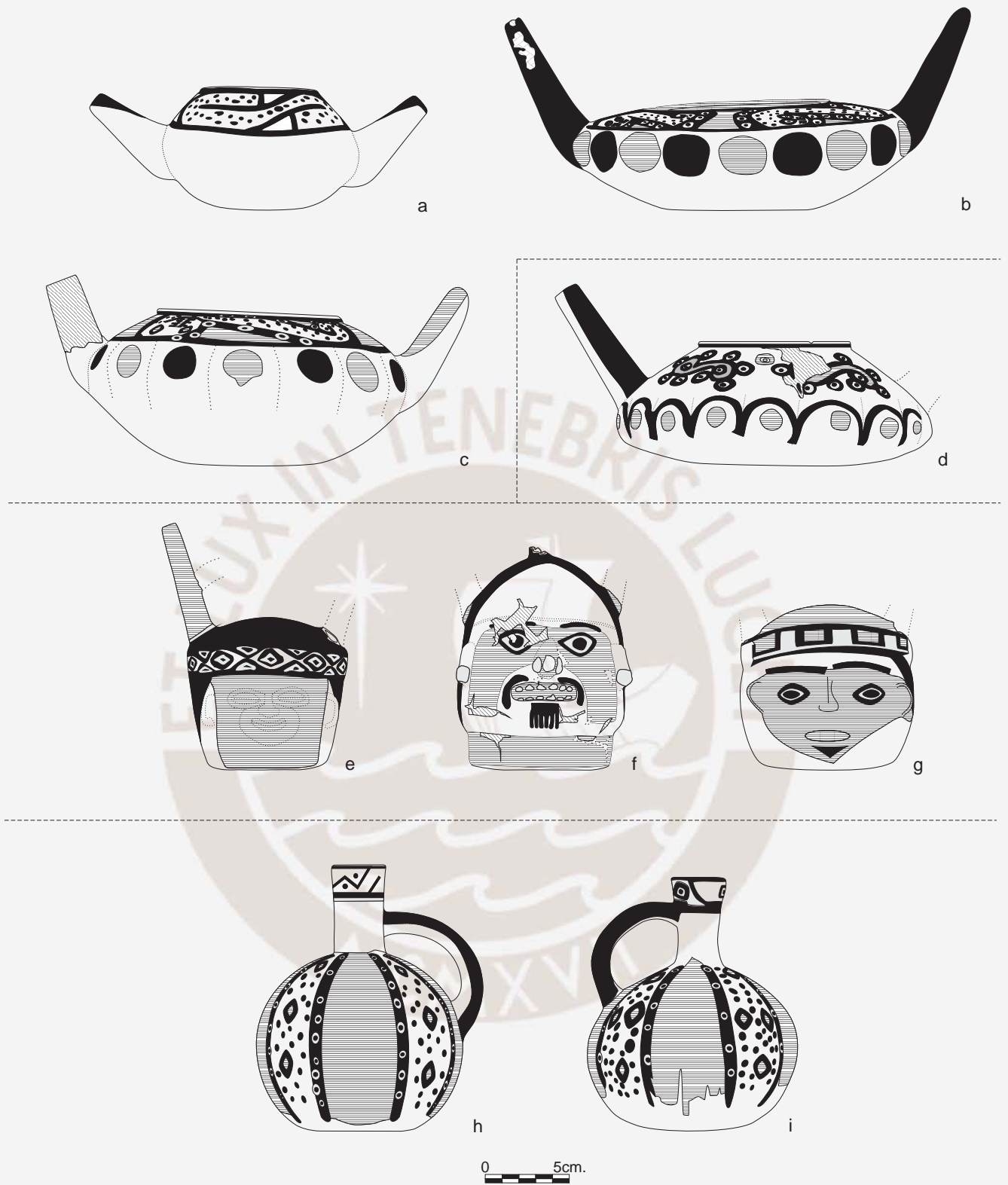


Fig. 4.157A. Estilo Nievería. Nie-3a: a. 35-5122, b. MSP-1047, c. CE-0159; Nie-3b: d. CE-0115; Nie-4: e. 35-1494, f. CE-0164, g. CE-0007; Nie-5: h. CE-0151, i. CE-0152 (lámina elaborada por el autor).

	Rótulo	Variante o tipo	Cat./subcat.	Código de forma y tecnología	Pasta
Nie-3a	35-5122	∫	MT	MT(C1)-Vec2 [Bd-EEh Sc] [Na-P]	-
	MSP-1047	∫	T	T(C1)-Vec1 [Be-EEh SNI] [Na-P]	-
	CE-0159	NI	T	T(C1)-Ve(?) [Bd-EEh SNI] [Na-P]	-
Nie-3b	CE-0115	∫	T	T(C1)-Vec1 [NI-Sg Sf] [Na-P]	-
Nie-4	35-1494	∫	B-APT-PP	B(C8)-APT-PP(Pc1a1) [Ba Sc] [Na-P]	1a
	CE-0164	NI	B-AP?-PP	B(C8)-AP(?) -PP(?) [Ba SNI] [Na-P]	-
	CE-0007	NI	B-AP?-PP	B(C8)-AP(?) -PP(?) [Bd SNI] [Na-P]	1a
Nie-5	CE-0151	∫	B-ALTV	B(C8)-Pp1-ALTV [Ba Sf] [Na-P]	-
	CE-0152	∫	B-ALTV	B(C8)-Pd3a1-ALTV [Bd Sd] [Na-P]	-

Cod. morfodec.	Rótulo	Cat./subcat.	Labio	Vertedera	Pico		Asa/mango	Cuerpo
					Borde			
Nie-3a	35-5122	MT	CCN-Li	L2a			L2a	Ch6c; L2b2
	MSP-1047	T	CCR-Li	CCN-Li			CCN-Li	Ch11a1; L2b2; L4b1; L4b2, L4b2
	CE-0159	T		L2a			L2a	Ch11a2; L2b2; L4b1; L4b2, L4b2
Nie-3b	CE-0115	T	CCR-Li	L2a			L2a	Ch6a; L4f; L4b2
Nie-4	35-1494	B-AP?-PP			No det.		No det.	Li
	CE-0164	B-AP?-PP			No det.		No det.	Li
	CE-0007	B-APT-PP			CCR-Li		No det.	Li
Nie-5	CE-0151	B-ALTV			L6 no det.		L2a	L1c + CCR-Li; L5b; L4a1
	CE-0152	B-ALTV			L6p2		L2a	L1c + CCR-Li; L5b; L4a1

Fig. 4.157B. Códigos de forma y decoración y diseños presentes en los elementos formales de las vasijas de los grupos Nie-3a, Nie-3b, Nie-4 y Nie-5 del estilo Nievería (cuadros elaborados por el autor).



Fig. 4.158A. Estilo Nievería. Casos únicos. a. CE-0006, b. 35-1492, c. 35-1493, d. 35-1004, e. CE-0140, f. CE-0012, g. 35-1005, h. 35-1478, i. 35-1013, j. CE-0127, k. 35-1490, l. 35-6022, m. CE-0165 (lámina elaborada por el autor).

	Rótulo	Variante o tipo	Cat./subcat.	Código de forma y tecnología	Pasta
Nievería Casos Únicos	CE-0006		B-AE	B(C8)-pe1a1-AE [Ba Sf] [Na-P]	1a
	35-1492		B-APT-PP	B(C8)-APT-PP(Pc1a1) [Ba Sc] [Na-P]	-
	35-1493		B-APT-PP	B(C8)-APT-PP(Pc1a1) [Ba Sc] [Na-P]	-
	35-1004	NI	B	B(C8)-P(?) [Ba Sb] [Na-P]	-
	CE-0140		B-ALCV	B(C5)-Pc1a1-ALCV [Bd Sc] [Na-P]	-
	CE-0012		B-ALTV	B(C8)-Pd1-ALTV [Ba Sg] [Na-P]	-
	35-1005		B-APT-PP	B(C8)-APT-PP(Pc1a2) [Ba Sc] [Na-P]	1a
	35-1013		V	Vp2b1 [Bc-Sb] [Na-P]	1a
	CE-0127		MP	MPx1 [Ba-Sb] [Be-P]	-
	35-1490	NI	B-AE	B(C8)-P(?) -AE [Ba SNi] [Na-P]	1a
Imitaciones	35-6022		BC	BC(C3)-Pd3a1 [Ba Sf] [R-Al]	-
	CE-0165		V	Vp2b2 [Bd-Sb] [Na-P]	-

	Rótulo	Cat./subcat.	Pico		Asa/mango	Cuerpo
			Borde			
Nie-CU	CE-0006	B-AE	Li		L6ll; L6j no det.	Li
	35-1492	B-APT-PP	CCR-Li		No det.	Li
	35-1493	B-APT-PP	CCR-Li		L6q4	Li
	35-1004	B	CCR-Li			Li
	CE-0140	B-ALCV	CCR-Li		CCR-Li	Ch17a7; L2b2
	CE-0012	B-ALTV	CCR-Li		L2a	L1a1; L1a1
	35-1005	B-APT-PP	SDP		L6q4	Li
	35-1013	V	L2b1			L3b1; L10a
	CE-0127	MP				L6q1; VeR4
	35-1490	B-AE	No det.		No det.	Li
	35-6022	BC	SDP			L9b7; L4c2, L4c3
	CE-0165	V	L1a1			CCR-Li

Fig. 4.158B. Códigos de forma y decoración y diseños presentes en los elementos formales de las vasijas del conjunto de casos únicos del estilo Nievería (cuadros elaborados por el autor).

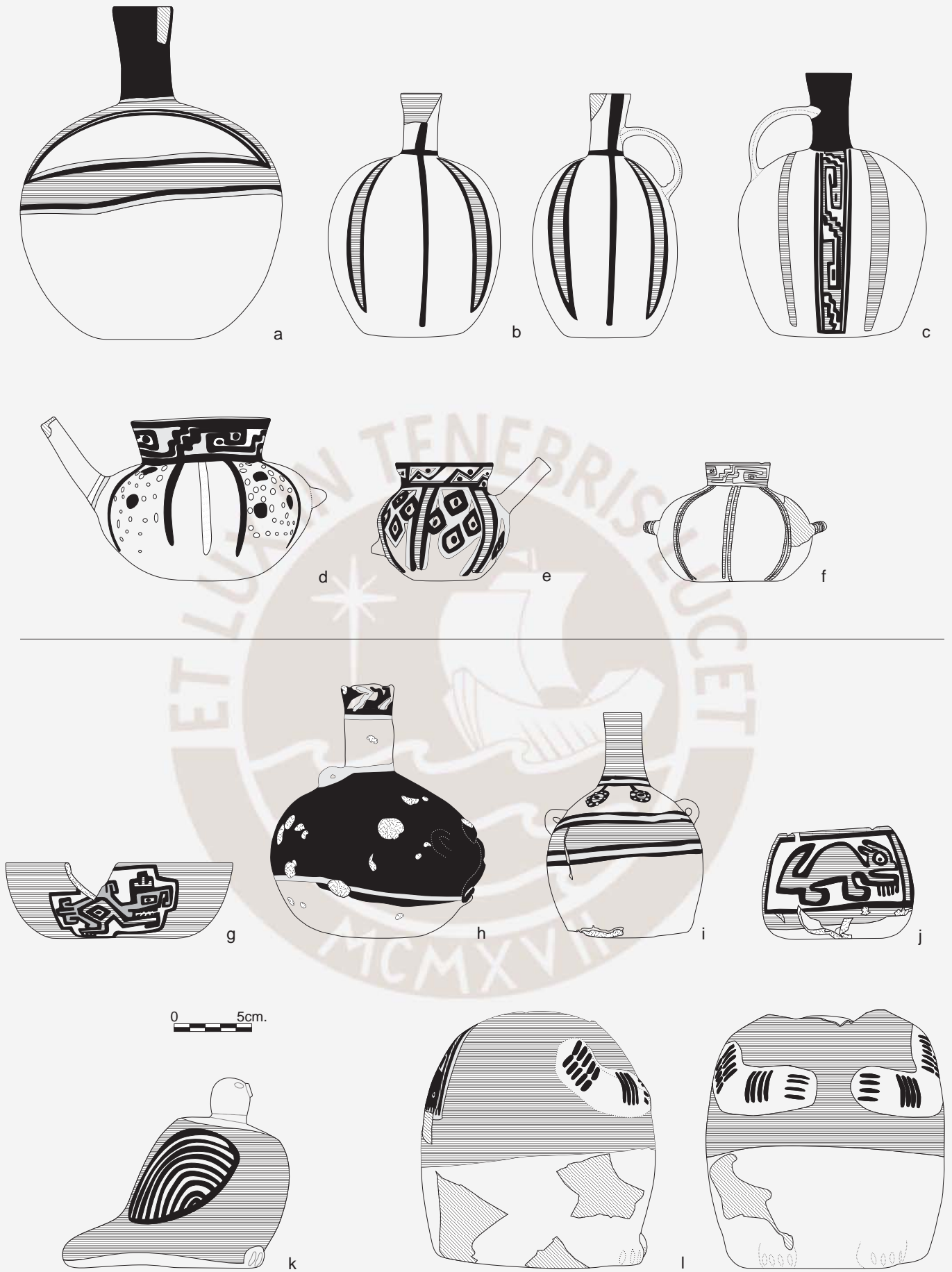


Fig. 4.159A. Piezas posiblemente del estilo Lima: a. 35-1038, b. CE-0029, c. CE-0144, d. 35-1024, e. CE-0158, f. CE-0157; piezas posiblemente del estilo Nievería: g. CE-0169, h. 35-6055, i. CE-0153, j. CE-0167; k. CE-0313, l. CE-0163 (lámina elaborada por el autor).



	Rótulo	Variante o tipo	Cat./subcat.	Código de forma y tecnología	Pasta
Posib. Lima	35-1038		B	B(C1)-Pd2b [Bd Sf] [Na-P]	2
	CE-0029		B-ALCV	B(C4)-Pd3a1-ALCV [Bd Sb] [Na-P]	-
	CE-0144		B-ALCV	B(C8)-Pd3a1-ALCV [Bd Sc] [Na-P]	-
	35-1024		MO-C-AAH-Ve	MO(C8)-Cd3a1-AAH-Vep1a [Bd Sf SNI] [Na-P]	-
	CE-0158		MO-C-AAH-Ve	MO(C8)-Cd3a1-AAH-Vep1a [Ba Sb Sc] [Na-AI]	-
	CE-0157		MO-C-AAH	MO(C8)-Cd1a1-AAH [NI Sf] [Na-P]	-
Posib. Nievería	CE-0169		P	P2a [Be-Sd] [Na-P]	1a
	35-6055		B-AAV	B(C8)-Pxp1a2-AAV [Bd Sb] [Na-P]	2
	CE-0153		MB	MB(C1)-Pp3a-AAV [Bd Sb] [Na-P]	1b
	CE-0167		Cu	Cu3b1 [Ba-Sd] [Na-P]	1a
	CE-0313	NI	BND	B(C8)-P(?) ND [Ba NI] [Na-P]	2
	CE-0163	NI	BND	B(C8)-P(?) ND [Bd NI] [Na-P]	1a

	Rótulo	Cat./subcat.	Vertedera	Pico/cuello		Asa/mango	Cuerpo
				Borde			
Posib. Lima	35-1038	B			CCN-Li		L2e1; L2d2
Posib. Lima	CE-0029	B-ALCV			L1a1	L6b2	L1a1; L2b2
Posib. Lima	CE-0144	B-ALCV			CCN-Li	L6c1; L1a2	L2a; L6q1
Posib. Lima	35-1024	MO-C-AAH-Ve	SDP		L6p2	SDP	L1a1; L1a1; L5a; L4a1
Posib. Lima	CE-0158	MO-C-AAH-Ve	SDP		L6j1	SDP	L2d2; L5c1
Posib. Lima	CE-0157	MO-C-AAH			L6p2	L1a2	L1a2
Posib. Nievería	CE-0169	P					Ch17a8; CCR-Li
Posib. Nievería	35-6055	B-AAV			Ch3	CCB-Li	Li
Posib. Nievería	CE-0153	MB-AAV			CCR-Li		L4g; L2e1
Posib. Nievería	CE-0167	Cu					Ch14a2 + L2b2 (panel); L2b2
Posib. Nievería	CE-0313	BND			No det.	No det.	Li
Posib. Nievería	CE-0163	BND			No det.	No det.	Li

Fig. 4.159B. Códigos de forma y decoración y diseños presentes en los elementos formales de las vasijas de posible atribución a los estilos Lima y Nievería (cuadros elaborados por el autor).



Fig. 4.160A. Piezas posiblemente del estilo Lima o Nievería. a. 35-5293, b. 35-1002, c. CE-0002, d. CE-0314, e. CE-0046, f. 35-1001, g. 35-1015, h. 35-1000, i. 35-1403; estilo no identificado: j. CE-0135 (lámina elaborada por el autor).

	Rótulo	Variante o tipo	Cat./subcat.	Código de forma y tecnología	Pasta
Lima o Nievería	35-5293	NI	B-AP?-PP	B(C1)-AP(?)-PP(?) [Bd SNI] [Na-P]	1b
	35-1002	NI	B-AP?-PP	B(C8)-AP(?)-PP(?) [Ba SNI] [Na-P]	-
	CE-0002	NI	B-AP?-PP	B(C8)-AP(?)-PP(?) [Ba SNI] [Na-P]	-
	CE-0314	NI	B-AP?-PP	B(C7)-AP(?)-PP(?) [Bd SNI] [NI]	2
	CE-0046	NI	B-AP?-PP	B(C7)-AP(?)-PP(?) [Bd SNI] [Na-P]	-
	35-1001	NI	B-AP?-PP	B(C8)-AP(?)-PP(?) [Ba SNI] [Na-P]	1b
	35-1015	NI	B-AP?-PP	B(C5)-AP(?)-PP(?) [Ba SNI] [Na-P]	1b
	35-1000	∫	B-AP?-PP	B(C8)-APC-PP(Pc1a2) [Bd SNI] [Na-P]	1a
	35-1403	NI	BND	B(C8)-P(?) ND [Bg4 NI] [Na-P]	1a
No det.	CE-0135	(	Cu	Cu3a2 [Ba-Sf] [Na-P]	-

	Rótulo	Cat./subcat.	Pico		Asa	Cuerpo	Base
			Borde				
Lima o Nie	35-5293	B-AP?-PP	No det.		No det.	L6e2; CCR-Li	
Lima o Nie	35-1002	B-AP?-PP	No det.		No det.	Li	
Lima o Nie	CE-0002	B-AP?-PP	No det.		No det.	Li	
Lima o Nie	CE-0314	B-AP?-PP	No det.		No det.	CCR-Li; CCN-Li / VeR1	
Lima o Nie	CE-0046	B-AP?-PP	No det.		No det.	L6q3; L9c1 / VeR1	
Lima o Nie	35-1001	B-AP?-PP	No det.		No det.	Li	
Lima o Nie	35-1015	B-AP?-PP	No det.		No det.	L6r; L4a1 / VeR6	
Lima o Nie	35-1000	B-APC-PP	No det.		No det.	Li / HiR	
Lima o Nie	35-1403	BND	No det.		No det.	No det.	Li
No determinado	CE-0135	Cu	L3i			CCR-Li	

Fig. 4.160B. Códigos de forma y tecnología y diseños presentes en los elementos formales de las vasijas que por estar incompletas no se pueden atribuir con certeza al estilo Lima o al Nievería (cuadro elaborado por el autor).

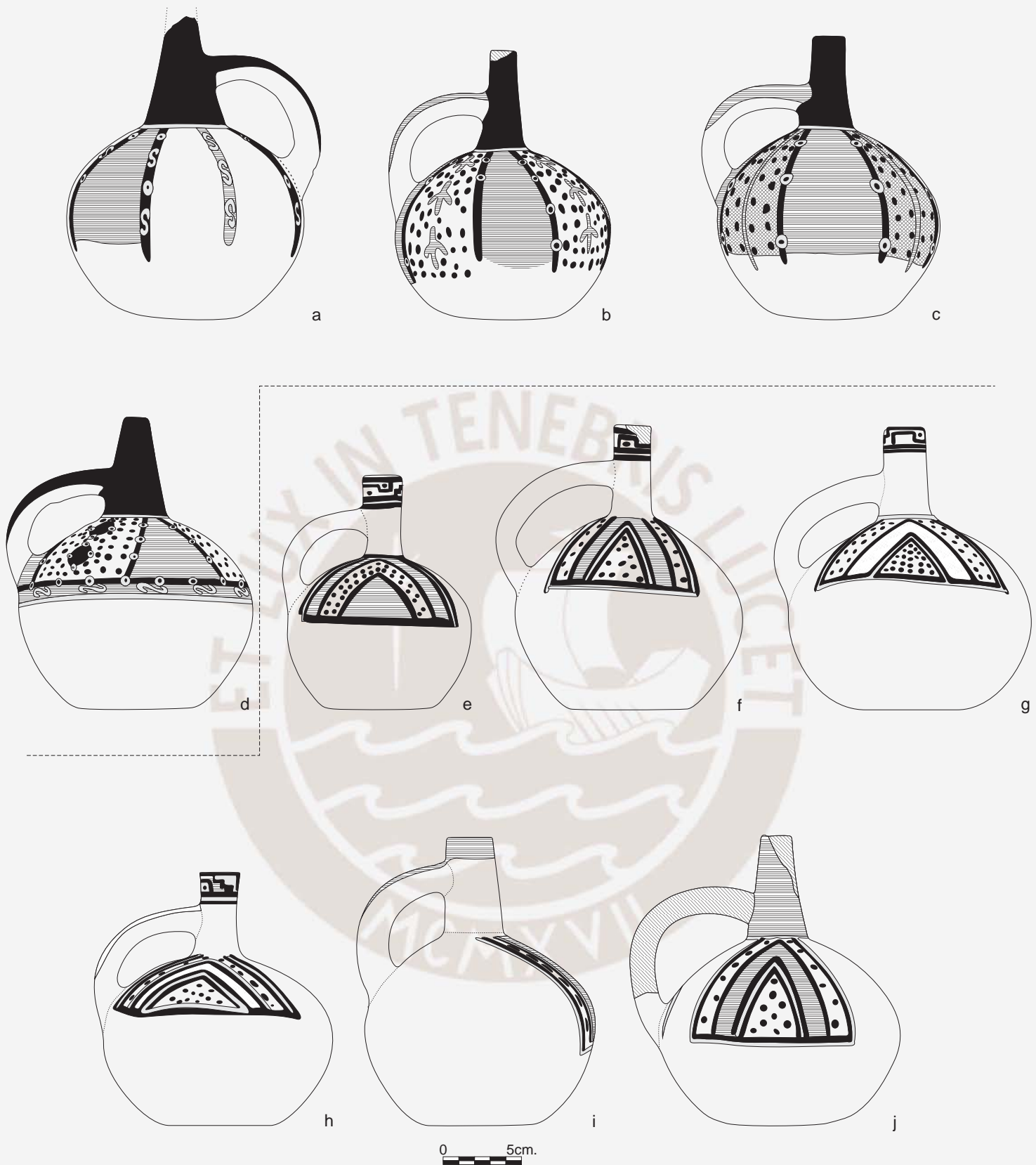


Fig. 4.161A. Estilo Pachacamac. Subgrupo A: a. 35-8844, b. 35-5587, c. 35-1456, d. 35-5290; subgrupo B: e. 35-1033, f. 35-5291, g. 35-5291, h. 35-5758, i. 35-5033, j. 35-5588 (lámina elaborada por el autor).

	Rótulo	Variante o tipo	Cat./subcat.	Código de forma y tecnología	Pasta
Subgrupo A	35-8844		B-ALTV	B(C1)-Pc1a3-ALTV [Ba SNI] [Na-P]	3
	35-5587		B-ALTV	B(C1)-Pc3c1-ALTV [Bd Sc] [Na-P]	2
	35-1456		B-ALTV	B(C1)-Pc3c1-ALTV [Ba Sc] [Na-P]	-
	35-5290		B-ALTV	B(C1)-Pc1a3-ALTV [Ba Sc] [Mcl-P]	-
Subgrupo B	35-1033		B-ALTV	B(C1)-Pd1-ALTV [Ba Sg] [Na-P]	-
	35-5497		B-ALTV	B(C1)-Pp1-ALTV [Ba Sa] [Na-P]	2
	35-5291		B-ALTV	B(C1)-Pc3a-ALTV [Ba Sc] [Na-P]	-
	35-5758		B-ALTV	B(C1)-Pc3b-ALTV [Ba Sc] [Mcl-AI]	2
	35-5033		B-ALTV	B(C1)-Pc1a1-ALTV [Ba Sg] [Mcl-AI]	-
	35-5588		B-ALTV	B(C1)-Pc1a3-ALTV [Bd SNI] [Na-P]	-

Fig. 4.161B. Códigos de forma y tecnología de las vasijas correspondientes a los subgrupos A y B del conjunto de piezas del estilo Pachacamac (cuadro elaborado por el autor).

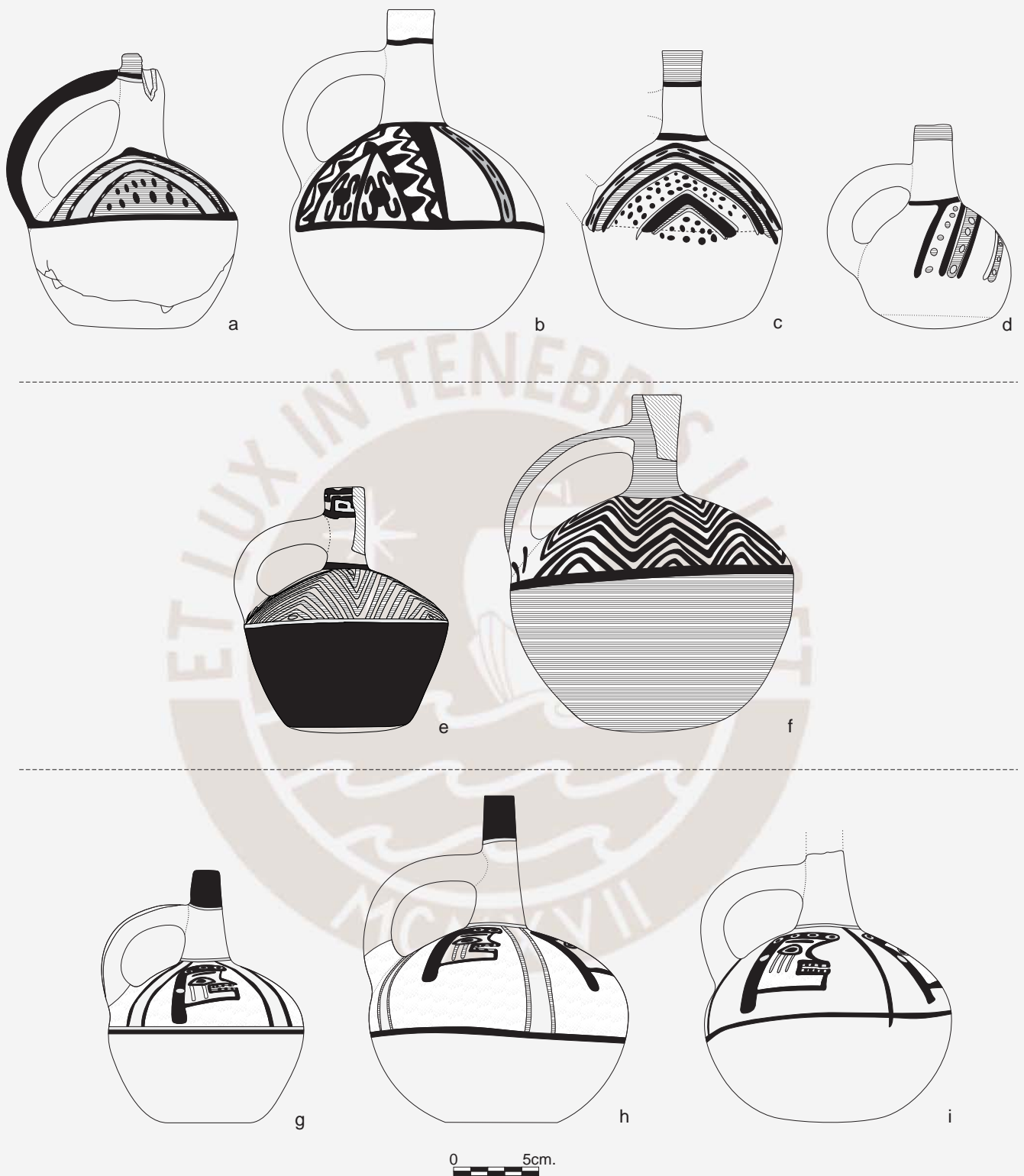


Fig. 4.162A. Estilo Pachacamac. Subgrupo B: a. 35-5498, b. 35-5234, c. 35-5031, d. 33-641; subgrupo C: e. 35-1032, f. 35-5760; subgrupo D: g. 35-5018, h. 35-5494, i. 35-5019 (lámina elaborada por el autor).

	Rótulo	Variante o tipo	Cat./subcat.	Código de forma y tecnología	Pasta
Subgrupo B	35-5498		B-ALTV	B(C5)-Pc3c1-ALTV [Bd Sg] [Mcl-P]	3
	35-5234		B-ALTV	B(C1)-Pc3c1-ALTV [Ba Sc] [Mcl-P]	-
	35-5031		B-ALTV	B(C5)-Pp1-ALTV [Bd Sc] [Mcl-P]	-
	33-641		B-ALTV	MB(C1)-Pp3a-ALTV [Bc Sb] [Mcl-AI]	-
Subgrupo C	35-1032		B-ALTV	B(C5)-Pd1-ALTV [Bd Sg] [Na-P]	-
	35-5760		B-ALTV	B(C5)-Pd1-ALTV [Bd SNI] [Na-P]	1a
Subgrupo D	35-5018		B-ALTV	B(C1)-Pc3c1-ALTV [Ba Sc] [Na-P]	-
	35-5494		B-ALTV	B(C1)-Pc3c1-ALTV [Ba Sc] [Na-P]	-
	35-5019		B-ALTV	B(C1)-Pc3c1-ALTV [Bd SNI] [Na-P]	2

Fig. 4.162B. Códigos de forma y tecnología de las vasijas correspondientes a los subgrupos B, C y D del conjunto de piezas del estilo Pachacamac (cuadro elaborado por el autor).

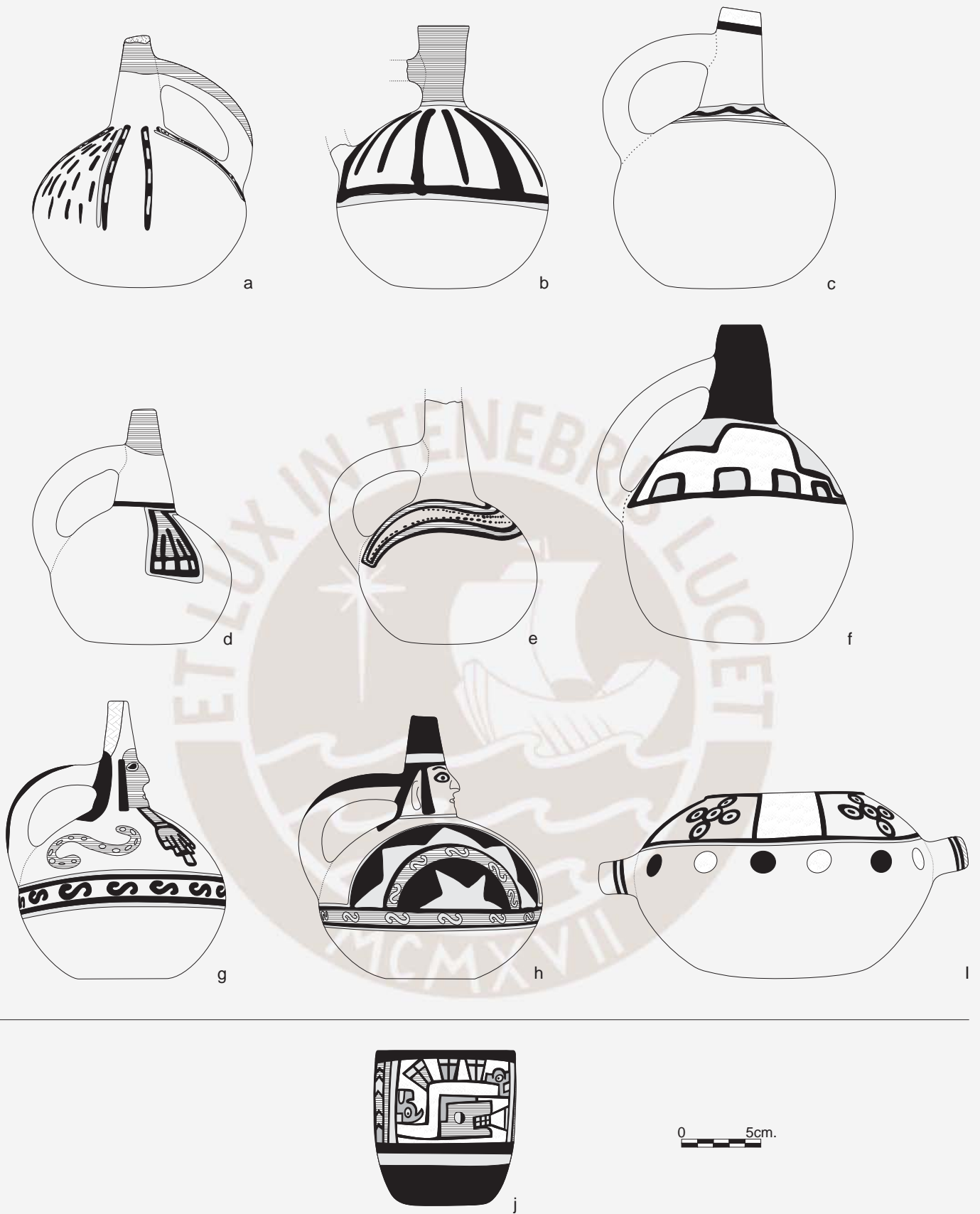


Fig. 4.163A. Estilo Pachacamac. Casos únicos: a. 35-5121, b. 35-8845, c. 35-5592, d. 35-5589, e. 35-5123, f. 35-1507, g. 35-5285, h. 35-8846, i. CE-0139; estilo Viñaque. j. CE-0136 (lámina elaborada por el autor).












	Rótulo	Variante o tipo	Cat./subcat.	Código de forma y tecnología	Pasta
Pachacamac Casos únicos	35-5121		B-ALTV	B(C1)-Pc1a3-ALTV [Bd SNi] [Mcl-P]	3
	35-8845		B-ALTV	B(C1)-Pd2a-ALTV [Bd Sb] [Na-P]	2
	35-5592		B-ALTV	B(C1)-Pc1a3-ALTV [Bd SNi] [Mcl-P]	3
	35-5589		B-ALTV	B(C1)-Pc2d-ALTV [Bd Sc] [Mcl-P]	3
	35-5123		B-ALTV	B(C1)-Pc3c1-ALTV [Bd SNi] [Na-P]	2
	35-1507		B-ALTV	B(C1)-Pc2c-ALTV [Bd Sc] [Mcl-P]	-
	35-5585		B-ALTV	B(C1)-Pce2-ALTV [Ba SNi] [Na-P]	4
	35-8846		B-ALTV	B(C1)-Pce1-ALTV [Ba SNi] [Na-P]	2
	CE-0139	-	O-ALCH	O(C1)-ALCH [Bd-EEh] [Na-P]	-
Viñaque	CE-0136		V	Vd2a [Ba-Sb] [Na-P]	-

Fig. 4.163B. Códigos de forma y tecnología y decoración de los elementos formales de las vasijas del conjunto de casos únicos del estilo Pachacamac y un caso del estilo Viñaque (cuadro elaborado por el autor).



Fig. 4.164A. E-PIW. Estilo Nievería E-PIW: a. CE-0009, b. 35-1479; posiblemente del estilo Nievería E-PIW: c. CE-0155; d. CE-0142, e. 35-5903; estilo no identificado: f. CE-0132, g. CE-0315, h. 35-5235; E-PPIW. Estilo Nievería E-PPIW: i. 35-999, j. CE-0005 (lámina elaborada por el autor).

	Rótulo	Variante o tipo	Cat./subcat.	Código de forma y tecnología	Pasta
Nievería E-PIW	CE-0009		B-ALCV	B(C8)-Pd3a1-ALCV [Ba Sf] [Na-P]	-
	35-1479	NI	B-AP?-PP	B(C5)-AP(?)-PP(?) [Ba SNI] [Na-P]	1b
Posib. Nievería E-PIW	CE-0155		B-APC-PPR	B(C5)-APC-PPR(Pc2b) [Ba Sc] [Na-P]	-
	CE-0142		B-AAV	B(C4)-Pc2c-AAV [Ni Sg] [Na-P]	-
	35-5903	NI	MB	MB(C8)-P(?) [Bd Sg] [Na-P]	-
No determinado E-PIW	CE-0132		V	Vd2b [Bd-Sb] [NI]	-
	CE-0315		O-C-ALCH	O(C1)-Cd1a1-ALCH [Bb Sb] [Mcl-Al]	-
	35-5235		B-APC-PP	B(C5)-APC-PP(Pc1a3) [Bf Sc] [Na-P]	-
Nievería E-PPIW	35-995		B	B(C8)-Pd3a1 [Ba Sg] [Na-P]	-
	CE-0005	NI	B	B(C8)-P(?) [Bf SNI] [Na-Br]	-

	Rótulo	Cat./subcat.	Pico/cuello		Asa	Cuerpo
			Borde			
Nievería E-PIW	CE-0009	B-ALCV	L2d2		L2d2; L4a2	Li
Nievería E-PIW	35-1479	B-AP?-PP	No det.		No det.	L6k; L1a1; L2a / Ch15
Posib. Nievería E-PIW	CE-0155	B-APC-PPR	CCR-Li		No det.	CCN-At; Ch8b2
Posib. Nievería E-PIW	CE-0142	B-AAV	Pach1; CCN-Li			Ch8b3 + L2b2 (panel); L2b2
Posib. Nievería E-PIW	35-5903	MB	CCR-Li			CCR-Li
No det. E-PIW	CE-0132	V	Ch15			CCR-Ch
No det. E-PIW	CE-0315	O-C-ALCH	SDP		SDP	SDP
No det. E-PIW	35-5235	B-APC-PP	CCN-Li		No det.	L2a; Ch9
Nievería E-PPIW	35-995	B	CCR-Li			P
Nievería E-PPIW	CE-0005	B	No det.			P-Li

Fig. 4.164B. Códigos de forma y tecnología y diseños presentes en los elementos formales de las vasijas del estilo Nievería PIW, de posible atribución a este estilo, no determinados del E-PIW y ejemplares del estilo Nievería E-PPIW (cuadros elaborados por el autor).

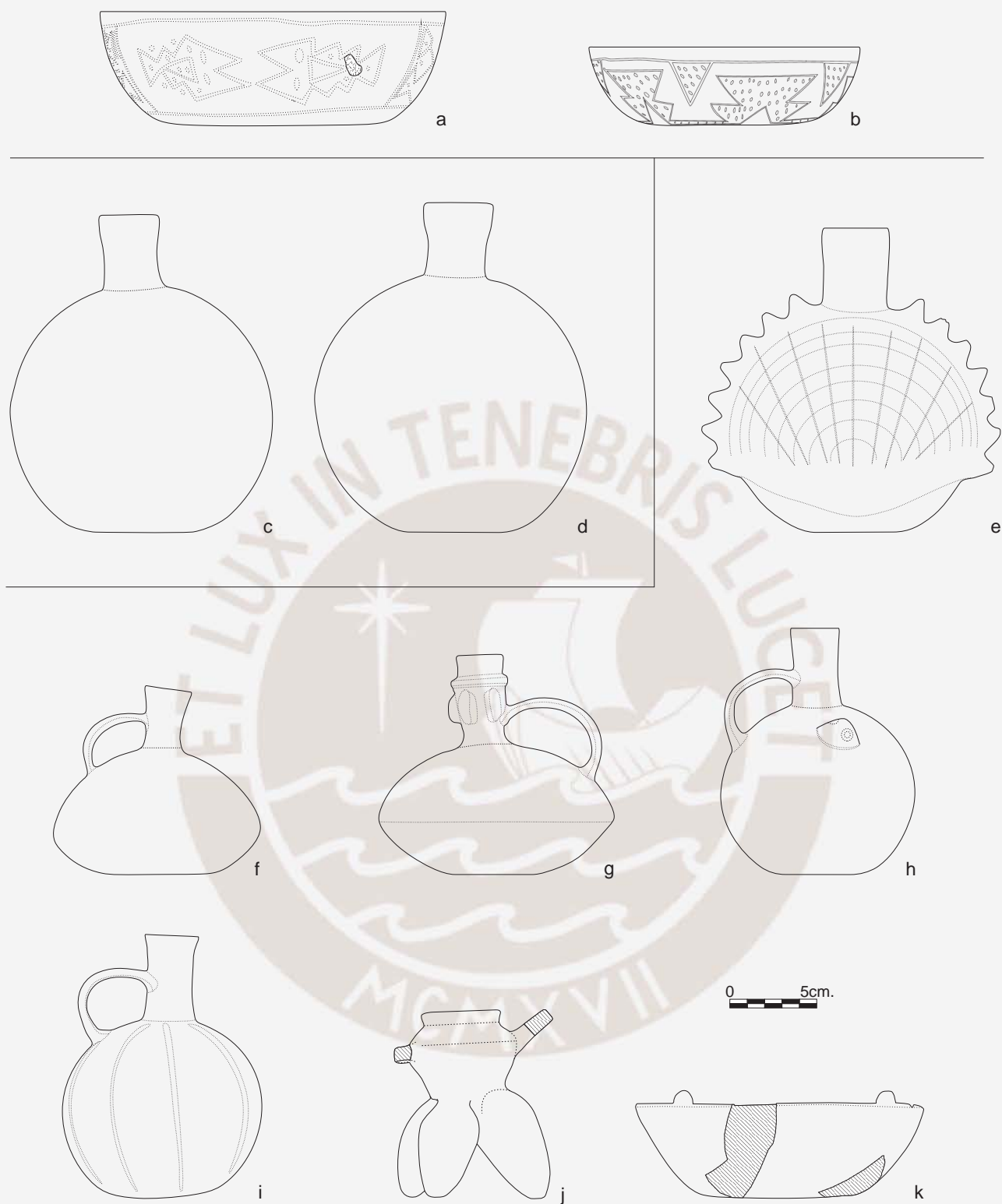


Fig. 4.165A. Cocción reductora. Estilo Lima: a. CE-0137, b. CE-0129; estilo Chakipampa: c. CE-0147, d. CE-0148; formas nuevas del estilo Lima: e. CE-0149, f. CE-0026, g. CE-0059, h. CE-0146, i. CE-0044, j. CE-0138, k. CE-0170 (lámina elaborada por el autor).

	Rótulo	Variante o tipo	Cat./subcat.	Código de forma y tecnología
Lima	CE-0137		P	P2a [Ni-Sb] [Ne-Br]
	CE-0129		P	P2a [Ba-Sb] [Ne-Br]
Chakipampa	CE-0147		BC	BC(C3)-Pd2b [Ba Sb] [Ne-P]
	CE-0148		BC	BC(C3)-Pd2b [Ba Sb] [Ne-P]
Formas nuevas Lima	CE-0149		B	B(C8)-Pp1 [Ba Sd] [Ne-Br]
	CE-0026		B-ALCV	B(C1)-Pd3a2-ALCV [Ba Sb] [Ne-P]
	CE-0059		B-ALCV	B(C5)-Pxd3-ALCV [Ba Sc] [Ne-Br]
	CE-0146		B-ALCV	B(C8)-Pp1-ALCV [Ba Sf] [Ne-P]
	CE-0044		B-ALCV	B(C8)-Pp3b2-ALCV [Bd Sg] [Ne-Br]
	CE-0138		MO-C-AAA-Ve	MO(C8)-Cd1a1-AAH-Ve(?) [Bg3-Sb Ni] [Ne-Br]
	CE-0170		P	P1a [Be-Sd] [Ne-Br]

Estilo	Rótulo	Cat./subcat.	Vertedera	Pico	Asa	Cuerpo	Base
Lima	CE-0137	P				L9c3; L6v2	
	CE-0129	P				L6u	
Chakipampa	CE-0147	BC		SDP		SDP	
	CE-0148	BC		SDP		SDP	
Formas nuevas del estilo Lima	CE-0149	B		SDP		SDP	
	CE-0026	B-ALCV		SDP	SDP	SDP	
	CE-0059	B-ALCV		SDP	SDP	SDP	
	CE-0146	B-ALCV		SDP	SDP	L9b8	
	CE-0044	B-ALCV		SDP	SDP	SDP	
	CE-0138	MO-C-AAH-Ve	SDP	SDP	SDP	SDP	SDP
	CE-0170	P				L9b6	

Fig. 4.165B. Vasijas de cocción reductora. Códigos de forma y tecnología y diseños presentes (en caso existan) en los elementos formales de las vasijas de los estilos Lima, Chakipampa, y del conjunto de piezas de las formas nuevas del estilo Lima (cuadros elaborados por el autor).

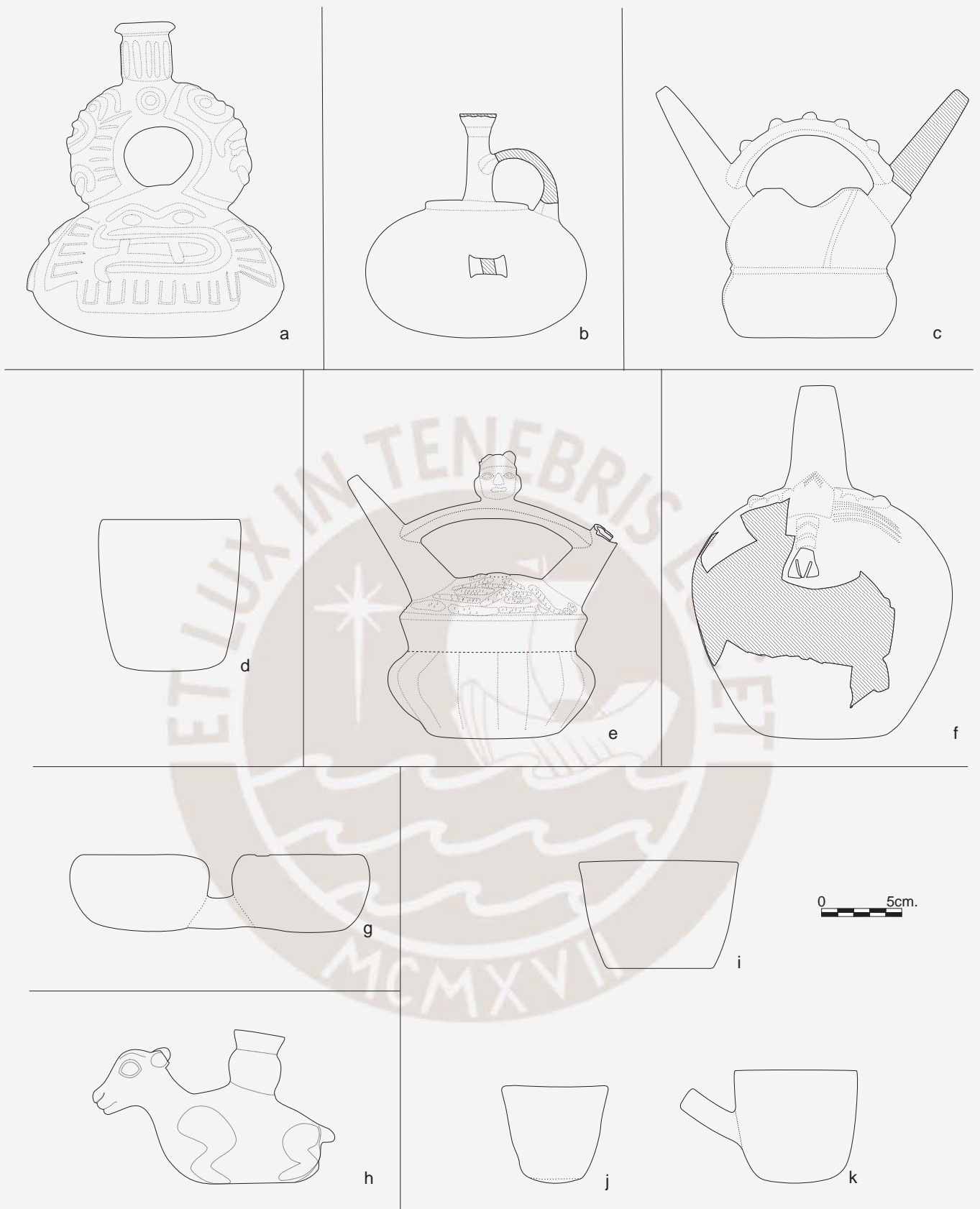


Fig. 4.166A. Cocción reductora. Estilo Nievería: a. MSP-71; pieza posiblemente del estilo Lima o Nievería: b. CE-0058; pieza posiblemente del estilo Mochica Polícromo: c. CE-2786; E-PIW. Estilo Viñaque: d. CE-0131; estilo Nievería E-PIW: e. CE-0156; f. CE-0145; estilo no identificado: g. CE-0130; E-PPIW. Estilo Nievería E-PPIW: h. CE-0010; estilo no identificado: i. CE-0168, j. 35-5055b, k. 35-5504 (lámina elaborada por el autor).

	Rótulo	Variante o tipo	Cat./subcat.	Código de forma y tecnología
Nievería	MSP-71		B-AE	B(C1)-pxp1-AE [Bd EEg] [Ne-P]
Lima o Nievería	CE-0058		B-ALCV	B(C8)-Pxc3b-ALCV [Bd SNI] [Ne-P]
Posib. Mochica Polícromo	CE-2786		B-APC-PP	B(C8)-APC-PP(Pc2a) [Ba Sc] [Ne-P]
Viñaque	CE-0131		V	Vd2a [Bd-Sb] [Ne-P]
Nievería E-PIW	CE-0156		B-APC-PP	B(C8)-APC-PP(Pc1a3) [Bd Sb] [NI]
No det. E-PPIW	CE-0145		B	B(C1)-Pc2c [Bd Sf] [Ne-P]
	CE-0130		Cu	Cu1 [Bd-Sb] [Ne-Br]
Nievería E-PPIW	CE-0010		MB	MB(C8)-pe1a1 [Ba Sb] [Ne-P]
No determinado	CE-0168		Cu	Cu2 [Ba-Sb] [Ne-Br]
	35-5055b		MV	MVd1 [Bd-Sb] [Ne-AI]
	35-5504		MV-Ve	MVd2a-Vep1a [Bd-Sb Sg] [Ne-Br]

Estilo	Rótulo	Cat./subcat.	Pico	Asa	Cuerpo
Nievería	MSP-71	B-AE	SDP	VeR2	VeR2
Lima o Nie	CE-0058	B-ALCV	SDP	SDP	SDP
Posib. Mochica Polícromo	CE-2786	B-APC-PP	SDP	SDP	SDP
Viñaque	CE-0131	V			SDP
Nievería E-PPIW	CE-0156	B-APC-PP	SDP	SDP	SDP
No det. E-PPIW	CE-0145	B	SDP		L9b9
	CE-0130	Cu			SDP
Nievería E-PPIW	CE-0010	MB	SDP		SDP
No det.	CE-0168	Cu			SDP
No det.	35-5055b	MV			SDP
No det.	35-5504	MV-V			SDP

Fig. 4.166B. Vasijas de cocción reductora. Códigos de forma y tecnología y diseños presentes (en caso existan) en los elementos formales de las vasijas de los estilos Nievería, de posible atribución Lima o Nievería, posible Mochica Polícromo, de diferente atribución en la E-PIW, un caso de Nievería E-PPIW y ejemplares no determinados estilísticamente (cuadros elaborados por el autor).



Fig. 4.167. a. Vasija del estilo Blanco sobre Rojo encontrada por Uhle en Cerro Trinidad (IAI-PK. Berlín, Nachlass Max Uhles s.f.); b. 35-5036, c. CE-0073, d. 35-1408, e. 35-5294, f. CE-0018, g. CE-0020, h. CE-0066, i. 35-1028, j. MSP-412, k. 35-5430, l. CE-0001 (lámina elaborada por el autor).





Fig. 4.168. a. CE-0016, b. 35-6023, c. CE-0047, d. 35-1018, e. 35-1535, f. CE-0017, g. CE-0112, h. 35-1017, i. 35-1499, j. 35-1021 (lámina elaborada por el autor).



Fig. 4.169. a. CE-0014, b. MSP-1047, c. 35-1494, d. 35-1492, e. CE-0127, f. 35-6022, g. CE-0029, h. CE-0313, i. CE-0046, j. 35-1001, k. 35-5291 (lámina elaborada por el autor).



Fig. 4.170. a. CE-0009, b. CE-0005, c. CE-0138, d. MSP-71, e. CE-2786, f. CE-0156, g. CE-0095, h. CE-0134, i. CE-0173, j. CE-2737, k. V4-t-16-1 (lámina elaborada por el autor).

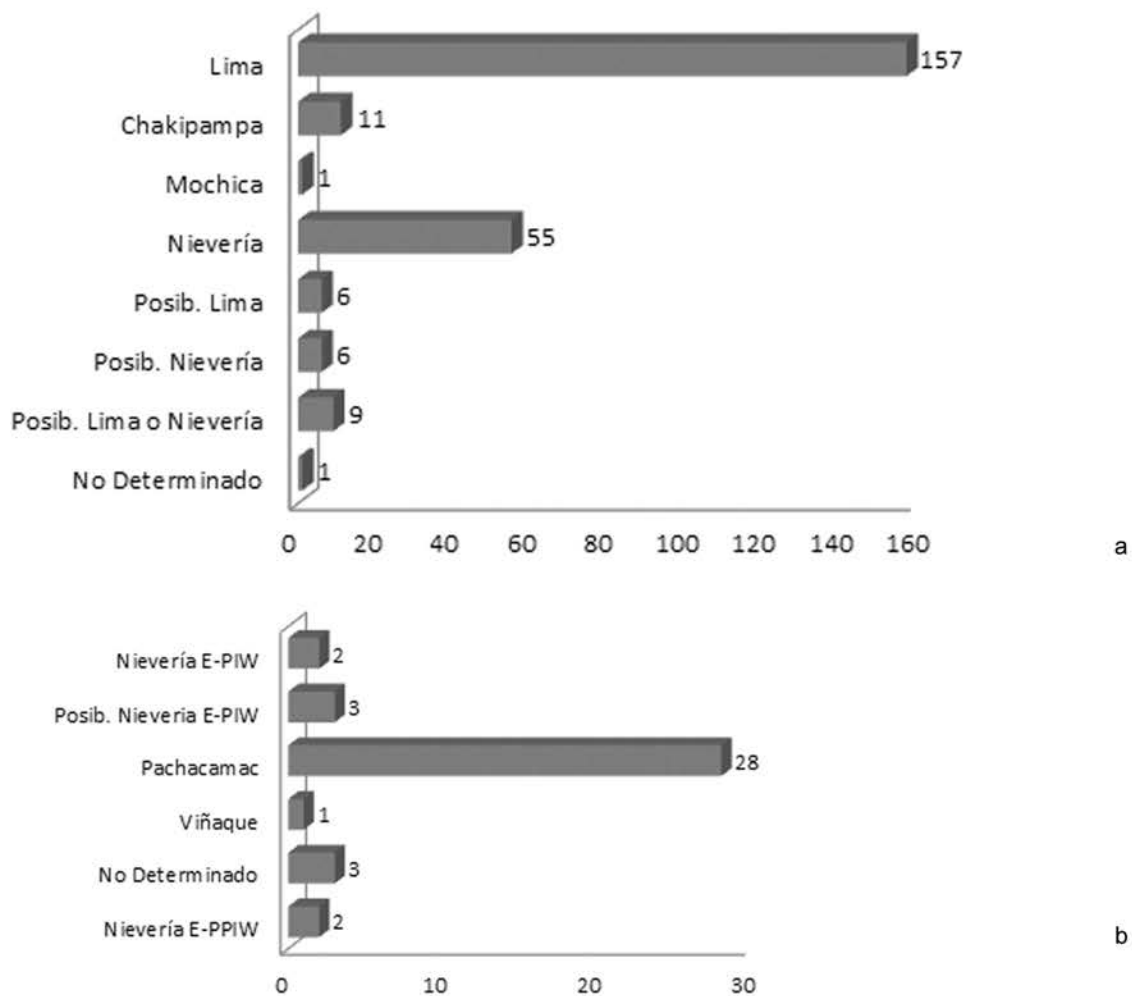


Fig. 4.171. Vasijas de cocción oxidada. a. Cantidad de piezas por estilos definidos o no definidos en el lapso FPIT-IHM; b. Cantidad de piezas por estilos definidos o no definidos en las etapas E-PIW y E-PPIW (fila inferior de datos) (diagramas elaborados por el autor).

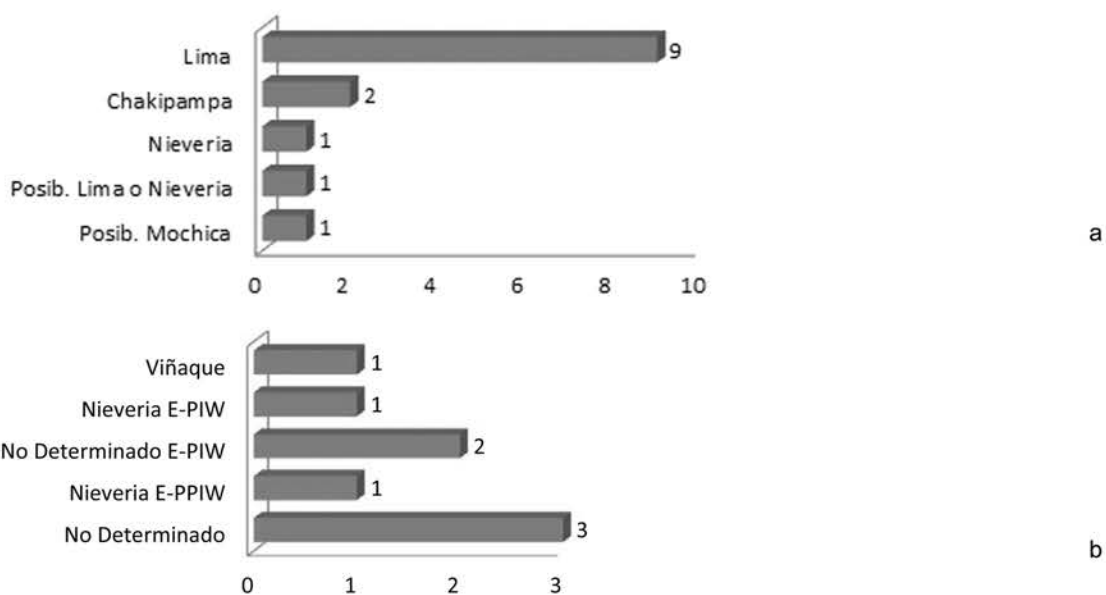


Fig. 4.172. Vasijas de cocción reductora. a. Cantidad de piezas por estilos definidos o no definidos en FPIT-IHM; b. Cantidad de piezas por estilos definidos o no definidos en E-PIW y E-PPIW (penúltima fila inferior de datos) (diagramas elaborados por el autor).

Estilos o posibles estilos	Pastas					Total	N original	
	1a	1b	2	3	4			
Lima	1		14	4	1	20	157	
Formas nuevas Lima	6	1	14	3		24		
Chakipampa	1	1	1			3		11
Nievería	11	1	4	1	1	18		55
Posible Lima			1			1		6
Posible Nievería	3	1	2			6		6
Posible Lima o Nievería	2	3	1			6		9
Pachacamac	1		7	5	1	14		28
Nievería E-PIW		1				1	2	

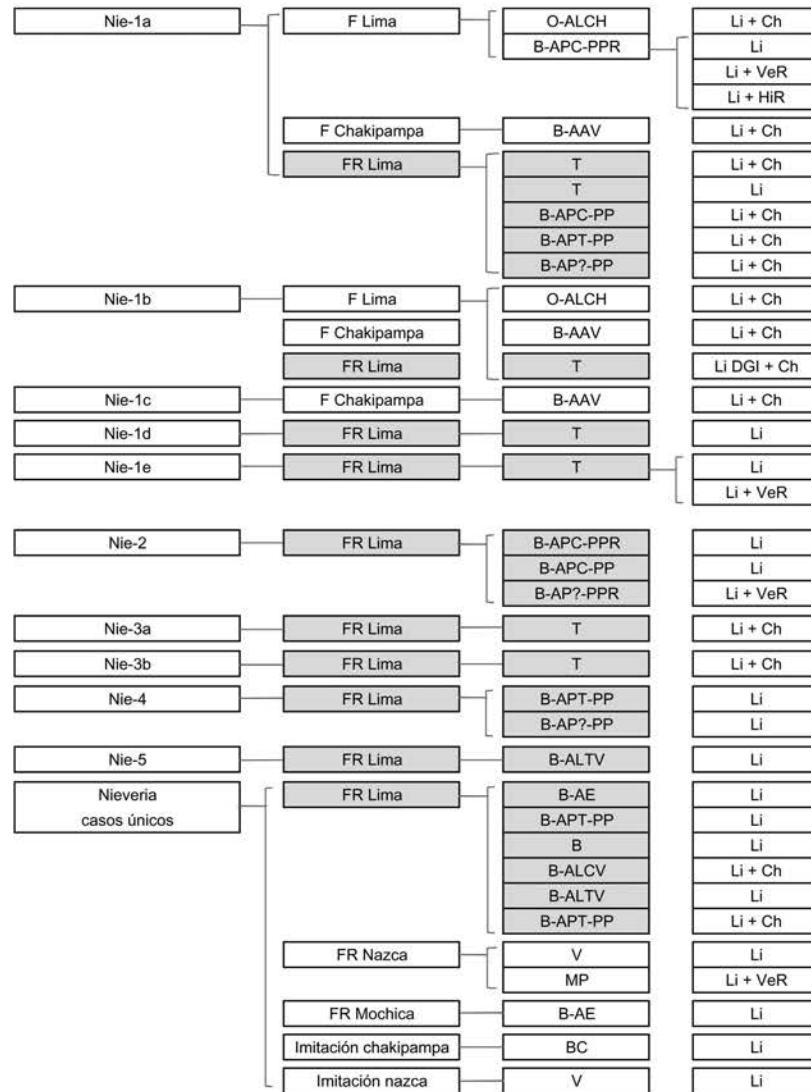
Fig. 4.173. Presencia de las pastas reconocidas en el lapso FPIT-IHM (cuadro superior) y en la E-PIW (cuadro inferior) (cuadros elaborados por el autor).

Estilo	Forma	Cat./subcat	Decoración	Especímenes
Lima	Lima	B	Li	Li-1 - Li-5 (Figs. 4.138A-4.143A (excepto Li-3A [Fig. 4.140A, i]); FN Li-1 - Li-CU (Figs. 4.146A-4.153A, a-e))
		B-APC-PP		
		B-ALCV (gollete)		
		B-ALCV (pico)		
		O-ALCH		
		O-ALCH-Ve		
		O-C		
		MO-C		
		C		
		CM		
		C-ALCH		
		T		
		V		
	B-APC-PP	Li + Ch	FN Li-CU (Fig. 4.153A, f)	
		Li + VeR	FN Li-CU (Fig. 4.153A, g)	
		Li DGI + Ch	FN Li-CU (Fig. 4.153A, i)	
	CM	Li + VeR	Li-VeR (Fig. 4.144A, a)	
	O-C	Li + HiR	Li-3A (Fig. 4.140A, i)	
	B-APC-PC	Li DGI	FN Li-CU (Fig. 4.153A, h)	
	MO-C			
Chakipampa	Chakipampa	BC	Ch	Ch-1 - Ch-6 (Fig. 4.145A, a-g)
		BC-AAV		
		MB-AAV		
		MC-AAV		
		Cu		
Mochica	Mochica	B-APC-PP	M	Fig. 4.145A, h

Leyenda

Li: Lima  
Ch: Chakipampa  
VeR: versión reelaborada de un diseño foráneo  
HiR: versión reelaborada del híbrido de dos diseños  
Li DGI: Lima con decoración gris integrada  
M: Mochica

Fig. 4.174. Estilos Lima, Chakipampa (conjunto especial) y Mochica. Resumen de formas respectivas, decoración y ejemplos correspondientes (cuadro elaborado por el autor).



**Leyenda**

Li: Lima

Ch: Chakipampa

VeR: versión reelaborada de un diseño foráneo

HiR: versión reelaborada del híbrido de dos diseños

Li DGI: Lima con decoración gris integrada

Fig. 4.175. Vasijas de cocción oxidada. Estilo Nievería (FPIT-IHM). Resumen de las formas y decoración (cuadro elaborado por el autor).








Forma	Elemento formal y atribución estilística	Decoración	Ejemplos
<b>Fórmula 1a: FR Lima modificada con elementos formales relacionado con estilos foráneos</b>			
 B	Cuerpo { - Forma alusiva nazca	Li	Nie-CU (Fig. 4.158A, d)
 B-APC-PP	Cuerpo { - Forma alusiva nazca	Li	Nie-2 (Fig. 4.155A, b)
	Cuerpo { - Forma idéntica nazca	Li + Ch	Nie-2 (Fig. 4.156A, k)
	Asa y cuerpo { - Tubular (mochica) - Forma lima	Li	Nie-CU (Fig. 4.158A, b, c)
	Asa y cuerpo { - Tubular (mochica) - Forma alusiva nazca	Li + Ch	Nie-1a (Fig. 4.155A, c)
 B-APC-PPR	Asa y cuerpo { - Tubular (mochica) - Forma alusiva nazca	Li	Nie-4 (Fig. 4.157A, e), Nie-CU (Fig. 4.158, g)
	Asa y cuerpo { - Tubular (mochica) - Forma alusiva mochica	Li	Nie-4 (Fig. 4.157A, e), Nie-CU (Fig. 4.158, g)
 B-APC-PPR	Cuerpo { - Tecnología nazca	Li	Nie-2 (Fig. 4.156A, e-j, l, m)
	Cuerpo { - Tecnología nazca	Li + VeR	Nie-2 (Fig. 4.156A, l)
 B-ALCV	Asa { - Tubular (mochica)	Li	Nie-5 (Fig. 4.157A, h, i), Nie-CU (Fig. 4.158A, f)
	Cuerpo { - Tecnología nazca	Li + Ch	Nie-CU (Fig. 4.158A, e)
<b>Fórmula 1b: FR lima modificada con elementos formales locales</b>			
 B-AE (Arcaísmo lima reelaborado)	Cuerpo	Li	Nie-CU (Fig. 4.158A, a)
 T	Mango/vertedera	Li	Nie-1a (Fig. 4.155A, a), Nie-1e (Fig. 4.156A, c)
		Li + Ch	Nie-1a (Fig. 4.154A, h-k) Nie-1d (Fig. 4.156A, b) Nie-3a (Fig. 4.157A, a-c), Nie-3b (Fig. 4.157A, d)
		Li + HiR	Nie-1e (Fig. 4.156A, d)
		Li DGI + Ch	Nie-1b (Fig. 4.155A, h-j)

Fig. 4.176A. Vasijas de cocción oxidada. Fórmulas 1a y 1b de composición formal de las vasijas correspondientes al estilo Nievería del lapso FPIT-IHM. Se muestran las categorías/subcategorías formales, decoración y ejemplos respectivos (cuadro elaborado por el autor).






Forma	Elemento formal y atribución estilística	Decoración	Ejemplos
<b>Fórmula 2: FR foránea modificado con elemento formal relacionado con el estilo Lima</b>			
FR nazca  V	Cuerpo { - Decoración en relieve lima	Li	Nie-CU (Fig. 4.158A, h)
FR mochica  B-AE	Cuerpo { - Forma alusiva lima	Li	Nie-CU (Fig. 4.158A, j)
<b>Fórmula 3: FR foránea</b>			
FR Nazca  MP		Li + VeR	Nie-CU (Fig. 4.158A, i)
<b>Fórmula 4: imitaciones de formas foráneas</b>			
Imitación chakipampa  BC		Li	Nie-CU (Fig. 4.158A, k)
Imitación nazca  V		Li	Nie-CU (Fig. 4.158A, l)

Fig. 4.176B. Vasijas de cocción oxidada. Fórmulas 2, 3 y 4 de composición formal de las vasijas correspondientes al estilo Nievería del lapso FPIT-IHM. Se muestran las categorías/subcategorías formales, decoración y ejemplos respectivos (cuadro elaborado por el autor).



Forma	Elemento formal y atribución estilística	Decoración	Ejemplos
<b>Fórmula 1a: FR lima modificada con elementos formales foráneos</b>			
 B-ALCV	Cuerpo { - Forma alusiva transicional	Li	Fig. 4.164A, a
 B-APC-PP	Cuerpo { - Forma idéntica atarco/pachacamac	Li + Ch	Fig. 4.164A, b

Fig. 4.176C. Vasijas de cocción oxidada. Fórmula 1a de composición formal de las vasijas correspondientes al estilo Nievería E-PIW. Se muestran las categorías/subcategorías formales, decoración y ejemplos respectivos (cuadro elaborado por el autor).

Forma	Elemento formal y atribución estilística	Decoración	Ejemplos
<b>Fórmula 3: FR foránea</b>			
 B		Li	Fig. 4.164A, i
		VeR	Fig. 4.164A, j

Fig. 4.176D. Vasijas de cocción oxidada. Fórmula 3 de composición formal de las vasijas correspondientes al estilo Nievería E-PPIW. Se muestran la categoría formal, decoración y ejemplos respectivos (cuadro elaborado por el autor).

Forma	Elemento formal y atribución estilística	Decoración	Ejemplos
<b>Fórmula 2: FR foránea modificada con elemento formal relacionado con el estilo Lima</b>			
 B-AE	Cuerpo { - Forma alusiva lima	VeR	Fig. 4.166A, a
 B-APC-PP	Cuerpo { - Forma alusiva lima	VeR	Fig. 4.166A, e

Fig. 4.176E. Vasijas de cocción reductora. Fórmula 2 de composición formal de las vasijas correspondientes al estilo Nievería del lapso FPIT-IHM (arriba) y de la E-PIW (abajo). Se muestran las subcategorías formales, decoración y ejemplos respectivos (cuadro elaborado por el autor).

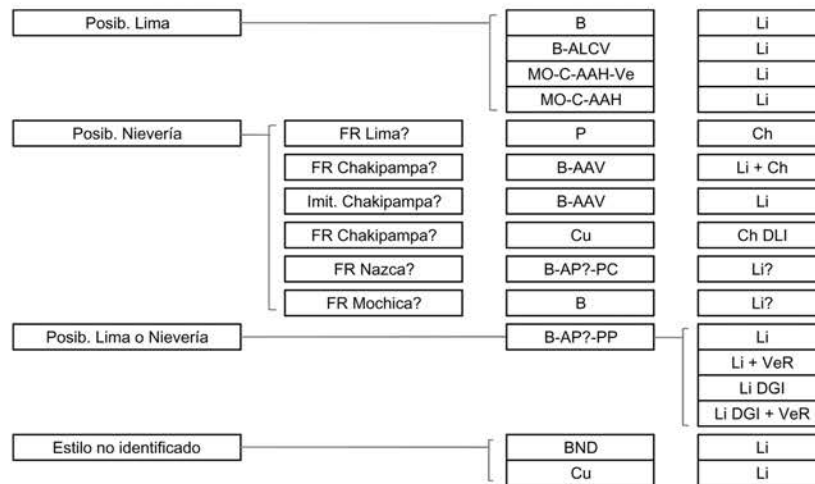


Fig. 4.177. Vasijas de cocción oxidada. FPIT-IHM. Piezas de posible estilo definido. Resumen de las formas y decoración (cuadro elaborado por el autor).

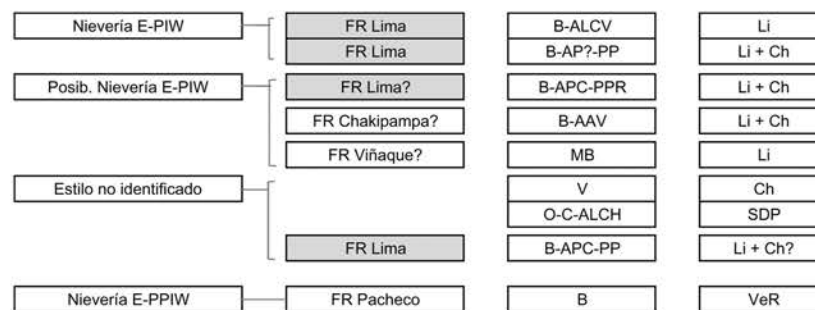
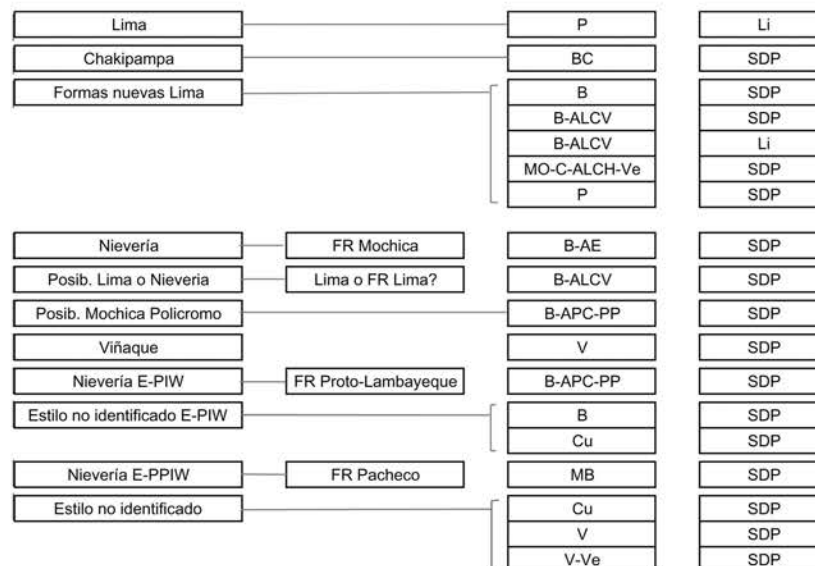


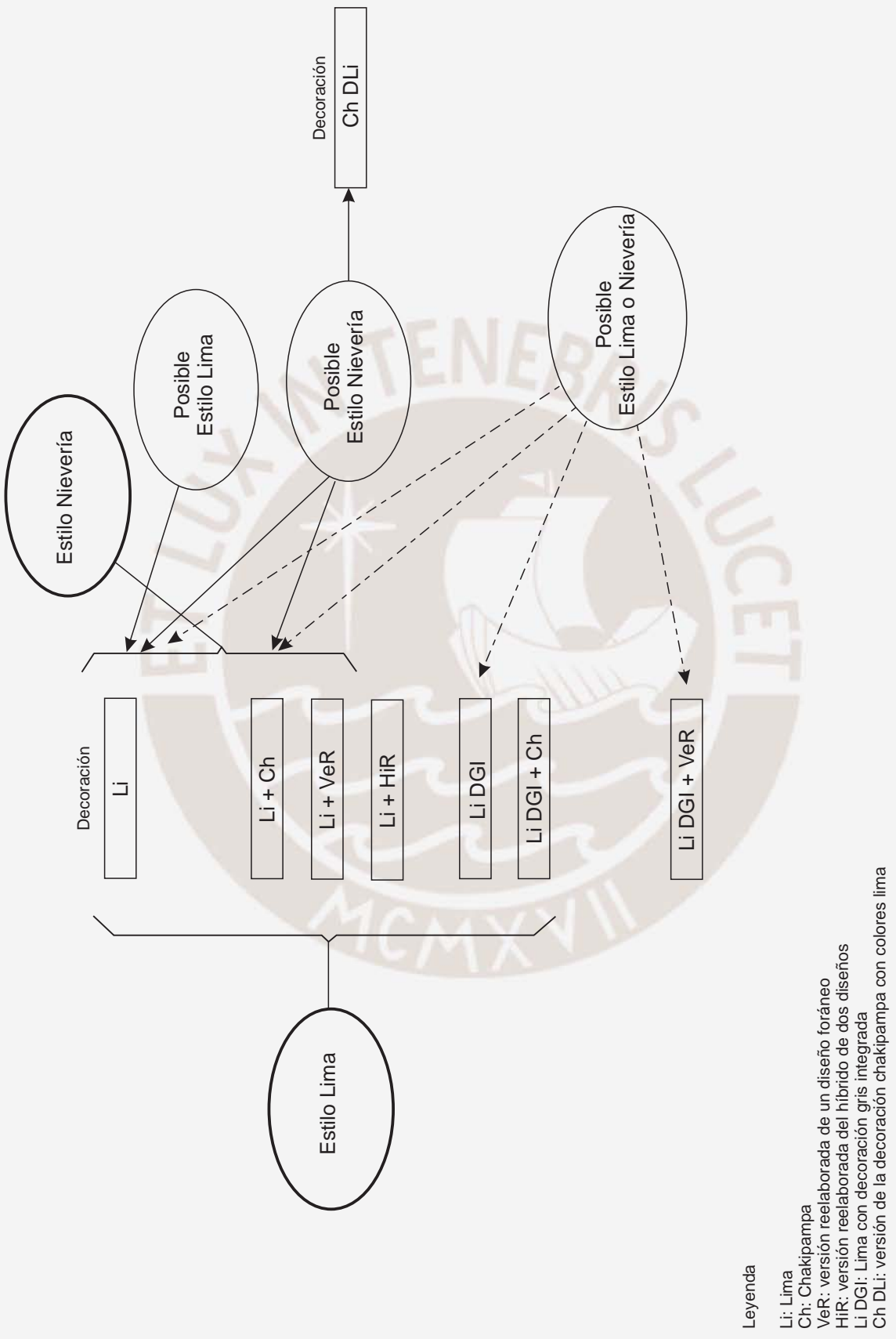
Fig. 4.178. Vasijas de cocción oxidada. E-PIW y E-PPIW. Piezas de estilo definido y posible estilo definido. Resumen de las formas y decoración (cuadro elaborado por el autor).



Leyenda

- Li: Lima
- Ch: Chakipampa
- VeR: versión reelaborada de un diseño foráneo
- HiR: versión reelaborada del híbrido de dos diseños
- Li DGI: Lima con decoración gris integrada
- SDP: Sin decoración pictórica

Fig. 4.179. Vasijas de cocción reductora. FPIT-IHM, E-PIW y E-PPIW. Piezas de estilo definido y posible estilo definido. Resumen de las formas y decoración (cuadro elaborado por el autor).



Leyenda

- Li: Lima
- Ch: Chakipampa
- VeR: versión reelaborada de un diseño foráneo
- HiR: versión reelaborada del híbrido de dos diseños
- Li DGI: Lima con decoración gris integrada
- Ch DLI: versión de la decoración chakipampa con colores lima

Fig. 4. 180. Relación de los estilos Lima, Nievería y piezas de posibles atribuciones con una decoración determinada (FPIT-IHM) (diagrama elaborado por el autor).

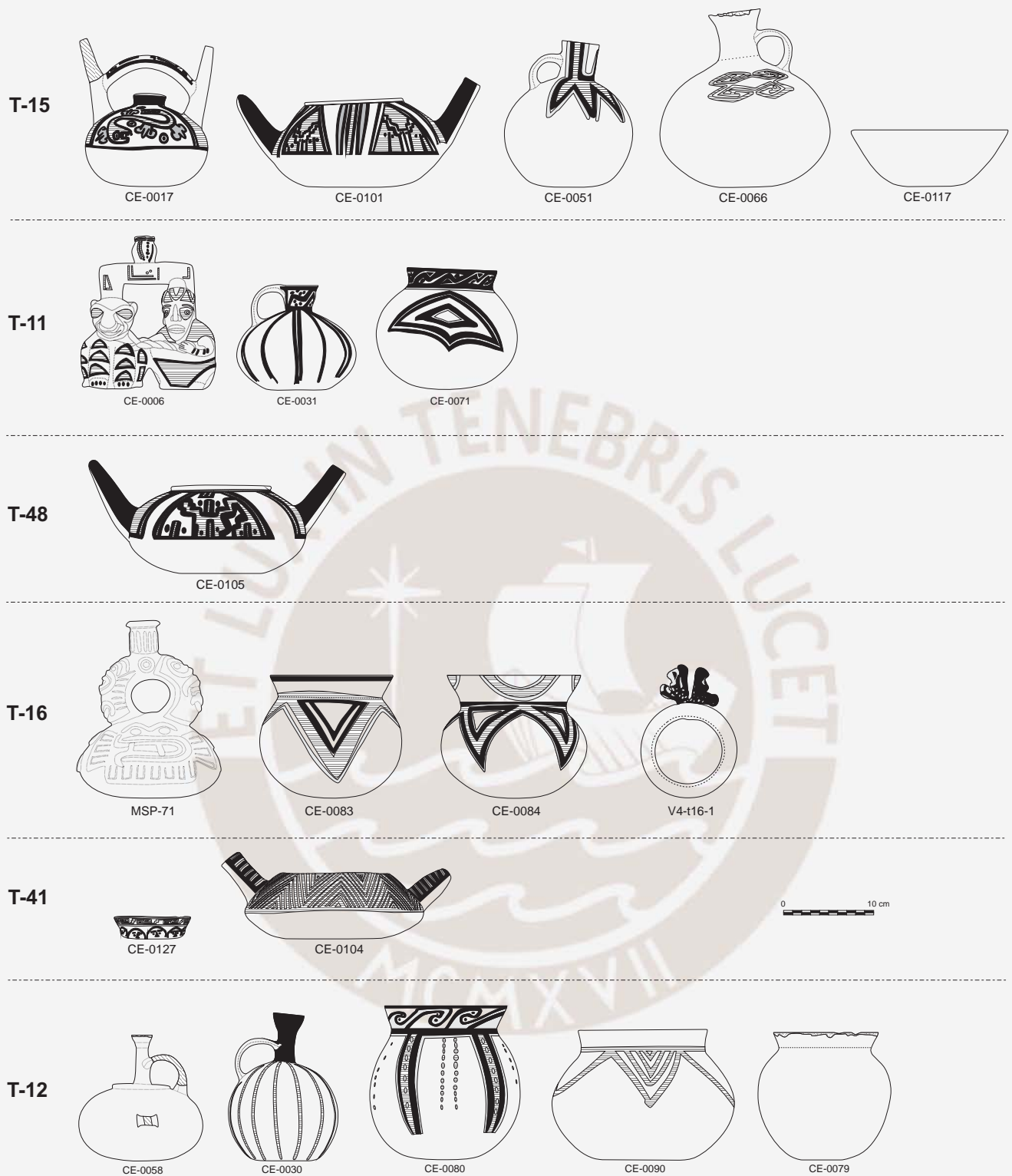


Fig. 5.1A. Catalina Huanca. Contextos funerarios con lotes completos (tumbas 15, 11, 48, 16, 41 y 12) (diagrama elaborado por el autor).



Fig. 5.1B. Catalina Huanca. Contextos funerarios de lotes completos (tumbas 24, 14, 17, 40, 44, 6 y 42) (diagrama elaborado por el autor).

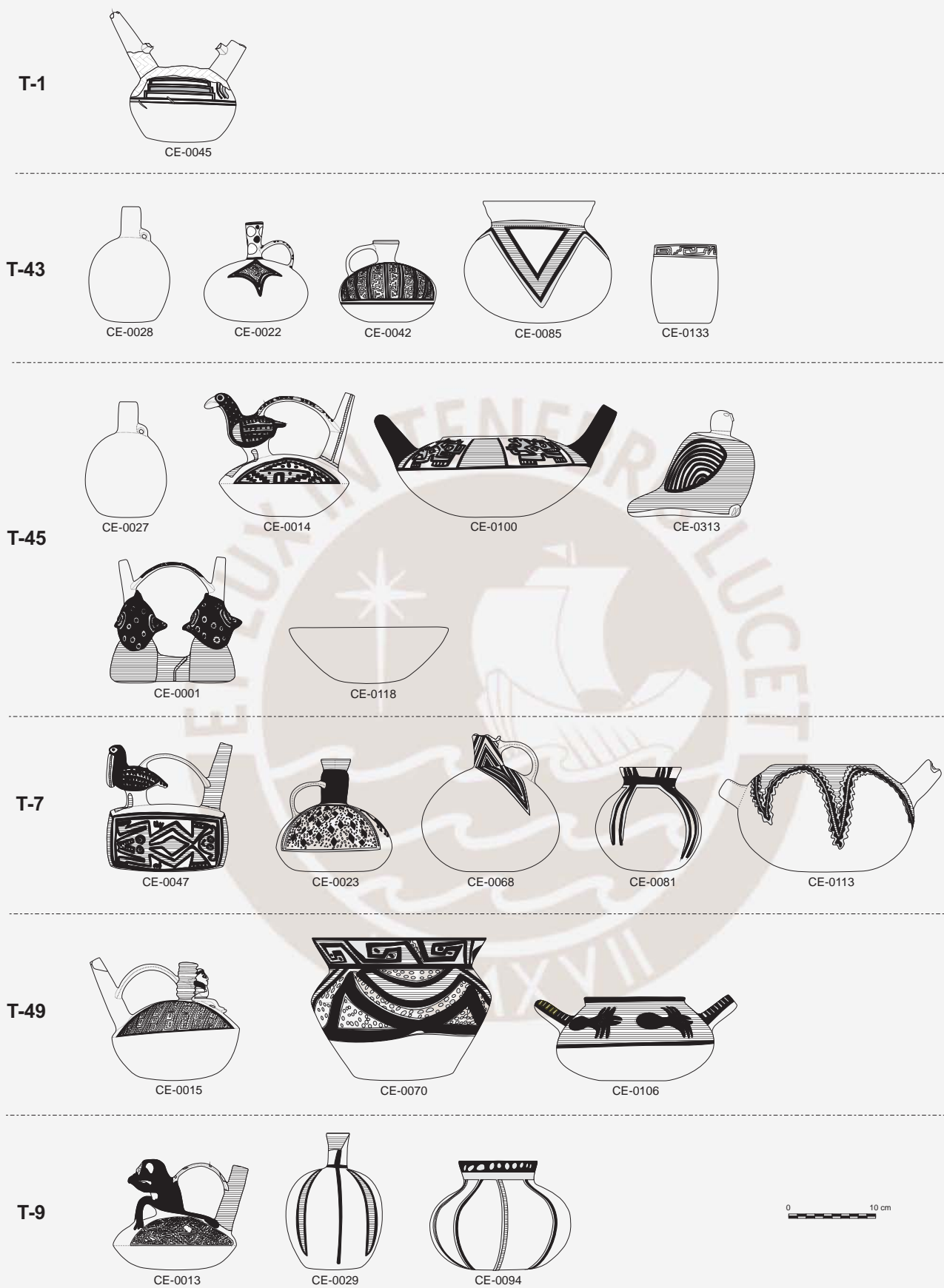


Fig. 5.1C. Catalina Huanca. Contextos funerarios de lotes incompletos (tumbas 1, 43, 45, 7, 49, y 9) (diagrama elaborado por el autor).



Fig. 5.1D. Catalina Huanca. Contextos funerarios de lotes incompletos (tumbas 4, 20, 28, 5, 29, 13 y 3) (diagrama elaborado por el autor).



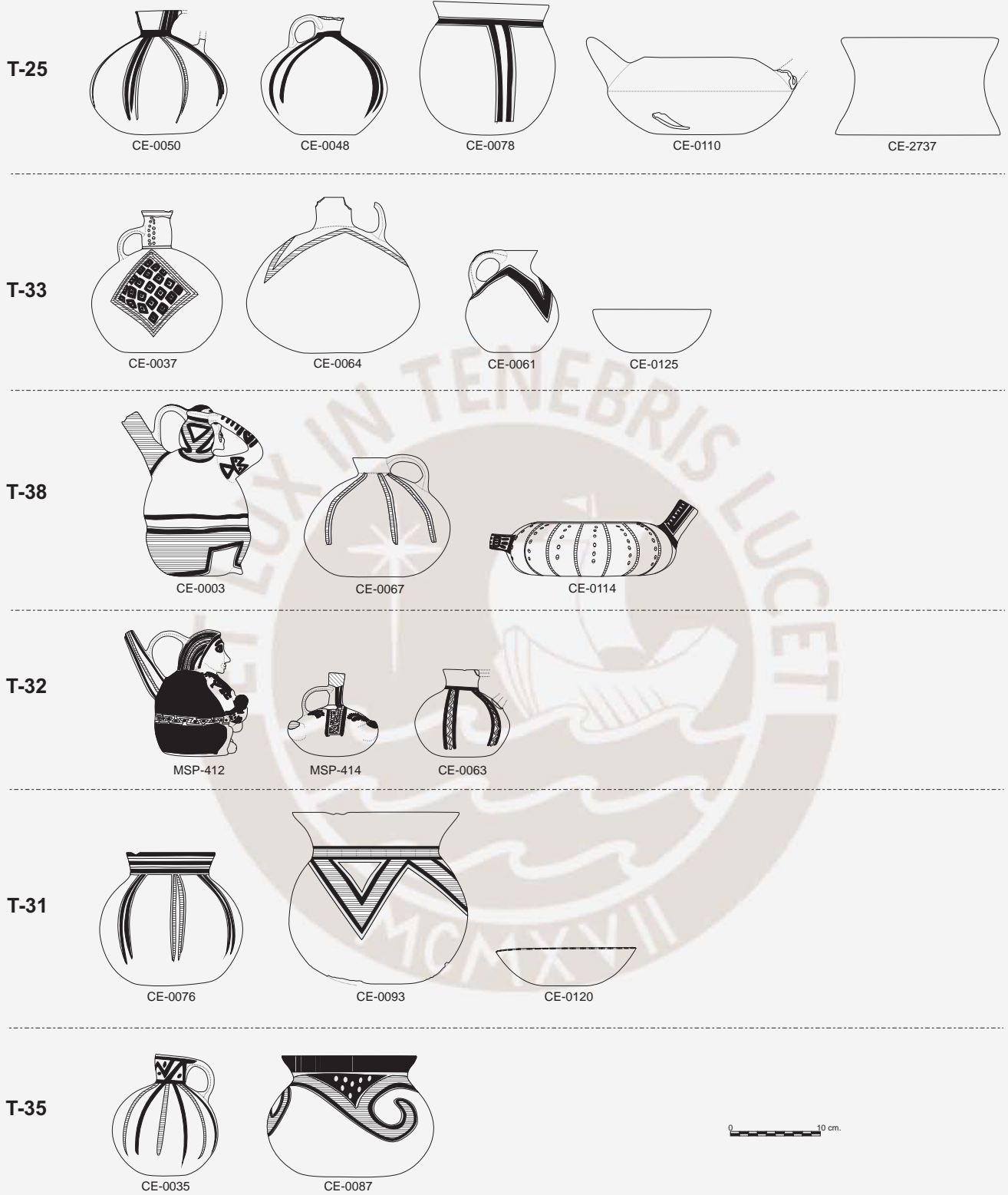


Fig. 5.1E. Catalina Huanca. Contextos funerarios de lotes incompletos (tumbas 25, 33, 38, 32, 31 y 35) (diagrama elaborado por el autor).

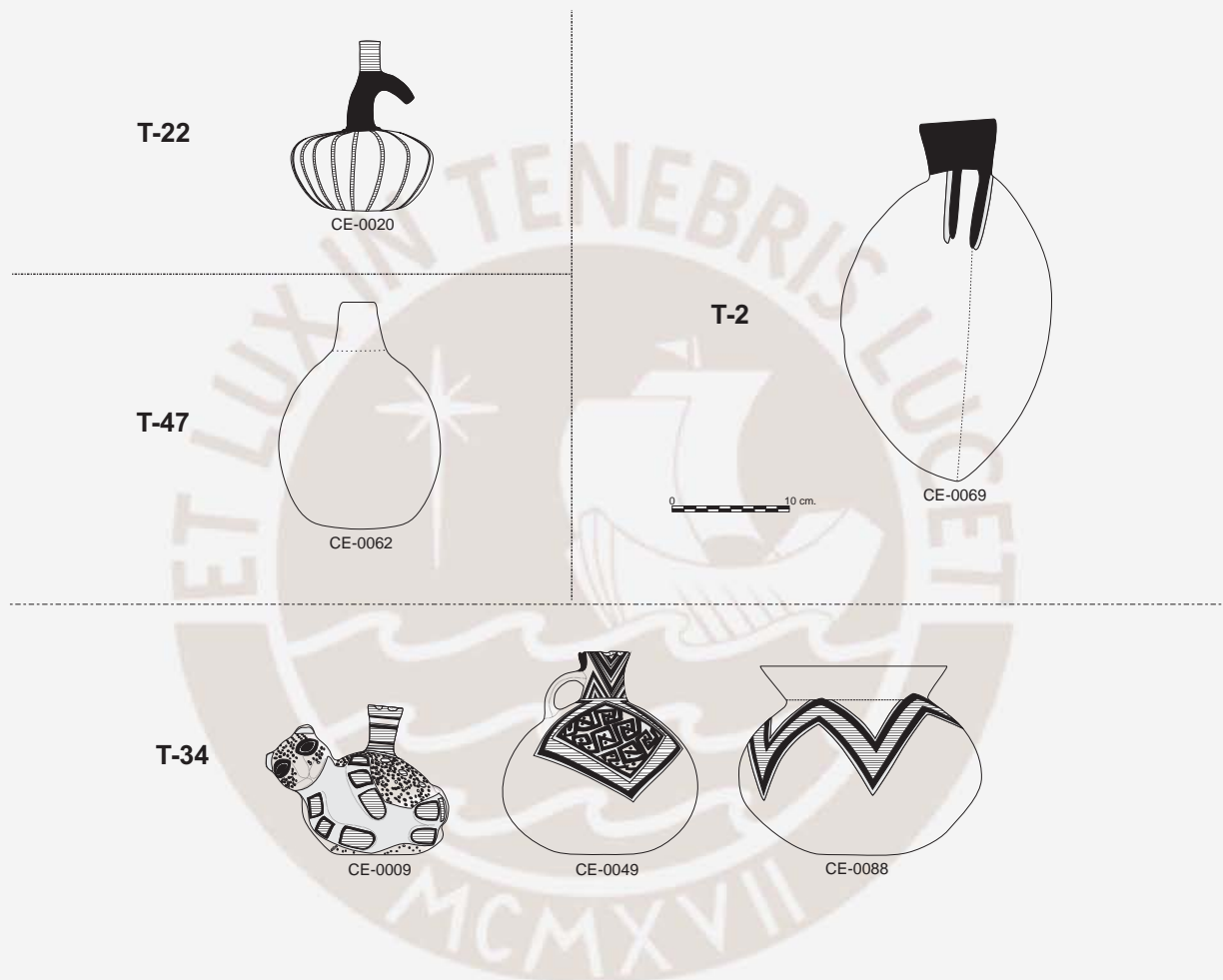


Fig. 5.1F. Catalina Huanca. Contextos funerarios de lotes incompletos (tumbas 22, 47, 2 y 34) (diagrama elaborado por el autor).

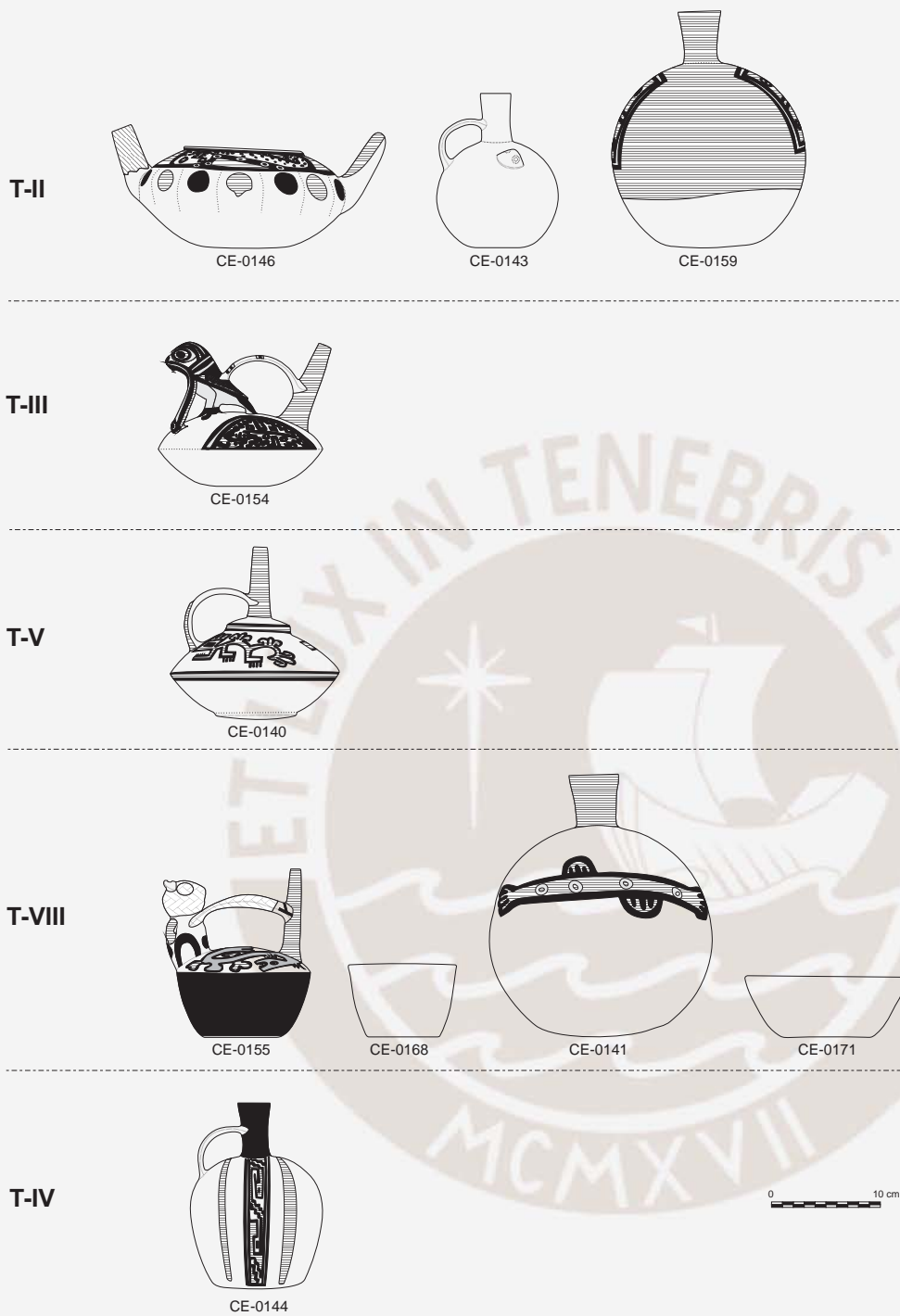


Fig. 5.1G. Conjunto Huaca Tello de Cajamarquilla. Contextos funerarios de lotes completos (tumbas II, III, V y VIII) e incompletos (tumba IV) (diagrama elaborado por el autor).